

UNIVERSIDADE ESTADUAL DE CAMPINAS

Instituto de Química

Departamento de Química Orgânica

Dissertação de Mestrado

Síntese de Neolignanas 8.0.4´, Derivados e Análogos ativos em Leishmania

Mário Aveniente

Prof. Dr. Lauro E. S. Barata

Campinas

São Paulo-Brasil

Julho de 2009

FICHA CATALOGRAFICA ELABORADA PELA BIBLIOTECA DO INTITUTO DE QUÍMICA DA UNICAMP

Aveniente, Mário.

Av34s

Síntese de neolignanas 8.O.4′, derivados e análogos ativos em *Leishmania* /Mário Aveniente. -- Campinas, SP: [s.n], 2009.

Orientador: Lauro Euclides Soares Barata.

Dissertação - Universidade Estadual de Campinas, Instituto de Química.

1. Neolignanas. 2. Leishmaniose. 3. *Leishmania*. I. Barata, Lauro Euclides Soares. II. Universidade Estadual de Campinas. Instituto de Química. III. Título.

Título em inglês: Synthesis of 8.O.4' neolignans', derivatives and active analogues in *Leishmania*

Palavras-chaves em inglês: Neolignans, Leishmaniasis, Leishmania

Área de concentração: Química Orgânica

Titulação: Mestre em Química na área de Química Orgânica

Banca examinadora: Lauro Euclides Soares Barata (orientador), Pedro Luiz Onófrio Volpe (IQ-UNICAMP), Lourivaldo da Silva Santos (DQ-UFPA)

Data de defesa: 03/07/2009

Dedico esta tese aos meus pais,

Umberto (in memorian) e Nísia (in memorian),

que tanto se esforçaram para me oferecer

uma boa educação, mas principalmente honra e honestidade.

AGRADECIMENTOS

- Ao professor Lauro Euclides Soares Barata pela orientação, oportunidade concedida, incentivo e por ter depositado em mim a confiança em fazer parte de seu grupo de pesquisa.
- Aos professores Bartira Rossi Bergmann da Universidade Federal do Rio de Janeiro e Lourivaldo da Silva Santos da Universidade Federal do Pará, pelas valiosas contribuições neste trabalho
- Aos professores Paulo Samenho Moran e Roberto Rittner Neto pelo aprendizado e colaboração.
- Ao Instituto de Química e à Universidade Estadual de Campinas, por toda estrutura que me permitiu a realização deste trabalho de pesquisa.
- Ao Conselho Nacional de Desenvolvimento Científico (CNPQ) pela bolsa concedida.
- À Fundação de Amparo à Pesquisa pelo apoio financeiro para realização deste trabalho.
- Aos funcionários da CPG, especialmente à Bel e Izabel pela prestatividade com que sempre nos tratou.
- Aos técnicos do laboratório Thomson de Espectrometria de Massa,
 Aparecido José de Almeida e Maria Zelinda Martins Beck e também a técnica Sonia Fanelli do laboratório de Ressonância Magnética Nuclear.
- À todos os funcionários do Instituto de Química pela atenção e serviços prestados.

- Aos amigos Sandro, Marcelo e Alexandre pelo companheirismo, apoio, boa convivência e troca de idéias, e também à colega Margarete pela colaboração.
- À Deus presente em minha vida, guiando os meus caminhos.
- Finalmente à minha companheira Simone, sempre ao meu lado nos momentos mais difíceis de minha vida, apoiando-me em todos esses momentos com muito carinho.

Curriculum Vitae

INFORMAÇÕES PESSOAIS

Nome: Mário Aveniente

Data de nascimento: 04/05/1966

Nacionalidade: Brasileira

Naturalidade: Campinas (SP)

Filiação: Umberto Aveniente e Nísia Pimentel Aveniente

e-mail: marav.quim@uol.com.br

FORMAÇÃO

Mestrado em Química Orgânica sob orientação do prof. Dr. Lauro E. S. Barata (UNICAMP/1997).

Bacharelado em Química pela Universidade Estadual de Campinas (UNICAMP/1993).

PUBLICAÇÕES

Aveniente M.; Pinto, E.F.; Santos, L. S.; Rossi-Bergmann, B.; Barata, L.E.S. *Bioorganic & Medicinal Chemistry* **2007**, *15*, 7337.

Pinto, E.F.; Torres-Santos, E.C.; Aveniente, M.; Barata, L.E.S.; Rossi-Bergmann, B. *Bollettino Chimico Farmaceutico* **1999**, *138*, 106.

TRABALHOS EM CONGRESSOS

2000 – 22nd International Symposium on the Chemistry of Natural Products (IUPAC), September 4-8, São Carlos, SP, Brazil. Apresentação do pôster: *Anti-leishmanial Activity of Sulphur Synthetic Neolignans*.

1999 – 22^a Reunião Anual da Sociedade Brasileira de Química, Poços de Caldas, MG. Apresentação do pôster: *Síntese de Neolignanas Sulfuradas Anti-leishmania*.

1998 – 21^a Reunião Anual da Sociedade Brasileira de Química, Poços de Caldas, MG. Apresentação do pôster: *Síntese de Neolignanas Sulfuradas Anti-Leishmaniose*.

1998 – XV Simpósio de Plantas Medicinais do Brasil. Águas de Lindóia, SP. *Atividade Leishmanicida e Alterações Ultraestruturais Induzidas por Análogos Sufurados de Neolignanas de Virola surinamensis*.

RESUMO

SÍNTESE DE NEOLIGNANAS 8.O.4´, DERIVADOS E ANÁLOGOS ATIVOS EM LEISHMANIA

Neolignanas e lignanas são substâncias importantes, devido suas atividades biológicas e farmacológicas. Quimicamente, lignanas são dímeros resultantes do acoplamento oxidativo do ácido cinâmico e/ou álcool cinamílico, e neolignanas derivadas de alil e/ou propenil fenóis. Nesta dissertação, as sínteses de neolignanas e análogos resultaram das reações de condensação de intermediários α-bromocetonas com fenóis e tiofenóis. Reações de oxidação no enxofre de alguns análogos de neolignanas foram feitas para a obtenção dos derivados sulfóxido e sulfonas, usando ácido mcloroperbenzóico e ácido peracético. Neolignanas-alcoóis foram obtidas via reações de redução com NaBH₄ e o respectivo derivado acetato através da reação de acetilação com anidrido acético e piridina. Os análogos quirais foram obtidos da reação de cetonas aquirais com (d) e (l)-dimetil tartarato, proporcionando cetonas quirais que reagiram em seguida com bromo resultando em α-bromocetonas quirais e estas com derivados de tiofenóis, levando à quatro análogos quirais. Em pesquisas anteriores nosso grupo realizou ensaios biológicos de neolignanas e análogos em Leishmania donovani, tendo sido verificado que os análogos sulfurados apresentavam maior atividade antileishmania. Então, vinte e oito análogos de neolignanas sintéticos contendo S e O na ponte C-8 foram obtidos neste projeto de mestrado, sendo vinte e quatro compostos racêmicos e quatro compostos quirais. Em cooperação com o Instituto Carlos Chagas-UFRJ os vinte e oito análogos de neolignanas sintéticos foram testados in vitro em Leishmania donovani e L. amazonensis. Os resultados mostraram que quatro substâncias, dois racêmicos e seus respectivos análogos quirais, produziram significativas atividades anti-leishmania.

ABSTRACT

SYNTHESIS OF 8.O.4' NEOLIGNANS', DERIVATIVES AND ACTIVE ANALOGUES IN LEISHMANIA

Neolignans and lignans present significant biological and pharmacological activities. Chemically lignans are dimers derived from the oxidative coupling of cinnamic and/or cinnamyl alcohol, while neolignans derive from allyl and/or propenyl phenols. In this work, the synthesis of neolignans and correlated substances resulted from the condensation reactions between intermediate *alpha*-bromoketones with phenols and thiophenols. Sulphur oxidation reactions of certain neolignans analogues leading to neolignans-sulfoxide and sulfones respectively were also carried out, with the use of mchloroperbenzoic and peracetic acids. Neolignans-alcohols were obtained using NaBH4 reductions while its acetate derivative was obtained from the acetylation reaction, with acetic anhydride and pyridine. The chiral reactions started with non-chiral ketones, which reacted with d/l-dimethyl-tartrate, providing chiral ketones that reacted with bromine, resulting in chiral α-bromoketone, these in their turn reacted with thiophenols leading to four chiral analogues. In previous studies conducted by our group, neolignans carrying oxygen and sulphur on the C-8 were essayed in Leishmania donovani showing that sulphur-neolignans had significant anti-leishmania activity. From the twenty-eight synthetic neolignans analogues containing O and S on the C-8 bridge obtained in this Master in Science project, twenty-four were racemic and four were chiral compounds. In cooperation with the UFRJ Carlos Chagas Institute, all substances were tested in vitro in Leishmania donovani and L. amazonensis. The results showed that four substances, two racemic and their respective chiral analogues, had significant anti-leishmania activity.

ÍNDICE GERAL

Lista de abreviaturas e símbolos	xix
Índice de Tabelas	xxi
Índice de Quadros	xxiii
Índice de Figuras	xxiv
Índice de Esquemas	xxviii
Índice de Espectros	xxx
1. INTRODUÇÃO	1
1.1. Definições	1
1.2. Atividade Biológica	4
1.3. Biossíntese de lignóides	17
1.4. Síntese de neolignanas e compostos análogos	21
1.4.1 Ensaios biológicos com neolignanas naturais	22
1.4.2 Atividades biológicas de neolignanas sintéticas	26
1.5. Leishmaniose	27
1.5.1. Distribuição no mundo	27
1.5.2. Vetores	29
1.5.3. Fármacos empregados no tratamento da leishmaniose	32
1.5.3.1 Antimoniato de metilglucamina	33
1.5.4. Outros agentes quimioterápicos utilizados no tratamento da	
leishmaniose	37
2. OBJETIVOS	42

3.	RESULTADOS E DISCUSSÃO	43
	3.1. Síntese de compostos racêmicos	43
	3.1.1. Síntese de intermediários a-bromo cetonas	43
	3.1.1.1. Reação de acilação de Friedel-Crafts	43
	3.1.1.2. Reação de bromação	46
	3.1.2. Reatividade de a-bromo cetonas	50
	3.1.3. Obtenção de neolignanas 8.0.4' cetônicas e deriva	dos
	(β- cetoéteres)	55
	3.1.4. Identificação de β-cetoéteres	57
	3.1.5. Obtenção de neolignanas alcoólicas 8.0.4' e derivados	(ß -
	hidroxiéteres)	68
	3.1.5.1. Via reduções estereosseletivas	68
	3.1.6. Identificação de neolignanas alcoólicas (β-hidroxiéteres)	73
	3.2. Obtenção de análogos sulfurados de neolignanas 8.0.4'	(β -
	cetosulfetos)	84
	3.2.1. Introdução	84
	3.2.2. Obtenção de β-cetosulfetos	86
	3.2.3. Obtenção de análogos sulfurados de neoligno	ınas
	8.0.4′	92
	3.2.4. Identificação de β-cetosulfetos	95
	3.2.5. Reatividade de sulfóxidos e sulfonas	105
	3.2.6. Obtenção de β-cetosulfóxidos <u>141</u> -α e <u>141</u> -β	107
	3.2.7. Obtenção de β-cetosulfonas	114
	3.2.8. Obtenção de β-hidroxisulfetos (análogos de neolignanas alcoól	icas
	8.0.4′)	125
	3.2.9. Identificação de β-hidroxisulfetos	127

	3.2.10. Obtenção de β-acetoxisulfeto (derivado de β- hidroxisulfeto)	138
	3.2.11. Identificação de β-acetoxisulfetos	141
	3.3. Quiralidade e atividade biológica	148
	3.3.1. Exemplos de sínteses racêmicas e assimétricas de fármacos	156
	3.3.1.1. Sínteses racêmica e assimétrica do Ibuprofeno	157
	3.4. Intermediários 2-bromo alquil aril cetonas quirais	162
	3.4.1. Obtenção de cetais	168
	3.4.2. Otenção de cetais bromados	170
	3.4.3. Otenção de α-bromo cetonas quirais	176
	3.5. Otenção de β-cetosulfetos quirais	178
	3.6. Discussão dos ensaios biológicos em amastigotas de Leishmania d	lonovani e L
	amazonensis	186
4.	CONCLUSÃO	194
5.	PARTE EXPERIMENTAL	196
	5.1. Especificação dos materiais e instrumentos utilizados	196
	5.2. Procedimento para as sínteses aquirais	199
	5.2.1. Procedimento para Síntese de cetonas aromáticas via acilação	•
	5.2.2. Procedimento geral para obtenção de α-bromo cetonas	202
	5.2.3. Reações de condensação entre α-bromocetonas e fenóis	207
	5.2.4. Reações de condensação entre α-bromocetonas e tiofenóis	214
	5.2.5. Preparação de sulfóxidos	226
	5.2.6. Preparação de sulfonas	229
	5.2.7. Preparação do β -hidroxisulfeto	233
	5.2.8. Preparação do β -acetoxisulfeto	238

5.3. Procedimento para as sínteses quirais	240
5.3.1. Reações gerais de obtenção de intermediários quirais	
5.3.2. Reações de obtenção β-cetosulfetos quirais	
5.4. Especificação dos materiais e intrumentos utilizado	
biológicosbiológicos	
5.4.1. Meios de cultura	
5.4.2. Parasitos	245
5.4.3. Ensaios in vitro	246
5.4.3.1. Purificação de macrófagos	246
5.4.3.2. Atividade anti-amastigota	246
5.4.3.3. Produção de óxido nítrico	247
5.4.3.4. Avaliação da capacidade fagocítica	247
5.4.3.5. Toxidez sobre linfócitos murinos	248
5.4.3.6. Toxidez sobre células P815	248
ANEXOS – ESPECTROS	250

Lista de abreviaturas e símbolos

APT – Attached Proton Test

CC - Cromatografia de adsorção em Coluna

CCD – Cromatografia em Camada Delgada

CCDP – Cromatografia em Camada Delgada Preparativa

CG-EM - Cromatografia em fase gasosa acoplada à espectrometria de massas

COSY - Correlation Spectroscopy

d – dupleto

dd – duplo dupleto

dq – duplo quarteto

DEPT – Distorcionless Enhancement by Polarization Transfer

DMT – dimetil tartarato

EM – Espectrometria de Massas

EMAR – Espectrometria de Massas de Alta Resolução

gCosy – Gradient Correlation Spectroscopy

HETCOR – Heteronuclear Shift Correlation Spectroscopy

HSQC – Heteronuclear Single Quantum Correlation

I.V. – Infravermelho

 \boldsymbol{J} – constante de acoplamento

m/z – relação massa-carga

m – multipleto

m-CPBA – ácido *m*-cloro perbenzóico

 $[\mathbf{M}]^{+}$ – ion molecular

MHz – megahertz

PAF – Fator de Ativação Plaquetária

ppm – parte por milhão

q - quarteto

RMN de ¹³C – Ressonância magnética nuclear de Carbono 13

RMN de ¹H – Ressonância magnética nuclear de Hidrogênio

s – singleto

t.a. – temperatura ambiente

t – tripleto

THF – tetraidrofurano

UV – ultravioleta

 δ – deslocamento químico

 λ – comprimento de onda

v – frequência

Índice de Tabelas

Tabela 1 - Derivados de acetofenona e propiofenona	45
Tabela 2 - Dados espectrais dos compostos 81-83	46
Tabela 3 - Dados espectrais dos compostos 86-90	49
Tabela 4 - Efeitos de α -halo substituintes em reações S_N -2	53
Tabela 5 - Dados de RMN de ¹ H (CDCl ₃ , 500 MHz) e ¹³ C (CDCl ₃ , 125 MHz)	
do composto <u>98</u>	61
Tabela 6 - Fragmentação de β-cetoéteres no EM	64
Tabela 7 – Lista de espectros dos β-cetoéteres	65
Tabela 8 – Derivados de neolignanas do tipo 8.O.4′	
Tabela 9 - Dados de RMN de ¹ H (CDCl ₃ , 500 MHz) e ¹³ C (CDCl ₃ , 125 MHz)	
do composto <u>69</u> eritro	82
Tabela 10 - Dados de RMN de ¹ H (CDCl ₃ , 500 MHz) e ¹³ C (CDCl ₃ , 75 MHz)	
do composto <u>128</u>	97
Tabela 11 - Fragmentação de β-cetosulfetos no EM	
Tabela 12 – Lista de espectros dos β-cetosulfetos	101
Tabela 13 - Análogos sulfurados de neolignanas cetônicas 8.O.4	102
Tabela 14 - Dados de RMN de ¹ H (CDCl ₃ , 300 MHz) e ¹³ C (CDCl ₃ , 75 MHz)	
do composto <u>134</u>	118
Tabela 15 - Fragmentação de β-cetosulfonas no EM	
Tabela 16 - Lista de espectros dos β-cetosulfonas	
Tabela 17 - Análogos sulfurados (β-cetosulfonas) de nolignanas 8.O.4′	
Tabela 18 - Absorções no I.V. do sulfóxido <u>131</u> e das sulfonas <u>132</u> - <u>134</u>	
Tabela 19 - Dados de RMN de ¹ H (CDCl ₃ , 300 MHz) e ¹³ C (CDCl ₃ , 75 M	
composto <u>136</u> <i>treo</i>	
Composio <u>100</u> 1100	137

Tabela 20 – Fragmentação de β-hidroxisulfetos no EM	135
Tabela 21– Lista de espectros dos β-hidroxisulfetos	136
Tabela 22 – β-hidroxisulfetos	137
Tabela 23 – Principais fragmentos do composto 138 no EM	145
Tabela 24 - Dados de RMN de ¹ H (CDCl ₃ , 300 MHz) e ¹³ C (CDCl ₃ , ⁷	75 MHz) do
composto <u>138</u> treo	146
Tabela 25 – Valores de rotações específicas dos β-cetosulfetos quirais	sintetizados
análogos de neolignanas 8.O.4′	185
Tabela 26 – Resultados dos ensaios em amastigotas de <i>L. amazonensis</i> e <i>L</i>	donovani z
80 μg/ml	192

Índice de Quadros

Quadro	1		Alguma	s li	gnanas	s cor	n a	tividad	le		biológica
comprovad	la					•••••			••••	••••	7
Quadro 2	- A	Algumas ne	olignana	ıs e sul	bstânci	as correl	latas co	m ativ	ida	de	biológica
comprovad	la					•••••			••••	••••	8
Quadro 3	3 -	Exemplos	de fái	macos	com	centros	assimé	tricos	e	a	atividade
biológica					• • • • • • • • • • • • • • • • • • • •		• • • • • • • • • • • • • • • • • • • •		· • • • • •		149

Índice de Figuras

Figura 1 - Fórmulas estruturais de lignanas
Figura 2 - Fórmulas estruturais de neolignanas
Figura 3 - Estruturas das neolignanas naturais22
Figura 4 - Neolignanas e análogos mais ativos em ensaios de proteção contra
esquistossomose
Figura 5 - Estruturas das drogas de primeira escolha, antimoniais trivalentes e
pentavalentes contra leishmaniose
Figura 6 - Estruturas das drogas de segunda escolha, utilizadas contra
leishmaniose
Figura 7 - Cetonas aromáticas intermediárias sintetizadas
Figura 8 - α-Bromo cetonas intermediárias
Figura 9 - β-cetoéteres sintetizados
Figura 10 - Espectro de RMN de ¹ H do composto <u>98</u> (500 MHz,
CDCl ₃) 58
Figura 11 – Expansão do espectro de RMN de ¹ H referentes aos prótons olefínicos do
C-7´ e C-8´do composto 98 (500 MHz, CDCl ₃ 59
Figura 12 – Espectro de RMN de ¹³ C do composto <u>98</u> (125 MHz,
CDCl ₃)60
Figura 13 - Neolignana <u>98</u> e os valores de deslocamentos de RMN de
¹³ C62
Figura 14 - Exemplos de β-cetoéteres
Figura 15 – Projeções de Newman para os isômeros <i>eritro</i> (<u>I-L</u>) e <i>treo</i> (<u>M</u> -
<u>O</u>)75
Figura 16 - Estruturas dos compostos <u>69</u> <i>eritro</i> e <u>69</u> <i>treo</i>

Figura 17 - Espectro de RMN de ¹ H do composto <u>69</u> (500 MHz, CDCl ₃)
Figura 18 – Expansão do espectro de RMN de ¹ H referentes aos prótons do C-7, C-8, C-
7´ e C-8´ do composto <u>69</u> (500 MHz, CDCl ₃)
Figura 19 - Espectro de RMN de ¹³ C do composto <u>69</u> (125 MHz, CDCl ₃)80
Figura 20 – Neolignanas <u>69</u> eritro e <u>69</u> treo e os valores de deslocamentos de RMN de
¹³ C83
Figura 21 - β-cetosulfetos sintetizados94
Figura 22– Espectro de RMN de ¹ H do composto <u>128</u> (500 MHz,
CDCl ₃)95
Figura 23 – Espectro de RMN de ¹³ C do composto <u>128</u> (500 MHz,
CDCl ₃)96
Figura 24 - Neolignana sulfurada 128 e os valores de deslocamentos de RMN de
¹³ C98
Figura 25 - Espectro de RMN de ¹ H do composto $\underline{131}$ ($\alpha + \beta$) (500 MHz,
CDCl ₃)108
Figura 26 – Expansão do espectro de RMN de ¹ H do composto <u>131</u> ($\alpha + \beta$) (500 MHz,
CDCl ₃)109
Figura 27 – Espectro de RMN de 13 C do composto $\underline{131}$ ($\alpha + \beta$) (125 MHz,
CDCl ₃)110
Figura 28 – Expansão do espectro de RMN de 13 C do composto <u>131</u> ($\alpha + \beta$) (125 MHz,
CDCl ₃)
Figura 29 – Expansão do espectro de RMN de 13 C do composto <u>131</u> ($\alpha + \beta$) (125 MHz,
CDCl ₃)
Figura 30 – Absorção no I.V. do composto <u>131</u> (α + β)
Figura 31 – β-cetosulfonas sintetizadas

Figura 32 – Espectro de RMN de ¹ H do composto <u>134</u> (300 MH	z,
CDCl ₃)11	6
Figura 33 – Espectro de RMN de ¹³ C do composto <u>134</u> (75 MH	z,
CDCl ₃)11	7
Figura 34 – β -CetoSulfona <u>134</u> e os valores de deslocamentos de RMN o	le
¹³ C11	9
Figura 35 – Absorções no I.V. para o β-cetosulfeto <u>127</u> (A), β-cetosulfóxido <u>131</u> (B)	e
3-cetosulfona <u>132</u> (C)12	3
Figura 36 – β-hidroxisulfetos sintetizados12	5
Figura 37 – Cromatograma (CG) da mistura diastereisomérica dos alcoóis <u>136</u> eritro	e
136 treo, obtida através da redução com NaBH412	6
Figura 38 - Espectro de RMN de ¹ H do composto <u>136</u> (300 MH	z,
CDCl ₃)12	7
Figura 39 - Expansão do espectro de RMN de ¹ H do composto <u>136</u> (300 MH	z,
CDCl ₃)12	9
Figura 40 – Espectro de RMN de ¹ H do composto <u>136</u> treo (300 MHz, CDCl ₃	+
D ₂ O)13	0
Figura 41 – Espectro de RMN de ¹³ C do composto <u>136</u> (75 MH	z,
CDCl ₃)13	1
Figura 42 – Expansão do espectro de RMN de ¹³ C do composto <u>136</u> (75 MH	z,
CDCl ₃)13	2
Figura 43 – β-hidroxisulfeto $\underline{136}$ e os valores de deslocamentos de RMN de ¹³	C
CDCl ₃)13	5
Figura 44 – Cromatograma (CG) da mistura diastereisomérica do β-acetoxisulfeto <u>13</u>	8
eritro e <u>138</u> treo14	0
Figura 45 – Espectro de RMN de ¹ H do composto <u>138</u> treo (300 MH	z,
CDCl ₃)14	1
XX	vi

Índice de Esquemas

Esquema 1 - Principais conexões entre o metabolismo primário e secundário	em
plantas	18
Esquema 2 - Rota biossintética de fenilpropanóides	20
Esquema 3 - Estruturas de ressonância de radicais fenilpropanoídicos	21
Esquema 4 - Reações gerais de análogos oxigenados, sulfurados e nitrogenados	24
Esquema 5 – Reações de α-halo cetonas	50
Esquema 6 – Reação de obtenção de neolignanas cetônicas	55
Esquema 7 - Proposta de fragmentação do composto <u>98</u> no EM	63
Esquema 8 – Reação de redução de β-cetoéteres	68
Esquema 9 – Redução estereosseletiva de β-cetoéter	73
Esquema 10 - Redução da cetona com borohidreto de sódio	77
Esquema 11 - Reações de compostos β-cetosulfurados	85
Esquema 12 – Reação de obtenção de β-cetosulfetos	93
Esquema 13 - Proposta de fragmentação do composto <u>128</u> no EM	99
Esquema 14 – Reações de obtenção de sulfóxidos e sulfonas	107
Esquema 15 – Reação de acetilação de obtenção do composto <u>138</u>	.138
Esquema 16 – Classificação de uma síntese orgânica.	.156
Esquema 17 – Produção do ibuprofeno racêmico	.158
Esquema 18 - Produção do ibuprofeno racêmico	.159
Esquema 19 - Exemplo de síntese assimétrica do Ibuprofeno	159
Esquema 20 – Obtenção industrial do captopril	.161
Esquema 21 – Rotas de sínteses enantiosseletivas de cetais	.165
Esquema 22 – Rotas das sínteses enantiosseletivas dos intermediários quirais	.167
Esquema 23 – Racemização da cetona bromada	.170
-	

Esquema 24 - Racemização da α-bromo cetona quiral (S) - $\underline{90}$	171
Esquema 25 - Diastereosseletividade na bromação de (<i>R</i> , <i>R</i> , <i>S</i>)- <u>152</u>	174
Esquema 26 - Sínteses enantiosseletivas de β-cetosulfetos quirais	178
Esquema 27 – Sínteses enantiosseletivas de β-cetosulfetos quirais	179
Esquema 28 – β-Cetosulfetos quirais	180

Índice de Espectros

Espectro	1:	Esp	ectro de RN	IN de	• ¹ H	(300	Mz,	CDCl ₃ ,	t.a.) do	composto
<u>81</u>				•••••	•••••		•••••	•••••		251
Espectro		2:	Espectro) (le	infr	averr	nelho	do	composto
<u>81</u>				•••••	•••••					252
Espectro		3:	Espectro	de	;	massa	as	(EM)	do	composto
<u>81</u>				•••••						253
Espectro	4:	Esp	ectro de RN	IN de	e ¹H	(300	Mz,	CDCl ₃ ,	t.a.) do	composto
<u>82</u>	••••		•••••	•••••	•••••		•••••	•••••	•••••	254
Espectro	;	5:	Espectro	de	ma	ıssas	de	(EM)	do	composto
<u>82</u>				•••••	•••••		•••••			255
Espectro	6:	Esp	ectro de RN	IN de	e ¹ H	(300	Mz,	CDCl ₃ ,	t.a.) do	composto
<u>83</u>	••••		•••••	•••••	•••••			• • • • • • • • • • • • • • • • • • • •	•••••	256
Espectro		7:	Espectro		le	infr	averr	nelho	do	composto
<u>86</u>	••••		•••••	•••••	•••••			• • • • • • • • • • • • • • • • • • • •	•••••	257
Espectro		8:	Espectro	de	;	massa	as	(EM)	do	composto
<u>86</u>				•••••	•••••			•••••	•••••	258
Espectro	9:	esp	ectro de RM	IN de	¹ H	(300	Mz,	CDCl ₃ ,	t.a.) do	composto
<u>87</u>				•••••	•••••			•••••	•••••	259
Espectro		10:	Espectr	0	de	infı	raveri	melho	do	composto
<u>87</u>				•••••	•••••		•••••			260
Espectro		11:	Espectro	d	e	mass	as	(EM)	do	composto
<u>87</u>				•••••	•••••					261
Espectro	12	: esp	pectro de RI	MN d	e ¹ F	H (300	Mz,	CDCl ₃ ,	t.a.) do	composto
88										262

_		Espectro					_
Espectro 1	14: espec	tro de RMN	de ¹ H	(300 Mz,	CDCl ₃ ,	t.a.) do	composto
<u>89</u>			•••••		•••••	•••••	264
Espectro	15:	Espectro	de	infraverr	nelho	do	composto
<u>89</u>			•••••		•••••	•••••	265
Espectro	16:	Espectro	de	massas	(EM)	do	composto
<u>89</u>		•••••	•••••	•••••	•••••	•••••	266
Espectro 1	17: espec	tro de RMN	de ¹ H	(300 Mz,	CDCl ₃ ,	t.a.) do	composto
<u>90</u>						•••••	267
Espectro	18:	Espectro	de	infraverr	nelho	do	composto
<u>90</u>							268
Espectro	19:	Espectro	de	massas	(EM)	do	composto
<u>90</u>		• • • • • • • • • • • • • • • • • • • •					269
Espectr	o 20: espe	ectro de RMN	l de ¹ H	(500 Mz, C	CDCl ₃ , t.	a.) do co	omposto
<u>94</u>						••••	270
Espectro	o 21: espe	ctro de RMN	de ¹³ C	(125 Mz, C	CDCl ₃ , t	.a.) do co	omposto
<u>94</u>	_					•••••	271
		Espec					composto
_							-
		Espec					
		Espectro					
_							-
		Espectro o					
_							_

Lspectro	26:	espectro	de RMN	I de '	H (300	Mz,	$CDCl_3$,	t.a.) d	o composto
<u>95</u>	•••••	•••••	•••••	•••••		• • • • • • • •	• • • • • • • • • • • • • • • • • • • •		276
Espectro	27:	espectro	de RMN	N de	13 C (75)	Mz,	CDCl ₃ ,	t.a.) de	o composto
<u>95</u>				•••••		• • • • • • • •			277
Espectro		28:	Espe	ectro	Dl	EPT	Ċ	lo	composto
<u>95</u>			•••••	•••••		• • • • • • • •			278
Espectro	2	29: I	Espectro	de	infra	avern	nelho	do	composto
<u>95</u>				•••••		• • • • • • • •			279
Espectro	3	0: Es	pectro	de	massas	(E	EMAR)	do	composto
<u>95</u>				•••••		• • • • • • • •			280
Espectro	31:	espectro	de RMN	V de 1	H (500	Mz,	CDCl ₃ ,	t.a.) d	o composto
<u>96</u>				•••••		• • • • • • • •			281
Espectro	32:	Espectro	de RMN	V de 1	³ C (125	Mz,	CDCl ₃ ,	t.a.) d	o composto
<u>96</u>				• • • • • • • • •		• • • • • • •			282
Espectro		33:	Espe	ctro	gC	OSY	(do	composto
_			-		_				composto283
<u>96</u>	•••••	•••••		•••••		•••••	•••••	•••••	283
96 Espectro		34: I	Espectro	de	infra	avern	nelho	do	283 composto
9 <u>6</u> Espectro <u>96</u>	3	34: I	Espectro	de	infra	avern	nelho	do	283 composto284
96 Espectro 96 Espectro	3:	34: I 5: Es	Espectro	de	infra	avern (E	nelho	do	283 composto284 composto
96 Espectro 96 Espectro 96	3.	34: I 5: Es	Espectro	de de	infra	(E	nelho EMAR)	do do	283 composto284 composto285
96 Espectro 96 Espectro 96	36:	34: I 5: Es	Espectro pectro de RMN	de de N de	infra massas	(E	elho EMAR) CDCl ₃ ,	do do t.a.) de	283 composto284 composto285 o composto
96 Espectro 96 Espectro 96 Espectro	36:	34: Espectro	Espectro pectro de RMI	de de N de	infra massas	(E	melho EMAR) CDCl ₃ ,	do do t.a.) d	283 composto284 composto285 o composto286
96	36: 37:	34: If the second secon	Espectro pectro de RMN de RMN	de de N de	infra massas ¹ H (500	Mz,	cDCl ₃ ,	do do t.a.) de	283 composto284 composto285 o composto286 o composto
96 Espectro 96 Espectro 96 Espectro 97 Espectro	36: 37:	34: If 5: Espectro	Espectro pectro de RMN de RMN	de de N de	infra massas ¹ H (500	Mz,	CDCl ₃ ,	do do t.a.) de	283 composto284 composto285 o composto286

_		Espectro					_
Espectro	40:	Espectro	de	massas	(EMAR) do	composto
Espectro	41: Espe	ectro de RM	N de 1	H (500]	Mz, CDCl	3, t.a.) d	lo composto
Espectro	42: Espe	ectro de RM	N de ¹³	C (125	Mz, CDCl	3, t.a.) d	lo composto
Espectro	43	: Espe	ectro	gCO	OSY	do	composto
Espectro	44	: Esp	ectro	HS	QC	do	composto
Espectro	45:	Espectro	de	infra	vermelho	do	composto
Espectro	46:	Espectro	de	massas	(EMAR) do	composto
Espectro	47: Espe	ectro de RM	N de 1	H (500]	Mz, CDCl	3, t.a.) d	lo composto
Espectro	48: Espe	ctro de RM	N de ¹³	C (125	Mz, CDCl	3, t.a.) d	lo composto
Espectro	49	Esp	ectro	DE	EPT	do	composto
Espectro	50:	Espectro	de	infra	vermelho	do	composto
Espectro	51:	Espectro	de	massas	(EMAR) do	composto

Espectro	52: Especti	ro de RMN	de ¹ H (30	00 Mz,	CDCl ₃ ,	t.a.) do	composto
<u>123</u>				•••••		•••••	302
Espectro	53: Espect	ro de RMN	de ¹³ C (7	75 Mz,	CDCl ₃ ,	t.a.) do	composto
<u>123</u>				•••••	•••••	•••••	303
Espectro	54:	Espec	tro	DEPT	d	o	composto
<u>123</u>				•••••			304
Espectro	55:	Espectro	de ir	ıfraverm	nelho	do	composto
<u>123</u>							305
Espectro	56: E	spectro d	e mass	as (E	MAR)	do	composto
<u>123</u>			•••••				306
Espectro	57: Especta	ro de RMN	de ¹ H (50	00 Mz,	CDCl ₃ ,	t.a.) do	composto
<u>124</u>			•••••				307
Espectro	58: Especti	ro de RMN	de ¹³ C (1	25 Mz,	CDCl ₃ ,	t.a.) do	o composto
<u>124</u>			•••••				308
Espectro	59:	Espect	ro g	gCOSY	d	lo	composto
<u>124</u>			•••••				309
Espectro	60:	Espectro	de ir	ıfraverm	nelho	do	composto
<u>124</u>		•••••	•••••				310
Espectro	61: E	spectro d	e mass	as (E	MAR)	do	composto
<u>124</u>							311
Espectro	62: Espect	ro de RMN	de ¹ H (30	00 Mz,	CDCl ₃ ,	t.a.) do	o composto
<u>125</u>							312
·		ro de RMN					
<u>125</u>	-						313
Espectro	64:	Espect	ro g	gCOSY	d	lo	composto

Espectro	65:	Espectro	de	infrav	ermelho	do	composto
<u>125</u>	•••••	•••••		• • • • • • • • • • • • • • • • • • • •	•••••	•••••	315
Espectro	66:	Espectro	de	massas	(EMAR)	do	composto
<u>125</u>							316
Espectro	67: Espe	ectro de RM	IN de ¹ I	H (300 M	Iz, CDCl ₃	, t.a.) do	composto
<u>126</u>	•••••						317
Espectro	68: Espe	ectro de RM	IN de 13	³ C (75 M	Iz, CDCl ₃	, t.a.) do	composto
<u>126</u>	-	••••					318
Espectro	69	est.	ectro	DEI	PT .	do	composto
<u>126</u>					•••••		319
		: Espe					
_							-
		Espectro					
_							-
		Espectro					
_							-
		ectro de RM					
_	_	••••					_
		ectro de RM					
_	_						_
		5: Esp					
_							_
		Esp					
		': Esp					
_		: Esp					-
1 <i>41</i>							<i>541</i>

Espectro	,	78:	Espec	etro	de	e ir	ıfrave	rmelho	do		composto
<u>127</u>	•••••	•••••	•••••	•••••	• • • • • • •		•••••	•••••	•••••	• • • • • • •	328
Espectro	7	9:	Especti	0	de	mass	as	(EMAR	R) de	O	composto
<u>127</u>				•••••					•••••	•••••	329
Espectro	80:	Espec	tro de	RMN	V de	¹ H (50	00 M	z, CDC	l ₃ , t.a.)	do	composto
<u>58</u>				• • • • • • • •						• • • • • • •	330
 Espectro	81:	Espec	etro de	RMI	N de	¹³ C (7	75 Mz	z, CDC	l ₃ , t.a.)	do	composto
<u>58</u>		_									_
 Espectro											
<u>5</u>				_							=
<u>-</u> Espectro											
_			-								-
<u>58</u>											
Espectro 50			-								-
<u>58</u>						_					
Espectro		-									-
<u>128</u>											
Espectro	86:	Espec	tro de	RMN	I de	13 C (1)	25 M	z, CDC	$l_3, t.a.$	do	composto
<u>128</u>	•••••	•••••	•••••	•••••	• • • • • • • • • • • • • • • • • • • •		•••••	•••••	•••••	•••••	336
Espectro		87:		Espe	ectro		DEP	Γ	do		composto
<u>128</u>	•••••		•••••	• • • • • • • •	• • • • • • •		•••••	•••••	•••••	•••••	337
Espectro		88:		Espe	ctro	٤	gCOS	Y	do		composto
<u>128</u>	•••••		•••••	• • • • • • • • • • • • • • • • • • • •				•••••	•••••	•••••	338
Espectro											
<u>128</u>				_							_
— Espectro											
.	_		I	-				·	,		1

Espectro	91:]	Espect	tro de	RMN	I de	¹ H ((300	Mz,	CDC	l_3 , t.	.a.)	do	composto
<u>129</u>		•••••	•••••			• • • • • •	• • • • • •		•••••	•••••		••••	341
Espectro	92:]	Espect	ro de	RMN	l de	¹³ C	(125	Mz,	CDC	l ₃ , t.	.a.)	do	composto
<u>129</u>		•••••	•••••			• • • • • • •	• • • • • • •	•••••	•••••		•••••	••••	342
Espectro		93:		Espe	ctro		D	EPT		do			composto
<u>129</u>		•••••	•••••	•••••		• • • • • • •	• • • • • • •		•••••		•••••	••••	343
Espectro		94:	E	spectre	O	in	frave	rmel	ho	d	o		composto
<u>129</u>		•••••	•••••			• • • • • •	• • • • • • •		•••••	•••••		••••	344
Espectro	9	5:	Espec	ctro	de	n	nassa	ıs	(EM))	do		composto
<u>129</u>			•••••			• • • • • • •	• • • • • • •		•••••		•••••	••••	345
Espectro	96:]	Espect	tro de	RMN	l de	¹ H ((300	Mz,	CDC	l ₃ , t.	.a.)	do	composto
<u>130</u>						• • • • • • •			•••••			••••	346
Espectro	97:	Espec	tro de	RMN	N de	¹³ C	(75	Mz,	CDCl	l ₃ , t.	a.)	do	composto
<u>130</u>			•••••			• • • • • • •	• • • • • • •		•••••		•••••	••••	347
Espectro		98:		Espe	ectro		A	PT		do			composto
<u>130</u>		•••••	•••••			• • • • • • •	• • • • • • •	•••••	•••••		•••••	••••	348
Espectro		99:		Espec	etro		gC	OSY		do			composto
<u>130</u>		•••••				• • • • • • •			•••••		•••••		349
Espectro		100:	I	Especti	O	in	frave	erme	lho	d	lo		composto
<u>130</u>						• • • • • • •			•••••			••••	350
Espectro	10)1:	Espec	etro	de	ma	assas	(I	EMAF	R)	do		composto
<u>130</u>		•••••	•••••			• • • • • • •			•••••	•••••		••••	351
Espectro	102:	Espec	ctro d	e RM	N de	¹ H	(500	Mz,	CDC	l ₃ , t	.a.)	do	composto
<u>131</u>						• • • • • •	• • • • • •		•••••	•••••		••••	352
Espectro	103:	Espec	etro d	e RM	N de	¹³ C	(125	Mz,	CDC	l ₃ , t	.a.)	do	composto
131													353

Espectro	104:	Espectro	DEPT	do	composto
<u>131</u>	•••••		•••••		354
Espectro	105:	Espectro	gCOSY	do	composto
<u>131</u>					355
Espectro	106:	Espectro	HSQC	do	composto
<u> 131</u>		_			356
			infravermelho		
_		_			_
			massas (EM		
_	•	-			-
			¹ H (300 Mz, C		
_	_				_
			¹³ C (125 Mz, C		
_	_				_
			gCOSY		
_		_			_
			infravermelho		
			massas (EM		
			¹ H (300 Mz, C		
_	-				-
			infravermelho		
_		-			-
_		-	e massas		-
					100

Espectro	117: Espec	etro de RMN	V de 1	H (300 M	Iz, CDCl ₃	, t.a.)	do composto
<u>134</u>	•••••	•••••	•••••	• • • • • • • • • • • • • • • • • • • •	• • • • • • • • • • • • • • • • • • • •	•••••	367
Espectro	118: Espec	ctro de RMN	I de 13	³ C (125 M	Iz, CDCl ₃	s, t.a.)	do composto
<u>134</u>	•••••	•••••	•••••	• • • • • • • • • • • • • • • • • • • •	• • • • • • • • • • • • • • • • • • • •	•••••	368
_		_		_			composto
<u>134</u>		•••••	•••••	•••••	•••••		369
Espectro	120:	Espe	ctro	HSQ	QC	do	composto
<u>134</u>		•••••	•••••			•••••	370
Espectro	121:	Espectr	0	infraverr	nelho	do	composto
<u>134</u>		•••••	•••••	•••••	•••••	•••••	371
Espectro	122:	Espectro	de	massas	(EMAR)	do	composto
<u>134</u>		•••••	•••••	•••••	•••••	•••••	372
Espectro	123: Espec	ctro de RMN	V de 1	H (500 M	Iz, CDCl ₃	, t.a.)	do composto
<u>69</u>		•••••		•••••	•••••	•••••	373
Espectro	124: Espec	ctro de RMN	I de 13	3 C (125 M	Iz, CDCl ₃	s, t.a.)	do composto
<u>69</u>		•••••	•••••	•••••	•••••	•••••	374
Espectro	125	Espe	ectro	DEI	PT	do	composto
<u>69</u>		•••••	•••••			•••••	375
Espectro	126:	Espe	etro	gCO	SY	do	composto
<u>69</u>	•••••	•••••	•••••	• • • • • • • • • • • • • • • • • • • •	• • • • • • • • • • • • • • • • • • • •		376
Espectro	127:	Espe	ctro	HSQ	QC	do	composto
<u>69</u>	•••••	•••••	•••••	• • • • • • • • • • • • • • • • • • • •	•••••		377
Espectro	128:	Espectro	de	infrav	ermelho	do	composto
<u>69</u>	•••••	•••••	•••••	• • • • • • • • • • • • • • • • • • • •	• • • • • • • • • • • • • • • • • • • •		378
Espectro	129:	Espectro	de	massas	(EM)	do	composto
<u>69</u>					•••••		379

Espectro	130: Espect	tro de RMN	de ¹ H	(300 Mz,	CDCl ₃ , t.	.a.) do	composto
<u>135</u>			•••••	• • • • • • • • • • • • • • • • • • • •		•••••	380
Espectro	131: Espect	tro de RMN	de ¹³ (C (75 Mz,	CDCl ₃ , t.	a.) do	composto
<u>135</u>				•••••	•••••	•••••	381
Espectro	132:	Espec	tro	DEPT	do		composto
<u>135</u>				• • • • • • • • • • • • • • • • • • • •		•••••	382
Espectro	133:	Espectro	de	infraverm	nelho	do	composto
<u>135</u>				• • • • • • • • • • • • • • • • • • • •		•••••	383
Espectro	134: Especti	ro de massas	(EMA	R) do comp	osto		
<u>135</u>						• • • • • • • • • • • • • • • • • • • •	384
Espectro	135: Espect	ro de RMN	de ¹ H	(300 Mz,	CDCl ₃ , t	a.) do	composto
<u>136</u>				•••••		••••	385
Espectro	136: Espect	tro de RMN	de ¹³ (C (75 Mz,	CDCl ₃ , t.	a.) do	composto
_	-						-
		Espec					
_							_
		Espectro					
_							-
		ro de massas					
	-			_			389
		ro de RMN					
_	•				_	•	•
		tro de RMN					
•	•			•		•	•
<u> </u>			• • • • • • • • • •		• • • • • • • • • • • • • • • • • • • •	• • • • • • • • • • •	

-		Espec				•
Espectro	143:	Espec	etro	HSQC	do	composto
Espectro	144:	Espectro	de	infravermel	ho do	composto
Espectro	145: Es _j	pectro de	massa	s (EMAR)	do com	posto <u>137</u> .
Espectro <u>138</u>	146: Espect	tro de RMN	de ¹ H	(300 Mz, CI	OCl ₃ , t.a.) o	do composto396
Espectro	148: Espectro		etro	DEPT	do	composto
Espectro	149:	Espectro		gCOSY	do	composto
_		-		infravermel		-
_		_		massas		_

1. Introdução

1.1. Definições

Lignóides são micromoléculas cujo esqueleto carbônico é formado, quase exclusivamente, pelo acoplamento de duas unidades fenilpropânicas (C₆.C₃)_n, onde n e' limitado a poucas unidades. Sua ocorrência na natureza se limita a plantas vasculares que possuem os tecidos enriquecidos por ligninas, macromoléculas dotadas de esqueleto $(C_6.C_3)_n$, n abrangendo usualmente muitas unidades, de duas até talvez cinco mil. A biossíntese de lignóides e ligninas envolve metabólicos primários finais da via metabólica do chiquimato: ácidos cinâmicos → propenilfenóis → alilfenóis. A grande maioria dos lignóides pertence ao grupo das lignanas, derivadas pela condensação oxidativa de alcoóis cinamílicos entre si ou com ácidos cinâmicos, e das neolignanas derivadas da condensação oxidativa de alilfenóis e propenilfenóis entre si ou cruzada. Os carbonos γ das cadeias em C₃ são, por isto, oxigenados nas lignanas e não oxigenadas nas neolignanas. Dímeros naturais em que um dos carbonos y das cadeias propílicas é oxidado e o outro não são extremamente raros e não indicam necessariamente a ocorrência de acoplamento cruzado entre alil ou propenilfenóis com alcoóis cinamílicos ou ácidos cinâmicos. Tais substâncias poderiam ser formadas por oxidação seletiva de uma neolignana ou redução seletiva de uma lignana.

¹ Gottlieb, O. R.; Yoshida, M.; *Química Nova* **1984**, 7, 250-273.

A designação "lignana" foi introduzida por Haworth² e aplicadas a produtos vegetais baseados em esqueletos carbônicos em que, duas unidades n-propenilbenzênicas (C_6 . C_3) são ligadas pelo carbono- β de suas cadeias laterais (C_3).

Por volta de 1940, quando se publicou essa definição, praticamente todos os bis-fenilpropanóides eram variantes estruturais apenas de esqueletos formados através dessa união β - β ' (8.8'). Desde então, reconheceu-se a existência de muitos esqueletos adicionais com uniões as mais diversas entre as duas unidades, tornando a antiga definição obsoleta.

Em conseqüência aparecem três propostas sugerindo: 1. Estender a todos os dímeros em (C₆.C₃) o termo coletivo lignanas; 2. Aceitar esta sugestão, excetuando apenas *p*-alilfenóis para os quais se reservaria o nome de neolignanas; 4 ou 3. Manter a definição de Haworth e chamar os dímeros isentos de ligação Cβ-Cβ′ de neolignanas. 5 Apenas a terceira destas alternativas logrou alguma aceitação, agradando aos químicos orgânicos de síntese, 6 que se preocupam sobretudo com características estruturais diferenciadoras. Para o químico de produtos naturais, no entanto, preocupado antes de tudo com correlações ocorrência *versus* estrutura, definições estruturais são menos informativas, além de artificiais. Foi por isto que, por exemplo, no campo dos terpenóides a chamada "regra do isopreno". 7

-

² Haworth, R. D.; *J. Chem. Soc.* **1942**, 448.

³ Mc Credie, R.S.; Ritchie; Taylor W.C.; Austral. J. Chem. **1969**, 22, 1011.

⁴ Weinges, K.; Nader F.; Künstler K.; "Chemistry of Lignans"; C. B. S. Rao Ed.; Andhra University Press, **1978**, pág. 2.

⁵ a)Gottlieb, O. R.; *Phytochemistry* **1972**, *11*, 1537. b) Gottlieb, O. R. *Rev. Latinoamer. Quim.* **1976**, *5*, 1.

⁶ Ward, R. S.; *Chem. Ver.*; **1982**, 11, 75.

⁷ Geissman, T. A.; Crout, D. H. G.; "Organic Chemistry of Secondary Plant Metabolism"; Freeman, Cooper & Co; San Francisco, **1969**, pág. 236.

No campo dos lignóides foi a crescente compreensão da distribuição diferencial de álcool cinamílico e ácido cinâmico versus derivados de propenilfenóis e alilfenóis que evidenciou certo grau de independência biossintética dos dois grupos de substâncias em (C₆.C₃), que são por isto convenientemente designados por termos diferentes, conforme explanado no início.

Já que a maioria das neolignanas de Haworth pertence ao primeiro grupo, é este termo mantido para os derivados do acoplamento oxidativo de alcoóis cinamílicos e/ou ácidos cinâmicos. O termo neolignana designa derivados do acoplamento oxidativo de propenilfenóis e alilfenóis.⁸

Lignanas e Neolignanas são dímeros oxidativos. Designam-se sesquilignanas e sesquineolignanas os trímeros e assim por diante, em analogia com a nomenclatura dos terpenóides. Todas estas substâncias são homolignóides, formados com exclusividade por unidades $(C_6.C_3)$, em oposição aos heterolignóides em cuja biossíntese contribuem ainda outros grupos tais como flavonóides levando aos flavolignóides, ou xantonas que, levam aos xantolignóides.

⁸ a) Gottlieb, O. R.; *Prog. Chem. Org. Nat. Prod* **1978**, *35*,1. b) Gomes C. M. R.; Gottlieb, O. R.; Young, M. C. M.; *Rev. Latinoamer. Quim.* **1978**, *9*, 1.

1.2. Atividade Biológica

Entre os mais importantes grupos de metabolismo secundário vegetal citam-se os alcalóides, terpenóides e flavonóides. Os lignóides também ocupam um lugar de destaque, pois são de utilidade para as plantas que as produzem, assim como para o homem que as extrai ou sintetiza. Com respeito às plantas terrestres, a fitoquímica comparada evidencia que lignóides desempenham um papel em adaptação ecológica. Não surpreende assim a descoberta, que lignanas são acumuladas em madeira como resposta ao ferimento mecânico, invasão por fungos ou bactérias. 10

Há evidência concreta que inoculação por microorganismos produz um aumento de atividade de peroxidase e polifenoloxidase de folhas. Este fato foi evidenciado para o caso da ferrugem do café. Pode se esperar, em consequência, um incremento da biossíntese de lignanas e ligninas, o que, se comprovado, substanciaria a hipótese de que também estas últimas integram o sistema de defesa vegetal contra seus predadores.

Com respeito à utilidade dos lignóides para o homem, obtém-se dos dados dos **quadros 1** e **2**, uma idéia de amplitude do seu espectro de ação, mas não do seu impacto em terapêutica moderna. Uma droga derivada de um arbusto do Himalaia, *Podophyllum emodi*, foi utilizada em casos de doenças

⁹ a) Gottlieb, O. R.; "Micromolecular Evolution, Systematics and Ecology, An Essay in a Novel Botanical Discipline"; Springer-Verlag, Heidelberg, **1982**. b) Gottlieb, O. R.; *Anais Acad.Brasil Ciênc*. **1984**, *56*, 43.

¹⁰ Chen, C.L.; Chang, H. M.; Cowling E. B.; Hsu, C. Y. H.; Gates, R.P.; *Phytochemistry* **1976**, *56*, 1161.

¹¹ Maxemiuc-Naccache, V.; Tese de Doutorado, 1983.

malignas na Índia por mais de dois mil anos,¹² enquanto preparos da raiz da mandrágora, *P. peltatum*, serviram no tratamento popular de verrugas venéreas na América do Norte por mais de 40 anos.¹³ Investigando estes usos Hartwell obteve três lignanas ativas, podofilotoxina $\underline{\mathbf{1}}$, α-peltatina $\underline{\mathbf{2}}$ e β-peltatina $\underline{\mathbf{3}}$, e em consequência o "may-apple" é hoje cultivado com fins extrativistas.¹⁴

Este sucesso, publicado em 1947,¹⁵ foi responsável pela consideração séria de produtos vegetais como anticancerígenos potenciais quando o Cancer Chemotherapy National Service Center, hoje National Cancer Institute, U.S.A., começou avaliar plantas em escala mundial em 1957.¹⁶

Conhecem-se hoje muitas substâncias anticancerígenas pertencentes a diferentes grupos biossintéticos: terpenóides como monoterpenos (iridóides), sesquiterpenos (germacranolidos, eremanolidos, tricotecanos), diterpenos (tripolidos, taxol, jatrofona, forbóis), triterpenos (quassinóides, maiteninas, cucurbitacinas, witaferinas, cardenolidos); alcalóides (pirrolizidinas, isoquinolinas, benzofenantridinas, berberinas, indóis, bisindóis, camptotecina, cefalotaxinas, maitasinóides). Significantemente, entre estes há ao lado dos bisindóis vincaleucoblastina (VLB) e leurocristina (VCR), os dois mais importantes agentes antitumorais de plantas em uso clínico corrente, dois derivados de podofilotoxina produzidos pela Sandoz. 12 Outros dois derivados, os etenil (VM-26) etilideno (VP-213) β-D-glucosídeos de 4´-desmetilepipodofilotoxina, são de interesse clínico. VM-26 é ativo contra doença de

¹² Jewers, K.; Manchands, A. H.; Rose, H. M.; "Progress in Medicinal Chemistry"; E. P. Ellis e E. B. West Eds., Butterworths, London, **1971**, pág. 33.

¹³ Anônimo, *Chemistry in Britain* **1981**, *17*, 68.

¹⁴ Meyer, W.; *Economic Botany* **1974**, 28, 68.

¹⁵ Hartwell, J. L.; Schaer, M. J. *Cancer Res.* **1947**, *7*, 416.

¹⁶ Cordell, G. A.; *Progress in Phytochemistry* **1979**, 5, 273.

Hodgkin e sarcoma celular do retículo. Ambos mostraram respostas significativas em leucemia monocítica. Finalmente vepesido (VP-16-213), mais outro derivado semissintético da podofilotoxina, é manufaturado pela Mead Johnson. Vepesido é licenciado para o tratamento de um tipo particular de câncer de pulmão, conhecido como carcinoma bronquial de pequenas células e do câncer testicular resistente.

A droga é descrita como a mais ativa até hoje testada, sendo seus efeitos terapêuticos semelhantes aos da radiação ionizante. Aliás, o ácido nordiidroguaiarético 14 (Quadro 2), em tempos passados também utilizado em terapia do câncer, foi descrito como o mais poderoso antimetabólito do câncer *in vitro*. A substância possui atividade farmacológica antimicrobiana e bioquímica surpreendentemente variada, e serviu durante dezena de anos como antioxidante adicionado a alimentos.¹⁷

¹⁷ Oliveto, E. P.; *Chem. Ind.* **1977**, 677.

Quadro 1 - Algumas lignanas com atividade biológica comprovada (Figura 1).¹

LIGNANAS	FÓRMULAS	ATIVIDADES*	ESPÉCIE	FAMÍLIA
podofilotoxina	<u>1</u>	antimicótico	Podophyllum emodi, P. peltatum	Berberidaceae
		antineoplásico	Juniperus chinensis, J. virginiana	Cupreassceae
			Linum album	Linaceae
α-peltatina	<u>2</u>	antineoplásico	Asarum canadense	Aristolochiaceae
β-peltatina	<u>3</u>	antineoplásico	Dophylleia cymosa, P. peltatum	Berberidaceae
			Linum album	Linaceae
justicidina-A	4	ictiotóxico	Justicia hayatai	Acanthaceae
justicidina-B	<u>5</u>	ictiotóxico	Justicia hayatai	Acanthaceae
esteganacina	<u>6</u>	antileucêmico anticarcinoma da nasofaringe	Steganataenia araliacea	Apiaceae
esteganagina	<u>7</u>	antineoplásico	Steganataenia araliacea	Apiaceae
esteganona	<u>8</u>	antileucêmico	Steganataenia araliacea	Apiaceae
sesamina	<u>9</u>	sinergístico de inseticidas	Sesamum ssp.	Pedaliaceae
cobusina	<u>10</u>	inibidor de crescimento de <i>Bombyx mori</i>	Magnolia kobus	Magnoliaceae
cubebina	<u>11</u>	antisséptico urinário	Piper cubeba	Piperaceae
hordatina	<u>12</u>	antifúngico	Sesamum ssp.	Poaceae

Quadro 2 - Algumas neolignanas e substâncias correlatas com atividade biológica comprovada (Figura 2).1

NEOLIGNANAS	FÓRMULAS	ATIVIDADES	ESPÉCIE	FAMÍLIA
ácido diidroguaiarético	<u>13</u>	antissifilítico	Guaiacum officinale	Zygophyllacea
		antimicrobiano		
ácido nor-diidroguaiarético	<u>14</u>	antioxidante	Larrea cuneifolia	Zygophyllacea
		inibidor de oxidases	L. divaricata	
		antitumoral	L. nitida	
		antifúngico	L. tridantata	
(-)-nor-isoguaiacina	<u>15</u>	antimicrobiano	Larrea divaricata	Zygophyllacea
		inibidor de oxidases		
(-)-otobaina	<u>16</u>	antifúngico	Dyalanterya otoba	Myristicaceae
magnoshinina	<u>17</u>	antinflamatório	Magnolia salicifolia	
magnolol	<u>18</u>	sedativo	Magnolia officinale	Magnoliaceae
honokiol	<u>19</u>	relaxante muscular	Magnolia obovata	Magnoliaceae
		anticariogênico		
könokiol	<u>20</u>	relaxante muscular	Magnolia officinale	Magnoliaceae
randainol	<u>21</u>	depressor do SNC	Sassafras taiwanensis	Lauraceae
megafona	22	citotóxico	Aniba megaphylla	Lauraceae
acetato de megafona	23	citotóxico	Aniba megaphylla	Lauraceae
acetato de megafilona	24	citotóxico	Aniba megaphylla	Lauraceae
obovatol	<u>25</u>	antibacteriano	Magnolia obovata	Magnoliaceae

Quadro 2 (cont.) - Algumas neolignanas e substâncias correlatas com atividade biológica comprovada (Figuras 3 e 4).

NEOLIGNANAS	FÓRMULAS	ATIVIDADES	ESPÉCIE	FAMÍLIA
Virolina	<u>27</u>	antiblástico	Virola surinamensis	Myristicaceae
surinamensina	<u>28</u>	cercaricida	Virola surinamensis	Myristicaceae
uma neolignana 8.O.4´	<u>29</u>	antiblástico	Ratania radix	Krameriaceae
rataniafenol II	<u>30</u>	filtrante de UV	Krameria triandra	Krameriaceae
neolignana benzofurânica	<u>31</u>	antibacteriano	Ratania radix	Krameriaceae
licarina-A	32	citotóxico	Nectandra rigida	Lauraceae
5´-metoxidesidrodiisoeugenol	<u>33</u>	anticariogênico	Myristica fragans	Myristicaceae
burchelina	34	anti-PAF	Aniba affinis	Lauraceae
piperenona	<u>35</u>	antialimentar de	Piper cubeba	Piperaceae
		Spodoptera litura		
kadsurenona	<u>36</u>	anti-PAF	Piper cubeba	Piperaceae
crisofilina-A	<u>37</u>	anti-PAF	Licaria crysophylla	Lauraceae
galgravina	38	anti-PAF	Galbulimina belgraveana	Himantandraceae
magnosalicina	<u>39</u>	inibidor de histamina	Magnolia salicifolia	Magnoliaceae
(+)-wuweizisu-C	<u>40</u>	antihepatotóxico antiúlcera	Kadsura longipenduculata	Magnoliaceae
kadsurina	<u>41</u>	estimulante do SNC	Kadsura japonica	Magnoliaceae
gomisina-A	42	anti-hepatotóxico	Schizandra chinensis	Schizandraceae
gomisina-J	<u>43</u>	anti-pirético	Schizandra chinensis	Schizandraceae
kadsurenina	44	estimulante do SNC	Kadsura japonica	Magnoliaceae

Quadro 2 (cont.) - Algumas neolignanas e substâncias correlatas com atividade biológica comprovada (**Figuras 4** e **5**).

NEOLIGNANAS	FÓRMULAS	ATIVIDADES	ESPÉCIE	FAMÍLIA
esquizandrina	<u>45</u>	psicotrópico	Schizandra chinensis	Schizandraceae
esquizandrol	<u>46</u>	psicotrópico	Schizandra chinensis	Schizandraceae
desoxiesquizandrina	<u>47</u>	anti-hepatotóxico	Schizandra chinensis	Schizandraceae
v-esquizandrina	<u>48</u>	anti-hepatotóxico	Schizandra chinensis	Schizandraceae
esquizanterina-A	<u>49</u>	anti-hepatotóxico	Schizandra chinensis	Schizandraceae
esquizanterina-B	<u>50</u>	anti-hepatotóxico	Schizandra chinensis	Schizandraceae
esquizanterina-C	<u>51</u>	anti-hepatotóxico	Schizandra chinensis	Schizandraceae
esquizanterina-D	<u>52</u>	anti-hepatotóxico	Schizandra chinensis	Schizandraceae
asatona	<u>53</u>	antileucêmico	Asarum canadense	Aristolochiaceae
cis-hinokinoresinol	<u>54</u>	inibidor de CAMP	Anmahrrena asphodaloides	
		fosfodiesterase		
manassantina-A	<u>55</u>	neuroléptico	Saururus cernuus	Saururaceae
manassantina-B	<u>56</u>	neuroléptico	Saururus cernuus	Saururaceae
saucernol	<u>57</u>	neuroléptico	Saururus cernuus	Saururaceae
LS-S1	<u>58</u>	anti-PAF	neolignana sintética	
		antileishmaniose		
LB-1-OL	<u>59</u>	cercaricida	neolignana sintética	
LS-5	<u>60</u>	antifúngico	neolignana sintética	análogo à virolina 27
extrato c/ a substância	<u>61</u>	narcótico	Myristica fragans	Myristicaceae

Figura 1 - Fórmulas estruturais de lignanas.

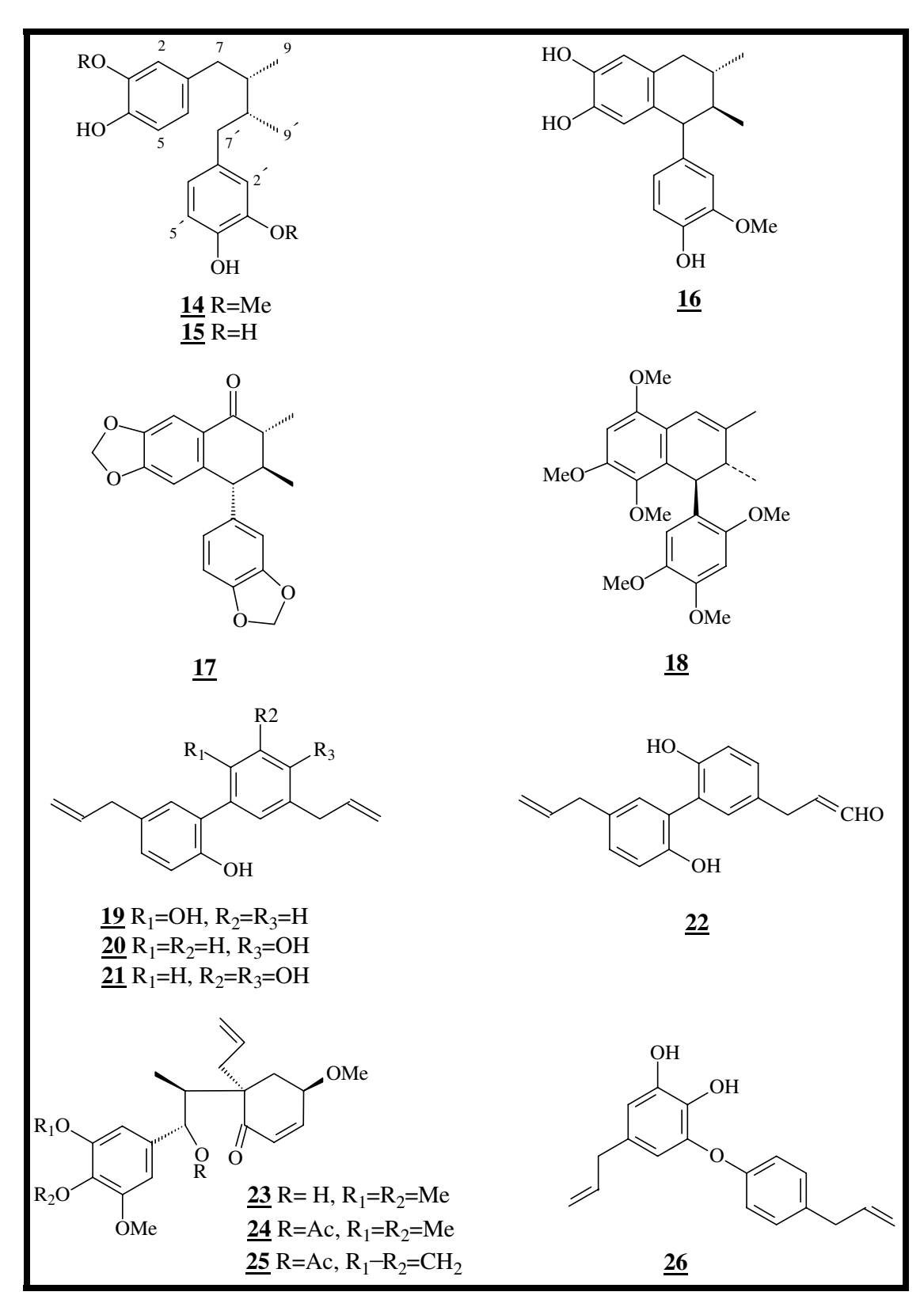


Figura 2 - Fórmulas estruturais de neolignanas.

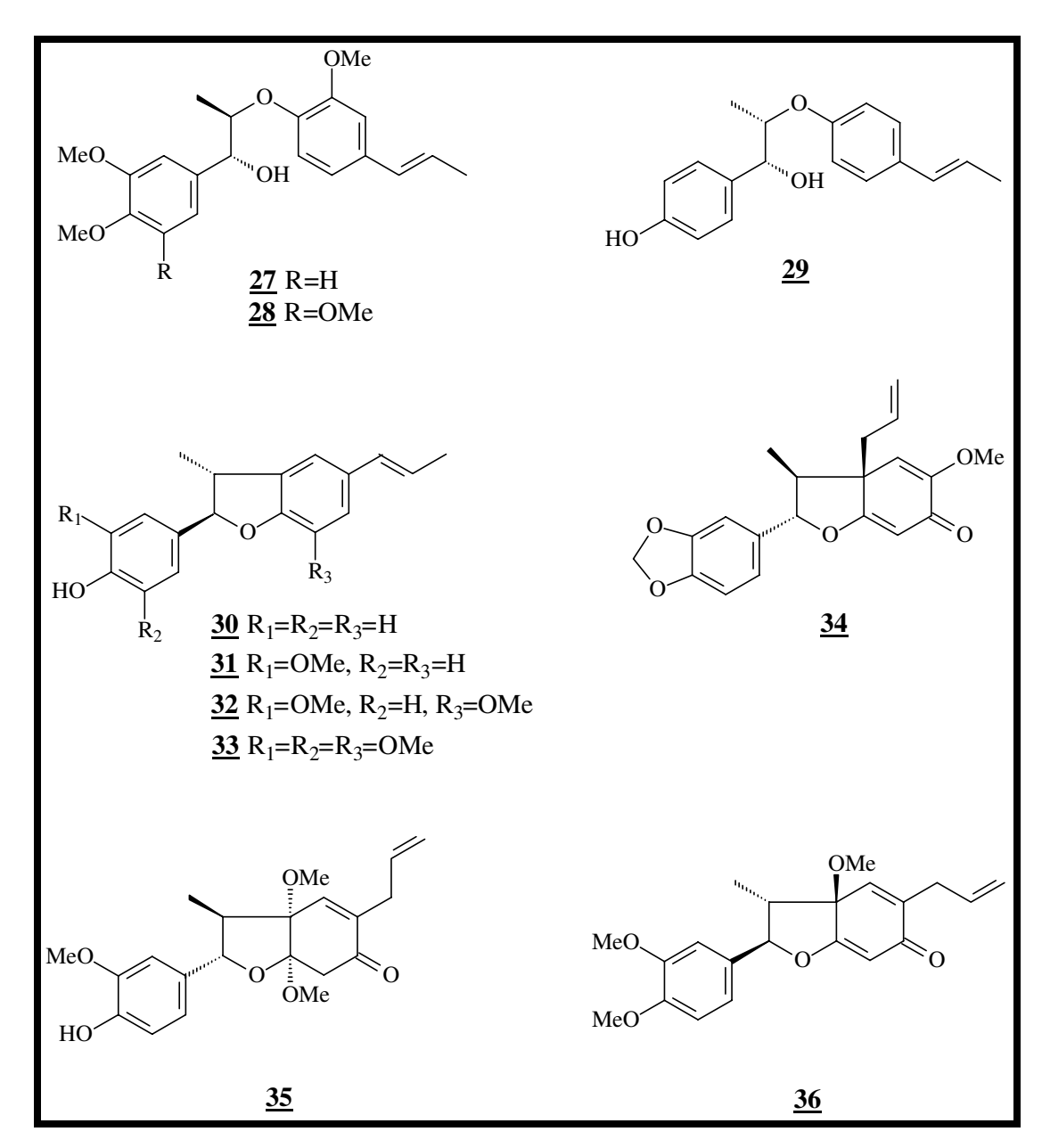


Figura 2 (cont.) - Fórmulas estruturais de neolignanas.

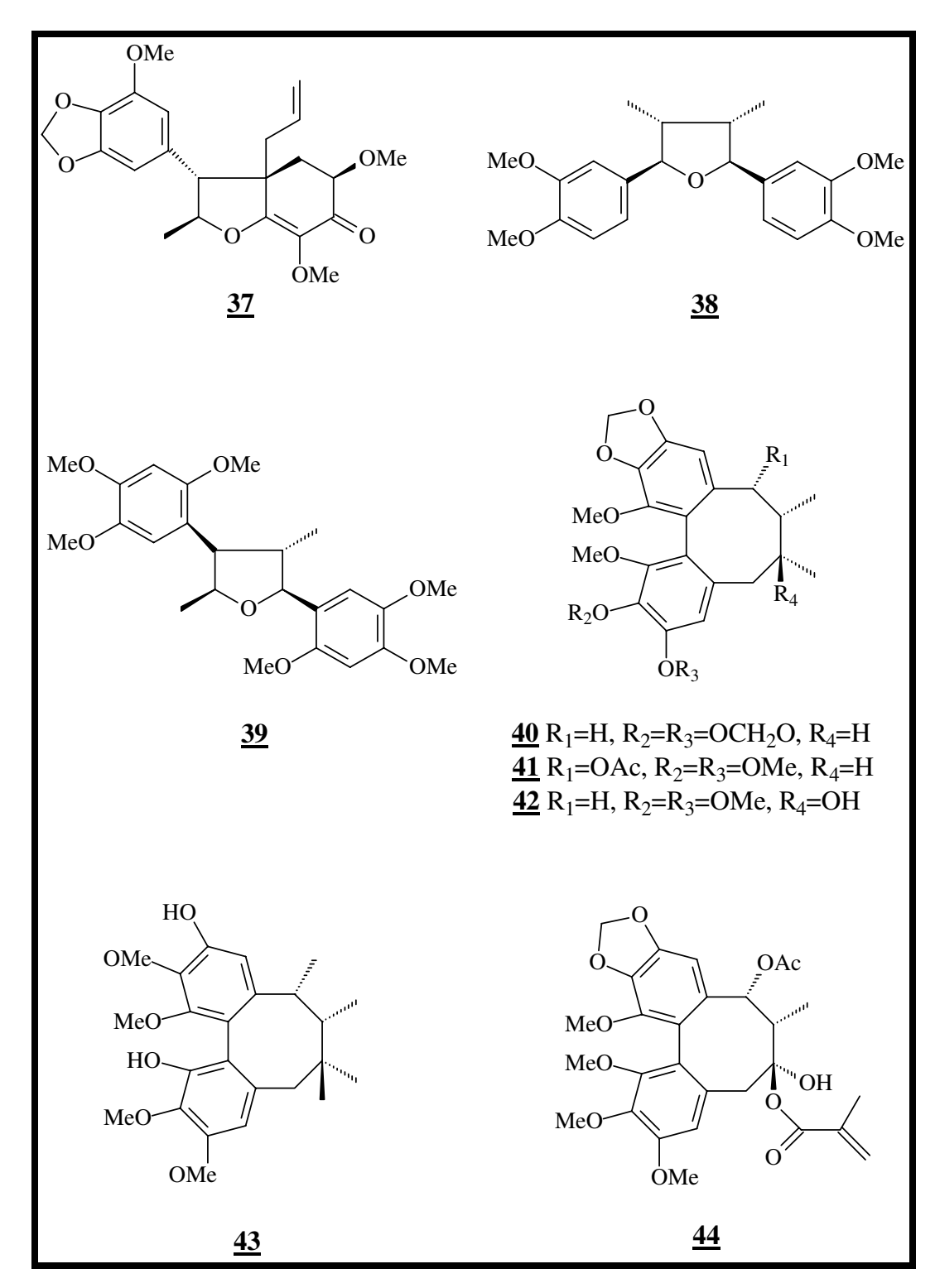


Figura 2 (cont.) - Fórmulas estruturais de neolignanas.

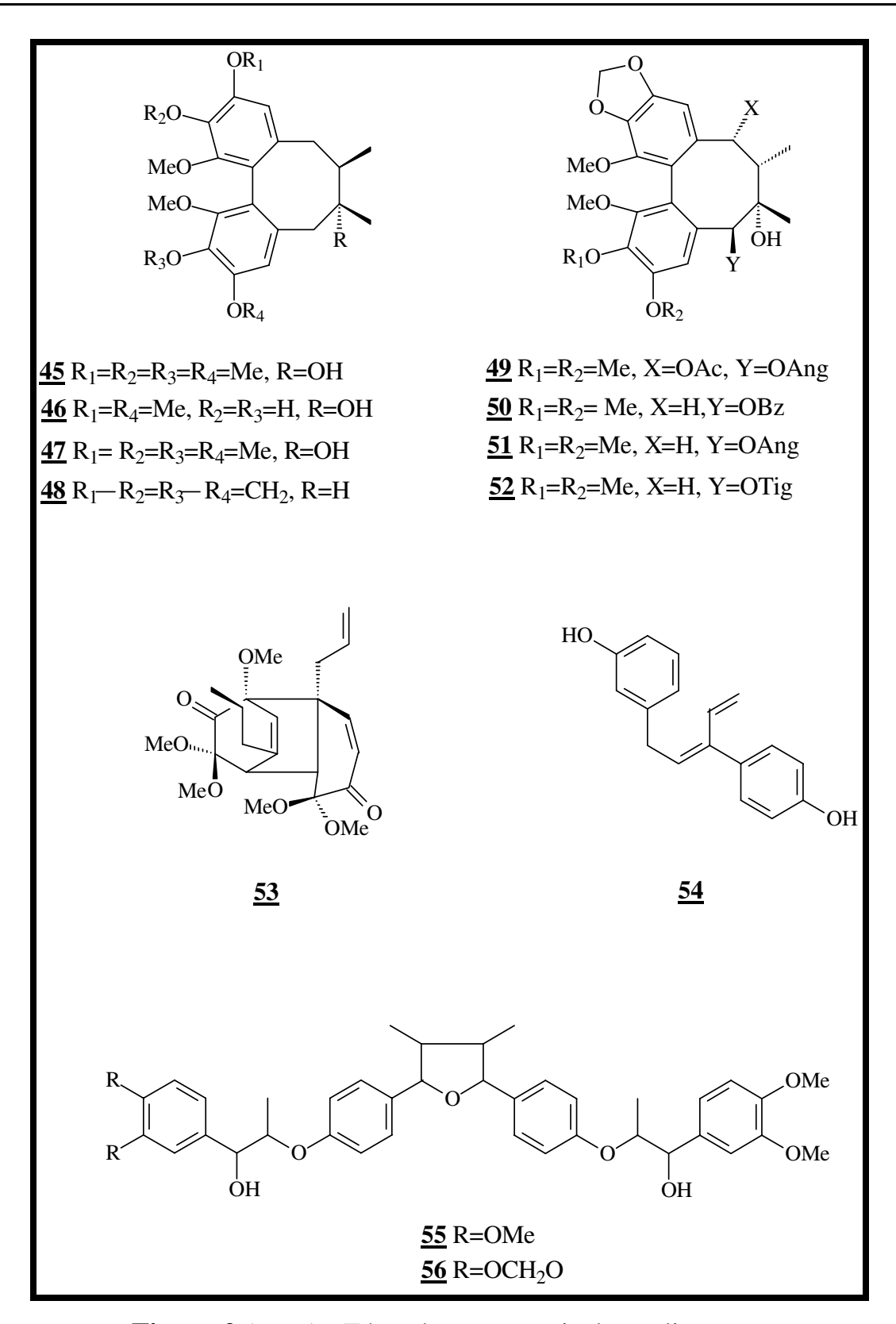


Figura 2 (cont.) - Fórmulas estruturais de neolignanas.

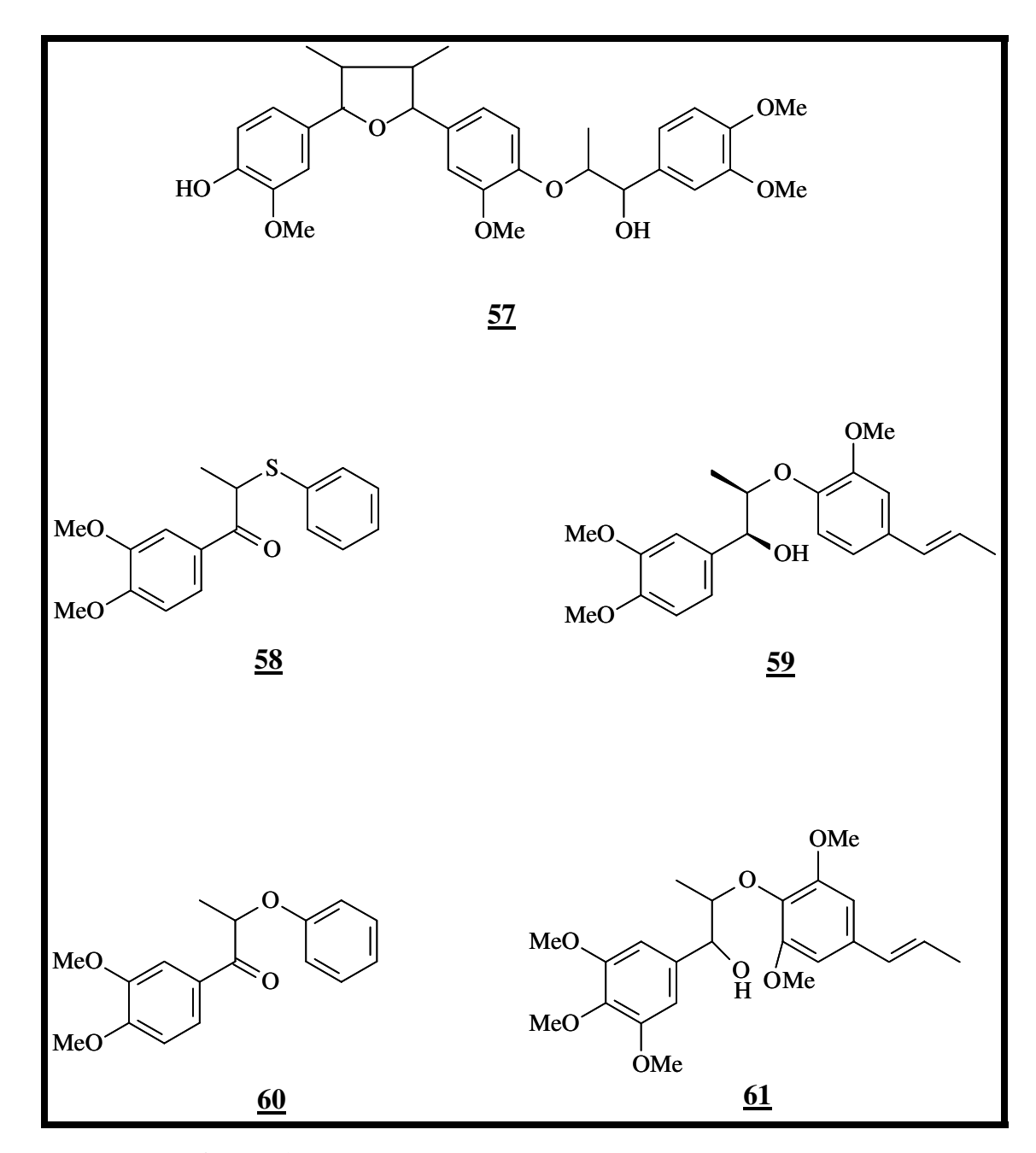


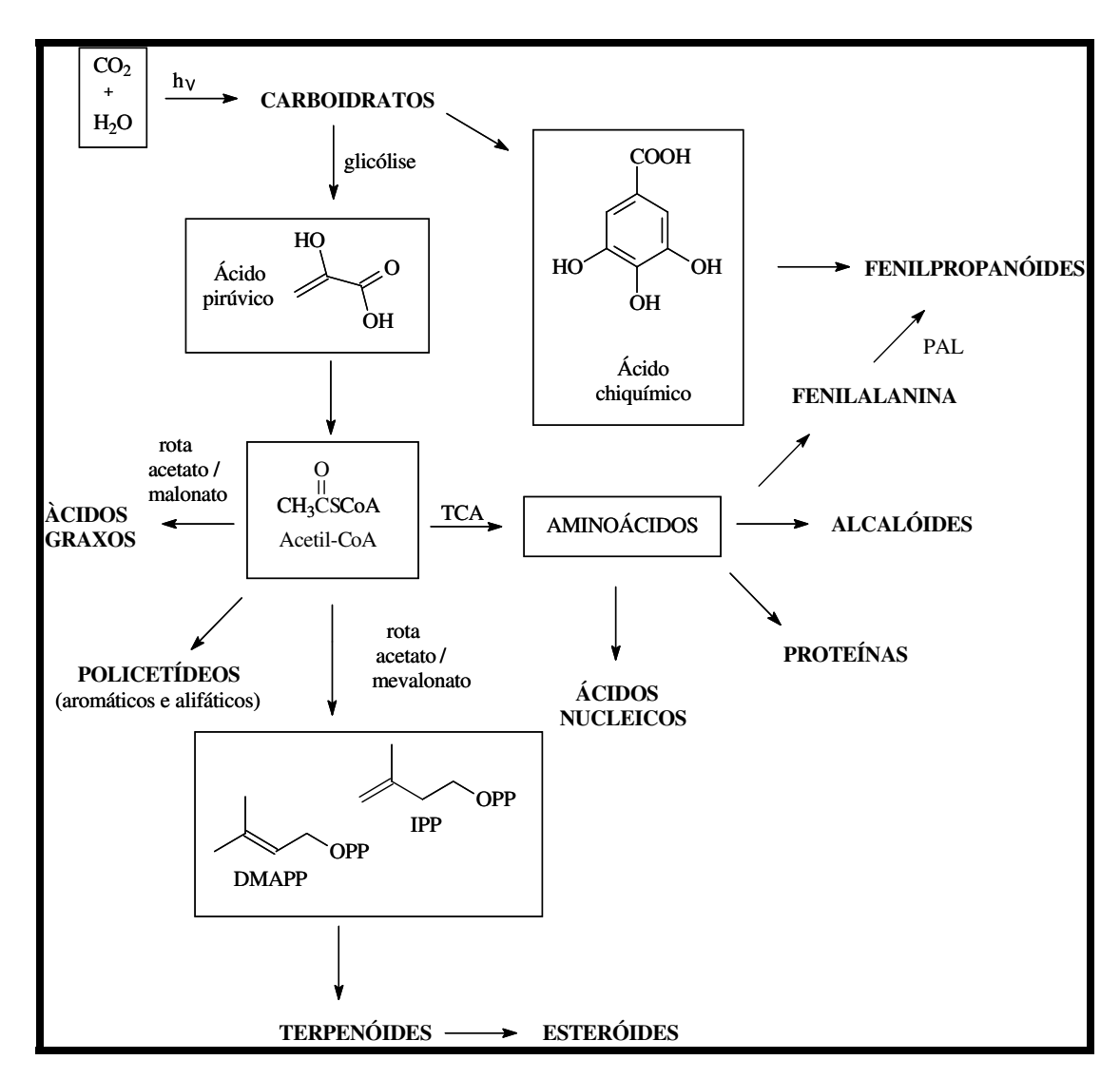
Figura 2 (cont.) - Fórmulas estruturais de neolignanas.

1.3 Biossíntese de lignóides

O metabolismo secundário é originado a partir de poucos intermediários chaves, que por sua vez, são resultantes do metabolismo primário compartilhado por praticamente todos os organismos vivos (**Esquema 1**).

Os fenilpropanóides possuem como esqueleto básico a unidade (C₆.C₃) que são biossintetizadas a partir da *L*-fenilalanina. A primeira etapa via fenilpropanoídica é a desaminação da *L*-fenilalanina pela enzima fenilalanina-amônia-liase (PAL) (**Esquema 2**). A fenilalanina é convertida ao ácido cinâmico, que é seguida de uma reação de hidroxilação e redução produzindo o álcool *p*-cumárico. Após uma série de etapas, incluindo outra etapa de hidroxilação do anel aromático, metilação, formação do tioéster de CoA e redução, resultam as unidades propenil ou alilfenóis. Dimerizações de fenilpropanóides oxidados no C-9 (ácidos e alcoóis) produzem lignanas através de acoplamento oxidativo por enzimas específicas.

¹⁸ Dixon, R.A.; *Phytochemistry* **2001**, *57*, 1069.



Esquema 1 - Principais conexões entre o metabolismo primário e secundário em plantas.¹⁹

Por outro lado, dimerizações de propenil/alifenóis resultariam nas neolignanas.²⁰ Em ambos os casos os acoplamentos são iniciados com a formação do radical livre fenóxido que pode formar estruturas de ressonância

¹⁹ Mann, J.; "Chemical aspects of biosynthesis" New York, Oxford University, **1994**.

²⁰ Gottlieb, O.R.; "Neolignans. In Progress In: Chemistry of Organic Natural Products"; Herz, W., Grisebach, H., Kirbi, G.W. (Eds.), Springer Verlag, Viena 1978, 35, 1.

(**Esquema 3**), com o radical livre localizado nas posições 8-8′, 8-1′, 8-5′ e 8-O-4′ etc., resultando em uma grande variedade de lignanas e neolignanas.

As ligninas são metabólitos primários que são constituintes de paredes celulares, sua subestrutura é a mesma das lignanas, pois ligninas são polímeros de alcoóis cinamílicos. Um aspecto importante é que as lignanas são oticamente ativas, enquanto as ligninas são produtos racêmicos.

Acredita-se que o acoplamento oxidativo para a formação de ligninas ocorre através da participação de peroxidases e lacases. A biossíntese de lignanas deve envolver uma enzima específica com estereo/enantiosseletividade em função da atividade ótica da maioria das lignanas.

Esquema 2 - Rota biossintética de fenilpropanóides.

$$\begin{bmatrix} R_{3} & & & & & \\ & 1 & & & \\ & & 1 & & \\ & & & \\$$

Esquema 3 - Estruturas de ressonância de radicais fenilpropanoídicos.

1.4. Síntese de neolignanas e compostos análogos

Neolignanas são substâncias naturais importantes devido as suas atividades biológicas e farmacológicas, o que as candidatam como prováveis produtos medicinais e farmacêuticos. A síntese de neolignanas pode ser usada em proveito para produzir substâncias farmacologicamente ativas, geralmente mais ativas que os compostos originais. Barata estudando as folhas de *Virola surinamensis*, verificou a atividade biológica *in vivo* de proteção de neolignanas contra a penetração de cercárias de *Schistosoma mansoni*. O fracionamento dos extratos hexânicos, conduziu ao isolamento de duas 8,4-oxineolignanas, surinamensina <u>27</u> e virolina <u>28</u> (**Figura 3**), alcoóis pertencentes à série *treo*, como os responsáveis pela proteção tópica contra

²¹ a) McRae, W.O.; Towers, G.H.N.; *Phytochemistry* **1984**, 23, 1207. b) Gottlieb, O.R. *Fortschr. Chem. Org. Naturst.* **1978**, 35, 1. c) Whiting, D.A.; *Nat. Prod. Rep.* **1990**, 7, 349.

esquistossomose.²² A partir daí, derivados e substâncias análogas foram sintetizadas, e plantas da mesma família *Myristicaceae* estudadas, buscando-se neolignanas para ensaios biológicos.

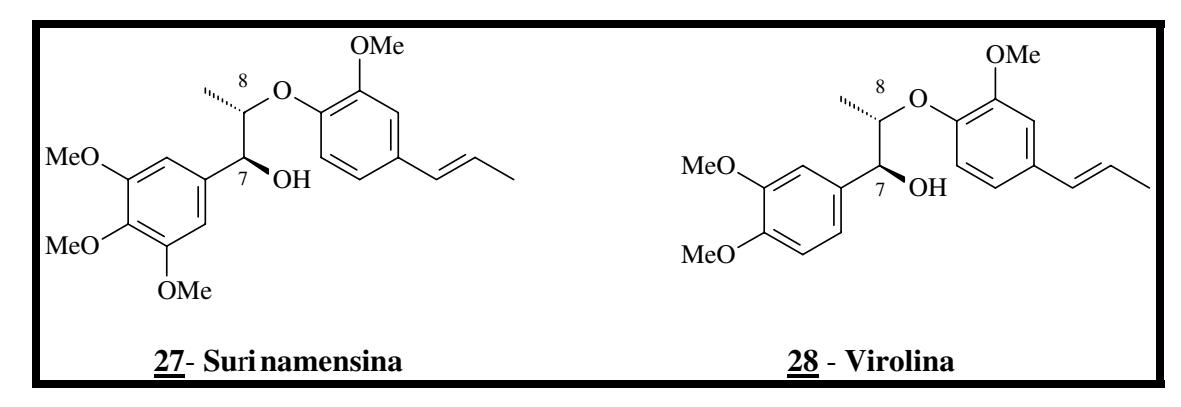


Figura 3 - Estruturas das neolignanas naturais.

1.4.1. Ensaios biológicos com neolignanas naturais

A fitoquímica da família *Myristicaceae* e os ensaios biológicos com os extratos de folhas e madeira de *Virola surinamensis*, vem sendo estudada por Barata e col. desde os anos 70, tendo observado:

- a) Proteção contra a infecção de cercárias do Schistosoma mansoni. 22
- b) Atividade moluscocida em *Biomphalaria glabrata* (**Figura 4**).²³

²² a) Barata, L.E.S.; Baker, P.M.; *Ciênc. e Cult.* **1973**, 25, 169. b) Santos, L. S.; Barata, L. E. S.; Xavier-Filho, L.; Lima, E. O.; Maia, R.F.; *Ciênc. e Cult.*(Supl.) **1985**, 37, 441. c) Barata, L.E.S.; *Natural and syntheti bioctive neolignans II Simpósio Brasileiro-Alemão de Produtos Naturais*, Hannover (1991).

²³ Barata, L.E.S.; Tese de Doutorado, IQ-UNICAMP, Campinas-SP, 1976.

- c) Atividade antiblástica em Sarcoma 180. ²³
- d) Atividade antifúngica. ²³
- e) Atividade de cura por eliminação do estágio adulto de nematódeos.^{23,24}
- f) Inibição do desenvolvimento de nematódeos.²³

Assim nosso grupo de pesquisa, tem contribuído para:

- 1) Isolamento e determinação estrutural de novos lignóides. ²⁵⁻²⁷
- 2) Síntese de neolignanas e seus análogos nitrogenados e sulfurados. ^{25,26,28}
- 3) Avaliação da relação entre estrutura química e atividade biológica das neolignanas naturais ou sintéticas.²⁹

A grande variedade de tipos de estruturas de neolignanas tem despertado o interesse de químicos sintéticos a suas atividades biológicas. As rotas para obtenção de neolignanas racêmicas, derivam dos trabalhos de Forrest e col.³⁰ e Adler e col.³¹, adaptado por Barata²³ através da condensação entre alfabromocetonas e derivados de fenol, aminas aromáticas ou tiofenóis, levando às neolignanas cetônicas. (**Esquema 4**).

²⁴ Oliveira, M. M.; Sampaio, M. R. P.; *Ciênc. e Cult.***1978**, *32*, 487.

²⁵ Barata, L. E. S.; Santos, L. S.; *J. Brazil. Chem. Soc.* **1990**, *1*, 47.

²⁶ Ferri, P. H.; Barata, L. E.S.; *Phytochemistry* **1992**, *31*, 1375.

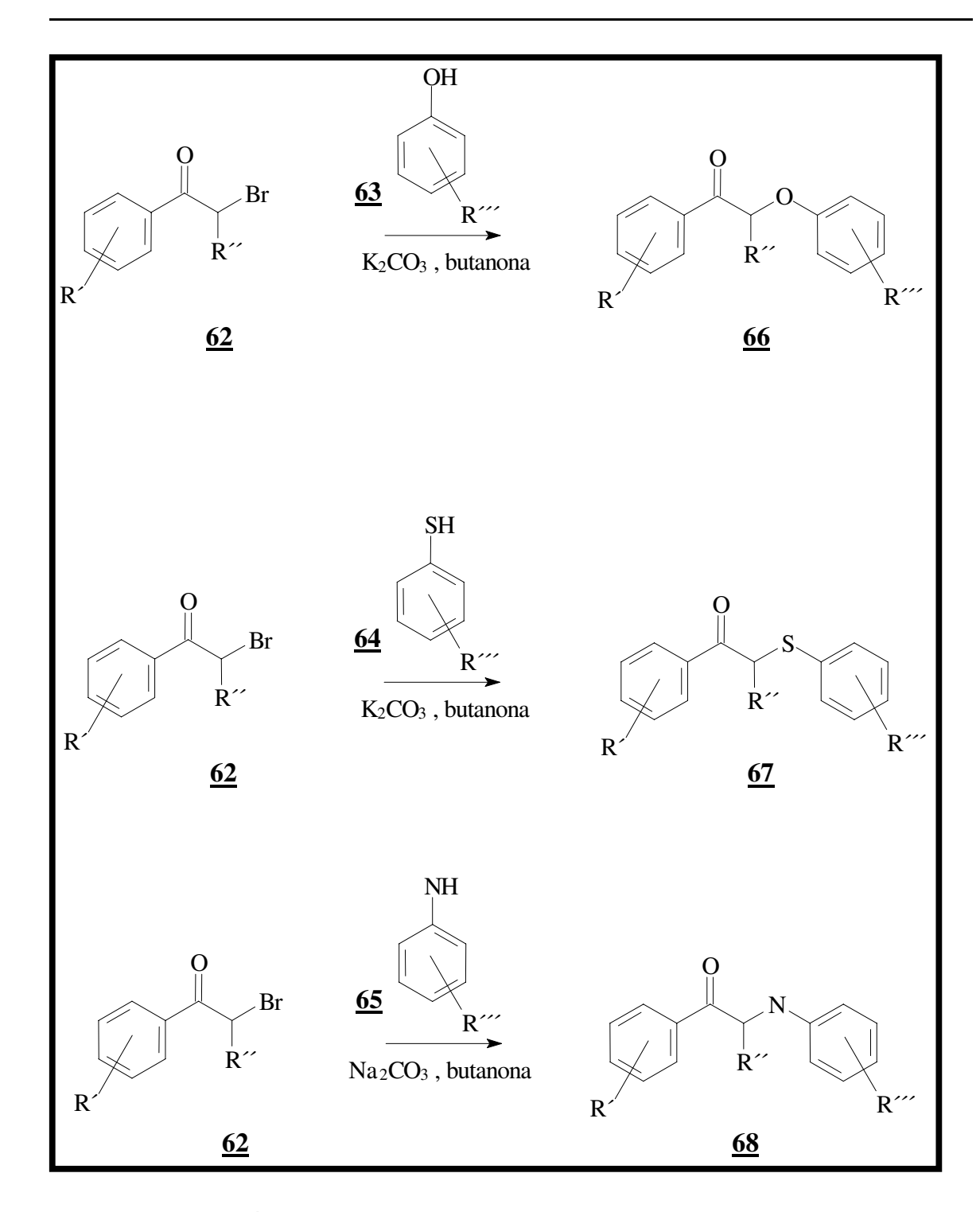
²⁷ Fernandes, A. M. A. P.; Barata, L. E. S., Ferri, P. H.; *Phytochemistry* **1993**, *32*, 1567.

²⁸ Fierro, I. M., Tese de Mestrado, ICB-UFRJ, Rio de Janeiro-RJ, 1988.

²⁹ Barata, L. E. S.; *Natural and Synthetics Bioactive Neolignans II Simpósio Brasileiro-Alemão de Produtos Naturais*, Hannover **1991**.

³⁰ Forrest, J. E.; Heacook, R. A.; Forrest, T. P.; J. Chem. Soc., Perkin Trans. I, **1974**, 205.

³¹ Adler, E.; Delins, S. E.; Miksee, G. E.; Acta Chem. Scand. **1966**, 20, 1035.



Esquema 4 - Reações gerais de análogos oxigenados, sulfurados e nitrogenados.

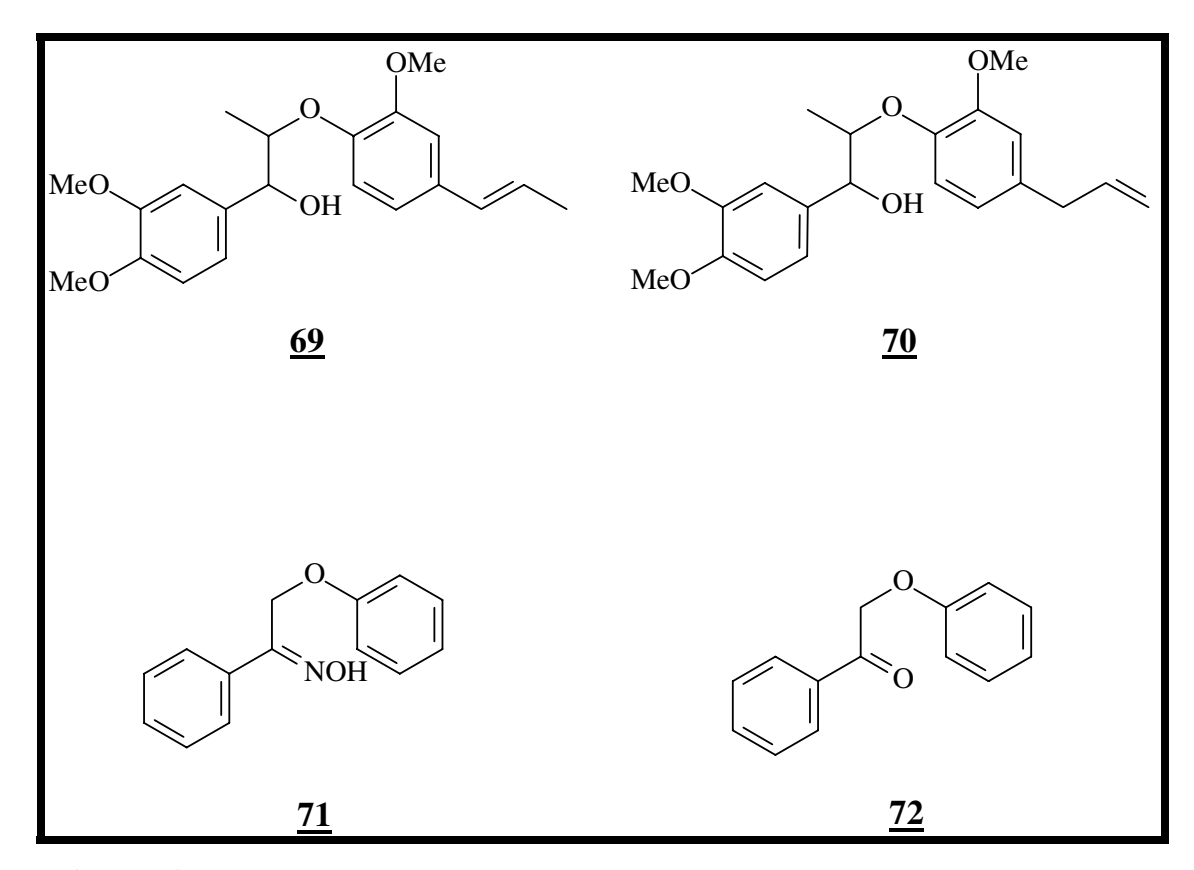


Figura 4 – Neolignanas e análogos mais ativos em ensaios de proteção contra esquistossomose.²⁹

1.4.2 Atividades biológicas de neolignanas sintéticas

Foi verificado que as substâncias oxigenadas no C-8 (tipo <u>66</u>) protegem topicamente contra penetração de cercárias de *Schistossoma mansoni* (**Figura 8**), bactérias e fungos. As sulfuradas (tipo <u>67</u>) e nitrogenadas (tipo <u>68</u>), não apresentaram resultados significativos nesses ensaios (**Esquema 4**). Além disso, nenhuma dessas substâncias (tipos <u>66-68</u>) foram ativas nos ensaios de schistossomose cura.

Testes preliminares (*screening*) anti-PAF*, dos compostos do tipo **66-68** e de alguns intermediários sintéticos, indicaram que o composto **58** foi o mais ativo e por isso selecionado para um estudo mais detalhado, por ser a única substância que apresentou uma potencial atividade antagonista do PAF*. ²⁸

O fator de ativação plaquetária (PAF*) é um fosfolipídio derivado da fosfatidilcolina da membrana plaquetária, que parece estar implicado na fisiopatologia de diferentes processos patológicos, como a asma, o choque anafilático, a psoríase, que é capaz de ativar as plaquetas por uma via independente, a do ácido araquidônico com liberação de cálcio intracelular. Além disso, apresenta importante efeito sobre o tônus e a permeabilidade vascular.

Os resultados obtidos *in vitro* e *in vivo* sugerem que a substância <u>58</u> é um antagonista competitivo do PAF*, seletivo e potencialmente similar a outros já descritos.

A avaliação da atividade biológica *in vitro* dos compostos dos tipos <u>66</u>-<u>68</u>, em macrófagos infectados com amastigotas de *Leishmania donovani*,

^{*} Platelet Aggregating Factor

indicou que os compostos sulfurados (tipo <u>67</u>) eram mais ativos, dentre os quais o composto <u>58</u> apresentou atividade superior ao padrão utilizado nos ensaios.³² Nos testes *in vivo* o composto <u>58</u> foi mais ativo que o composto <u>137</u>.

MeO
$$\begin{array}{c}
S \\
\hline
NEO
\end{array}$$

$$\begin{array}{c}
\underline{58} \text{ R} = H \\
\underline{127} \text{ R} = \text{CH}_{3}
\end{array}$$

1.5. Leishmaniose

1.5.1. Distribuição no mundo

A leishmaniose é um sério problema de saúde pública no Brasil e em muitos países do terceiro mundo. A Organização Mundial de Saúde (OMS) estima que 20 milhões de pessoas no mundo estão infectadas com as diferentes espécies de *Leishmania*.

Trata-se de uma doença infecciosa zoonótica, amplamente distribuída em todo mundo, que afeta o homem e os animais. Esta parasitose ocorre na Ásia, Europa, África e Américas, sendo que existem relatos sobre a doença, no

²⁰

³² a) Barata, L. E. S.; Santos, L. S.; Berlinck, R. G. S.; Ferri, P.H.; Anais do simpósio Franco-Brasileiro de Química e Farmacologia de Substâncias Naturais em inflamação, Alergia e Trombose, Rio de Janeiro, **1986**. b) Santos, L. S.; Neal R. A.; Barata, L. E. S.; Anais da 1^a Reunião da Sociedade Latino-Americana de Fitoquímica, Montevidéu, Uruguai, **1987**. c) Barata, L. E. S.; Santos, L. S.; Neal R. A.; Anais do I Workshop Internacional de Plantas Medicinais, Belém-PA, **1988**.

continente americano, desde a época colonial. Em 1571, Pedro Pizarro relatou que os povos situados nos vales quentes do Peru eram dizimados por uma doença que desfigurava o nariz, a qual foi posteriormente caracterizada como leishmaniose. A importância desta doença era tamanha, que as deformações provocadas chegaram a ser registradas em peças cerâmicas por artistas da época. A descoberta dos agentes etiológicos das leishmanioses, entretanto, só ocorreu o final do século XIX, quando Cunningham em 1885, na Índia, descreveu formas amastigotas em casos de Calazar. Em 1898, o pesquisador russo Borovisky demonstrou ser um protozoário o agente etiológico do Botão do Oriente. 400 de calazar d

Em 1903, Leishman e Donovan realizaram as primeiras descrições do protozoário responsável pelo Calazar indiano, denominado mais tarde de *Leishmania donovani*. Igualmente em 1903, Wright descreveu o parasita do Botão do Oriente, conhecido atualmente como *Leishmania tropica*.³⁵

A partir de 1904, diferentes relatos demonstram que o calazar não ocorria exclusivamente na Índia, visto que alguns casos também foram registrados na China. Como o Calazar na região do Mediterrâneo atingia principalmente crianças, as evidências de diferenças entre o organismo causador do Calazar de uma região para outra justificaram o estabelecimento de uma espécie *Leishmania infantum* por Nicole, em 1908.

Um organismo semelhante foi descrito por Wright em 1903 em uma criança com Botão do Oriente na Síria, sendo proposto o nome de *Helcosoma tropicum* para este parasita. Mais tarde ele foi colocado no gênero *Leishmania*: *Leishmania tropica*, Wright 1903. No continente americano, várias doenças

35 Hoare, C. A.; Trans. R. Soc. Trop. Med. Hyg. 1938, 32, 67.

28

³³ Goldman, L.; Arch. Dermatol. 1983, 119, 540.

³⁴ http://www.dbbm.fiocruz.br/tropical/leishman/indice.html, acessada em Setembro 2002.

que criavam lesões, frequentes em determinadas regiões, eram chamadas de úlcera de Bauru, ferida brava, uta, úlcera dechiclero.

A correlação destas lesões com um protozoário do gênero *Leishmania* foi estabelecida por Gaspar Vianna, em 1909, no Instituto Oswaldo Cruz, recebendo o nome de *Leishmania braziliensis*. Em 1993, a Organização Mundial da Saúde considerou a Leishmaniose como a segunda doença de importância pública, causada por protozoário.

1.5.2. *Vetores*

Os vetores da leishmaniose são dípteros da família *Psychodida*, hematófagos pertencentes aos gêneros *Phlebotomus* (Velho Mundo) e *Lutzomyia* (Novo Mundo), com vasta distribuição nos climas quentes e temperados. Somente as fêmeas são hematófagas. Pertencem ao tipo dos dípteros de atividade crepuscular e pós-crepuscular, abrigando-se durante o dia em lugares úmidos, sombrios e bem protegidos dos ventos. São encontrados em tocas de animais silvestres, buracos de pau, ocos de bambu.³⁶ Os mosquitos flebótomos, dos gêneros *Lutzomyia* e *Psychopopygus*, infectam-se ao picar o animal portador da doença, aspirando macrófagos parasitados ou amastigotas livres no sangue ou tecidos e podem, assim, transmitir a doença ao homem.³⁷

Os mamíferos portadores da leishmaniose são geralmente animais silvestres como a preguiça, o tamanduá, roedores, raposas e outros, sendo que grande parte das lesões nestes não é aparente. No Brasil, o mais importante

³⁶ http://www.sucen.sp.gov.br/doencas/index.htm, acessada em Maio 2002.

³⁷ Berman, J. D.; *Rev. Infect. Dis.* **1988**, *10*, 560.

reservatório animal é o cão e a raposa.³⁸ A partir de estudos patofisiológicos foi verificado que a *Leishmania* se desenvolve no tubo intestinal do hospedeiro invertebrado, na forma promastigota, e essa, uma vez introduzida nos mamíferos através da picada, transforma-se na forma amastigota. Enquanto a forma promastigota é flagelada e extracelular, a forma amastigota é intracelular e sem movimento. A multiplicação dos amastigotas ocorre no interior de vacúolos parasifóforos em macrófago de diferentes tecidos, originando a doença na forma cutânea, mucocutânea e visceral.

No Novo Mundo, são reconhecidas oito espécies de *Leishmania* responsáveis pela doença no homem, pertencentes ao subgênero *Vianna* (*V*) e *Leishmania* (*L*), onde os agentes etiológicos correspondentes são: *Leishmania* (*V*) braziliensis, *Leishmania* (*V*) guyanensis, *Leishmania* (*V*) panamensis, *Leishmania* (*V*) lainsoni, *Leishmania* (*L*) mexicana, *Leishmania* (*L*) amazonensis, *Leishmania*(*L*) venezuelensis e *Leishmania* (*L*) chagasii. 39

Basicamente podemos diferenciar duas formas de leishmaniose: a Leishmaniose Tegumentar Americana (LTA) e a Leishmaniose Visceral Americana (LVA).

No Estado de São Paulo, o agente etiológico responsável pela ocorrência da doença, principalmente da forma cutânea é a *Leishmania (V) braziliensis*.

No Brasil, a leishmaniose visceral inicialmente tinha um caráter eminentemente rural e, mais recentemente vem se expandindo para as áreas urbanas de médio e grande porte, sendo também conhecida por: calazar, barriga d'água, entre outras denominações menos conhecidas. Segundo o Ministério da

³⁹ Grimaldi, G.; Tesh, A. B.; McMahon, P. D.; Am. J. Trop. Med. Hyg. 1989, 41, 689.

³⁸ http://www.funasa.gov.br/pub/GVE/GVE0517A.htm, acessada em Maio 2002.

Saúde, em 19 anos de notificação (1984-2002), os casos de leishmaniose visceral americana (LVA), somaram 48.455 casos, sendo que aproximadamente 66% deles ocorreram nos estados da Bahia, Ceará, Piauí e Maranhão. Nos últimos dez anos, a média anual de casos no País foi de 3.156 casos, e a incidência de dois em cada 100.000 habitantes.⁴⁰

A leishmaniose tegumentar constitui um problema de saúde pública em 88 países, distribuídos em quatro continentes (Américas, Europa, África e Ásia), com registro anual de um a 1,5 milhões de casos. É considerada pela OMS, como uma das seis mais importantes doenças infecciosas pela capacidade de produzir deformidades.

A Leishmaniose Tegumentar Americana (LTA) é uma das afecções dermatológicas que merece mais atenção, devido à sua magnitude, assim como pelo risco de ocorrência de deformidades que pode produzir no ser humano, e também pelo envolvimento psicológico, com reflexos no campo social e econômico. Apresenta ampla distribuição com registro de casos em todas as regiões brasileiras. A partir da década de 80, verifica-se aumento no número de casos registrados, variando de 3.000 (1980) a 37.710 (2001). Observam-se picos de transmissão a cada cinco anos, apresentando tendência de aumento do número de casos, a partir do ano de 1985, quando se solidifica a implantação das ações de vigilância e controle da LTA no país. No período de 1985 a 2005, verificou-se uma média anual de 28.568 casos autóctones registrados e coeficiente de detecção médio de 18,5 casos/100.000 habitantes, verificando-se coeficientes mais elevados nos anos de 1994 e 1995, quando atingiram níveis

-

⁴⁰ Manual de Vigilância e Controle da Leishmaniose Visceral, Ministério da Saúde, Série A. Normas e Manuais Técnicos, Brasília – DF, 2003.

de 22,83 e 22,94 casos por 100.000 habitantes, respectivamente.⁴¹

Epidemiologicamente, a doença continua em expansão em todo o país, com surtos recentes de leishmaniose visceral em áreas antes não-endêmicas do sul e sudeste, como em Belo Horizonte (MG), Curitiba (PR), Niterói (RJ) e mesmo em Campinas (SP).⁴²

1.5.3. Fármacos empregados no tratamento da leishmaniose

Apesar do uso medicinal de compostos de antimônio já ser conhecido desde a Antigüidade, séculos antes da era cristã, e para diversos fins terapêuticos, somente em 1912, Gaspar de Oliveira Vianna ⁴³ observou que o tártaro emético (antimonial trivalente) era eficaz na terapêutica da leishmaniose tegumentar americana. Três anos mais tarde, na Itália, também foi comprovada a eficácia desta droga no tratamento de Calazar. ⁴⁴

Devido aos efeitos tóxicos e graves efeitos colaterais indesejáveis associados ao emprego do tártaro emético, e.g. intolerância gastrointestinal e efeitos cardiotóxicos, os antimoniais trivalentes (Tabela1) foram sendo substituídos por compostos antimoniais pentavalentes (Tabela 2). Bramachari, em 1920, desenvolveu o primeiro composto à base de antimônio pentavalente, o uréia estibamina, derivado uréico do ácido *p*-aminofenil estibínico. Em 1936, Schmidt introduziu na terapia médica o gluconato de antimônio (V) sódico,

32

⁴¹ Manual de Vigilância da Leishmaniose Tegumentar Americana, 2.ª Edição atualizada, Ministério da Saúde, Série A. Normas e Manuais Técnicos, Brasília – DF, 2007.

⁴² Rangel, O. Tese de Doutorado, FCM-UNICAMP, Campinas-SP, 2004.

⁴³ Vianna, G. O.; *Anais do 7º Congresso Brasileiro de Medicina e Cirurgia* **1912**, 4, 426.

⁴⁴ Di Christina, G.; Caronia, G.; Bull. Soc. Pathol. Exot. **1915**, 8, 63.

conhecido comercialmente como Solustibosan® (Bayer) ou Pentostam® (Glaxo Wellcome). 37,45

Durante a Segunda Guerra Mundial, surgiu na França um medicamento alternativo ao então gluconato de antimônio (V) sódico, o antimoniato de N-metil glucamina, comercializado como Glucantime® (Rhône-Poulenc-Rorer) ou antimoniato de meglumina. Enquanto o Pentostam® é distribuído, até hoje, nos países de língua inglesa, o Glucantime® manufaturado é comercializado nos países de línguas francesa e espanhola.

Um estudo comparativo ente o medicamento original e o genérico correspondente do gluconato de sódio antimônio, realizado no Quênia, revela a viabilidade de comercialização do medicamento a custos menores e, em consequência, a possibilidade do tratamento de maior número de pacientes infectados pela leishmaniose visceral na África.⁴⁶

1.5.3.1 Antimoniato de metilglucamina

No Brasil, o medicamento à base de antimônio, utilizado como primeira escolha na terapêutica da leishmaniose é o antimoniato de metilglucamina <u>74</u>. O composto é obtido sinteticamente a partir do ácido antimônico e da N-metilglucamina, sendo a última obtida previamente a partir da aminação redutora da glicose em presença de metilamina. O composto, de fórmula estrutural não definida, é solúvel em água e pouco solúvel em solventes orgânicos.

⁴⁵ Marsden, P. D.; Rev. Soc. Bras. Med. Trop. **1985**, 18, 187.

⁴⁶ Moore, E.; O'Flaherty, D.; Heuvelmans, H.; Seaman, J.; Veeken, H.; Wit, S.; Davidson, R. N.; *Bulletin of the World Health Organization* **2001**, *79*, 388.

O antimoniato de metilglucamina é especialmente eficaz no tratamento de leishmaniose cutânea, mucocutânea e visceral. O medicamento provoca regressão rápida das manifestações clínicas e hematológicas da doença, bem como provoca a esterilização do parasita.

Devido às baixas dosagens e tratamentos descontínuos, começaram a ocorrer falhas na terapia e conseqüente aumento das formas existentes de parasitas. 47-49

A Organização Mundial de Saúde preconiza que as doses de antimoniais não devem ultrapassar 20 mg/kg/dia, não se ultrapassando o limite de 850 mg de antimônio⁴⁷, devido à sua elevada toxicidade. mialgias, dores abdominais, alterações hepáticas e distúrbios cardiológicos são efeitos colaterais freqüentemente associados ao uso destas drogas.⁴⁷

Após administração endovenosa ou intramuscular, o antimoniato de metilglucamina é rapidamente absorvido e, praticamente, 90% do antimônio é excretado nas primeiras 48 h pelos rins. Em consequência, faz-se necessária a administração de doses elevadas do fármaco, em regime contínuo, para garantir um elevado teor de antimônio nos tecidos e, assim, obter a eficácia do tratamento. Efeitos colaterais como nefrites, distúrbios gastrintestinais, cardiovasculares e respiratórios têm sido observados. Antimoniais pentavalentes são geralmente 10 vezes menos tóxicos em células de mamíferos, quando comparados aos antimoniais trivalentes (tártaro emético ou tartarato de

⁴⁷ Balaña-Fouce, R.; Reguera, R. M.; Cubría, C.; Ordóñez, D.; *Gen. Pharmacol.* **1998**, *30*, 435.

⁴⁸ Sereno, D.; Lemesre, J. L.; Antimicrob. Agents Chemother. 1997, 41, 972.

⁴⁹ Berman, J. D.; Wyler, D. J.; *J. Inf. Diseases* **1980**, *142*, 83

⁵⁰ Limongi, J. P. Em *Farmacodinâmica*; Corbett, C. E., ed.; Livraria Editora Artes Médicas: São Paulo, 1973, cap. 61.

antimônio e potássio <u>73</u>, utilizados primeiramente por Vianna em 1912.⁵¹ Em determinados casos, além de destruir o parasita, o medicamento acaba por levar o paciente ao óbito.⁴⁵

O antimônio ainda pode ser detectado no cabelo do paciente tratado com antimoniais pentavalentes após um ano do término do tratamento.⁵²

Apesar do emprego do antimoniato de metilglucamina no tratamento da leishmaniose por mais de 50 anos, a estrutura e composição do composto, igualmente ao gluconato de antimônio (V) sódico, ainda permanecem indeterminadas.

Os dados mais recentes sobre a tentativa de caracterização do antimoniato de metilglucamina foram reportados por Roberts *et al.*. ⁵¹ Segundo os autores, a razão molar antimônio: N-metil-D-glucamina é de 1:1,37 e várias espécies complexas entre o antimônio e N-metil-D-glucamina coexistem em solução.

Oligômeros foram observados, sendo a maior massa molar encontrada de 507 uma. Espécies de forma geral (NMG-SB)n-NMG, onde NMG: N-metil-D-glucamina, foram identificadas. Demicheli *et al.*. ⁵³ sintetizaram o antimoniato de metilglucamina e sugeriram que o antimônio se liga na metilglucamina através do oxigênio do carbono C-3. No entanto, a eficácia terapêutica destas formas poliméricas ou mesmo do antimônio pentavalente ainda não foi esclarecida. Há indícios que o Sb (III) é substancialmente mais potente do que o Sb (V) contra promastigotas e amastigotas de pelo menos, três

⁵¹ Roberts, W. L.; McMurray, W. J.; Rainey, P. M.; *Antimicrob. Agents Chemother.* **1998**, 42, 1076.

⁵² Dórea, J. G.; Costa, J. M. L.; Holzbecher, J.; Ryan, D. E.; Marsden, P. D.; *Clin. Chem.* **1987**, *33*, 2081.

⁵³ Demicheli, C.; Figueiredo, T. L.; Carvalho, S.; Sinesterra, R. D.; Lopes, J. C. D.; Frezard, F.; *BioMetals* **1999**, *12*, 63.

espécies de *Leishmania*. Esses resultados reforçam a hipótese de uma conversão metabólica intramacrofágica do Sb (V) em Sb (III) sendo, neste caso, o Sb (III) o elemento tóxico às leishmanias no estado intracelular. Pouco se compreende ainda sobre o mecanismo de ação desta droga e, sugere-se que o antimônio pentavalente possa ser uma pró-droga, sendo convertido a antimônio trivalente após sua admistração⁵¹, e que assim possa interferir no processo de β-oxidação de ácidos graxos e glicólise do parasita, levando à uma depleção dos níveis de ATP intracelular. Além disso, existe na forma amastigota uma metaloprotease zinco dependente, que poderia ser inativada se o antimônio substituísse o zinco nesta enzima, essencial para o desenvolvimento do parasita. Recentemente, Miekeley *et al.* Se verificaram que, após administração intramuscular de antimoniato de N-metilglucamina em pacientes com leishmaniose, ocorre conversão *in vivo* do composto orgânico de antimônio para as formas iônicas Sb³⁺ e Sb⁵⁺.

Ainda, foi observado que ocorre a biorredução do Sb⁵⁺ para a sua forma trivalente, corroborando outros estudos que evidenciam que a formação *in vivo* do Sb³⁺ seja responsável tanto pela toxicidade da droga como pela atividade terapêutica da mesma.

⁵⁴ Bangs, J. D.; Ransom, D. A.; Nimick, M.; Christie, G. H.; *Mol. Biochem. Parasitol.* **2001**, *114*, 111.

⁵⁵ Miekelev, N.: Mortari, S. R.: Schubach, A. O.: *Anal. Bioanal. Chem.* **2002**, *372*, 495.

1.5.4. Outros agentes quimioterápicos utilizados no tratamento da leishmaniose

Além dos antimoniais, outras drogas têm sido empregadas no tratamento das diversas formas da leishmaniose, entre as quais se destacam a pentamidina, anfotericina B, paromomicina e o miltefosina (**Figuras 9** e **10**).

A descoberta da atividade quimioterápica das substâncias do grupo das diamidinas aromáticas, do qual faz parte a pentamidina, foi inteiramente fortuita. A pentamidina, além de ser relativamente eficaz na terapia da leishmaniose, é eficaz no tratamento de casos incipientes de tripanossomíase gambiense ou rodesiana. A pentamidina é comercializada sob o nome de Lomidina® e encontra-se disponível, nos Estados Unidos, somente no Serviço de Medicamentos para Doenças Parasitárias do Serviço de Saúde Pública. No tratamento da *leishmaniose visceral* (leishmaniose por *L. donovani*, ou Calazar) a pentamidina foi usada com sucesso, em séries de 12 a 15 doses. A segunda série, administrada após intervalo de 1 a 2 semanas, pode ser necessária em áreas onde se sabe que a infecção responde de modo insatisfatório ao tratamento. A substância é particularmente útil em casos que não responderam aos antimoniais ou para pacientes com Calazar que sejam hipersensíveis ao antimônio.

A alta toxicidade desta droga também é fator limitante para o uso. Hipoglicemia, hipotensão, alterações cardiológicas, nefrotoxicidade e, até mesmo, morte repentina foram descritas.⁴⁷

37

⁵⁶ Doua, F.; Miezan, T. W.; Singaro, J. R. S.; Yapo, F. B.; Baltz, T.; *Am. J. Trop. Med. Hyg.* **1996**, *55*, 586.

A anfotericina B é um antibiótico antifúngico derivado de uma cepa de *Streptomyces nodosus*, sendo indicada para o tratamento da leishmaniose mucocutânea americana, embora não se considere fármaco de primeira escolha. A anfotericina B pode ser incorporada em lipossomas carregadores sendo absorvida pelo sistema retículo endotelial onde o parasita da *Leishmania* reside, e é assim pouco absorvido pelos rins, o maior órgão alvo para a toxicidade da anfotericina B. Estudos de fase II, em pequena escala, determinaram a dose mínima efetiva e os resultados confirmaram que o AmbisomeTM é consideravelmente menos tóxico que a anfotericina B convencional.

O AmbisomeTM provou ser eficaz tanto no tratamento da leishmaniose cutânea como mucocutânea, sendo utilizado nos casos onde existe falha com a terapia de antimoniais.⁵⁷ Sua administração mais eficaz dá-se por via endovenosa e como as outras, também possui nefrotoxicidade e pode levar à depleção dos níveis de potássio e magnésio no organismo.⁵⁸

Outro medicamento que se tem mostrado efetivo contra a leishmaniose visceral é a paromomicina (também chamada aminosidina), antibiótico aminoglicosídeo que é ativo contra espécies de *leishmania in vitro* e *in vivo*.

Estudos clínicos, para se testar a eficácia da paromomicina <u>79</u> injetável contra a leishmaniose visceral, têm sido realizados na Índia, onde o tratamento antimonial padrão não é muito efetivo e as taxas de mortalidade são altas. Outro medicamento ainda utilizado no arsenal terapêutico é o alopurinol <u>80</u>, vantajoso especialmente por sua administração oral e baixa toxicidade, porém há diversos casos relatados em que esta droga não tem sido eficaz no controle da infecção.⁵⁹

⁵⁹ Martinez, S.; Marr, J. J.; New Engl. J. Med. **1992**, 326, 741.

38

⁵⁷ Yardley, V.; Croft, S. L.; *Int. J. Antimicrob. Agents* **2000**, *13*, 243.

⁵⁸ Rang, H. P.; Dale, M. M. Em *Pharmacology;* 2nd ed., Churchill Livingstone: UK, **1991**.

Atualmente, todos os medicamentos disponíveis para o tratamento da leishmaniose são injetáveis. Verificou-se que o miltefosina <u>78</u>, uma droga anticâncer alquilfosfolipídica, é ativo contra *Leishmania spp, in vitro* e *in vivo*, e pode vir a ser o primeiro tratamento oral para a leishmaniose visceral. Resultados de estudos de fase II, na Índia, indicam que quando o miltefosina é oralmente administrado é bem tolerado. Em todas as doses testadas, a droga produziu excelentes resultados de cura parasitológica (contra *Leishmania donovani*). Estudos clínicos de fase III do miltefosina contra leishmaniose visceral estavam sendo planejados. ⁶⁰

Apesar dos grandes avanços na identificação de diversas moléculas imunogênicas do parasito e da demonstração da eficácia de uma vacina gênica em modelos experimentais, o desenvolvimento de uma vacina humana segura e eficaz contra a leishmaniose é dificultada pela complexidade antigênica do parasito e variabilidade das respostas imunes na população humana aos lisados totais. 61-65

Quanto à terapêutica, apesar do grande progresso na compreensão da bioquímica e biologia molecular do parasito, o tratamento de primeira escolha para as várias formas da doença ainda se baseia em injeções intramusculares de antimoniais pentavalentes desenvolvidos há mais de 60 anos. Devido a isso, o objetivo deste trabalho é a sínteses de novas moléculas ativas contra *Leishmania*.

⁶⁰ Fischer, C.; Voss, A.; Engel, J.; Medical Microbiol. Immunolog. 2001, 190, 85.

⁶¹ Moddaber, F.; Annals of Tropical Medicine and Parasitology, **1995**, 89, 83.

⁶² Hepburn, N. C.; Siddique I.; Howie A. F.; Beckett G. J.; and Hayes P. C.; *Trans. R. Soc. Trop. Med. Hyg.* **1994**, 88, 453.

⁶³ Berman, J.D.; Clin. Infect. Dis. 1997, 24,684.

⁶⁴ Olliaro, P.L. & Bryceson, A.D.M.; *Parasitol.* Today **1993**, *9*, 323.

⁶⁵ Loiseau, P.M. and Bories, C.; Curr. Opinion in Infect. Dis. 1999, 12, 559.

$$\begin{pmatrix} O & & & & & & & & & \\ CH_2NH_2CH_3 & & & & & & \\ O & H-C-OH & & & & & \\ HC-O-Sb-OH_2 & & & & & & \\ HC-O & & & & & & \\ HC-O & & & & & & \\ HC-O & & & & & \\ COOH & & & & & \\ HC-O & & & & & \\ HC-O & & & & & \\ HC-O & & & & & \\ HC-O-OH & & & \\ HC-O-OH & & & & \\ HC-O-OH & & & \\ HC-O-OH$$

Figura 5 - Estruturas das drogas de primeira escolha, antimoniais trivalentes e pentavalentes contra leishmaniose.

Figura 6 - Estruturas das drogas de segunda escolha, utilizadas contra leishmaniose.

2. Objetivos

Considerando a atividade de derivados de neolignanas sintéticas sulfuradas em ensaios, com *Leishmania donovani* (in vitro e in vivo), ^a este projeto teve os seguintes objetivos:

- 1. Síntese de análogos sulfurados oticamente ativos via α -bromocetonas quirais com tiofenóis.
- 2. Síntese de análogos racêmicos de neolignanas oxigenadas e sulfuradas via cetonas e α-bromocetonas intermediárias não quirais, através da reação de condensação com fenóis e tiofenóis.
- 3. Obtenção de sulfóxidos e sulfonas através da oxidação de análogos sulfurados com ácido m-cloroperbenzóico e ácido peracético respectivamente. Redução com NaBH₄ na obtenção de alcoóis e finalmente acetilação com anidrido acético e piridina na obtenção do acetato derivado.
- 4. Ensaios biológicos^b in vitro das substâncias sintetizadas em amastigotos de *Leishmania amazonensis* e *Leishmania donovani*, para avaliação da influência das mudanças estruturais sobre a atividade biológica.

^a Ensaios realizados na London School of Hygiene and Tropical Medicine – University of London pelos Drs. Ralph Neal e Simon Croft.

_

^b Ensaios realizados no Instituto Carlos Chagas Filho (UFRJ) pela Profa. Bartira Rossi Bergmann.

3. Resultados e Discussão

3.1. Síntese de compostos racêmicos

3.1.1. Síntese de intermediários a-bromo cetonas

As α -bromo cetonas $\underline{\mathbf{C}}$ são intermediários chaves para a síntese de neolignanas 8.O.4′, neolignanas 8.S.4′ e derivados. A obtenção desses intermediários foi realizada através da reação de acilação de Friedel-Crafts, com a subseqüente bromação das cetonas aromáticas obtidas.

3.1.1.1. Reação de acilação de Friedel-Crafts

Mecanismo da reação de acilação de Friedel-Crafts (obtenção de $\underline{\mathbf{B}}$):

Através da clássica reação de acilação de Friedel-Crafts, foram obtidos derivados de acetofenona $\underline{\mathbf{B}}$ pela reação de um derivado de benzeno $\underline{\mathbf{A}}$ com cloreto de acetila e derivados de propiofenona $\underline{\mathbf{B}}$ pela reação com cloreto de propionila, utilizando-se AlCl₃ anidro como catalisador. As cetonas aromáticas, compostos $\underline{\mathbf{81-83}}$ foram obtidas com rendimentos na ordem de 77-90 %, como óleo ou na forma cristalina (**Tabela 1**).

Figura 7 – Cetonas aromáticas intermediárias sintetizadas.

Tab	ela 1	l -	Derivad	os de	aceto	fenona e	e propio	ofenona.

Composto	Derivado de benzeno	Cloreto de acila	Rendimento (%)	ponto de fusão (°C)
<u>81</u>	veratrol	acetila	77	51-53
<u>82</u>	benzeno	propionila	90	óleo
<u>83</u>	veratrol	propionila	86	59-60

A formação do composto <u>81</u> foi evidenciada no espectro no I.V., pela banda de absorção característica de estiramento de carbonila de cetona aromática. Os dados de RMN de 1 H de <u>81</u> (E-1, pág. 251), <u>82</u> (E-4, pág. 254) e <u>83</u> (E-6, pág.256), estão de acordo com os produtos esperados. Os dados de EM de <u>81</u> (E-3, pág. 253) e <u>82</u> (E-5, pág. 255) são compatíveis com as estruturas dos compostos, onde o sinal do íon molecular M^{+} 180 (88) no espectro de massas de <u>81</u> é compatível com a fórmula molecular $C_{10}H_{12}O_{3}$ e o sinal do íon molecular M^{+} 134 (17) no espectro de massas de <u>82</u> é compatível com a fórmula molecular $C_{9}H_{10}O$.

Tabela 2 - Dados espectrais dos compostos <u>81-83</u>.

Com		RMN de ¹ H				
posto	(C=O) CH ₃	CH ₂ CH ₃	CH ₂ CH ₃	(C=O) cm ⁻¹	M ⁺ (%)	
<u>81</u>	2,51(s)			1669	180 (88)	
<u>82</u>		1,22(t, J=6,6)	3,00(<i>q</i> , <i>J</i> =6,6)		134 (17)	
<u>83</u>		1,23(<i>t</i> , <i>J</i> =6,6)	3,71(<i>q</i> , <i>J</i> =6,6)			

3.1.1.2. Reação de bromação

$$\begin{array}{c|c}
\hline
O \\
R' \\
\hline
Br_2 \\
\hline
R
\end{array}$$
 $\begin{array}{c|c}
\hline
C \\
\hline
\end{array}$

Mecanismo da reação de bromação (obtenção de $\underline{\mathbf{C}}$):

O tratamento de cetonas aromáticas tipo $\underline{\mathbf{B}}$ ($\underline{\mathbf{81-83}}$) com $\mathrm{Br_2}$ em CHCl₃ sob refluxo, forneceu as α -bromo cetonas tipo $\underline{\mathbf{C}}$, ($\underline{\mathbf{86-90}}$) (**Figura 8**), com propriedades lacrimogêneas em 81-92 % de rendimento. Os espectros no I.V. desses compostos mostram bandas de absorção características de estiramento de carbonila de cetona aromática na faixa de 1698-1673 cm⁻¹. O espectro de RMN de $^1\mathrm{H}$ de $\underline{\mathbf{87}}$ ($\mathbf{E-9}$, pág. 259) mostra um singleto (2H) em δ 4,60 atribuído aos prótons alifáticos no C-8 e dois dupletos com J=8,1 e J=8,4 Hz

característicos de sistemas aromáticos *para*-substituídos, um em δ 6,67 (2H) e o outro em δ 8,03 (2H).

Os dados de RMN de ¹H de <u>88</u> (E-12, pág. 262), <u>89</u> (E-14, pág. 264) e <u>90</u> (E-17, pág. 267), estão compatíveis com as estruturas. Os dados no I.V. de <u>87</u> (E-10, pág. 260), <u>88</u> (E-13, pág. 263), <u>89</u> (E-15, pág. 265) e <u>90</u> (E-18, pág. 268) também estão de acordo com as estruturas.

Os dados de EM de <u>86-87</u>, <u>89</u> e <u>90</u> são compatíveis com as estruturas dos compostos. O sinal do íon molecular M^+ 200 (17) no espectro de massas (E-8, pág. 258) de <u>86</u> é compatível com a fórmula molecular C_8H_7BrO e o sinal do íon molecular M^+ 234 (2) no espectro de massas (E-11, pág. 261) de <u>87</u> é compatível com a fórmula molecular C_8H_6BrClO .

O sinal do íon molecular M^+ 212 (2) no espectro de massas (**E-16**, pág. 266) de <u>89</u> é compatível com a fórmula molecular C_9H_9BrO e o sinal do íon molecular M^+ 272 (11) no espectro de massas (**E-19**, pág. 269) de <u>90</u> é compatível com a fórmula molecular $C_{11}H_{13}BrO_3$.

Figura 8 – α -Bromo cetonas intermediárias.

 $\textbf{Tabela 3} \textbf{ -} \textbf{ Dados espectrais dos compostos } \underline{\textbf{89}} \textbf{-}\underline{\textbf{93}}.$

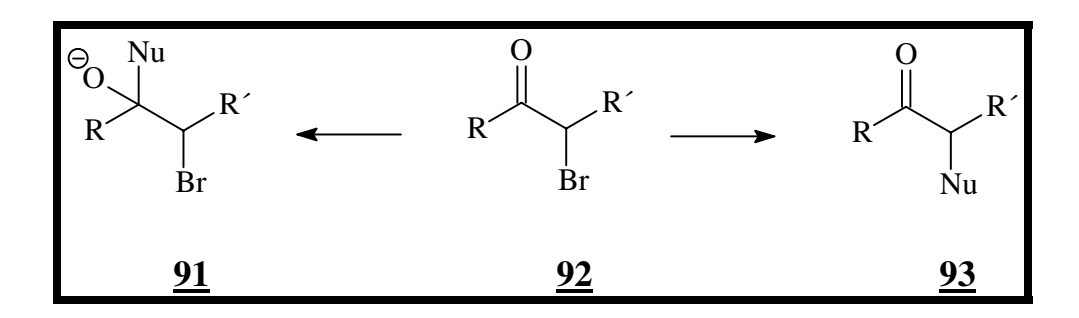
Comp.	RMN	de ¹ H	IV	EM	P.F.	Rend.
			(C=O) cm ⁻¹	M ⁺ (%)	° C	(%)
	CH ₃ CHBr	CH ₃ CH-R				
<u>86</u>			1698	200 (17)	óleo	81
<u>87</u>		4,60(s, 2H)	1693	234 (2)	97-98	92
<u>88</u>		3,94(s, 2H)	1681		75-76	90
<u>89</u>	1,91(<i>d</i> , <i>J</i> =6,6)	5,30(<i>q</i> , <i>J</i> =6,6)	1671	212 (2)	óleo	84
<u>90</u>	1,89(<i>d</i> , <i>J</i> =6,6)	5,29(q, <i>J</i> =6,6)	1673	272 (11)	82-84	89

R=H, R=CH₃

3.1.2. Reatividade de a-bromo cetonas

Antes de abordar as sínteses de β -cetoéteres (neolignanas cetônicas) e β -cetosulfetos, convém comentar alguns tipos de reações que podem ocorrer com as α -halo cetonas e o mecanismo envolvido nas sínteses dos compostos acima citados.

As α -halo cetonas do tipo <u>92</u> reagem com uma variedade de nucleófilos heteroatômicos para produzir compostos do tipo <u>93</u> (**Esquema 5**). Estes produtos são geralmente termodinamicamente mais estáveis que os do tipo <u>91</u>, obtidos pelo ataque ao grupo carbonila e para reações com nucleófilos heteroatômicos a passagem de <u>92</u> \rightarrow <u>91</u> é esperado ser reversível.



Esquema 5 – Reações de α -halo cetonas.

_

⁶⁶ Katritzky, A.R.; Wrobel, L.; Savage, G.P.; Deyrup-Dreniak M.; Aust. J. Chem. **1990**, 43, 133.

Conversões de $\underline{92} \rightarrow \underline{93}$, na qual uma ligação C-C é formada, são também bastante conhecidas para carbonos nucleofílicos estabilizados, tais como ânions dos β -cetoéteres e equivalentes enólicos como as enaminas.⁶⁷

Os carbânions mais reativos como reagente de Grignard⁶⁸ e compostos alquil e aril-lítio, normalmente formam produtos de reação ao grupo carbonila, que é o centro de maior eletrofilicidade cinética.

Organocupratos de lítio não reagem com cetonas e constituem-se em excelente método de alquilação de cetonas.^{69,70}

Trialquilboranos reagem rapidamente com α -bromo cetonas na presença de base para fornecer cetonas alquiladas em elevados rendimentos.⁷¹

__

⁶⁷ Fritz, H.; Stock, E.; *Tetrahedron* **1970**, *26*, 5821.

⁶⁸ Watanabe, S.; Sugu, K.; Fujita, T.; Gomi, T.; J. Appl. Chem. Biotechnol. **1973**, 23, 501.

⁶⁹ Cram, D. J.; Wilson, D. R.; J. Am. Chem. Soc. **1963**, 85, 1245.

⁷⁰ Glass, R. S.; Deadorff, D.R.; Henegar, K.; *Tetrahedron Lett.* **1980**, *21*, 2467.

⁷¹ Grewe, R.; *Chem. Ber.* **1938**, *71*, 907.

As α-halo cetonas sofrem rearranjos em presença de bases dando formação de derivados de ácidos carboxílicos. A utilização de íons hidróxidos, alcóxidos ou aminas como base, fornecem o ácido livre (sal), ésteres ou aminas, respectivamente. Esta reação é conhecida como rearranjo de Favorskii.⁷²

Na ausência de um H-α à carbonila no carbono não halogenado, as αhalo cetonas rearranjam fornecendo o mesmo tipo de produto. Este rearranjo é chamado de quasi Favorskii. A obtenção do demerol,73 exemplifica esta reação:

⁷² Akhrem, A. A.; Ustynyuk, T. K.; Titov, Y. A.; *Russ. Chem. Rev.* **1970**, *39*, 732. ⁷³ Smissman, E. E.; Hite, G.; *J. Am. Chem. Soc.* **1959**, *81*, 1201.

A reação de uma α -bromo cetona $\underline{92}$, esquema, com nucleófilos para obtenção de compostos do tipo $\underline{93}$, é postulada ocorrer via mecanismo S_N -2.

Neste tipo de reação as propriedades elétron atraentes da carbonila desestabilizam fortemente a formação do íon carbônio intermediário e o mecanismo S_N -1 praticamente não ocorre. ⁷⁴

A **tabela 4** mostra a velocidade relativa das reações de alguns haletos através de um mecanismo S_N - $2.^{73}$ A maior velocidade de reação da α -halo cetona em comparação com a de um haleto primário, pode ser em parte atribuída a efeitos estéricos, visto que um grupo carbonila é menos volumoso que um grupo metileno, porém parece que a estabilização das interações eletrônicas é um argumento mais consistente.

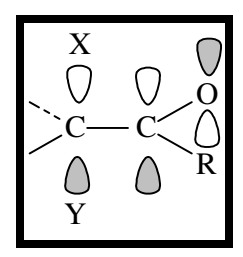
Tabela 4 - Efeitos de α -halo substituintes em reações S_N -2.⁷⁴

X-CH ₂ Cl	+ I →	X-CH ₂ I	+ Cl
X	veloc. relativa	X	veloc. relativa
CH ₂ CH ₂ CH ₂ -	1	Ph(O=C-)	$3,2x10^4$
PhSO ₂ -	0,25	N=C-	3.0×10^3
CH ₃ (O=C-)	3.5×10^4	$C_2H_5O(O=C-)$	$1,7x10^3$

_

⁷⁴ Carey F. A.; Sundberg, R. J.; "Advanced Organic Chemistry. Part A: Structure and Mechanisms", Third Edition, Plenum Press, New York and London, **1990**, pág 296.

O grupo carbonila adjacente ao haleto, pode baixar a energia do orbital tipo- π no estado de transição S_N -2, pela interação com o orbital vazio π^* do grupo carbonila. ⁷⁴



Nem todos os grupos eletroatraentes exibem esse tipo de comportamento, por exemplo, o sulfonil cujos orbitais não conjugam com o orbital π do estado de transição, retarda a velocidade de reação de substituição S_{N} -2 em um carbono adjacente.

As reações das α -bromo cetonas para a formação dos β -cetoéteres e dos β -cetosulfetos que serão discutidas seguem este mecanismo.

3.1.3. Obtenção de neolignanas 8.0.4´ cetônicas e derivados (\beta-cetoéteres)

Além das diferentes propriedades biológicas apresentadas (vide parte biológica, seção 1.4.1.), as neolignanas cetônicas β -cetoéteres, são importantes intermediários na síntese de compostos modelo de ligninas excelentes modelos de reações estereosseletivas 75,76,78 a partir das quais as neolignanas 8.0.4 alcoólicas foram obtidas (seção 3.1.5).

As neolignanas cetônicas tipo $\underline{\mathbf{E}}$, foram sintetizadas (**Esquema 6**), através da condensação da α -bromo cetona $\underline{\mathbf{C}}$ com um derivado de fenol $\underline{\mathbf{D}}$.

Esquema 6 – Reação de obtenção de neolignanas cetônicas.

⁷⁶ Samuels, W. D.; Nelson, D. A.; Hallen R. T.; *Tetrahedron Lett.* **1986**, 27, 3091.

1984, Manaus-AM.

⁷⁵ Brunow, G.; Koskinen, L.; Urpilainen, P.; Acta. Chem. Scand. **1881**, 53.

⁷⁷ Stomberg, R.; Hauteville, M.; Lundquist, K.; *Acta. Chem. Scand.* **1888**, *B42*, 697.
⁷⁸ Santos, L. S.; Barata, L. E. S.; *Anais do 3° Brazilian Meeting on Organic Synthesis*,

O método de reação envolveu a condensação da α -bromo cetona $\underline{\mathbf{C}}$ com os derivados de fenol $\underline{\mathbf{D}}$ em butanona anidra sob refluxo, utilizando K_2CO_3 anidro como base, sendo o íon fenóxido gerado *in situ*.

No modelo de Forrest e col,³⁰ foram empregadas pequenas modificações no procedimento e teve o objetivo de aumentar o rendimento da reação. Assim o tempo de reação foi reduzido de 20 horas para 8-6 horas. No procedimento original a α-bromo cetona é utilizada em excesso e neste procedimento foram utilizados 1,5 % de excesso do fenol proporcionando o aumento de rendimento. O procedimento de isolamento também foi modificado, diminuindo a butanona em 1/3 de seu volume inicial antes da manipulação, visto que, este solvente é ligeiramente solúvel em água, dificultando o isolamento do produto. Com estas modificações, foi observado o aumento de rendimento de 56 % (procedimento original) para a faixa de 75-87 %.³⁰

3.1.4. Identificação de β-cetoéteres

Foram sintetizados os cinco compostos $\underline{94}$ - $\underline{98}$, sendo o composto $\underline{98}^{23}$ escolhido aqui para exemplificação de análise de β -cetoéteres, por ser um análogo cetônico da virolina, 22,23 e devido possuir uma maior complexidade do espectro de RMN de 1 H em relação aos outros quatro compostos.

Figura 9 - β-cetoéteres sintetizados.

Os demais compostos seguem a mesma sistemática e seus dados espectrais estão listados na parte experimental. Na **tabela 12** encontram-se listados os principais dados desses compostos.

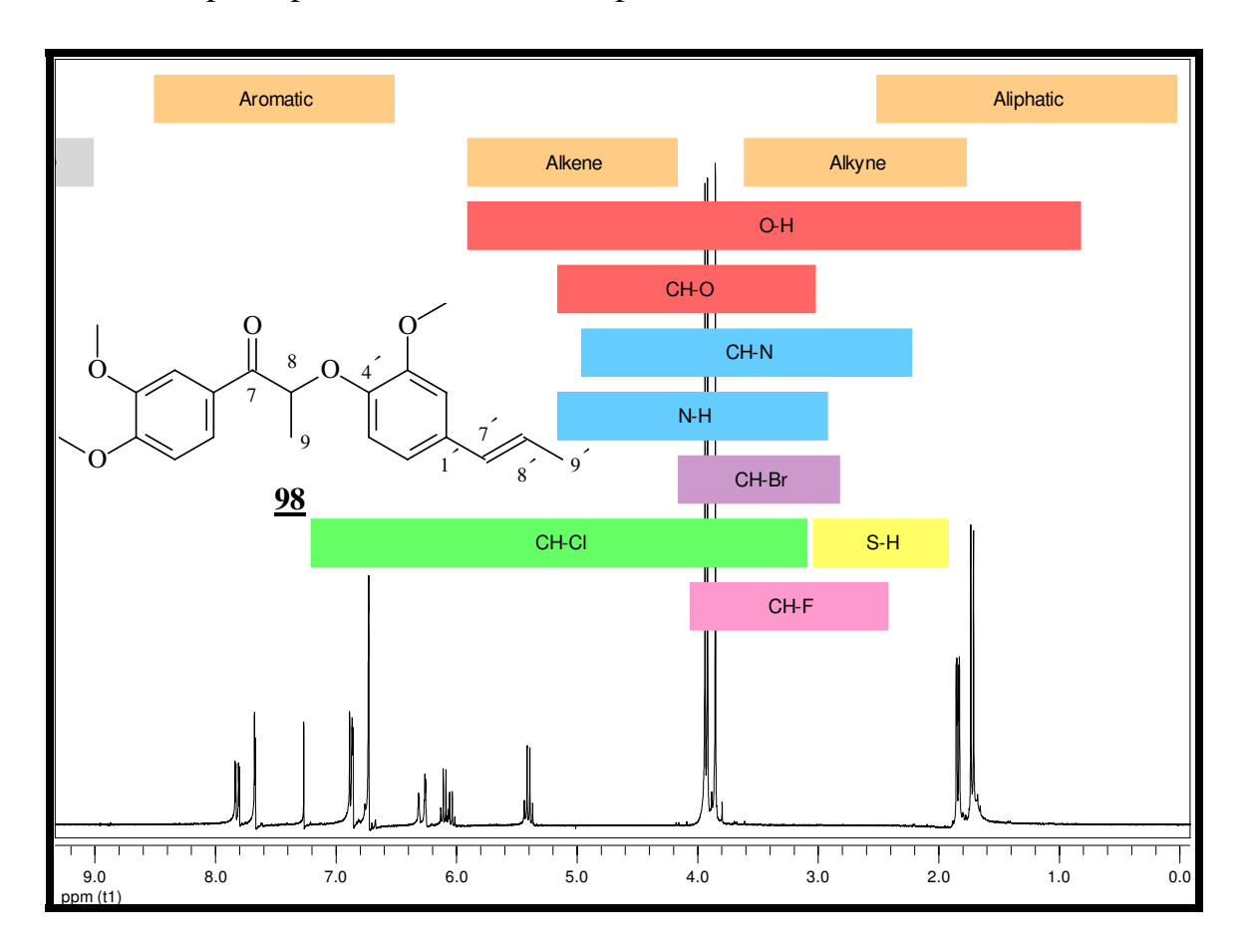


Figura 10 - Espectro de RMN de ¹H do composto **98** (500 MHz, CDCl₃).

O espectro no I.V. (**E-45**, pág. 295) de <u>98</u> apresenta banda de absorção a 1683 cm⁻¹, característica de cetona aromática. O espectro de RMN de ¹H (**Figura 10**), mostra um dupleto (J=6,8 Hz, 3H) em δ 1,72 referente à metila do C- 9, o duplo dupleto (J=6,8 Hz e J=1,5 Hz, 3H) em δ 1,84 é referente á metila do C-9′ sobre a ligação dupla, os singletos em δ 3,86 ; δ 3,92 e δ 3,94

são referentes às três metoxilas aromáticas, o quarteto (J=6,8 Hz, 1H) em δ 5,41 devido ao próton do C-8, o duplo quarteto (J=15,6 Hz e J=1,5 Hz, 1H) em δ 6,08 referente ao próton olefínico do carbono 8′, cuja constante de acoplamento

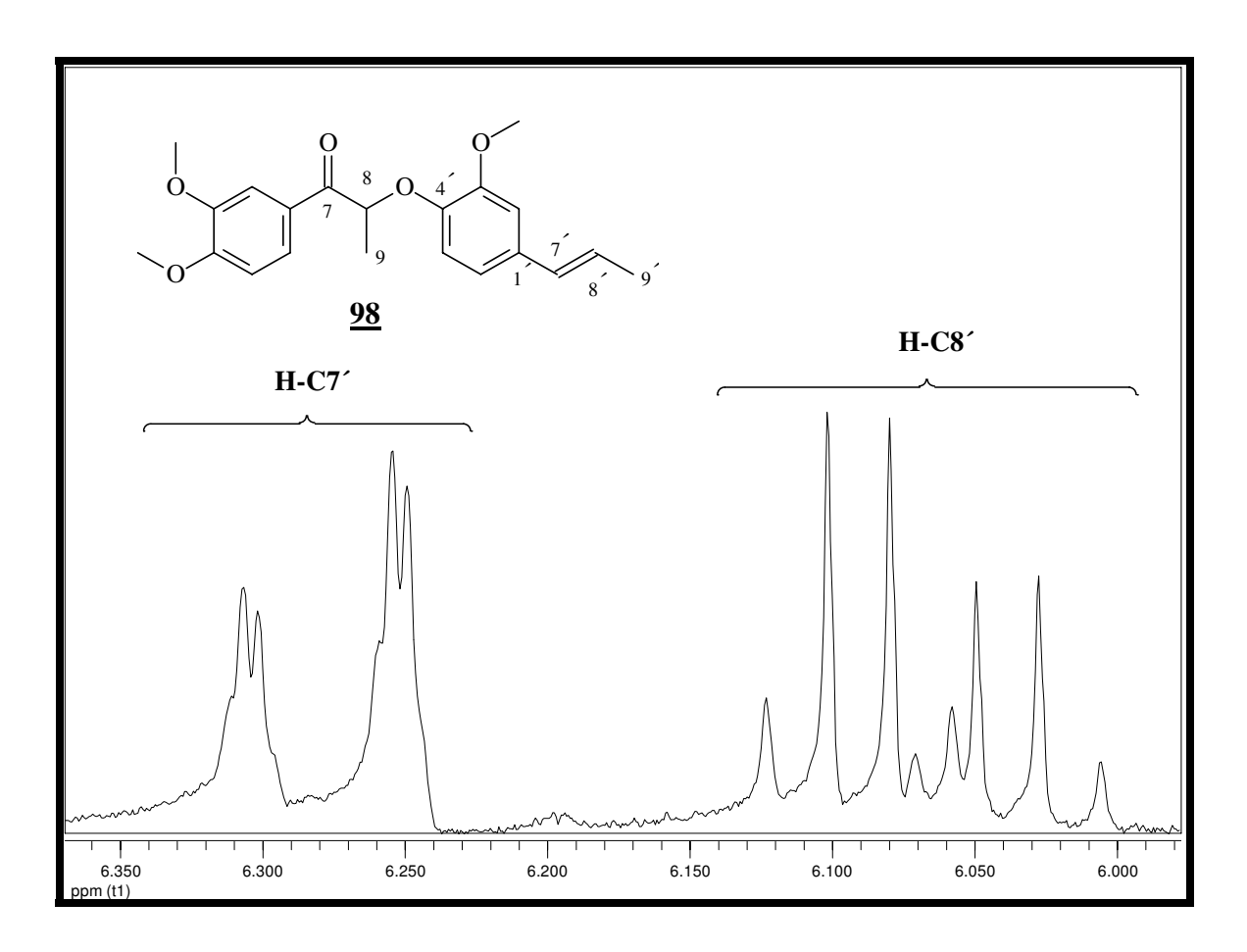


Figura 11– Expansão do espectro de RMN de ¹H referentes aos prótons olefínicos do C-7′ e C-8′do composto **98** (500 MHz, CDCl₃).

caracteriza sistema olefínico trans, o duplo dupleto (J=15,6 Hz e J=1,5 Hz, 3H) em δ 6,19 é devido ao próton olefínico do C-7′, cuja constante de acoplamento também caracteriza sistema olefínico trans (**Figura 11**), os multipletos (6H) em δ 6,75-7,67 referentes aos prótons aromáticos.

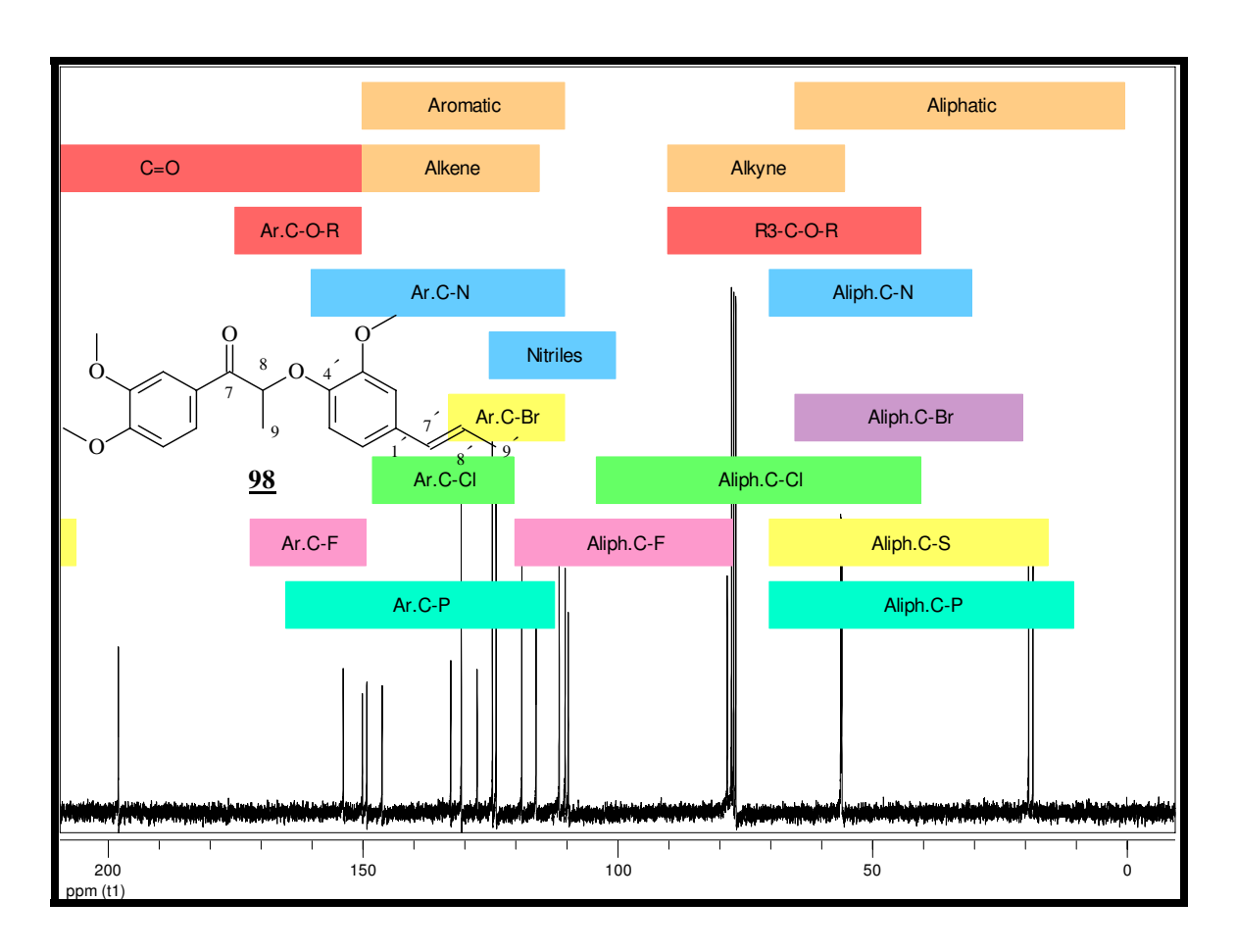


Figura 12 - Espectro de RMN de ¹³C do composto **98** (125 MHz, CDCl₃).

Tabela 5 - Dados de RMN de ¹H (CDCl₃, 500 MHz) e ¹³C (CDCl₃, 125 MHz) do composto <u>98</u>.

Posição	¹ H	¹³ C
1		127,4
2	6,75 –7,67	111,3
3		149,9
4		153,7
5	6,75 –7,67	110,1
6	6,75 –7,67	123,7
7		197,9
8	5,41 (q, J=6,8 Hz; 1H)	78,3
9	1,72 (<i>d</i> , <i>J</i> =6,8 Hz; 3H)	19,0
1′		132,6
2′	6,75 –7,67	109,5
3′		149,1
4′		146,1
5′	6,75 –7,67	115,8
6′	6,75 –7,67	118,6
7′	6,19 (<i>dd</i> , <i>J</i> =15,6 Hz e <i>J</i> =6,8 Hz; 1H)	130,5
8′	6,08 (<i>dq</i> , <i>J</i> =15,6 Hz e <i>J</i> =1,5 Hz; 1H)	124,4
9′	1,84 (<i>dd</i> , <i>J</i> =6,8 Hz e <i>J</i> =1,5 Hz; 3H)	18,2
OMe	3,86	56,0
OMe	3,92	55,8

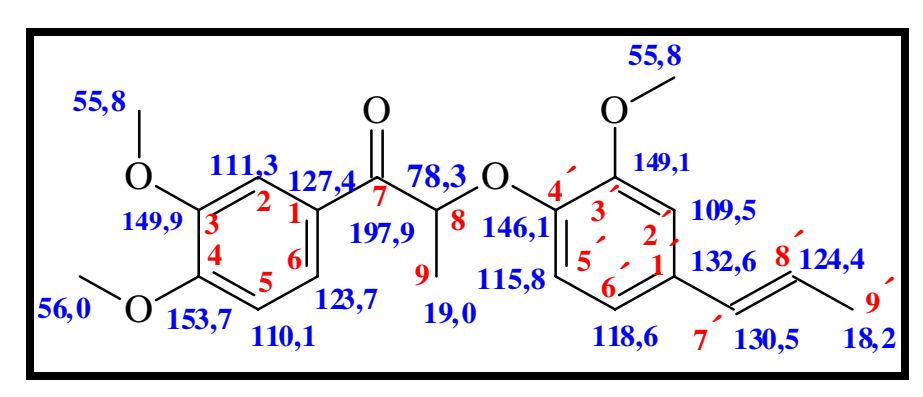


Figura 13 - Neolignana <u>98</u> e os valores de deslocamentos de RMN de ¹³C.

No espectro de RMN de 13 C, observam-se dois sinais referentes aos grupos OMe: δ 56,0 e δ 55,8. Os dois sinais em δ 130,5 e δ 124,4 são atribuídos aos carbonos olefínicos C-7' e C-8'; os sinais das metilas Me-9 e Me-9' aparecem em δ 19,0 e δ 18,2 respectivamente e o sinal do carbono C-7 em δ 197,9 referente ao deslocamento característico de carbonila e finalmente o sinal em δ 78,3 referente ao C-8 (**Figuras 12** e **13**).

O íon molecular $[M]^+$ 356 (54) está de acordo com a fórmula molecular $C_{21}H_{24}O_5$ para o composto <u>98</u> e a fragmentação dos íons principais está ilustrada no **esquema 7**. Os outros quatro β -cetoéteres (<u>94-97</u>) seguem o mesmo padrão de fragmentação. Os espectros de gCOSY (**E-43**, pág. 293) e HSQC (**E-44**, pág. 294) ajudaram a confirmar a sua estrutura química.

Esquema 7 - Proposta de fragmentação do composto <u>98</u> no EM.

Na **tabela 6**, estão listados os principais fragmentos no EM dos β -cetoéteres. As estruturas destes compostos encontram-se na **tabela 8**.

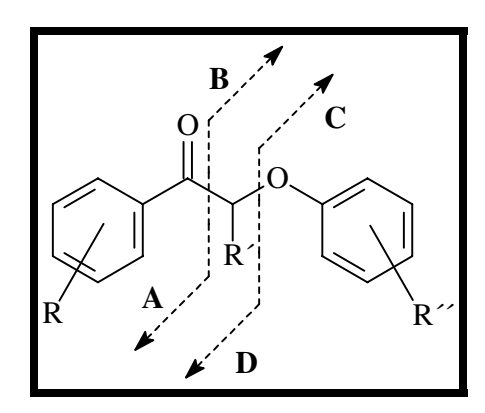


Tabela 6 - Fragmentação de β -cetoéteres no EM.

Composto	$[M]^+$	A	В	С	D
94	212 (25)	105 (100)	107 (4)		
<u>95</u>	292 (82)	139 (100)	153 (85)		
<u>96</u>	306 (10)	165 (100)			
<u>97</u>	346 (44)	165 (100)	181 (58)	153 (20)	193 (4)
<u>98</u>	356 (54)	165 (100)		163 (15)	191 (26)

Tabela 7 – Lista de espectros dos β -cetoéteres. **Anexo**(página).

Comp.	RMN de	RMN de	DEPT	gCOSY	HSQC	IV	EM
	1 H	¹³ C					
94	20 (270)	21 (271)	22 (272)	23 (273)		24 (274)	25 (275)
<u>95</u>	26 (276)	27 (277)	28 (278)			29 (279)	30 (280)
<u>96</u>	31 (281)	32 (282)		33 (283)		34 (284)	35 (285)
<u>97</u>	36 (286)	37 (287)		38 (288)		39 (289)	40 (290)
<u>98</u>	41 (291)	42 (292)		43 (293)	44 (294)	45 (295)	46 (296)

Resultados e Discussão

Tabela 8 – Derivados de neolignanas do tipo 8.O.4′.

Composto	RMN d	e ¹ H	H RMN de ¹³ C		IV	EM
	(ppn	1)	(ppm)		(C=O) $M^+(\%)$	
					cm ⁻¹	
	H- C8	Me-C8	C -8	C -9		
	5,25(s, 2H)		70,7		1706	212 (25)
<u>94</u>						
O SCH ₃ O S	5,25(s, 2H)		71,7		1698	292 (82)
9 <u>6</u>	3,92 (s, 3H)		70,8		1686	306 (10)

Resultados e Discussão

Tabela 8 (cont.) - Derivados de neolignanas do tipo 8.O.4'.

Composto	RMN de ¹ H (ppm)		RMN de ¹³ C (ppm)		IV (C=O) cm ⁻¹	EM M ⁺ (%)
	H- C8	Me-C8	C- 8	C -9		
<u>97</u>	5,60 (<i>q</i> , <i>J</i> =6,8 Hz; 1H)	1,87 (<i>d</i> , <i>J</i> =6,8 Hz; 3H)	80,8	18,2	1673	346 (44)
	5,41 (<i>q</i> , <i>J</i> =6,8 Hz; 1H)	1,72 (<i>d</i> , <i>J</i> =6,8 Hz; 3H)	78,3	19,0	1683	356 (54)
<u>98</u>						

3.1.5. Obtenção de neolignanas alcoólicas 8.0.4' e derivados (\beta-hidroxiéteres).

3.1.5.1. Via reduções estereosseletivas

Uma reação é chamada esterosseletiva quando um dos diversos estereoisômeros é formado exclusiva ou predominantemente. A redução de β -cetoéteres $\underline{\mathbf{F}}$ pode levar a dois diastereoisômeros eritro e/ou treo (**Esquema 8**).

Esquema 8 – Reação de redução de β-cetoéteres.

Reduções de cetonas que apresentam um grupo polar na posição α à carbonila leva predominantemente ao isômero *eritro*, ^{30,79,80} que podem ser mecanisticamente explicados pelo modelo rígido do anel de cinco membros, estado de transição A⁺, proposto por Cram e Wilson. ⁶⁹ A transferência se faz pelo lado menos impedido da molécula.

$$\begin{bmatrix} & \bigoplus_{\substack{M\\ M\\ O' OAr'} \\ H & CH_3 \end{bmatrix} A^+ \\ & H & CH_3 \end{bmatrix}$$

Glass e col.,⁷⁰ reduziram diversos α-alcoxi-β-cetoésteres com NaBH₄ e 2-propanol e sempre obtiveram o isômero *eritro* em maior proporção. Para explicar a estereosseletividade da redução com NaBH₄, Glass e col.,⁷⁰ admitiram que o cátion Na⁺ "quelava" efetivamente ambos os átomos de oxigênio do grupo alcoxi e cetona dos α-alcoxi-β-cetoésteres, formando um complexo cíclico penta coordenado B⁺, de acordo com o modelo rígido proposto por Cram e Wilson.⁶⁹

⁷⁹ Wallis, A. F. A.; *Aust. J. Chem.* **1973**, *26*, 585.

⁸⁰ Koga, K.; Yamada, S.; Chem. And Pharm.Bull. Japan 1972, 20, 526.

$$\begin{array}{c} \bigoplus_{\substack{\text{Na}\\\text{Na}\\\text{OMe}}} \\ \text{OMe} \end{array} \qquad \begin{array}{c} \bigoplus_{\substack{\text{Red.}\\\text{Ph}}} \\ \text{B}^+ \\ \text{CO}_2 t\text{-Bu} \end{array}$$

Samuels e col.⁷⁶ durante suas investigações sobre os detalhes mecanísticos da decomposição térmicas de materia ligno-celulósicos, reduziram os β-cetoéteres <u>100-103</u> com LiAlH₄, NaBH₄ e Zn(BH₄)₂ e observaram a influência de grupos substuintes na diastereoseletividade da redução desses compostos. O isômero *eritro* foi majoritário com exceção do composto, onde a proporção de isômeros eritro: *treo* foi 1: 99, respectivamente, para todos os redutores empregados.

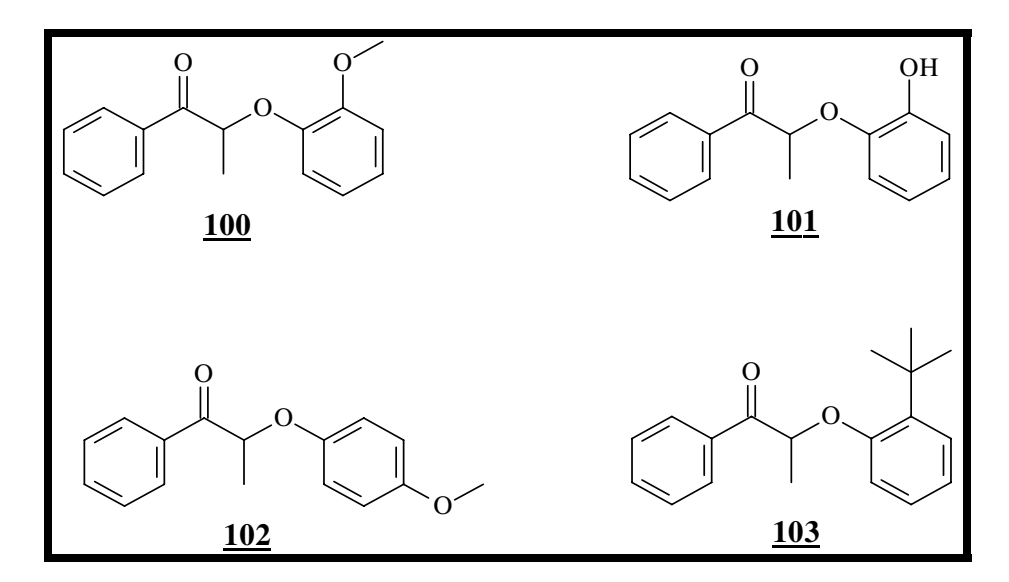
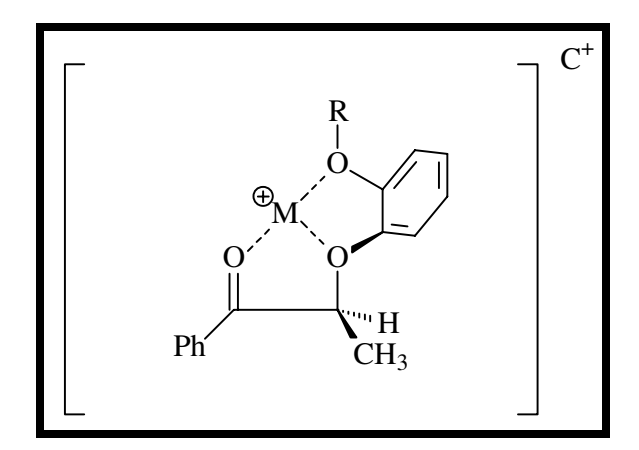


Figura 14 – Exemplos de β-cetoéteres.

A proporção do isômero *eritro* na redução dos β-cetoéteres decresceu na seguinte ordem 101 > 100 > 102 > 103, independente do redutor. Para explicar os resultados, Samuels e col. 60 observaram que o modelo rígido do anel de cinco membros A propostos por Cram e Wilson 9, descrevia adequadamente a diasteroseletividade da redução de compostos como 100 e 101 que apresentam substituintes metoxi e hidroxi na posição *orto* do anel aromático B. Descrevia razoavelmente a redução de compostos como o 102 que não apresenta substituintes na posição *orto*, porém não explicava a diastereoseletividade observada na redução do composto 103. De alguma forma, os grupos metoxi e hidroxi deveriam estar contribuindo para uma maior estabilidade do estado de transição, portanto o modelo A necessitava de alguma modificação. Assim esses autores através da observação de modelos moleculares, propuseram a formação, no estado de transição, de um intermediário bicíclico como C⁺, para explicar à maior diastereoseletividade observada para os compostos 100 e 101 (Figura 14).



Cetonas que não apresentam grupos metoxi ou hidroxi na posição *orto* do anel B, como <u>102</u>, tem a diasteroseletividade reduzida com respeito ao isômero *eritro* e o estado de transição postulado é o A⁺.

A predominância do isômero *treo* na redução de <u>103</u>, pode ser atribuída ao impedimento estérico provocado pelo grupo terc-butila do anel B, que impede a formação do modelo cíclico, de acordo com o estado de transição A⁺ e a molécula adota o estado de transição aberto D⁺, proposto por Cram e Wilson.⁶⁹

$$\begin{array}{c|c} & & & & \\ & & & \\ & & & \\ & & & \\ & & & \\ & & & \\ & & & \\ & & & \\ & & & \\ & & & \\ & & & \\ & & & \\ & & & \\ & & & \\ & & & \\ &$$

Brunow e col.⁷⁵ em seus estudos sobre a síntese de compostos modelos de ligninas, reduziram o β-cetoéter <u>104</u> com NaBH₄ em etanol e obtiveram uma mistura de diastereoisômeros *eritro* <u>105</u> : *treo* <u>106</u> (89 : 11). Na tentativa de obter o isômero *treo* majoritário, estes autores utilizaram NaBH₄ em uma resina de troca iônica de um sal de amônio quaternário, obtiveram uma mistura de alcoóis com razoável estereosseletividade *eritro* <u>105</u> : *treo* <u>106</u> (28 : 72) (**Equema 9**).

Esquema 9 – Redução estereosseletiva de β-cetoéter.

As estruturas do tipo 8.O.4′, constituem os principais tipos de elementos estruturais em ligninas.^{78,81} Dímeros do tipo 8.O.4′, derivados de alil e propenil fenóis são comumente conhecidos como neolignanas², que podem ser encontrados como alcoóis e cetonas, entre outros.

Neolignanas alcoólicas do tipo 8.O.4′ ocorrem na natureza como alcoóis de configuração relativa *eritro* ou *treo* e como foi abordado, as reduções de β-cetoéteres (neolignanas cetônicas), geram predominantemente o isômero *eritro*.

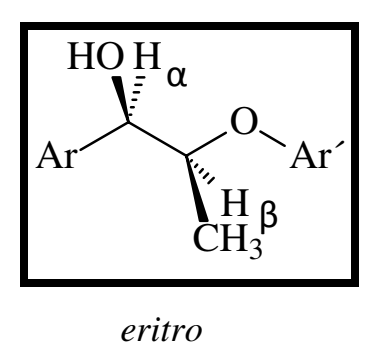
3.1.6. Identificação de neolignanas alcoólicas (β-hidroxiéteres)

A determinação da configuração relativa dos alcoóis *eritro* e *treo* foi baseada na análise dos espectros de RMN de ¹H, através das constantes de acoplamento entre os prótons do C-7 e do C-8, segundos os argumentos de Wallis.⁷⁹

73

⁸¹ Karlsson, O.; Lundquist, K.; Meuller, S.; Westlid, K.; *Acta Chem. Scand. Ser.* **1988**, *B42*, 48.

A conformação mais provável de neolignanas alcoólicas 8.O.4′ pode ser deduzida^{57,69} a partir de seu espectros de IV, RMN de ¹H e RMN de ¹³C.



treo

Experimentos na região do I.V. com neolignanas alcoólicas 8.O.4′, mostraram que a absorção da hidroxila independe da variação da concentração desses compostos, indicando claramente a existência de ligações hidrogênio intramolecular entre a hidroxila benzílica e o grupo ariloxi.^{79,82}

Das possíveis projeções alternadas de Newman dos isômeros *eritro* (I-L) e *treo* (M-O), **figura 15**, os rotâmeros A e F apresentam suas hidroxilas e grupos ariloxi numa relação antiperiplanar, que impede a formação de ligação de hidrogênio intramolecular, portanto estes rotâmeros não devem contribuir significativamente para a conformação desses diastereoisômeros.

74

⁸² Braga, A. C. H.; Zacchino, Badano, H.; Sierra, M. G.; Rúveda, E. A.; *Phytochemistry* **1984**, *23*, 2025.

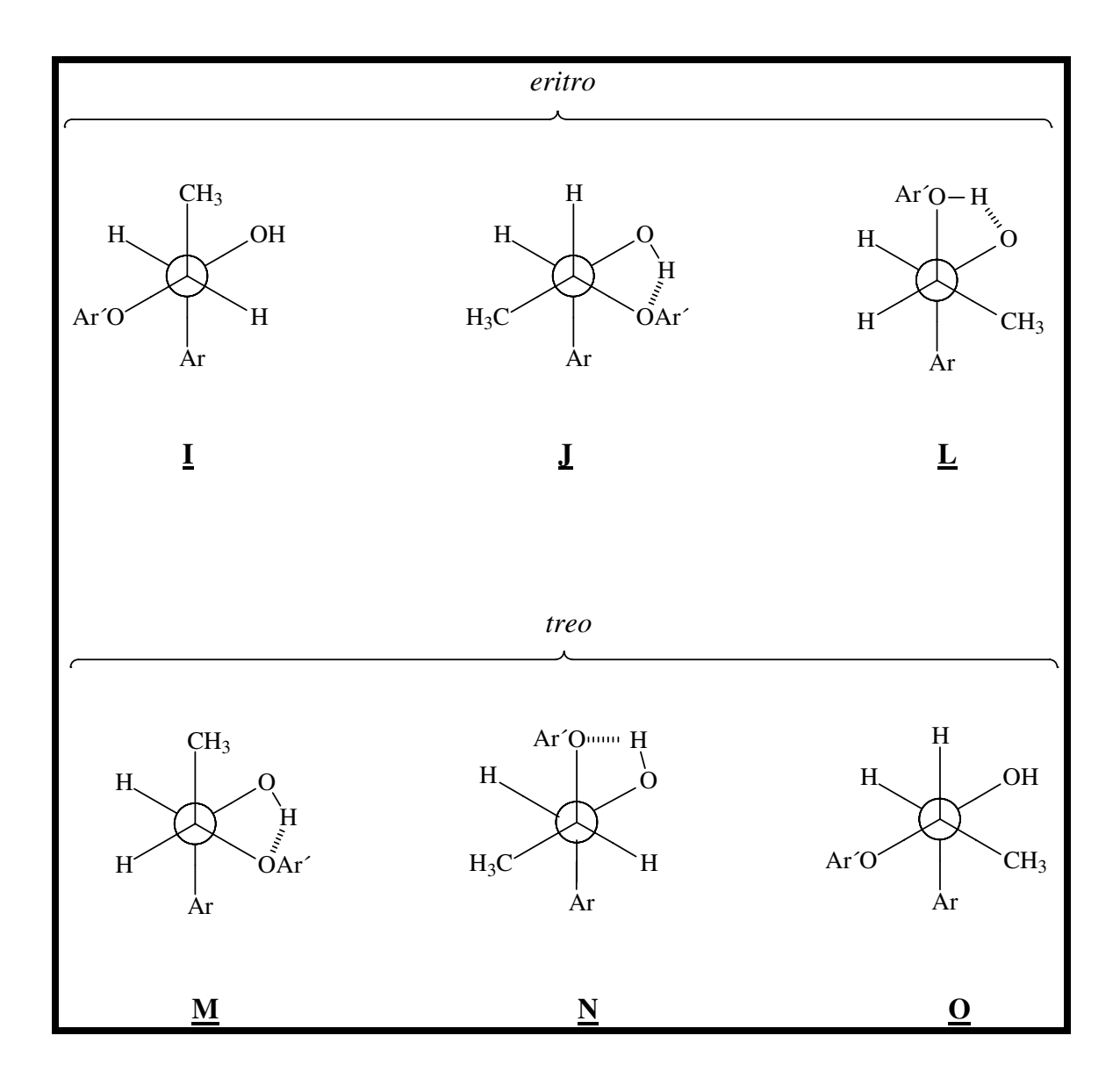


Figura 15 - Projeções de Newman para os isômeros eritro ($\underline{\mathbf{I}}$ - $\underline{\mathbf{L}}$) e treo ($\underline{\mathbf{M}}$ - $\underline{\mathbf{O}}$).

Nos espectros de RMN de ¹H dos pares diastereoisôméricos, as constantes de acoplamento são da ordem de 3,0 e 8,0 Hz, que estão consistentes com os ângulos diedros entre o próton do C-7 e o próton do C-8 de aproximadamente 60° e 180°, respectivamente. Isto permitiu assinalar o confôrmero N da forma *treo* para o álcool com maior constante de

acoplamento e as conformações \underline{J} ou \underline{L} da forma eritro para o álcool com menor constante de acoplamento.

Os sinais dos prótons do C-7 e C-8 dos isômeros *treo* estão na RMN em campo alto comparados aos correspondentes prótons dos isômeros *eritro*. Esta observação fez Wallis⁷⁹ assinalar o rotâmero **J** como sendo a conformação preferida para o isômero *eritro*. Entretanto Braga e col.⁸² contestaram os resultados de Wallis, argumentando que os deslocamentos químicos dos prótons do C-7 e C-8 não são conclusivos para decidir qual dos dois confôrmeros (**J** ou **L**) deve contribir mais para o isômero *eritro*.

Parece que os resultados de Braga e col. 82 são mais consistentes, além de que, no confôrmero **L** os grupos mais volumosos ariloxi e aril, guardam entre si, uma relação antiperiplanar que deve minimizar a energia da molécula. No entanto, essa divergência de resultados sugere que outros experimentos, como cálculos de mecânica quântica deve ser realizado para indicar sem ambigüidades, a conformação mais estável do isômero *eritro*.

Neste sentido, foi sintetizado o composto <u>69</u>, uma neolignana alcoólica, através da reação de redução da neolignana na forma cetônica <u>98</u>, utilizando NaBH₄ e metanol como solvente. A maior proporção do isômero *eritro* nesta reação é compatível com os estudos feitos sobre redução de cetonas abertas que possuem um carbono α assimétrico e, além disso, ligado a esse carbono um grupo polar. É admitido que a cetona e o redutor formem um intermediário cíclico de cinco membros, com posterior ataque à carbonila pelo lado menos impedido.

Esquema 10 - Redução da cetona com borohidreto de sódio.

Para analisar as neolignanas na sua forma alcoólica, os espectros de RMN de ¹H e RMN de ¹³C dos produtos da redução, sugeriram uma mistura de substâncias, deduzida da série de picos com intensidades diferentes. Os sinais de espectro correspondentes ao isômero *eritro* <u>69</u> e ao isômero *treo* <u>69</u> foram determinados pelas intensidades, devido à maior porcentagem do isômero *eritro* (**Figura 16**).

Figura 16 – Estruturas dos compostos <u>69</u> eritro e <u>69</u> treo.

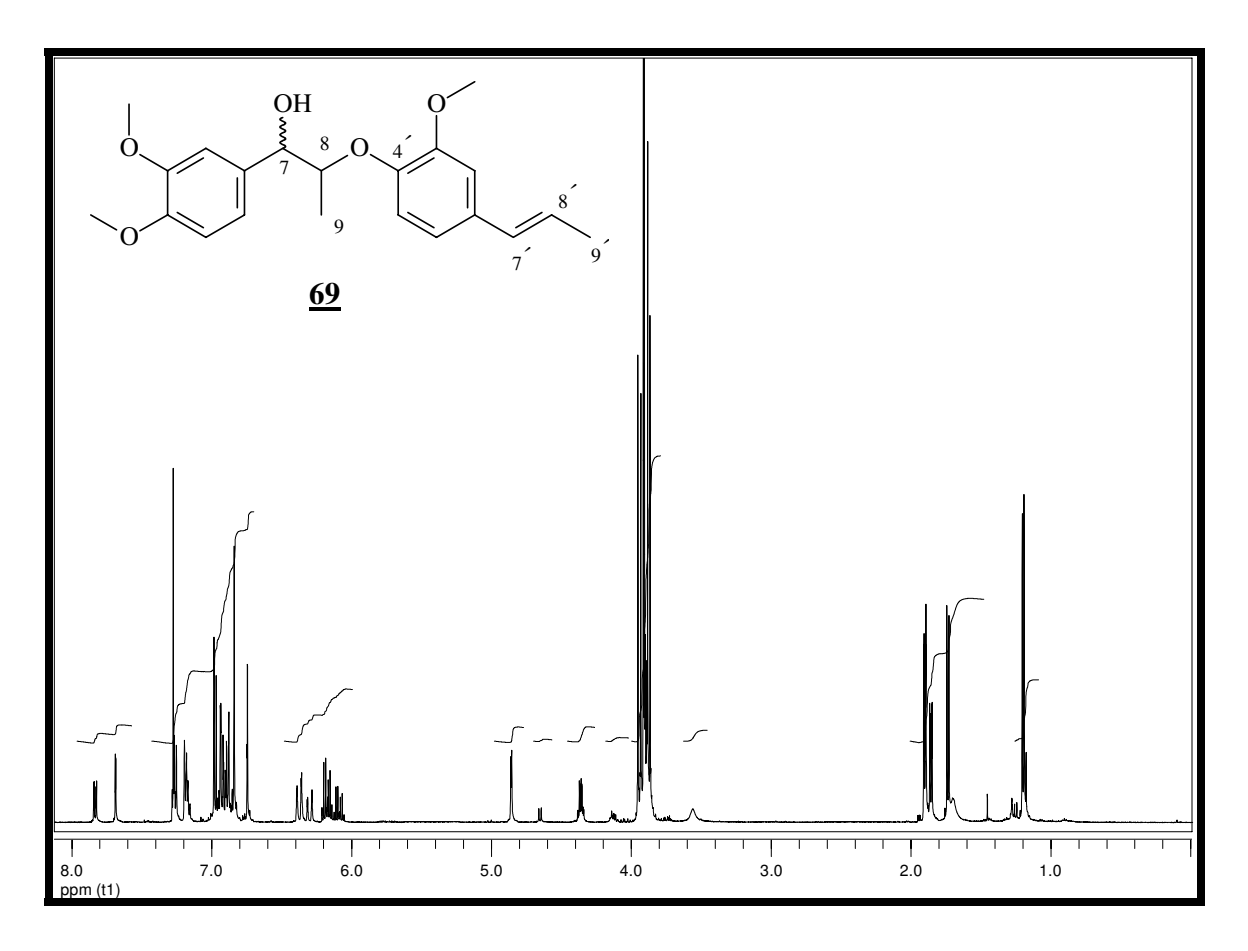


Figura 17 - Espectro de RMN de ¹H do composto <u>69</u> (500 MHz, CDCl₃).

O espectro no I.V. (**E-128**, pág. 378) <u>69</u> *eritro* apresenta banda de absorção a 3486 cm⁻¹, característica de grupo hidroxila. O espectro de RMN de ¹H mostra um dupleto (J=6,8 Hz, 3H) em δ 1,17 referente à metila do C-9, o duplo dupleto (J=6,8 Hz e J=1,5 Hz, 3H) em δ 1,88 é referente à metila do C-9′ sobre a ligação dupla, os singletos em δ 3,90; δ 3,91 e δ 3,94 são referentes as três metoxilas aromáticas, o duplo quarteto (dq, J=9,5 e 6,3 Hz; 1H), em δ 4,34 é atribuído ao próton metínico do C-8, o dupleto centrado em δ 4,84 (d, J=3,0 Hz; 1H), atribuído ao próton metínico do C-7 e apresentando

valor da constante de acoplamento de 3,0 Hz, característico de configuração e*ritro* (**Figura 18**), o duplo quarteto (J=15,6 Hz e J=6,6 Hz, 1H) a δ 6,17 referente ao próton olefínico do carbono 8′, cuja constante de acoplamento caracteriza sistema olefínico trans, o duplo dupleto (J=15,7 Hz e J=1,6 Hz, 1H) em δ 6,36 é devido ao próton olefínico do C-7′, cuja constante de acoplamento também caracteriza sistema olefínico trans, os multipletos (6H) a δ 6,71-7,83 referentes aos prótons aromáticos (**Figura 17**).

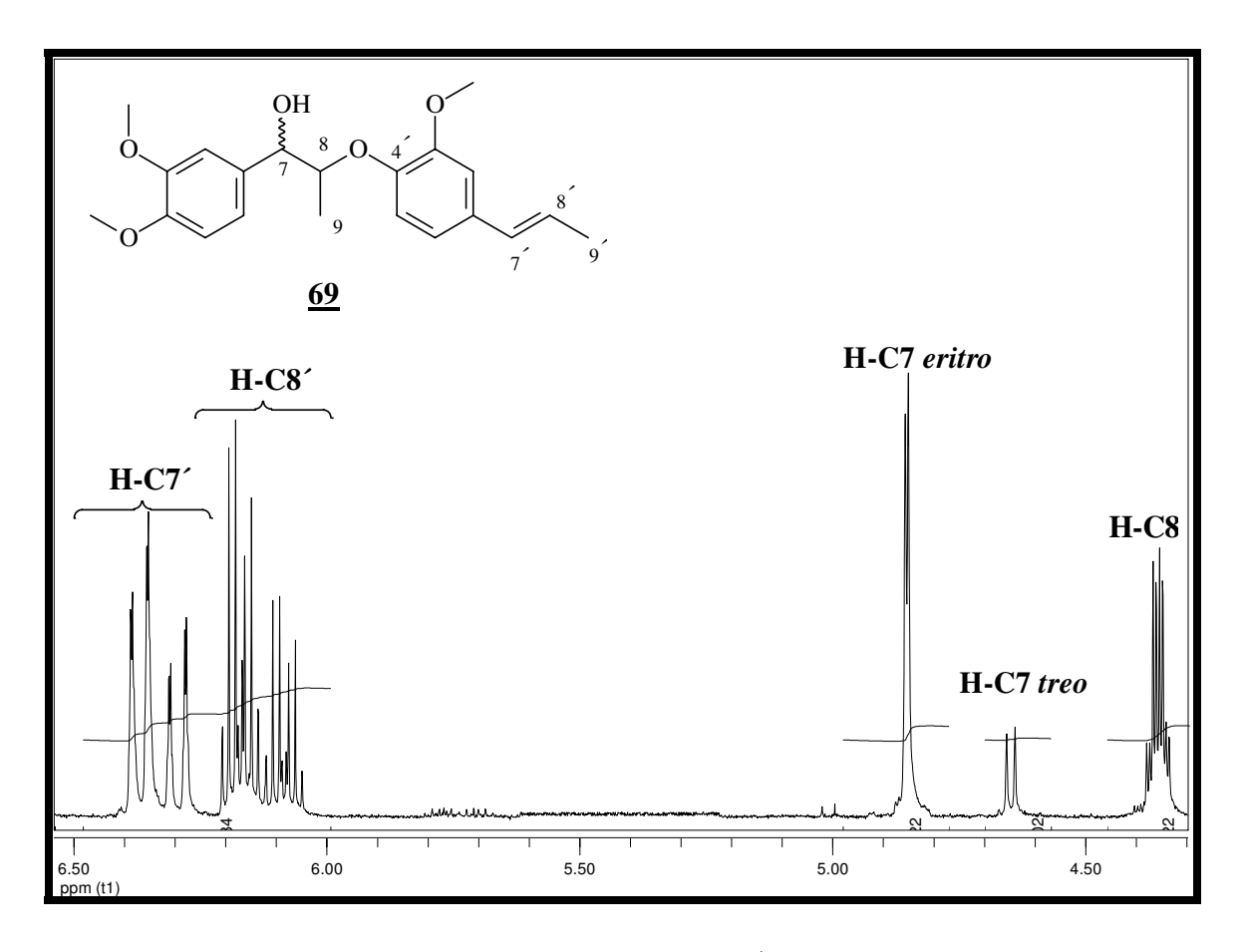


Figura 18 – Expansão do espectro de RMN de ¹H referentes aos prótons do C-7, C-8, C-7´ e C-8´ do composto **69** (500 MHz, CDCl₃).

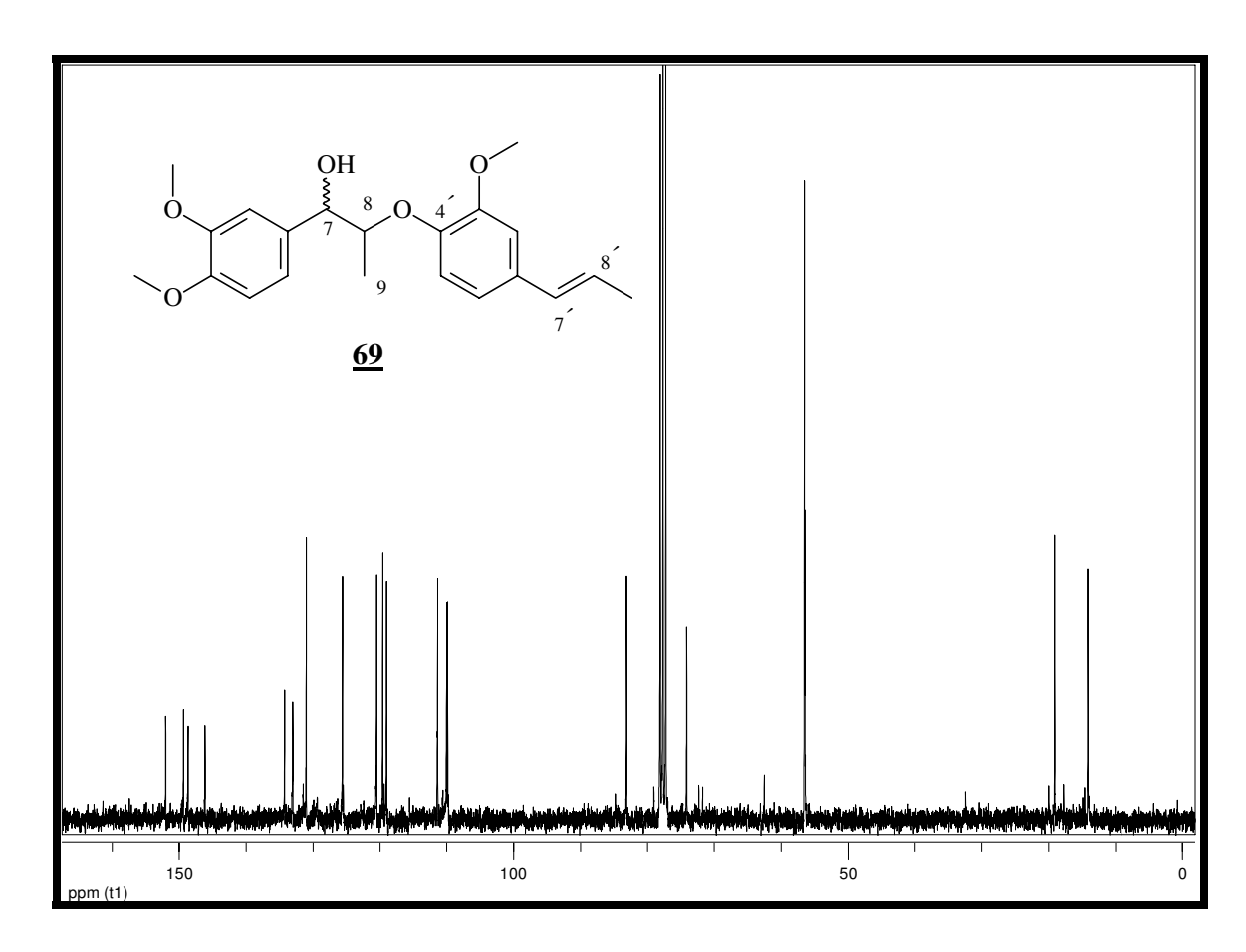


Figura 19 – Espectro de RMN de ¹³C do composto <u>69</u> (125 MHz, CDCl₃).

No espectro de RMN de 13 C, podem-se observar sinais referentes aos grupos OMe: δ 55,7; δ 55,8 e δ 55,9. Os dois sinais em δ 130,4 e δ 124,3 são atribuídos aos carbonos olefínicos C-7' e C-8'; os sinais das metilas do C-9 e do C-9' aparecem em δ 13,4 e δ 18,4 respectivamente e os sinais dos carbonos C-7, em δ 73,4 e C-8 em δ 82,5 (**Figuras 19** e **20**).

O íon molecular $[M]^+$ 358 (2) está de acordo com a fórmula molecular $C_{21}H_{26}O_5$ para o composto <u>69</u>.

O espectro de gCOSY (**E-126**, pág. 376) ¹H-¹H exibe as correlações entre os prótons ligados ao C-7' e C-8', que acoplam entre si e com a metila da posição C-9'. Outra correlação vista no espectro é no próton do C-8, que acopla com o próton do C-7 e com os prótons ligados ao C-9.

Os espectros de DEPT (**E-125**, pág. 375), e HSQC (**E-127**, pág.377) ajudaram a confirmar a sua estrutura química.

Tabela 9 - Dados de RMN de 1 H (CDCl₃, 500 MHz) e 13 C (CDCl₃, 125 MHz) do composto <u>69</u> *eritro*.

Posição	¹ H	¹³ C
1		132,4
2	6,71 – 7,83	110,0
3		148,1
4		151,4
5	6,71 – 7,83	104,4
6	6,71 – 7,83	119,9
7	4,84 (<i>d</i> , <i>J</i> =3,0 Hz; 1H)	73,4
8	4,34 (<i>dq</i> , <i>J</i> =9,5 e 6,3 Hz; 1H)	82,5
9	1,17 (<i>d</i> , <i>J</i> =6,4 Hz; 3H)	13,4
1′		133,7
2′	6,71 – 7,83	110,0
3′		149,8
4′		145,9
5′	6,71 – 7,83	119,0
6′	6,71 – 7,83	119,9
7′	6,36 (<i>dd</i> , <i>J</i> =15,7 e <i>J</i> =1,6 Hz; 1H)	130,4
8′	6,17 (<i>dq</i> , <i>J</i> =15,6 e <i>J</i> =6,6 Hz; 1H)	124,3
9′	1,88 (<i>dd</i> , <i>J</i> =6,6 e 1,6 Hz; 3H)	18,4
OMe	3,86	55,9
OMe	3,92	55,8
OMe	3,94	55,8

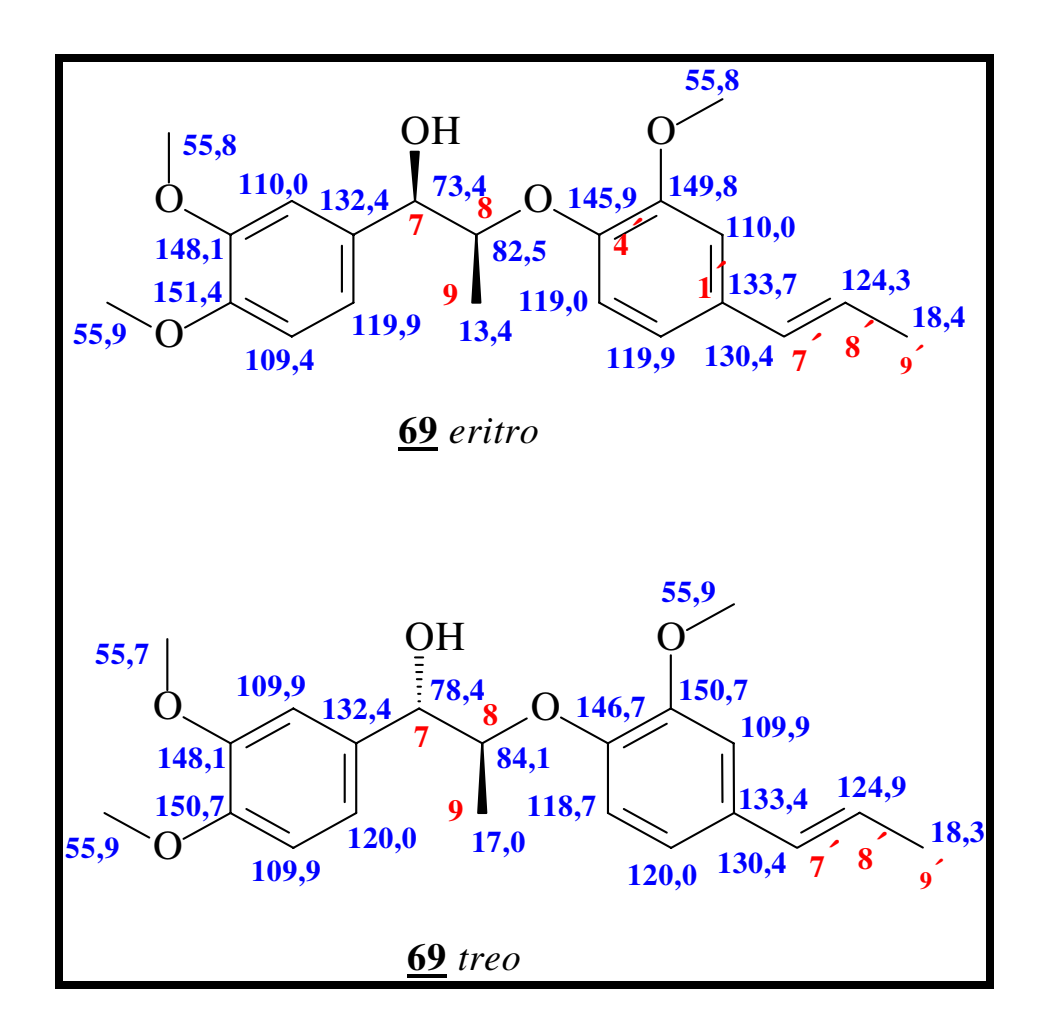


Figura 20 - Neolignanas $\underline{69}$ *eritro* e $\underline{69}$ *treo* e os valores de deslocamentos de RMN de 13 C.

3.2. Obtenção de análogos sulfurados de neolignanas 8.O.4' (β-cetosulfetos)

3.2.1. Introdução

Neolignanas 8.0.4′, possuem oxigênio ligado ao carbono 8. Com o objetivo de observar como a substituição do oxigênio pelo átomo de enxofre no C-8, afeta a atividade biológica destes compostos, sintetizamos substâncias correlatas para verificar a influência desta substituição.

Os compostos carbonílicos de enxofre são intermediários valiosos em síntese orgânica, devido aos vários estados de valência do átomo de enxofre e a capacidade de estabilização de cargas positivas ou negativas em átomos de carbonos adjacentes. Estes compostos podem ser obtidos através de várias metodologias.

O **esquema 11** mostra as diversas sequências sintéticas de obtenção e reação de compostos β -cetosulfurados. 83

Esquema 11 - Reações de compostos β -cetosulfurados.

⁸³ Seebach, D.; Teschner, M.; Chem. Ber. 1976, 109, 1601.

3.2.2. Obtenção de β-cetosulfetos

Diversos métodos de obtenção de β -cetosulfetos são descritos na literatura. Descreveremos a seguir alguns dos principais métodos de obtenção desses compostos.

Mousseron e col.⁸⁴ prepararam a 2-etiltio ciclohexanona <u>108</u>, pela reação da 2-cloro ciclohexanona <u>107</u> com etanotiol e sódio metálico.

Brintzinger e col. 85 prepararam β -cetosulfetos a partir de uma cetona com cloreto de metano sulfenila. O composto $\underline{\mathbf{109}}$ foi obtido em rendimento quantitativo por este método.

⁸⁴ Mousseron, M.; Jacquier, R.; Fontaine, A.; Bull. Soc. Chim. Fr. 1952, 767.

⁸⁵ Brintzinger, H.; Langheck, M.; *Chem. Ber.* **1953**, 83, 557.

Os β -cetosulfetos podem ser preparados via enaminas com bom rendimento, como no método descrito por Kumamoto e col. 86 para a obtenção de 2-feniltio ciclohexanona $\underline{\mathbf{110}}$.

Seebach e Teschner⁸³relataram um método de sulfenilação direta de cetonas, a partir de enolatos de lítio com cloretos de alquil ou aril sufenilas, como mostrado na preparação 2-feniltio heptanona <u>111</u>.

⁸⁶ Kumamoto, T.; Kobayashi, S.; Mukaiyama, T.; Bull.. Soc. Chim. Jpn. 1972, 45, 886.

Lapkin e col. 87 , desenvolveram as sínteses de β -cetosulfetos baseados na reação de α -bromozinco cetonas com cloretos de arenos sulfenilas. Os β -cetosulfetos foram obtidos na ordem 68-77 % de rendimento.

Trost e col.,⁸⁸ introduziram outro método de sulfenilação direta de cetonas, através da reação de enolatos com dissulfetos de dialquila ou diarila. A obtenção do derivado sulfenilado <u>113</u> da cetona <u>112</u>, ilustra a utilização desse método.

⁷

⁸⁷ a) Lapkin, I. I.; Saitkulova, F. G.; *Zh. Organ. Khim.* **1968**, *4*, 1566. b) Lapkin, I. I.; Saitkulova, F. G.; *Zh. Organ. Khim.* **1970**, *6*, 450. c) Lapkin, I. I.; Abashev, G. G.; Saitkulova, F. G.; *Zh. Organ. Khim.* **1976**, *12*, 967.

⁸⁸ Trost, B. M.; Salzman, T. N.; Hiroi, K.; *J. Chem. Amer. Soc.* **1976**, 98, 4887.

Gassman e col. ⁸⁹ obtiveram β -cetosulfetos pela sulfenilação de cetonas α,β -insaturadas, como mostrado na preparação de <u>114</u>, a partir da cetona α , β -insaturada abaixo.

$$\begin{array}{c|c}
 & Li / NH_3 \\
\hline
 & t\text{-BuOH} \\
\hline
 & Diagram \\
 & Diagram \\
\hline
 & Diagram \\
\hline
 & Diagram \\
\hline
 & Diagram \\
\hline
 & Diagra$$

Lissel 90 publicou um método brando para a obtenção de β -cetosulfetos, onde a 2-halo cetona e o composto tio derivado é condensado em meio

⁹⁰ Lissel, M.; *J. Chem. Res.(S)* **1982**, 286.

89

⁸⁹ Gassman, P. G.; Gilbert, D. P.; Cole, S. M.; J. Org. Chem. 1977, 42, 3233.

heterogêneo, pela utilização de cloreto de tri-caprilmetilamônio (aliquat), como catalisador de transferência de fase.

O β-cetosulfeto <u>116</u> foi obtido por este método em rendimento bem superior a aquele obtido pelo método de Mousseron e col.⁸⁴

Cl + ETSH
$$\frac{K_2CO_3 / \text{éter de petróleo}}{\text{LEO - Aliquat}}$$
 $\frac{O}{S}$ $\frac{116}{S}$

Trost e col. 91 sintetizaram β -cetosulfetos a partir de olefinas fluorborato de dimetil-tiosulfônio (DMSTF). O composto $\underline{\mathbf{118}}$ foi obtido por esse método a partir da olefina $\underline{\mathbf{117}}$.

⁹¹ Trost, B. M.; Shibata, T.; Martin, S. J.; J. Chem. Amer. Soc. 1982, 104, 3288.

Scholz⁹² introduziu metanotiosulfonato de metila como um novo agente de sulfenilação. A obtenção de 3-metiltio-2-norbornanona 119 a partir da 2norbornanona, ilustra a utilização desse método.

$$\frac{i) \text{LDA / THF}}{ii) \text{ MeSSMe}}$$

$$\frac{119}{2}$$

$$\frac{119}{2}$$

No ano seguinte, Scholz⁹³ apresentou outros tiosulfonatos como agentes sulfenilantes, os p-tolueno sulfonatos de alquila, os quais são preparados em bons rendimentos pela alquilação do p-tolueno sulfonotioato de potássio 120. O composto 121 foi obtido por esse método.

⁹² Scholz, D.; *Synthesis*, **1983**, 944.

⁹³ Scholz, D.; *Liebigs Ann. Chem.* **1984**, 259.

3.2.3. Obtenção de análogos sulfurados de neolignanas 8.0.4'

Os tiofenóis apresentam um caráter ácido mais elevado que os respectivos fenóis. Desse modo, para a obtenção dos β -cetosulfetos, empregamos a mesma metodologia desenvolvida para as sínteses de β -cetoéteres (seção 3.1.3.) a reação da α -bromo cetona $\underline{\mathbf{C}}$ com os derivados de tiofenol $\underline{\mathbf{P}}$ em refluxo com butanona, durante 3-8 horas, forneceu os β -cetosulfetos $\underline{\mathbf{Q}}$, em 66-91 % de rendimento (**Esquema 12**).

Esquema 12 – Reação de obtenção de β-cetosulfetos.

A **tabela 17** mostra os principais dados espectrais das neolignanas sulfuradas. Os dados espectrais de todos os compostos estão compatíveis com os produtos esperados. Na **tabela 15** são listados os principais fragmentos dos β-cetosulfetos nos espectros de massas.

Foram sintetizados dez β-cetosulfetos <u>58</u> e <u>122-130</u> (**Figura 21**). Devido ao grande número de compostos sintetizados, o composto <u>128</u> foi escolhido para exemplificação de discussão e análise dos dados espectrais dos compostos. Toda a série restante tem comportamento semelhante.

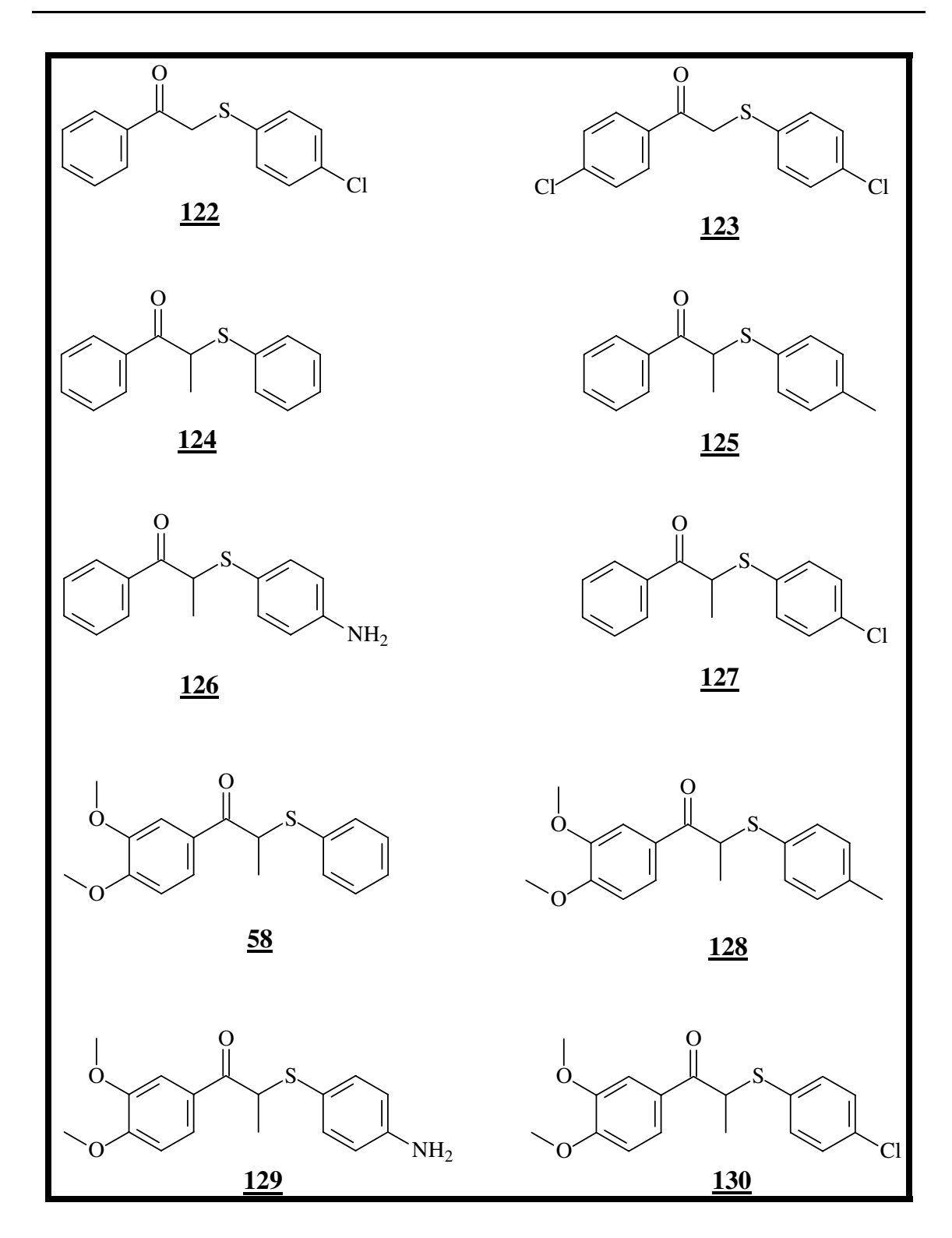


Figura 21 - β -cetosulfetos sintetizados.

3.2.4. Identificação de \(\beta\)-cetosulfetos

Abaixo segue a identificação do composto <u>128</u>. Os demais compostos seguindo a mesma sistemática e seus dados espectroscópicos estão listados na parte experimental. Na **tabela 13** encontram-se listados os principais dados espectrais desses compostos.

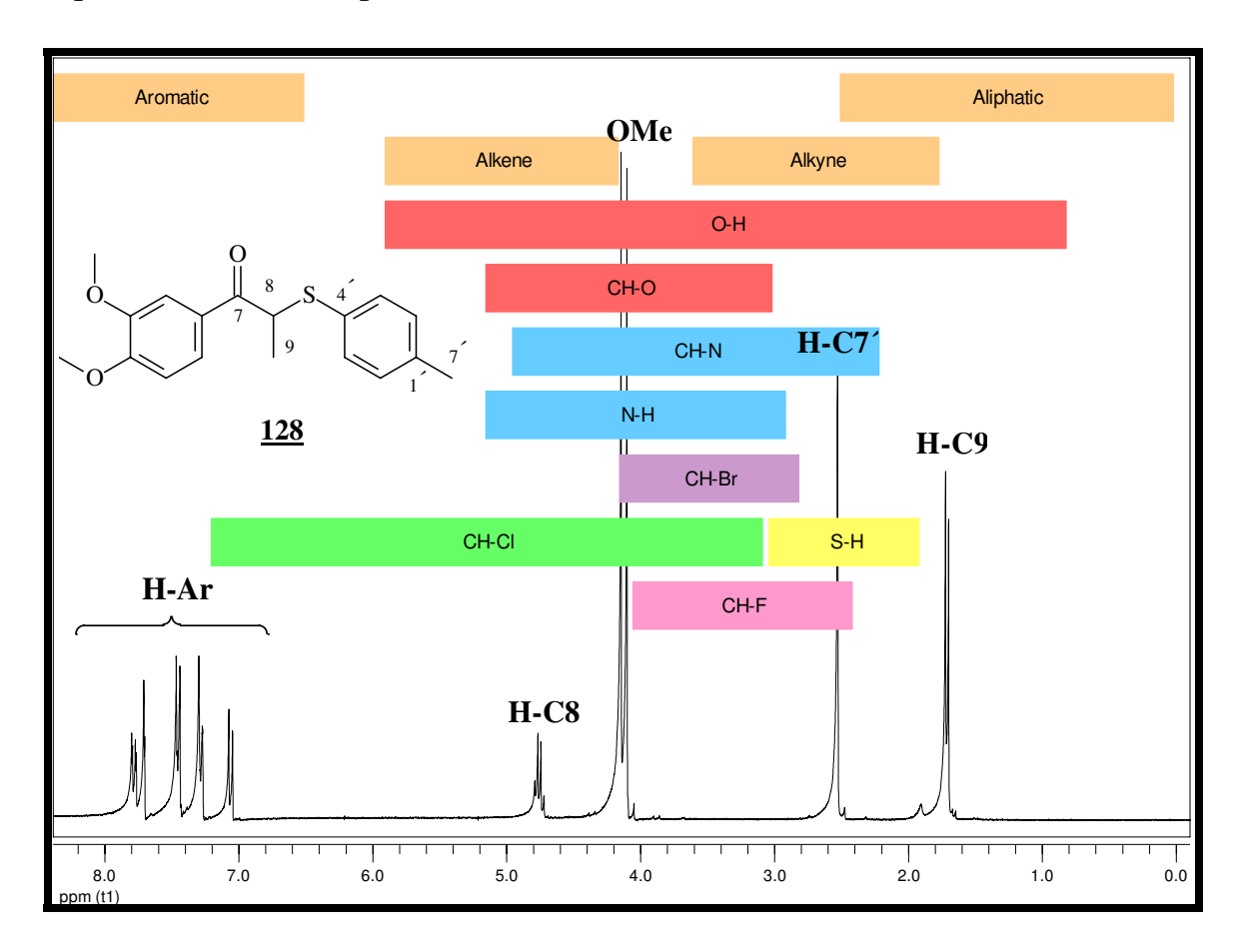


Figura 22 - Espectro de RMN de ¹H do composto <u>128</u> (500 MHz, CDCl₃).

O espectro no I.V. (**E-89**, pág. 339) apresenta banda de absorção a 1667 cm⁻¹, característica de estiramento de cetonas aromáticas.

O espectro de RMN de 1 H, **figura 22**, mostra um dupleto (d, J=6,8 Hz; 3H) em δ 1,70 referente aos prótons metílicos do C-9, sendo o singleto (s, 3H) em δ 2,52 é referente à metila do C-7′ (anel aromático B), os dois singletos em δ 4,09 e δ 4,14 são referentes as duas metoxilas aromáticas (anel A), o quarteto (J=6,8 Hz, 1H) em δ 4,74 devido ao próton do C-8, o dupleto (J=8,4 Hz, 1H) em δ 7,06 referente ao próton do C-5 (anel A) e os multipletos (6H) em δ 7,25-7,95 referentes aos prótons aromáticos.

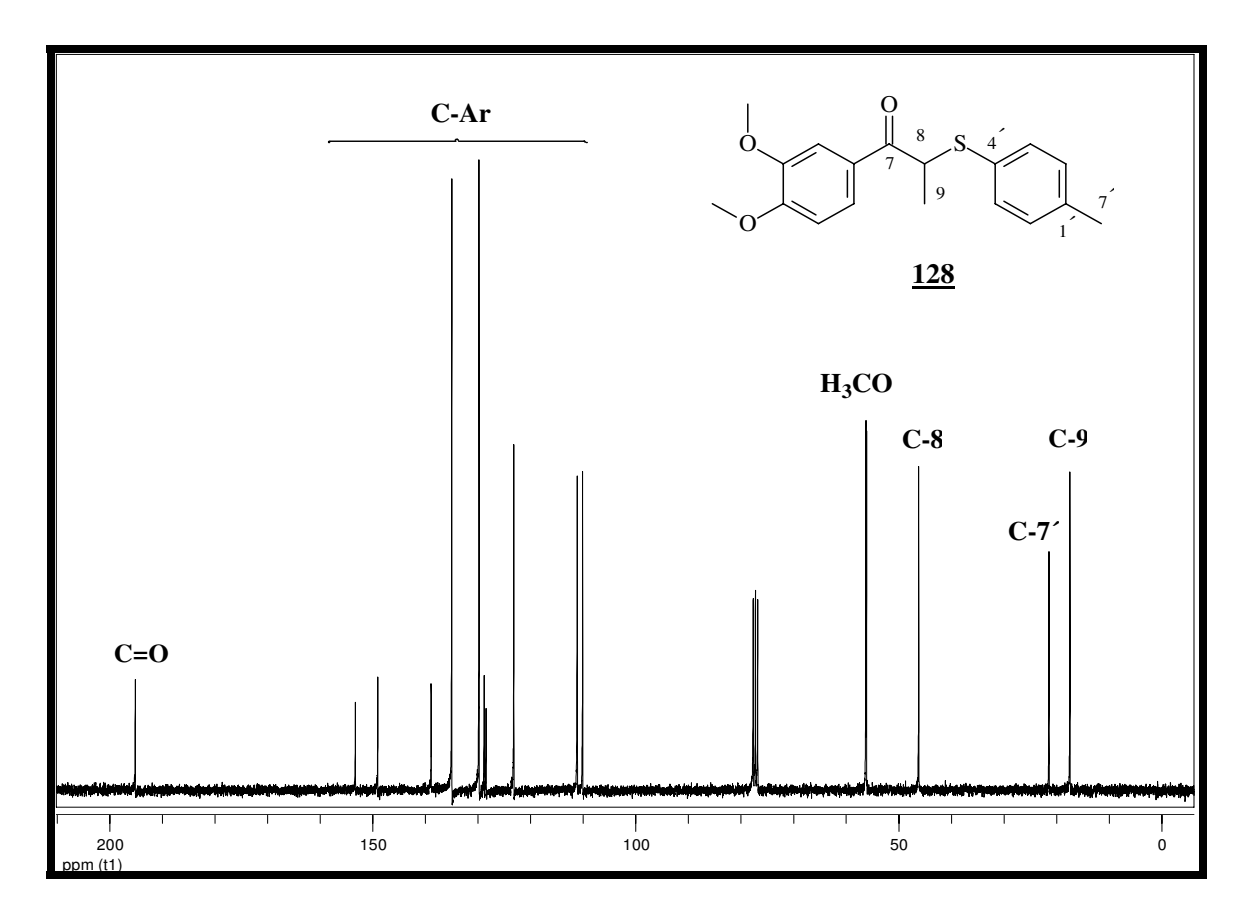


Figura 23 - Espectro de RMN de ¹³C do composto <u>128</u> (500 MHz, CDCl₃).

Tabela 10 - Dados de RMN de 1 H (CDCl $_{3}$, 500 MHz) e 13 C (CDCl $_{3}$, 75 MHz) do composto $\underline{\mathbf{128}}$.

Posição	¹ H	¹³ C
1		129,6
2	7,25-7,95	109,9
3		148,9
4		153,1
5	7,06 (<i>d</i> , <i>J</i> =8,4 Hz, 1H)	110,9
6	7,25-7,95	123,0
7		195,0
8	4,74 (<i>q</i> , <i>J</i> =6,8 Hz; 1H)	45,9
9	1,70 (<i>d</i> , <i>J</i> =6,8 Hz; 3H)	17,1
1′		138,7
2′	7,25-7,95	129,6
3′	7,25-7,95	128,3
4′		134,8
5′	7,25-7,95	128,6
6′	7,25-7,95	129,6
7′	2,52 (s, 3H)	21,1
OMe	4,09	56,0
OMe	4,14	55,8

Figura 24 - Neolignana sulfurada $\underline{128}$ e os valores de deslocamentos de RMN de 13 C.

No espectro de RMN de 13 C, observam-se dois sinais referentes aos grupos metoxilas (anel A): δ 56,0 e δ 55,8. O sinal em δ 21,1 é atribuído ao carbono metílico C-7' (anel B), e o sinal referente ao carbono metílico C-9 aparece em δ 17,1; sinal do carbono metínico C-8 em δ 45,9 e o sinal do carbono C-7 em δ 195,0 referente ao deslocamento da carbonila (**Figuras 23** e **24**).

O íon molecular [M]⁺ 316 (31) está de acordo com a fórmula molecular C₁₈H₂₀O₃S para o composto <u>128</u> e a fragmentação dos íons principais está ilustrada no **esquema 13**. Os espectros de DEPT (**E-87**, 337) e de gCOSY (**E-88**, pág. 338) ajudaram a confirmar a sua estrutura química.

As outras nove substâncias, β -cetosulfetos ($\underline{58}$, $\underline{122}$ - $\underline{127}$, $\underline{129}$ e $\underline{130}$) seguem o mesmo padrão de fragmentação.

Esquema 13 - Proposta de fragmentação do composto 128 no EM.

Na **tabela 11** estão listados os principais fragmentos no EM dos β -cetosulfetos. As estruturas destes compostos ($\underline{\bf 58}$ e $\underline{\bf 122}$ - $\underline{\bf 130}$) encontram-se na **tabela 13**.

Tabela 11 - Fragmentação de β -cetosulfetos no EM.

Composto	$[M]^+$	A	В	C*	D
122	262 (30)	105 (100)	157 (10)		143 (14)
<u>123</u>	296 (66)	139 (100)	157 (12)		143 (9)
<u>124</u>	242 (36)	105 (48)	137 (100)		109 (18)
<u>125</u>	256 (24)	105 (32)	151 (100)		123 (15)
<u>126</u>	257 (26)	105 (29)	152 (100)		124 (60)
<u>127</u>	276 (32)	105 (100)	171 (58)		143 (14)
<u>58</u>	302 (11)	165 (100)	137 (7)		109 (3)
<u>128</u>	316 (31)	165 (100)	151 (24)		123 (4)
<u>129</u>	317 (5)	165 (100)	152 (43)	194 (3)	124 (32)
<u>130</u>	336 (7)	165 (100)	171 (2)	194 (2)	143 (5)

 C^* - fragmentos não observados na maioria dos β -cetosulfetos, apenas nos casos dos compostos $\underline{129}$ e $\underline{130}$

Tabela 12 – Lista de espectros dos β -cetosulfetos. Anexo(página).

Comp.	RMN de	RMN de	Dept	gCosy	HSQC	I.V.	EM
	¹ H	¹³ C					
<u>122</u>	47 (297)	48 (298)	49 (297)			50 (300)	51 (301)
<u>123</u>	52 (302)	53 (303)	54 (304)			55 (305)	56 (306)
<u>124</u>	57 (307)	58 (308)		59 (309)		60 (310)	61 (311)
<u>125</u>	62 (312)	63 (313)		64 (314)		65 (315)	66 (316)
<u>126</u>	67 (317)	68 (318)	69 (319)	70 (320)		71 (321)	72 (322)
<u>127</u>	73 (323)	74 (324)	75 (325)	76 (326)	77 (327)	78 (328)	79 (329)
<u>58</u>	80 (330)	81 (331)		82 (331)		83 (333)	84 (334)
<u>128</u>	85 (335)	86 (336)	87 (337)	88 (338)		89 (339)	90 (340)
<u>129</u>	91 (341)	92 (342)	93 (343)			94 (344)	95 (345)
<u>130</u>	96 (346)	97 (347)	98 (348)	99 (349)		100 (350)	101 (351)

Tabela 13 – Análogos sulfurados de neolignanas cetônicas 8.O.4′.

Composto	RMN de ¹ H (ppm)		RMN de ¹³ C (ppm)		I.V. (C=O) cm ⁻¹	EM M ⁺ (%)	
	Н-С8	Me-C8	C- 8	C -9			
122	4,25 (s, 2H)		41,2		1685	262 (30)	
123	4,20 (s, 2H)		41,0		1672	296 (66)	
0 s 124	4,64 (<i>q</i> , <i>J</i> =7,0 Hz; 1H)	1,54 (<i>d</i> , <i>J</i> =7,0 Hz; 3H)	46,2	17,0	1680	242 (36)	
125	4,61 (<i>q</i> , <i>J</i> =7,0 Hz; 1H)	1,56 (<i>d</i> , <i>J</i> =7,0 Hz; 3H)	46,1	17,0	1679	256 (24)	

Tabela 13 (cont.) - Análogos sulfurados de neolignanas cetônicas 8.O.4′.

Composto	RMN de ¹ H (ppm)		RMN de ¹³ C (ppm)		I.V. (C=O) cm ⁻¹	EM M ⁺ (%)
	H- C8	Me-C8	C- 8	C -9		
0 S NH ₂ 126	4,45 (<i>q</i> , <i>J</i> =6,6 Hz; 1H)	1,46 (<i>d</i> , <i>J</i> =7,0 Hz; 3H)	46,1	16,2	1678	257 (26)
127	4,61 (<i>q</i> , <i>J</i> =6,8 Hz; 1H)	1,52 (<i>d</i> , <i>J</i> =6,8 Hz; 3H)	46,0	16,8	1680	276 (32)
5 <u>8</u>	4,62 (<i>q</i> , <i>J</i> =6,8 Hz; 1H)	1,54 (<i>d</i> , <i>J</i> =6,8 Hz; 3H)	46,0	17,4	1666	302 (11)
128	•	1,70 (<i>d</i> , <i>J</i> =6,8 Hz; 3H))	45,9	17,1	1667	316 (31)

Tabela 13 (cont.) - Análogos sulfurados de neolignanas cetônicas 8.O.4′.

Composto	RMN de ¹ H (ppm)		RMN de ¹³ C (ppm)		I.V. (C=O) cm ⁻¹	EM M ⁺ (%)
-	H- C8	Me-C8	C -8	C -9	•	
129	4,45 (q, J=6,6 Hz; 1H)	1,46 (<i>d</i> , <i>J</i> =7,3 Hz; 3H)	46,1	16,8	1661	317 (5)
130	4,58 (<i>q</i> , <i>J</i> =6.8 Hz; 1H)	1,50 (<i>d</i> , <i>J</i> =6,8 Hz; 3H)	45,7	17,0	1661	336 (7)

3.2.5. Reatividade de sulfóxidos e sulfonas

Os β -cetosulfetos <u>127</u> e <u>128</u> apresentaram valores de atividades biológicas significativos nos ensaios farmacológicos realizados. Com o objetivo de observar atividade biológica nos diferentes estados de oxidação do átomo de enxofre, oxidamos esses compostos, aos correspondentes β -cetosulfóxido e β -cetosulfonas.

Apesar das inúmeras aplicações sintéticas dos β -cetosulfóxidos e β -cetosulfonas, apenas um número limitado de sínteses para esses compostos são descritos na literatura.

 β -cetosulfonas podem ser obtidas por alquilação de arenos sulfinatos metálicos com compostos α -halocarbonilados, 94 acilação de α -sulfonil carbânions com ésteres 95 e nitrilas, 96 oxidação de β -cetosulfetos, 97 β -hidroxisulfonas e a partir de ácidos carboxílicos, entre outros métodos.

1

⁹⁴ Wildman, J.; Van Leusen, A. M.; *Synthesis* **1979**, 733.

⁹⁵ a) Kondo, K.; Kunemoto, D.; *Tetrahedron Lett.* **1975**, 1397. b) House, H. O.; Larson, J. R.; *J. Org. Chem.* **1968**, *37*, 61. c) Russel, G. A.; Sabourin, E. T.; Hamprecht, G.; *J. Org. Chem.* **1969**, *34*, 2339.

⁹⁶Truce, W. E.; Bannister, W. M.; Knospe, R. H.; J. Org. Chem. **1962**, 27, 2821.

⁹⁷ a) Trost, B. M.; Curran, P.; *Tetrahedron Lett.* **1981**, 1287. b) Scholz, D.; *Liebigs. Ann. Chem.* **1984**, 264.

Os β -cetosulfóxidos são obtidos por métodos similares a partir dos ésteres, 98 cetonas, 99 aldeídos, 100 ácidos carboxílicos 101 e oxidação de β -cetosulfetos. 91,102

Os β-cetosulfóxidos e β-cetosulfonas são obtidos principalmente pela oxidação dos β-cetosulfetos correspondentes. Vários reagentes são empregados para efetuar estas oxidações, 88,103-106 tais como: peróxido de hidrogênio, metaperiodato de sódio, ácido *m*-cloroperbenzóico (AMCP), ácido peracético e outros perácidos, ozônio, ácido nítrico e outros oxidantes.

Neste trabalho oxidamos os β-cetosulfetos $\underline{58}$, $\underline{127}$ e $\underline{128}$ com m-cloroperbenzóico (m-CPBA) e ácido peracético ($\underline{Esquema}$ 14). A oxidação do composto $\underline{127}$ com 1,10 equivalentes de AMCP forneceu uma mistura diastereoisomérica dos β-cetosulfóxidos correspondentes, $\underline{131}$ - α e $\underline{131}$ - β , com razão diastereoisomérica de cerca de 1:1. A oxidação dos compostos $\underline{58}$, $\underline{127}$ e $\underline{128}$ com excesso de ácido peracético forneceu em bons rendimentos, as β -cetosulfonas $\underline{132}$, $\underline{133}$ e $\underline{134}$, respectivamente.

98Corey, E. J.; Chaykovsky, M.; J. Am. Chem. Soc. 1965, 87, 1345.

⁹⁹ a) Coates, R. M.; Pigott, H. D.; *Synthesis* **1975**, 319. b) Monteiro, H. J.; Souza, J. P.; *Tetrahedron Lett.* **1975**, 921.

¹⁰⁰ Russel, G. A.; Mikol, G. J.; *J. Am. Chem. Soc.* **1966**, 88, 5498.

¹⁰¹ Ibarra, C. A.; Rodrigues, R. C.; Monreal, M. C. F.; Navarro, F. J. G.; Tesorero, J. M.; *J. Org. Chem.* **1989**, *54*, 5620.

¹⁰² Trost, B. M.; Chem. Ver. **1978**, 78, 363.

¹⁰³Leonard, N. J.; Johnson, C. R.; J. Org. Chem. **1962**, 27, 282.

¹⁰⁴ Johnson, C. R.; Mc Cants-Jr., D.; *J. Am. Chem. Soc.* **1965**, 87, 1109.

¹⁰⁵ Johnson, C. R.; Keiser, J. E.; Org.. Synthesis **1966**, 46, 18.

¹⁰⁶ Kuwajima, I.; Fukuda, Y.; Tetrahedron Lett. 1973, 32.

Esquema 14 – Reações de obtenção de sulfóxidos e sulfonas.

3.2.6. Obtenção de \(\beta\)-cetosulf\(\delta\)xidos \(\frac{131}{2}\)-\(\alpha\) e \(\frac{131}{2}\)-\(\beta\)

A oxidação de β-cetosulfetos levou a uma mistura diastereoisomérica de aproximadamente 1:1 de β-cetosulfóxidos α e β . A denominação α foi empregada para designar o isômero que apresenta no espectro de RMN de 1 H, o grupo metila (C-9) ligado ao C-8 em campo mais baixo (mais protegida) e a β para o isômero que apresenta o grupo metila ligado ao C-8 em campo mais alto (mais desprotegida) no espectro de RMN de 1 H e a sulfóxido $\underline{131}$ foi obtida a partir do β -cetosulfeto $\underline{127}$ em 38 % de rendimento, reação incompleta, como cristais incolores de p.f. = 114-117 $^{\circ}$ C.

A oxidação do composto <u>127</u> com 1,10 equivalentes de *m*-CPBA levou à formação de uma mistura de β -cetosulfóxidos diastereoisoméricos <u>131</u>- α e <u>131</u>- β , na proporção de aproximadamente 1:1.

Foi realizada a atribuição dos sinais no espectro de RMN de ¹H a partir da mistura (1:1) dos isômeros <u>131</u>-α e <u>131</u>-β, pela comparação com os β-cetosulfóxidos dos compostos <u>58</u> e <u>127</u> sintetizados por Santos.¹⁰⁷

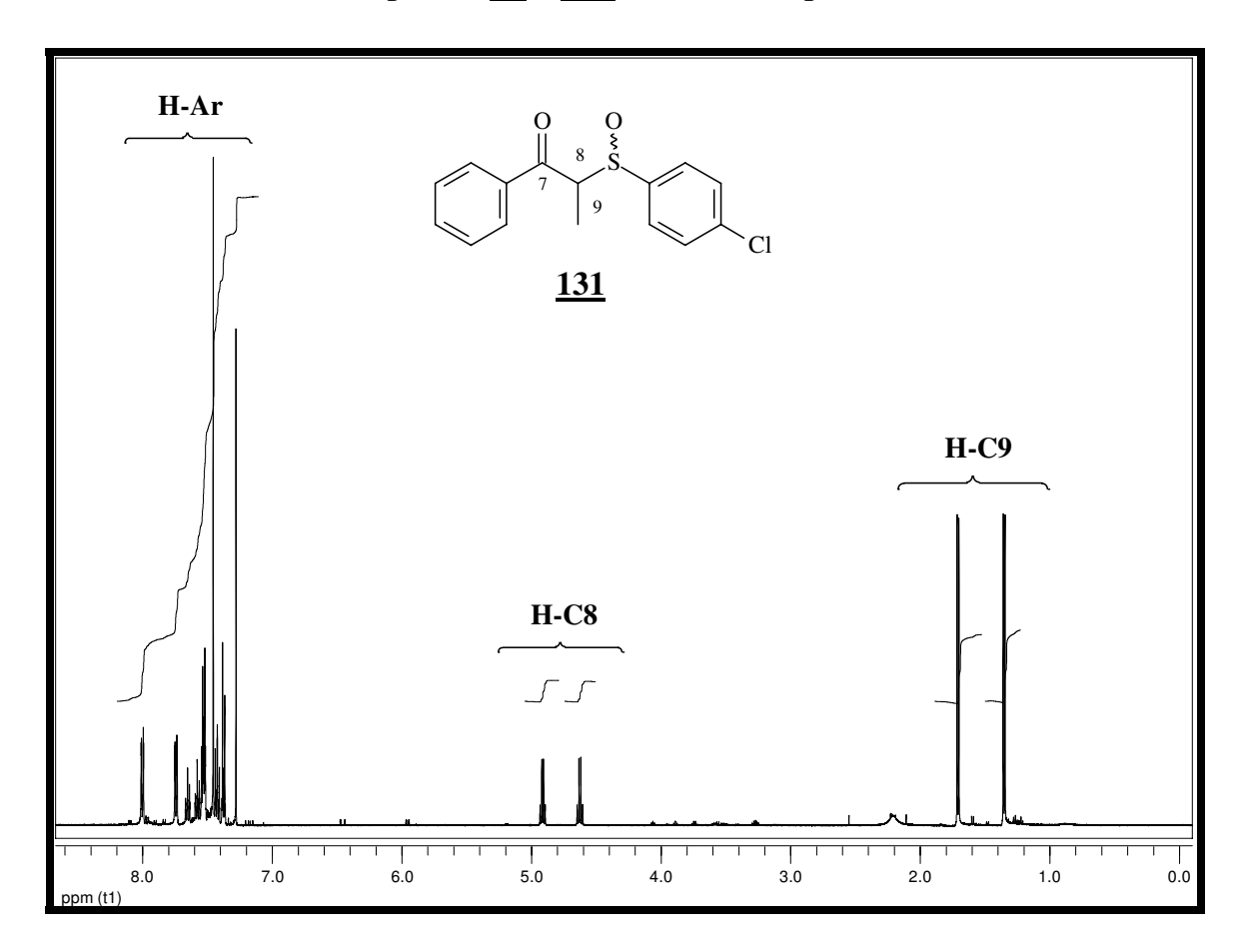


Figura 25 - Espectro de RMN de ¹H do composto <u>131</u> ($\alpha + \beta$) (500 MHz, CDCl₃).

¹⁰⁷ Santos, L. S. Tese de Doutorado, IQ-UNICAMP, Campinas-SP, 1991.

No espectro de RMN de 1 H isômero <u>131</u>- α apresenta um dupleto (J= 6,8 Hz; 3H) em δ 1,33 atribuído aos prótons metílicos do C-9, um quarteto (J= 6,8 Hz; 1H) em δ 4,89 referente ao próton metínico do C-8 e o multipleto (m, H-Ar, 9H) em δ 7,24-8,02 devido aos prótons aromáticos.

Os dados de RMN de ¹H do isômero <u>131</u>- β apresenta um dupleto (J= 6,8 Hz; 3H) em δ 1,68 atribuído aos prótons metílicos do C-9, um quarteto (J= 6,8 Hz; 1H) em δ 4,60 referente ao próton metínico do C-8 e o multipleto (m, H-Ar, 9H) em δ 7,24-8,02 devido aos prótons aromáticos.

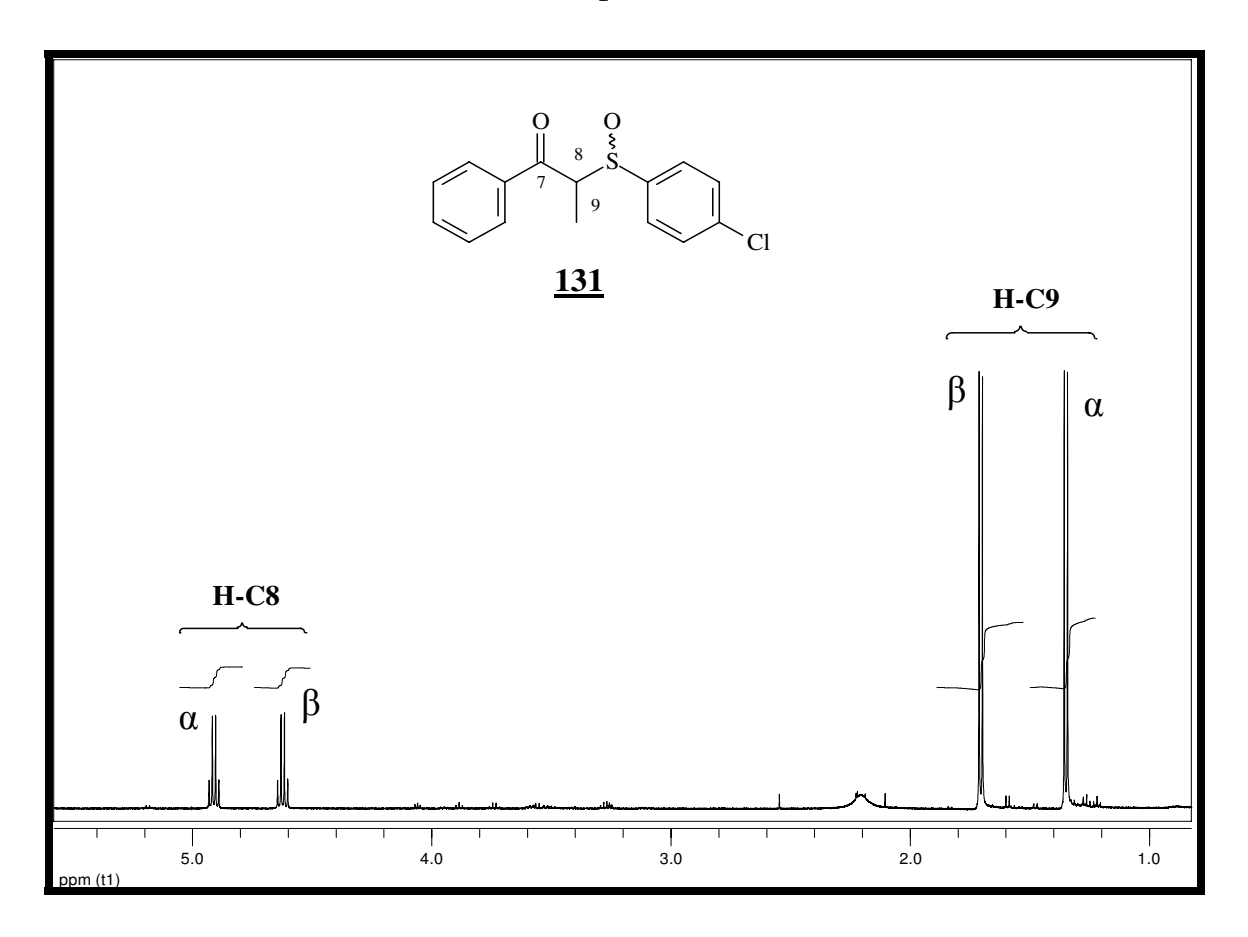


Figura 26 – Expansão do espectro de RMN de 1 H do composto $\underline{\mathbf{131}}$ ($\alpha + \beta$) (500 MHz, CDCl₃).

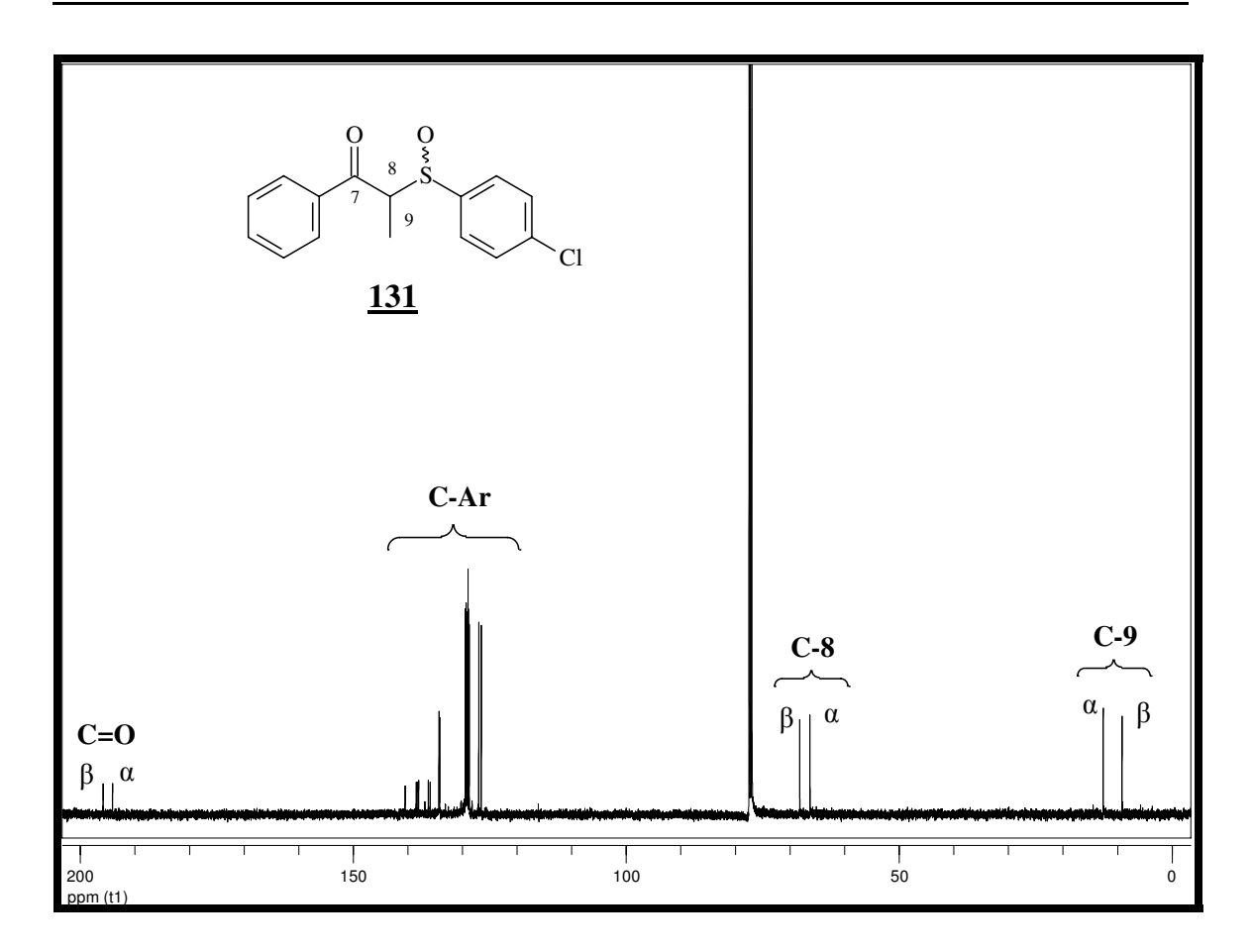


Figura 27 - Espectro de RMN de 13 C do composto <u>**131**</u> ($\alpha + \beta$) (125 MHz, CDCl₃).

No espectro de RMN de 13 C podem-se observar dois sinais referentes ao carbono metínico C-8 em δ 66,1 (isômero α) e em δ 68,0 (isômero β). Os dois sinais em δ 12,3 (isômero α) e em δ 8,90 (isômero β), são atribuídos ao carbonos metílicos C-9, na faixa de δ 126,0-140,0 são atribuídos aos sinais dos carbonos aromáticos e dois sinais um em δ 194,0 (isômero α) e o outro em δ 195,3 (isômero β), referentes aos deslocamentos da carbonila (**Figuras** 27, 28 e 29).

O íon moleccular 292 $[M]^+$ (30) está de acordo com a fórmula molecular $C_{15}H_{13}ClO_2S$ para o composto <u>131</u> ($\alpha + \beta$). Os espectros de DEPT (**E-104**, pág. 354), de gCOSY (**E-105**, pág. 355) e HSQC (**E-106**, pág 356) ajudaram a confirmar a sua estrutura química.

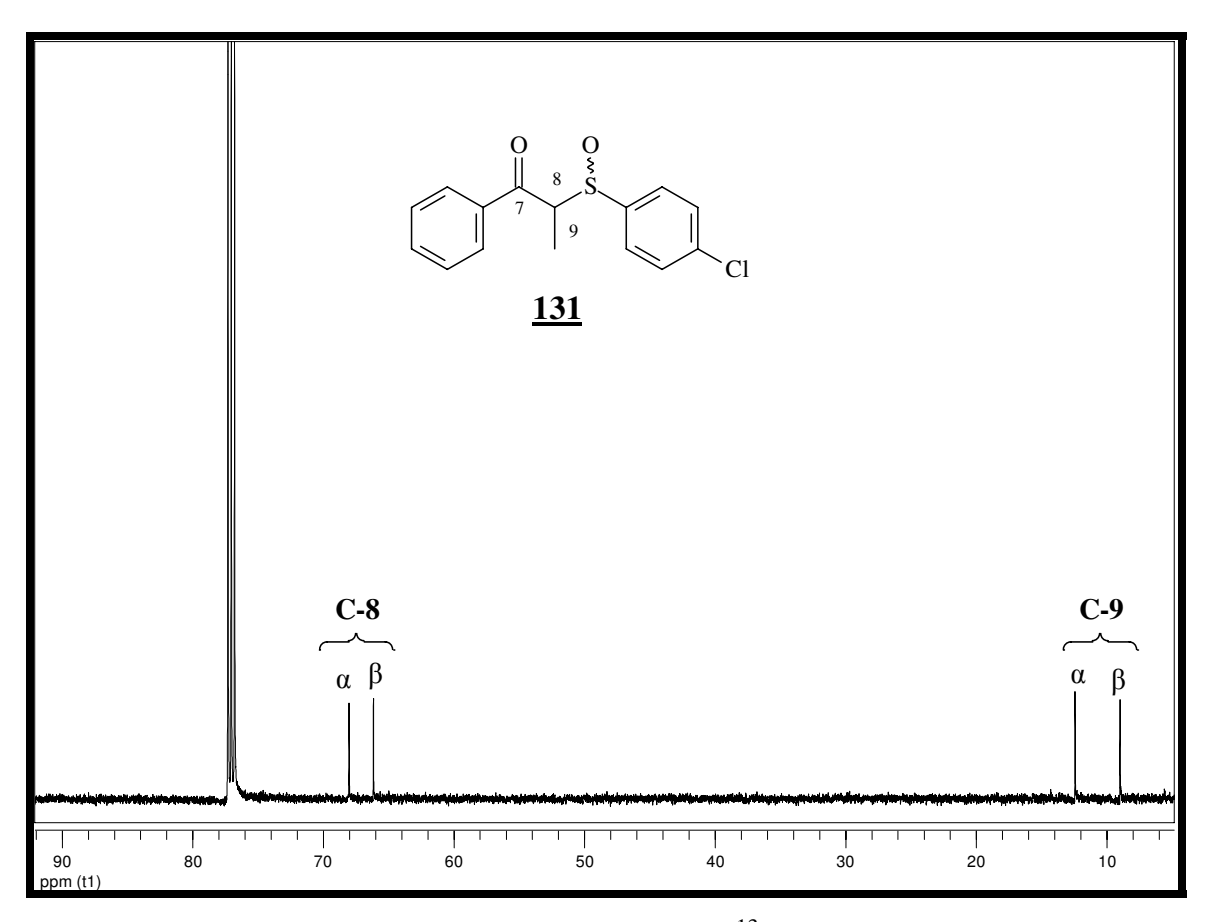


Figura 28 – Expansão do espectro de RMN de 13 C do composto <u>131</u> ($\alpha + \beta$) (125 MHz, CDCl₃).

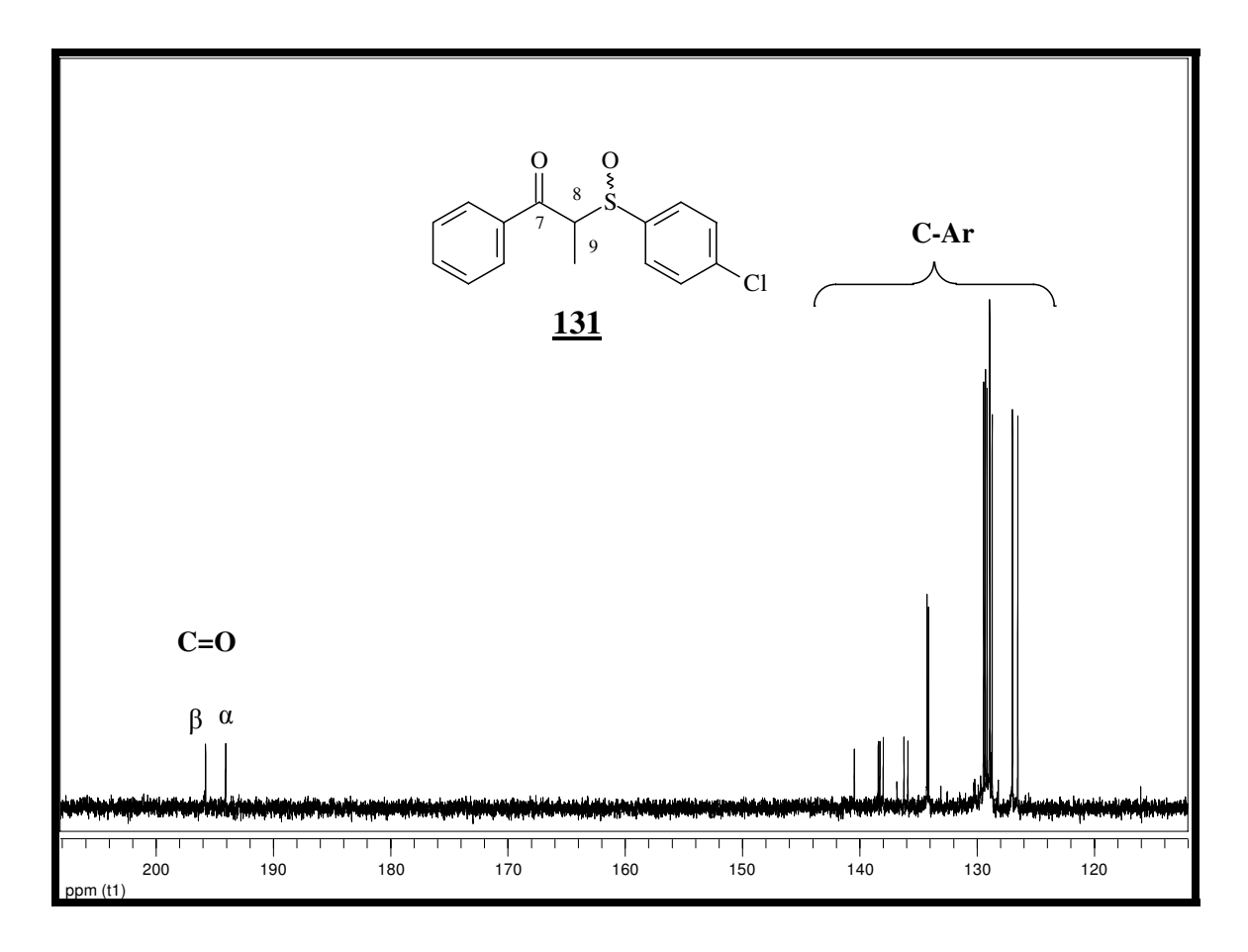


Figura 29 – Expansão do espectro de RMN de 13 C do composto $\underline{\textbf{131}}$ (α + β) (125 MHz, CDCl₃).

O espectro no I.V. (**E-107**, pág. 357) de <u>131</u> ($\alpha + \beta$), apresenta banda de absorção a 1675 cm⁻¹, característica de estiramento de cetonas aromáticas e absorção a 1048 cm⁻¹, característica de banda de absorção de grupo S=O (**Figura 30**).

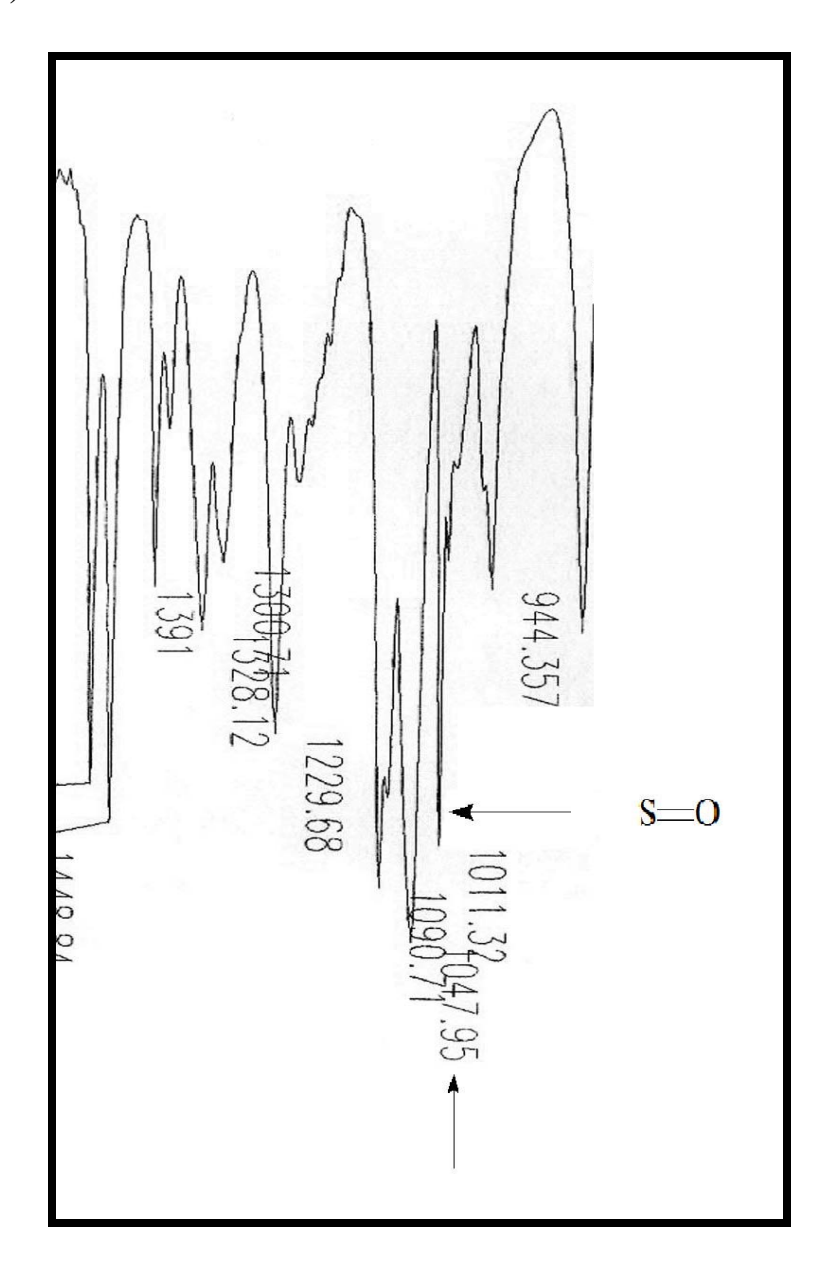


Figura 30 – Absorção no I.V. do composto $\underline{131}$ ($\alpha + \beta$).

3.2.7. Obtenção de β-cetosulfonas

As β-cetosulfonas foram obtidas através da oxidação dos β-cetosulfetos com 2,20 equivalentes de ácido peracético em THF como solvente. A β-cetosulfona 132 foi obtida a partir do β-cetosulfeto 127 com 76 % de rendimento, como cristais incolores de p.f. = 114°- 117 °C. O composto 133 foi obtido a partir do β-cetosulfeto 58 em 84 % de rendimento, como cristais incolores de p.f. = 111-113 °C e a sulfona 134 foi obtida a partir do β-cetosulfeto 128 em 81 % de rendimento, como cristais incolores de p.f. = 119-120 °C.

Foram sintetizados três substancias com estrutura de β-cetosulfonas 132-134 (Figura 31), sendo o composto 134 escolhido para exemplificação de discussão e análise dos dados espectrais dos compostos sintetizados.

Abaixo segue a identificação do composto <u>134</u>. Os demais compostos segundo a mesma sistemática e seus dados espectrais estão listados na parte experimental. Na **tabela 16** encontram-se listados os principais dados espectroscópicos desses compostos.

$$\begin{array}{c}
0 \\
0 \\
132
\end{array}$$

$$\begin{array}{c}
0 \\
0 \\
0
\end{array}$$

$$\begin{array}{c}
0 \\
133
\end{array}$$

$$\begin{array}{c}
0 \\
0 \\
0
\end{array}$$

$$\begin{array}{c}
0 \\
134
\end{array}$$

Figura 31 – β -cetosulfonas sintetizadas.

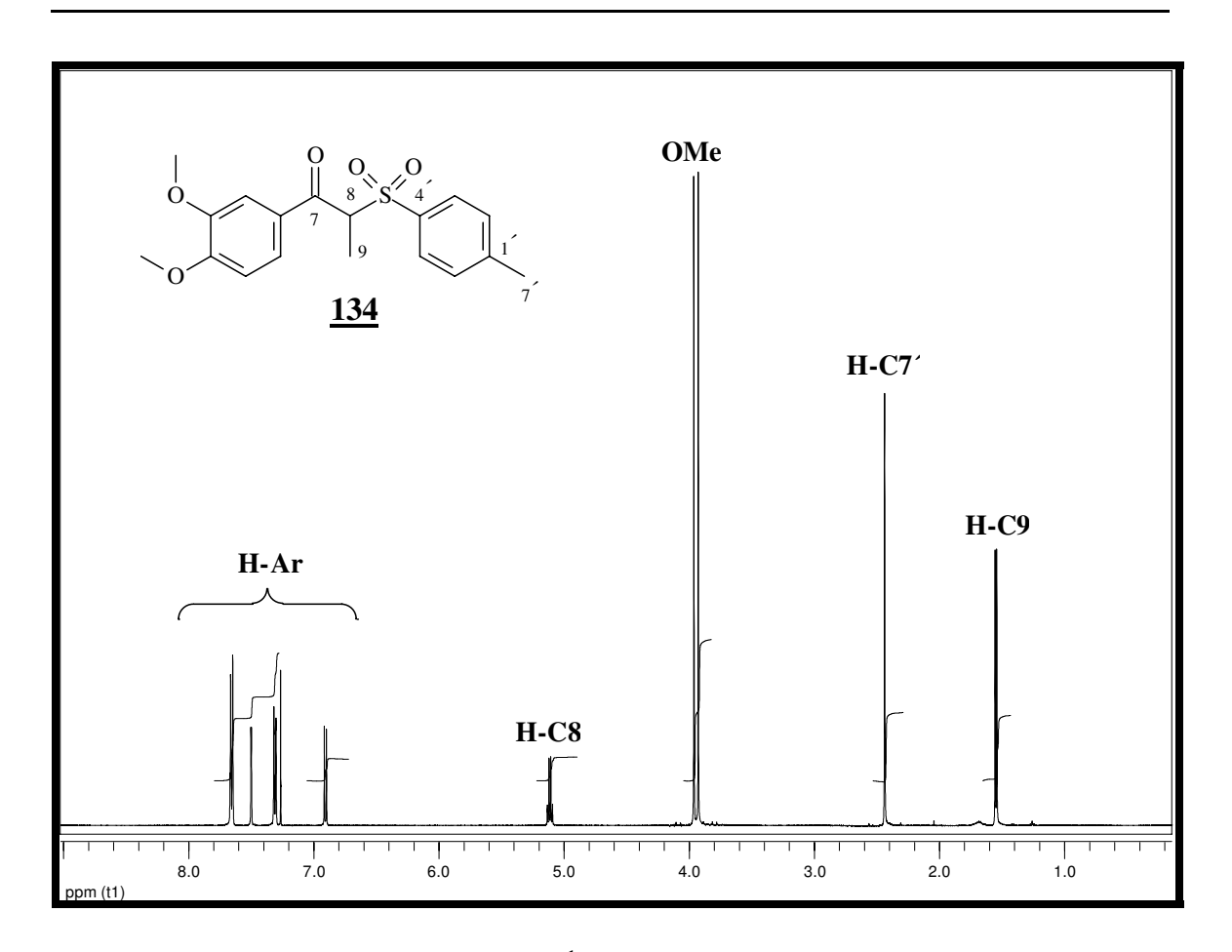


Figura 32 – Espectro de RMN de ¹H do composto <u>134</u> (300 MHz, CDCl₃).

O espectro de RMN de 1 H, **figura 32**, mostra um dupleto (d, J=7,0 Hz; 3H) em δ 1,54 referente aos prótons metílicos do C- 9, o singleto (s, 3H) em δ 2,42 é referente à metila do C-7′ (anel aromático B), os dois singletos em δ 3,92 e δ 3,95 são referentes as duas metoxilas aromáticas (anel A), o quarteto (q, J=7,0 Hz; 1H) em δ 5,10 devido ao próton do C-8, o dupleto (J=8,5 Hz, 1H) em δ 6,90 referente ao próton do C-5 (anel A) e os multipletos (6H) em δ 7,28-7,68 referentes aos demais prótons aromáticos.

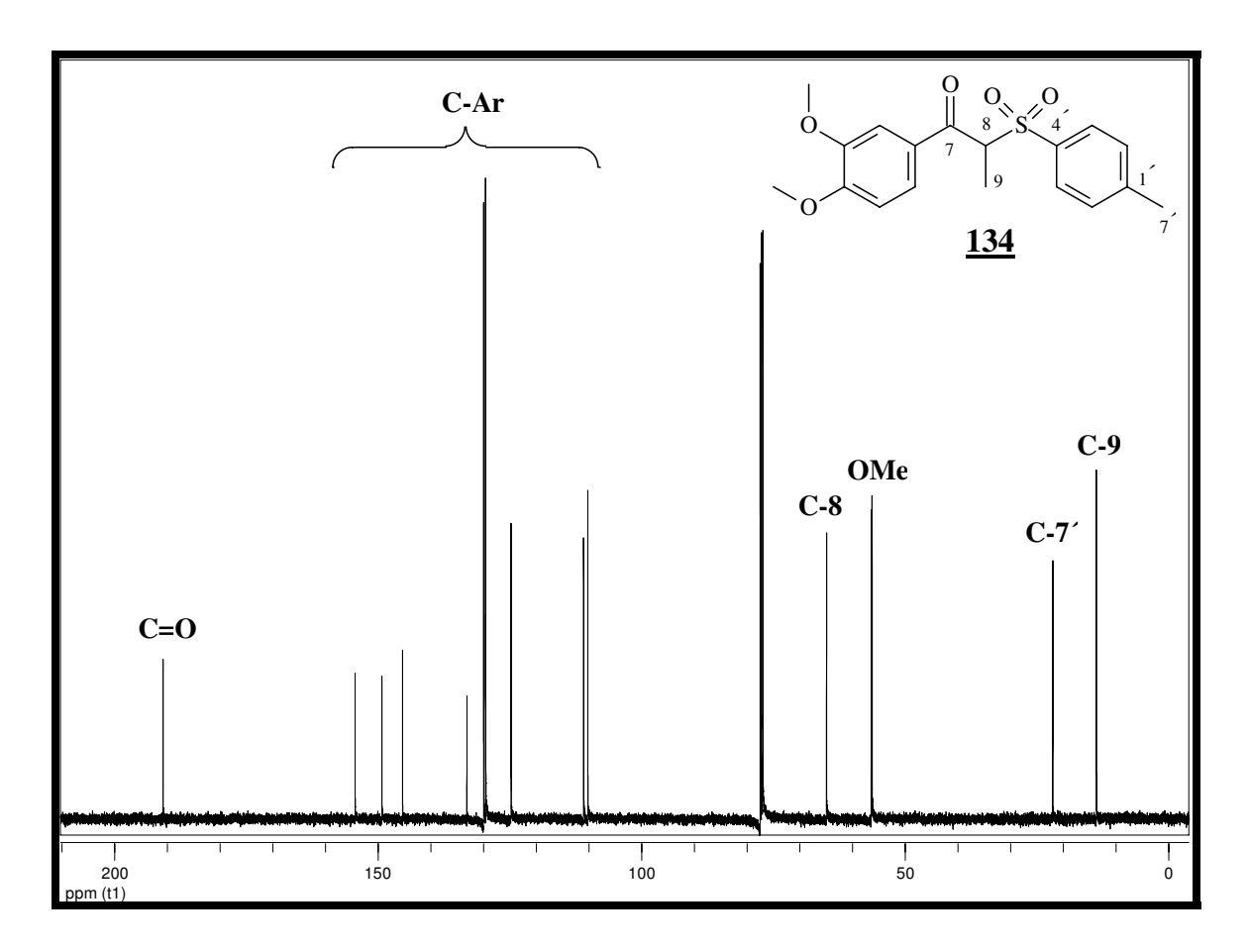


Figura 33 - Espectro de RMN de ¹³C do composto <u>134</u> (75 MHz, CDCl₃).

Tabela 14- Dados de RMN de ¹H (CDCl₃, 300 MHz) e ¹³C (CDCl₃, 75 MHz) do composto <u>134</u>.

Posição	1H	13C
1		129,8
2	7,28-7,68	110,0
3		149,1
4		154,2
5	6,90 (<i>J</i> =8,5 Hz, 1H)	110,8
6	7,28-7,68	124,6
7		190,7
8	5,10 (<i>q</i> , <i>J</i> =7,0 Hz; 1H)	64,6
9	1,54 (<i>d</i> , <i>J</i> =7,0 Hz; 3H)	13,4
1′		145,2
2′	7,28-7,68	129,8
3′	7,28-7,68	129,4
4′		133,0
5′	7,28-7,68	129,4
6′	7,28-7,68	129,8
7′	2,42 (s, 3H)	21,7
OMe	3,92	56,2
OMe	3,95	56,0

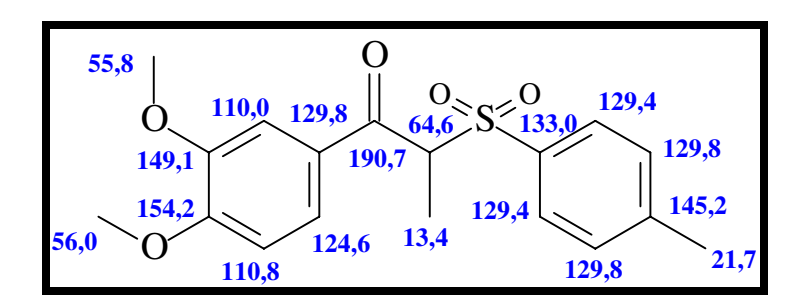


Figura 34 - β -CetoSulfona 134 e os valores de deslocamentos de RMN de 13 C.

No espectro de RMN de 13 C podem-se observar dois sinais referentes aos grupos metoxilas (anel A): δ 56,0 e δ 55,8. O sinal em δ 21,7 é atribuído ao carbono metílico C-7' (anel B), o sinal referente ao carbono metílico C-9 aparece em δ 13,4; sinal do carbono metínico C-8 em δ 64,6 e em δ 190,7 o sinal do carbono C-7 referente ao deslocamento da carbonila (**Figuras 33** e **34**).

O íon molecular $[M]^+$ 348 (24), está de acordo com a fórmula molecular $C_{18}H_{20}O_5S$ para o composto <u>134</u>.

O espectro de HSQC (**E-120**, pág. 370) mostra quatro correlações bem evidentes, que são: entre os sinais dos hidrogênios e de carbonos em δ 3,92 e 3,95 com os grupos OMe em δ 56,0 e 56,2, H-7'com C-7', H-8 com C-8, H-7 com C-7 e H-9 com C-9.

O espectro de gCOSY (**E-119**, pág. 369) ajudou a confirmar a sua estrutura química.

Na **tabela 15** são listados os principais fragmentos dos β-cetosulfonas nos espectros de massas. A **tabela 17** mostra os principais dados espectroscópicos das sulfonas. Os dados espectrais de todos os compostos estão compatíveis com os produtos esperados.

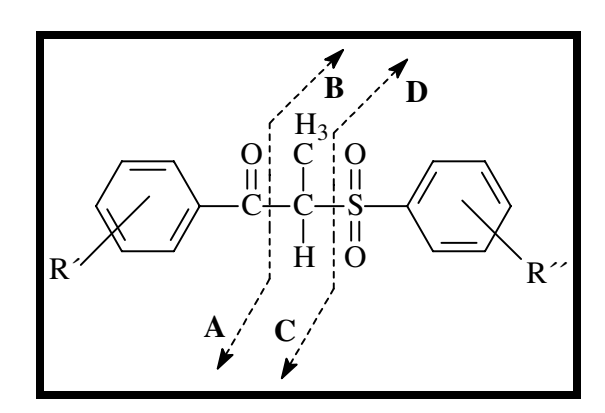


Tabela 15 - Fragmentação de β -cetosulfonas no EM.

Composto	$[M]^{+}$	A	В	С	D
<u>132</u>	308 (1)	105 (100)		133 (1)	175 (1)
<u>133</u>	334 (7)	165 (100)		193 (7)	
<u>134</u>	348 (24)	165 (100)			

Tabela 16 – Lista de espectros dos β-cetosulfonas. Anexo(página).

Comp.	RMN de ¹ H	RMN de ¹³ C	Dept	gCosy	HSQC	I.V.	EM
<u>132</u>	109 (359)	110 (360)		111 (361)		112 (362)	113(363)
<u>133</u>	114 (364)					115 (365)	116 (366)
<u>134</u>	117 (367)	118 (368)		119 (369)	120 (370)	121 (371)	122 (372)

Resultados e Discussão

Tabela 17 – Análogos sulfurados (β-cetosulfonas) de nolignanas 8.O.4′.

Composto	RMN de ¹ H (ppm)			RMN de ¹³ C (ppm)		EM M+ (%)
	H- C8	Me-C8	C- 8	C -9	_	
132		1,57 (<i>d</i> , <i>J</i> =6,8 Hz; 3H);	65,0	13,3	1681	308 (1)
133	5,15 (<i>q</i> , <i>J</i> =7,0 Hz; 1H)	1,58 (<i>d</i> , <i>J</i> =6,9 Hz; 3H)			1666	334 (7)
134	5,10 (<i>q</i> , <i>J</i> =7,0 Hz; 1H)	1,54 (<i>d</i> , <i>J</i> =7,0 Hz; 3H)	64,6	13,4	1670	348 (24)

No espectro de infravermelho, a vibração de estiramento da ligação C-S dos sulfetos, é de baixa intensidade, ocorre na faixa de absorção de 700-600 cm⁻¹ e sua posição é bastante variável, tornando-a de pouca importância na determinação de estruturas.¹⁰⁸

Os sulfóxidos apresentam absorção intensa para o grupo S=O na faixa de 1070-1030 cm⁻¹, enquanto que as sulfonas apresentam forte absorção na faixa de 1350-1300 cm⁻¹ e 1160-1120 cm⁻¹, devido, respectivamente, ao estiramento assimétrico e simétrico do grupo O=S=O.¹⁰⁸

Tabela 18 - Absorções no I.V. do sulfóxido <u>131</u> e das sulfonas <u>132-134</u>.

	ν	ν	ν
Composto	(S=O) cm ⁻¹	(O=S=O) cm ⁻¹ assimétrico	(O=S=O) cm ⁻¹ simétrico
<u>131</u>	1048	_	_
<u>132</u>	_	1320	1151
<u>133</u>	_	1268	1150
<u>134</u>	_	1371	1162

_

¹⁰⁸ Silverstein, R. M.; Bassler, G. C.; Morril, T. C.; "Identificação Espectrométrica de Compostos Orgânicos"; Quinta Edição, Guanabara Koogan S. A., Rio de Janeiro-RJ, **1994**.

A tabela 18 e figura 35, mostram a variação de absorção no infravermelho para o β -cetosulfeto 127 β -cetosulfóxido 131 e β -cetosulfona 132. Observa-se o desaparecimento e/ou aumento de intensidade nas absorções desses compostos, nos diferentes estados de oxidação do átomo de enxofre.

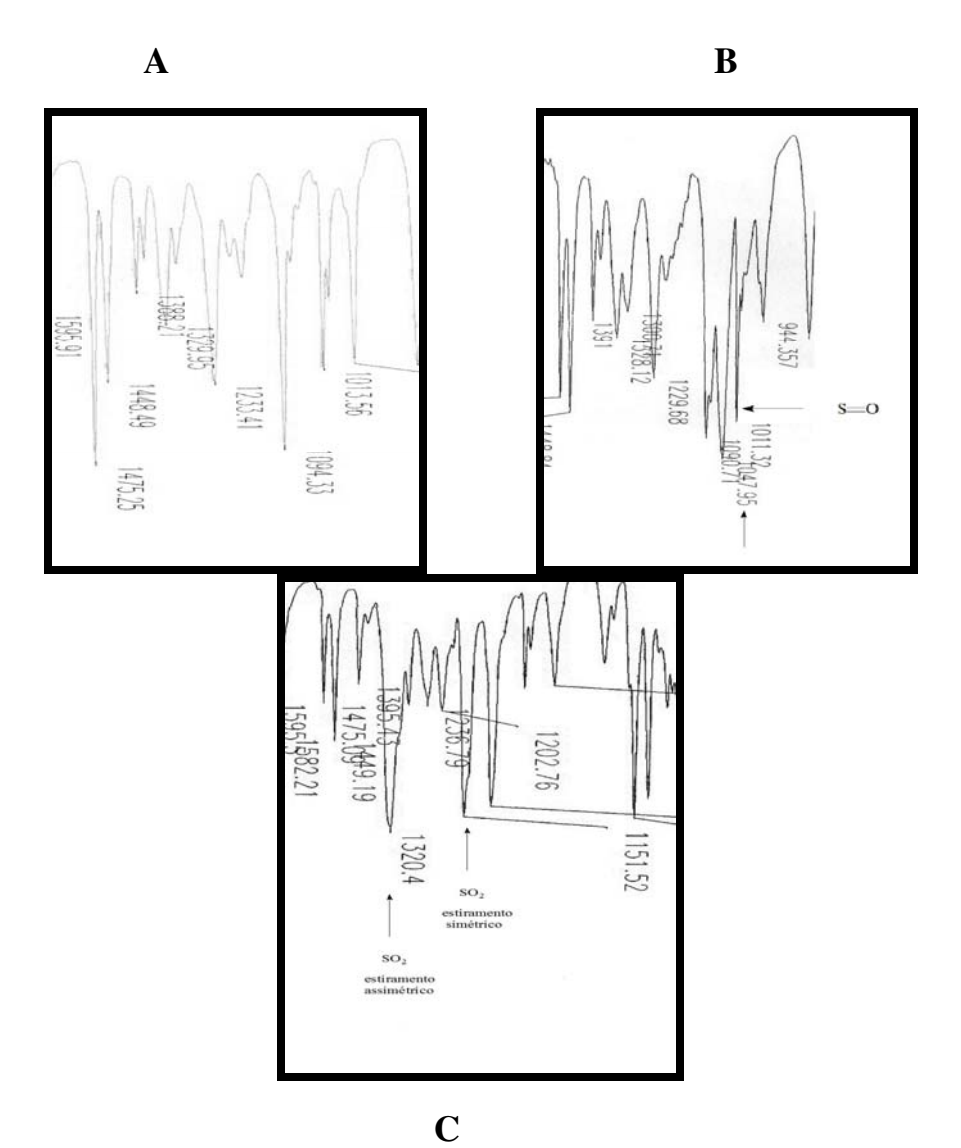


Figura 35 – Absorções no I.V. para o β-cetosulfeto <u>127</u> (**A**), β-cetosulfóxido <u>131</u> (**B**) e β-cetosulfona <u>132</u> (**C**).

O mecanismo 104 da reação de oxidação com ácido m-cloro perbenzóico está representado abaixo:

3.2.8. Obtenção de β-hidroxisulfetos (análogos de neolignanas alcoólicas 8.0.4')

Para a obtenção dos β -hidroxisulfetos, empregamos a mesma metodologia desenvolvida para as sínteses do composto (β -hidroxiéter) <u>69</u> (seção *3.1.5.*).

Os alcoóis foram obtidos através de reações de redução de β cetosulfetos dissolvidos em THF e adicionados às soluções de borohidreto de
sódio em metanol, durante aproximadamente 30 minutos a temperatura
ambiente, fornecendo uma mistura diastereoisomérica *eritro* e *treo* (*treo*majoritário), dos três β -hidroxisulfetos em rendimento quantitativo (**Figura**36).

Figura 36 - β-hidroxisulfetos sintetizados.

A reação de redução dos β -cetosulfetos resultou em uma mistura diastereoisomérica *eritro* e *treo* (aproximadamente 1:9), dos β -hidroxisulfetos, analisada através de cromatografia gasosa. Abaixo é representado o cromatograma do composto <u>136</u> (**Figura 37**).

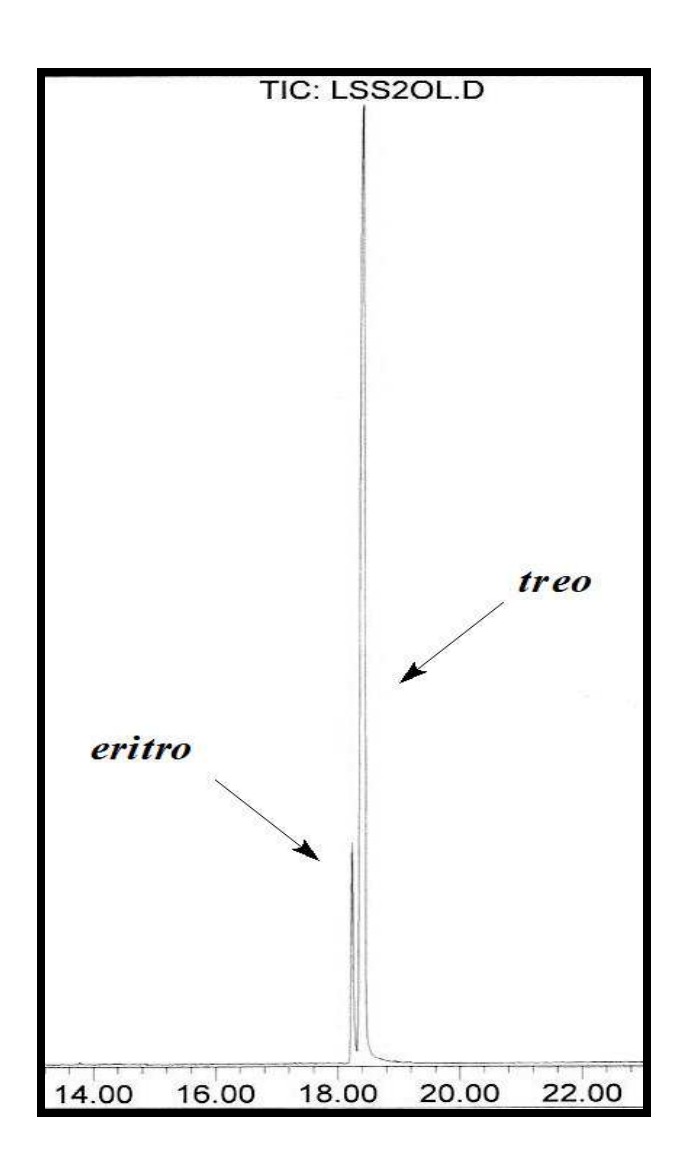


Figura 37 – Cromatograma (CG) da mistura diastereisomérica dos alcoóis <u>136</u> *eritro* e <u>136</u> *treo*, obtida através da redução com NaBH₄.

3.2.9. Identificação de \(\beta\)-hidroxisulfetos

Abaixo temos a identificação do composto <u>136</u>. Os demais compostos seguiram a mesma sistemática e seus dados espectroscópicos estão listados na parte experimental. Na **tabela 22** encontram-se listados os principais dados desses compostos.

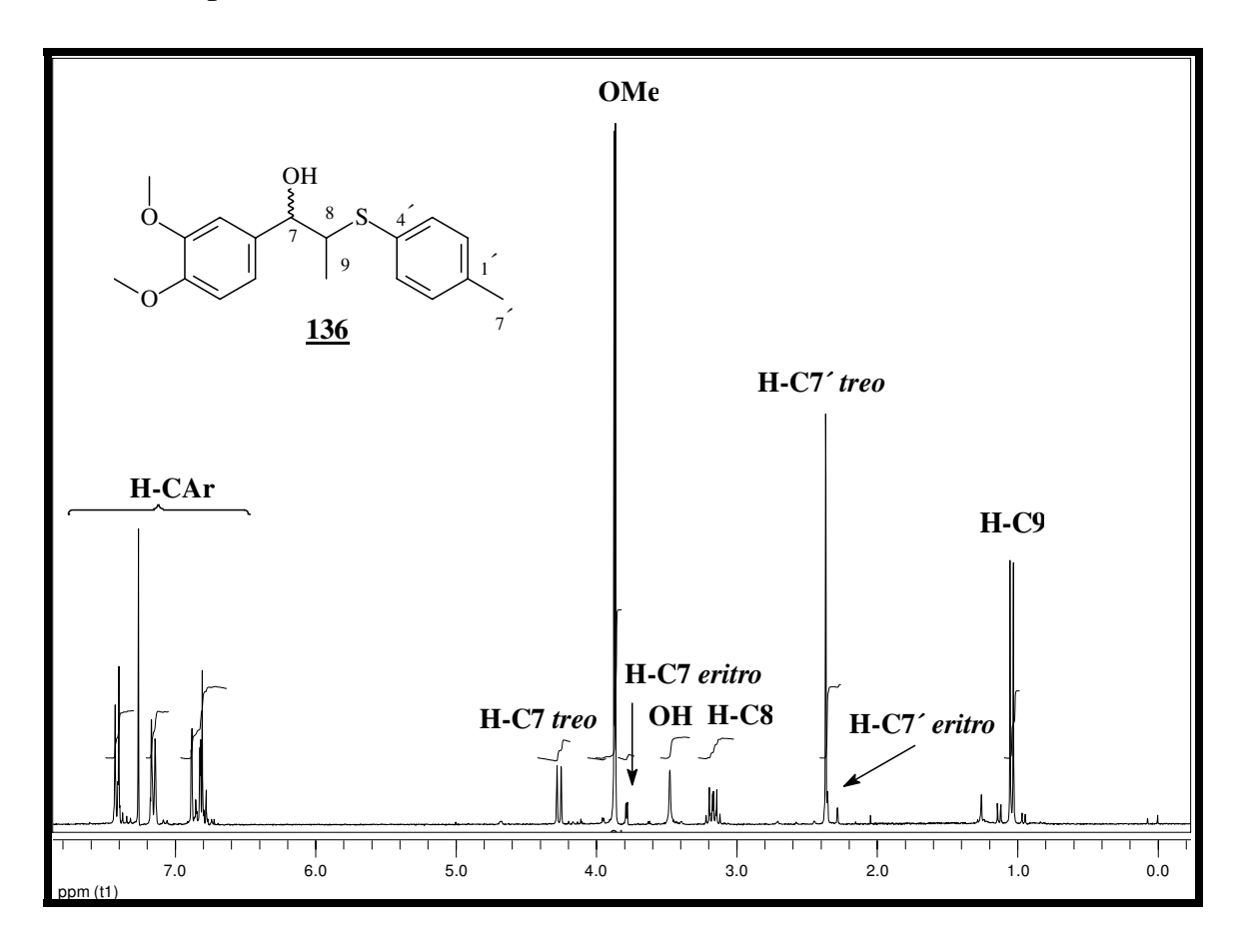


Figura 38 – Espectro de RMN de ¹H do composto <u>136</u> (300 MHz, CDCl₃).

O espectro no I.V. (**E-138**, pág. 388) apresenta banda larga de absorção a 3422 cm⁻¹, característica de estiramento do grupo hidroxila de alcoóis.

O espectro de RMN de 1 H, **figura 38**, mostra um dupleto (J=7,3 Hz; 3H) em δ 1,03 referente aos prótons metílicos do C- 9, o singleto (s, 3H) em δ 2,36 é referente à metila do C-7′ (anel aromático B), o duplo quarteto (J=8,8 e 6,6 Hz; 1H), em δ 3,16 é atribuído ao próton metínico do C-8, o singleto (s, 1H) em δ 3,47 devido ao próton do grupo hidroxila ligado ao C-7, os dois singletos em δ 3,86 e δ 3,87 são referentes as duas metoxilas aromáticas (anel A), o dupleto (d, J=8,8 Hz; 1H) em δ 4,26 referente ao próton do C-8 e apresentando ao valor da constante de acoplamento de 8,8 Hz, característico de configuração treo (**Figura 39**), o dupleto (J=8,0 Hz, 1H) em δ 6,79 referente ao próton do C-5 (anel A) e os multipletos (6H) em δ 6,86-7,46 referentes aos prótons aromáticos.

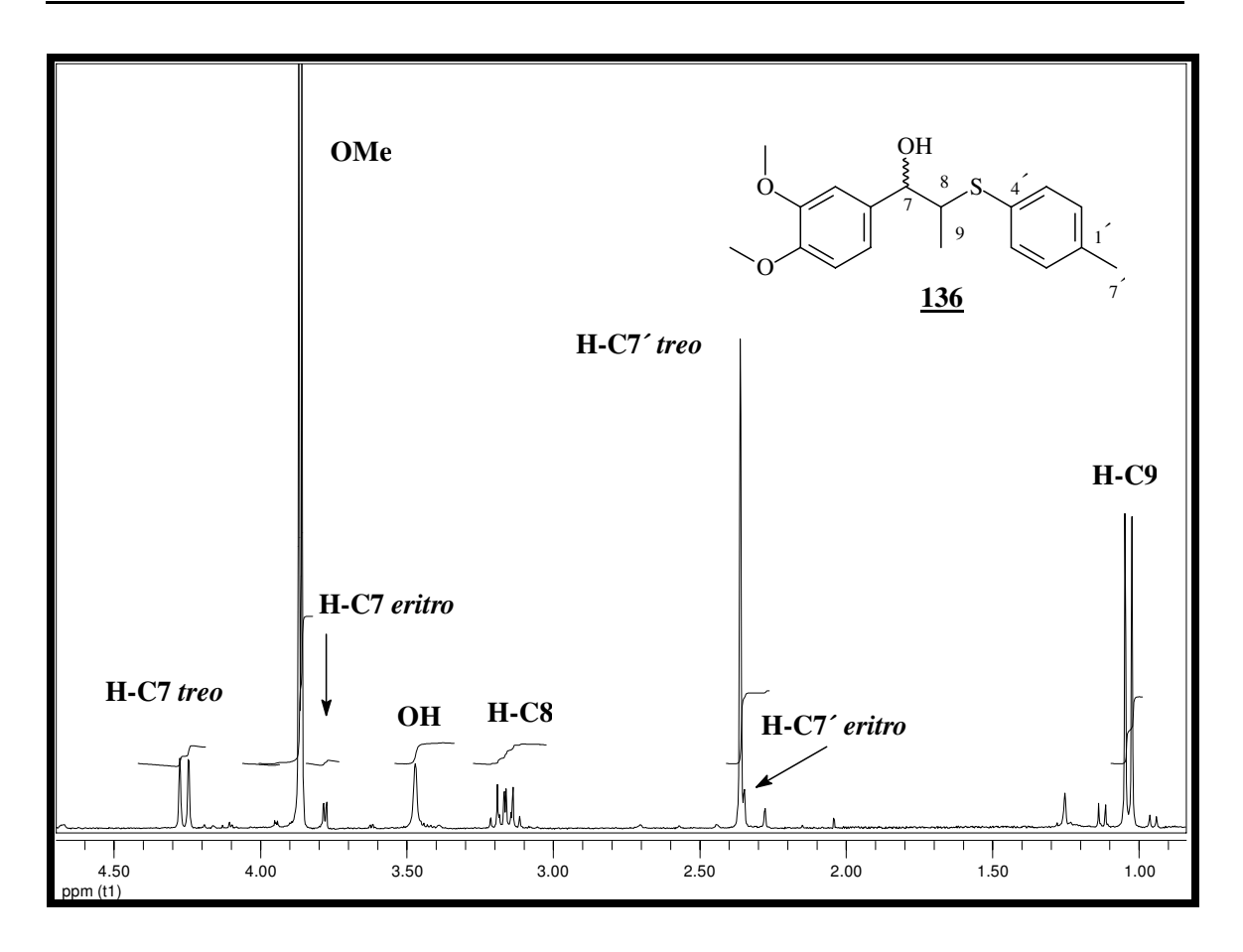


Figura 39 – Expansão do espectro de RMN de ¹H do composto <u>136</u> (300 MHz, CDCl₃).

O composto <u>136</u> *treo* foi isolado da mistura diastereoisomérica por CCDP (hexano/acetato de etila 7:3) com eluição contínua. Após a adição de D_2O à amostra do composto <u>136</u> *treo*, resultou na supressão do sinal em δ 3,47 referente à hidroxila, como pode ser observado no espetro de RMN de ¹H (**Figura 40**).

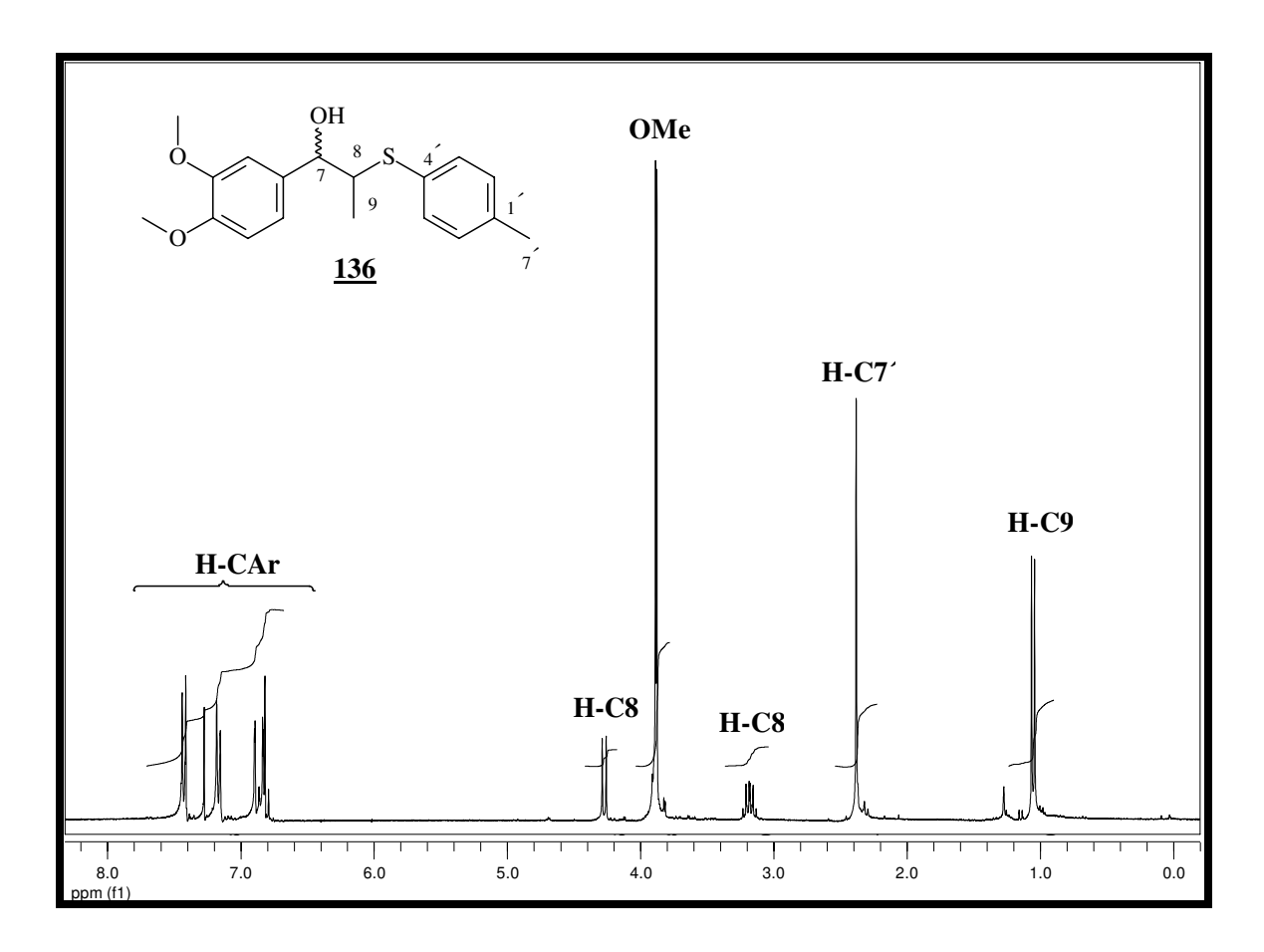


Figura 40 – Espectro de RMN de 1 H do composto $\underline{\mathbf{136}}$ treo (300 MHz, CDCl₃+ D₂O).

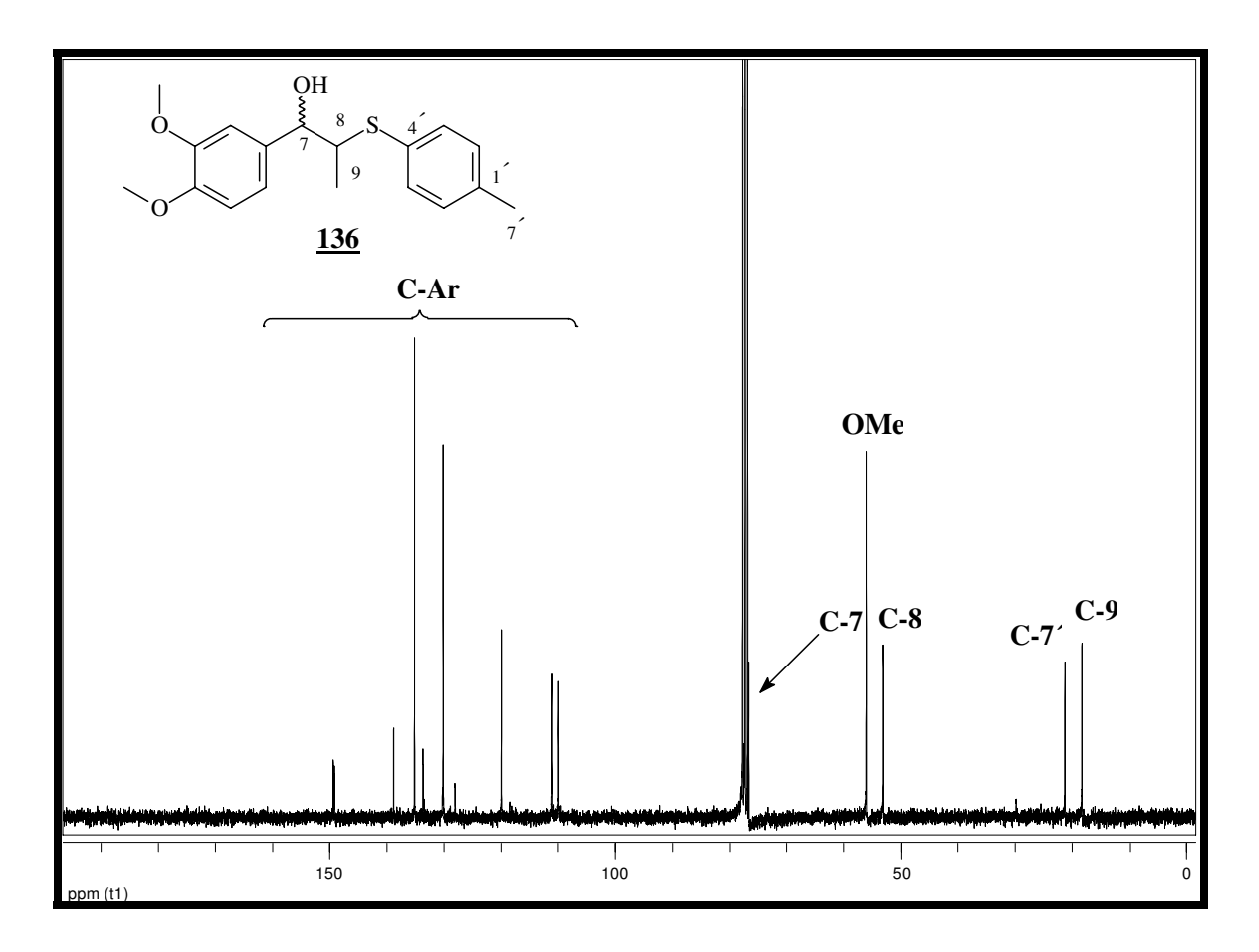


Figura 41 - Espectro de RMN de ¹³C do composto <u>136</u> (75 MHz, CDCl₃).

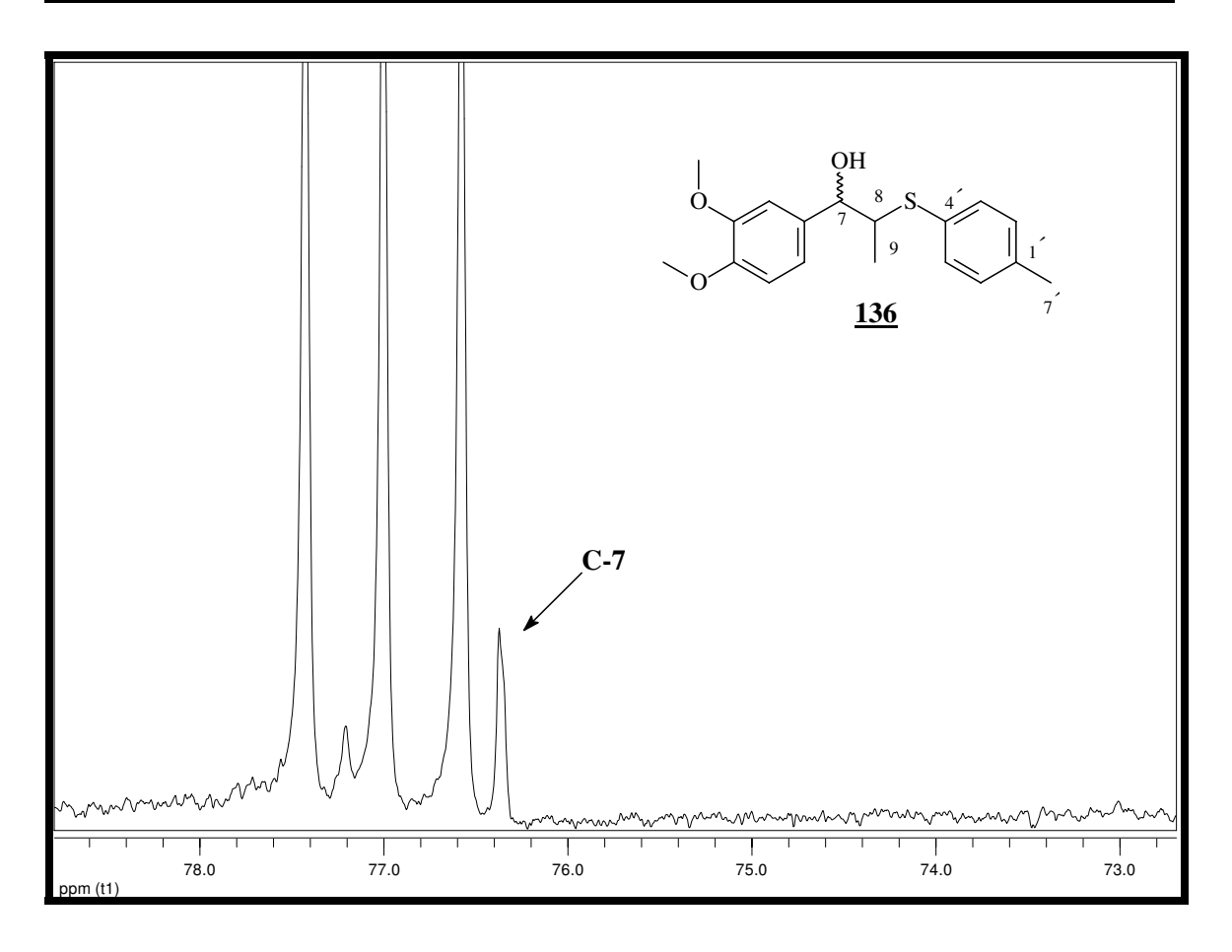


Figura 42 – Expansão do espectro de RMN de ¹³C do composto <u>136</u> (75 MHz, CDCl₃).

No espectro de RMN de 13 C, podem-se observar o sinal referente aos grupos metoxilas (anel A): δ 55,8. O sinal em δ 21,0 é atribuído ao carbono metílico C-7' (anel B), o sinal referente ao carbono metílico C-9 aparece em δ 18,0; sinal do carbono metínico C-8 em δ 52,9 e o sinal do carbono C-7 em δ 76,4, que possui o grupo hidroxila ligado a ele (**Figuras 41, 42** e **43**).

O íon molecular $[M]^+$ 318 (1) está de acordo com a fórmula molecular $C_{18}H_{22}O_3S$ para o composto $\underline{\mathbf{136}}$ e a fragmentação dos íons principais está

ilustrada a seguir. Os outros dois β -hidroxisulfetos seguem este padrão de fragmentação. O espectro de DEPT (**E-137**, pág. 387), ajudou a confirmar a sua estrutura química.

Tabela 19 - Dados de RMN de 1 H (CDCl₃, 300 MHz) e 13 C (CDCl₃, 75 MHz) do composto $\underline{\textbf{136}}$ *treo*.

Posição	¹ H	¹³ C
1		130,0
2	6,86-7,46	109,7
3		149,0
4		149,3
5	6,90 (<i>d</i> , <i>J</i> =8,5 Hz, 1H)	110,8
6	6,86-7,46	119,8
7	4,26 (<i>d</i> , <i>J</i> =8,8 Hz; 1H)	76,4
8	3,16 (<i>dq</i> , <i>J</i> =8,8 e 6,6 Hz; 1H)	52,9
9	1,03 (<i>d</i> , <i>J</i> =7,3 Hz; 3H)	18,0
1′		138,6
2´	6,86-7,46	133,5
3′	6,86-7,46	127,9
4′		135,0
5′	6,86-7,46	127,9
6′	6,86-7,46	133,5
7′	2,36 (s, 3H)	21,0
OMe	3,86	55,8
OMe	3,87	55,8

Figura 43 – β -hidroxisulfeto <u>136</u> e os valores de deslocamentos de RMN de ^{13}C .

Na **tabela 20** estão listados os principais fragmentos no EM dos β -hidroxisulfetos. As estruturas destes compostos encontram-se na **tabela 22**.

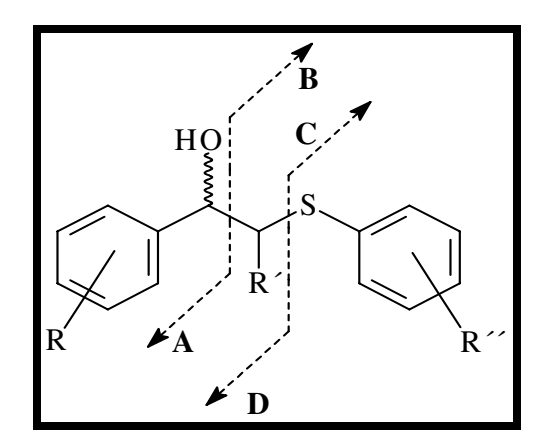


Tabela 20 - Fragmentação de β -hidroxisulfetos no EM.

Composto	$[M]^{+}$	A	В	С	D
135	278 (10)	107 (73)	171 (57)	135 (3)	143 (18)
<u>136</u>	318 (1)	167 (85)	151 (11)		123 (8)
<u>137</u>	338 (13)	167 (100)	171 (3)	195 (3)	143 (4)

Tabela 21 – Lista de espectros dos β -hidroxisulfetos. **Anexo**(página).

Comp.	RMN de	RMN de	Dept	gCosy	HSQC	IV	EM
	1 H	¹³ C					
135	130 (380)	131 (381)	132 (382)			133 (383)	134 (384)
<u>136</u>	135 (385)	136 (386)	137 (387)	_		138 (388)	139 (389)
<u>137</u>	140 (390)	141 (391)		142 (392)	143 (393)	144 (394)	145 (395)

Tabela 22 - β -hidroxisulfetos.

Composto	RMN de ¹ H (ppm)			RMN de ¹³ C (ppm)		EM M+(%)
	H- C8	Me-C8	C- 8	C -9	-	
OH SCI	3,22 (<i>dq</i> , <i>J</i> =8,4 e 7,0 Hz; 1H)	•	52,9	18,3	3422	278 (10)
он s 136	3,16 (<i>dq</i> , <i>J</i> =8,8 e 6,6 Hz; 1H)		52,9	18,0	3494	318 (1)
он s с с 137	3,18 (<i>dq</i> , <i>J</i> =8,5 e 6,96 Hz; 1H)	1,00 (<i>d</i> , <i>J</i> =6,95 Hz; 3H);	52,8	18,3	3422	338 (13)

3.2.10. Obtenção de β-acetoxisulfeto (derivado de β-hidroxisulfeto)

Os acetatos foram obtidos através de reação de acetilação (**Esquema 15**) do β -hidroxisulfeto <u>135</u> com anidrido acético e piridina (função de neutralização de ácido acético formado), em butanona como solvente. A reação foi mantida sob agitação magnética a 80 °C por 24h, fornecendo uma mistura diastereoisomérica *eritro* e *treo* (*treo* majoritário), do β -acetoxisulfeto 138, com rendimento de 78 %.

OH
$$\begin{array}{c} & & & & \\ &$$

Esquema 15 – Reação de acetilação de obtenção do composto <u>138</u>.

Mecanismo de reação de acetilação do composto 138:

A reação de acetilação do β -hidroxisulfeto $\underline{135}$ (*eritro* e *treo* resultou em uma mistura diastereoisomérica *eritro* e *treo* (aproximadamente 1:9), do β -acetoxisulfeto $\underline{138}$. A análise através de cromatografia gasosa é representada pelo cromatograma do composto $\underline{138}$ abaixo (**Figura 44**).

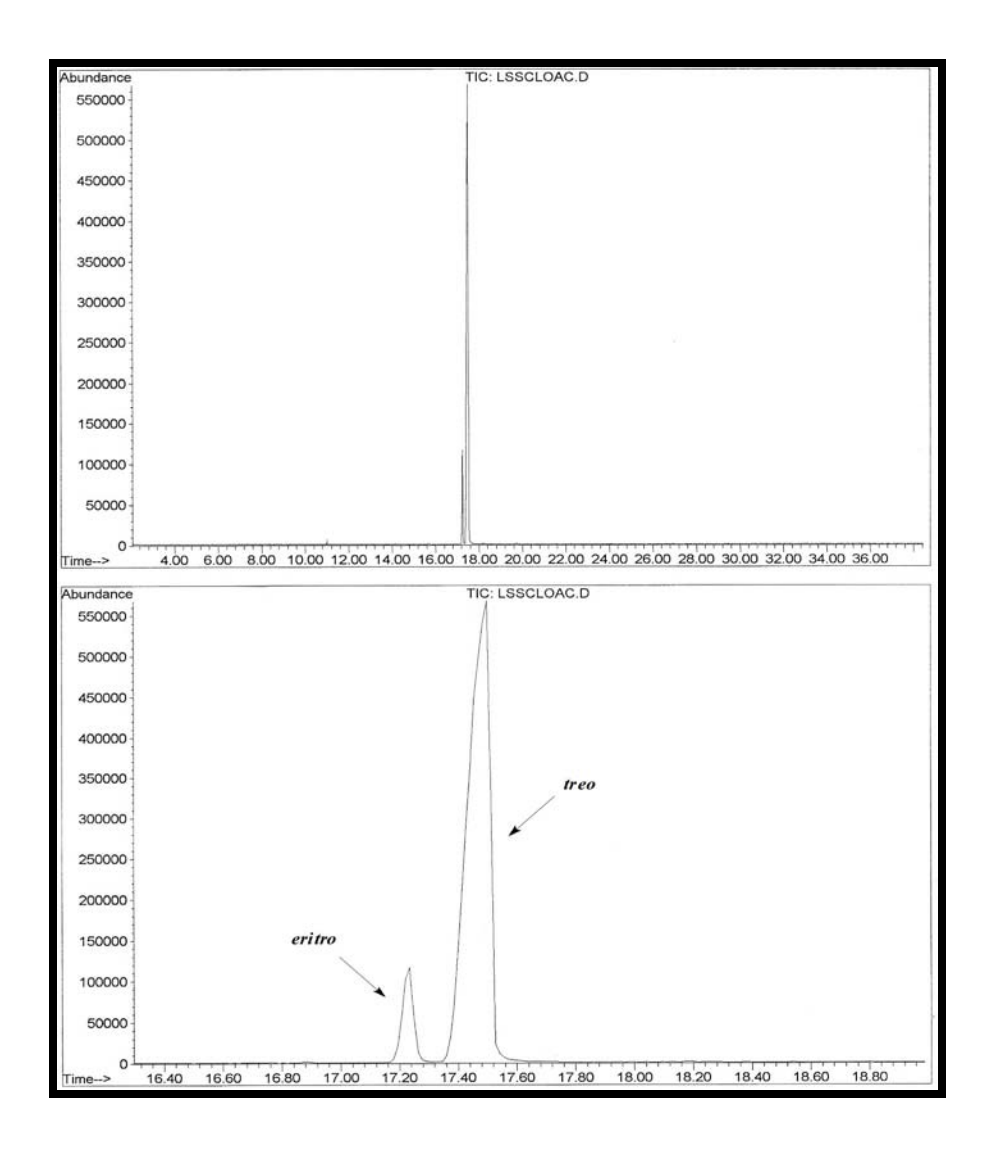


Figura 44 – Cromatograma (CG) da mistura diastereisomérica do β-acetoxisulfeto <u>138</u> *eritro* e <u>138</u> *treo*.

3.2.11. Identificação de \(\beta\)-acetoxisulfetos

Abaixo temos a identificação do composto <u>138</u> e seus dados espectroscópicos estão listados na parte experimental.

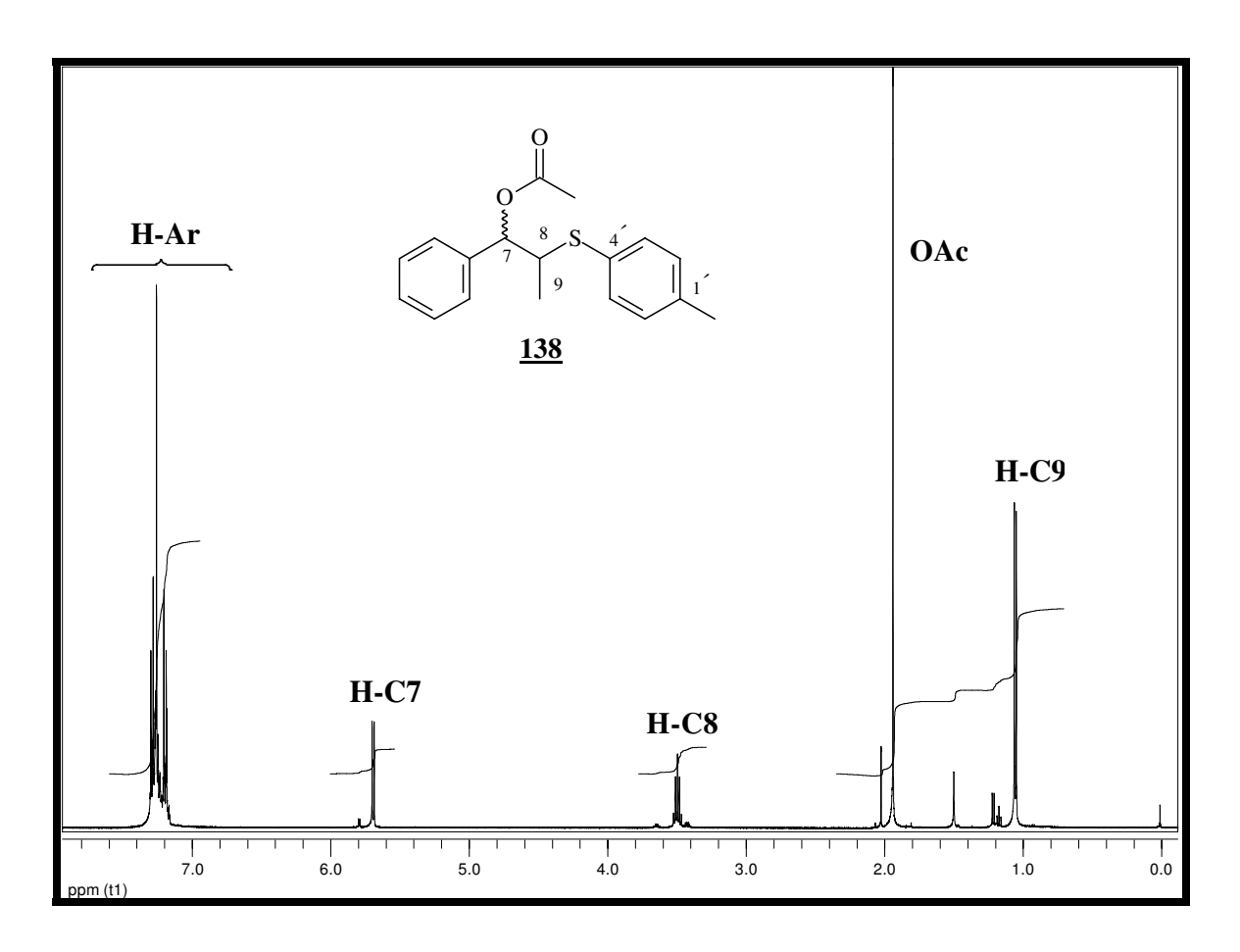


Figura 45 – Espectro de RMN de ¹H do composto <u>**138**</u> *treo* (300 MHz, CDCl₃).

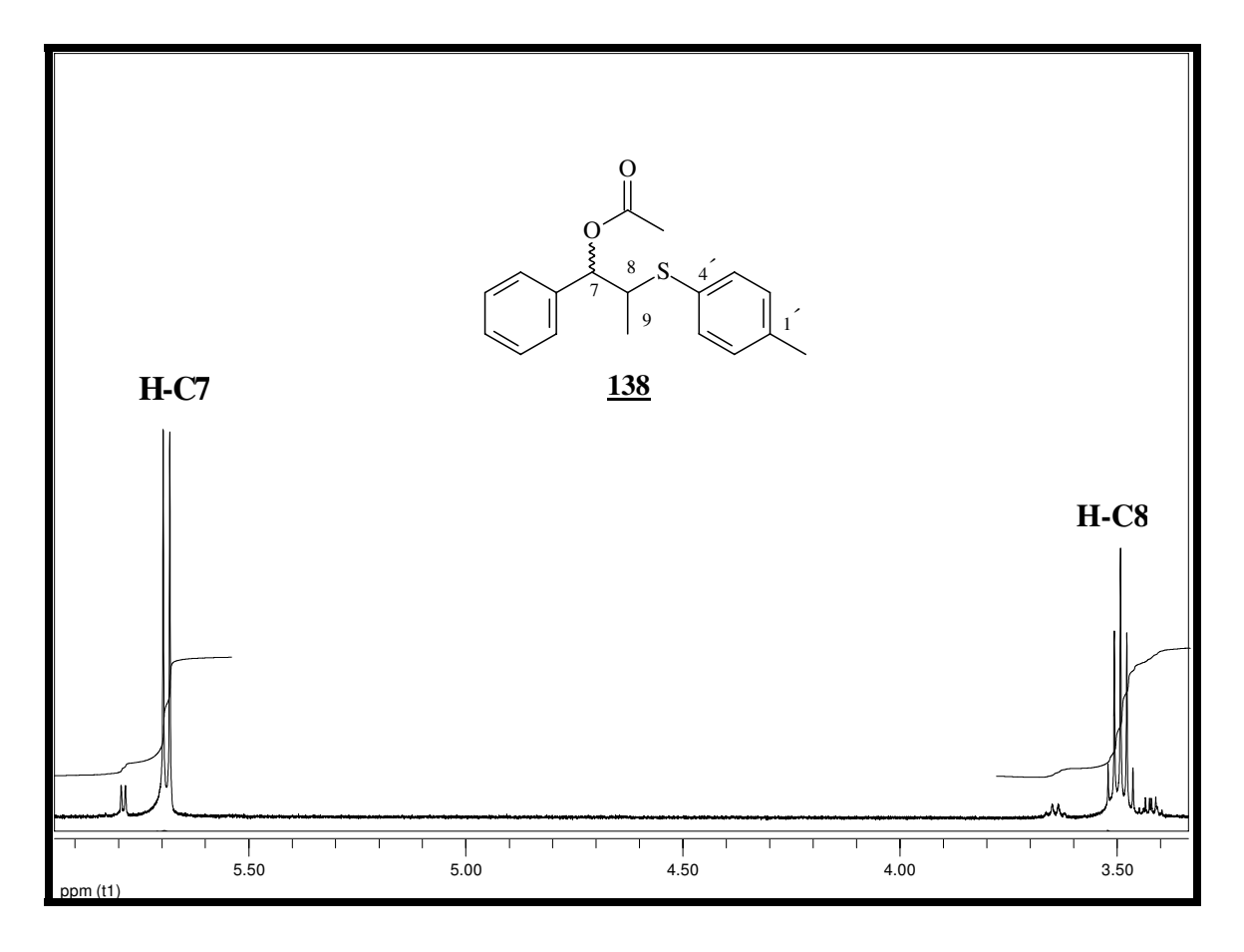


Figura 46 – Expansão do espectro de RMN de ¹H do composto <u>**138**</u> *treo* (300 MHz, CDCl₃).

O espectro no I.V. (**E-150**, pág. 400) apresenta banda larga de absorção a 1736 cm⁻¹, característica de estiramento do grupo carbonila de ésteres.

O espectro de RMN de 1 H, de $\underline{138}$ *treo*, **figuras 45** e **46**, mostra um dupleto (J=7,0 Hz; 3H) em δ 1,05 referente aos prótons metílicos do C- 9, o singleto (s, 3H) em δ 1,93 é referente à metila do acetato, o quinteto (J=7,2

Hz; 1H) em δ 3,49 é atribuído ao próton metínico do C-8, o dupleto (d, J=7,6 Hz; 1H) em δ 5,69 referente ao próton do C-8 e apresentando ao valor da constante de acoplamento de 7,6 Hz, característico de configuração treo (**Figura 46**) e os multipletos (9H) em δ 7,15-7,39 referentes aos prótons aromáticos.

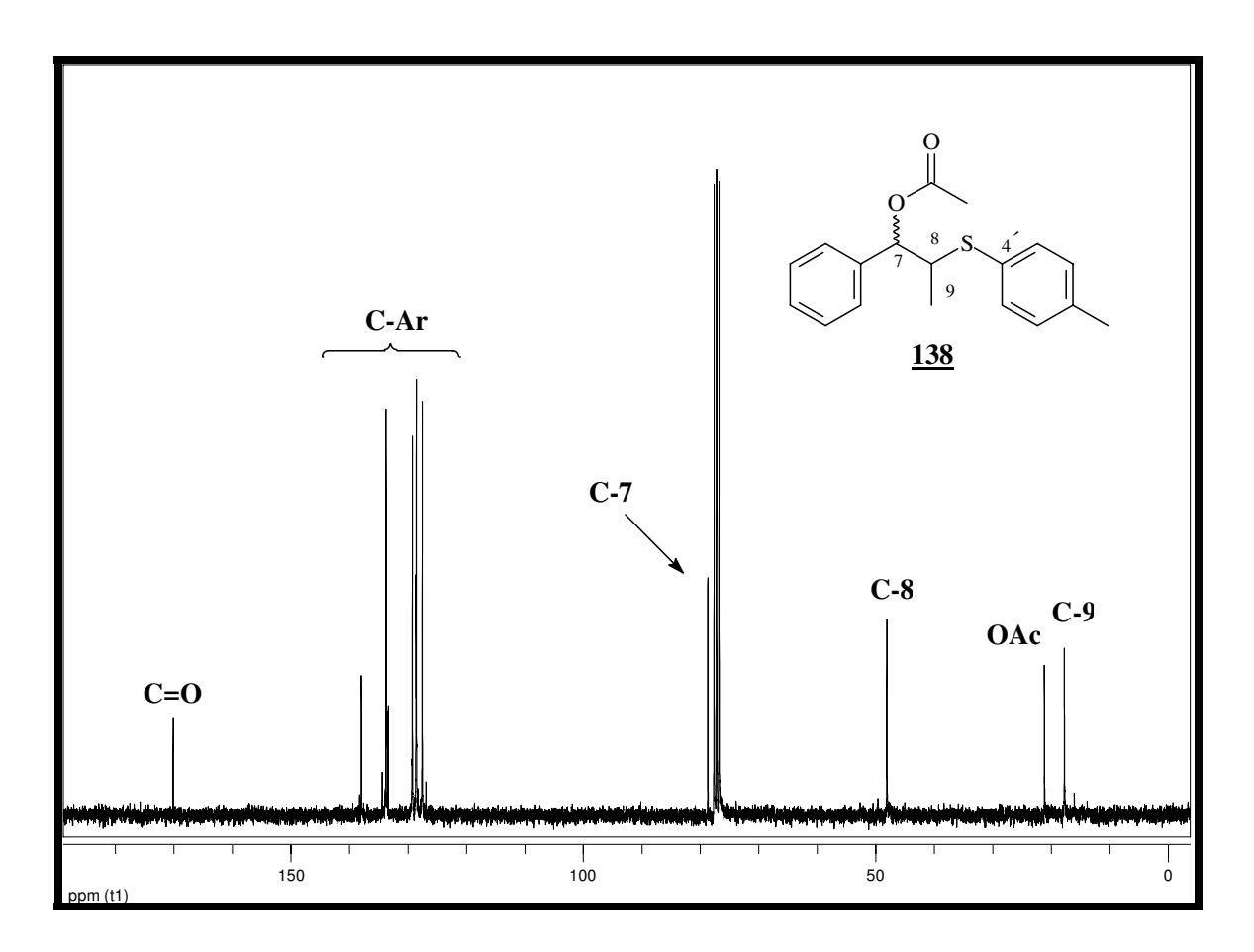


Figura 47 - Espectro de RMN de 13 C do composto $\underline{\mathbf{138}}$ (75 MHz, CDCl₃).

No espectro de RMN de 13 C, de $\underline{138}$ *treo*, podem-se observar um sinal referente ao carbono metílico C-9 em δ 17,5, o sinal em δ 20,9 referente ao carbono metílico do acetato. O sinal em δ 47,9 é atribuído ao carbono metílico C-8, o sinal em δ 78,5 devido ao carbono metínico C-7. Os sinais na faixa de δ 125,0-140,0 são atribuídos aos sinais dos carbonos aromáticos e o sinal em δ 170 devido ao deslocamento da carbonila (**Figuras 47** e **48**).

O íon molecular [M]⁺ 320 (14) está de acordo com a fórmula molecular C₁₇H₁₇ClO₂S para o composto <u>138</u> e a fragmentação dos íons principais está ilustrada no esquema . O espectro de DEPT (E-148, pág. 398) apresenta sinais relativos aos carbonos metínicos e metílicos na parte superior e na parte inferior, apenas sinais relativos aos grupos metínicos. O espectro gCOSY (E-149, pág. 399) ajudou a confirmar a sua estrutura química.

Tabela 23 - Principais fragmentos do composto 138 no EM (E-152, pág. 401).

Composto	$[M]^+$	A	В	С	D	E
<u>147</u>	320 (14)	59 (8)	261 (7)	149 (22)	171 (100)	107 (69)

Tabela 24 - Dados de RMN de ¹H (CDCl₃, 300 MHz) e ¹³C (CDCl₃, 75 MHz) do composto <u>138</u> *treo*.

Posição	¹ H	¹³ C
1		137,8
2	7,15-7,39 (<i>m</i> , H-Ar, 9H)	128,4
3	7,15-7,39 (<i>m</i> , H-Ar, 9H)	128,5
4	7,15-7,39 (<i>m</i> , H-Ar, 9H)	127,4
5	7,15-7,39 (<i>m</i> , H-Ar, 9H)	128,5
6	7,15-7,39 (<i>m</i> , H-Ar, 9H)	128,4
7	5,69 (<i>d</i> , <i>J</i> =7,6 Hz; 1H)	78,5
8	3,49 (<i>q</i> , <i>J</i> =7,2 Hz; 1H)	47,9
9	1,05 (<i>d</i> , <i>J</i> =7,0 Hz; 3H)	17,5
1′		133,3
2′	7,15-7,39 (<i>m</i> , H-Ar, 9H)	129,1
3′	7,15-7,39 (<i>m</i> , H-Ar, 9H)	132,2
4′		133,6
5′	7,15-7,39 (<i>m</i> , H-Ar, 9H)	132,2
6′	7,15-7,39 (<i>m</i> , H-Ar, 9H)	129,1
OAc (CH ₃)	1,93 (s, 3H)	20,9
OAc (C=O)	1,93 (s, 3H)	170,0

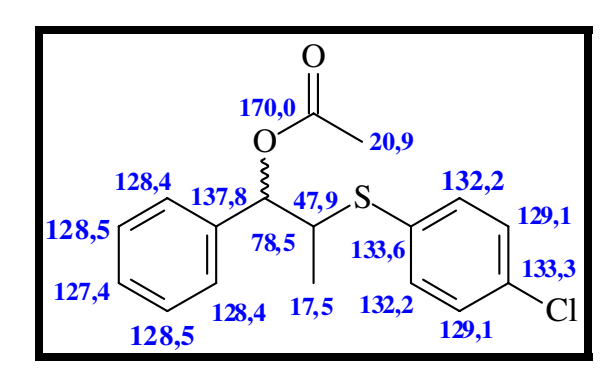


Figura 48 - β -acetoxisulfeto $\underline{138}$ treo e os valores de deslocamentos de RMN de $^{13}\mathrm{C}.$

3.3. Quiralidade e atividade biológica

Existe uma série de substâncias utilizadas como fármacos, que apresentam em sua estrutura um carbono assimétrico. Por outro lado, a inversão da orientação dos grupa mentos no centro assimétrico pode levar a uma modificação importante da atividade biológica. Nesse caso, a regra R e S é importante, pois permite determinar qual é o arranjo espacial correto para cada esterereoisômero do fármaco separado. Se soubermos disso e associarmos ao efeito biológico, será possível saber qual é a configuração absoluta do estereoisômero que tem atividade farmacológica. No **quadro 3** apresentamos alguns exemplos disso, exemplos de substâncias vendidas nas farmácias como fármacos. Todos apresentam em sua estrutura um ou mais centros assimétricos. Como podemos perceber, a modificação da orientação espacial dos substituintes ao redor do centro assimétrico muda completamente o efeito biológico.

Por exemplo, a talidomida é um sedativo leve e pode ser utilizado no tratamento de náuseas, muito comum no período inicial da gravidez. Quando foi lançado era considerado seguro para o uso de grávidas, sendo administrado como uma mistura racêmica, ou seja, uma mistura composta pelos seus dois enantiômeros, em partes iguais.

Entretanto, uma coisa que não se sabia na época é que o enantiômero *S* apresentava uma atividade teratogênica (do grego *terás* = monstro; *gene* = origem), ou seja, levava à má formação congênita, afetando principalmente o desenvolvimento normal dos braços e pernas do bebê. O uso indiscriminado

desse fármaco levou ao nascimento de milhares de pessoas com gravíssimos defeitos físicos.

Quadro 3 - Exemplos de fármacos com centros assimétricos e a atividade biológica. Substâncias com centros assimétricos dotadas de efeitos biológicos.

^{*} carbono assimétrico dos fármacos está assinalado com a rotação da seta.

Sheldon, R.A.; "Chirotechnology – Industrial synthesis of optically active compounds" Nova Iorque: Marcel Dekker Inc. **1993**, pág. 1.

Esse é um exemplo clássico de um efeito nocivo grave causado pelo enantiômero de um fármaco comercial. Esse acontecimento despertou a atenção da comunidade científica e das autoridades farmacêuticas sobre a importância de um centro assimétrico na atividade farmacológica.

Outro exemplo é o aspartame, adoçante sintético, com uso largamente difundido no Brasil e no mundo. O estereoisômero S,S é doce, enquanto que o R,R é amargo.

Um fármaco pode exercer a sua atividade no interior do nosso corpo (biofase) de várias formas. Uma dessas formas é através da interação com estruturas chamadas *receptores*, que são proteínas de elevado grau de organização espacial, que se encontram na membrana da célula. Esses receptores agem como pequenos interruptores de grande seletividade. Uma vez ligados, eles podem desencadear uma série de reações intracelulares para dar origem a um efeito biológico. Um fármaco também pode interagir com uma enzima, que é uma proteína de elevado nível de organização.

Se essas estruturas têm quiralidade, podemos sugerir que para ter interação com elas, o fármaco deve ter um arranjo espacial de sua estrutura muito bem definido. Esse arranjo deve coincidir com aquele da estrutura com a qual ele irá interagir. Na literatura especializada existem alguns modelos que permitem explicar essa interação. Um desses modelos está mostrado esquematicamente na **figura 49**. 110

_

¹¹⁰ Easson, L.H.; Stedman, E.; *Biochem. J.*, v. 27, **1933**, pág. 1257.

O modelo mostra duas possibilidades de arranjo espacial de grupos hipotéticos. Em um arranjo, a interação do fármaco pode ocorrer, no outro ela só ocorre parcialmente.

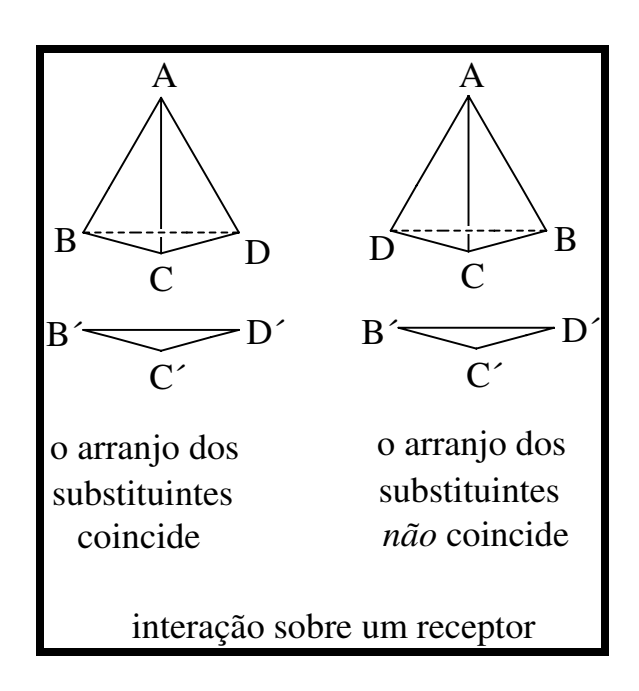


Figura 49 – Modelo para explicar a interação biológica.

Por exemplo, a noradrenalina é um hormônio liberado pelo organismo humano quando precisamos de uma dose de energia imediata. É o hormônio *lute ou fuja*, liberado em situações em que você precisa de maior atenção.

Por exemplo, quando se leva um susto e o coração bate mais rápido, ou quando se briga com alguém ou então fugir da briga. Esse hormônio apresenta na sua estrutura um centro assimétrico, de configuração absoluta *R* (**Figura 49**).

Se invertermos o arranjo espacial (configuração absoluta) do centro assimétrico presente na adrenalina, impediremos que ocorra uma das interações, levando a uma modificação do efeito biológico.

Outra possibilidade de ação é através de uma interação com enzimas do nosso corpo. As enzimas, da mesma forma que os receptores das membranas celulares, são proteínas e têm um arranjo espacial bem organizado e definido. Para que a enzima possa estabelecer ligações adequadas com um fármaco, este tem que apresentar um arranjo espacial específico.

Esses modelos de interação permitem estabelecer a importância da quiralidade para a atividade biológica. Qualquer mudança de orientação espacial do carbono assimétrico resulta na quase totalidade dos casos, a uma alteração no meio biológico. Na **figura 50** mostramos uma alusão que resume a importância que a quiralidade pode ter para o efeito biológico.

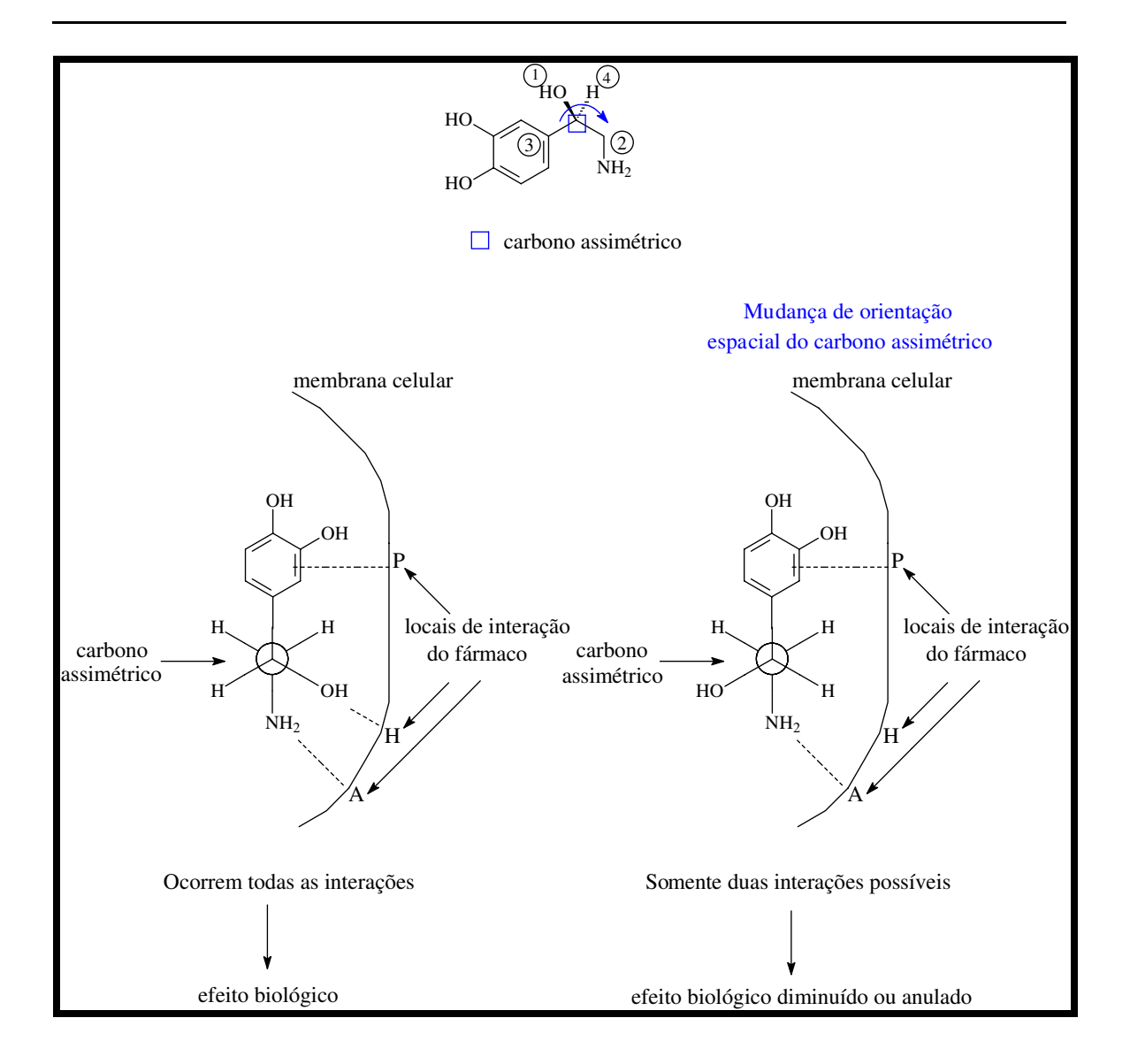


Figura 50 - Aplicação do modelo à noradrenalina.

Não é possível usar imagem da luva esquerda na imagem especular da mão, elas não se encaixam. O mesmo ocorre com a interação de um fármaco que tem um carbono assimétrico em sua estrutura.

O controle da estereoquímica absoluta do centro assimétrico presente em um fármaco pode ser realizado na sua fabricação. Existem vários métodos

químicos que permitem a realização dessa importante tarefa. Esses métodos constituem a base da síntese assimétrica.

O enorme desenvolvimento da síntese orgânica nos últimos vinte anos, possibilitou um grande avanço da química, principalmente na preparação de fármacos. Uma síntese orgânica de moléculas que contêm centros assimétricos pode ser classificada como racêmica ou assimétrica. O produto de uma síntese racêmica será um fármaco composto de uma mistura de seus possíveis estereoisômeros em partes iguais. Por outro lado, o produto de uma síntese assimétrica será um fármaco de elevada pureza óptica, ou seja, se estiver contaminado com o outro estereoisômero será em quantidades inferiores a 5%. No mercado mundial existem vários fármacos que já são vendidos nas farmácias em suas formas opticamente puras, ou seja, sem a mistura com o outro isômero. Na tabela 24 mostramos alguns exemplos. A venda de fármacos na forma de mistura racêmica ainda ocorre. Entretanto, é necessário saber qual é o estereoisômero responsável pela atividade e ter absoluta certeza que o estereoisômero inativo, presente na mistura, não tem nenhuma atividade biológica adversa. Do ponto de vista do consumidor, a administração de um fármaco em sua mistura racêmica tem algumas desvantagens: 1. A dose a ser utilizada deve ser aumentada, pois somente metade, tem o efeito farmacológico desejado; 2. O paciente ingere, a cada dose do fármaco, 50% de uma substância química desnecessária. O único fator, no nosso entender, que dificulta a venda de fármacos quirais em sua forma opticamente pura é o custo de uma síntese assimétrica. Normalmente, os métodos usados são caros, o que eleva o preço final do fármaco para o consumidor. Entretanto, esse fator limitante tende a desaparecer, principalmente devido às exigências legais.

Tabela 24 - Exemplos de fármacos opticamente puros comercializados. 111

Fármaco	Nome comercial	Classe terapêutica	Vendas mundiais (milhões, US\$)
Amoxilina	Amoxil®, Novocilin®	antibiótico	2000
Ampicilina	Binotal [®]	antibiótico	1800
Captopril	Capoten [®]	controle de pressão	1520
Enalapril	Renitec®	controle de pressão	1500
Ibuprofeno	Motrin [®]	antiinflamatório	1400
Cefaclor	Ceclor [®]	antibiótico	1040
Naproxen	Naprosyn [®]	antiinflamatório	950
Cefalexina	Keflex [®]	antibiótico	900
Lovastatina	Lovastatina [®]	controle de colesterol	750

Uma síntese assimétrica, por sua vez, pode ser *enantiosseletiva* ou *diastereosseletiva*. No primeiro caso é formado, com grande preferência, um dos possíveis enantiômeros. Uma síntese diastereosseletiva formará preferencialmente um dos diastereoisômeros (**Esquema 16**).

155

¹¹¹ Basile, A.C.; Zanini, A.C. *Dicionário de medicamentos genéricos Zanini-Oga*, 2ª ed. São Paulo: Ipex Comercial Editora, **1999**.

Esquema 16 – Classificação de uma síntese orgânica.

3.3.1. Exemplos de sínteses racêmicas e assimétricas de fármacos

Nessa parte da dissertação, vamos mostrar a preparação de alguns fármacos disponíveis nas farmácias brasileiras. Escolhemos duas substâncias: o fármaco ibuprofeno (Motrin®, Algifen®), muito utilizado no tratamento de inflamação e contra a dor causada por esse tipo de processo, e o captopril (Capoten®), fármaco empregado no tratamento da pressão alta.

3.3.1.1. Sínteses racêmica e assimétrica do Ibuprofeno

O antiinflamatório ibuprofeno é utilizado no combate aos processos inflamatórios (p. ex. reumatismos ou dores nas juntas, inflamações causadas por cortes, etc). Ele apresenta uma razoável tolerância se comparado à aspirina (Melhoral®, Aspirina®, Doril®), entretanto o uso sem controle médico, em elevadas quantidades e por um tempo prolongado, pode causar sérios problemas no estômago. Podemos localizar na estrutura do ibuprofeno dois blocos distintos. Um derivado do ácido acético e outro derivado de um sistema aromático (**Figura 51**).

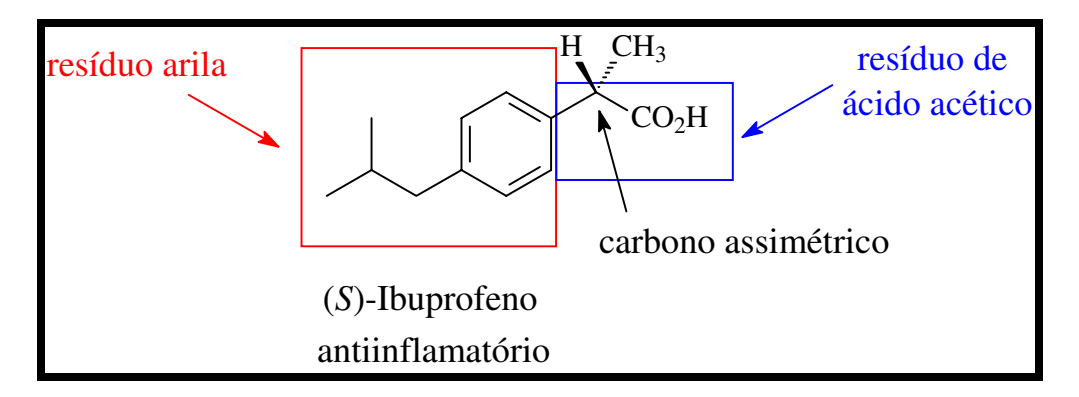


Figura 51 – Partes do Ibuprofeno

A fabricação industrial dessa substância utiliza uma seqüência muita simples de reações (**Esquema 17**). 112

Um dos métodos para fabricação desse fármaco tem por objetivo incluir

¹¹² Lednicer, D. *Strategies for organic drug synthesis and design*. Nova Iorque: John Wiley & Sons, **1998**, pág. 53.

um grupamento metila (CH₃) na posição marcada, na estrutura <u>139</u>. Para tanto, primeiro foi colocado um grupo éster <u>140</u> e em seguida a posição foi metilada <u>141</u>. Essa etapa é necessária para evitar adicionar mais de uma metila. A perda de CO₂ conduz a formação do ibuprofeno (**Esquema 17**).

CO₂Et
$$(EtO)_2CO$$
 $EtONa$ CO_2Et OCO_2Et OCO_2E

Esquema 17 – Produção do ibuprofeno racêmico.

Outra alternativa para fabricar o ibuprofeno está apresentada no **esquema 18**. ¹¹² Nesse método ocorre apenas uma reação que transforma um grupo carbonila em um grupo carboxílico, presente no fármaco.

Essa reação é uma espécie de mudança de um grupo carbonila de posição. O tratamento de **141** com base fornece o ibuprofeno.

Esquema 18 - Produção do ibuprofeno racêmico.

As sínteses assimétricas incorporam no substrato um carbono em um estágio de oxidação intermediário. Uma etapa de adição oxidativa leva ao ibuprofeno comercial (**Esquema 19**).¹¹³

$$+ CO_2 + H_2 \xrightarrow{\text{PtCl}_2/\text{SnCl}_2} \text{catalisador pressão}/60^{\circ}\text{C} \xrightarrow{\text{Solvente A}} \text{CHOEt}_2 \xrightarrow{\text{[O]}} \text{(S)-Ibuprofeno}$$

Esquema 19 - Exemplo de síntese assimétrica do Ibuprofeno.

, H., Hamel, N. J. Am. Chem. Soc. **1990**, 109, 7122.

159

1

¹¹³ Alper, H.; Hamel, N. J. Am. Chem. Soc. **1990**, 109, 7122.

O captopril, fármaco lançado no mercado por Bristol-Myers Squibb, é vendido nas farmácias em sua forma opticamente pura. Esse fármaco apresenta em sua estrutura dois carbonos assimétricos (**Figura 52**).

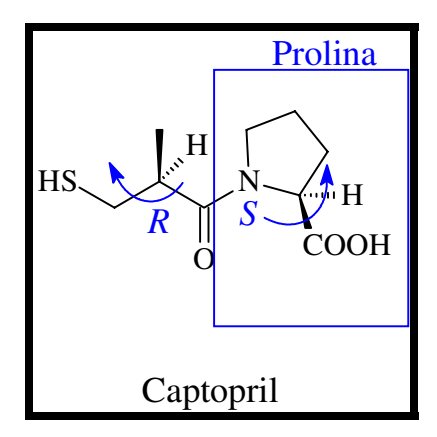
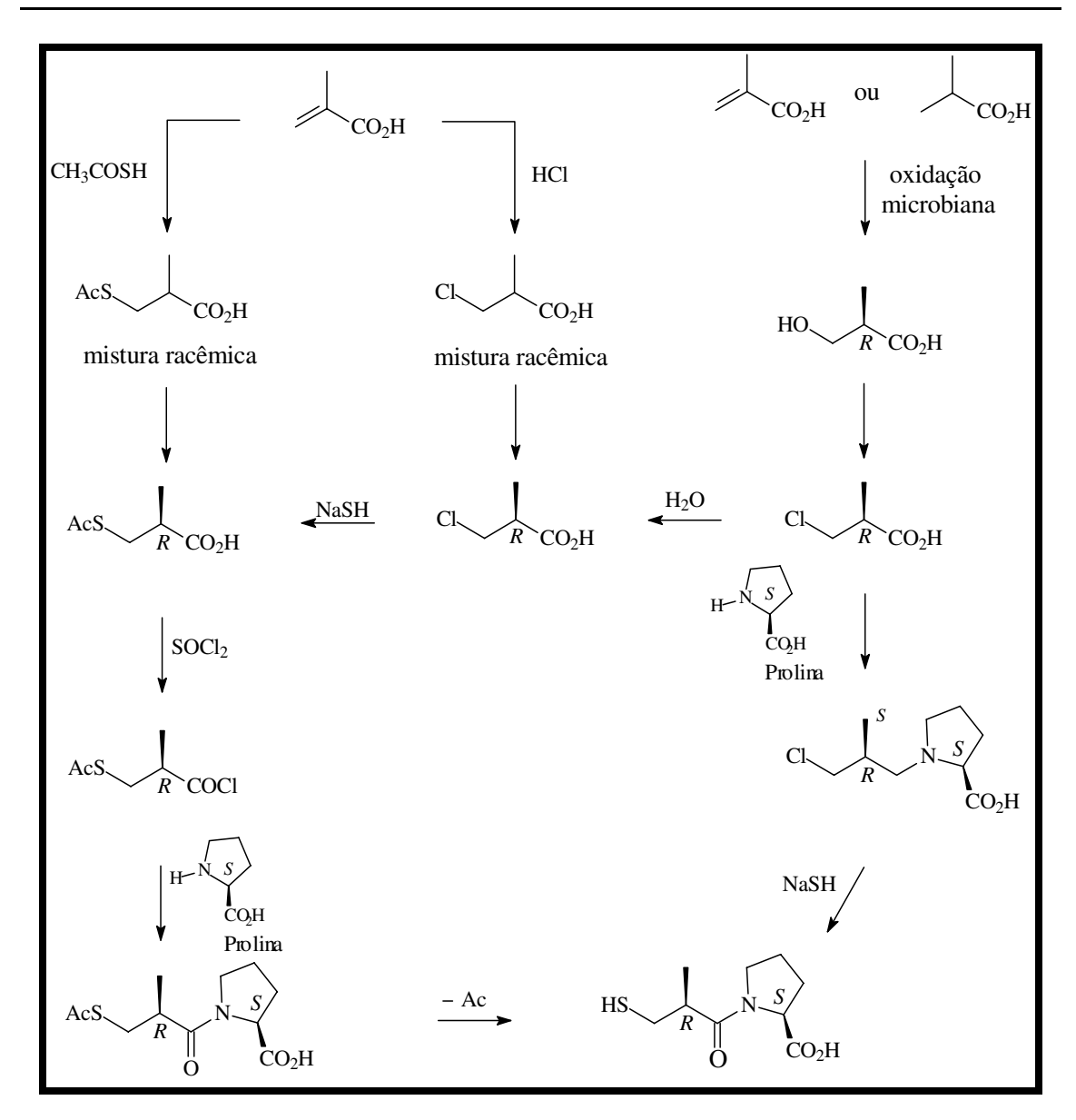


Figura 52 – Partes do captopril.

Esse fármaco é composto por um aminoácido natural, a prolina, e uma parte com um átomo de enxofre. Todos os métodos utilizados na sua fabricação industrial baseiam-se no uso da prolina, que por ser um aminoácido natural é vendida normalmente com o centro assimétrico controlado.

No **esquema 20** apresentamos alguns métodos industriais para a fabricação do captopril (Capoten®). 114

¹¹⁴ Shimakazi, M.; Hasegawa, J.; Kan, K.; Nomura, K.; Nose, Y.; Kondo, H.; Ohashi, T.; Watanabe, K. *Chem.Pharm. Bull.* **1982**, *30*, 3139.



Esquema 20 – Obtenção industrial do captopril.

De maneira geral, a fabricação do captopril é dividida em duas partes. Na primeira é preparado o resíduo onde será incorporado o átomo de enxofre. Na segunda, esse resíduo é condensado com a prolina. O controle da estereoquímica absoluta do fármaco é feito apenas na parte que tem o átomo de enxofre, uma vez que a prolina, por ser um aminoácido quiral, já tem o arranjo espacial do seu carbono assimétrico controlado.

Os compostos quirais podem ser obtidos de através de diversas metodologias: 115,116

A) a partir de substratos e reagentes aquirais, atingindo-se a pureza ótica desejada através da resolução de uma modificação racêmica (por cristalização).

B) a partir de substratos aquirais, induzindo-se a quiralidade com auxiliares quirais apropriados para a obtenção do produto com a configuração desejada (síntese assimétrica).

C) a partir de substratos quirais de fontes naturais, de configuração previamente estabelecida, desenvolvendo-se sequências sintéticas estereosseletivas.

D) a partir de transformações microbiológicas.

Neste trabalho, sintetizamos compostos oticamente ativos via intermediários quirais, obtidos a partir de substratos aquirais, induzindo a quiralidade com auxiliares quirais.

3.4. Intermediários 2-bromo alquil aril cetonas quirais

Os intermediários 2-bromo alquil aril cetonas quirais, são intermediários sintéticos importantes em química orgânica, devido à presença de dois grupos

¹¹⁵ Smith, M. B.; March, J. "March's; Advanced Organic Chemistry: Reactions, Mechanisms, and Structure", 5^a Edição, John Wiley & Sons, **2001**.

¹¹⁶ Jones, J. B. *Tetrahedron* **1986**, *42*, 3351.

funcionais (carbonila e haleto) que podem ser convertidos, em uma variedade de outras funções químicas. A obtenção desses intermediários em suas formas enantiomericamente puras abre perspectivas para as sínteses de β -cetoéteres $\underline{66}$, β -cetosulfetos $\underline{67}$ e β -cetoaminas $\underline{68}$, oticamente ativos.

R'''
$$\begin{array}{c}
0 \\
X \\
R'''
\end{array}$$

$$\begin{array}{c}
\underline{66} \text{ X = O} \\
\underline{67} \text{ X = S} \\
\underline{68} \text{ X = NH}
\end{array}$$

Descreveremos rotas de sínteses enantiosseletivas de β -cetosulfetos, os quais como já discutido, possuem importantes atividades biológicas, ainda como racematos. Os compostos intermediários 2-bromo alquil-aril-cetonas foram os intermediários chaves dessas rotas sintéticas e forma obtidos, segundo os trabalhos de Castaldi e col. (**Esquema 21**). $^{117-126}$

As sínteses desses intermediários, consiste na reação da cetona aromática $\underline{\mathbf{B}}$, com (+)-R,R-Dimetil tartarato, (+)-DMT, em presença de um catalisador ácido levando a formação do homocetal quiral (R,R)- $\underline{\mathbf{R}}$ (etapa $\underline{\mathbf{A}}$). A bromação com Br_2 em CCl_4 na presença de 2-metoxi naftaleno leva a uma mistura diastereoisomérica de α -bromo cetais (R,R,S)- $\underline{\mathbf{S}}$ e (R,R,R)- $\underline{\mathbf{T}}$ (etapa $\underline{\mathbf{B}}$), com o epímero S majoritário. Desproteção da mistura diastereoisomérica em meio ácido, fornece a 2-bromo alquil aril cetona (S)- $\underline{\mathbf{C}}$ em excelente rendimento e excesso enantiomérico (etapa $\underline{\mathbf{C}}$). Foi utilizado também o (-)- $\underline{\mathbf{DMT}}$, como auxiliar quiral levando à formação majoritária da cetona (R)- $\underline{\mathbf{C}}$ ($\underline{\mathbf{Esquema 21}}$).

11

¹¹⁷ Castaldi, G.; Giordano, C.; Uggeri, F., Synthesis **1985**, 505.

¹¹⁸ Giordano, C.; Castaldi, G.; Uggeri, F.; *Angew. Chem.* **1984**, *46*, 413.

¹¹⁹ Giordano, C.; Castaldi, G.; Uggeri, F.; Angew. Chem. Int. Ed. 1984, 23, 413.

¹²⁰ Castaldi, G.; Giordano, C.; Uggeri, F., Synthesis 1985, 436.

¹²¹ Castaldi, G.; Cavicchioli S.; Giordano, C.; Uggeri, F., Angew. Chem. 1986, 98, 273.

¹²² Castaldi, G.; Cavicchioli S.; Giordano, C.; Uggeri, F. *Angew. Chem. Int. Ed. Engl.* **1959**, 25, 259.

¹²³ Castaldi, G.; Cavicchioli S.; Giordano, C.; Uggeri, F., J. Org. Chem. **1987**, 52, 3018.

¹²⁴ Castaldi, G.; Giordano, C. Synthesis 1987, 1039.

¹²⁵ Castaldi, G.; Cavicchioli S.; Giordano, C.; Uggeri, F. Eur. Pat. Appl. EP. 158913 (1985).

¹²⁶ Castaldi, G.; Cavicchioli S.; Giordano, C.; Uggeri, F., Eur. Pat. Appl. EP. 158255 (1985).

Esquema 21 – Rotas de sínteses enantiosseletivas de cetais.

As substâncias α -bromo cetais quirais (R,R,S)- \underline{S} e (R,R,R)- \underline{T} são intermediários chaves nas sínteses de ácidos alquil aril acéticos oticamente ativos, os quais são utilizados clinicamente como antiinflamatórios e analgésicos. 123,124

Castaldi e col. 123,127 observaram que a hidrólise da mistura de α -bromo cetais quirais, leva às α -bromo cetonas de mesma configuração absoluta do epímero majoritário na mistura. Assim a utilização de (+)-DMT e (-)-DMT como auxiliares quirais, resultou nos compostos 2 bromo alquil aril cetonas quirais de configurações absolutas S ou R, respectivamente. Portanto a escolha correta do auxiliar quiral pode levar às cetonas (S)- \mathbf{C} ou (R)- \mathbf{C} de forma majoritária.

¹²⁷ Corey, E. J.; Burke, H. J. J. Am. Soc. **1955**, 77, 5418.

De acordo com os resultados dos ensaios anti-*leishmania*, realizados previamente com todos compostos racêmicos, os compostos <u>127</u> e <u>128</u> foram os que apresentaram os valores mais significativos de atividades biológicas.

No sentido de incrementar a atividade biológica dos respectivos racematos, decidiu-se pelas sínteses enantiosseletivas, para se obter as formas quirais ou oticamente ativas dos compostos $\underline{127}$ e $\underline{128}$ sínteses dos intermediários α -bromo cetonas quirais. Essas sínteses apresentaram problemas nos métodos utilizados nas reações realizadas por Santos, 107 principalmente em dois aspectos:

- 1) Não reprodutibilidade na bromação assimétrica do cetal com as condições descritas na literatura, ¹²²⁻¹²⁵ levando à desproteção do cetal antes da bromação, devido ao HBr no meio reacional.
 - 2) No controle da desproteção do homocetal quiral sem racemização.

As sínteses das α -bromo cetonas quirais foram obtidas com bons rendimentos e envolveram três etapas, que serão discutidas a seguir.

Esquema 22 – Rotas das sínteses enantiosseletivas dos intermediários quirais.

3.4.1. Obtenção de cetais

Alguns procedimentos são disponíveis para conversão de aldeídos e cetonas em seus respectivos acetais e cetais. 124,125 A literatura descreve a cetalização de cetonas aromáticas com (+)-DMT ou (-)-DMT, utilizando ácido metano sulfônico como catalisador, com excelentes rendimentos. 124-126

Métodos convencionais incluem o uso de ortoéteres na presença de catalisadores ácidos, tais como, ácido sulfúrico, HCl/etanol, ácido p-tolueno sulfônico 130,131 , FeCl $_3$, 132 nitrato de amônio, 133 resina de troca iônica, 134 p-tolueno sulfonato de piridina (PPTS) 135,136 e outros.

A cetalização das cetonas propiofenona <u>82</u> e 1-(3,4-dimetoxifenil) propan-1-ona <u>83</u> com (+)-DMT e (-)-DMT, e ortoformiato de metila em CCl₄ a 85 °C durante uma noite, usando ácido metano sulfônico como catalisador forneceu os quatro cetais indicados a seguir, com mais de 90% de rendimento (**Figura 53**).

¹²⁸ Jones, R. G. J. J. Am. Soc. **1955**, 77, 4074.

¹²⁹ Schwenk, E.; Fleischer, G.; Whitman, B. J. Am. Soc. **1938**, 60, 1702.

¹³⁰ Mackenzie, C. A.; Stocker, J. H. J. Org. Chem. **1955**, 20, 1965.

¹³¹ Hurd, C. d.; Pollack, M. A.; J. Am. Soc. **1938**, 60, 1905.

¹³² Bornstein, J.; Bedell, S. F.; Drummond, Cosoloski, C. L. *J. Am. Soc.* **1956**, 78, 83.

¹³³Klein, J.; Bergmann, E. D. *J. Am. Soc.* **1957**, 79, 3452.

¹³⁴ Patwardhan, S. A.; Dev, S. *Synthesis* **1974**, 348.

¹³⁵ Miyashita, N.; Yoshikoshi, A.; Grieco, P. A. J. Org. Chem. **1977**, 42, 3772.

¹³⁶ Sterzycki, R. Synthesis **1979**, 724.

(+) (4R,5R)-dimetil 2-etil-2-fenil-1,3-dioxolano-4,5-dicarboxilato 146

(-) (4S,5S)-dimetil 2-etil-2-fenil-1,3-dioxolano-4,5-dicarboxilato 147

(+) (4R,5R)-dimetil 2-(3,4-dimetoxifenil)-2-etil-1,3-dioxolano-4,5-dicarboxilato $\underline{\mathbf{148}}$

(-) (4*S*,5*S*)-dimetil 2-(3,4-dimetoxifenil)-2-etil-1,3-dioxolano-4,5-dicarboxilato <u>149</u>

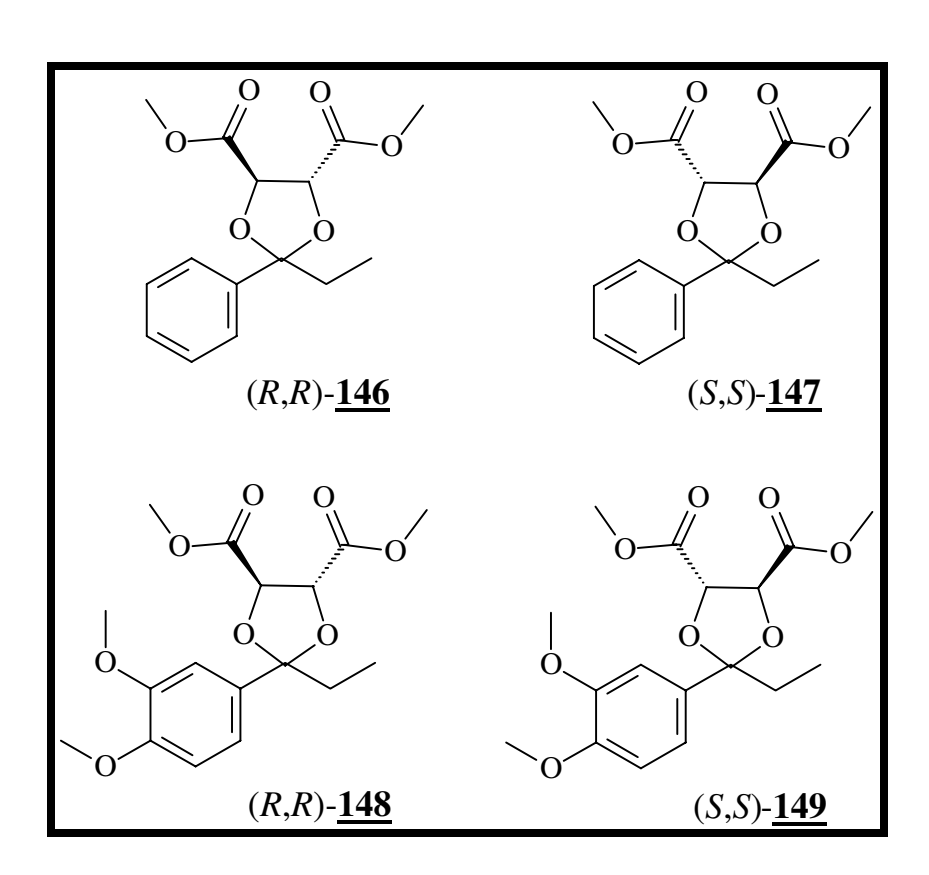


Figura 53 - Cetais obtidos na etapa **A** da síntese enantiosseletiva dos intermediários quirais.

3.4.2. Otenção de cetais bromados

Como citado anteriormente, as dificuldades encontradas por Santos¹⁰⁷ e com a formação da α-bromo cetona racêmica pode ser explicada através das seguintes proposições:

a) Desproteção de (R,R)-148 pelo HBr liberado no meio reacional gerando a cetona 83 que é posteriormente bromada formando a α -bromo cetona 90 (Esquema 23).

Esquema 23 – Racemização da cetona bromada.

b) Suposta racemização da α-bromo cetona quiral (*S*)-<u>90</u>, através de um equilíbrio ceto-enólico em meio ácido como descrito no **esquema 24**. A suposição é devido ao isolamento da α-bromo cetona quiral.

$$(R,R)-\underline{148}$$

$$(R,R)-\underline{148}$$

$$(R,R)-\underline{152}$$

$$(R,R$$

Esquema 24 - Racemização da α-bromo cetona quiral (*S*)-<u>90</u>.

Alquil-aril cetais podem ser bromados assimetricamente com Br_2 e 2-metoxinaftaleno, com excelentes rendimentos. Sintetizamos o 2-metoxinaftaleno através da metilação do β -naftol com sulfato de dimetila. Uma solução fria de Br_2 em CCl_4 , foi adicionada gota a gota à uma solução do cetal a -10 °C e 2-metoxinaftaleno em CCl_4 , sob atmosfera de nitrogênio. Um fluxo forte de nitrogênio seco foi borbulhado diretamente na solução reacional, enquanto que outro fluxo foi passado acima do nível da solução, para ajudar no arraste do HBr que é vigorosamente liberado durante a reação, sendo necessário o uso de um trap para absorção de gás. Santos 107 realizou diversas tentativas e esta reação foi a mais eficiente de todas, com os melhores valores de rendimentos. Esta reação otimizada forneceu uma mistura de α -

171

¹³⁷ a) Seebach, D.; Imwinkerlried, R.; Weber T., "Modern Synthetic Methods" Vol. 4 Springer Verlag, Berlin, **1986**, pág. 128. b) Shen, T.Y., *Angew. Chem.* 1972, 84, 512.

bromo cetais bromados mostrados a seguir, com os epímeros majoritários (R,R,S) e (S,S,R) (**Figura 54**).

- (+) (4R,5R)-dimetil 2-((1S)-1-bromoetil)-2-fenil-1,3-dioxolano-4,5-dicarboxilato $\underline{150}$
- (-) (4S,5S)-dimetil 2-((1R)-1-bromoetil)-2-fenil-1,3-dioxolano-4,5-dicarboxilato $\underline{151}$
- (+) (4R,5R)-dimetil 2-((1S)-1-bromoetil)-2-(3,4-dimetoxifenil)-1,3-dioxolano-4,5-dicarboxilato $\underline{152}$
- (-) (4S,5S)-dimetil 2-((1R)-1-bromoetil)-2-(3,4-dimetoxifenyl)-1,3-dioxolano-4,5-dicarboxilato $\underline{153}$

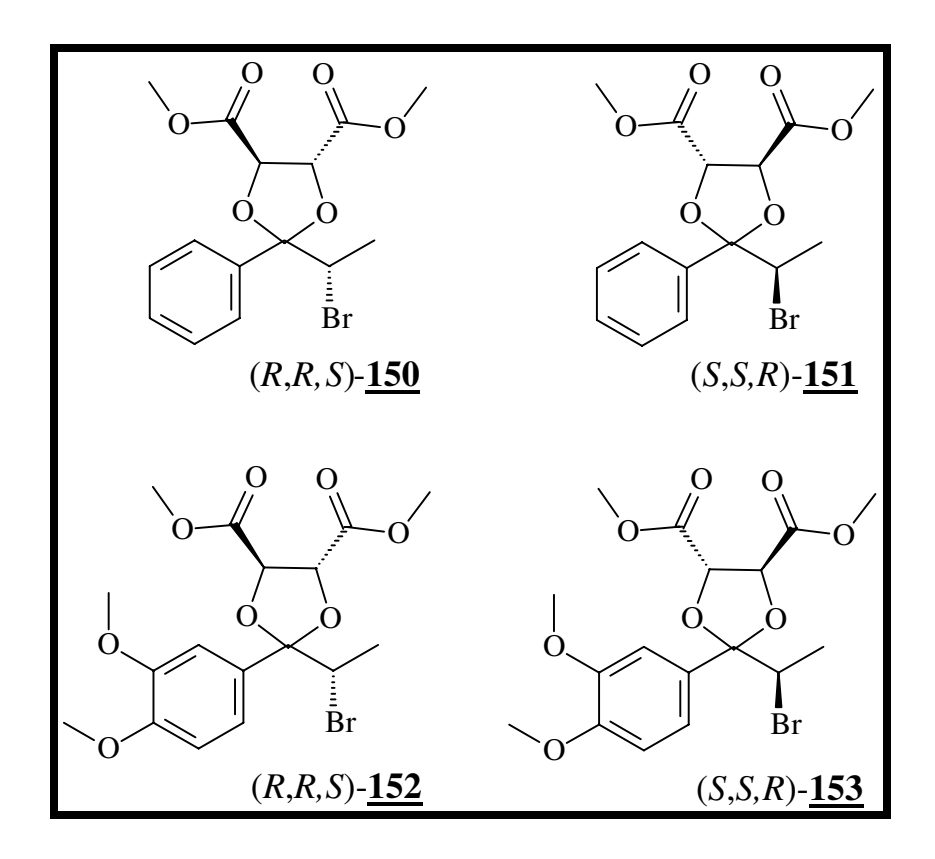


Figura 54 - Cetais bromados obtidos na etapa **B** da síntese enantiosseletiva dos intermediários quirais.

Para explicar a alta diastereosseletividade na bromação de (R,R,S)-<u>152</u>, foi proposto um mecanismo onde, na ausência do bromo, existe um mecanismo catalisado por ácido entre o cetal (R,R)-<u>R</u> e os enol-éteres <u>E</u> e <u>Z</u> (**Esquema 25**). 123

Esquema 25 - Diastereosseletividade na bromação de de (R,R,S)-<u>152</u>.

Quatro estados de transição (C*-D*) são propostos para a interação entre os enol-éteres (E e Z) e o bromo (**Figura 55**). A maior proximidade do grupo carboxi alquil (*COOR) da dupla ligação no estado de transição C* em relação a D* e A* em relação B*, determina um campo eletro retirador, o qual faz com que as duplas ligações de D* e B* sejam mais reativas que C* e A*, respectivamente. 123

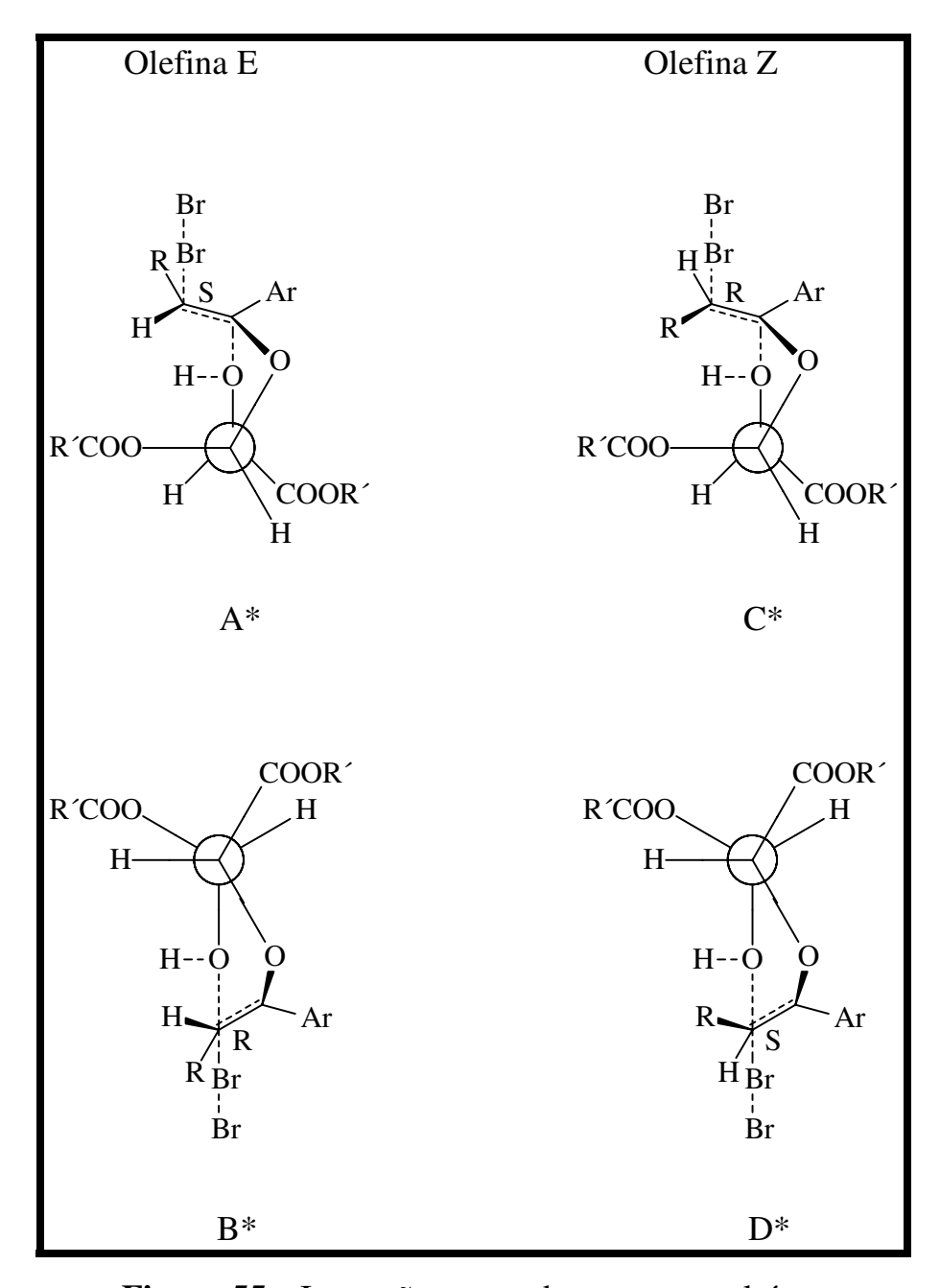


Figura 55 – Interação entre o bromo e o enol-éter.

Os resultados experimentais demonstram a formação majoritária do epímero com configuração "S" (quando se utiliza (+)-R,R-dimetil tartarato como auxiliar quiral) no novo centro estereogênico, isto mostra que o estado de transição D* prevalece sobre B*. Estes resultados sugerem que o enol-éter Z prevalece sobre E na **figura 55**.

3.4.3. Otenção de a-bromo cetonas quirais

A reação de desproteção de α-bromo alquil-aril cetais quirais é a etapa mais delicada na obtenção de α-bromo cetonas quirais, devido à possibilidade de racemização e formação de produtos indesejáveis.

A desproteção das misturas diastereoisoméricas, contendo os cetais majoritários ($\underline{150}$ - $\underline{153}$), com CF₃SO₃H em CCl₄ à temperatura ambiente durante 8 horas, forneceu as α -bromo cetonas quirais em excesso enantiomérico, com rendimentos acima de 90 % (**Figura 56**).

- (+) (*S*)-2-bromo-1-fenilpropan-1-ona <u>89</u>
- (-) (*R*)-2-bromo-1-fenilpropan-1-ona **89**
- (+) (*S*)-2-bromo-1-(3,4-dimetoxifenil)propan-1-ona **90**
- (-) (*R*)-2-bromo-1-(3,4-dimetoxifenil)propan-1-ona **90**

$$(S)-\underline{89}$$

$$(R)-\underline{89}$$

$$(R)-\underline{89}$$

$$(R)-\underline{90}$$

Figura 56 - α -Bromo cetonas quirais obtidas na etapa C da síntese enantiosseletiva.

3.5. Otenção de \(\beta\)-cetosulfetos quirais

Os compostos racêmicos <u>127</u> e <u>128</u> foram os mais ativos nos ensaios biológicos contra *Leismania donovani* e *L. amazonensis*, dentre os 24 compostos racêmicos sintetizados.

A expectativa de que um dos enantiômeros de (\pm) -127 e (\pm) -128, apresentasse atividade biológica mais elevada que o racemato, nos levou a elaborar um caminho de síntese enantiosseletiva para esses compostos (Esquemas 26 e 27).

(+)-DMT
$$Br_2$$
 H^+ CI CI R)- Br_2 H^+ CI CI R)- Br_2 Br_2

Esquema 26 - Sínteses enantiosseletivas de β -cetosulfetos quirais.

Esquema 27 – Sínteses enantiosseletivas de β -cetosulfetos quirais.

Nossos intermediários chave foram as 2-bromo alquil aril cetonas quirais (R)-89, (S)-89, (R)-90 e (S)-90 que acopladas com tiofenóxido via mecanismo S_N -2, resultaram nos β -cetosulfetos quirais. A uma solução de tiofenóxido de potássio em butanona, adicionou-se solução das α -bromo cetonas quirais em butanona. Refluxou-se a mistura durante 3-8 horas, fornecendo os β -cetosulfetos opticamente ativos, representados a seguir (**Esquema 28**, **Figuras 57-60**). Foram obtidos os respectivos valores de rotação específica dos β -cetosulfetos quirais sintetizados (**tabela 25**).

SH

$$K_2CO_3$$
, MeCOE1

 (R) -127

 $(+)$ (R)-2-(4-clorofeniltio)-1-fenilpropan-1-ona

SH

 (S) -127

 $(-)$ (S)-127

 $(-)$ (S)-2-(4-clorofeniltio)-1-fenilpropan-1-ona

SH

 (S) -128

 (R) -128

 (R) -128

 (R) -128

 (R) -128

 (R) -129

 (S) -128

 (S) -128-1-(3,4-dimetoxifenil)-2-(p-toliltio)propan-1-ona

Esquema 28 – β -Cetosulfetos quirais.

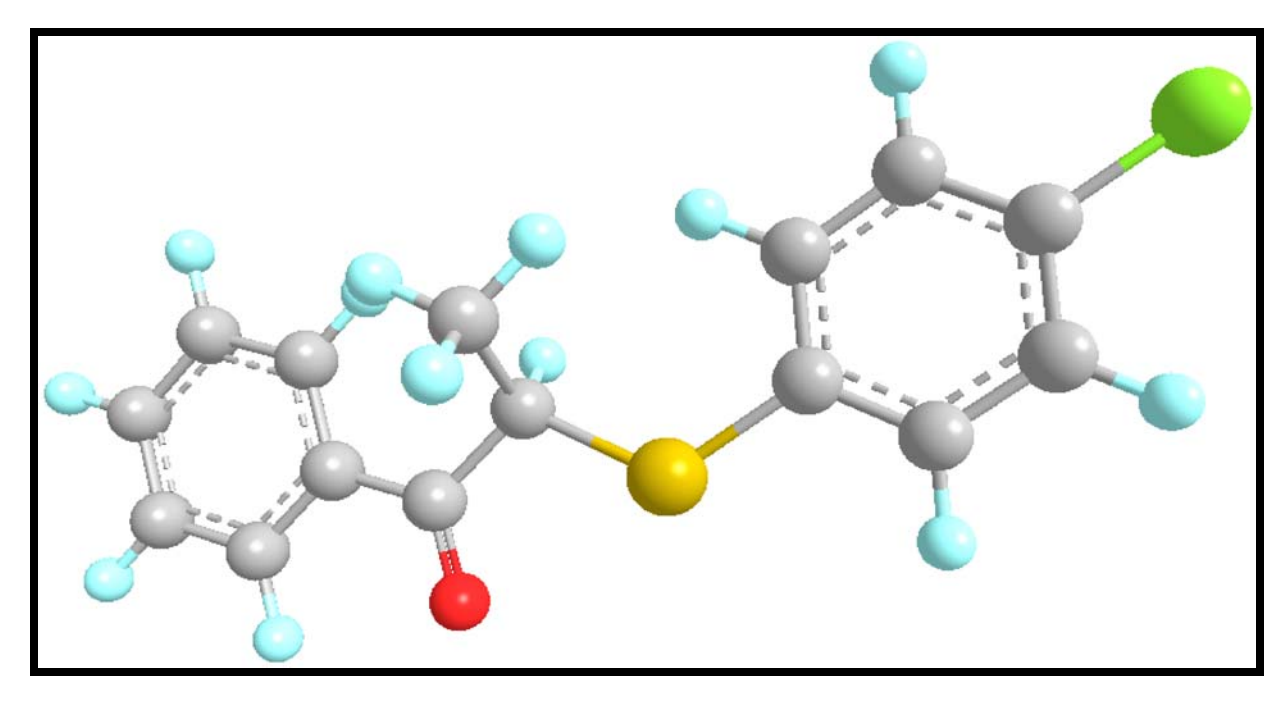


Figura 57 - (+) (*R*)-2-(4-clorofeniltio)-1-fenilpropan-1-ona <u>127</u>.

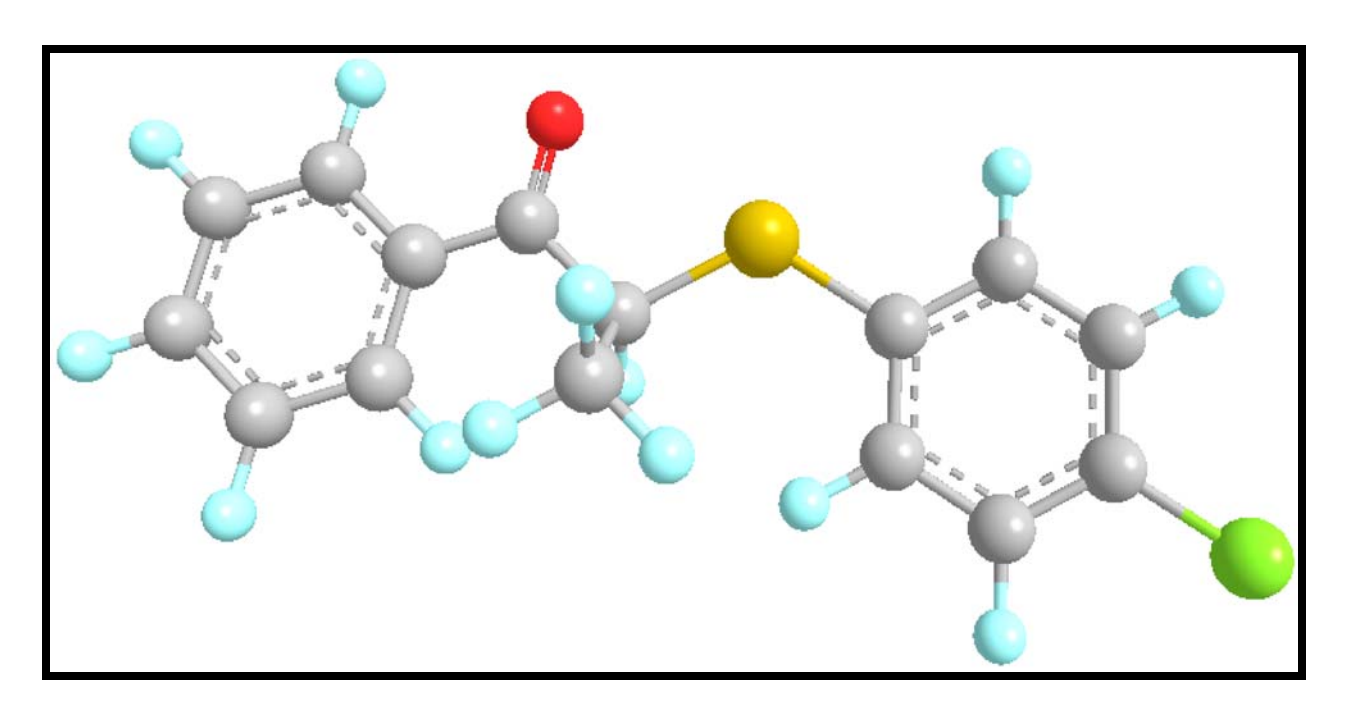


Figura 58 – (-) (*S*)-2-(4-clorofeniltio)-1-fenilpropan-1-ona <u>127</u>.

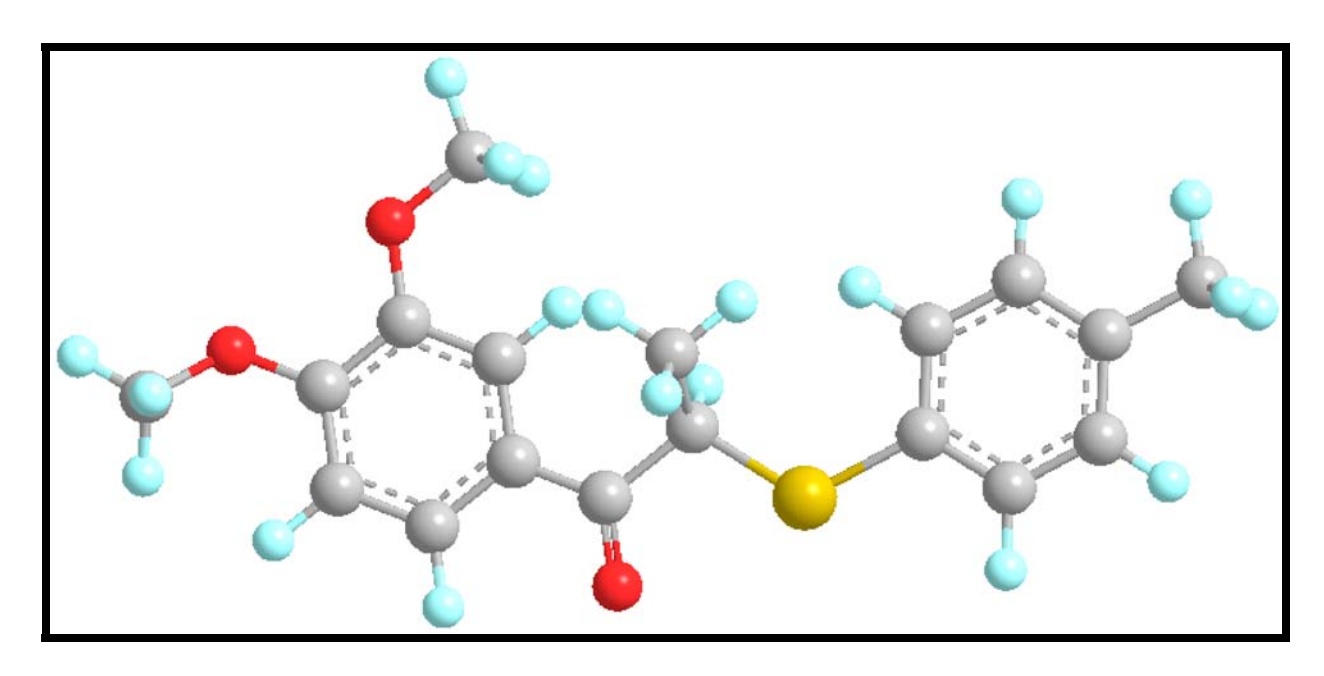


Figura 59 – (+) (R)-1-(3,4-dimetoxifenil)-2-(p-toliltio)propan-1-ona <u>128</u>.

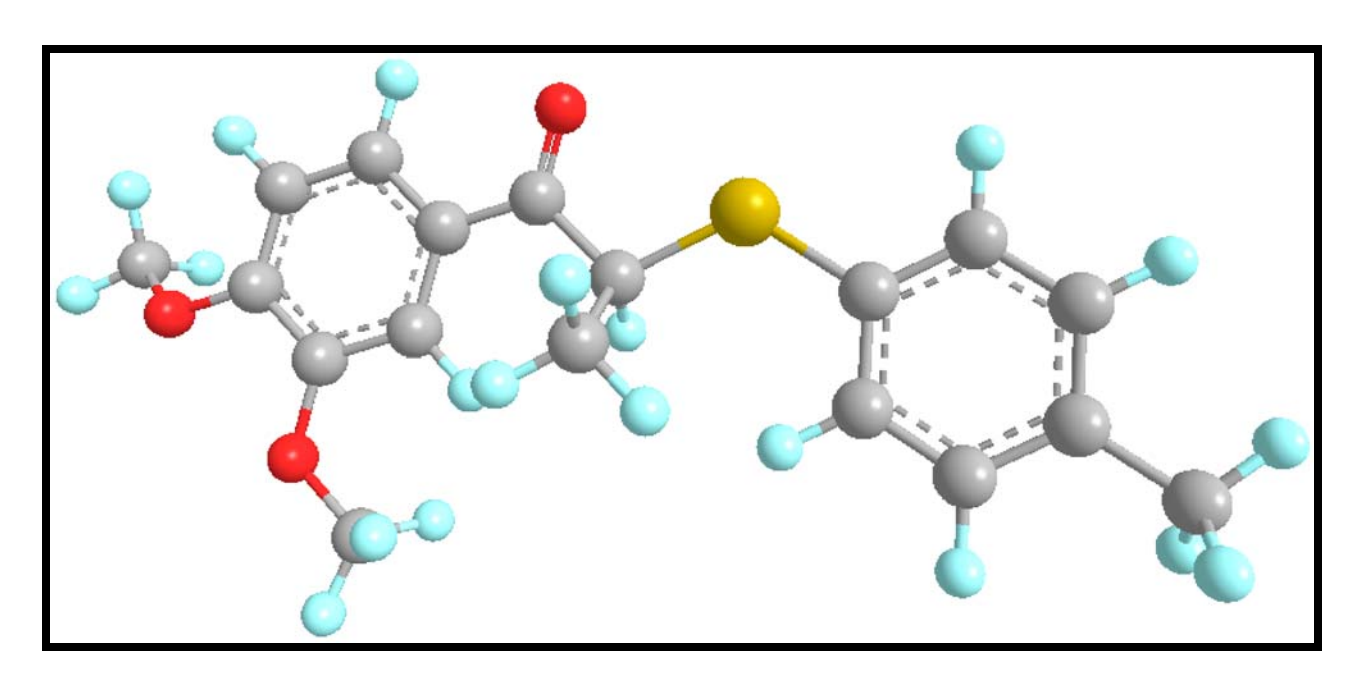


Figura 60 – (-) (*S*)- 1-(3,4-dimetoxifenil)-2-(*p*-toliltio)propan-1-ona <u>128</u>.

Tabela 25 – Valores de rotações específicas dos β -cetosulfetos quirais sintetizados, análogos de neolignanas 8.O.4′.

Compostos	Rotação específica / 20°C					
	20					
	[α] _D					
(+) (8 <i>R</i>)- <u>127</u>	+ 18, 80° (c 0,55; CHCl ₃)					
(-) (8 <i>S</i>)- <u>127</u>	- 73, 65° (c 0,50; CHCl ₃)					
(+) (8 <i>R</i>)- <u>128</u>	+ 29, 55° (c 0,50; CHCl ₃)					
(-) (8 <i>S</i>)- <u>128</u>	- 18, 80° (c 0,20; CHCl ₃)					

3.6. Discussão dos ensaios biológicos em amastigotas de Leishmania donovani e L. amazonensis

Neste trabalho, vinte e oito neolignanas (sendo 20 novas estruturas) contendo O ou S ligado ao carbono oito foram sintetizadas, com rendimentos variando em 38–91%, sendo realizados ensaios de atividades biológicas contra amastigotas intracelulares de *Leishmania donovani* e *L. amazonensis* e seus efeitos foram comparados. Os compostos foram purificados por CCDP e a pureza analisada por CG–EM. Para determinação das estruturas, foram utilizados métodos espectroscópicos, tais como Espectrometria de Massas, Ressonância Magnética de ¹H e ¹³C e espectroscopia no Infravermelho (I.V.). Dados de RMN¹H e I.V. dos compostos testados <u>94-96</u> e <u>98</u> estão em concordância com a literatura. ¹³⁹ Dados de RMN¹³C de todos os compostos são descritos pela primeira vez.

Compostos de enxofre apresentaram maior atividade biológica quando comparados aos análogos oxigenados¹⁰⁷ e baseando-se nesses resultados, associamos a estrutura e a atividade biológica (SAR), visando encontrar novas moléculas ativas.

Mostramos previamente, que compostos com uma ligação de enxofre no C-8 têm atividade anti-*Leishmania* mais elevada em comparação aos compostos que possuem o oxigênio ligado ao mesmo carbono, estando de acordo com estudos precedentes na espécie *L. donovani*. 139

_

¹³⁹ Zacchino, J. Ethnopharmacology 1998, 62, 35.

A ligação no C-7 pode ter rotação livre ou rígida. No caso do átomo de enxofre a capacidade da livre rotação é maior do que o oxigênio, mesmo considerando o tamanho do átomo e sua eletronegatividade. Isto pode explicar as diferenças de atividades biológicas dos análogos sulfurados e oxigenados.

No geral, vimos que *L. donovani* e *L. amazonensis* apresentaram sensibilidades diferentes à maioria das neolignanas sintéticas, e que *L. amazonensis* era mais suscetível que *L. donovani*, para certos compostos como 69, 96, 123, 130, 131, e 137, enquanto os compostos 94, 95, 122, 124, 127, 128 e (132-134), mostraram atividades similares entre si (Tabela 26). A droga de referência, o antimoniato de meglumina (Glucantime®) foi igualmente ativa contra ambas as espécies de *Leishmania* (26-28%). A diferença de sensibilidade em relação à droga entre espécies de *Leishmania*, pode ser explicada devido às diferenças de metabolismo de caminhos biosintéticos. 140

A tabela 26 mostra também, que os compostos <u>95</u>, <u>96</u>, <u>123</u>, (<u>131-134</u>), e (<u>136-138</u>), não inibiram o crescimento em *L. donovani*, já os compostos <u>69</u>, <u>94</u>, <u>97</u>, <u>98</u>, (<u>122-124</u>), <u>127</u>, <u>128</u>, <u>130</u>, <u>131</u>, <u>135</u>, <u>136</u> e <u>138</u> foram potencialmente mais ativos do que a droga de controle contra *L. amazonensis*, e ainda que os compostos sulfurados <u>127</u> e <u>128</u> foram os mais ativos, inibindo o crescimento de ambos os parasitos em 94,1-100% na concentração de 80 μg/mL (**Figuras 61** e **62**).

¹⁴⁰ Neal, R. A.; Allen, S.; McCoy, N.; Olliaro, P.; Croft, S. L. J. *Antimicrob. Chemother.* **1995**, *35*, 577.

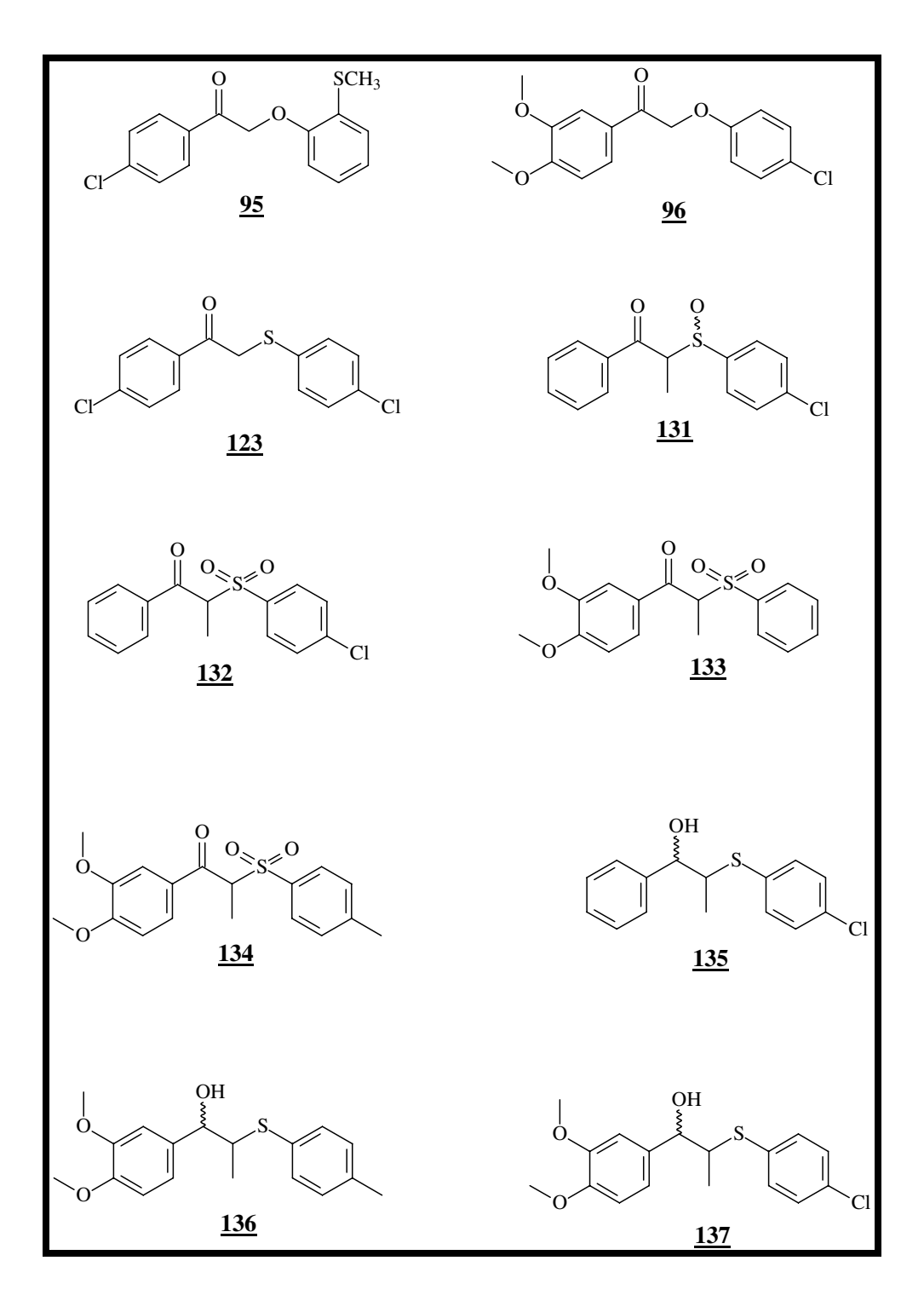


Figura 61– Compostos menos ativos em *Leishmania donovani*.

Figura 62 – Compostos mais ativos em *Leishmania amazonensis*.

O composto <u>127</u> possui cloro na posição *para* do anel B, enquanto o composto <u>128</u> além do grupo metila na posição *para* (anel B), possui metoxilas nas posições 3 e 4 (anel A). A presença do cloro na posição *para* do anel B, parece influenciar na baixa toxicidade às células, visto que os compostos contendo cloro <u>123</u>, <u>127</u>, (<u>130-132</u>), <u>135</u> e <u>138</u> foram bem tolerados pelos macrófagos. A substância <u>130</u> que contêm ambos os grupos, metoxilas em posição 3 e 4 e o Cl em posição *para* (anel B), apresentou significativamente menor atividade contra *L. donovani* (22% de inibição) embora alguma atividade fosse mantida contra *L. amazonensis* (inibição de 63%).

Como tentativa de melhorar a permeabilidade através das membranas dos macrófagos e do parasita, foram sintetizados os alcoóis (<u>69</u>, <u>135-137</u>) e o acetato <u>138</u>.

Vimos que a substituição da cetona pelo grupo OH na posição 7 (por exemplo os compostos <u>135-137</u>) ou acetato <u>138</u>, de fato diminui significantemente a atividade contra ambas as espécies de *Leishmania*, em comparação aos compostos precursores <u>127</u>, <u>128</u>, e <u>130</u> respectivamente. Esta diminuição de atividade biológica foi mais significativa ainda, quando o composto <u>128</u> e o álcool derivado <u>136</u> foram comparados. É importante mencionar que na mesma concentração, os compostos <u>127</u> e <u>128</u> foram mais ativos do que antimoniato de meglumina (antimoniato de metilglucamina), que é a droga de primeira escolha para o tratamento de todas as formas de leishmaniose; não obstante, o composto <u>128</u> foi tóxico para os macrófagos.

Finalmente, depois de realizadas as duas primeiras etapas, com a síntese de vinte e oito análogos (racematos) e respectivos testes biológicos, direcionamos nossos esforços para síntese dos análogos quirais dos compostos 127 e 128, através de reações enantiosseletivas que apresentaram maiores valores de atividades biológicas, tanto em *L. donovani* como em *L. amazonensis*.

Neste trabalho, sintetizamos compostos quirais (cetonas aromáticas) a partir de substratos aquirais, induzindo-se a quiralidade com auxiliares quirais (d) e (l) – dimetiltartarato de sódio apropriados para a obtenção do produto com a configuração desejada (síntese assimétrica, como vimos na seção 3.5).

Os compostos quirais (+) (R)- $\underline{127}$ e (+) (R)- $\underline{128}$ foram inativos em L. donovani e em L. amazonensis, mas os compostos quirais (-) (S)- $\underline{127}$ e (-) (S)- $\underline{128}$ foram fortemente ativos tanto em L. donovani como em L. amazonensis. Adicionalmente observou-se que, além disso, o composto racêmico (\pm)- $\underline{128}$ foi tóxico aos macrófagos, mas essa toxicidade deixou de ocorrer no composto quiral (-) (S)- $\underline{128}$ (Tabela 27).

Tabela 27 - Resultados dos ensaios em amastigotas de L. amazonensis e L. donovani a 80 µg/ml.

$$R_1$$
 R_2
 R_3
 R_6
 R_4
 R_5

Comp.	Atividade	Atividade	X	Y	\mathbf{R}_{1}	\mathbf{R}_2	\mathbb{R}_3	\mathbf{R}_4	\mathbf{R}_{5}	$\mathbf{R_6}$
	<i>L. d.</i>	L. a.								
94	40,0	44,0	=O	О	Н	Н	Н	Н	Н	Н
<u>95</u>	5,8	8,8	=O	O	Н	Cl	Н	CH_3S	Н	Н
<u>96</u>	0	17,7	=O	O	CH ₃ O	CH ₃ O	Н	Н	Cl	Н
<u>97</u>	49,9	37,9	=O	O	CH ₃ O	CH ₃ O	CH_3	CH ₃ O	Н	CH ₃ O
<u>98</u>	50,0	34,2	=O	O	CH ₃ O	CH ₃ O	CH_3	CH ₃ O	prop.	Н
<u>122</u>	37,2	38,8	=O	S	Н	Н	Н	Н	Cl	Н
<u>123</u>	0	50,5	=O	S	Н	Cl	Н	Н	Cl	Н
<u>124</u>	70,2	78,1	=O	S	Н	Н	CH_3	Н	Н	Н
<u>125</u>	nd	nd	=O	S	Н	Н	CH_3	Н	CH_3	Н
<u>126</u>	28,8	0	=O	S	Н	Н	CH_3	Н	NH_2	Н
<u>127</u>	94,1	100	=O	S	Н	Н	CH_3	Н	Cl	Н
<u>58</u>	nd	nd	=O	S	CH ₃ O	CH ₃ O	CH_3	Н	Н	Н
<u>128</u>	100	100	=O	S	CH ₃ O	CH ₃ O	CH_3	Н	CH ₃	Н
<u>129</u>	nd	nd	=O	S	CH ₃ O	CH ₃ O	CH_3	Н	NH_2	Н

Tabela 27 (cont.) - Resultados dos ensaios em amastigotas de $\it L.~amazonensis$ e $\it L.~donovani$ a 80 $\mu g/ml$.

$$R_1$$
 R_2
 R_3
 R_6
 R_4
 R_5

Comp.	Atividade	Atividade	X	Y	\mathbf{R}_{1}	\mathbf{R}_2	\mathbb{R}_3	\mathbf{R}_4	\mathbf{R}_{5}	\mathbf{R}_{6}
	<i>L. d.</i>	L. a.								
<u>130</u>	22,0	63,3	=O	S	CH ₃ O	CH ₃ O	CH ₃	Н	Cl	Н
<u>131</u>	0	20,7	=O	SO	Н	Н	CH_3	Н	Cl	Н
<u>132</u>	0	0	=O	SO_2	Н	Н	CH_3	Н	Cl	Н
<u>133</u>	0	12,7	=O	SO_2	CH ₃ O	CH ₃ O	CH_3	Н	Н	Н
<u>134</u>	0	7,0	=O	SO_2	CH ₃ O	CH ₃ O	CH_3	Н	CH_3	Н
<u>69</u>	64,8	43,5	ОН	O	CH ₃ O	CH ₃ O	CH_3	CH ₃ O	prop.	Н
<u>135</u>	45,2	50,6	ОН	S	Н	Н	CH_3	Н	Cl	Н
<u>136</u>	0	40,6	ОН	S	CH ₃ O	CH ₃ O	CH_3	Н	CH_3	Н
<u>137</u>	0	36,1	ОН	S	CH ₃ O	CH ₃ O	CH_3	Н	Cl	Н
<u>138</u>	0	0	OAc	S	Н	Н	CH_3	Н	Cl	Н
$(+)$ - (R) - $\underline{127}$	0	0	=O	S	CH ₃ O	CH ₃ O	CH_3	Н	CH_3	Н
(-)-(S)- <u>127</u>	100	100	=O	S	CH ₃ O	CH ₃ O	CH_3	Н	CH_3	Н
$(+)$ - (R) - $\underline{128}$	0	0	=O	S	Н	Н	CH_3	Н	Cl	Н
(-)-(S)- <u>128</u>	100	100	=O	S	Н	Н	CH_3	Н	Cl	Н
<u>74</u>	26,0	28,2								

L. d. = Leishmania donovani, L. a. = Leishmania amazonenis

prop. = grupo propenil, nd = não determinado

<u>74</u> = antimoniato de meglumina,

composto <u>147</u> apresenta o substituinte OAc = acetoxi,

4. Conclusão

Foram sintetizadas neste projeto de mestrado, um total de vinte e oito substâncias, vinte e quatro substâncias racêmicas e quatro substâncias quirais com o objetivo de submetê-las aos ensaios em *Leishmania*.

Em uma primeira etapa realizou-se as sínteses dos compostos racêmicos, dentre os quais: β-cetoéteres, β-cetosulfetos e derivados, submetendo estes compostos racêmicos a ensaios *in vitro* em amastigotas de *Leishmania donovani* e *L. amazonensis*. Dois β-cetosulfetos apresentaram resultados muito significativos nas duas espécies de *Leishmania*, compostos (±)-127 e (±)-128. O composto racêmico (±)-128 apesar de apresentar elevada atividade biológica, revelou-se tóxico aos macrófagos na concentração de 80 g/ml.

Após estes resultados, foram concentrados os esforços no sentido de realizar as sínteses enantiosseletivas para a obtenção dos análogos quirais dessas duas substâncias mais ativas, e também submetê-las aos ensaios contra *L. donovani* e *L. amazonensis*. Nesta segunda etapa do projeto, os resultados dos ensaios mostraram que os enantiômeros (+)-127 e (+)-128, foram inativos contra as duas espécies de *Leishmania*, já os outros dois enantiômeros (-)-127 e (-)-128 foram totalmente ativos contra amastigotas de *L. donovani* e *L. amazonensis in vitro*. Além dos valores de atividades biológicas, os enantiômeros (+)-128 e (-)-128, não se apresentaram tóxicos aos macrófagos na concentração de 80 g/ml, sendo que anteriormente o composto racêmico (±)-128 apresentou-se tóxico.

È importante observar que a síntese de novos fármacos para a cura da leishmaniose é fundamental e urgente. As drogas atualmente em uso (**Figura 5**) foram sintetizadas há 73 anos e apresentaram inúmeros problemas de toxidez.

Por isso podemos ressaltar a importância dos testes em *Leishmania* realizados nesta dissertação, quando comparamos os valores dos resultados obtidos para os compostos quirais em relação aos valores da droga de referência utilizada nos ensaios, o antimoniato de meglumina, que na mesma concentração apresentou valores da porcentagem de inibição consideravelmente inferiores contra as duas espécies de *Leishmania*. O antimoniato de meglumina é atualmente utilizado como droga de primeira escolha contra leishmaniose.

Os resultados obtidos neste trabalho indicam a importância e a possibilidade de sínteses de outras neolignanas quirais, diferentes e novos tipos de ensaios biológicos ou ainda na repetição destes testes com essas mesmas substâncias, porém em concentrações diferentes, diminuindo esses valores de concentração até um valor mínimo, no qual ainda se mostre efetivo contra os parasitos de *Leishmania*.

Deve-se considerar, no entanto, que a concentração utilizada neste trabalho, 80 µg/ml é ainda considerada alta para uso terapêutico. Deste modo, outras técnicas com o encapsulamento das substâncias ativas em lipossomas ou ainda o uso de nanotecnologia para conduzir as drogas ao alvo, devem ser consideradas.

Existe, portanto a necessidade de continuidade desses estudos na tentativa de se encontrar uma nova droga no tratamento da leishmaniose, que seja eficaz na cura da doença e também não apresente fortes efeitos colaterais como as drogas antimoniais administradas atualmente.

5. Experimental

5.1. Especificação dos materiais e intrumentos utilizados

As purificações foram feitas em coluna cromatográfica clássica (sílica gel 60, 70-230 Mesh, Merck), tendo como eluente uma mistura de hexano e acetato de etila, cujas proporções variaram de acordo com a polaridade de cada composto purificado. Purificações, quando indicadas, foram realizadas por CCDP em cromatoplacas com dimensões 20 X 20 cm em sílica gel (HF₂₅₄, GF₂₅₄, PF₂₅₄, G/UV – Merck) com 0,5 mm e/ou 1 mm de espessura.

O acompanhamento das reações foi realizado através de cromatografia em camada delgada (CCD), disponíveis em cromatofolhas com sílica gel 60 F_{254} suportada em placa de alumínio de espessura de 0,2 mm. A visualização dos compostos se deu através dos reveladores: lâmpada de UV (comprimentos de onda λ 254 nm e λ 366 nm), molibdato de amônio, $H_2SO_4/MeOH$ 1/1 e solução aquosa de KMnO4, queimadas em chapa de aquecimento ou eventualmente colocadas em cuba contendo iodo ressublimado.

Os solventes utilizados para purificações como metanol, acetato de etila, hexano e clorofórmio (Merck, Synth, Nuclear e Planta Piloto), foram utilizados P.A. ou destilados. Os solventes utilizados nas reações como butanona, tetraidrofurano, clorofórmio e metanol foram tratados de acordo com a literatura.

Utilizou-se como agente secante sulfato de sódio anidro. Os solventes evaporados em evaporador rotativo à pressão reduzida. Foi utilizado nitrogênio nas reações, quando estas necessitavam de atmosfera inerte.

As análises por cromatografia gasosa foram realizadas em um aparelho Hewlett-Packard (HP) 65890 A, utilizando uma coluna semi-capilar HP-5 (5% PhMe silicone, 30 m x 0,53mm x 1,3 μm), tendo nitrogênio como gás de arraste e detector de ionização de chama. As condições utilizadas foram: T/t (inicial) = 100°C/min, T/t (inicial) = 280°C/10min, injetor T=250°C e detector T=280°C. Os cromatogramas CG-EM foram obtidos no aparelho CG HP 5890, acoplado ao MS HP 5970 B.

Os espectros de ressonância magnética nuclear (RMN) foram adquiridos através dos aparelhos Bruker AC 300/P, Varian Gemini 300BB (300 MHz para 1 H e 75 MHz para 13 C) e Varian Inova 500 (500 MHz para 1 H e 125 MHz para 13 C). Os deslocamentos químicos (δ) foram expressos em partes por milhão (ppm) e referenciados pelo sinal de TMS (δ = 0 ppm). Quando foi utilizado CDCl₃ como solvente, a referência também pôde ser feita em δ = 77 ppm para os espectros de RMN de 13 C ou por traços de CHCl₃ em δ = 7,27 ppm para RMN de 1 H.

Os espectros de absorção no infravermelho, foram obtidos nos espectrofotômetros Bomen model MB series II e Perkin Elmer 1600 (FTIR Series). As amostras foram aplicadas como filme em um cristal de NaCl ou como pastilhas em KBr.

Os espectros de massas EI foram obtidos num equipamento VG AutoSpec High Resolution Mass Spectrometer (Micromass Company).

Os valores de rotação ótica $[\alpha]_D$ foram determinados num polarímetro POLAMAT-A, Carl Zeiss com lâmpada de mercúrio.

5.2. Procedimento para as sínteses aquirais.

5.2.1. Síntese de cetonas aromáticas via reação de Acilação (Friedel-Crafts)

Reação Geral:

$$R_1$$
 R_2
 R_3
 R_1
 R_2
 R_3
 R_1
 R_2
 R_3
 R_1
 R_2

R₁=R₂=H ou OCH₃ R₃=H ou CH₃

Procedimento Geral:

À um balão bitubular equipado com funil, equalizador de pressão e um tubo para absorção de gás, adicionou-se 1,02 equivalentes de AlCl₃ anidro em clorofórmio (5mL de solvente/10 mmols de AlCl₃). A temperatura foi controlada em 0 °C com auxílio de banho de gelo. Adicionou-se lentamente 1 equivalente do cloreto de ácido em clorofórmio (1mL do solvente/ 10 mmols de cloreto de acetila ou cloreto de propionila), mantendo-se a temperatura em 0 °C. Quando a adição foi completada (15 min), uma solução de 0,6 equivalentes do derivado de benzeno em clorofórmio (1mL do solvente), foi adicionada lentamente por aproximadamente 20 min. Deixou-se em agitação por 1h, mantendo-se a t.a. Transferiu-se a solução resultante para um funil de separação, adicinou-se H₂O e separou-se a fase aquosa (ácida). Lavou-se a

fase orgânica com solução 1N de NaOH. Extraiu-se a solução básica com CHCl₃. As frações orgânicas foram combinadas e lavadas com solução 2 % de NaCl. Secou-se com sulfato de sódio, filtrou-se e evaporou-se o solvente sob pressão reduzida.

1-(3,4-dimetoxifenil)etanona 81

O produto foi obtido a partir da reação de 8,25 g (61,9 mmols) de AlCl₃ e 6,75 g (48,8 mmols) de 1,2-dimetoxibenzeno com 5,62 g (71,7 mmols) de cloreto de acetila. Foram obtidos 6,75 g da cetona <u>81</u>. O composto foi recristalizado em MeOH como cristais incolores, com ponto de fusão 51- 53 °C. O rendimento foi de 77 %.

RMN de ¹**H** (300 MHz, CDCl₃, t.a., ppm): δ 2,51 (s, 3H); 3,88 (s, 3H); 3,89 (s, 3H); 6,83 (d, J=8,3 Hz; 1H); 7,46-7,56 (m, H-Ar, 2H).

I.V. (KBr, cm⁻¹): 3072, 2992, 2841, 1669, 1587, 1510, 1469, 1417, 1349, 1291, 1226, 1176, 1150, 1081, 804, 647, 568.

EM (m/z, %): 180 (88) [M]⁺, 79 (13), 109 (7), 122 (6), 137 (7), 151 (6), 165 (100).

propiofenona 82

O produto foi obtido a partir da reação de 5,50 g (41,2 mmols) de AlCl₃ e 4,5 g (57,6 mmols) de benzeno com 3,75 g (40,8 mmols) de cloreto de propionila. Foram obtidos 4,50 g da cetona <u>82</u>, destilada à pressão reduzida como um óleo claro e viscoso. Não houve necessidade de purificação para reações posteriores. O rendimento foi de 90 %.

RMN de ¹H (300 MHz, CDCl₃, t.a., ppm): δ 1,22 (t, J=7,2 Hz; 3H); 3,00 (q, J=7,2 Hz; 2H), 7,43-7,98 (m; H-Ar, 5H).

EM (m/z, %): 134(17) [M]⁺, 77(62), 105(100).

1-(3,4-dimetoxifenil)propan-1-ona 83

O produto foi obtido a partir da reação de 7,15 g (53,6 mmols) de AlCl₃ e 5,85 g (42,3 mmols) de 1,2-dimetoxibenzeno com 4,85 g (52,7 moles) de cloreto de propionila, resultando em 7,20 g da cetona <u>83</u>. O composto foi

recristalizado em MeOH, como cristais incolores, com ponto de fusão 59- 60 °C. O rendimento foi de 86%.

RMN de ¹**H** (300 MHz, CDCl₃, t.a., ppm): δ 1,23 (t, J=6,6 Hz; 3H); 3,71 (q, J=6,6 Hz; 1H); 3,94 (s, 3H); 3,95 (s, 3H); 6,90 (d, J=8,0 Hz; 1H); 7,57-7,68 (m; H-Ar, 2H).

5.2.2. Procedimento geral para obtenção de &bromo cetonas

Reação Geral

$$R_1$$
 R_2
 R_3
 R_1
 R_3
 R_2
 R_3
 R_3
 R_3
 R_4
 R_3

R₁=R₂=H ou OCH₃ R₁=H ou CH₃

Procedimento Geral:

À um balão bitubular equipado com condensador de refluxo, conectado a um tubo de absorção de gás e funil com equalizador de pressão contendo1 equivalente de bromo em clorofórmio (2,50 mL de solvente/ 10 mmols de bromo), adicionou-se 1 equivalente da cetona aromática em clorofórmio (7,50 mL de solvente/ 10mmols de cetona). A solução foi agitada vigorosamente, adicionando-se o bromo rapidamente. Em seguida, deixou-se a mistura em reação por mais 30 minutos. Deixou-se esfriar e lavou-se com solução

aquosa 10% de NaHCO₃ e então H₂O até pH neutro. Secou-se em sulfato de sódio, filtrou-se e evaporou-se o solvente sob pressão reduzida. Os compostos foram purificados por destilação (quando possível) ou utilizados sem maiores tratamentos com purificações nas etapas posteriores, devido às suas propriedades lacrimogênicas.

2-bromo-1-fenil etanona 86

O produto foi obtido a partir da reação de 3,82 g (23,8 mmols) de bromo e 3,20 g (23,8 mmols) de 1fenil etanona, fornecendo 3,84g do composto <u>86</u> como um óleo amarelo muito irritante e lacrimogênio. Não houve necessidade de purificação para aplicações posteriores. O rendimento foi de 81%.

I.V. (KBr, cm⁻¹): 3062, 3002, 2953, 1698, 1595, 1449, 1391, 1284, 1201, 994, 881, 747, 704, 687, 626, 553.

EM (m/z, %): 200 (17) [M]⁺, 77 (23), 91 (4), 105 (100).

2-bromo-1-(4-clorofenil)etanona $\underline{87}$

O produto foi obtido a partir da reação de 3,10g (19,4 mmols) de bromo e 3,00 g (19,4 mmols) de 1-(4-clorofenil)etanona. O composto foi recristalizado em MeOH, fornecendo 4,15 g do composto <u>87</u> como cristais incolores, com ponto de fusão 97- 98 °C. O rendimento foi de 92%.

RMN de ¹**H** (300 MHz, CDCl₃, t.a., ppm): δ 4,60 (s, 2H); 6,67 (d, J=8,4 Hz; H-Ar, 2H); 8,13 (d, J=8,1 Hz; H-Ar, 2H).

I.V. (KBr, cm⁻¹): 3088, 2999, 2953, 1693, 1586, 1401, 1485, 1390, 1272, 1200, 1093, 996, 812, 726, 666, 548, 526, 459.

EM (m/z, %): 234 (2) [M]⁺, 75 (16), 111 (30), 125 (23), 139 (100).

2-bromo-1-(3,4-dimetoxifenil)etanona <u>88</u>

O produto foi obtido a partir da reação de 3,30 g (20,6 mmols) de bromo e 4,00 g (20,6 mmols) de (3,4-dimetoxifenil) etanona **81**. O composto

foi recristalizado em MeOH, fornecendo 5,05 g do composto <u>88</u> como cristais incolores, com ponto de fusão 75-76 °C. O rendimento foi de 90%.

RMN de ¹**H** (300 MHz, CDCl₃, t.a., ppm): δ 3,94 (s, 3H); 3,96 (s, 3H); 4,40 (s, 2H), 6,91 (d, J=8,5 Hz; 1H); 7,52-7,76 (m; H-Ar, 2H).

I.V. (KBr, cm⁻¹): 3010, 2944, 2840, 1681, 1515, 1463, 1420, 1276, 1159, 1135, 1020, 878, 814, 595.

2-bromo-1-fenilpropan-1-ona 89

O produto foi obtido a partir da reação de 3,45 g (21,6 mmols) de bromo e 3,20 g (21,6 mmols) de propiofenona <u>82</u>, fornecendo 3,88 g do composto <u>89</u> como um óleo amarelo muito irritante e lacrimogênio. Não houve necessidade de purificação para aplicações posteriores. O rendimento foi de 84%.

RMN de ¹**H** (300 MHz, CDCl₃, t.a., ppm): δ 1,91 (*d*, *J*=6,6 Hz; 2H); 5,30 (*q*, J=6,6 Hz; 2H), 7,47-8,06 (*m*; H-Ar, 5H).

I.V. (KBr, cm⁻¹): 3077, 2964, 2933, 2840, 1671, 1594, 1519, 1460, 1419, 1370, 1345, 1269, 1250, 1211, 1141, 1017, 885, 857, 809, 769, 753, 579.

EM (m/z, %): 212(2) [M]⁺,51(20), 77(44), 105(100).

2-bromo-1-(3,4-dimetoxifenil)propan-1-ona 90

O produto foi obtido a partir da reação de 3,29 g (20,6 mmols) de bromo e 4,29 g (20,6 mmols) de 1-(3,4-dimetoxifenil)propan-1-ona <u>83</u>. O composto foi recristalizado em MeOH, fornecendo 3,90 g do composto <u>90</u> como cristais incolores, com ponto de fusão 75-76 °C. O rendimento foi de 89%.

RMN de ¹H (300 MHz, CDCl₃, t.a., ppm): δ 1,89 (*d*, *J*=6,6 Hz; 3H); 3,94(*s*, 3H); 3,95(*s*, 3H); 5,29 (*q*, *J*=6,6 Hz; 1H); 6,90(*d*, *J*=8,0 Hz; 1H); 7,57-7,68 (*m*; H-Ar, 2H).

I.V. (KBr, cm⁻¹): 3088, 2964, 2938, 2840, 1673, 1588, 1512, 1463, 1417, 1359, 1270, 1224, 1175, 1150, 1079, 1023, 878, 810, 767, 643, 570.

EM (m/z, %): 272 (11) [M]⁺, 79 (9), 165 (100).

5.2.3. Reações de condensação entre a-bromocetonas e fenóis

Reação Geral:

Procedimento Geral:

Em um balão bitubular de 100 mL, equipado com condensador de refluxo, adicionou-se butanona anidra, o derivado de fenol (15% de excesso em relação à bromocetona) e K_2CO_3 anidro finamente pulverizado (30% de excesso em relação ao fenol) sob agitação magnética e t.a.. Ao final de 10 minutos, adicionou-se gota a gota, a α -bromocetona dissolvida em butanona anidra t.a..

Após a adição, manteve-se o refluxo até o final da reação, a qual foi monitorada utilizando-se cromatografia em camada delgada (CCD). Após o término da reação, resfriou-se a t.a., filtrou-se e concentrou-se sob pressão reduzida. Adicionou-se água destilada e extraiu-se com clorofórmio (4 vezes). Os extratos orgânicos foram combinados, lavados com solução aquosa 5 % de NaOH, água destilada e solução 2 % de NaCl. Secou-se com Na₂SO₄, filtrou-se e evaporou-se o solvente sob pressão reduzida. Os produtos brutos da reação foram purificados por cromatografia em coluna (CC), utilizando-se sílica gel como fase estacionária.

2-fenoxi-1-fenil etanona 94

Produto obtido a partir de 0,104 g (1,10 mmols) de fenol em butanona (5 mL) e 0,150 g (1, 08 mmols) de K₂CO₃, reagindo por 3 horas com 0,150 g (0,75 mmols) de 2-bromo-1-feniletanona <u>86</u> em butanona (10 mL). O composto foi recristalizado em MeOH, fornecendo 0,120 g de <u>94</u> como cristais incolores. Ponto de fusão: 72-74 °C. O rendimento foi de 75%.

RMN de 1 **H** (500 MHz, CDCl₃, t.a., ppm): δ 5,29 (s, 2H); 6,79 –8,19 (m, H-Ar, 10H).

RMN de ¹³C (125 MHz, CDCl₃, t.a., ppm): δ 70,7; 114,8; 121,6; 128,1; 128,8; 129,5; 133,8; 134,5; 158,0; 194,5.

I.V. (KBr, cm⁻¹): 3058, 2900, 1706 (C=O), 1600, 1500, 1441, 1301, 1248, 1229, 1096, 977, 890, 751, 692, 512.

EM (m/z, %): 212 (25) [M]⁺, 77 (35), 91 (5), 105 (100), 107 (4), 117 (2), 165 (7).

EMAR (IE): m/z calculado para $C_{14}H_{12}O_2$ (212,08373), encontrado 212,08369.

1-(4-clorofenil)-2-(2-(metiltio)fenoxi)etanona 95

Produto obtido a partir de 0,104 g (0,74 mmols) de 2-(metiltio) fenol em butanona (5 mL) e 0,150 g (1, 08 mmols) de K₂CO₃, reagindo por 3 horas com 0,150 g (0,64 mmols) de 2-bromo-1-(4-clorofenil)etanona <u>87</u> em butanona (10 mL). O composto foi recristalizado em MeOH, fornecendo 0,135 g de <u>95</u> como cristais incolores. Ponto de fusão: 104-106 °C. O rendimento foi de 75%.

RMN de ¹**H** (300 MHz, CDCl₃, t.a., ppm): δ 2,44 (s, 3H); 5,25(s, 2H); 6,75 – 8,02 (m, H-Ar, 8H).

RMN de ¹³C (75 MHz, CDCl₃, t.a., ppm): δ 14,8; 71,7; 111,8; 122,4; 125,8; 126,5; 127,9; 129,1; 129,9; 132,8; 140,3; 143,3 154,6; 193,6.

I.V. (KBr, cm⁻¹): 3072, 2959, 1698 (C=O), 1586, 1448, 1398, 1281, 1216, 1089, 1046, 970, 848, 826, 745, 678, 513, 470.

EM (m/z, %): 292 (82) [M]⁺, 77 (8), 111 (20), 139 (100), 141 (26), 149 (18), 153 (85).

EMAR (IE): m/z calculado para $C_{15}H_{13}ClSO_2$ (292,03259), encontrado 292,03287.

2-(4-clorofenoxi)-1-(3,4-dimetoxifenil)etanona 96

Produto obtido a partir de 0,104 g (0,81 mmols) de 4-clorofenol em butanona (5 mL) e 0,150 g (1, 08 mmols) de K₂CO₃, reagindo por 3 horas com 0,150 g (0,58 mmols) de 2-bromo-1-(3,4-dimetoxifenil)etanona <u>88</u> em butanona (10 mL). O composto foi recristalizado em MeOH, fornecendo 0,130 g de <u>96</u> como cristais incolores. Ponto de fusão: 94-97 °C. O rendimento foi de 78%.

RMN de ¹**H** (300 MHz, CDCl₃, t.a., ppm): δ 3,92 (s, 3H); 3,95 (s, 3H); 5,20 (s, 2H); 6,75 –7,67 (m, H-Ar, 7H).

RMN de ¹³C (125 MHz, CDCl₃, t.a., ppm): δ 56,0; 70,8; 110,1; 110,2; 116,1; 122,7; 126,4; 127,5; 129,4; 149,3; 154,0; 156,7; 192,6.

I.V. (KBr, cm⁻¹): 3015, 2907, 2835, 1686 (C=O), 1594, 1516, 1492, 1450, 1419, 1263, 1200, 1152, 1084, 1013, 867, 830, 764, 647.

EM (m/z, %): 306 (10) [M]⁺, 77 (5), 151 (8), 165 (100).

EMAR (IE): m/z calculado para $C_{16}H_{15}ClO_4$ (306,06589), encontrado 306,06599.

2-(2,6-dimetoxifenoxi)-1-(3,4-dimethoxifenil)propan-1-ona 97

Produto obtido a partir de 0,104g (0,67 mmols) de 2,6-dimetoxifenol em butanona (5 mL) e 0,150 g (1, 08 mmols) de K₂CO₃, reagindo por 3 horas com 0,150 g (0,55 mmols) de 2-bromo-1-(3,4-dimetoxifenil)propan-1-ona <u>90</u> em butanona (10 mL). O composto foi recristalizado em MeOH, fornecendo 0,165 g de <u>97</u> como cristais incolores. Ponto de fusão: 93-95 °C. O rendimento foi de 87%.

RMN de ¹**H** (500 MHz, CDCl₃, t.a., ppm): δ 1,87 (*d*, *J*=6,8 Hz; 3H); 4,03 (*s*, 3H); 4,22 (*s*, 3H); 4,24 (*s*, 3H); 5,60 (*q*, *J*=6,8 Hz; 1H); 6,75 –7,67 (*m*, H-Ar, 6H).

RMN de ¹³C (125 MHz, CDCl₃, t.a., ppm): δ 18,2; 55,8; 55,9; 80,8; 105,2; 109,9; 111,6; 123,8; 124,0; 128,4; 136,0; 148,8; 153,2; 153,4; 197,4.

I.V. (KBr, cm⁻¹): 2939, 2840, 1673 (C=O), 1593, 1514, 1480, 1421, 1262, 1109, 1023, 771, 711.

EM (m/z, %): 346 (44) [M]⁺, 77 (9), 153 (20), 165 (100), 181 (54), 193 (4).

EMAR (IE): m/z calculado para $C_{19}H_{22}O_6$ (346,14164), encontrado 346,14157.

(E)-1-(3,4-dimetoxifenil)-2-(2-metoxi-4-(-prop-1-enil)fenoxi)propan-1-ona <u>98</u>

Produto obtido a partir de 0,104 g (0,63 mmols) de 2-metoxi-3-[(1*E*)-prop-1-en-1-il]fenol em butanona (5 mL) e 0,150 g (1,08 mmols) de K₂CO₃, reagindo por 3 horas com 150,0 mg (0,55 mmols) de 2-bromo-1-(3,4-dimetoxifenil)propan-1-ona <u>90</u> em butanona (10 mL). O composto foi recristalizado em MeOH, fornecendo 0,159 g de <u>98</u> como cristais incolores. Ponto de fusão: 97-99 °C. O rendimento foi de 81%.

RMN de ¹**H** (500 MHz, CDCl₃, t.a., ppm): δ 1,72 (*d*, *J*=6,8 Hz; 3H); 1,84 (*dd*, *J*=6,8 Hz e *J*=1,5 Hz; 3H); 3,86 (*s*, 3H); 3,92(*s*, 3H); 3,94 (*s*, 3H); 5,41 (*q*, *J*=6,8 Hz; 1H), 6,08 (*dq*, , *J*=15,6 Hz e *J*=1,5 Hz; 1H); 6,19 (*dd*, *J*=15,6 Hz e *J*=6,8 Hz; 1H); 6,75 –7,67 (*m*, H-Ar, 6H).

RMN de ¹³C (125 MHz, CDCl₃, t.a., ppm): δ 18,2; 19,0; 55,8; 56,0; 78,3; 109,5; 110,1; 111,3; 115,8; 118,6; 123,7; 124,4; 127,4; 130,5; 132,6; 146,1; 149,1; 149,9; 153,7; 197,9.

I.V. (KBr, cm⁻¹): 2933, 2840, 1683 (C=O), 1594, 1511, 1465, 1511, 1465, 1419, 1340, 1264, 1226, 1170, 1140, 1023, 965, 855, 765, 735, 620.

M (**m/z**, %): 356 (54) [M]⁺, 77 (2), 91 (3),163 (15), 165 (100), 191 (26).

EMAR (IE): m/z calculado para $C_{21}H_{24}O_5$ (356,16247), encontrado 356,16237.

5.2.4. Reações de condensação entre a-bromocetonas e tiofenóis

Reação Geral:

Procedimento Geral:

Em um balão bitubular de 25 mL, equipado com condensador de refluxo, adicionou-se butanona anidra, tiofenol (15% de excesso em relação à bromocetona), e K₂CO₃ anidro finamente pulverizado (30% de excesso em relação ao tifenol) sob agitação magnética e temperatura ambiente. Ao final de 10 minutos, adicionou-se a α-bromocetona dissolvida em butanona anidra, gota a gota.

Após a adição, manteve-se o refluxo até o final da reação, a qual é monitorada usando cromatografia em camada delgada (CCD). Após o término da reação, esta é resfriada a temperatura ambiente, filtrada e concentrada em evaporador rotativo sob pressão reduzida. Adicionou-se água e extraiu-se com clorofórmio (quatro vezes). Os extratos orgânicos foram combinados, lavados com solução 5 % de NaOH, água destilada e solução 2 % de NaCl. Secou-se com Na₂SO₄, filtrou-se e evaporou-se o solvente sob pressão reduzida. Os produtos brutos da reação foram purificados por cromatografia em coluna (CC) usando-se como fase estacionária sílica gel.

Os produtos obtidos foram caracterizados principalmente por cromatógrafo a gás acoplado ao espectrômetro de massas (CG-EM), um instrumento chave em nossas análises de estrutura e identificação, bem como para controlar a pureza das substâncias

2-(4-clorofenil)tio-1-feniletanona 122

Produto obtido a partir de 0,104 g (0,72 mmols) de 4-clorobenzenotiol em butanona (5 mL) e 0,150 g (1,08 mmols) de K₂CO₃, reagindo por 3 horas com 0,150 g (0,75 mmols) de 2-bromo-1-fenil etanona <u>86</u> em butanona (10 mL). O composto foi recristalizado em MeOH, fornecendo 0,156 g de <u>122</u> como cristais incolores. Ponto de fusão: 74-76 °C. O rendimento foi de 79%.

RMN de 1 **H** (300 MHz, CDCl₃, t.a., ppm): δ 4,25 (s, 2H); 7,24 –7,99 (m, H-Ar, 9H).

RMN de ¹³C (75 MHz, CDCl₃, t.a., ppm): δ 41,2; 128,6; 128,7; 129,2; 132,0; 133,1; 133,3; 133,6; 135,2; 193,7.

I.V. (KBr, cm⁻¹): 2944, 2900, 1685 (C=O), 1474, 1447, 1389, 1370, 1316, 1283, 1200, 1093, 1005, 872, 814, 744, 686, 557, 488.

EM (m/z, %): 262 [M]⁺ (30),77(39), 91 (11), 105 (100), 143 (14), 157 (10).

EMAR (IE): m/z calculado para $C_{14}H_{11}ClSO$ (262,02191), encontrado 262,02205.

1-(4-clorofenil)-2-(4-clorofeniltio)etanona 123

Produto obtido a partir de 0,104 g (0,72 mmols) de 4-clorobenzenotiol em butanona (5 mL) e 0,150 g (1,08 mmols) de K₂CO₃, reagindo por 3 horas com 0,150 g (0,64 mmols) de 2-bromo-1-(4-clorofenil)etanona <u>87</u> em butanona (10 mL). O composto foi recristalizado em MeOH, fornecendo 0,168 g de <u>123</u> como cristais incolores. Ponto de fusão: 118-119 °C. O rendimento foi de 88%.

RMN de 1 **H** (300 MHz, CDCl₃, t.a., ppm): δ 4,20 (s, 2H); 7,20 – 7,93 (m, H-Ar, 8H).

RMN de ¹³C (75 MHz, CDCl₃, t.a., ppm): δ 41,0; 129,3; 129,5; 130,3; 132,4; 132,9; 133,6; 133,8; 140,4; 193,0.

I.V. (KBr, cm⁻¹): 2922, 1672 (C=O), 1587,1476, 1383,1194, 1006, 816, 806, 576, 489, 467.

EM (m/z, %): 296 [M]⁺ (66), 75(25), 111 (41), 139 (100), 143 (9), 157 (12).

EMAR (IE): m/z calculado para $C_{14}H_{10}Cl_2SO$ (295,98294), encontrado 295,98296.

1-fenil-2-(feniltio)propan-1-ona 124

Produto obtido a partir de 0,208 g (1,89 mmols) de benzenotiol em butanona (5 mL) e 0,300 g (2,17 mmols) de K_2CO_3 , reagindo por 3 horas com 0,300 g (1,31 mmols) de 2-bromo-1-fenilpropan-1-ona <u>89</u> em butanona (10 mL). O composto foi purificado por CCDP (hexano/acetato de etila 9:1) com eluição contínua, fornecendo 0,280 g de <u>124</u> como óleo amarelo. O rendimento foi de 82%.

RMN de ¹**H** (500 MHz, CDCl₃, t.a., ppm): δ 1,54 (*d*, *J*=7,0 Hz; 3H), 4,64 (*q*, *J*=7,0 Hz; 1H), 7,20-8,10 (*m*, H-Ar, 10H).

RMN de ¹³C (125 MHz, CDCl₃, t.a., ppm): δ 17,0; 46,2; 128,5; 128,6; 128,9, 131.7, 133.0, 134.6, 135.6, 196.2.

I.V. (KBr, cm⁻¹): 3060, 2974; 2928; 1680 (C=O), 1596, 1596, 1448, 1439, 1372, 1233, 1025, 1001, 950, 746, 718, 595.

EM (**m/z**, %): 242 [M⁺] (36), 51 (9), 65 (5), 77 (30), 105 (43), 109 (18), 137 (100).

EMAR (IE): m/z calculado para $C_{15}H_{14}SO$ (242,07654), encontrado 242,07653.

1-fenil-2-(p-toliltio)propan-1-ona 125

Produto obtido a partir de 0,208 g (1,67 mmols) de 4-metilbenzenotiol em butanona (5 mL) e 0,300 g (2,17 mmols) de K₂CO₃, reagindo por 4 horas com 0,300 g (1,41 mmols) de 2-bromo-1-fenilpropan-1-ona <u>89</u> em butanona (10 mL). O composto foi purificado por CCDP (hexano/acetato de etila 9:1) com eluição contínua, fornecendo 0,268 g de <u>125</u> como um óleo amarelo. O rendimento foi de 66 %.

RMN de ¹H (500 MHz, CDCl₃, t.a., ppm): δ 1,56 (*d*, *J*=7,0 Hz; 3H); 2,38 (*s*, 3H); 4,61 (*q*, *J*=7,0 Hz; 1H); 7,12-8,03 (*m*, H-Ar, 9H).

RMN de ¹³C (125 MHz, CDCl₃, t.a., ppm): δ 17,0; 21,1; 46,1; 127,8 128,6; 128,7; 129,8; 133,0; 135,3; 135,9; 139,1; 196,3.

I.V. (KBr, cm⁻¹): 3059, 3023, 2973, 2925, 1679 (C=O), 1596, 1491, 1448, 1372, 1308, 1175, 950, 812.

EM (m/z, %): 256 [M]⁺ (24), 77 (24), 91 (9), 105 (32), 123 (15), 151 (100).

EMAR (IE): m/z calculado para $C_{16}H_{16}SO$ (256,09219), encontrado 256,09229.

2-(4-aminofeniltio)-1-fenilpropan-1-ona <u>126</u>

Produto obtido a partir de 0,208 g (1,66 mmols) de 4-aminobenzenotiol em butanona (5 mL) e 0,300 g (2,17 mmols) de K₂CO₃, reagindo por 4 horas com 0,300 g (1,41 mmols) de 2-bromo-1-fenilpropan-1-ona <u>89</u> em butanona (10 mL). O composto foi purificado por CCDP (hexano/acetato de etila 7:3) com eluição contínua, fornecendo 0,258 g de <u>126</u> como um óleo laranja escuro. O rendimento foi de 72 %.

RMN de ¹**H** (500 MHz, CDCl₃, t.a., ppm): δ 1,46 (*d*, *J*=7,0 Hz; 3H); 3,82 (*bs*, 2H); 4,45 (*q*, *J*=6,6 Hz; 1H); 6,50-7,99 (*m*, H-Ar, 9H).

RMN de ¹³C (125 MHz, CDCl₃, t.a., ppm): δ 16,2; 46,1; 115,4; 128,2; 128,87; 128,8; 133,0; 137,9; 147,9; 196,5.

I.V. (**KBr**, **cm**⁻¹): 3853 (N-H), 3750 (N-H), 3455 (N-H), 3373, 3055, 2922, 1678 (C=O), 1623, 1595, 1540,1495, 1448, 1371, 1332, 1297, 1232, 1175, 1089, 1000, 950, 826, 718, 687, 656, 523.

EM (**m/z**, %): 257 [M]⁺ (26), 51 (32), 59 (57), 66 (16), 77 (64), 93 (29), 105 (29), 124 (60), 152 (100).

EMAR (IE): m/z calculado para $C_{15}H_{15}NOS$ (257,08744), encontrado 257,08695.

2-(4-clorofeniltio)-1-fenilpropan-1-ona 127

Produto obtido a partir de 0,208 g (1,44 mmols) de 4-clorobenzenotiol em butanona (5 mL) e 0,300 g (2,17 mmols) de K₂CO₃, reagindo por 4 horas com 0,300 g (1,41 mmols) de 2-bromo-1-fenilpropan-1-ona <u>89</u> em butanona (10 mL). O composto foi recristalizado em MeOH, fornecendo 0,332 g de <u>127</u> como cristais incolores. Ponto de fusão: 71-72 °C. O rendimento foi de 85 %.

RMN de ¹**H** (500 MHz, CDCl₃, t.a., ppm): δ 1,52 (*d*, *J*=6,8 Hz; 3H); 4,61 (*q*, *J*=6,8 Hz; 1H); 7,20-8,02 (*m*, H-Ar, 9H).

RMN de ¹³C (125 MHz, CDCl₃, t.a., ppm): δ 16,8; 46,0; 128,6; 129,0; 129,1; 129,8; 133,1; 135,1; 135,5; 136,1, 195,9.

I.V. (KBr, cm⁻¹): 3067; 2980, 2933, 1680 (C=O), 1596, 1475, 1448, 1388, 1330, 1233, 1094, 1013, 950, 824, 716, 687, 655, 506.

EM (m/z, %): 276 [M]⁺ (32), 51 (20), 59 (10), 69(3), 77 (31), 91(1), 105 (100), 135(2), 143 (14), 171 (58).

EMAR (IE): m/z calculado para $C_{15}H_{13}ClSO$ (276,03756), encontrado 276,03747.

1-(3,4-dimetoxifenil)-2-(feniltio)propan-1-ona <u>58</u>

Produto obtido a partir de 0,208 g (2,17 mmols) de benzenotiol em butanona (5 mL) e 0,300 g (2,17 mmols) de K_2CO_3 , reagindo por 4 horas com 0,300 g (1,12 mmols) de 2-bromo-1-(3,4-dimetoxifenil)propan-1-ona <u>90</u> em butanona (10 mL), após 4 horas de reação. O composto foi recristalizado em MeOH, fornecendo 0,301g de <u>58</u> como crstais incolores. Ponto de fusão: 61-62 °C. O rendimento foi de 89 %.

RMN de ¹**H** (500 MHz, CDCl₃, t.a., ppm): δ 1,54 (*d*, *J*=6,8 Hz; 3H); 3,89 (*s*, 3H); 3,94 (*s*, 3H); 4,62 (*q*, *J*=6,8 Hz; 1H); 6,82-7,59 (*m*, H-Ar, 8H).

RMN de ¹³C (75 MHz, CDCl₃, t.a., ppm): δ 17,4; 46,0; 55,9; 56,0; 109,9; 110,9; 123,0; 128,4; 128,6; 128,9; 132,4; 134,2; 149,0; 153,2; 195,2.

I.V. (KBr, cm⁻1): 3071, 2972, 2932, 2840, 1666 (C=O), 1593, 1514, 1467, 1421, 1268, 1156, 1136, 1023, 857, 764, 691.

EM (m/z, %): 302 [M]⁺ (11), 77 (5), 109 (3), 137 (7), 165 (100).

EMAR (IE): m/z calculado para $C_{17}H_{18}SO_3$ (302,09767), encontrado 302,09764.

1-(3,4-dimetoxifenil)-2-(p-toliltio)propan-1-ona 128

Produto obtido a partir de 0,208 g (1,67 mmols) de 4-metilbenzenotiol em butanona (5 mL) e 0,300 g (2,17 mmols) de K₂CO₃, reagindo por 4 horas com 0,302 g (1,10 mmols) de 2-bromo-1-(3,4-dimetoxifenil)propan-1-ona <u>90</u> em butanona (10 mL). O composto foi recristalizado em MeOH, fornecendo 0,301 g de <u>128</u> como crstais incolores. Ponto de fusão: 76-77 °C. O rendimento foi de 90 %.

RMN de ¹H (500 MHz, CDCl₃, t.a., ppm): δ 1,70 (*d*, *J*=6,8 Hz; 3H); 2,52 (*s*, 3H); 4,09 (*s*, 3H); 4,14 (*s*, 3H); 4,74 (*q*, *J*=6,8 Hz; 1H); 7,02-7,95 (*m*, H-Ar, 7H).

RMN de ¹³C (75 MHz, CDCl₃, t.a., ppm): δ 17,1; 21,1; 45,9; 55,8; 56,0; 109,9; 110,9; 123,0; 128,3; 128,6; 129,6; 134,8; 138,7; 148,9; 153,1; 195,0.

I.V. (KBr, cm⁻¹): 2926, 2840, 1667 (C=O), 1586, 1514, 1421, 1454, 1264, 1149, 1023, 811, 764.

EM (**m/z**, %): 316 [M]⁺ (31), 77 (14), 91 (3), 107(3), 123 (4), 137(2), 151 (24), 165 (100).

EMAR (IE): m/z calculado para $C_{18}H_{20}SO_3$ (316,11332), encontrado 316,11339.

2-(4-aminofeniltio)-1-(3,4-dimetoxifenil)propan-1-ona 129

Produto obtido a partir de 0,208 g (1,66 mmols) de 4-aminobenzenotiol em butanona (5 mL), 0,300 g (2,17 mmols) de K₂CO₃, reagindo por 4 horas com 0,306 g (1,12 mmols) de 2-bromo-1-(3,4-dimetoxifenil)propan-1-ona <u>90</u> em butanona (10 mL). O composto foi purificado por CCDP (hexano/acetato de etila 6:4) com eluição contínua, fornecendo 0,323 g de <u>129</u> como um óleo laranja escuro. O rendimento foi de 91 %.

RMN de ¹**H** (500 MHz, CDCl₃, t.a., ppm): δ 1,46 (*d*, *J*=7,3 Hz; 3H); 3,80 (*bs*, 2H); 3,92 (*s*, 3H); 3,96 (*s*, 3H), 4,44 (*q*, *J*=7.3 Hz1H); 6,44-7,73 (*m*, H-Ar, 7H).

RMN de ¹³C (125 MHz, CDCl₃, t.a., ppm): δ 16,8; 46,1; 55,9; 56,0; 109,9; 111,0; 115,3; 118,6; 123,1; 125,7; 128,9, 133,9; 137,5; 147,0; 147,5; 148,9; 153,1; 195,2.

I.V. (KBr, cm⁻¹): 3469 (N-H), 3374 (N-H), 2964, 2928, 1661 (C=O), 1619, 1594, 1513, 1494, 1418, 1263, 1146, 1089, 1021, 821, 519.

EM (m/z, %): 317 [M]⁺ (5), 44 (29), 59 (27), 69 (3), 80 (20), 94 (15), 107 (7), 124 (32), 137 (8), 152 (43), 165 (100), 194 (3), 207 (4).

2-(4-clorofeniltio)-1-(3,4-dimetoxifenil)propan-1-ona 130

Produto obtido a partir de 0,208 g (1,44 mmols) de 4-clorobenzenotiol em butanona (5 mL) e 0,300 g (2,17 mmols) de K₂CO₃, reagindo por 4 horas com 0,306 g (1,12 mmols) de 2-bromo-1-(3,4-dimetoxifenil)propan-1-ona <u>90</u> em butanona (10 mL). O composto foi recristalizado em MeOH, fornecendo 0,328 g de <u>130</u> como cristais incolores. Ponto de fusão: 83-84 °C. O rendimento foi de 87 %.

RMN de ¹**H** (300 MHz, CDCl₃, t.a., ppm): δ 1,50 (*d*, *J*=6,8 Hz; 3H), 3,90 (*s*, 3H), 3,93 (*s*, 3H); 4,58 (*q*, *J*=6.8 Hz; 1H); 6,82-7,58 (7H, H-Ar, *m*).

RMN de ¹³C (75 MHz, CDCl₃, t.a., ppm): δ 17,0; 45,7; 55,8; 56,0; 110,0; 110,9; 123,1; 128,5; 129,1; 130,5; 134,9; 135,9; 149,1; 153,5; 195,0.

I.V. (KBr, cm⁻¹): 2964, 2928, 2856, 1661 (C=O), 1594, 1513, 1494,1418, 1263, 1146, 1089, 1021, 821, 519.

EM (m/z, %): 336 [M]⁺ (7), 77 (6), 108 (4), 143 (5), 165 (100), 171 (2) 194 (2).

EMAR (IE): m/z calculado para $C_{17}H_{17}ClSO_3$ (336,05869), encontrado 336,05871.

5.2.5. Preparação de sulfóxidos:

Reação Geral:

136 e 140 R₁=R₂=H e R₃=Cl

Procedimento Geral:

À uma solução de sulfeto (1 equivalente) em THF anidro (10 mL de solvente / mmol do sulfeto) adiciona-se gota à gota *m*-CPBA (1,10 equivalentes) em THF anidro (3 mL do solvente / mmol do ácido) durante 10 minutos. A reação é feita a temperatura ambiente, sob agitação por aproximadamente por 1h. Adiciona-se água destilada (20 mL) e extrai-se com éter etílico (4X 15 mL). As frações orgânicas são combinadas, lavadas com solução 5 % de NaHCO₃ e então água até pH neutro. Seca-se em Na₂SO₄ anidro, filtra-se e evapora-se o solvente sob pressão reduzida obtendo-se um resíduo contendo os dois sulfóxidos diastereoisoméricos α: β (1:1). A purificação é realizada por cromatografia em placa preparativa (CCDP) e recristalização.

2-(4-clorofenil)sulfinil-1-fenilpropan-1-ona 131

A partir da reação de 0,100 g (0,36 mmols) de 2-(4-clorofeniltio)-1-fenilpropan-1-ona <u>127</u> com 0,068 g (0.40 mmols) de *m*-CPBA, obteve-se o sulfóxido <u>131</u> que foi purificado através de comatografia em camada delgada preparativa (CCDP), com eluição contínua de hexano/acetato de etila (7:3). O composto <u>140</u> foi recristalizado em MeOH, fornecendo 0,038 g (0,13 mmols) da mistura diastereoisomérica dos sulfóxidos α : β (1:1), como cristais incolores , com ponto de fusão 114-117 °C. O rendimento foi de 38 %.

RMN de ¹**H** (500 MHz, CDCl₃, t.a., ppm): δ (isômero α) 1,33 (d, J= 6,8 Hz; 3H); 4,89 (q, J= 6,8 Hz; 1H); 7,24-8,02 (m, H-Ar, 9H).

RMN de ¹**H** (500 MHz, CDCl₃, t.a., ppm): δ (isômero β) 1,68 (d, J=6,8 Hz; 3H); 4,60 (q, J= 6,8 Hz; 1H); 7,24-8,02 (m, H-Ar, 9H).

RMN de ¹³C (125 MHz, CDCl₃, t.a., ppm): (mistura) δ 8,90; 12,3; 66,1; 68,0; 126,4; 126,8; 128,6; 128,8; 134,0; 134,0; 134,1; 135,8; 136,1; 137,8; 137,9; 138,2; 138,3; 140,3; 194,0; 195,7.

I.V. (NaCl, cm⁻¹): (mistura) 3056, 2932, 1675(C=O), 1595, 1579, 1474, 1449, 1391, 1328, 1300, 1229, 1048 (S=O), 1011, 944, 824, 741, 717.

EM (m/z, %): (mistura) 292 [M]⁺ (30), 77 (43), 105 (68), 133 (22), 144 (42), 159 (100).

EMAR (IE): m/z calculado para $C_{15}H_{13}ClSO_2$ (292,03248), encontrado 292,03249.

5.2.6. Preparação de sulfonas (oxidação com ácido peracético)

Reação Geral:

$$R_1$$
 R_2
 R_3
 R_1
 R_2
 R_3
 R_3
 R_4
 R_5
 R_5
 R_7

128 e **134**
$$R_1 = R_2 = OCH_3$$
, $R_3 = H$

Procedimento Geral:

À uma solução de sulfeto (1 equivalente) em THF anidro (10 mL de solvente / mmol do sulfeto) adiciona-se gota à gota o ácido peracético (2,20 equivalentes) em THF anidro (3 mL do solvente / mmol do ácido) durante 10 minutos. A reação é agitada a temperatura ambiente por aproximadamente por 24 horas. Adiciona-se água destilada (20 mL) e extrai-se com éter etílico (4X 15 mL). As frações orgânicas são combinadas, lavadas com solução 5 % de NaHCO₃ e então água até pH neutro. Seca-se em Na₂SO₄ anidro, filtra-se e evapora-se o solvente sob pressão reduzida, obtendo-se um resíduo. A purificação é realizada por cromatografia em camada delgada preparativa (CCDP) e recristalização.

2-(4-clorofenil)sulfonil-1-fenilpropan-1-ona 132

A partir da reação de 0,050 g (0,18 mmols) de 2-(4-clorofeniltio)-1-fenilpropan-1-ona <u>127</u> com 0,068 g (0.36 mmols) de ácido peracético, obtevese a sulfona <u>132</u> que foi purificada através de CCDP com eluição contínua de hexano/acetato de etila (6:4). O composto foi recristalizado em MeOH, fornecendo 0,040 g (0,13 mmols) da sulfona <u>132</u>, como cristais incolores, com ponto de fusão 119-120 °C. O rendimento foi de 76 %.

RMN de ¹**H** (300 MHz, CDCl₃, t.a., ppm): δ 1,57 (*d*, *J*=6,8 Hz; 3H); 5,17 (*q*, *J*=6,8 Hz; 1H); 7,24-8,03 (*m*, H-Ar, 9H).

RMN de ¹³C (125 MHz, CDCl₃, t.a., ppm): δ 13,3; 53,4; 65,0; 128,8; 129,1; 129,2; 131,3; 134,3; 136,0; 141,2; 192,4.

IV (NaCl, cm⁻¹): 3094, 3067, 2937, 1681(C=O), 1595, 1582, 1475, 1449, 1395, 1320(O=S=O), 1236, 1202, 1151(O=S=O), 994.

EM (m/z, %): 308 [M]⁺ (1), 51 (12), 77 (33), 105 (100), 133 (1), 175 (1).

EMAR (IE): m/z calculado para $C_{15}H_{13}CISO_3$ (308,02739), encontrado 308,02733.

1-(3,4-dimetoxifenil)-2-(fenilsulfonil)propan-1-ona 133

A partir da reação de 0,050 g (0,15 mmols) de 1-(3,4-dimetoxifenil)-2-(feniltio)propan-1-ona <u>58</u> com 0,068 g (0.35 mmols) de ácido peracético, obteve-se a sulfona <u>133</u> que foi purificada através de CCDP com eluição contínua de hexano/acetato de etila (6:4). O composto foi recristalizado em MeOH, fornecendo 0,042 g (0,10 mmols) da sulfona <u>133</u>, como cristais incolores com ponto de fusão 111-113 °C. O rendimento foi de 84 %.

RMN de ¹**H** (300 MHz, CDCl₃, t.a., ppm): δ 1,58 (*d*, *J*=6,9 Hz; 3H); 3,94 (*s*, 3H); 3,98 (*s*, 3H); 5,15 (*q*, *J*=7,0 Hz; 1H); 6,89-8,14 (*m*, H-Ar, 8H).

IV (NaCl, cm⁻¹): 1666(C=O), 1593, 1514, 1447, 1421, 1268(O=S=O), 1150(O=S=O), 1023, 692.

EM (m/z, %): 334 [M]⁺ (7), 77 (14), 91 (3), 193 (7), 165 (100).

1-(3,4-dimetoxifenil)-2-tosilpropan-1-ona 134

A partir da reação de 0,050 g (0,16 mmols) de 1-(3,4-dimetoxifenil)-2-(*p*-toliltio)propan-1-ona <u>128</u> com 0,068 g (0.35 mmols) de ácido peracético, obteve-se a sulfona <u>134</u> que foi purificada através de CCDP com eluição contínua de hexano/AcOEt (6:4). O composto foi recristalizado em MeOH, fornecendo 0,045g (0,07 mmols) da sulfona <u>134</u>, como cristais incolores com ponto de fusão 125-126 °C. O rendimento foi de 81 %.

RMN de ¹**H** (300 MHz, CDCl₃, t.a., ppm): δ 1,54 (*d*, *J*=7,0 Hz; 3H); 2,42 (*s*, 3H); 3,92 (*s*, 3H); 3,95 (*s*, 3H); 5,10 (*q*, *J*=7,0 Hz; 1H); 6,87-7,68 (*m*, H-Ar, 7H).

RMN de ¹³C (125 MHz, CDCl₃, t.a., ppm): δ 13,4; 21,7; 56,0; 56,2; 64,6; 110,0; 110,8; 124,6; 129,4; 129,8; 133,0; 145,2; 149,1; 154,2; 190,7.

I.V. (NaCl, cm⁻¹): 3023, 2940, 1670(C=O), 1595, 1515, 1461, 1371(O=S=O), 1264, 1216, 1162(O=S=O), 1084, 1022, 756, 668.

EM (m/z, %): 348 [M]⁺ (24), 77 (4), 91 (13), 107 (1), 165 (100).

EMAR (IE): m/z calculado para $C_{18}H_{20}SO_5$ (348,10315), encontrado 348,10330.

5.2.7. Reduções estereosseletivas com NaBH₄

98 e **69** R₁=R₂=OCH₃, R₃=OCH₃, X=O e R₄=propenil

127 e 135 R₁=R₂=H, R₃=H, X=S e R₄=Cl

128 e 136 R₁=R₂=OCH₃, R₃=H, X=S e R₄=CH₃

130 e 137 R₁=R₂=OCH₃, R₃=H, X=S e R₄=Cl

Procedimento Geral:

À uma solução de NaBH₄ (0,40 mmoles) em 3mL de MeOH, adicionause lentamentamente a cetona (0,20 mmoles) em 5 mL de THF (tetrahidrofurano). A reação é agitada a temperatura ambiente por 30 minutos. Adicionou-se 10 mL de H₂O e extraiu-se com éter etílico (4X 10 mL). Os extratos são combinados, lavados com solução aquosa de 5% de NaHCO₃, H₂O e seco sobre Na₂SO₄ anidro. Filtração e evaporação sob pressão reduzida, resulta em uma mistura de álcoois diastereoisoméricos *eritro* e *treo*.

$(E) \ 1\text{-}(3,4\text{-}dimetoxifenil})\text{-}2\text{-}(2\text{-}metoxi\text{-}(4\text{-}prop\text{-}1\text{-}en\text{-}1\text{-}il})fenoxi)propan\text{-}1\text{-}ol\\ \underline{69}$

A partir da reação de 0,100 g (0,28 mmol) de (E)-1-(3,4-dimetoxifenil)-2-(2-metoxi-4-(-prop-1-enil)fenoxi)propan-1-ona **98** com 0,027 g (0,72 mmols) de NaBH₄ em 30 minutos de reação, resultou em uma mistura de dois álcoois diastereoméricos (*eritro*, *treo*) **69**, como um óleo incolor em rendimento quantitativo.

RMN de ¹**H** (500 MHz, CDCl₃, t.a., ppm): (*eritro*, *treo*) δ 1,17(*d*, *J*=6,4 Hz; 3H); 1,88(*dd*, *J*=6,6 e 1,6 Hz; 3H); 3,56(*s*, OH); 3,90(*s*, 3H); 3,91(*s*, 3H); 3,94(*s*, 3H); 4,34(*dq*, *J*=9,5 e 6,3 Hz; 1H); 4,84(*d*, *J*=3,0 Hz; 1H) 6,17(*dq*, *J*=15,6 e *J*=6,6 Hz; 1H); 6,36(*dd*, *J*=15,7 e *J*=1,6 Hz; 1H); 6,71 – 7,83(*m*, H-Ar, 6H).

RMN de ¹³C (125 MHz, CDCl₃, t.a., ppm): (*eritro*, *treo*) δ 13,4; 17,0; 18,3; 18,4; 19,20; 55,7; 55,8; 55,9; 73,4, 78,4; 82,5; 84,2 109,2; 109,4; 110,1; 110,7; 111,2; 115,6, 118,4; 118,5; 119,0; 119,9; 123,6; 124,3; 125,0; 125,2; 127,3; 128,2; 130,4; 132,4; 133,7; 145,5; 145,9; 148,1; 148,8; 148,9; 149,8; 151,46; 153,3.

I.V. (KBr, cm⁻¹): (*eritro*, *treo*) 3486, 2938, 1594, 1511, 1264, 1229, 1139, 1029, 964, 813, 735.

EM (m/z, %): 358 [M]⁺ (2), 77 (12), 91 (17), 139 (9), 164 (100).

2-(4-clorofeniltio)-1-fenilpropan-1-ol 135

A partir da reação de 0,100 g (0,36 mmol) de 2-(4-clorofeniltio)-1-fenilpropan-1-ona <u>127</u> com 0,027 g (0,72 mmols) de NaBH₄ em 30 minutos de reação, resultou em uma mistura de dois álcoois diastereoméricos (*eritro*, *treo*) **135**, como um óleo incolor em rendimento quantitativo.

RMN de ¹**H** (500 MHz, CDCl₃, t.a., ppm): δ 1,02 (*d*, *J*=7,0 Hz; 3H); 1,49(*s*, OH) 3,22 (*dq*, *J*=8,4 e 7,0 Hz; 1H); 4,32 (*d*, *J*=8,5 Hz; 1H); 7,16-7,38 (*m*, H-Ar, 9H).

RMN de ¹³C (75 MHz, CDCl₃, t.a., ppm): δ 18,3; 52,9; 73,6; 126,0; 127,0; 127,6; 128,2; 128,3; 128,4; 129,1; 129,3; 133,7; 134,1; 135, 0; 140,7.

IV (KBr, cm⁻¹): 3422 (OH), 3062, 2969, 1475, 1452, 1388, 1262, 1191, 1094, 1012, 820, 701.

EM (m/z, %): 278 [M]⁺ (10), 51 (6), 59 (10), 77 (20) 79 (29), 107 (73), 117 (3), 135 (3), 143 (18), 157 (4), 171 (57), 172 (100).

EMAR (IE): m/z calculado para $C_{15}H_{15}ClSO$ (278,05321), encontrado 278,05321.

1-(3,4-dimetoxifenil)-2-(p-toliltio)propan-1-ol 136

A partir da reação de 0,100 g (0,36 mmol) de 1-(3,4-dimetoxifenil)-2-(*p*-toliltio)propan-1-ona <u>128</u> e 0,027 g (0,72 mmols) de NaBH₄ em 30 minutos de reação, resultou em uma mistura de dois álcoois diastereoméricos (*eritro*, *treo*) <u>136</u>, como cristais brancos, com ponto de fusão 120-123 °C, em rendimento quantitativo.

RMN de ¹**H** (300 MHz, CDCl₃, t.a., ppm): δ 1,03 (*d*, *J*=7,3 Hz; 3H); 2,36 (*s*, 3H); 3,16 (*dq*, *J*=8,8 e 6,6 Hz; 1H); 3,47 (*s*, OH); 3,86 (*s*, 3H); 3,87 (*s*, 3H); 4,26 (*d*, *J*=8,8 Hz; 1H); 6,69-7,46 (*m*, H-Ar, 7H).

RMN de ¹³C (75 MHz, CDCl₃, t.a., ppm): δ 18,0; 21,0; 52,9; 55, 8; 76,4; 109,7; 110,8; 119,8; 127,9; 130,0; 133,5; 135,0; 138,6; 149,0; 149,3.

I.V. (KBr, cm⁻¹): 3494 (OH), 2969, 2866, 1592, 1462, 1420, 1259, 1234, 1154, 1140, 1030 855, 811, 748.

EM (m/z, %): 318 [M]⁺ (1), 77 (6), 91 (9), 108 (4), 123 (8), 124 (4), 139 (38), 151 (11), 152 (100), 167 (85).

EMAR (IE): m/z calculado para $C_{18}H_{22}SO$ (318,12897), encontrado 318,12896.

2-(4-clorofeniltio)-1-(3,4-dimetoxifenil)propan-1-ol 137

A partir da reação de 0,100 g (0,30 mmols) de 2-(4-clorofeniltio)-1-(3,4-dimetoxifenil)propan-1-ona <u>130</u> com 0,027 g (0,72 mmols) de NaBH₄ em 30 minutos de reação, resultou em uma mistura de dois álcoois diastereoméricos (*eritro*, *treo*) <u>137</u> como cristais brancos, com ponto de fusão 123-125 °C, em rendimento quantitativo.

RMN de ¹**H** (500 MHz, CDCl₃, t.a., ppm): δ 1,00 (*d*, *J*=6,95 Hz; 3H); 1,54 (*s*, OH), 3,18 (*dq*, *J*=8,5 e 6,96 Hz; 1H), 3,80 (*s*, 1H), 3,81 (*s*, 1H), 4,26 (*d*, *J*=8,6Hz; 1H); 6,70-7,50 (*m*, H-Ar, 7H).

RMN de ¹³C (75 MHz, CDCl₃, t.a., ppm): δ 18,3; 52,8; 55,9; 76,6; 109,6; 110,8; 119,5, 129,1; 130,8; 133,2; 134,2; 135,1; 148,9; 149,0.

I.V. (KBr, cm⁻¹): 3422 (OH), 3062, 2969, 1515, 1475, 1383, 1260, 1235, 1140, 1094, 1028, 819.

EM (m/z, %): 338 [M]⁺ (13), 77 (5), 91 (2), 108 (5), 124 (7), 139 (38), 143 (4), 167 (100), 171 (3), 172 (23).

EMAR (IE): m/z calculado para $C_{17}H_{19}ClSO_3$ (338,07434), encontrado 338,07428.

5.2.8. Reação de acetilação

OH
$$R_1$$
 Ac_2O R_1 R_2 R_3 MeCOEt, piridina R_2 R_3

135 e **138** R₁=R₂=H e R₃=Cl

À uma solução do álcool <u>135</u> em butanona (20 mL) adicionou-se inicialmente anidrido acético e lentamente piridina. A reação foi agitada a 80 °C por 24h. Após essse período, adicionou-se 10 mL de H₂O e extraiu-se com éter etílico (4X 10 mL). Os extratos foram combinados, lavados com solução aquosa de 5% de NaHCO₃, H₂O e seco sobre Na₂SO₄ anidro. Após filtração e evaporação sob pressão reduzida e purificação, obteve-se uma mistura de acetatos diastereoisoméricos *eritro* e *treo* <u>138</u>.

2-(4-clorofeniltio)-1-fenilpropil acetato 138

A partir da reação de 0,100 g (0.36 mmols) de 2-(4-clorofeniltio)-1-fenilpropan-1-ol <u>135</u> com 0,059 g (0,58 mmols) de anidrido acético e 0,074 g (0.94 mmols) de piridina em solução de butanona anidra. O composto <u>138</u> foi purificado por CCDP (hexano/acetato de etila 9:1) com eluição contínua e forneceu 0,202 g como um óleo incolor. O rendimento foi de 78 %.

RMN de ¹**H** (500 MHz, CDCl₃, t.a., ppm): δ 1,05 (*d*, *J*=7,0 Hz; 3H); 1,93 (*s*, 3H); 3,49 (*q*, *J*=7,2 Hz; 1H); 5,69 (*d*, *J*=7,6 Hz; 1H); 7,15-7,39 (*m*, H-Ar, 9H).

RMN de ¹³C (75 MHz, CDCl₃, t.a., ppm): δ 17,5; 20,9; 47,9; 78,5; 127,4; 128,4; 128,5; 129,1; 133,2; 133,3; 133,6; 137,8; 170,0.

I.V. (**KBr**, **cm**⁻¹): 3063, 2971, 1736 (OAc), 1476, 1371, 1231, 1024, 975, 820.

EM (**m/z**, %): 320 [M]⁺ (14), 59 (8), 77 (12), 91 (15), 107 (69), 115 (11), 117 (16), 136 (5), 145 (6), 149 (22), 171 (100), 260 (37), 261 (7).

EMAR (IE): m/z calculado para $C_{17}H_{17}ClSO_2$ (320,06378), encontrado 320.06369.

5.3. Procedimento para as sínteses quirais.

5.3.1. Reações gerais de obtenção de intermediários α -bromocetonas quirais *

240

^{*} Compostos intermediários quirais sintetizados, isolados e identificados por Santos. 107

5.3.2. Reações de obtenção β-cetosulfetos quirais

SH

R₁

R₂

Br

R₄

$$R_4$$
 R_4
 R_5
 R_4
 R_4
 R_5
 R_4
 R_5
 R_5
 R_4
 R_5
 R_5
 R_5
 R_5
 R_5
 R_4
 R_5
 R_5
 R_5
 R_5
 R_5
 R_6
 R_7
 R_8
 $R_$

(+) (*R*)-2-(4-clorofeniltio)-1-fenilpropan-1-ona <u>127</u>

Produto obtido a partir de 0,023 g (0,16 mmols) de 4-clorobenzenotiol em butanona (5 mL), 0,032 g (0,24 mmols) de K_2CO_3 e 0,032 g (0,15 mmols) de (-) (*S*)-2-bromo-1-fenilpropan-1-ona (*S*)-**89** em butanona (10 mL), após 4 horas de reação. O óleo obtido foi submetido à CCDP em sílica gel 60 (70-230 mesh) em hexano/acetato de etila 8:2, com eluição contínua e forneceu 0,028 g de (+) (*R*)-**127**, como um óleo incolor. O rendimento foi de 72 %. [α] $_{D}^{20}$ = + 18, 80° (c 0,30; CHCl₃)

(-) (S)-2-(4-clorofeniltio)-1-fenilpropan-1-ona $\underline{127}$

Produto obtido a partir de 0,021 g (0,14 mmols) de 4-clorobenzenotiol em butanona (5 mL), 0,030 g (0,22 mmols) de K_2CO_3 e 0,030 g (0,14 mmols) de (+) (*R*)-2-bromo-1-fenilpropan-1-ona (*R*)-<u>89</u> em butanona (10 mL), após 4 horas de reação. O óleo obtido foi submetido à CCDP em sílica gel 60 (70-230 mesh) em hexano/acetato de etila 8:2, com eluição contínua, forneceu 0,026 g de (-) (*S*)-<u>127</u>, como um óleo incolor. O rendimento foi de 67%. [α]

73, 65° (c 0,55; CHCl₃)

(+) (*R*)-1-(3,4-dimetoxifenil)-2-(*p*-toliltio)propan-1-ona <u>128</u>

Produto obtido a partir de 0,023 g (0,18 mmols) de 4-metilbenzenotiol em butanona (5 mL), 0,032 g (0,23 mmols) de K_2CO_3 e 0,032 g (0,12 mmols) de (-) (*S*)-2-bromo-1-(3,4-dimetoxifenil)propan-1-ona (*S*)-<u>90</u> em butanona (10 mL), após 4 horas de reação. O óleo obtido foi submetido à CCDP em sílica gel 60 (70-230 mesh) em hexano/acetato de etila 8:2, com eluição contínua, forneceu 0,028 g de (+) (*R*)-<u>128</u>, como um óleo incolor. O rendimento foi de 74 %. [α] = +29,55° (c ($\frac{1}{2}$; CHCl₃)

(-) (S)-1-(3,4-dimetoxifenil)-2-(p-toliltio)propan-1-ona <u>128</u>

Produto obtido a partir de 0,026 g (0,21 mmols) de 4-metilbenzenotiol em butanona (5 mL), 0,035 g (0,25 mmols) de K_2CO_3 e 0,035 (0,13 mmols) de (+) (*R*)-2-bromo-1-(3,4-dimetoxifenil)propan-1-ona (*R*)-<u>93</u> em butanona (10 mL), após 4 horas de reação. O óleo obtido foi submetido à CCDP em sílica gel 60 (70-230 mesh) em hexano/acetato de etila 8:2, com eluição contínua, forneceu 0,030 g de (-) (*S*)-<u>128</u>, como um óleo incolor. O rendimento foi de 73 %. [α] $\frac{1}{20}$ = - 18, 80° (c 0,20; CHCl₃)

5.4. Especificação dos materiais e instrumentos utilizados nos ensaios biológicos.

5.4.1. Meios de cultura

Ao longo deste trabalho foram usados dois tipos de meio de cultura: Meio Essencial Mínimo modificado por Dulbelcco (D-MEM; Sigma), complementado com 100μg/mL de estreptomicina (Wyeth, São Bernardo do Campo, Brasil), 100 U/mL de penicilina G (Wyeth) e 20 mM de HEPES (Sigma), que será designado simplesmente como "D-MEM".

Meio de Schneider para *Drosophila* (Gibco, Paisley, Escócia), com antibióticos e HEPES, conforme acima e que será chamado simplesmente de "meio Schneider".

Conforme indicado, os meios foram suplementados com soro fetal bovino inativado pelo calor (HIFCS; Microbiológica, Rio de Janeiro, Brasil).

5.4.2. Parasitos

A cepa utilizada neste estudo foi *Leishmania amazonensis* LV/79 (MPRO/BR/72/M 1841). Os parasitos foram rotineiramente isolados de lesões de camundongos e mantidos como promastigotas a 26°C em D-MEM com 10% de HIFCS. Repiques foram feitos a partir da fase estacionária de crescimento e os parasitos usados somente até a quarta passagem.

5.4.3. Ensaios in vitro

5.4.3.1. Purificação de macrófagos

Macrófagos residentes de camundongos BALB/c foram obtidos por lavagem peritoneal com 5 mL de D-MEM gelado. O número de células no lavado foi determinado e ajustado à concentração necessária. As células foram então plaqueadas em superfícies de vidro ou poliestireno e mantidas a 37 °C/5% CO₂, por 1h. Após a incubação, as culturas foram lavadas com PBS a 37 °C, para a remoção das células não aderentes e as aderentes (macrófagos) foram usadas nas experiências descritas a seguir.

5.4.3.2. Atividade anti-amastigota

Para avaliar o efeito sobre amastigotas intracelulares, os macrófagos foram plaqueados a 10⁶/ poço em 0,4mL, em câmaras Lab-Tek de 8 cavidades (Nunc), como descrito acima. Promastigotas de *L. amazonensis*, em fase estacionária de crescimento, foram adicionados em uma razão de 4:1 macrófago e as culturas incubadas por 4h a 34 °C e 5% CO₂. As células foram lavadas com PBS a 37 °C, para remover os parasitos livres, e então cultivadas por mais 48h na presença das substâncias nas concentrações indicadas. As células foram então lavadas com PBS, fixadas com metanol absoluto e coradas com tintura de Giemsa (Sigma) a 0,04%. O número de amastigotas por macrófagos totais foi determinado, contando pelo menos 100 células e os resultados foram expressos como percentagem de inibição em relação aos

controles não tratados. Só foram considerados os resultados dos experimentos que, nos controles, a percentagem de macrófagos infectados foi superior a 80%.

5.4.3.3. Produção de óxido nítrico

A produção de óxido nítrico foi estimada, indiretamente, medindo-se a concentração de nitrito no sobrenadante das culturas dos macrófagos, como descrito por Green *et al.* (1982). Os macrófagos residentes foram obtidos e plaqueados, como descrito acima, em placas de 96 poços de fundo chato (4 x 10⁵ macrófagos/poço). Após a retirada das células não aderentes, 200 μl das substâncias foram adicionadas nas concentrações indicadas em triplicatas. Após 48h, as placas foram centrifugadas a 1200 rpm/5 min e 100μl dos sobrenadantes transferidos para outras placas vazias. Reagente de Griess (p-aminobenzenosulfonamida 1% + diidrocloreto de naftiletilenodiamino 0,1% em 5% de ácido fosfórico, Sigma), recém preparado, foi adicionado em igual volume aos sobrenadantes das culturas e depois de 10 minutos a absorbância foi medida no comprimento de onda de 570ηm. A concentração de nitrito no sobrenadante foi determinada usando como referência uma curva padrão de nitrito de sódio decrescida do valor obtido com os aditivos sem células.

5.4.3.4. Avaliação da capacidade fagocítica

Macrófagos peritoneais não-inflamatórios de camundongos (10⁶/poço) foram previamente incubados em placas de 24 poços (Nunc), com as

substâncias-teste em diversas concentrações. Após 18h de incubação, as culturas foram lavadas com PBS a 37° C e 5 x 10⁷ microesferas de látex recobertas com fluoresceína (1μm de diâmetro, Polysciences, Warrington, EUA) foram adicionadas por mais 4h. As células foram então lavadas quatro vezes com PBS, para remover as esferas livres, rompidas por dois ciclos de congelamento/descongelamento com água destilada e a fluorescência no lisado foi medida em fluorímetro (Fluoroskan II). Controles negativos foram macrófagos fixados com formalina 1%, antes da adição das microesferas. Uma curva linear foi traçada para a conversão da unidade de fluorescência em número de microesferas nas culturas: número de microesferas = unidades de fluorescência/ 2,79 x 10⁻⁷.

5.4.3.5. Toxidez sobre linfócitos murinos

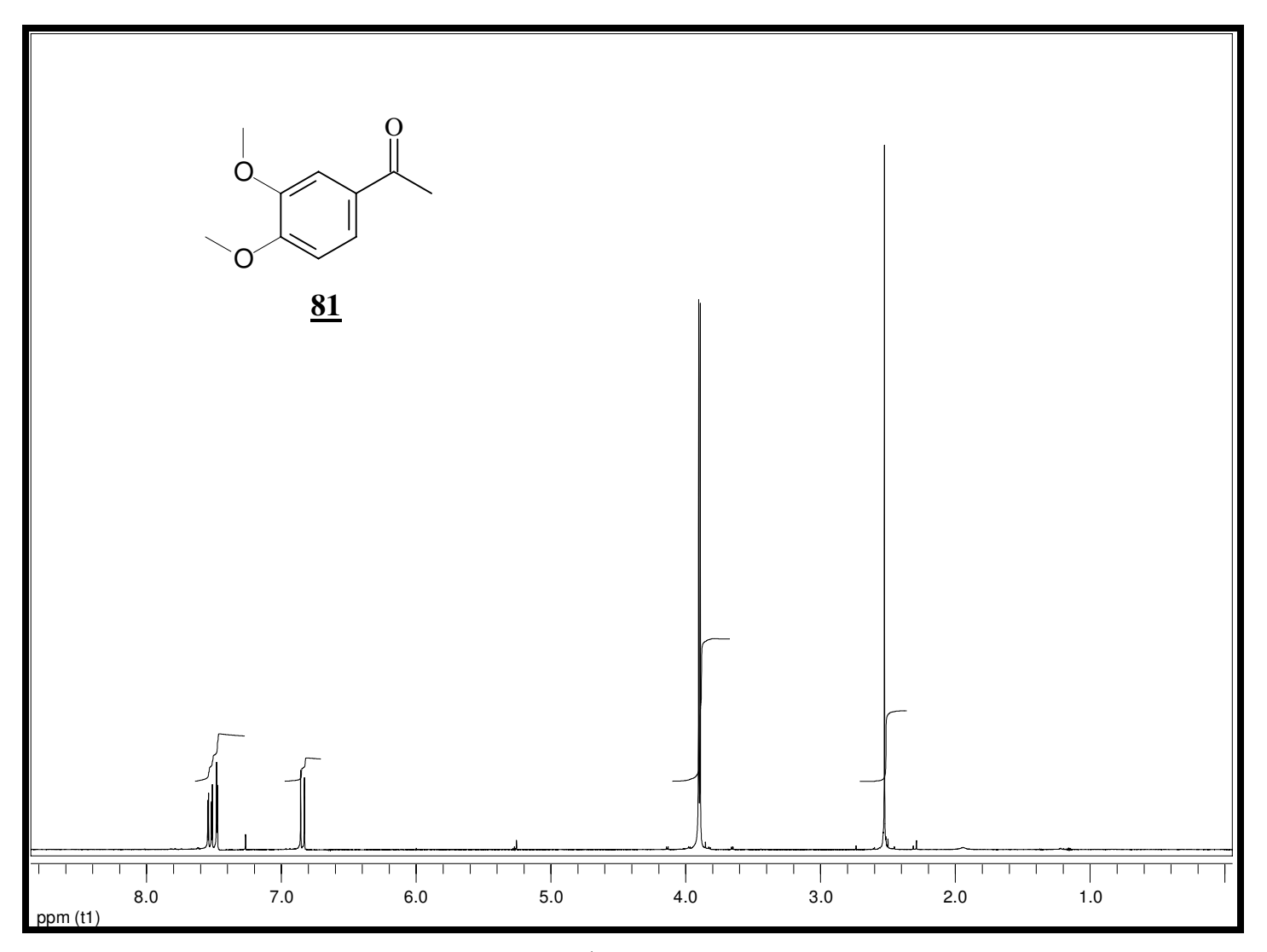
Células totais de linfonodos (principalmente linfócitos) de camundongos normais foram incubadas em placas de 96 poços de fundo chato a 2 x 10⁵/poço a 37 °C e 5% CO₂, com as substâncias em diversas concentrações. Após 48h, as células foram contadas através do método de exclusão de azul de Trypan (Sigma) e a percentagem de células vivas foi determinada.

5.4.3.6. Toxidez sobre células P815

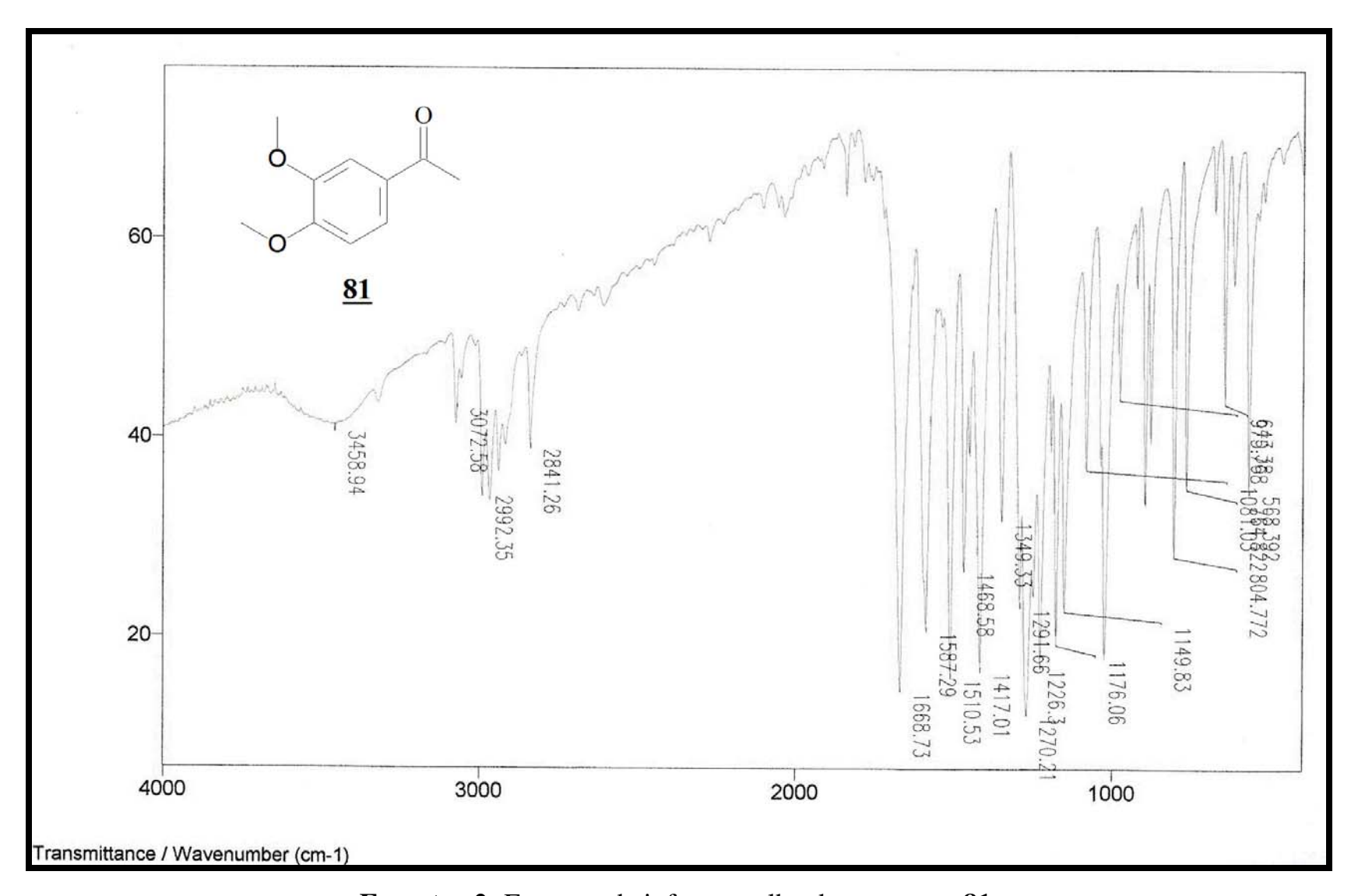
Células P815 originárias de um mastocitoma murino foram incubadas com 210 µCi de ⁵¹Cr por 1h, lavadas duas vezes e dispensadas a 10⁴/poço, em

placas de 96 poços, com as substâncias nas concentrações indicadas e mantidas por 3h a 37 °C/5% CO₂. As placas foram centrifugadas a 200g/5 min e 0,1mL do sobrenadante de cada poço transferido para papel de filtro, para a quantificação da radiação em contador gama. Para a liberação máxima de ⁵¹Cr foi usado Triton 100-X a 2% e para a liberação espontânea foi usado PBS. Os resultados foram expressos como percentagem de liberação específica: (experimental - espontânea) ÷ (máxima - espontânea) x 100.

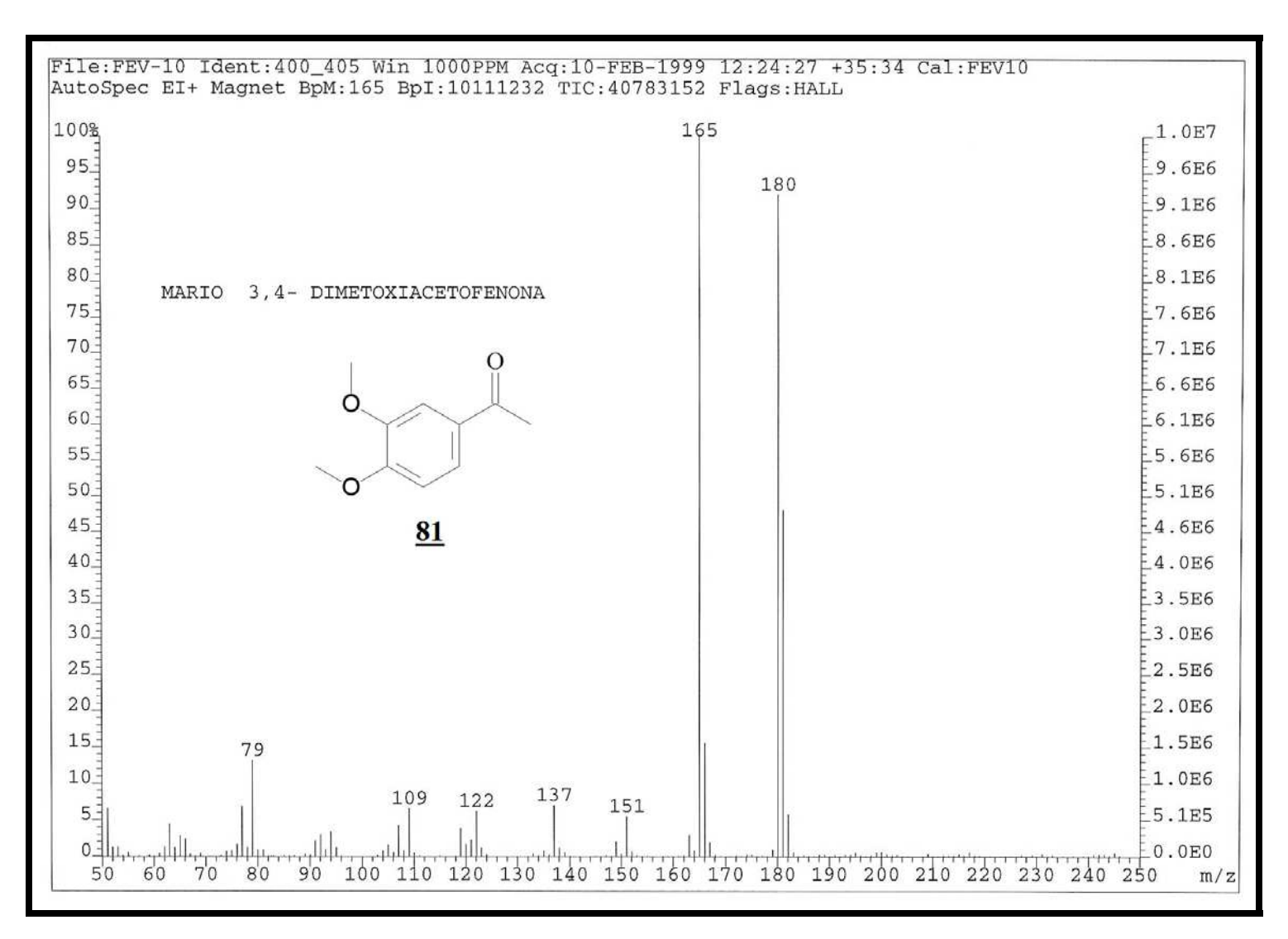
Anexos Espectros



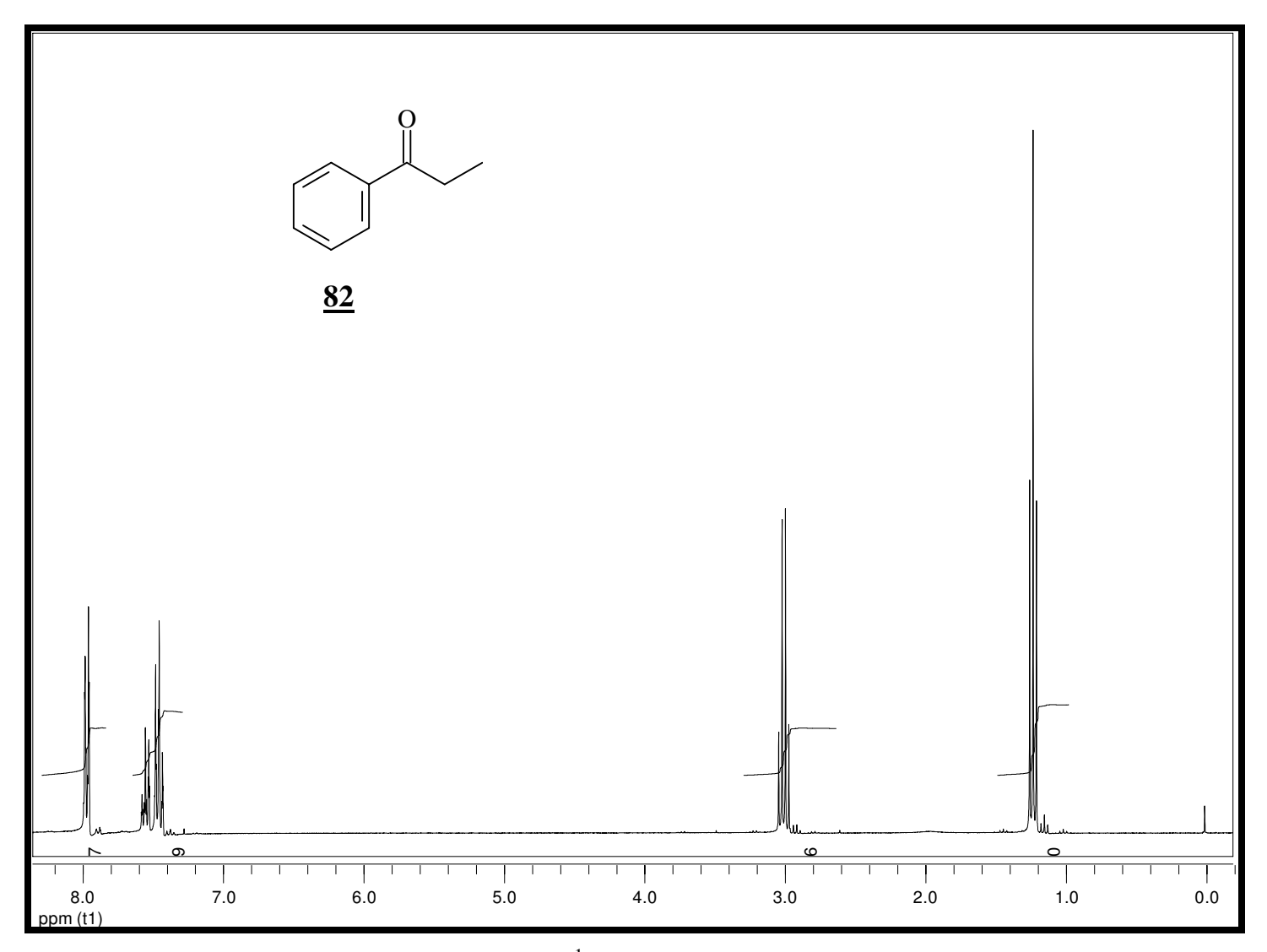
Espectro 1: Espectro de RMN de ¹H (300 Mz, CDCl₃, t.a.) do composto <u>81</u>.



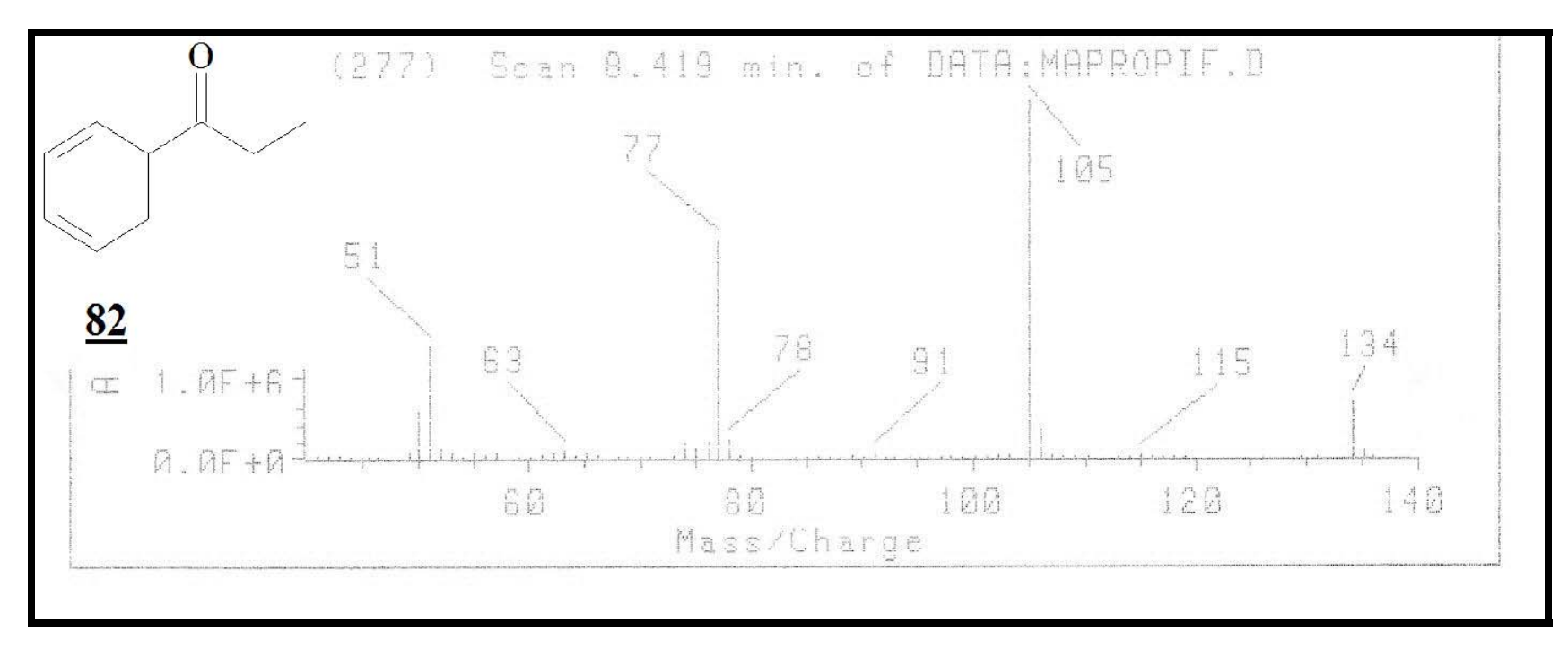
Espectro 2: Espectro de infravermelho do composto <u>81</u>.



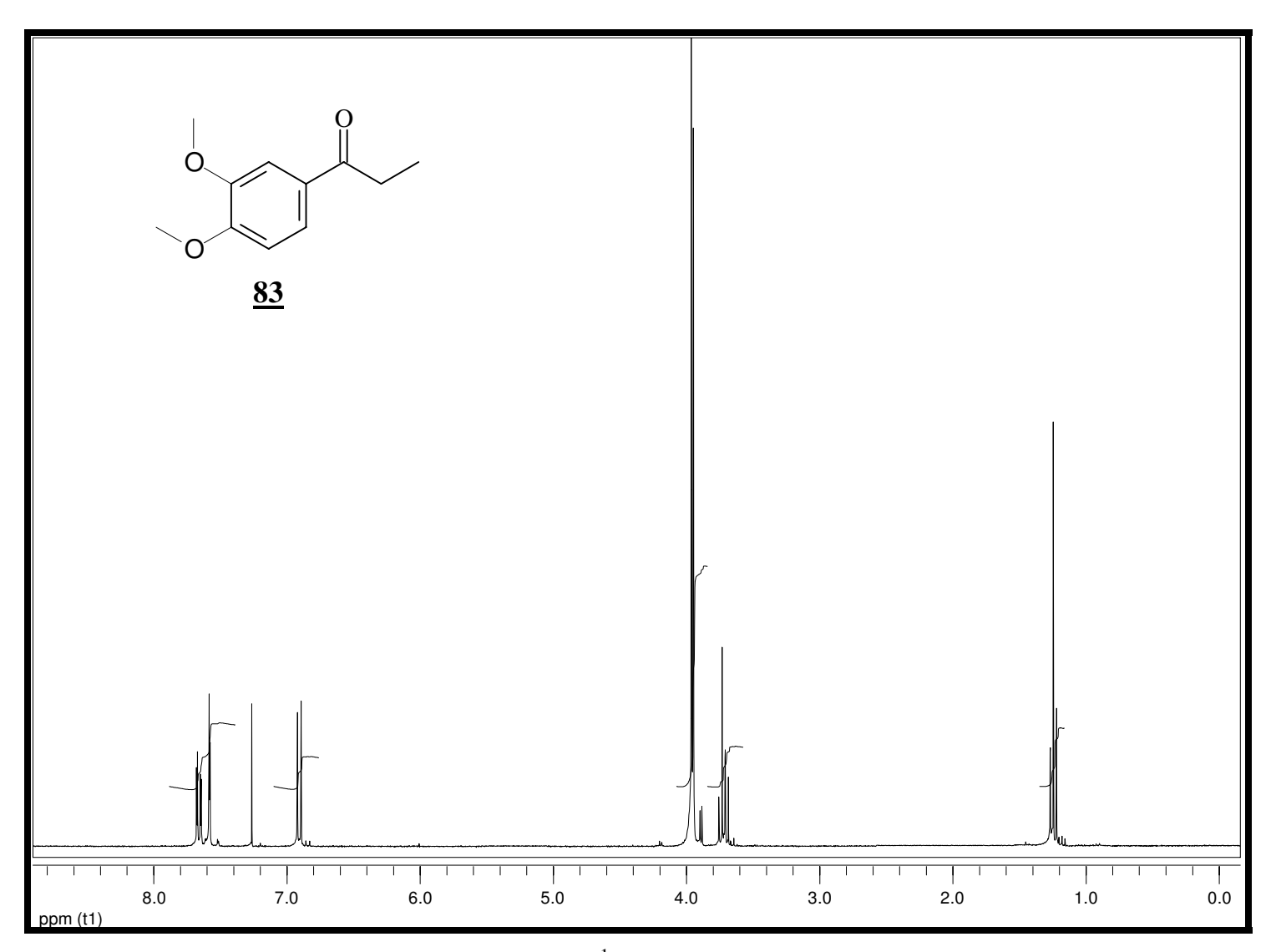
Espectro 3: Espectro de massas (EM) do composto <u>81</u>.



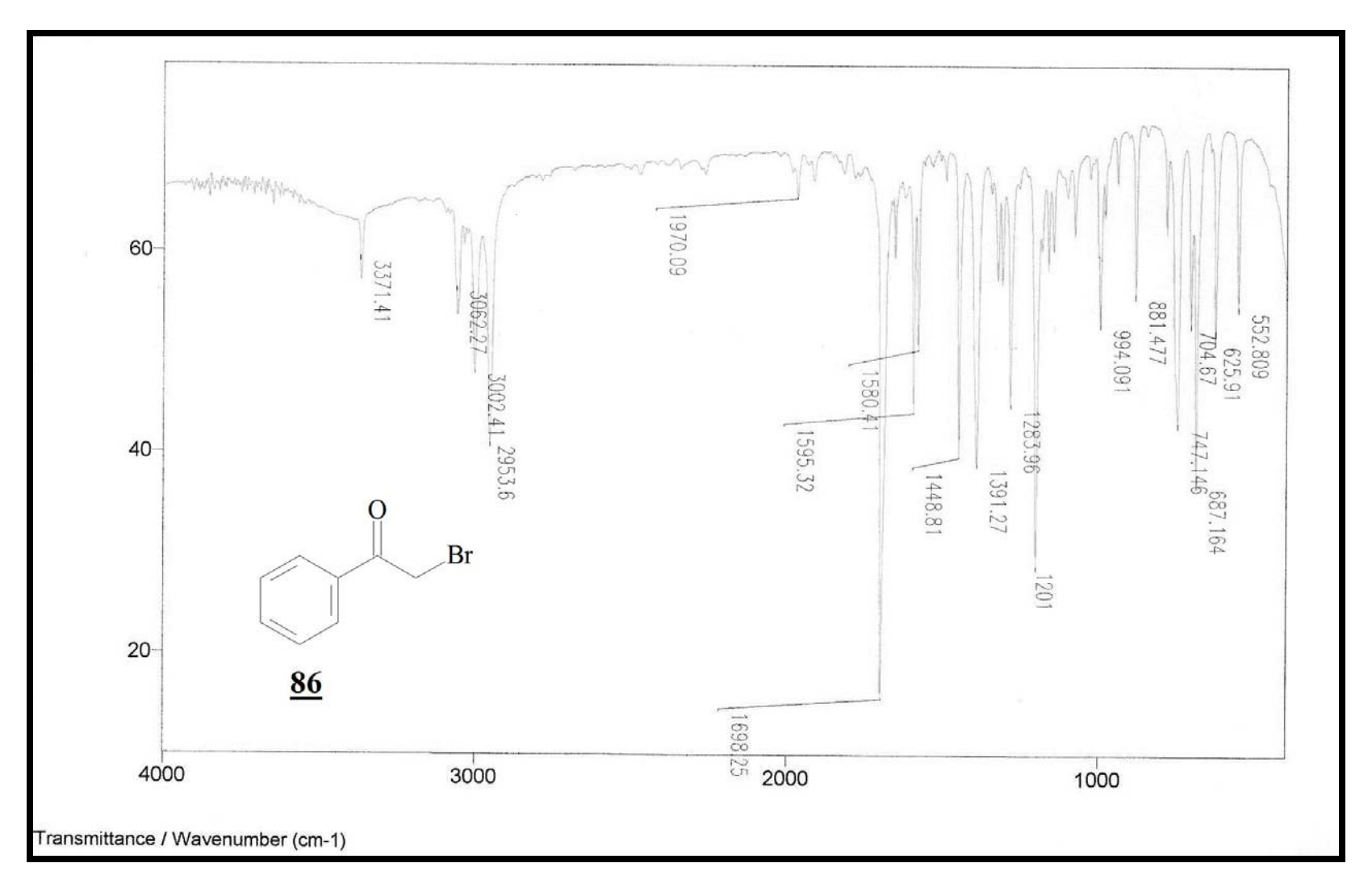
Espectro 4: Espectro de RMN de ¹H (300 Mz, CDCl₃, t.a.) do composto <u>82</u>.



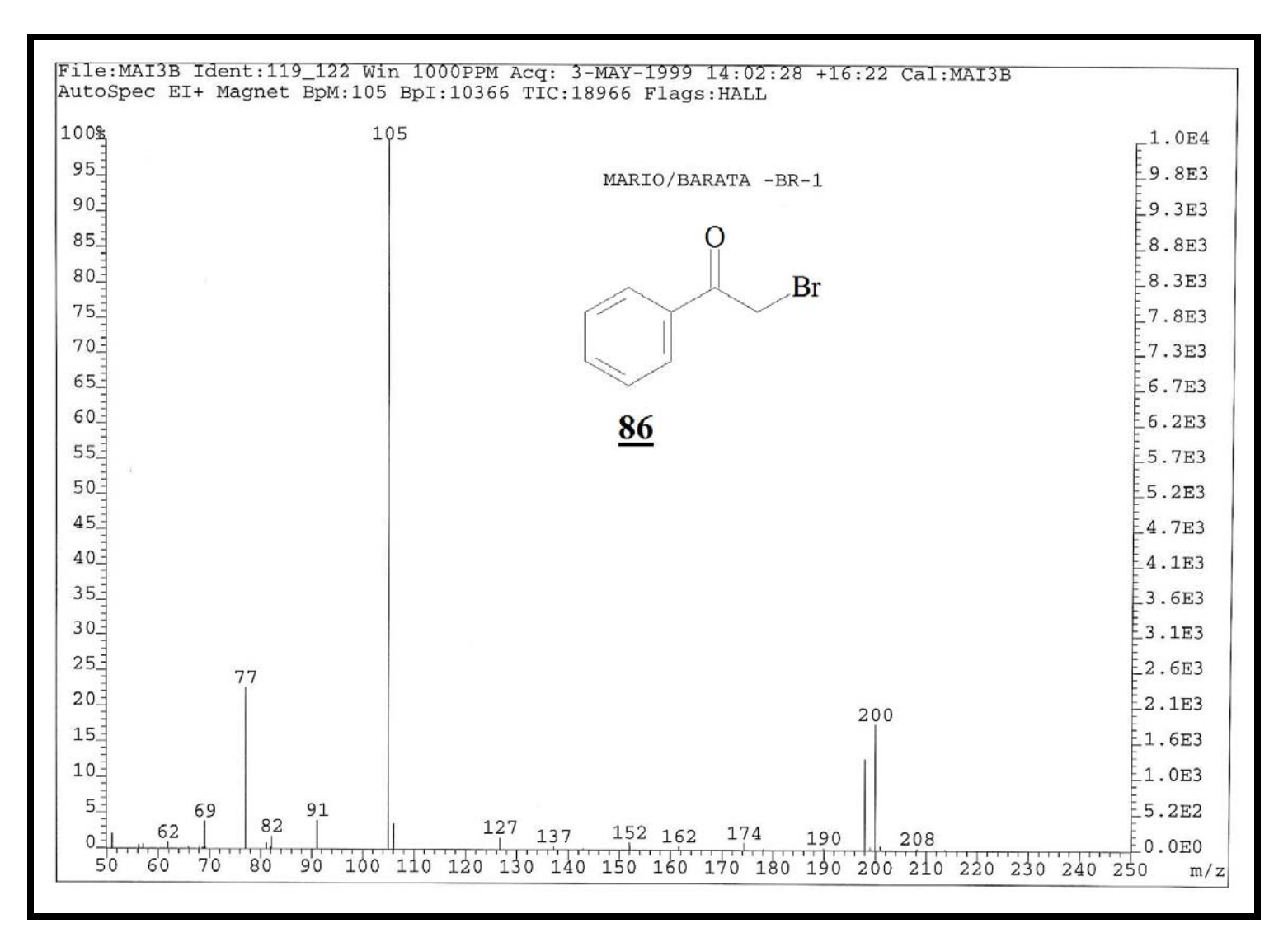
Espectro 5: Espectro de massas de (EM) do composto 82.



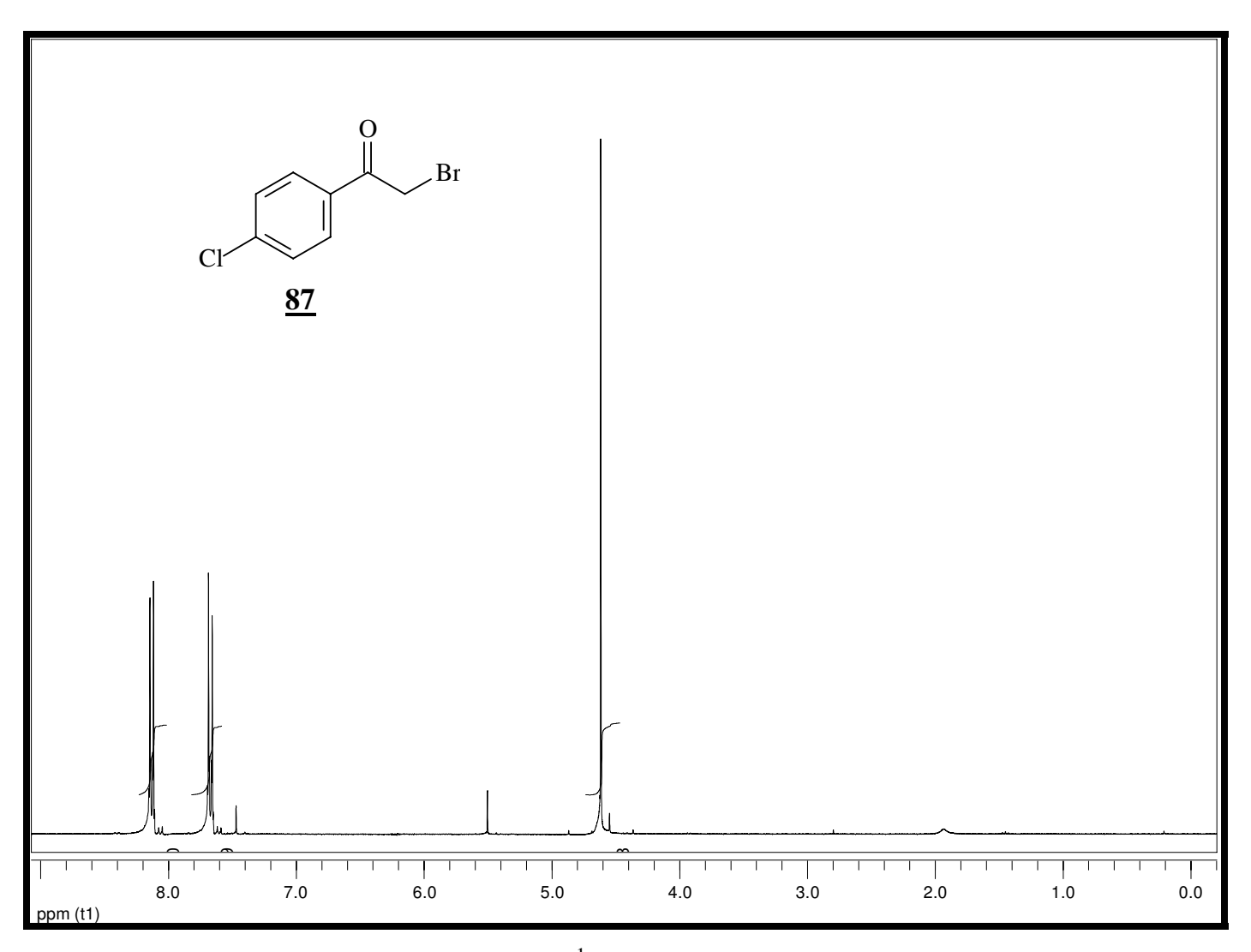
Espectro 6: Espectro de RMN de ¹H (300 Mz, CDCl₃, t.a.) do composto <u>83</u>.



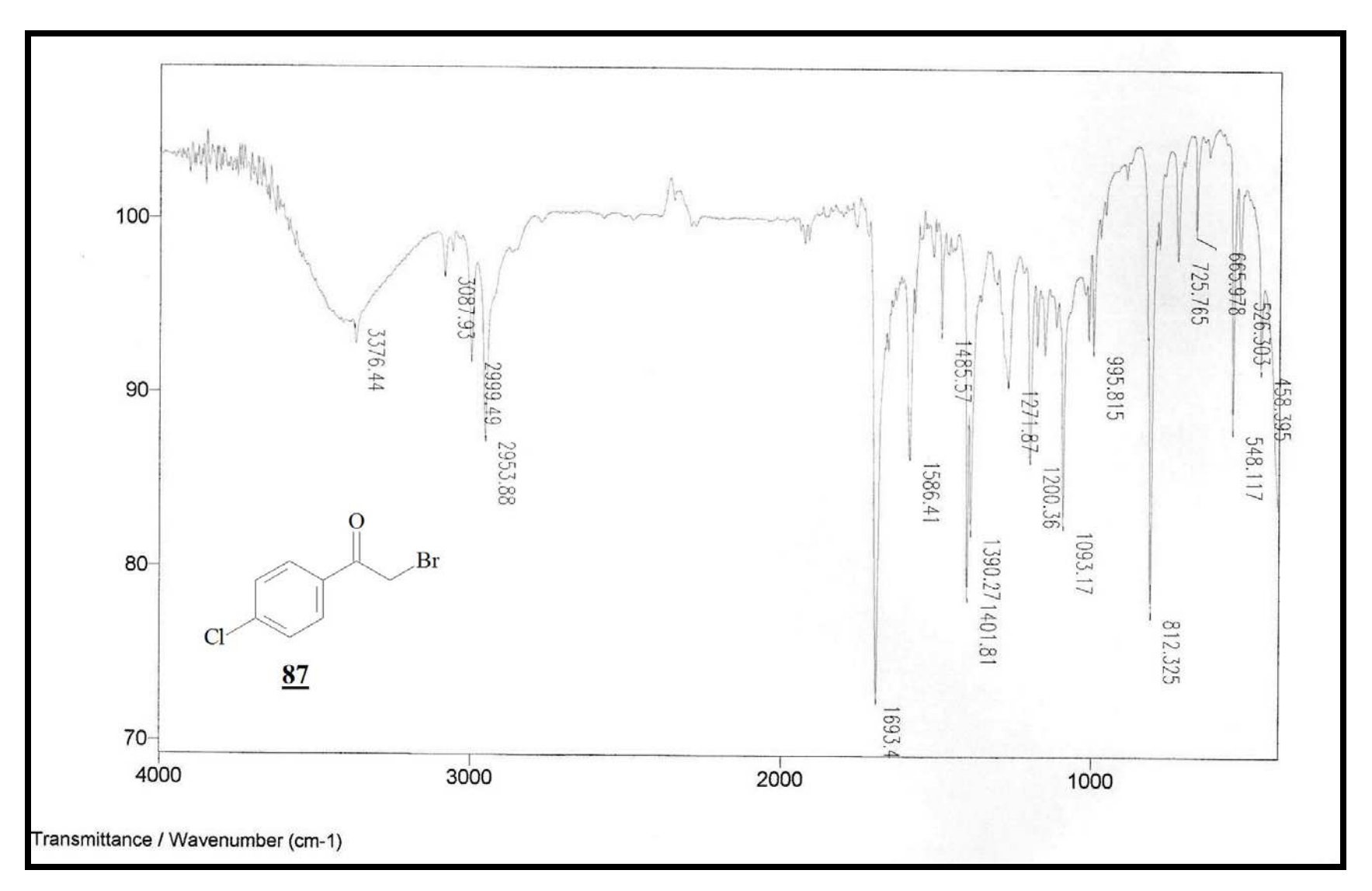
Espectro 7: Espectro de infravermelho do composto <u>86</u>.



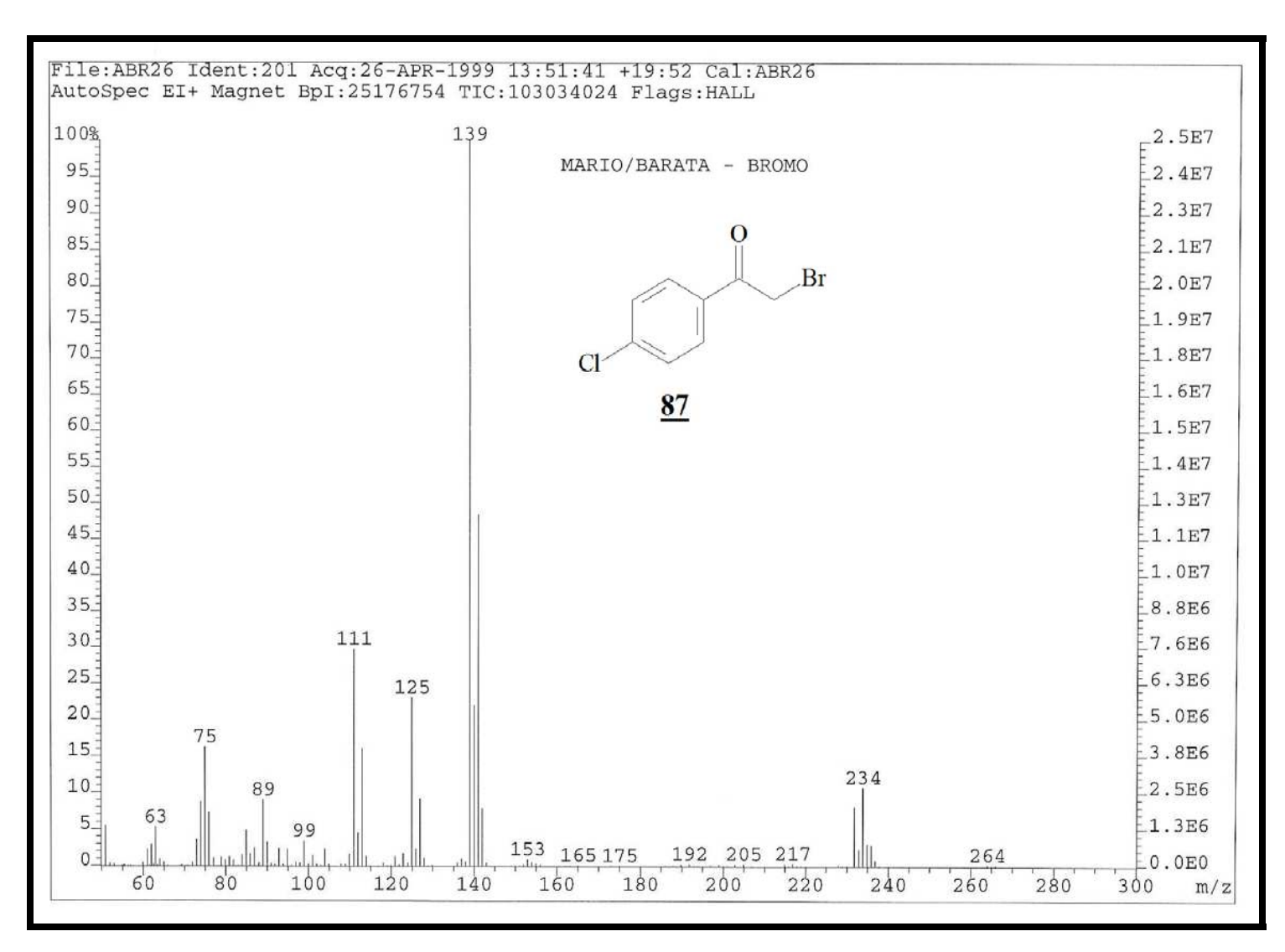
Espectro 8: Espectro de massas (EM) do composto 86.



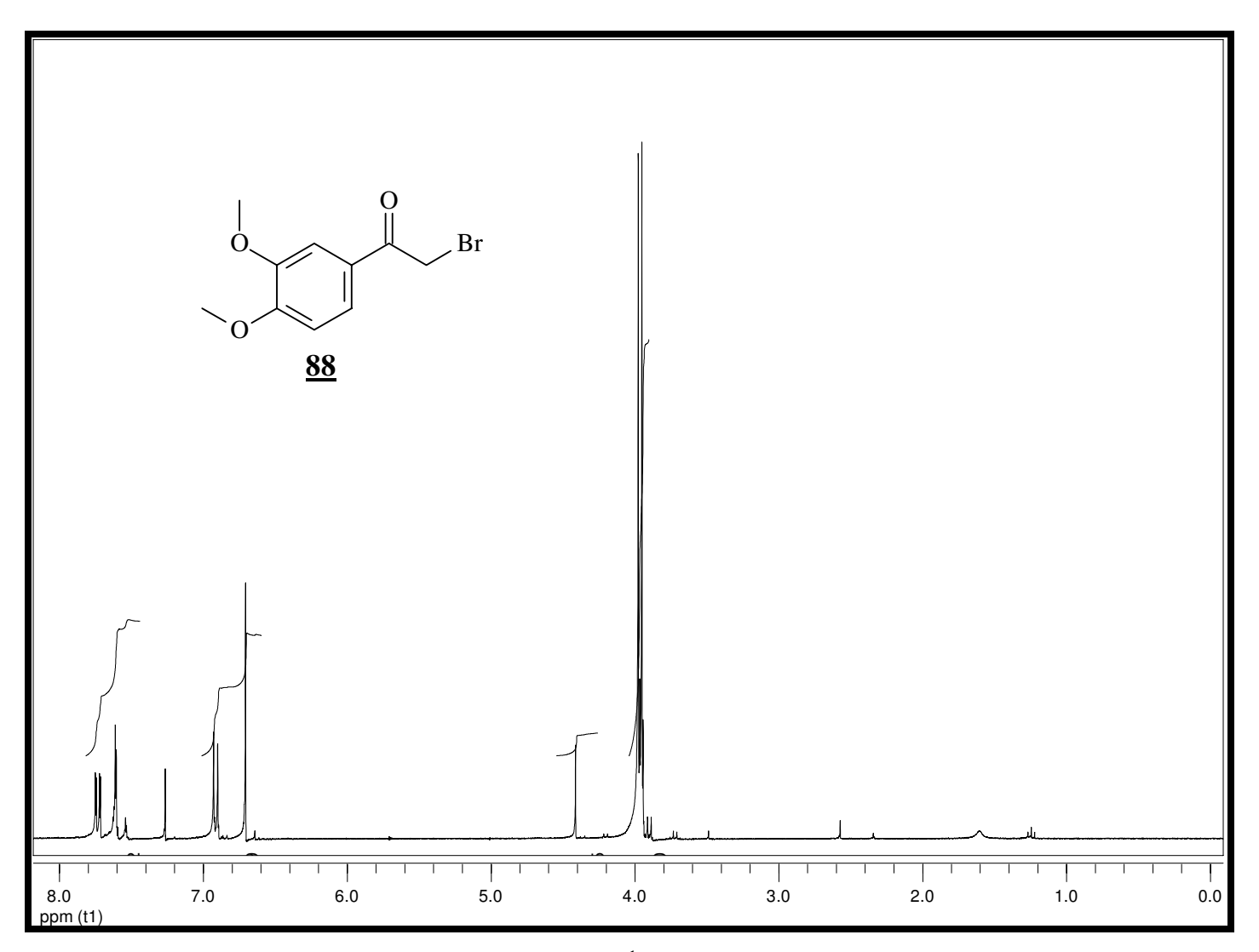
Espectro 9: espectro de RMN de ¹H (300 Mz, CDCl₃, t.a.) do composto <u>87</u>.



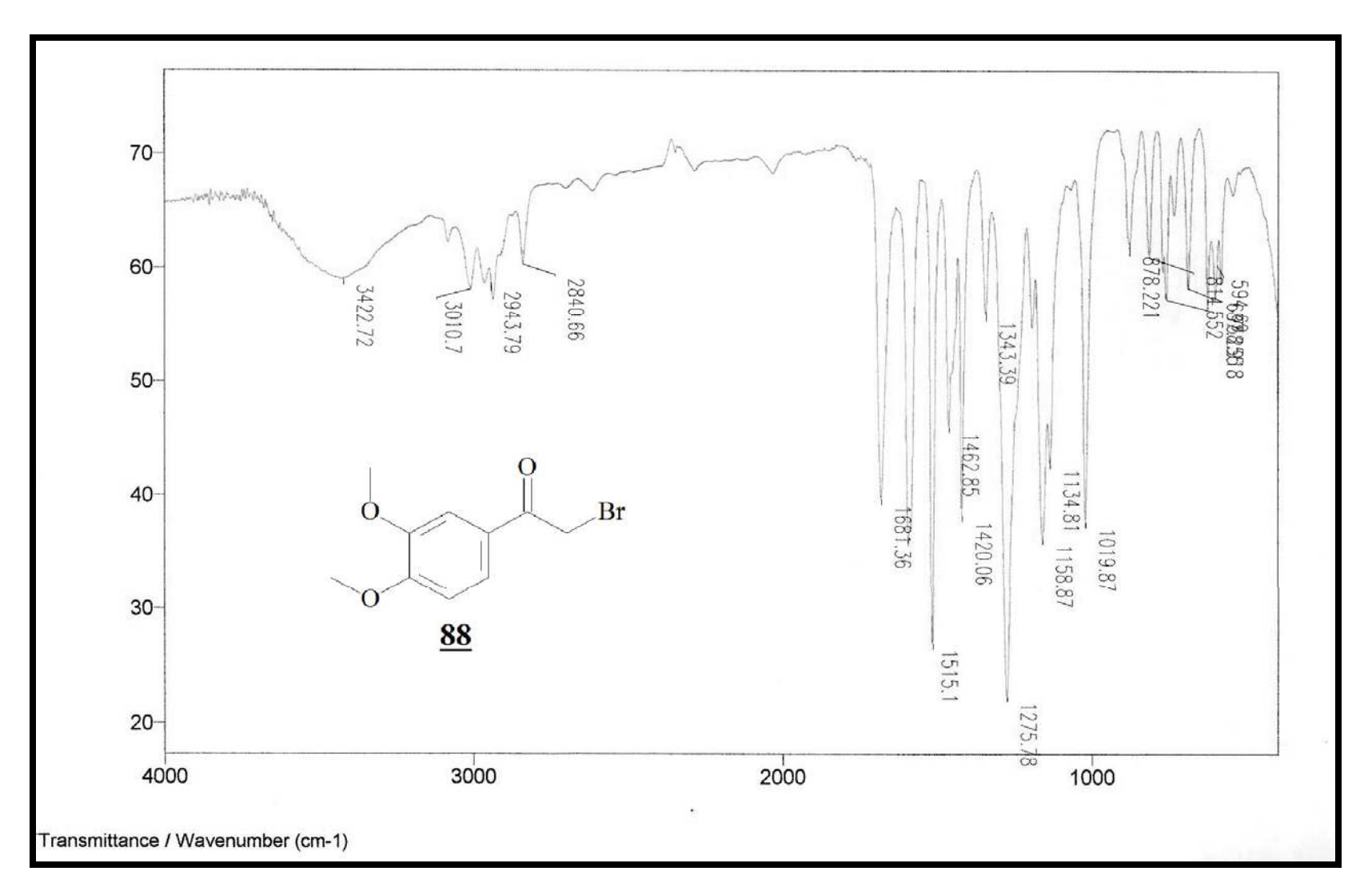
Espectro 10: Espectro de infravermelho do composto <u>87</u>.



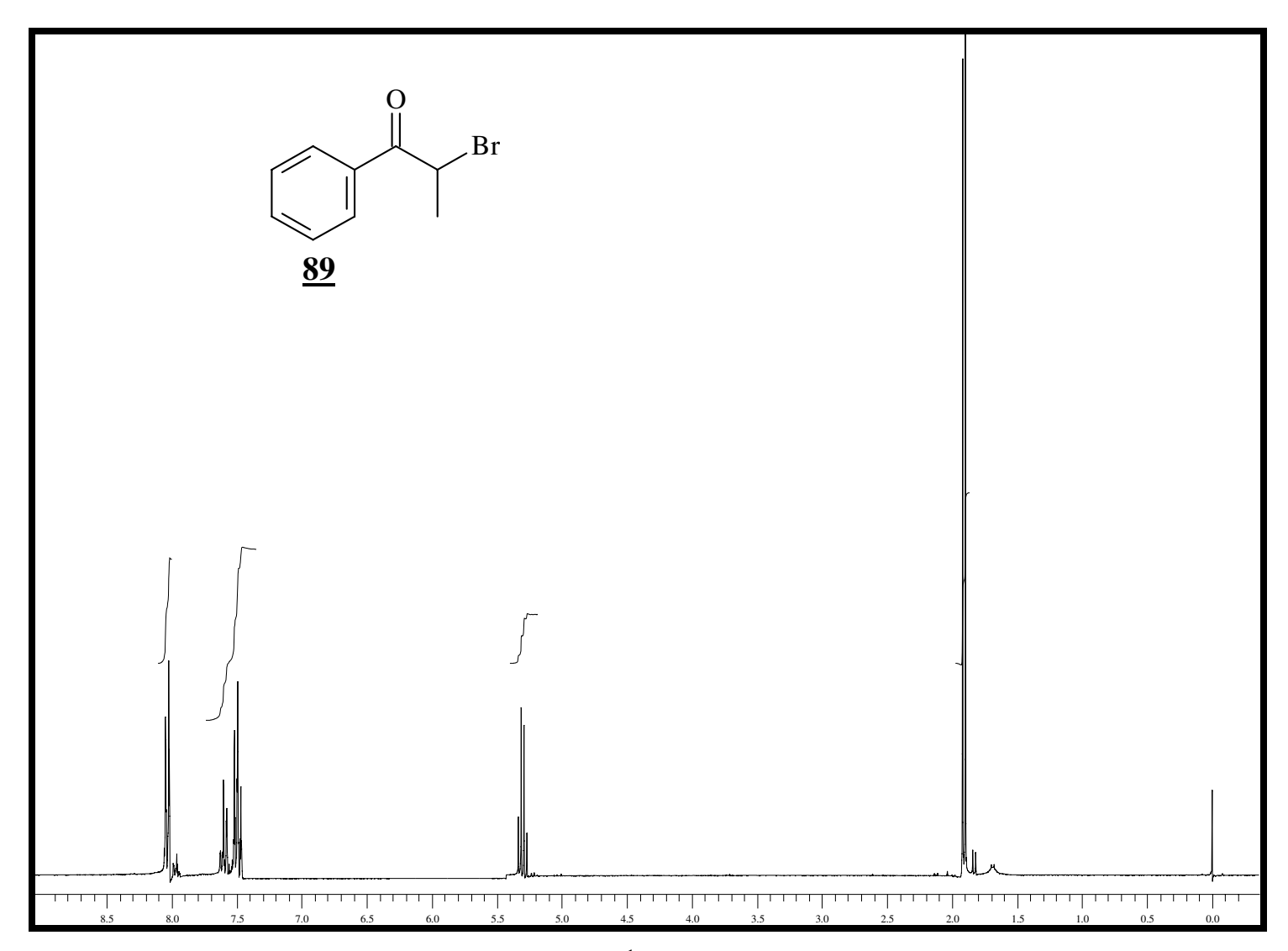
Espectro 11: Espectro de massas (EM) do composto 87.



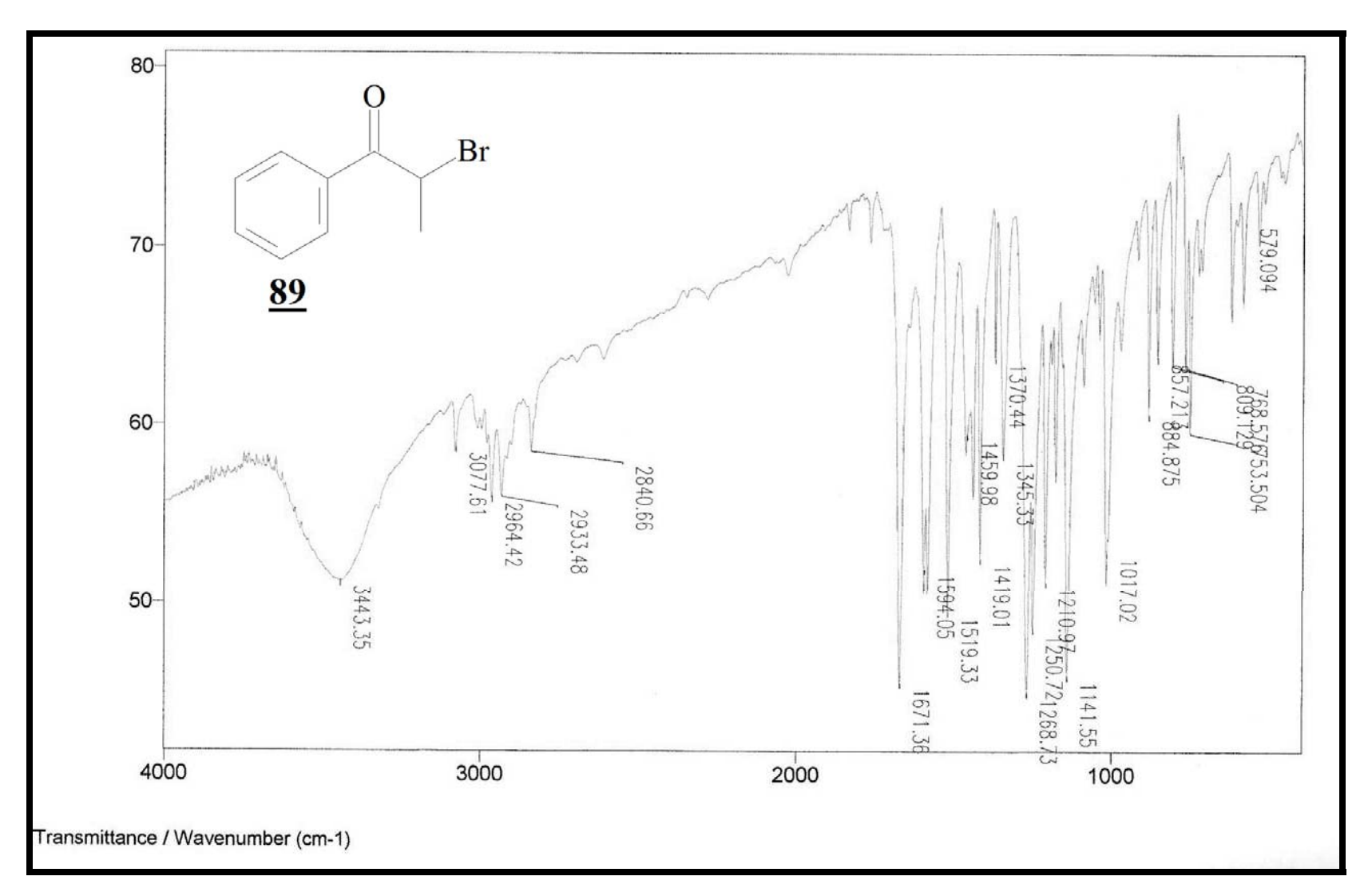
Espectro 12: espectro de RMN de ¹H (300 Mz, CDCl₃, t.a.) do composto <u>88</u>.



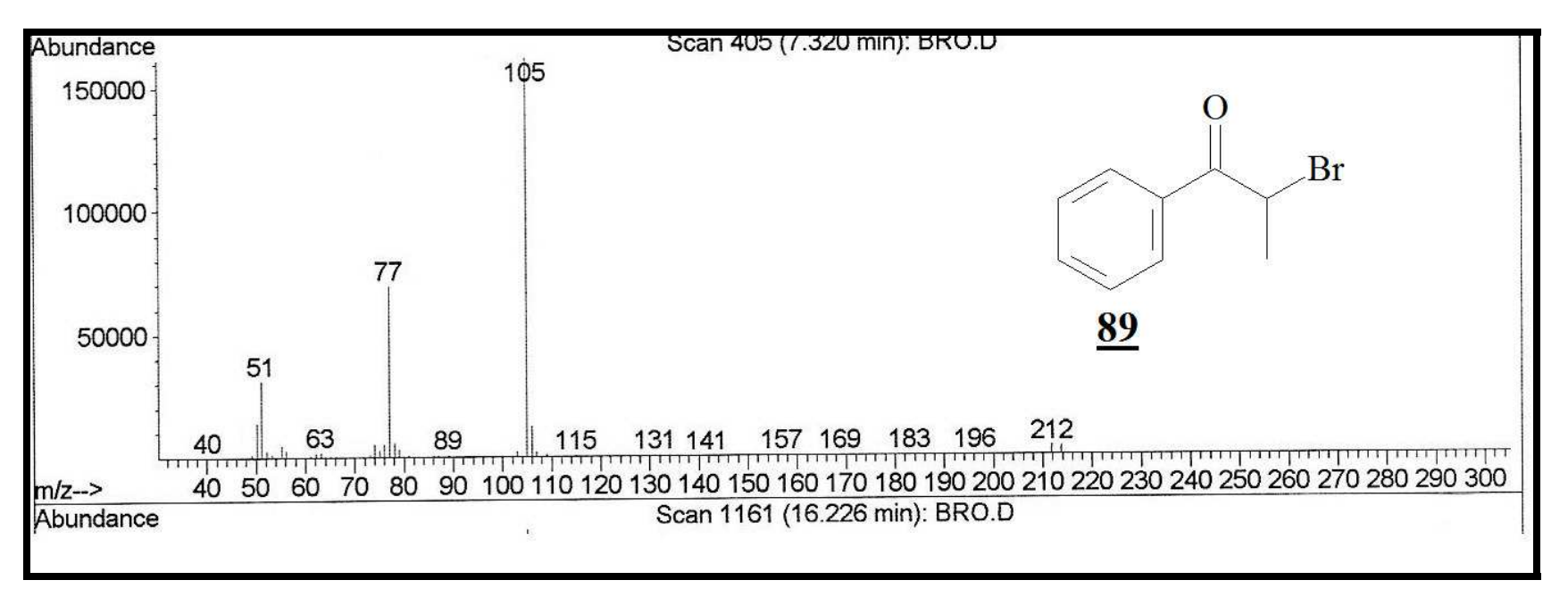
Espectro 13: Espectro de infravermelho do composto 88.



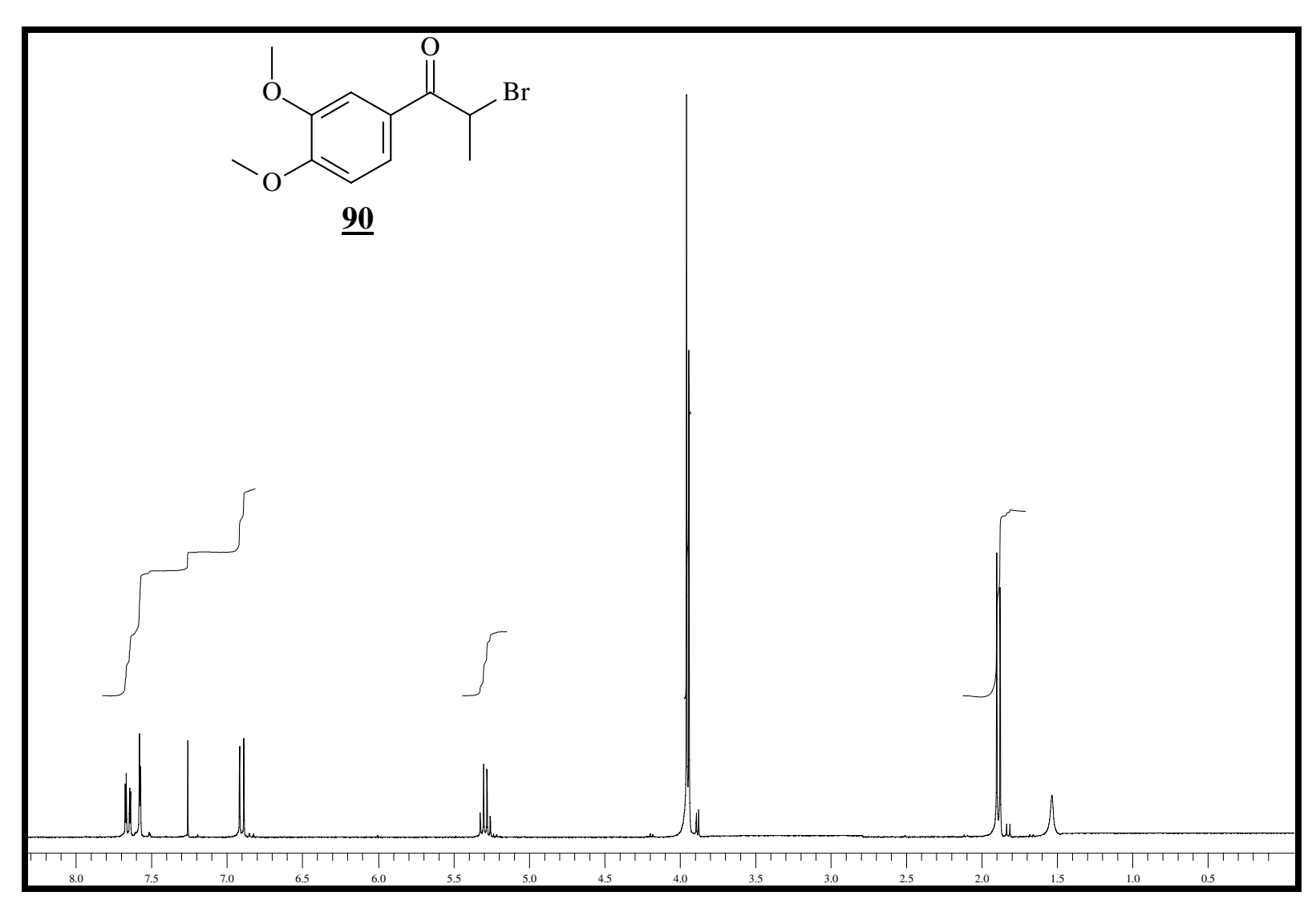
Espectro 14: espectro de RMN de ¹H (300 Mz, CDCl₃, t.a.) do composto <u>89</u>.



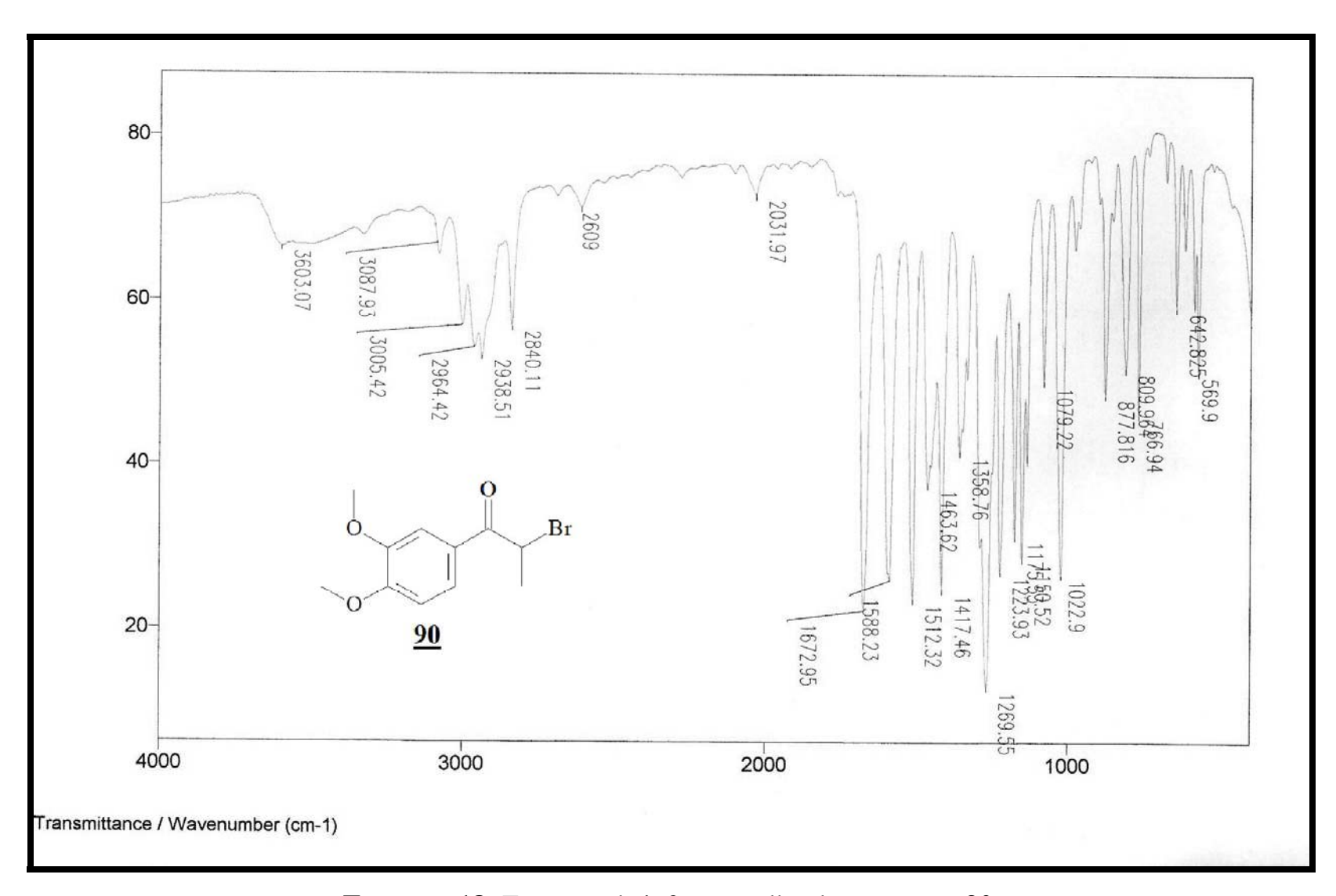
Espectro 15: Espectro de infravermelho do composto 89.



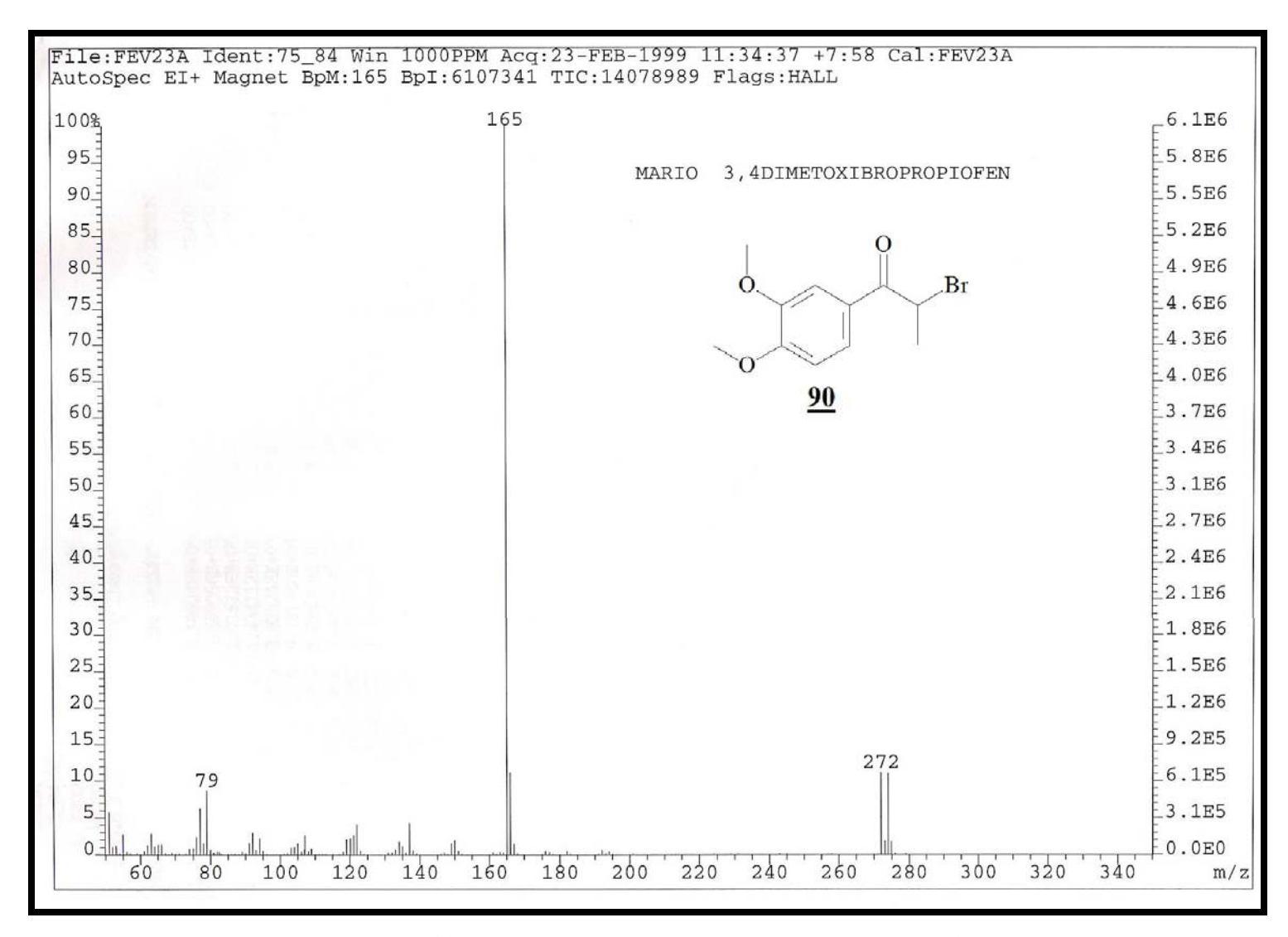
Espectro 16: Espectro de massas (EM) do composto <u>89</u>.



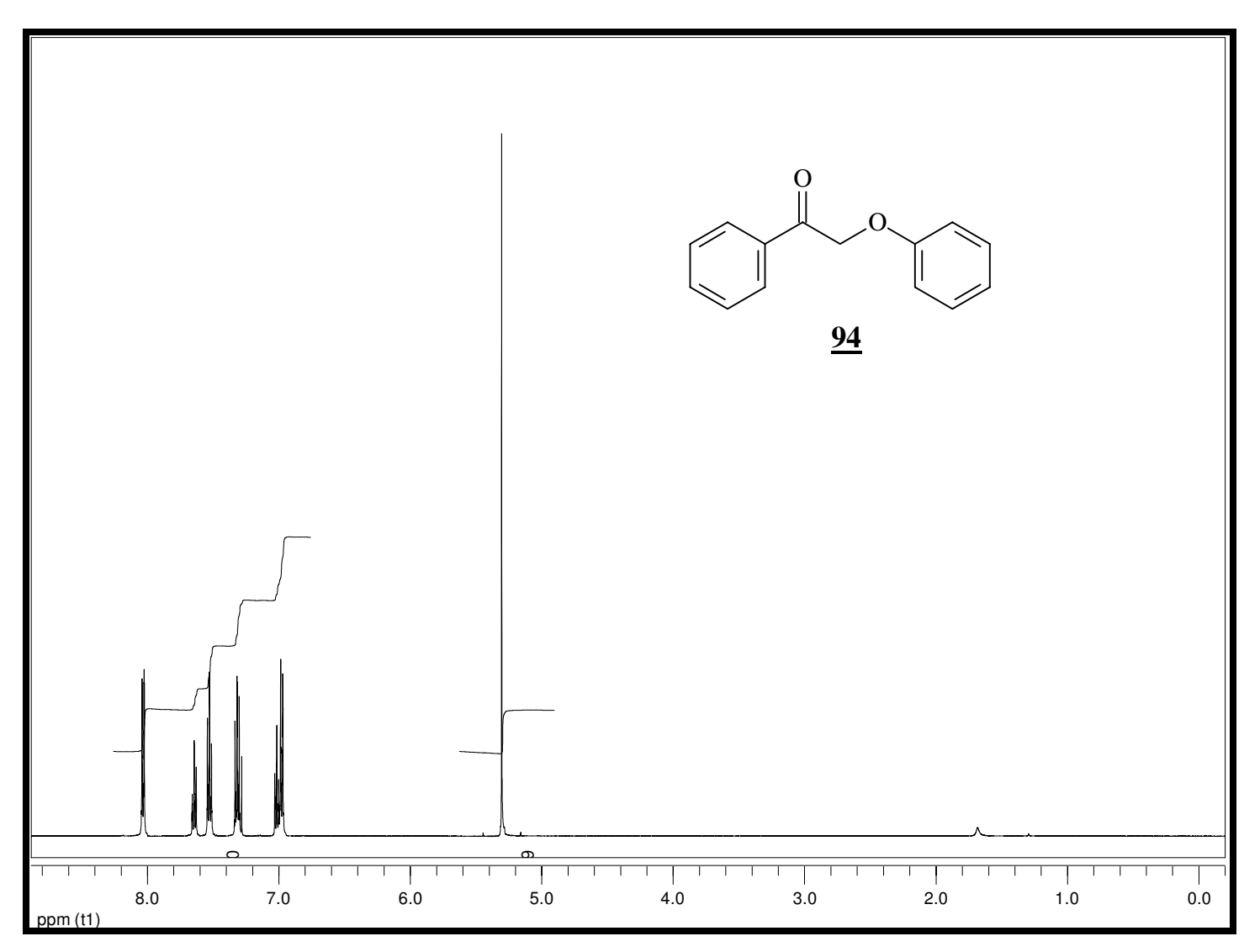
Espectro 17: espectro de RMN de ¹H (300 Mz, CDCl₃, t.a.) do composto <u>90</u>.



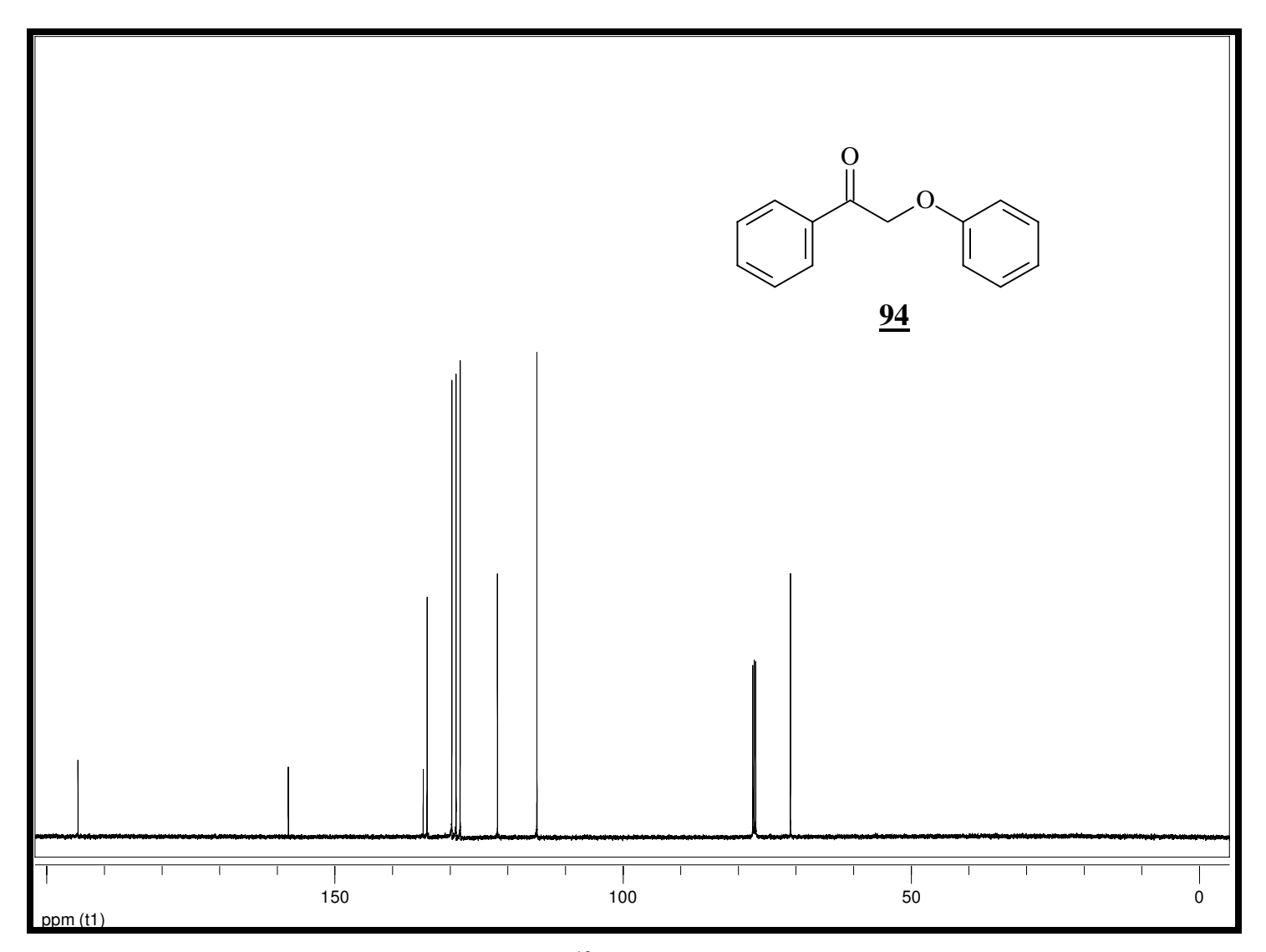
Espectro 18: Espectro de infravermelho do composto 90.



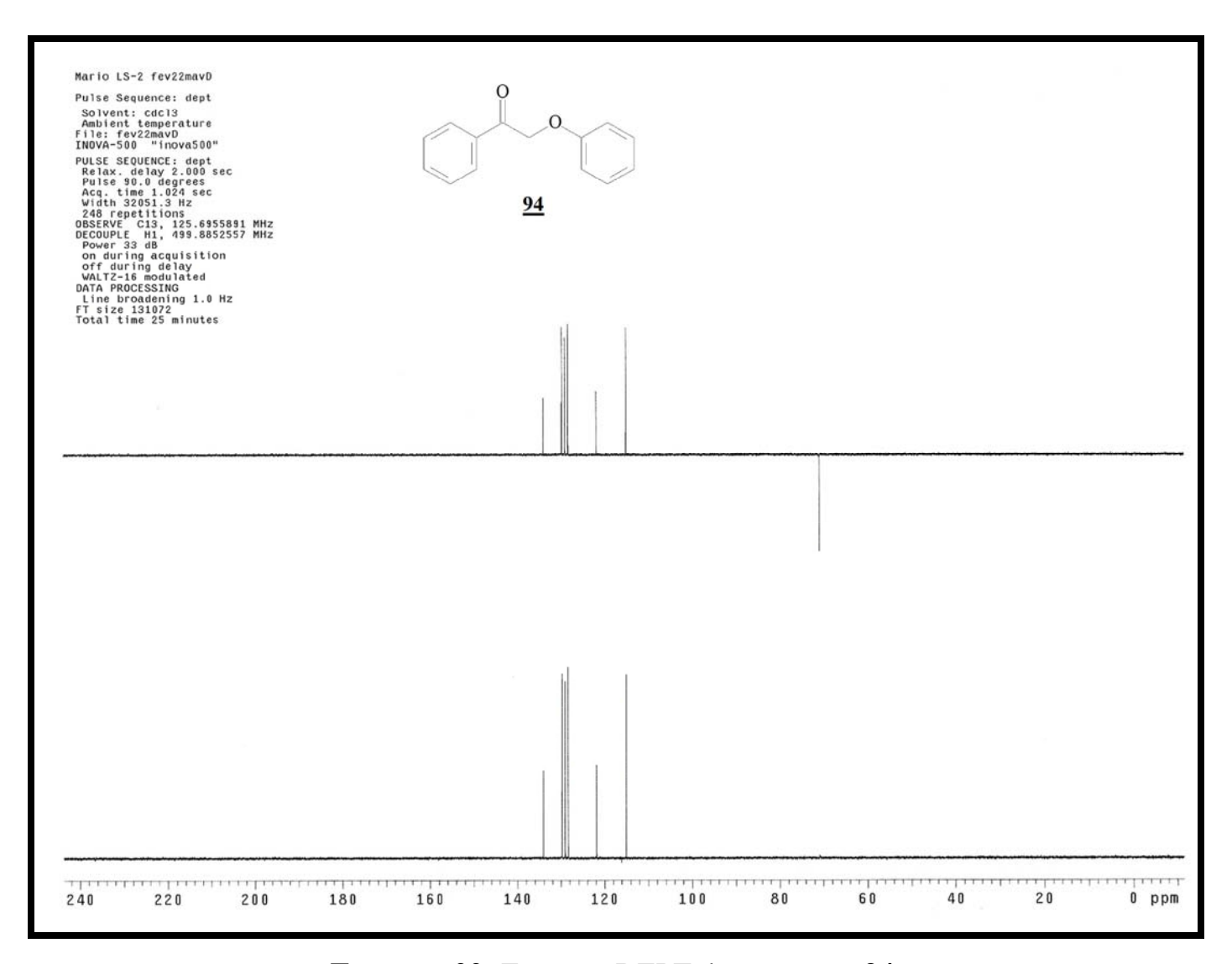
Espectro 19: Espectro de massas (EM) do composto 90.



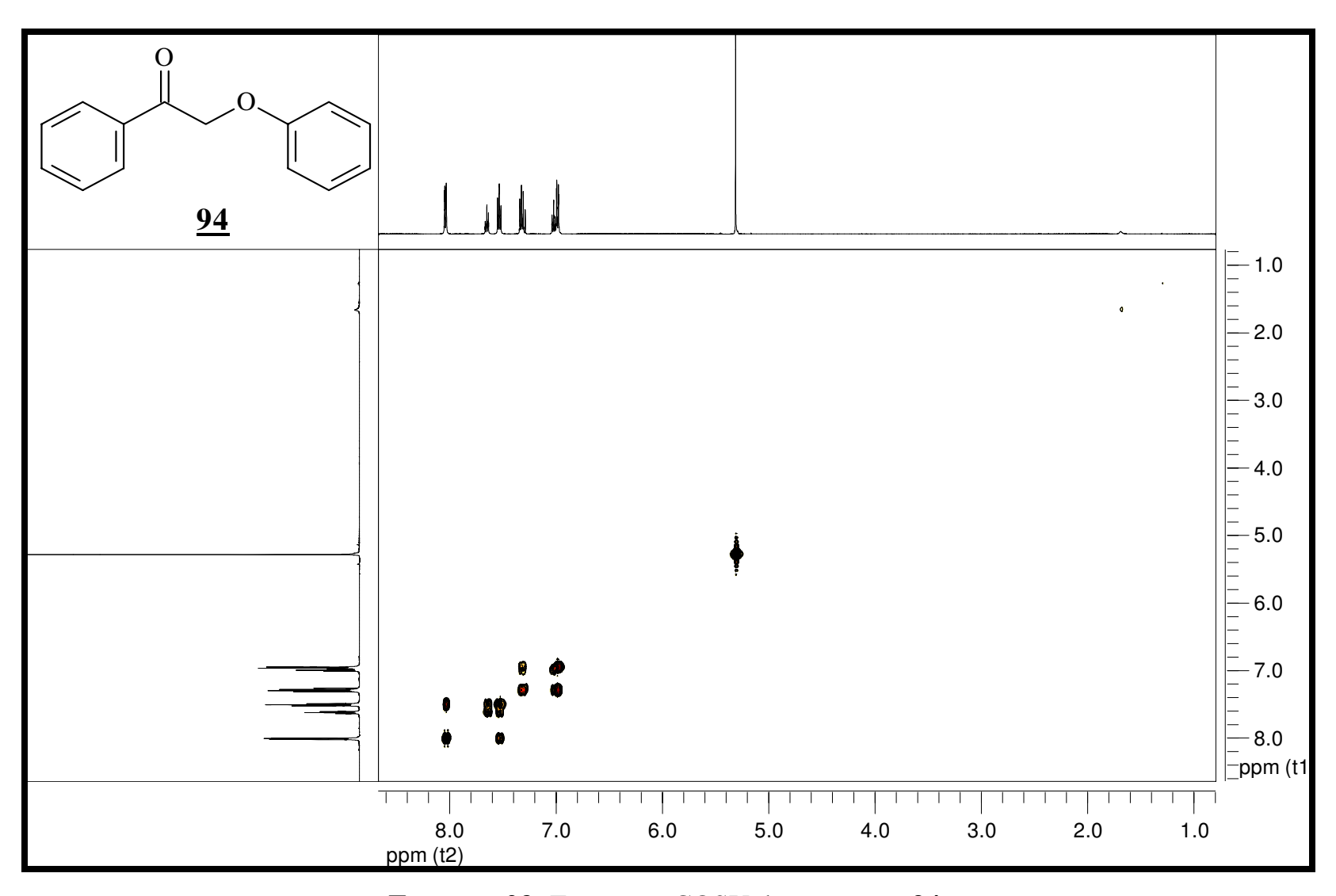
Espectro 20: espectro de RMN de ¹H (500 Mz, CDCl₃, t.a.) do composto <u>94</u>.



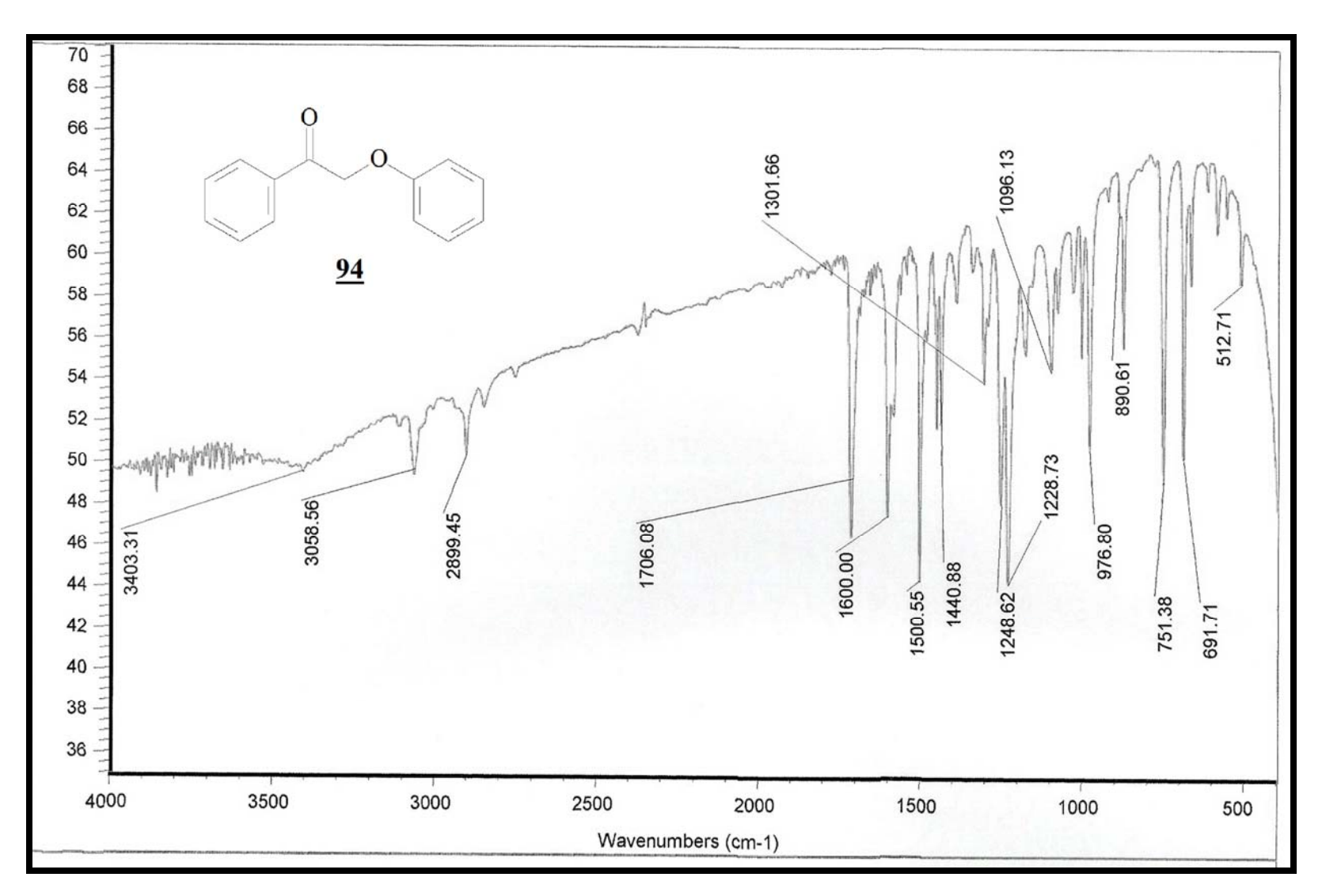
Espectro 21: espectro de RMN de ¹³C (125 Mz, CDCl₃, t.a.) do composto <u>94</u>.



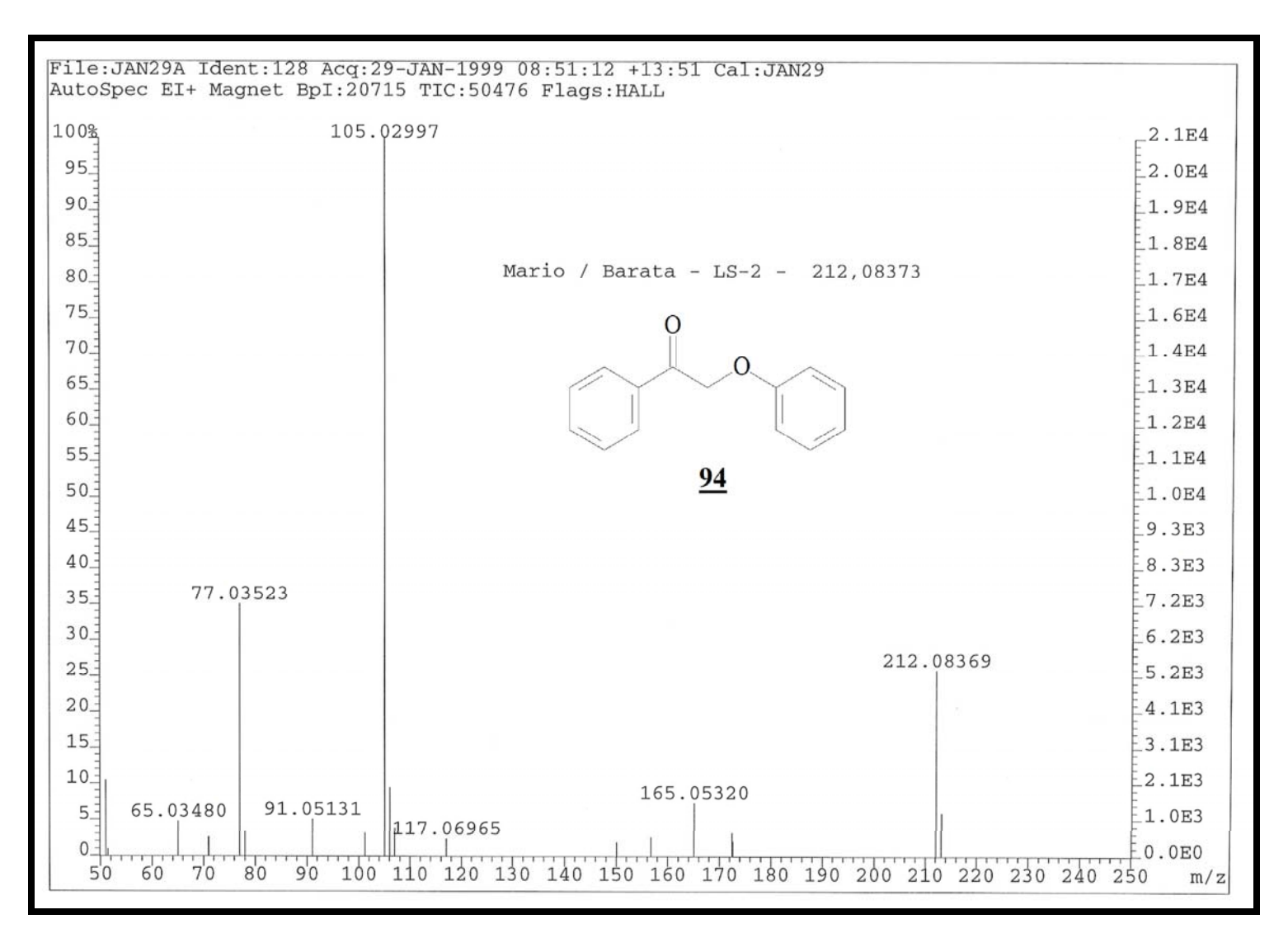
Espectro 22: Espectro DEPT do composto <u>94</u>.



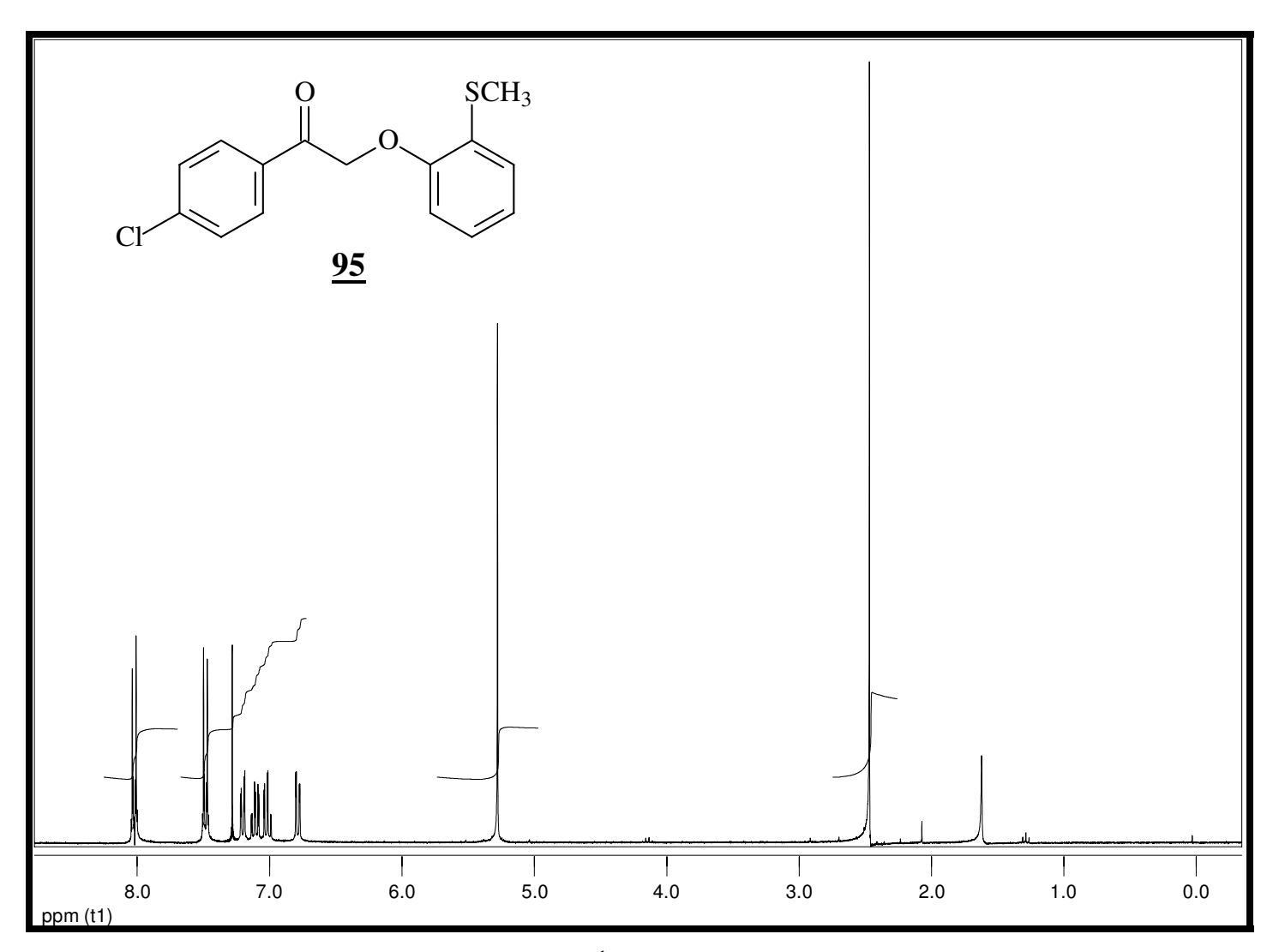
Espectro 23: Espectro gCOSY do composto <u>94</u>.



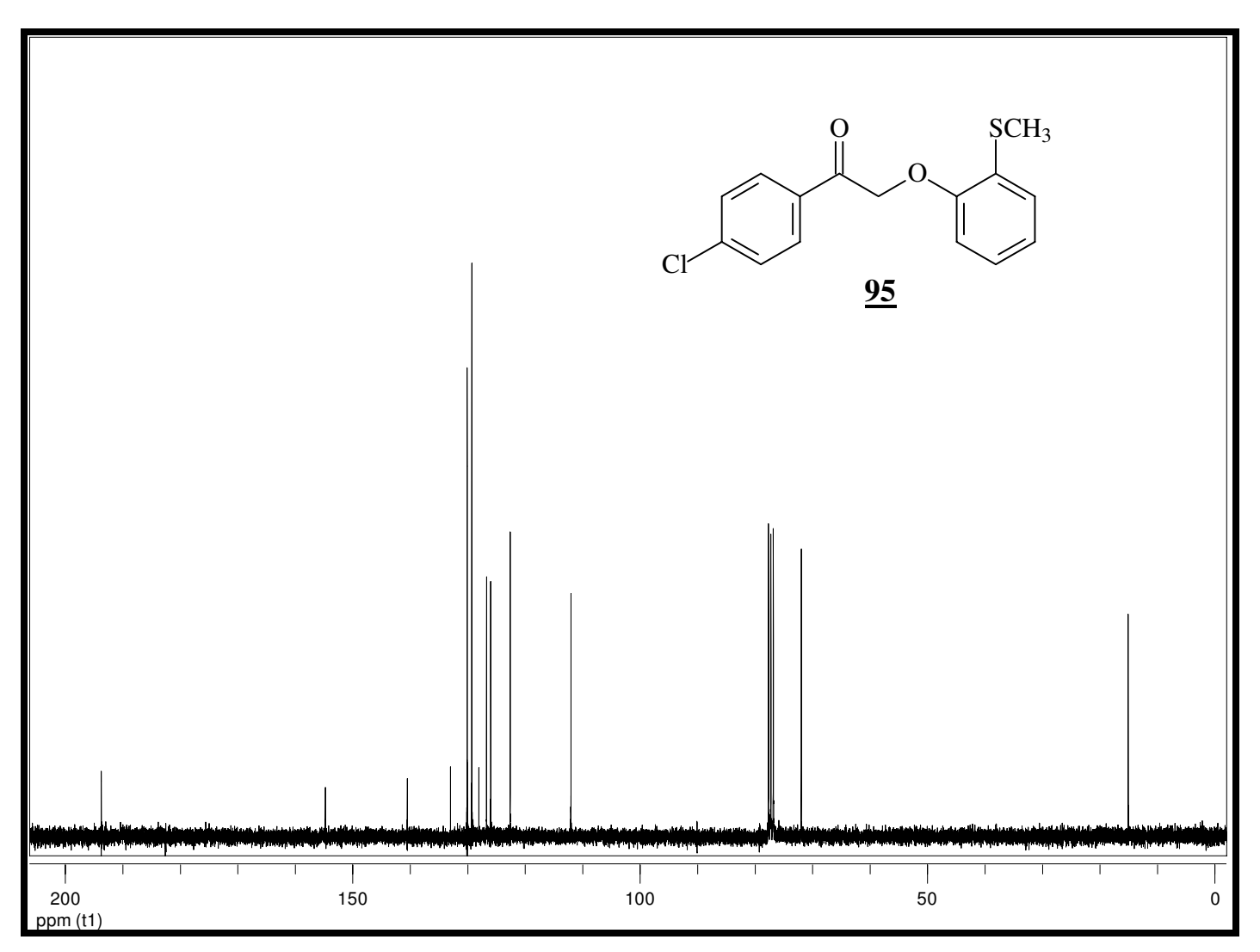
Espectro 24: Espectro de infravermelho do composto <u>94</u>.



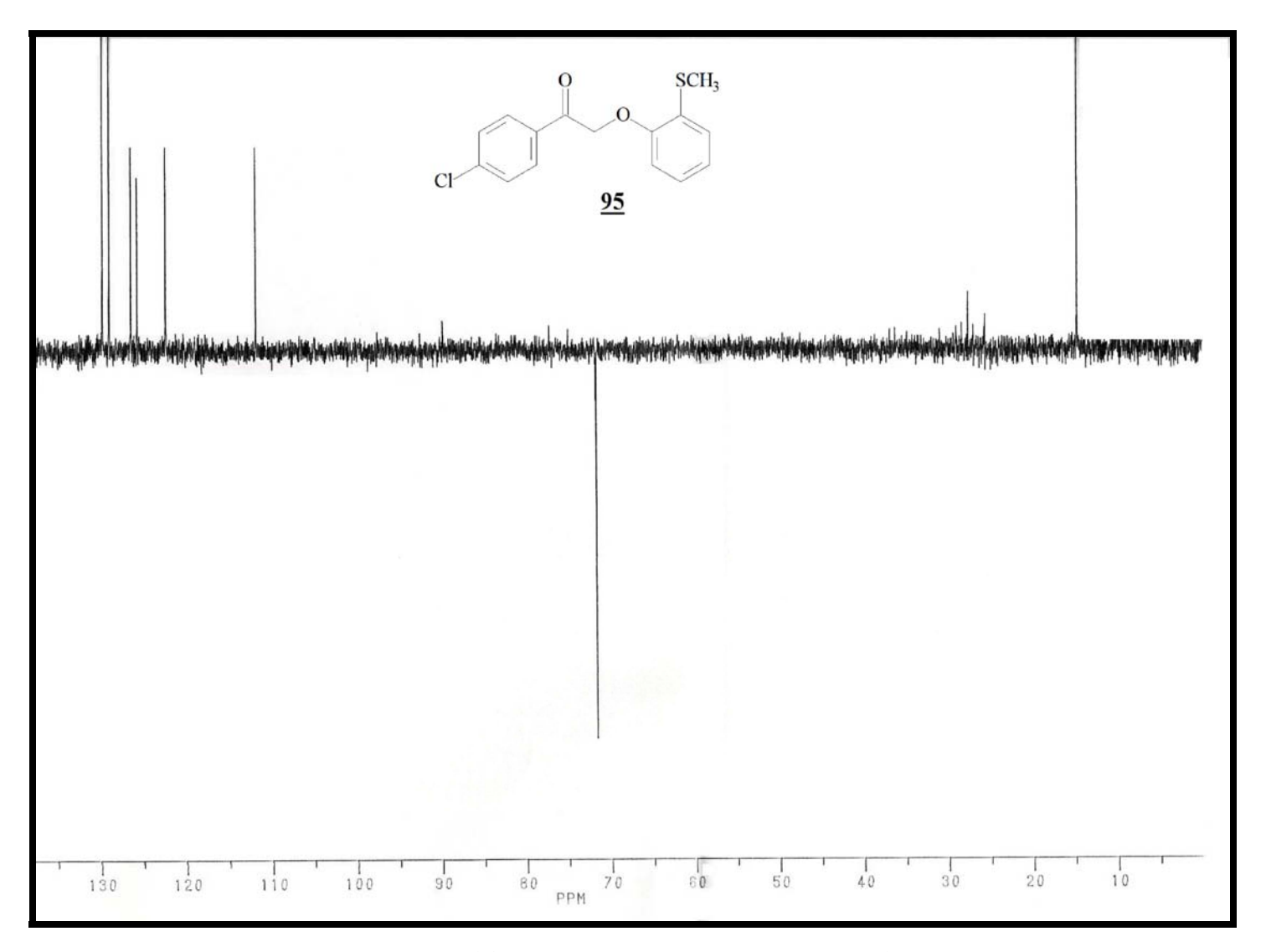
Espectro 25: Espectro de massas (EMAR) do composto <u>94</u>.



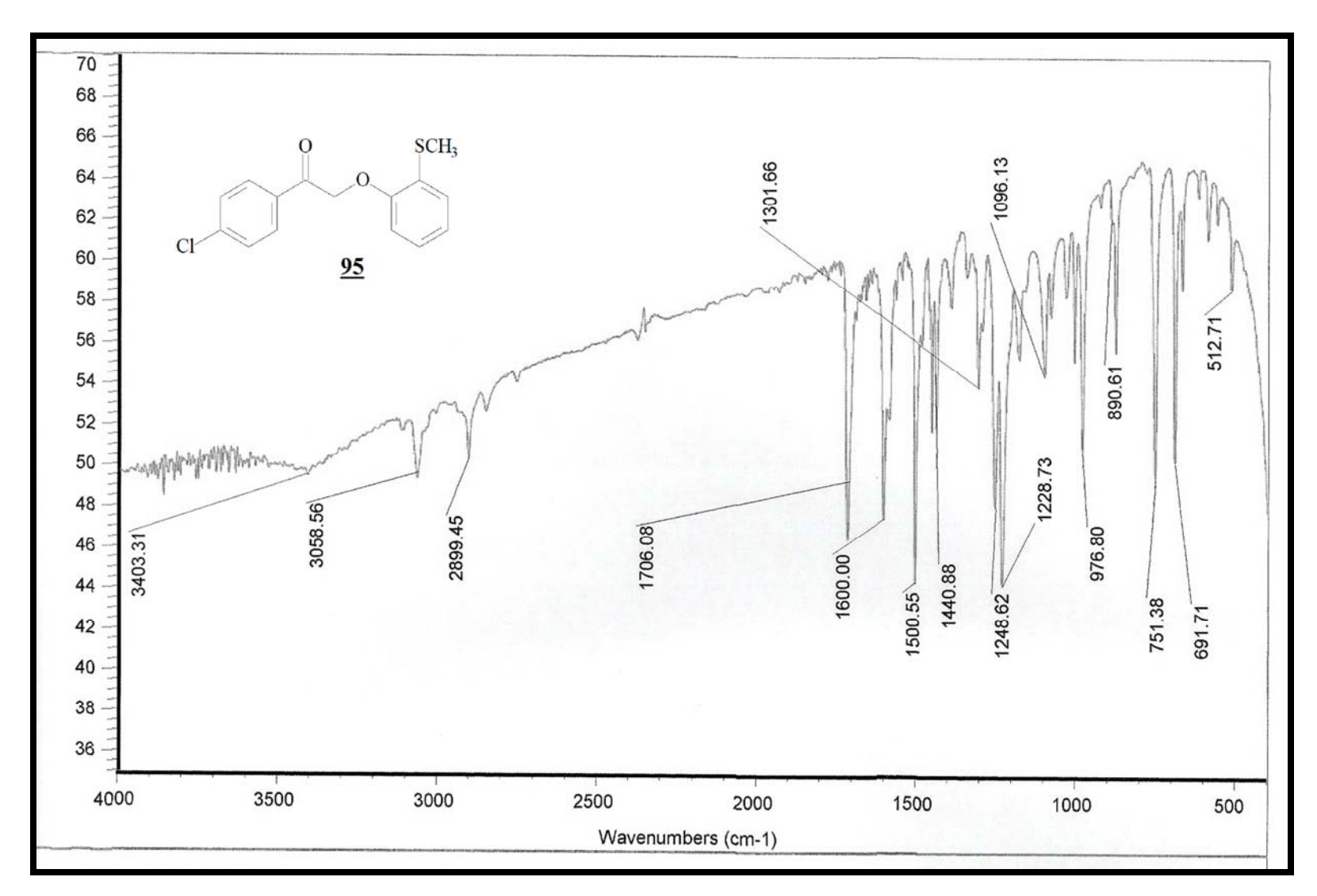
Espectro 26: espectro de RMN de ¹H (300 Mz, CDCl₃, t.a.) do composto <u>95</u>.



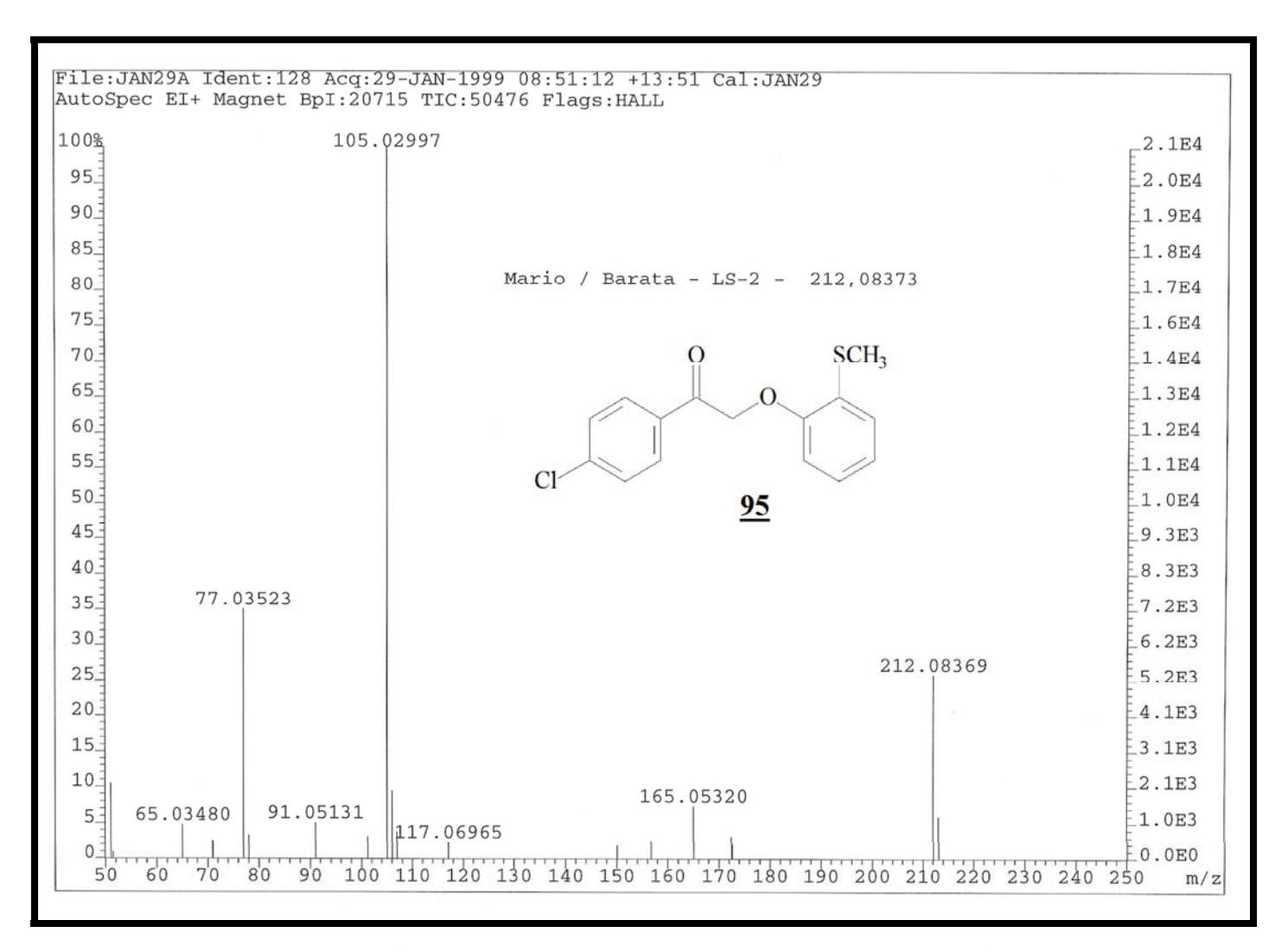
Espectro 27: espectro de RMN de ¹³C (75 Mz, CDCl₃, t.a.) do composto <u>95</u>.



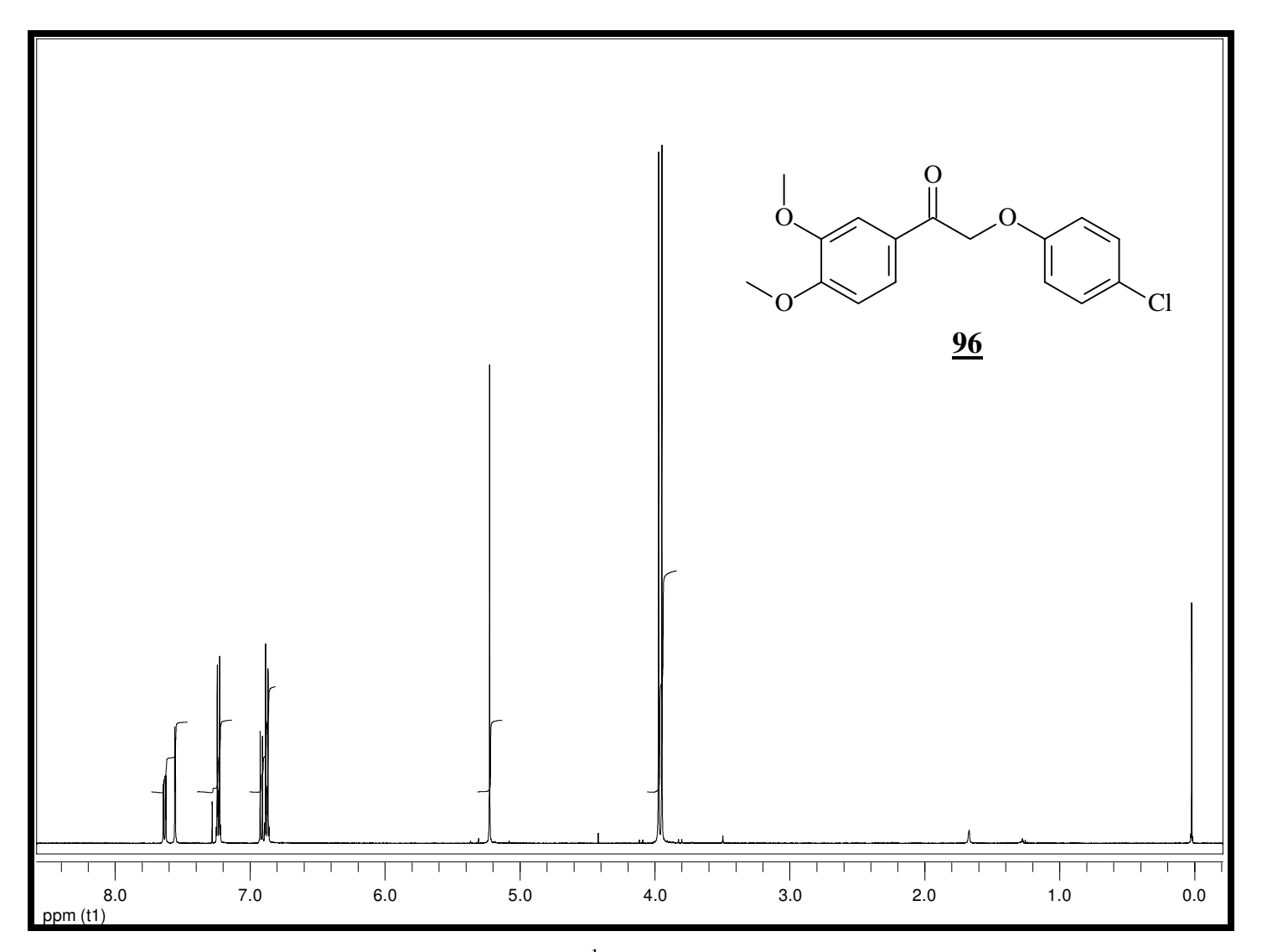
Espectro 28: Espectro DEPT do composto <u>95</u>.



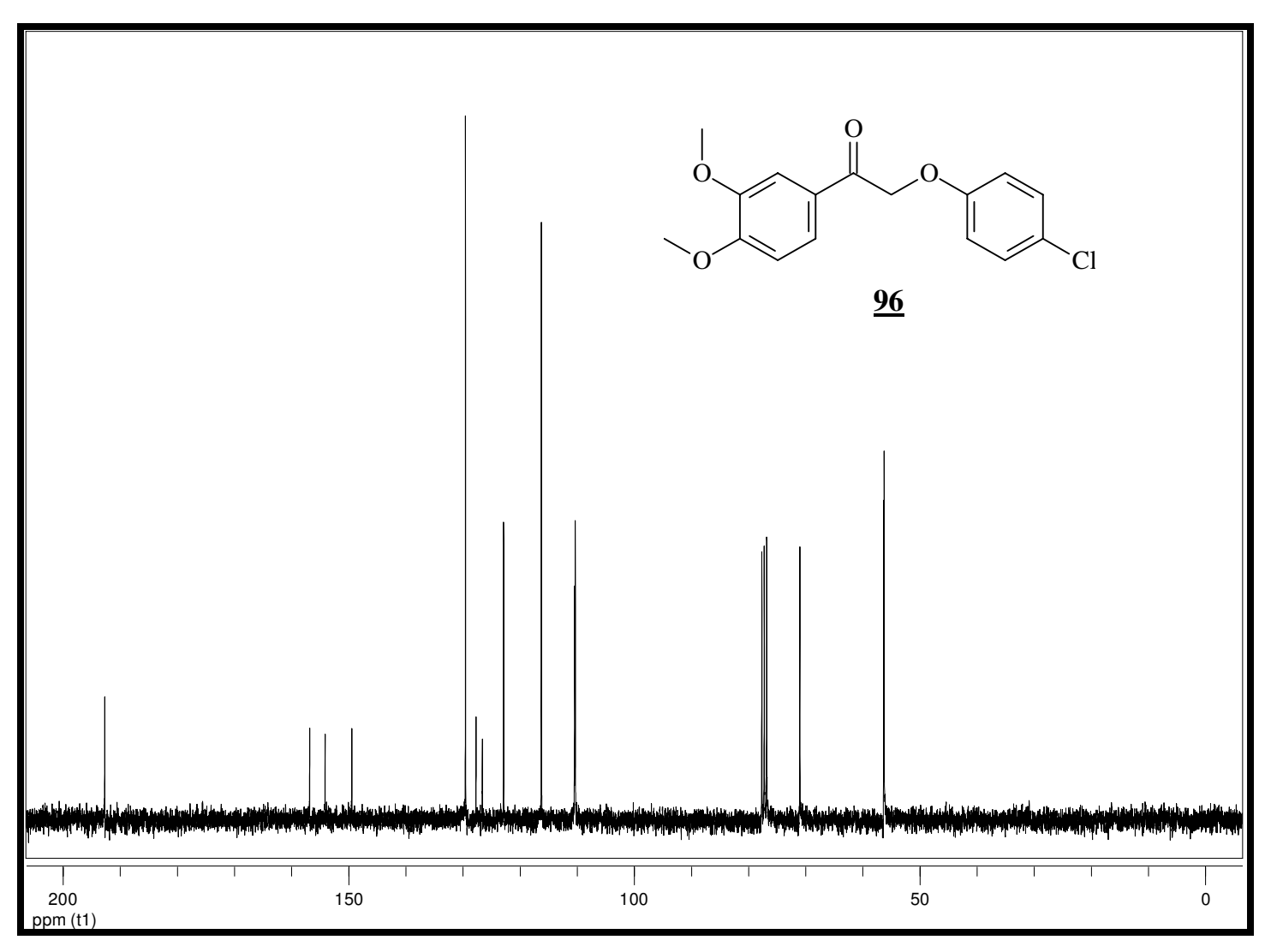
Espectro 29: Espectro de infravermelho do composto <u>95</u>.



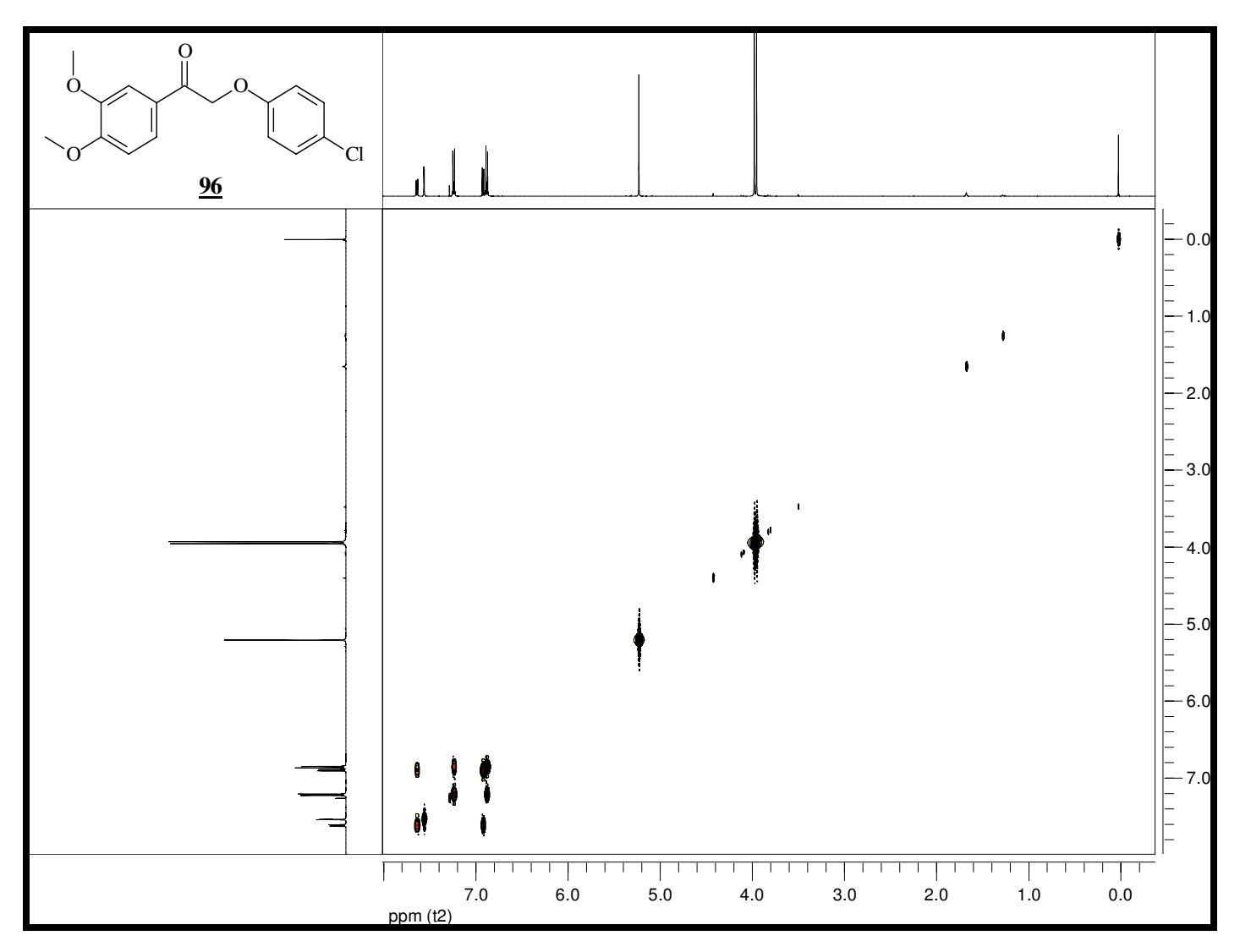
Espectro 30: Espectro de massas (EMAR) do composto 95.



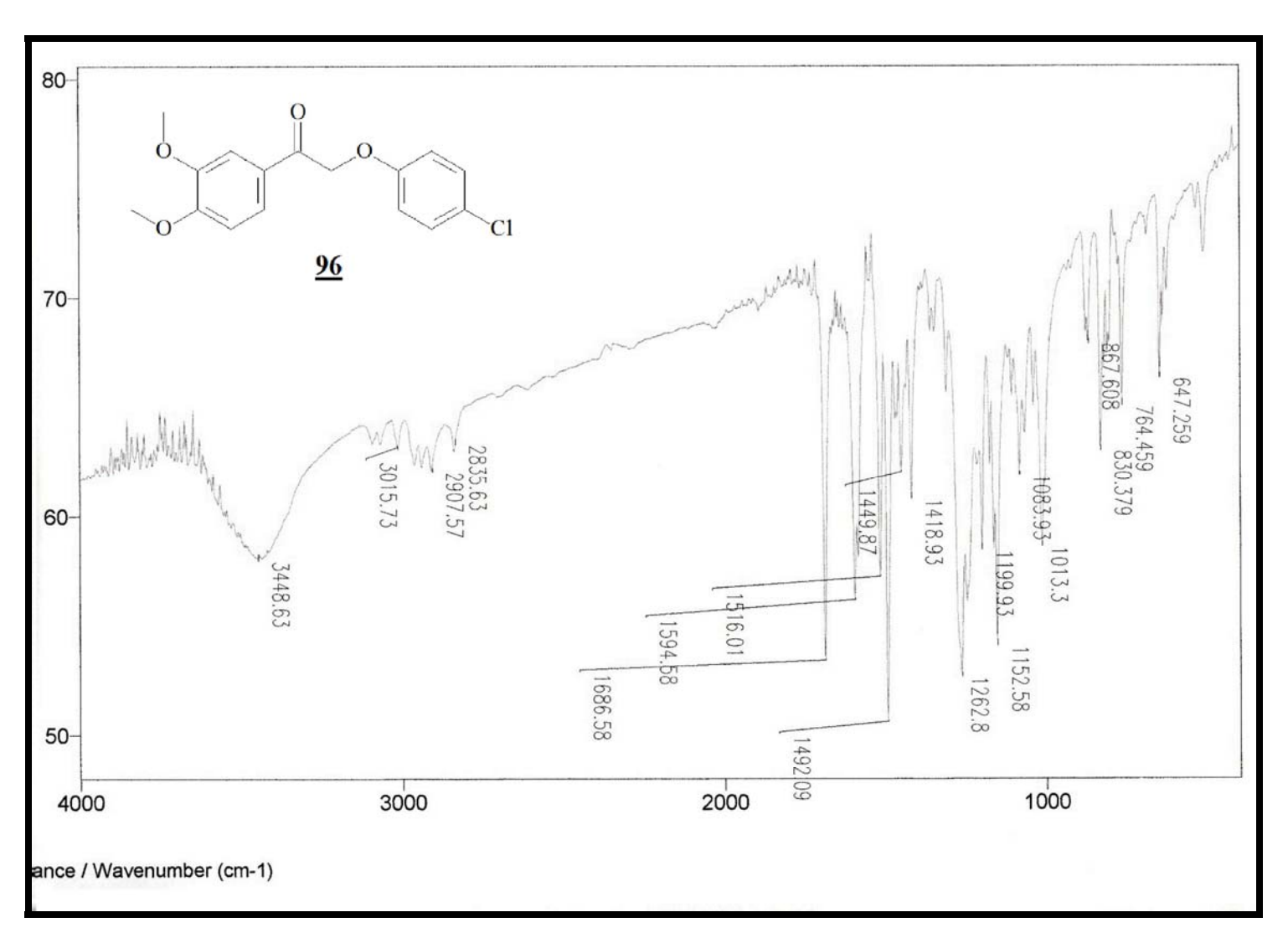
Espectro 31: espectro de RMN de ¹H (500 Mz, CDCl₃, t.a.) do composto <u>96</u>.



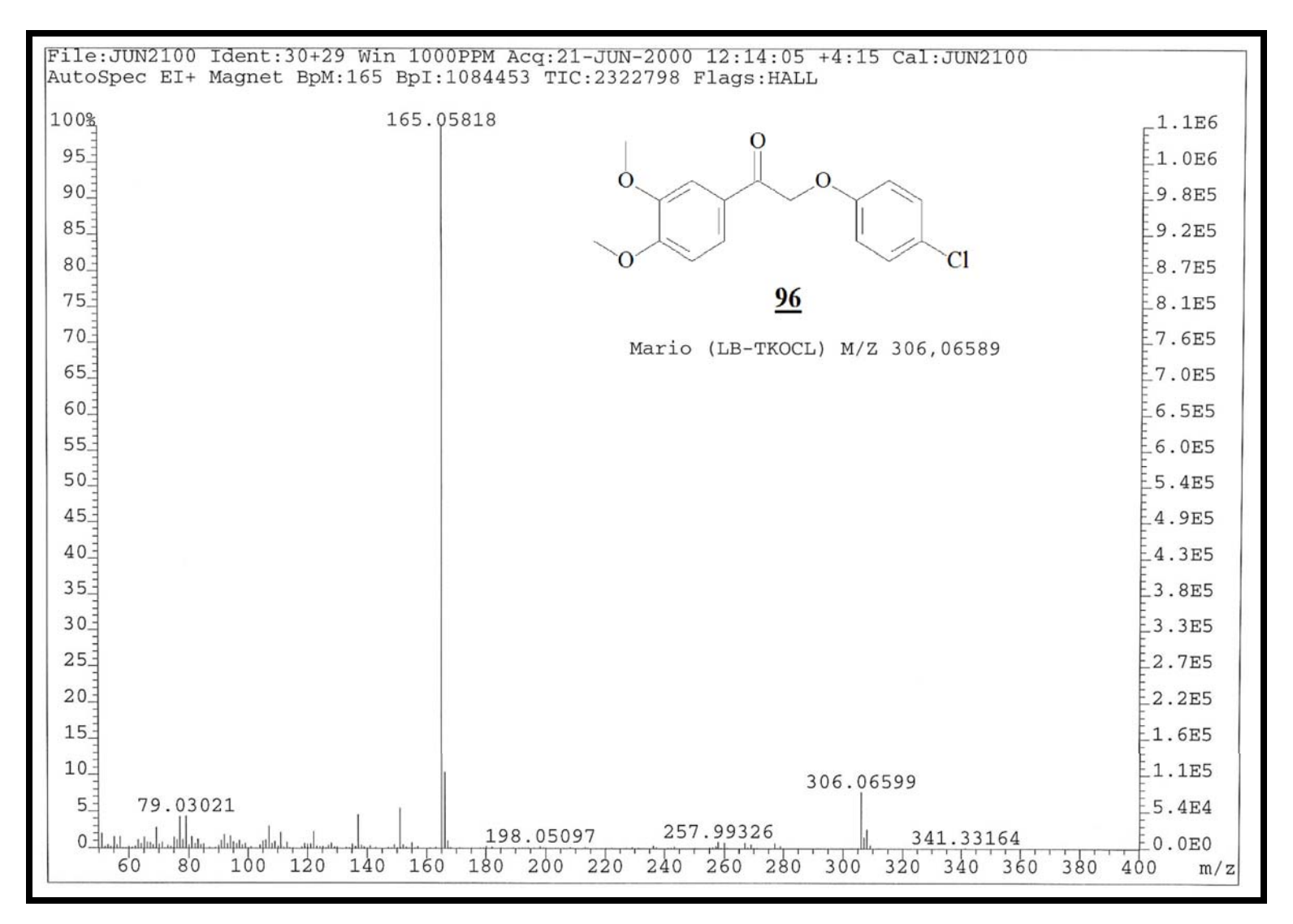
Espectro 32: Espectro de RMN de ¹³C (125 Mz, CDCl₃, t.a.) do composto <u>96</u>.



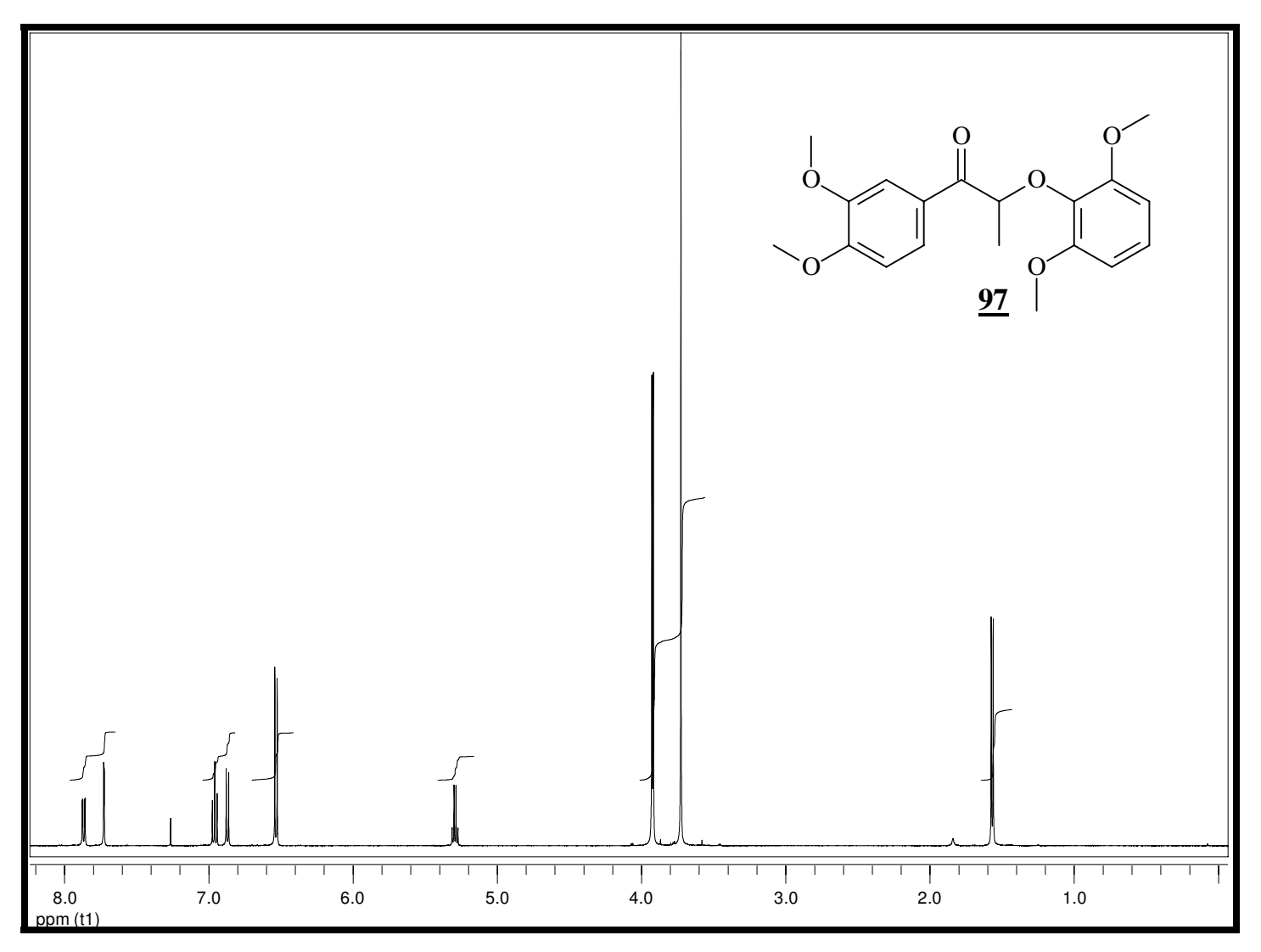
Espectro 33: Espectro gCOSY do composto <u>96</u>.



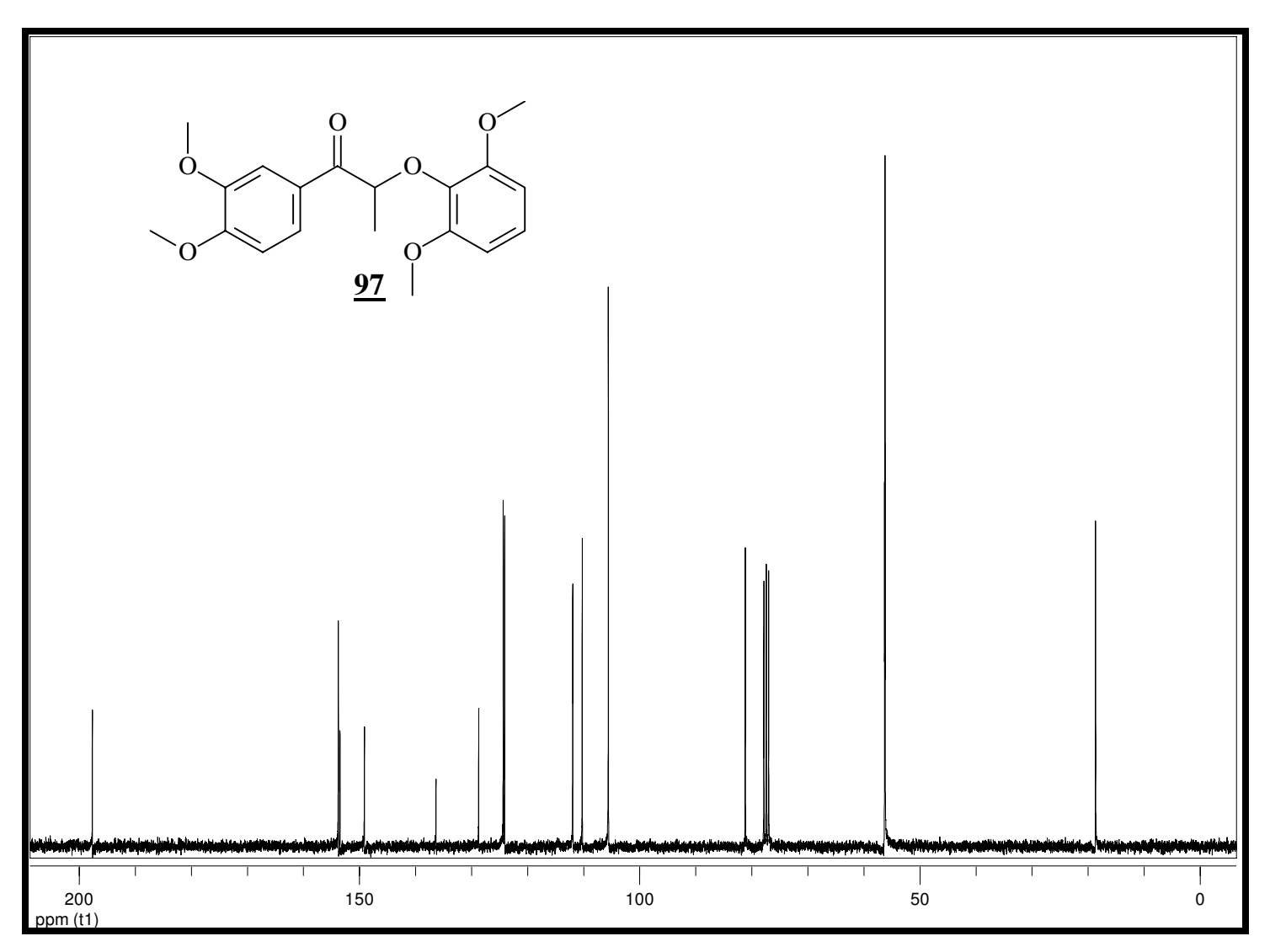
Espectro 34: Espectro de infravermelho do composto <u>96</u>.



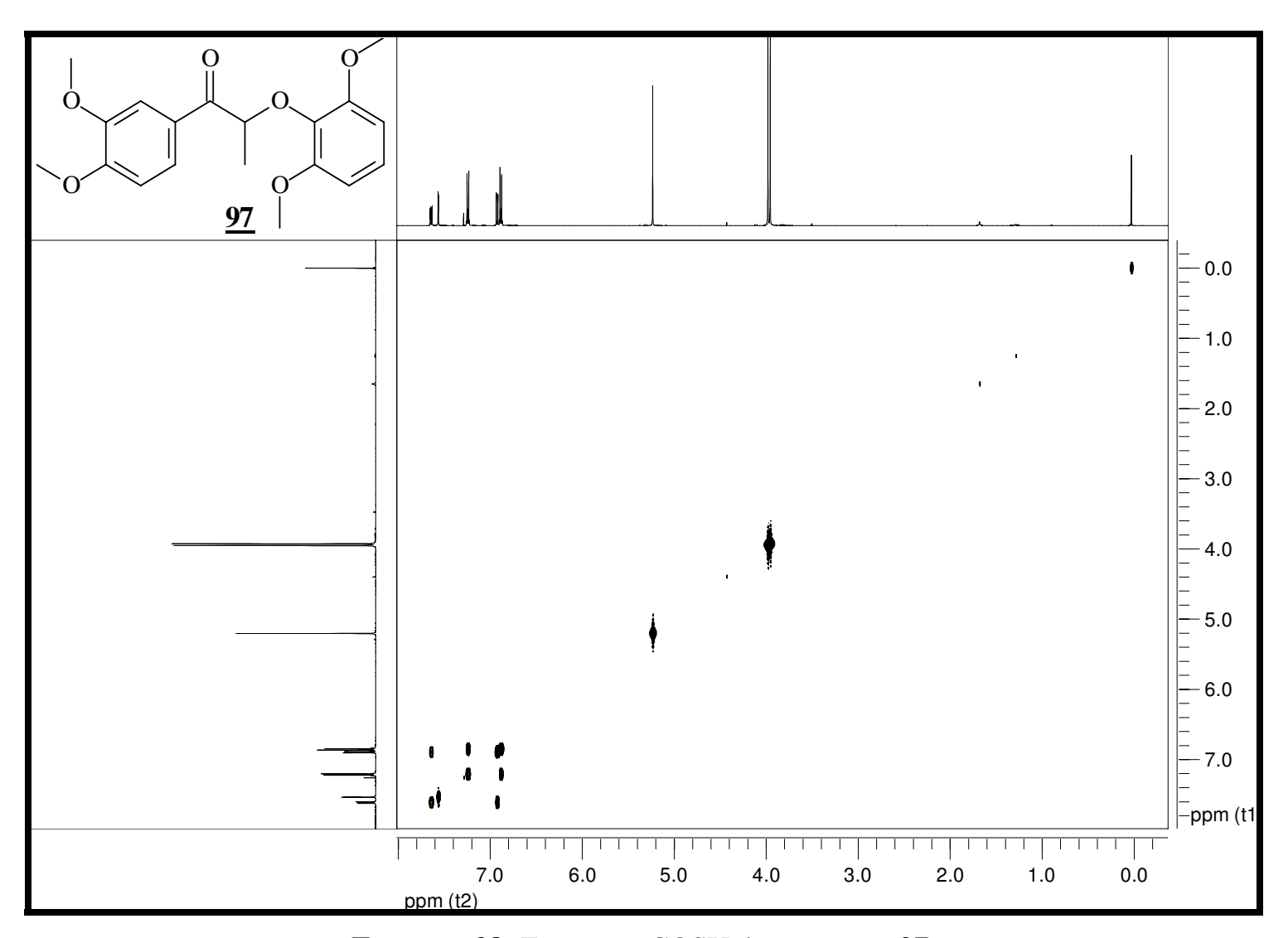
Espectro 35: Espectro de massas (EMAR) do composto <u>96</u>.



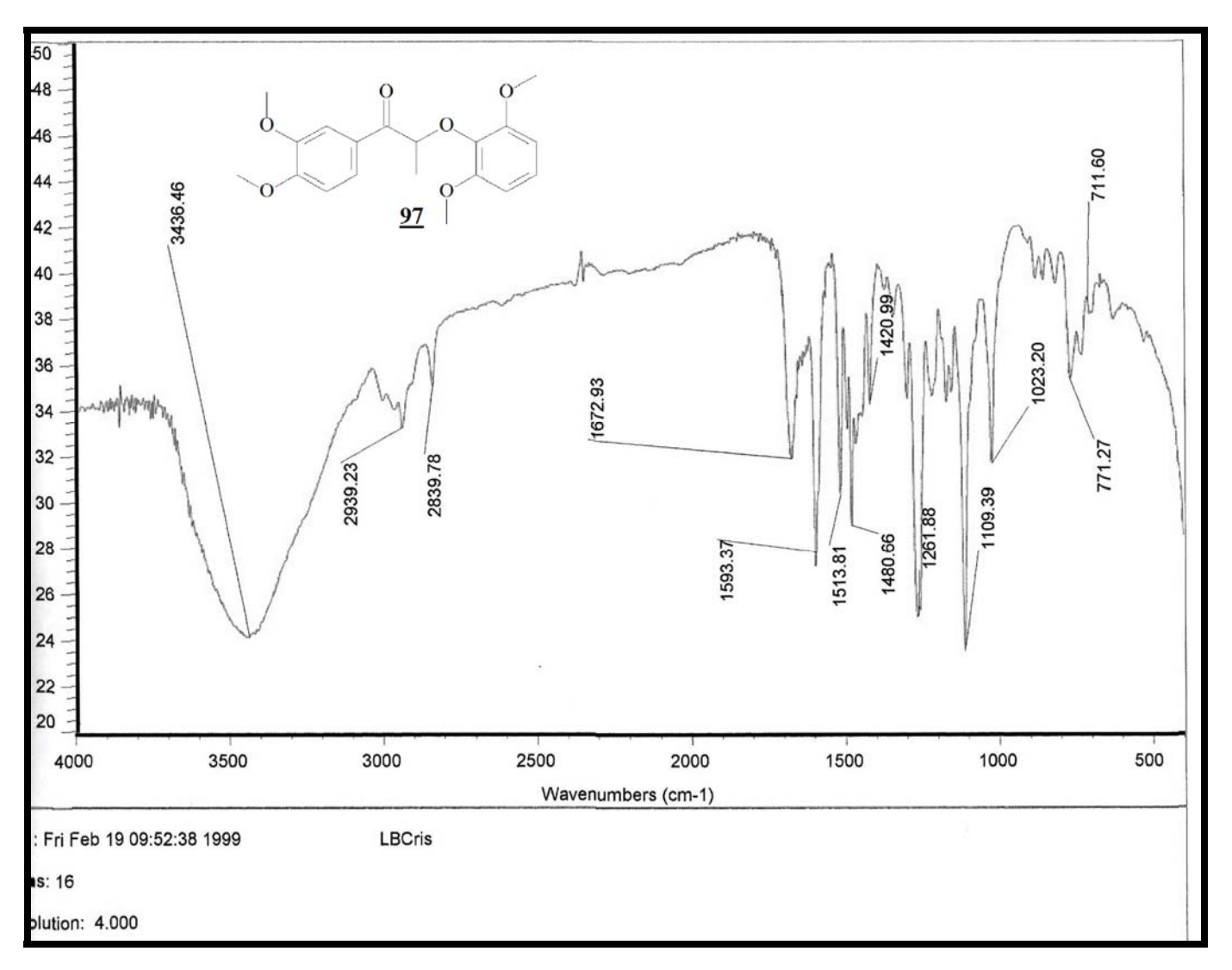
Espectro 36: Espectro de RMN de ¹H (500 Mz, CDCl₃, t.a.) do composto <u>97</u>.



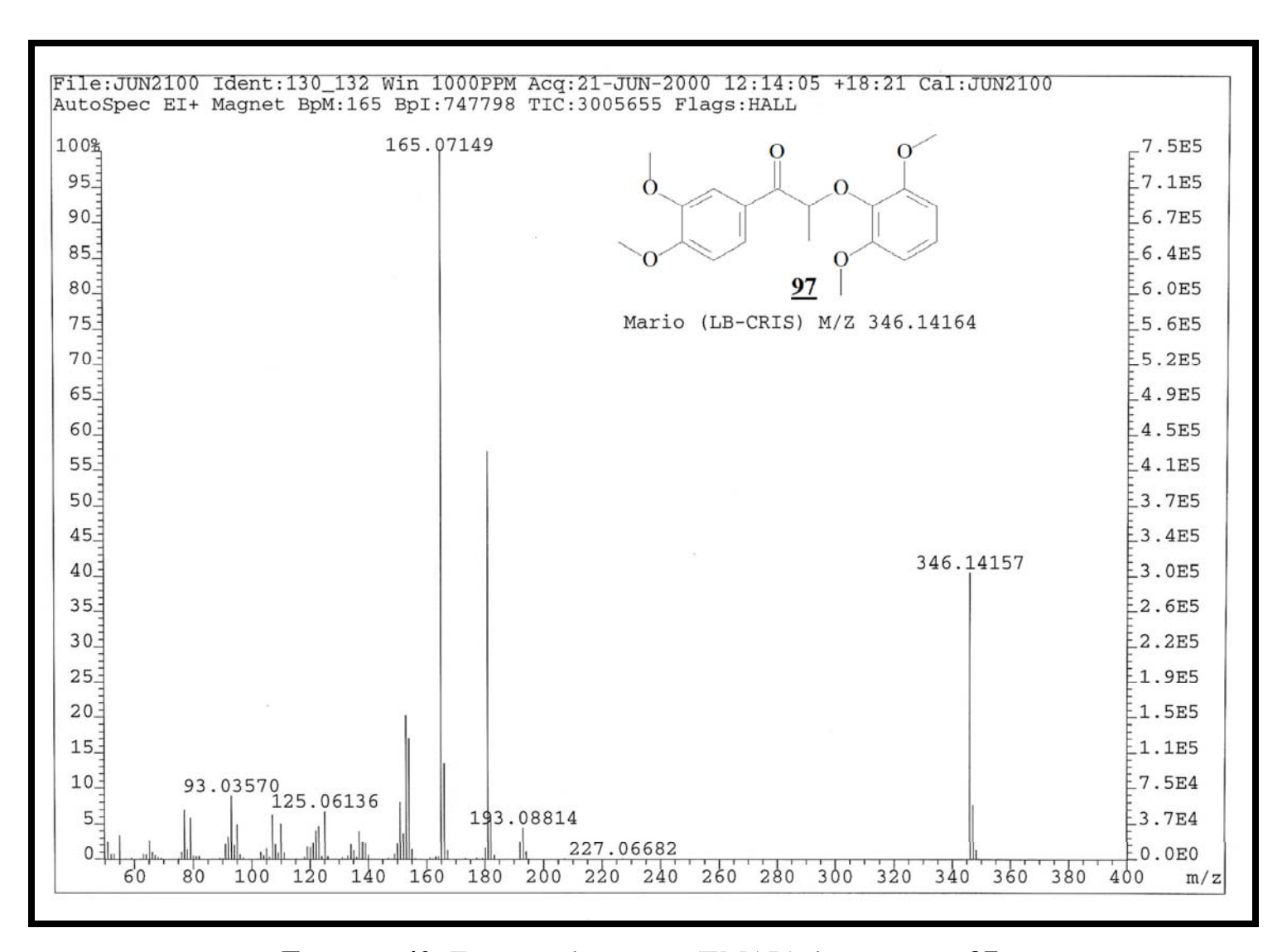
Espectro 37: Espectro de RMN de ¹³C (125 Mz, CDCl₃, t.a.) do composto <u>97</u>.



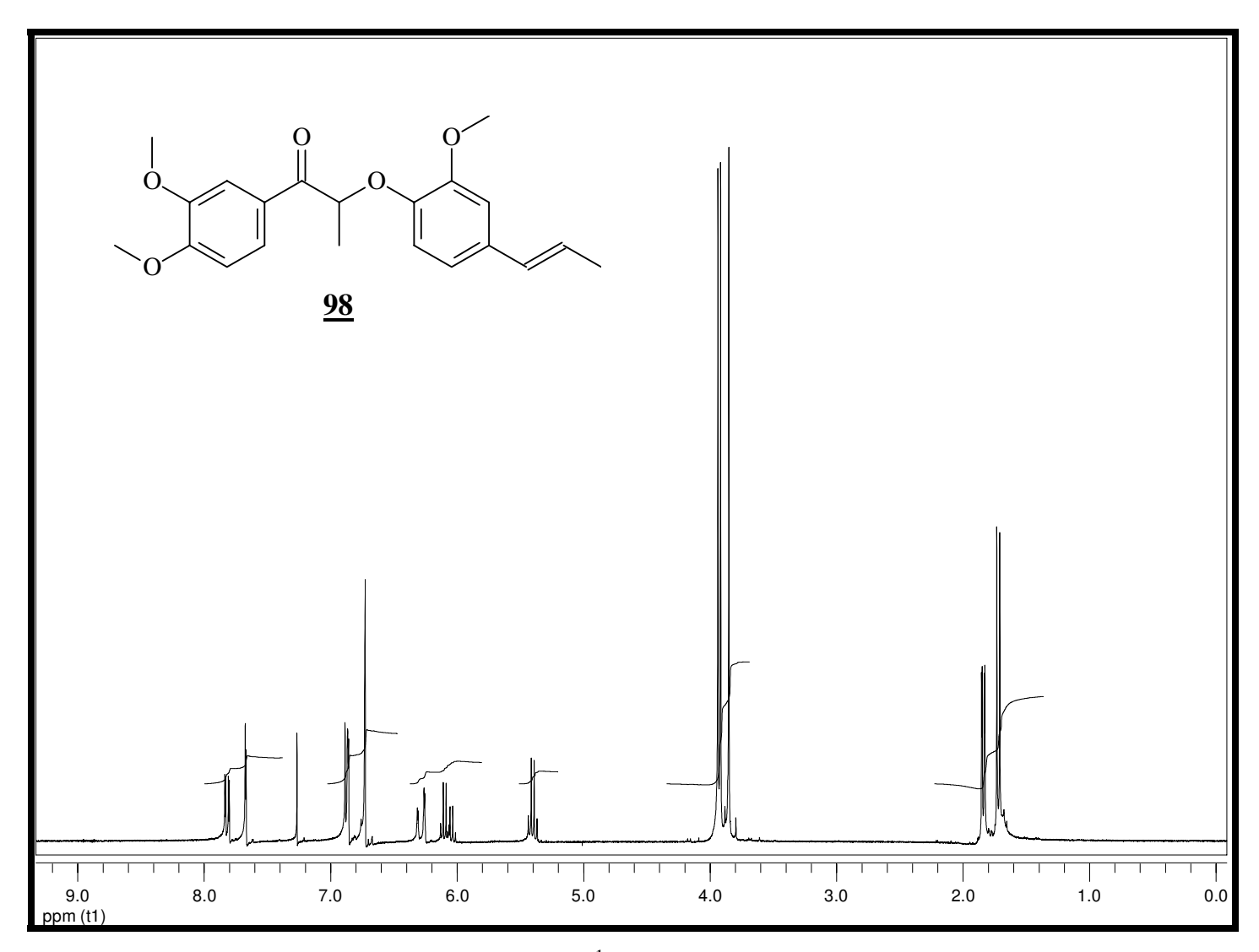
Espectro 38: Espectro gCOSY do composto <u>97</u>.



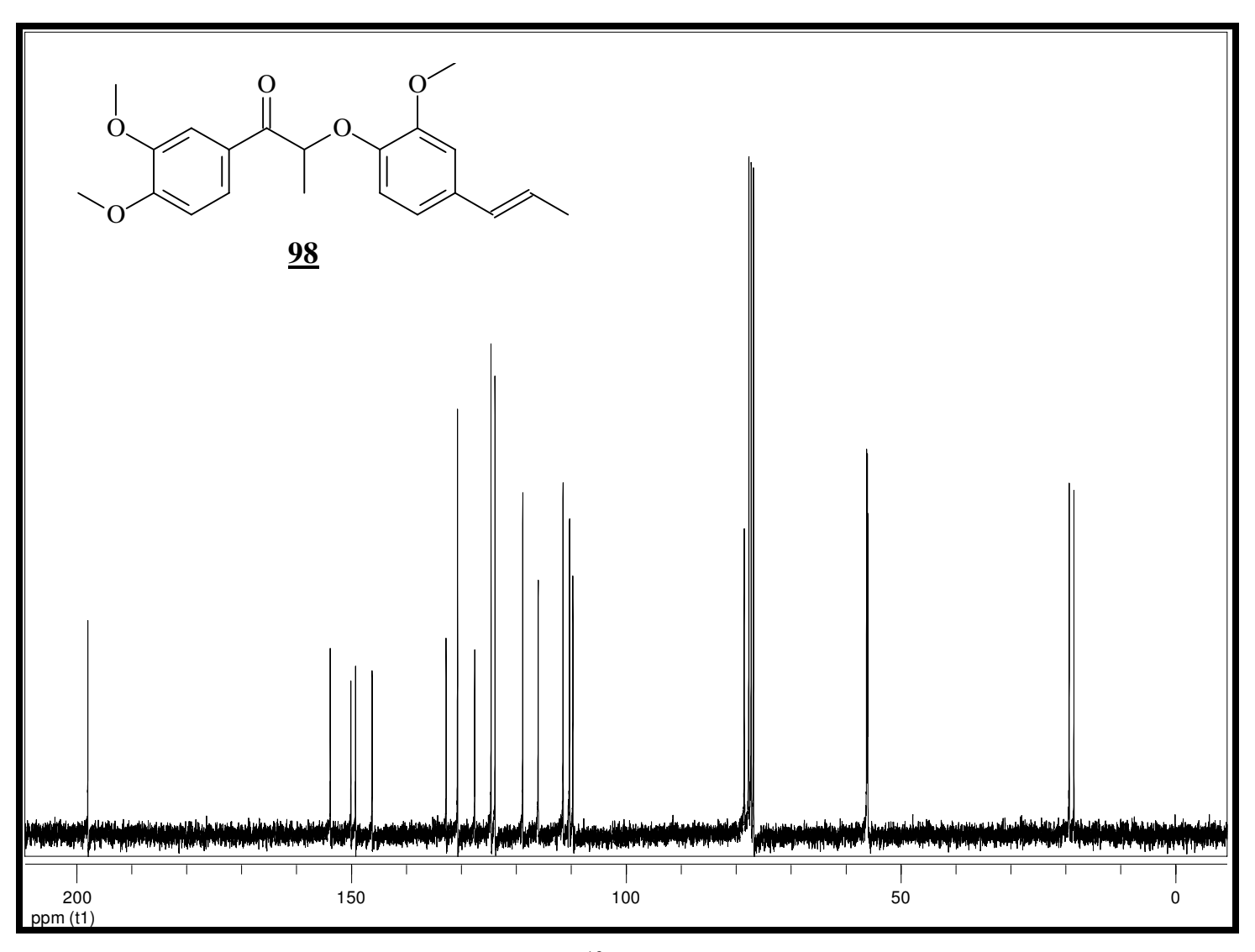
Espectro 39: Espectro de infravermelho do composto <u>97</u>.



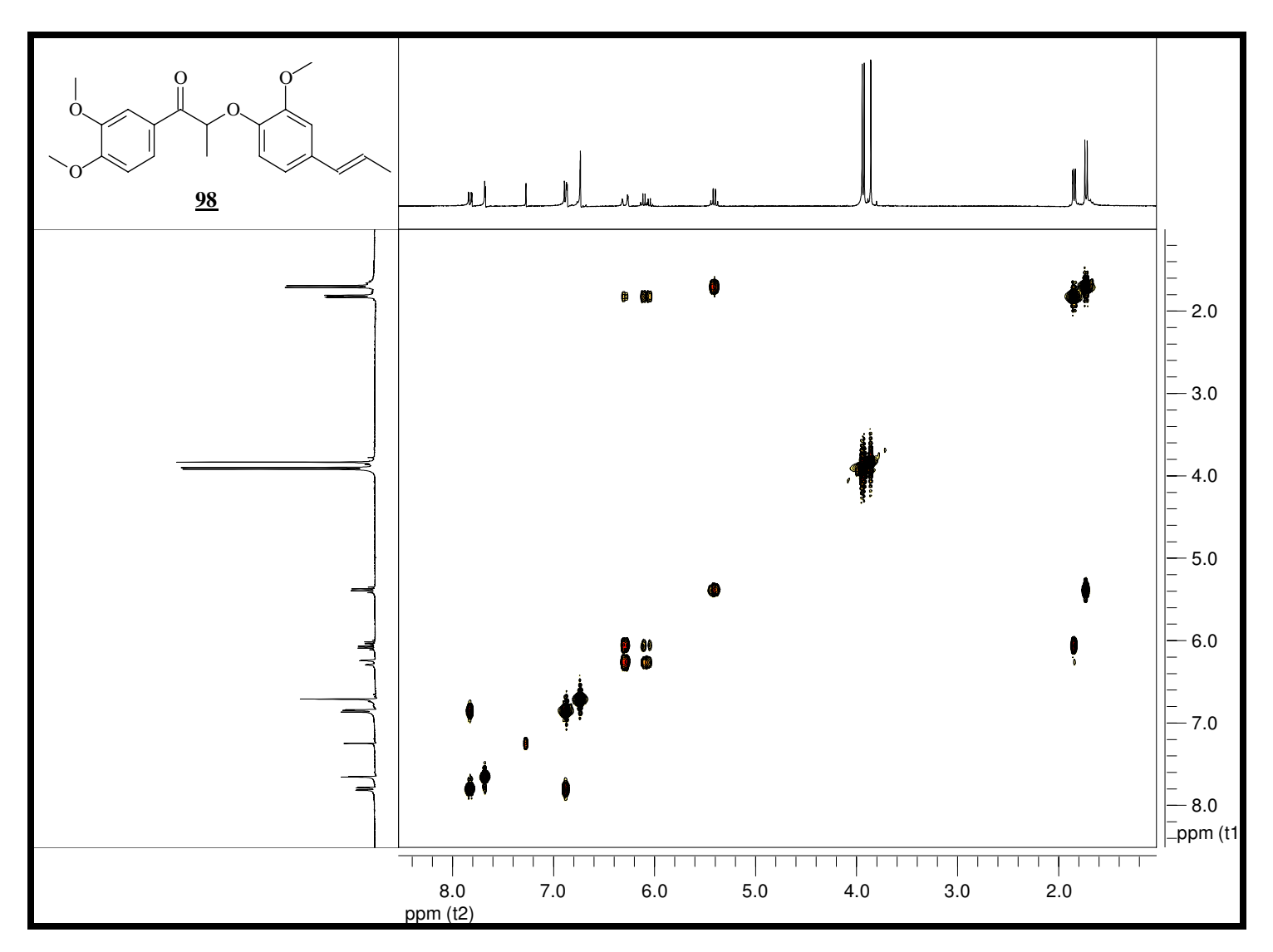
Espectro 40: Espectro de massas (EMAR) do composto <u>97</u>.



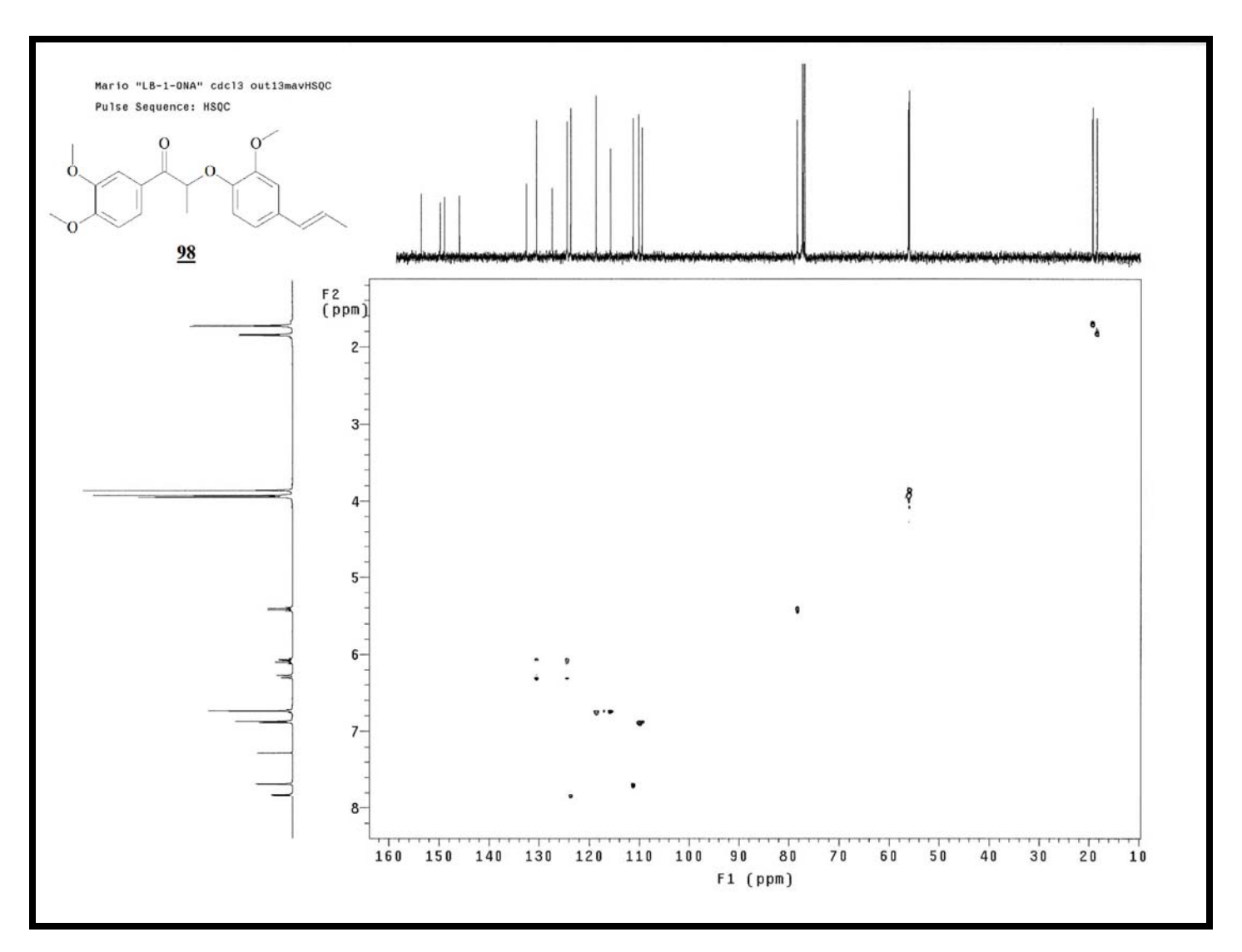
Espectro 41: Espectro de RMN de ¹H (500 Mz, CDCl₃, t.a.) do composto <u>98</u>.



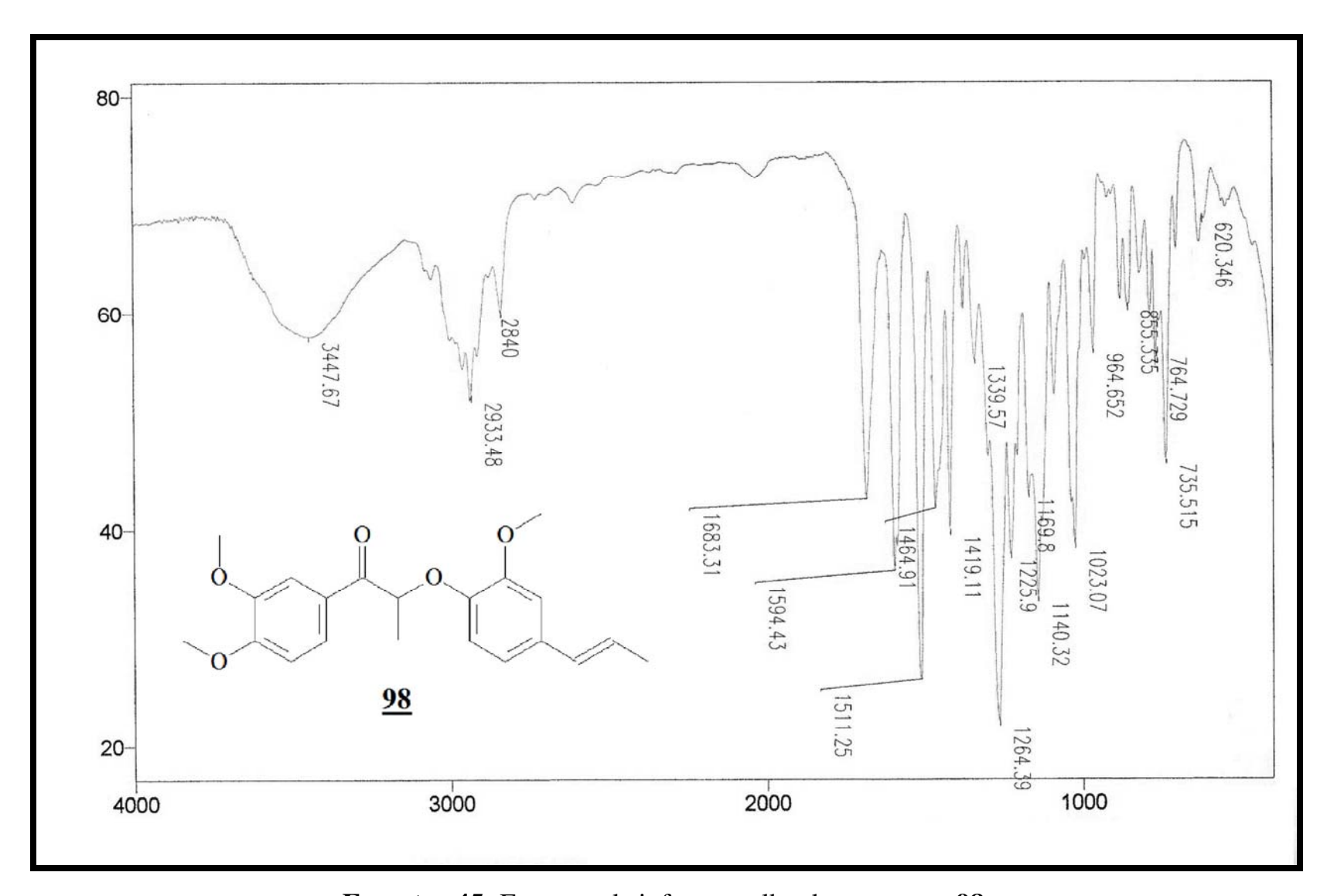
Espectro 42: Espectro de RMN de ¹³C (125 Mz, CDCl₃, t.a.) do composto <u>98</u>.



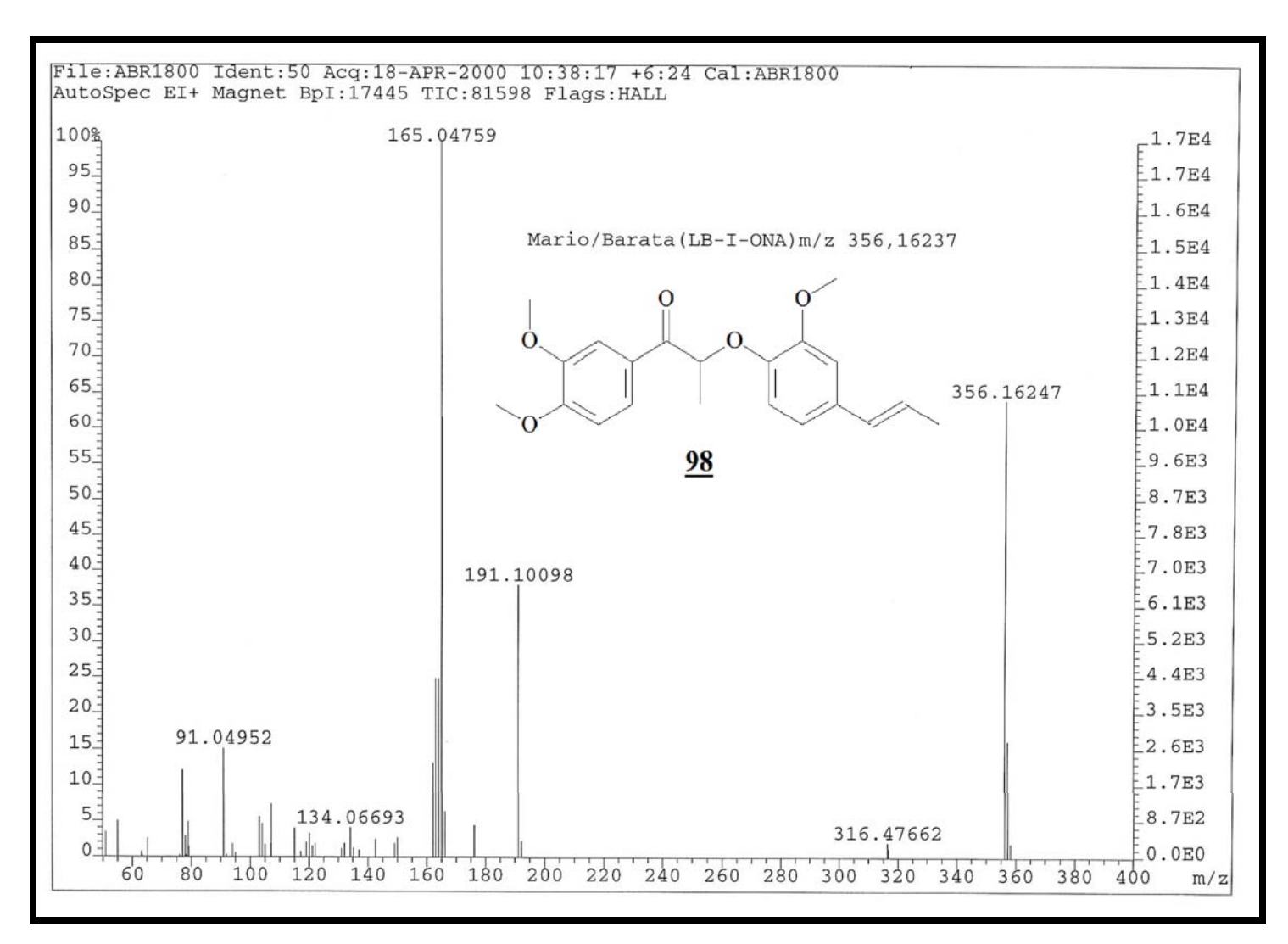
Espectro 43: Espectro gCOSY do composto <u>98</u>.



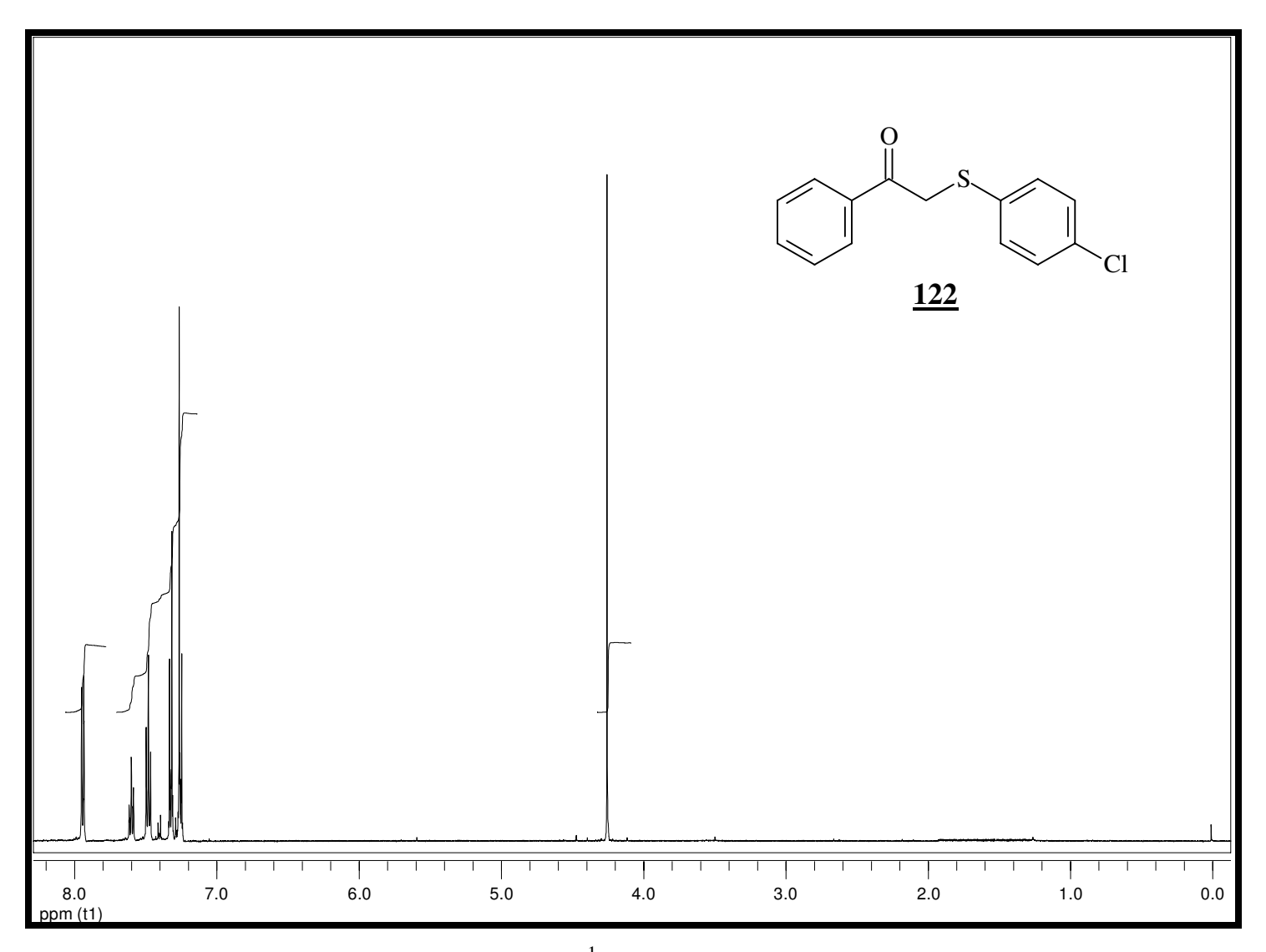
Espectro 44: Espectro HSQC do composto <u>98</u>.



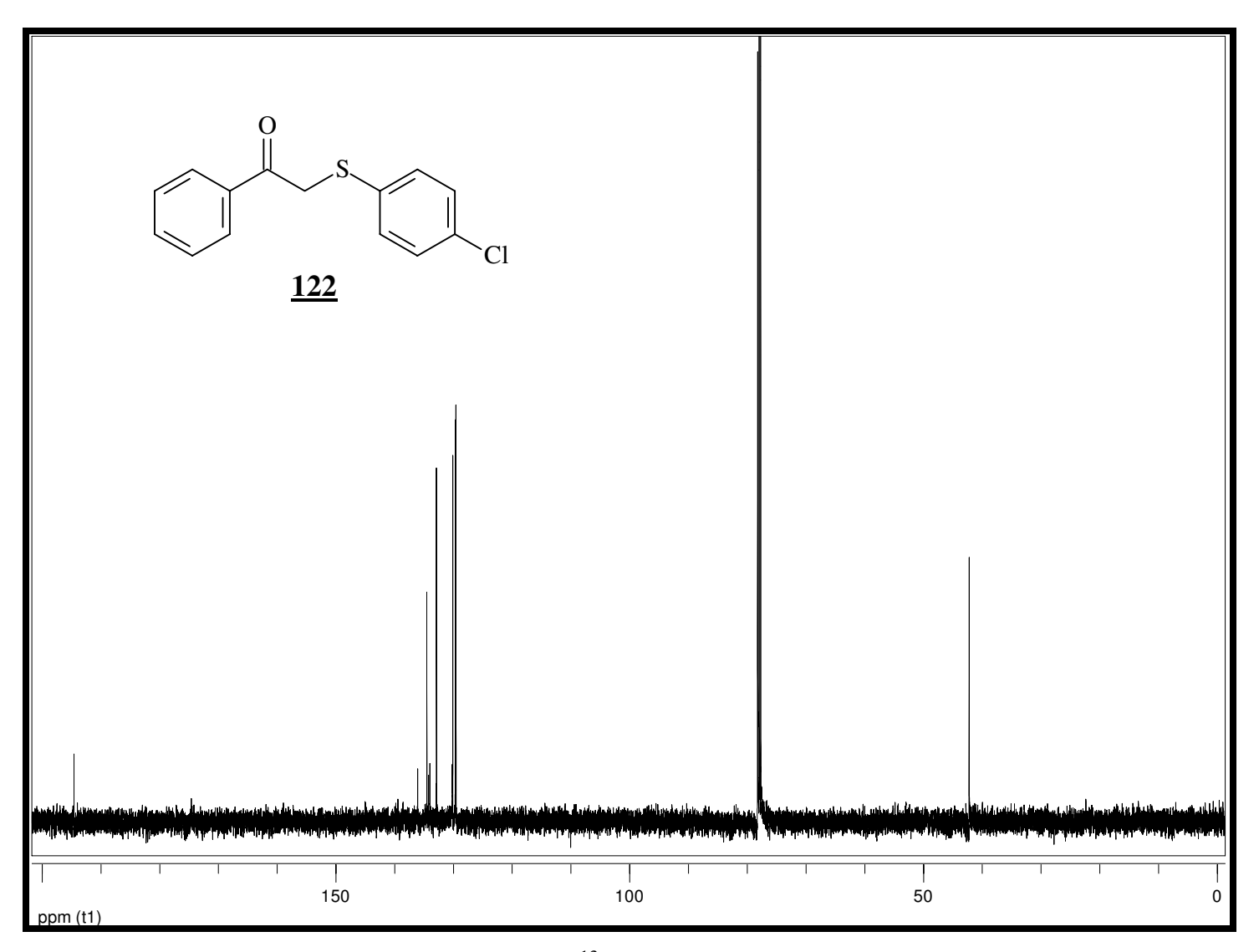
Espectro 45: Espectro de infravermelho do composto <u>98</u>.



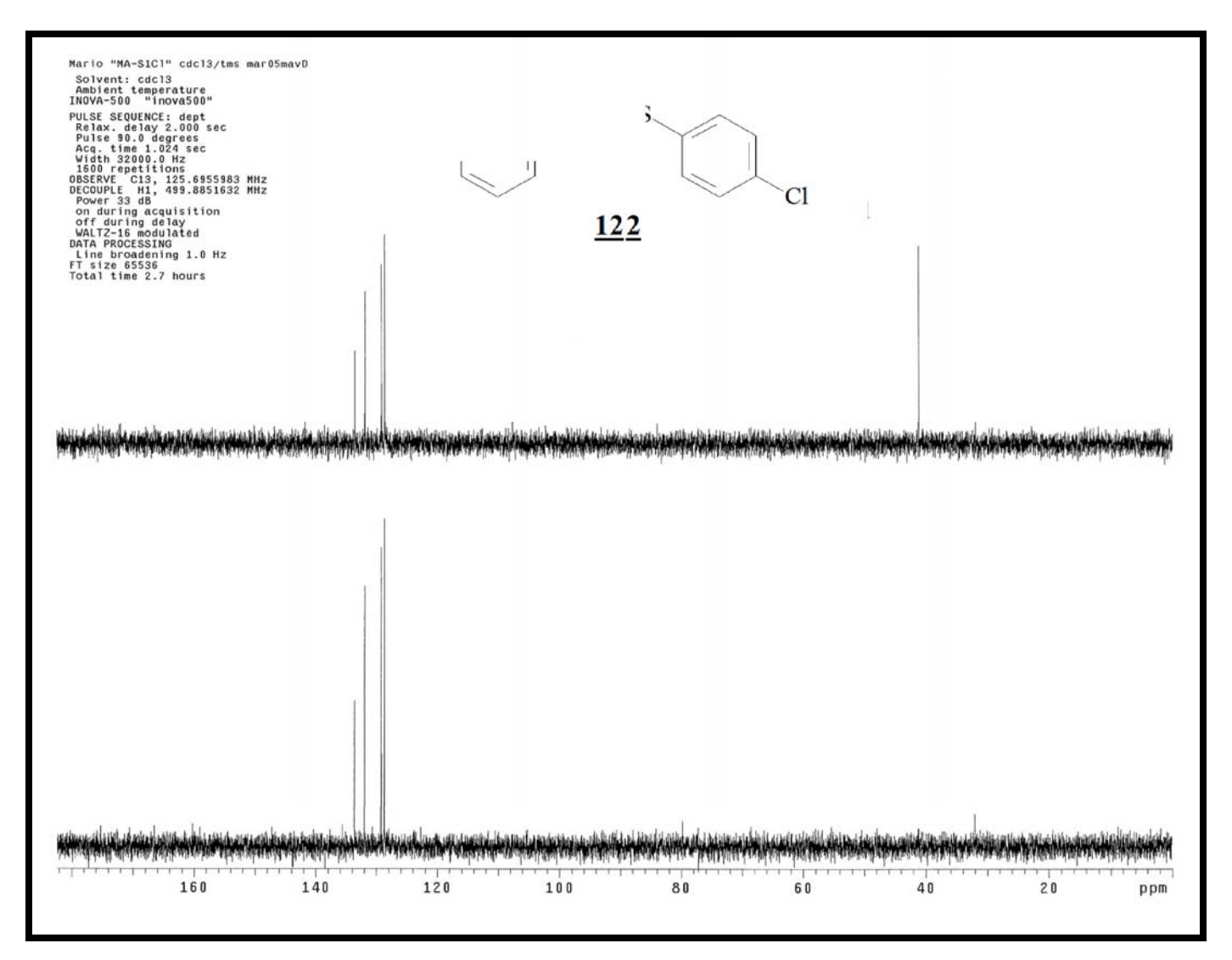
Espectro 46: Espectro de massas (EMAR) do composto 98.



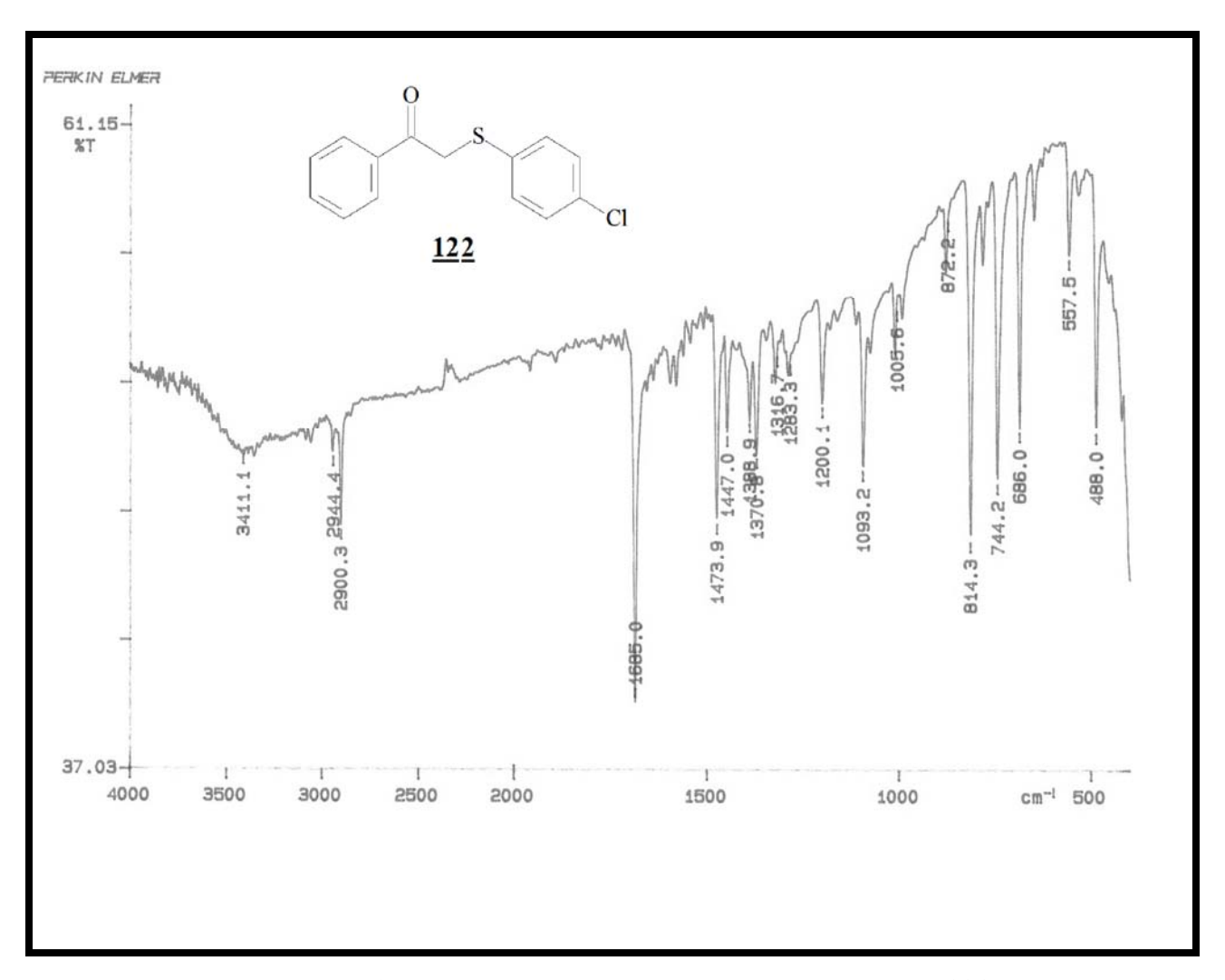
Espectro 47: Espectro de RMN de ¹H (500 Mz, CDCl₃, t.a.) do composto <u>122</u>.



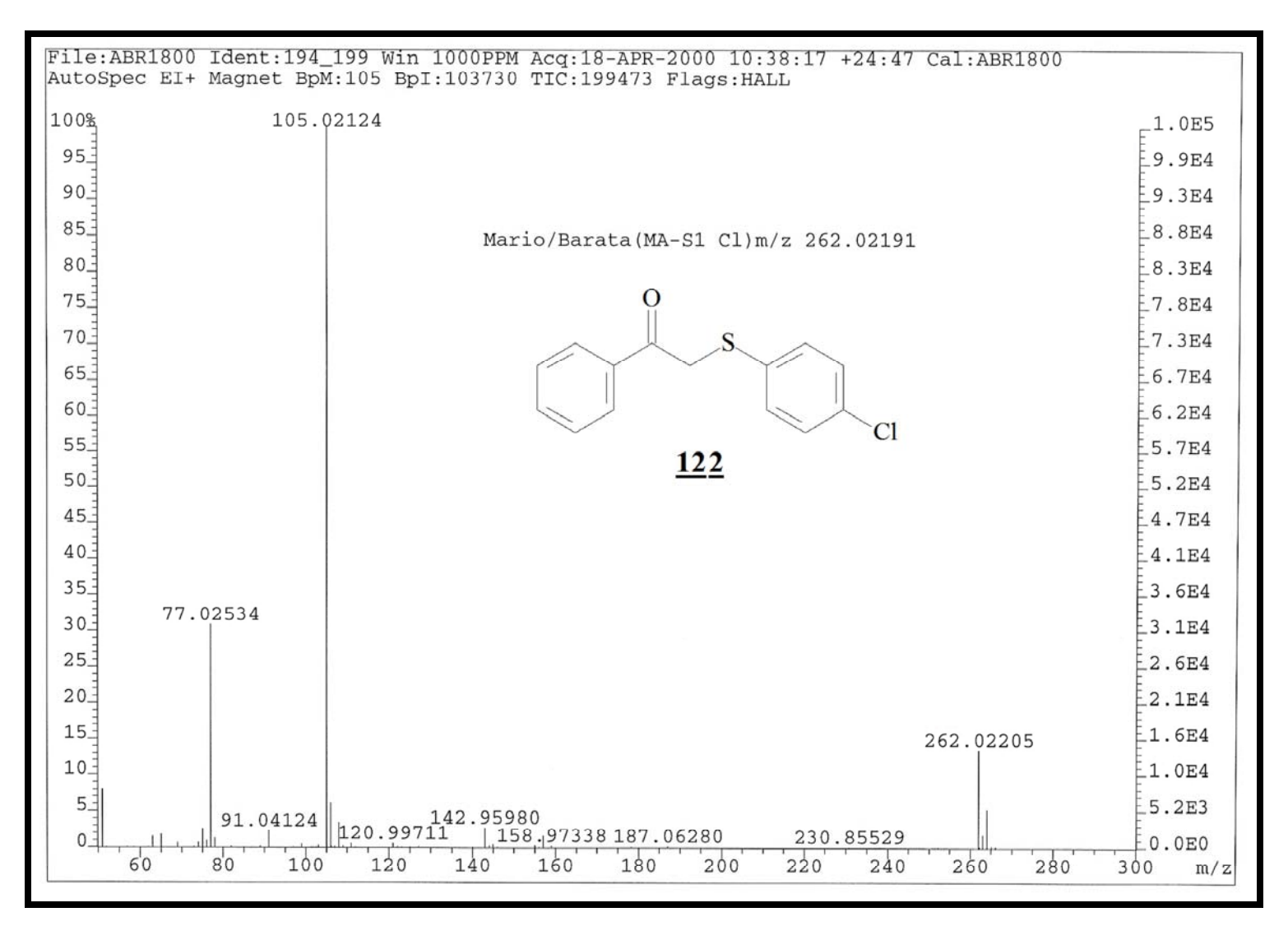
Espectro 48: Espectro de RMN de ¹³C (125 Mz, CDCl₃, t.a.) do composto <u>122</u>.



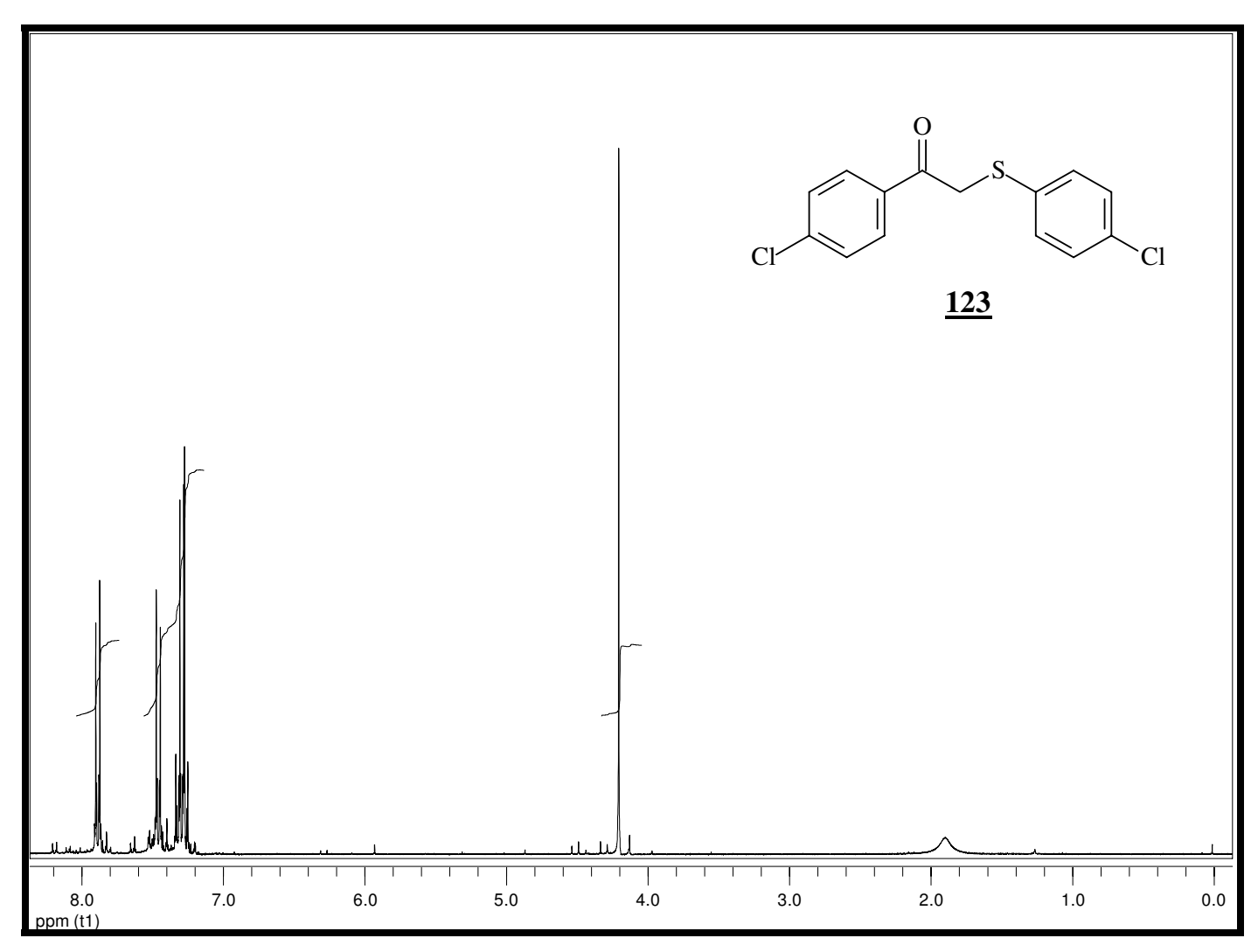
Espectro 49: Espectro DEPT do composto 122.



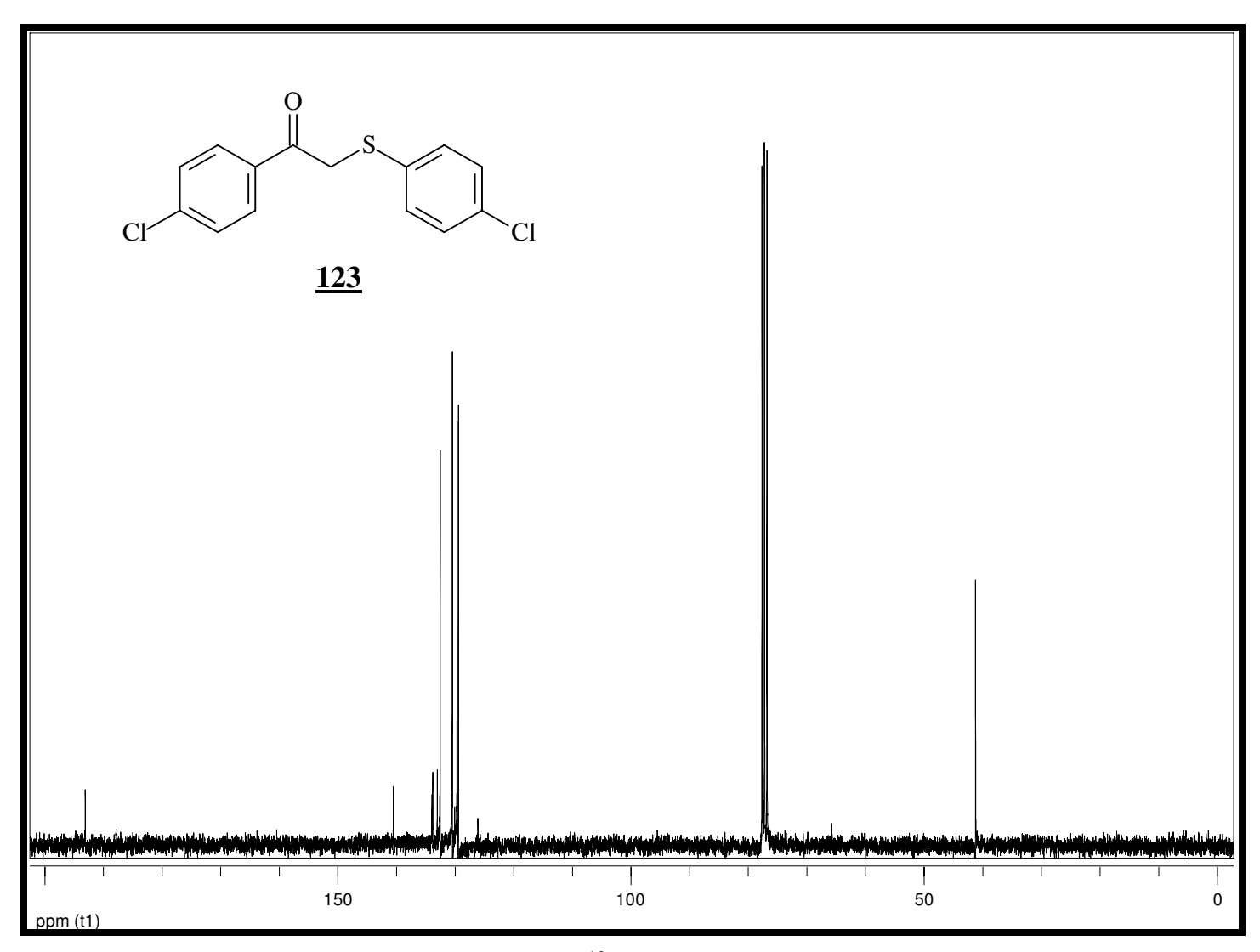
Espectro 50: Espectro de infravermelho do composto 122.



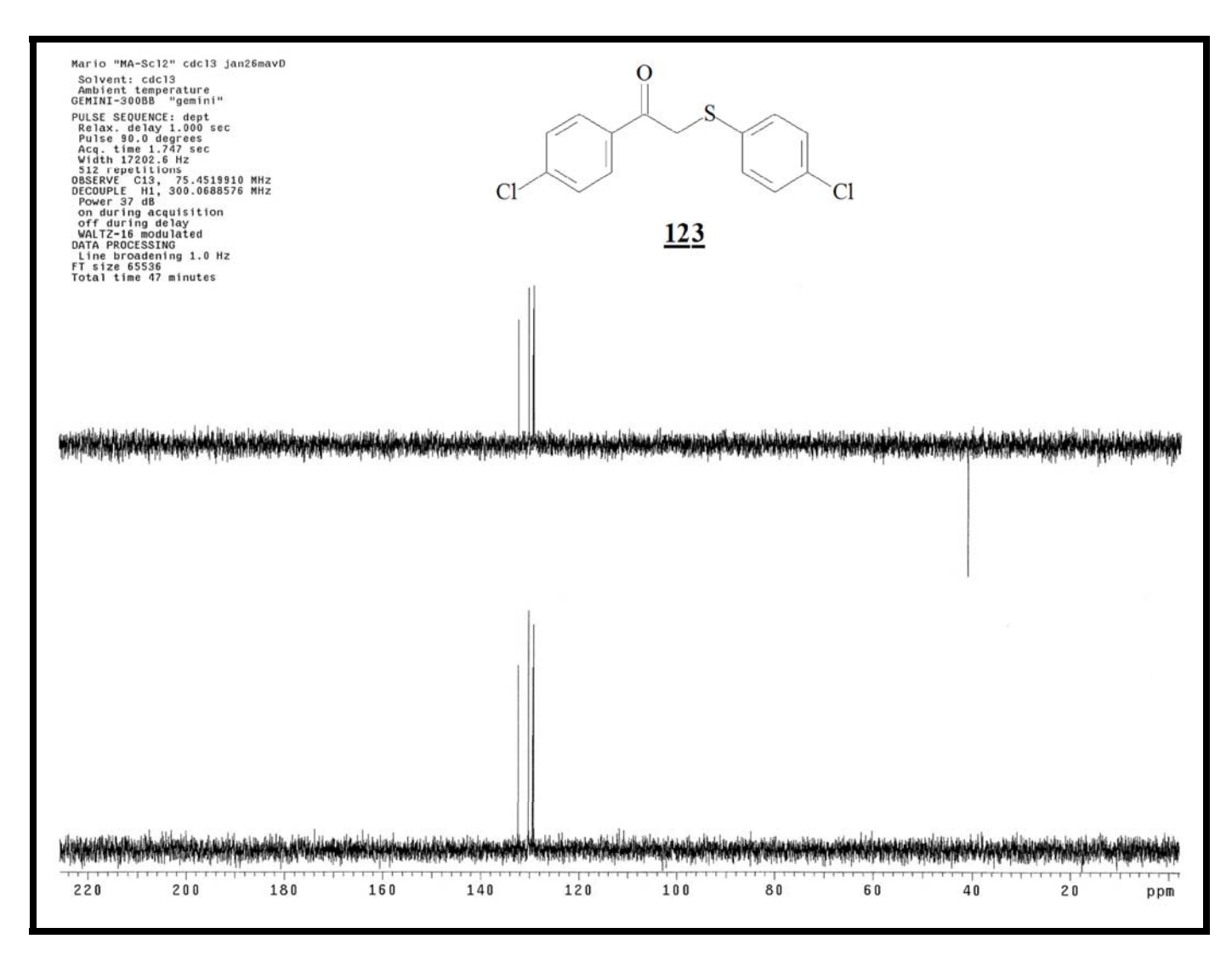
Espectro 51: Espectro de massas (EMAR) do composto 122.



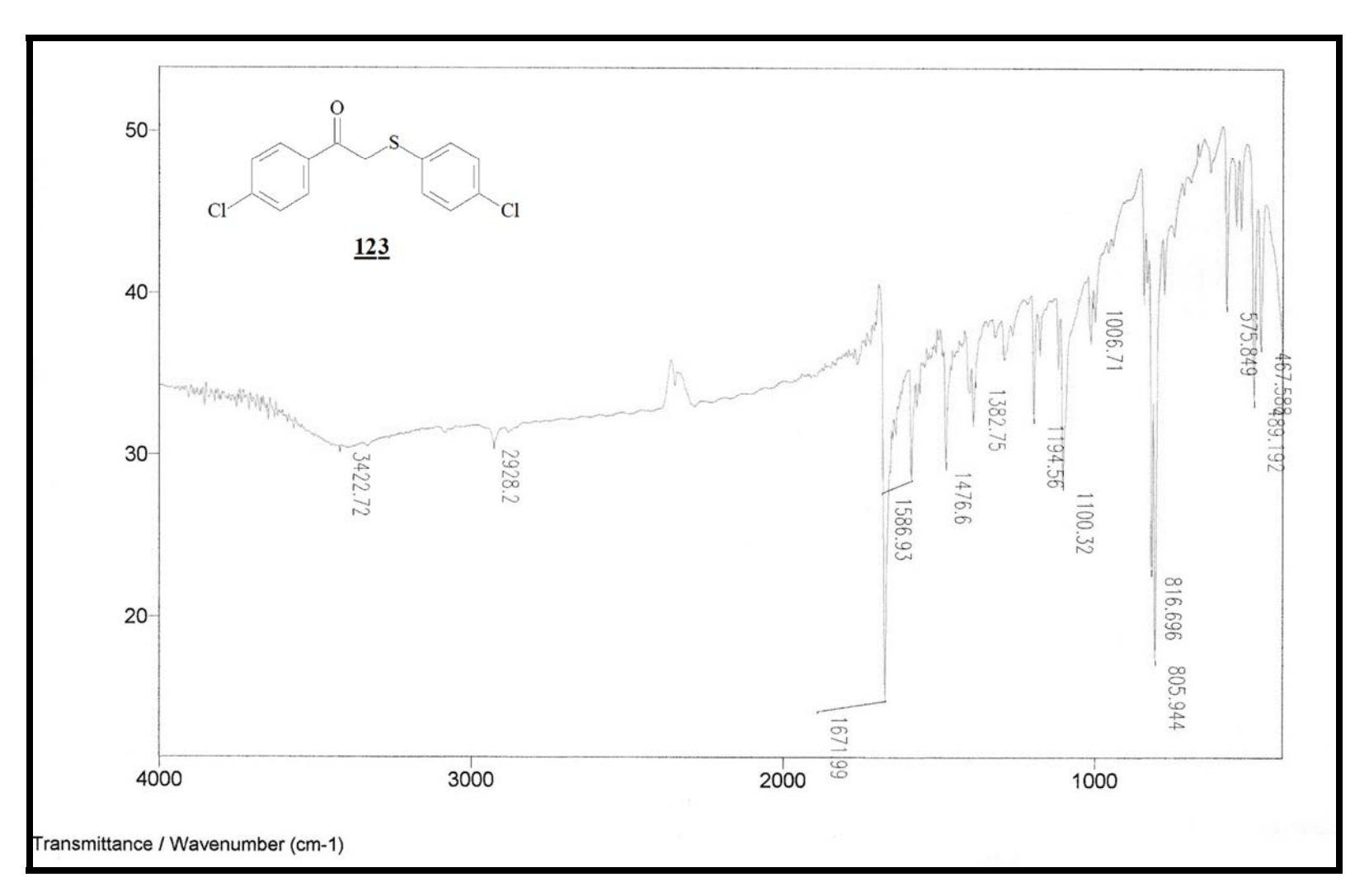
Espectro 52: Espectro de RMN de ¹H (300 Mz, CDCl₃, t.a.) do composto <u>123</u>.



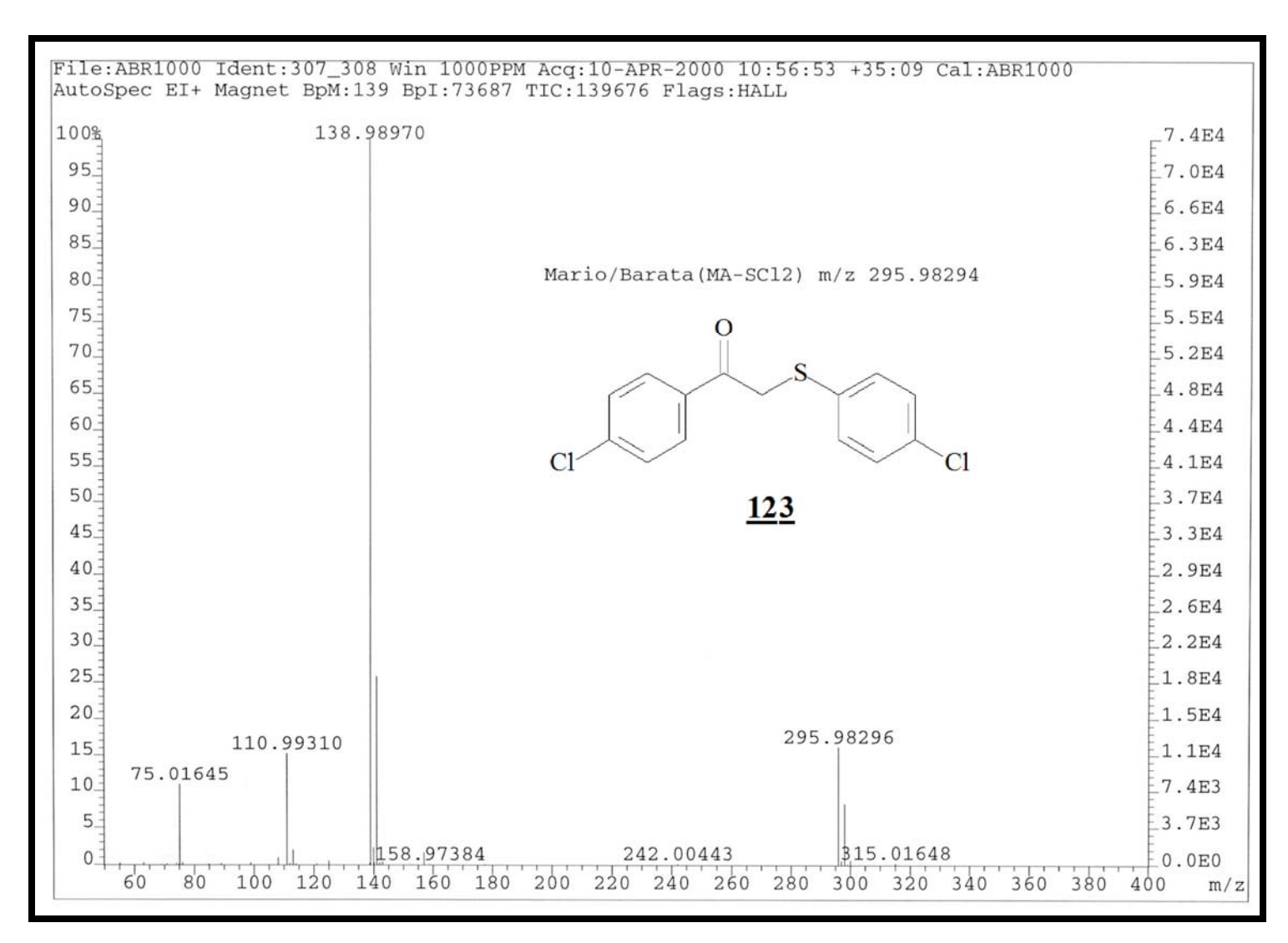
Espectro 53: Espectro de RMN de ¹³C (75 Mz, CDCl₃, t.a.) do composto <u>123</u>.



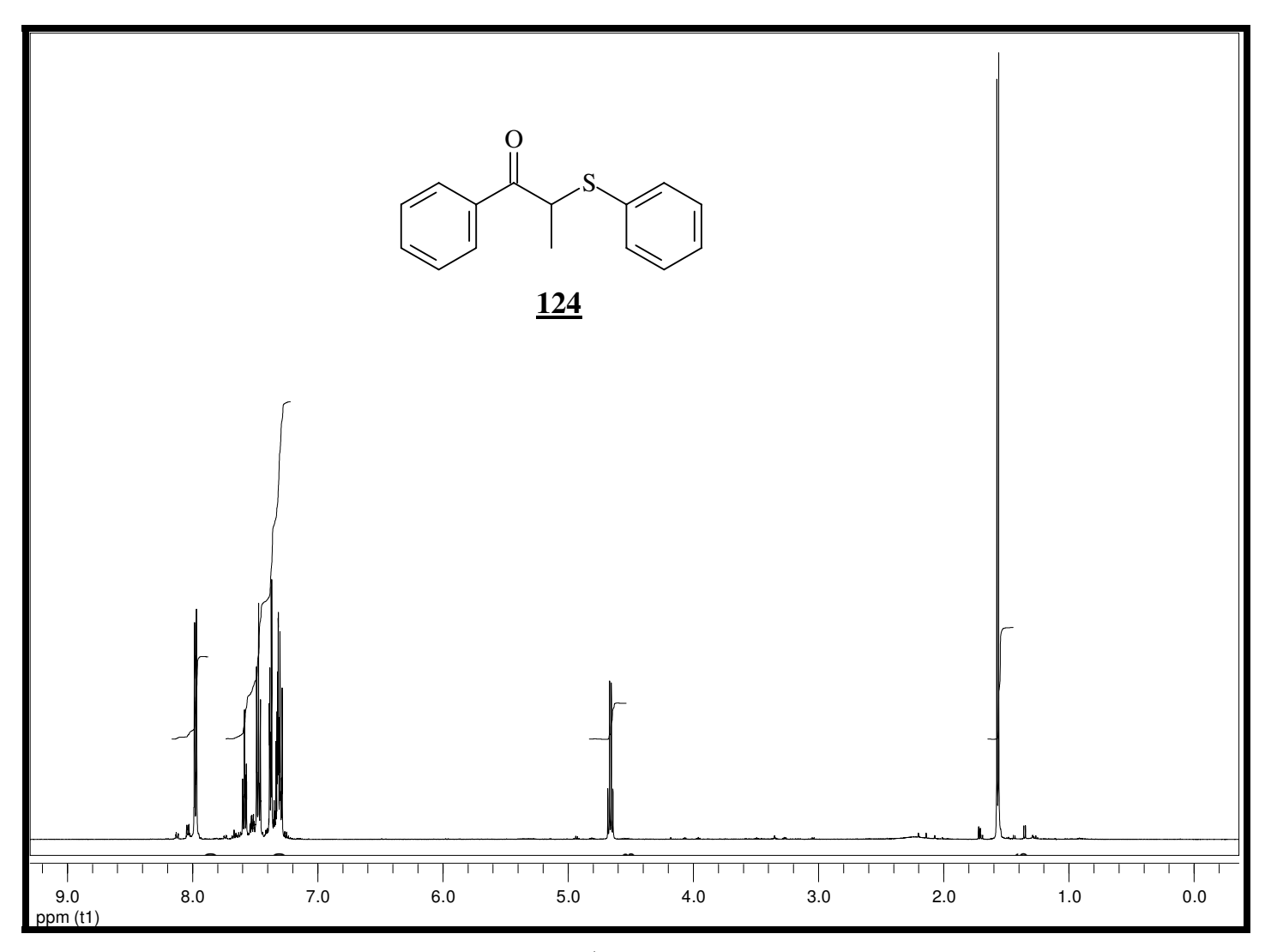
Espectro 54: Espectro DEPT do composto 123.



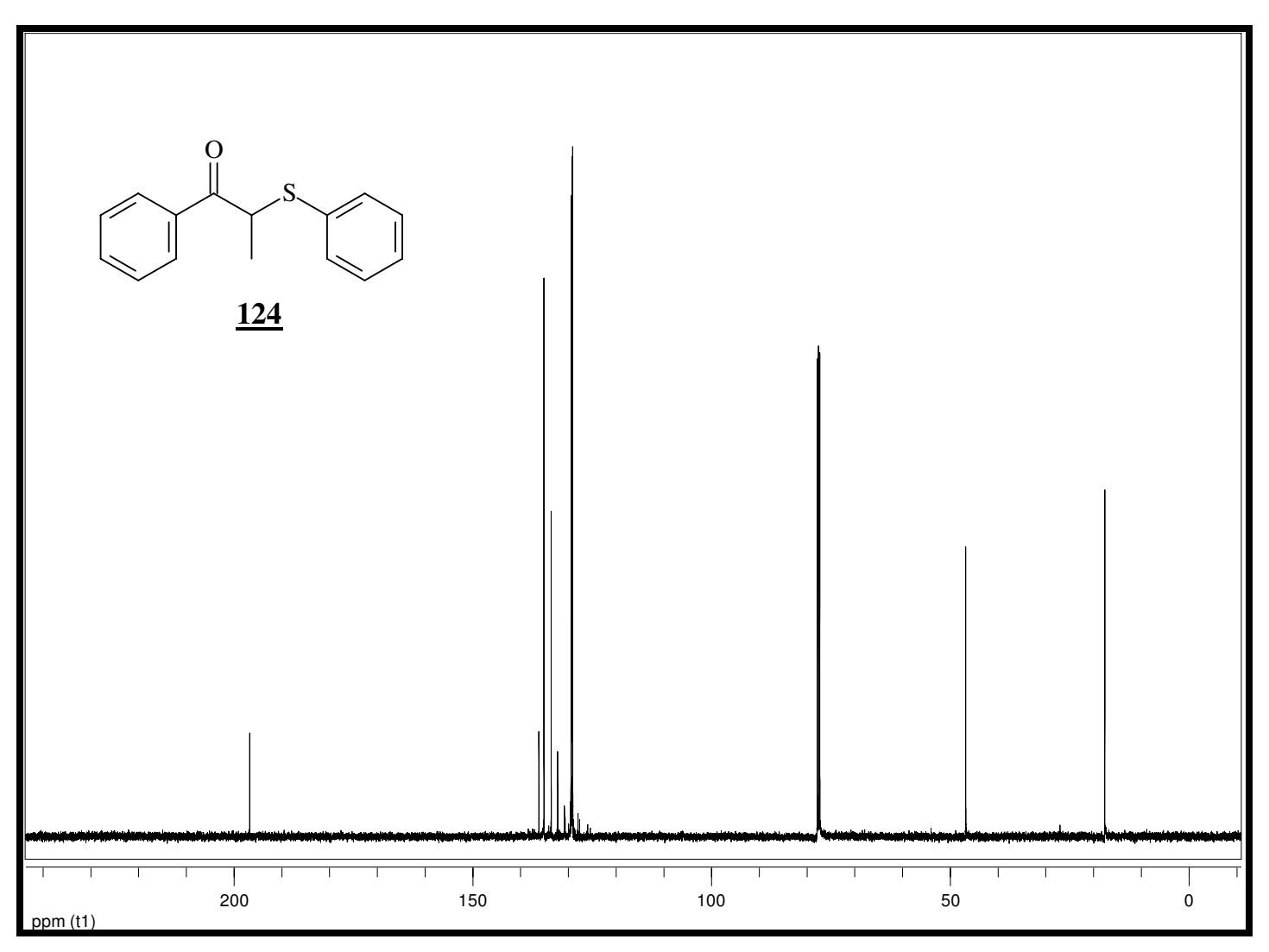
Espectro 55: Espectro de infravermelho do composto 123.



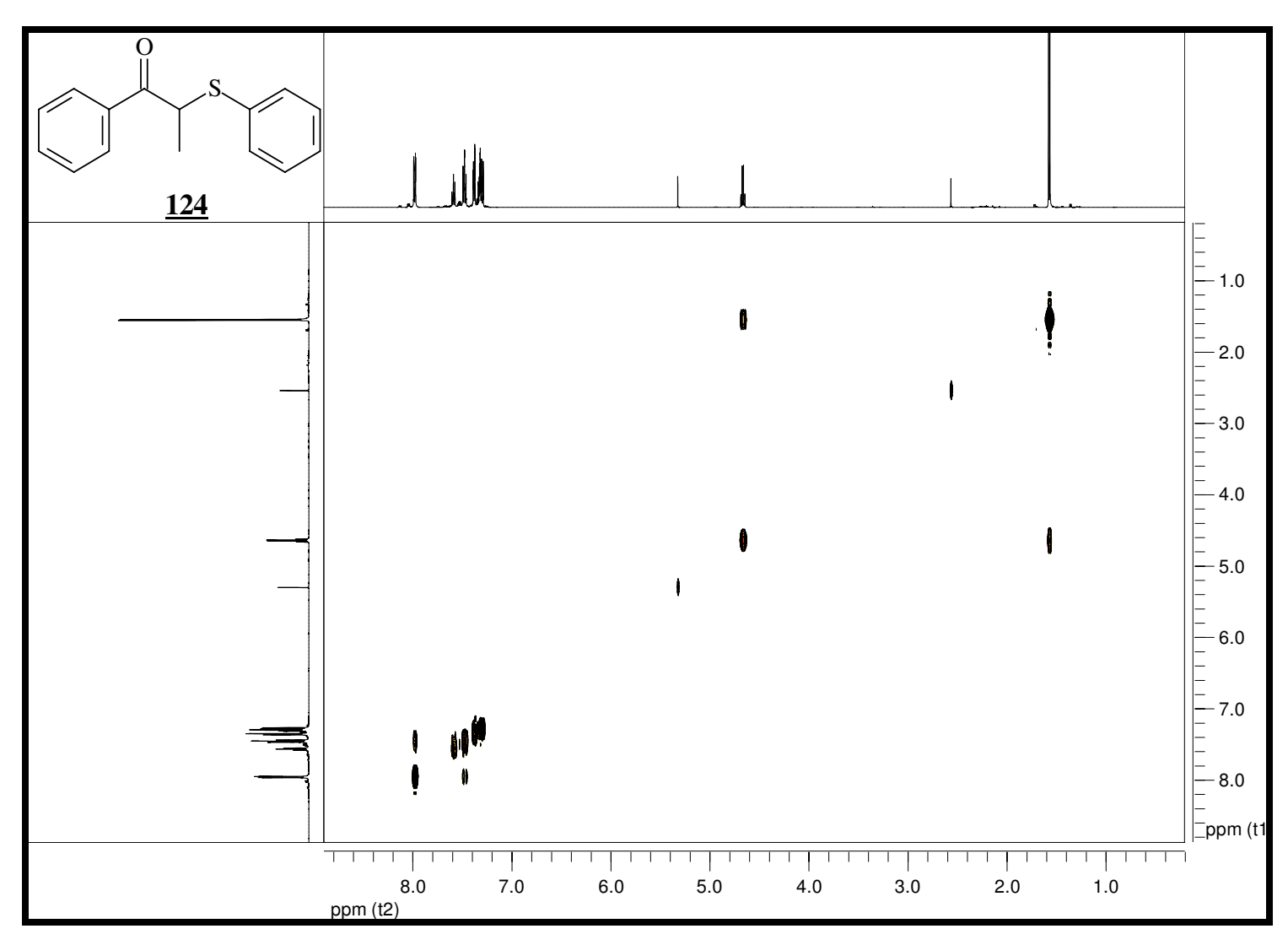
Espectro 56: Espectro de massas (EMAR) do composto 123.



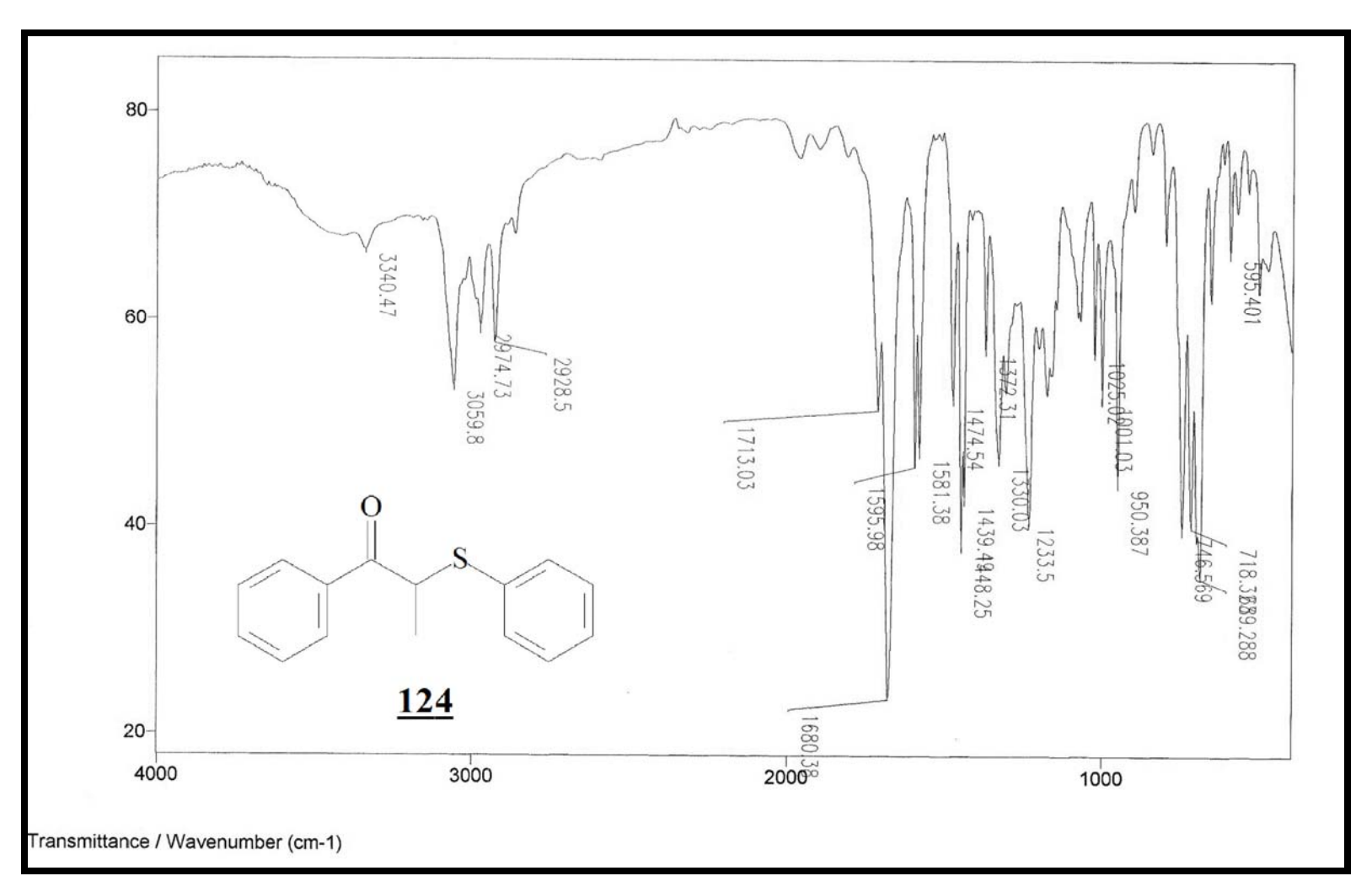
Espectro 57: Espectro de RMN de ¹H (500 Mz, CDCl₃, t.a.) do composto <u>124</u>.



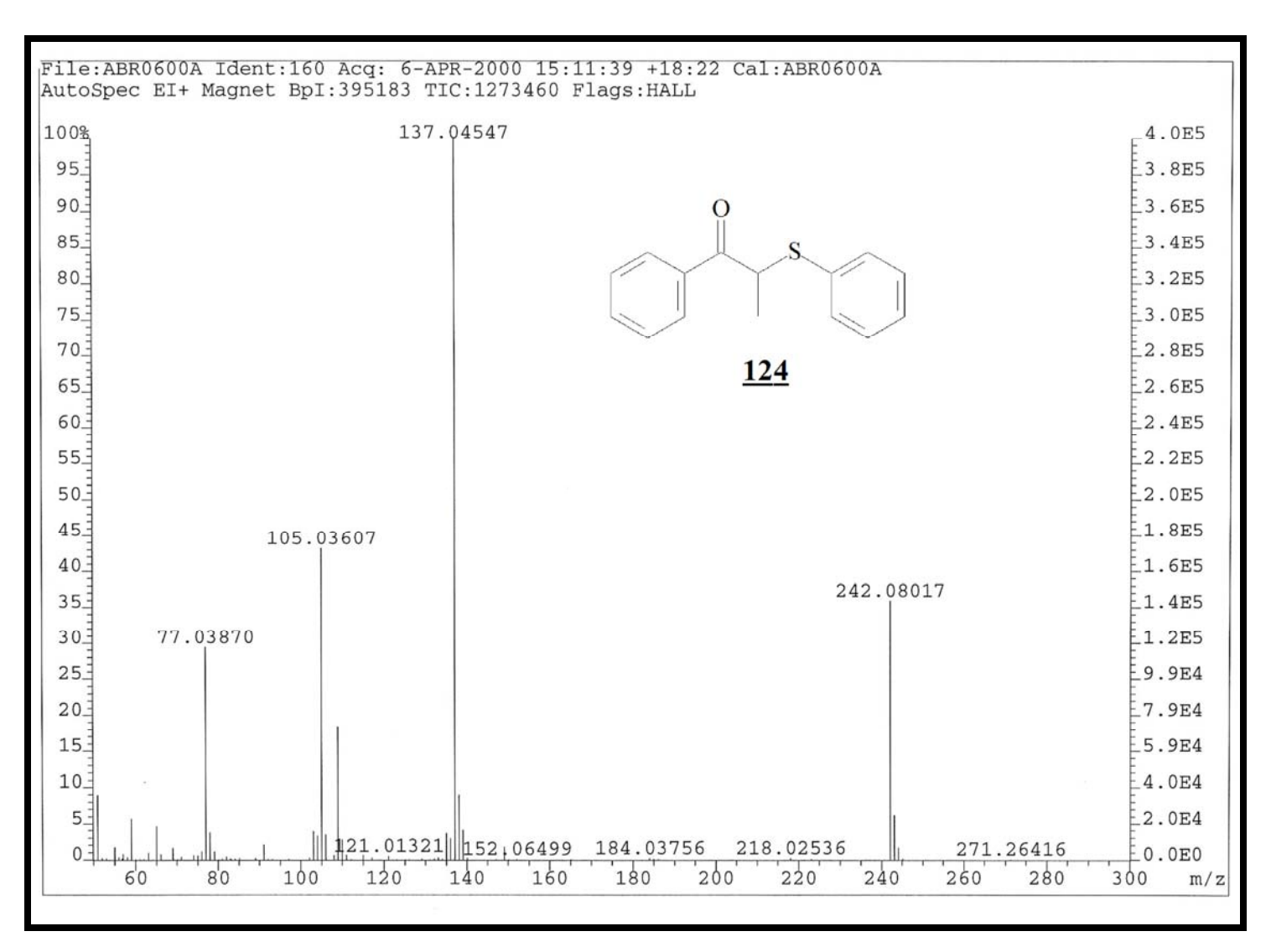
Espectro 58: Espectro de RMN de ¹³C (125 Mz, CDCl₃, t.a.) do composto <u>124</u>.



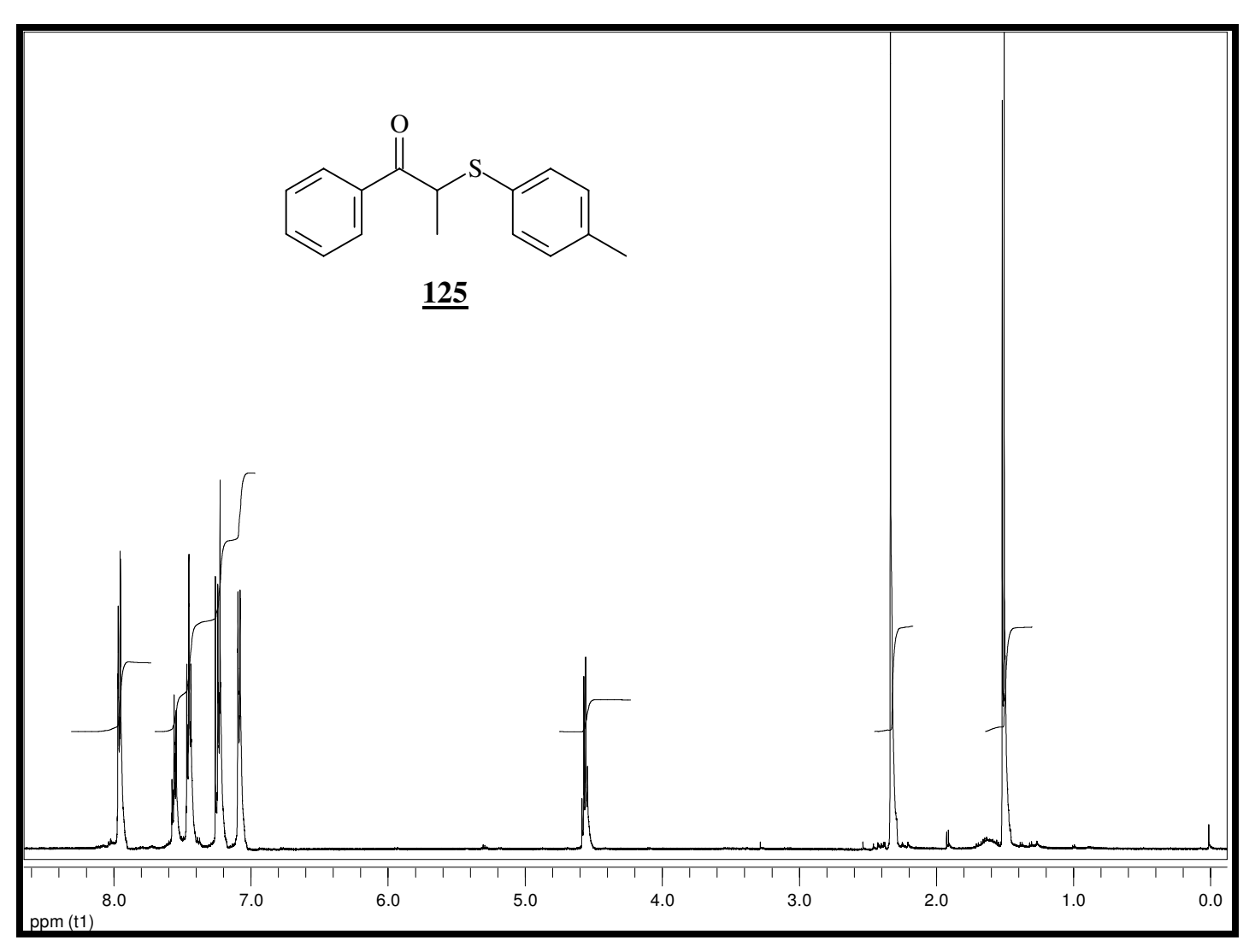
Espectro 59: Espectro gCOSY do composto <u>124</u>.



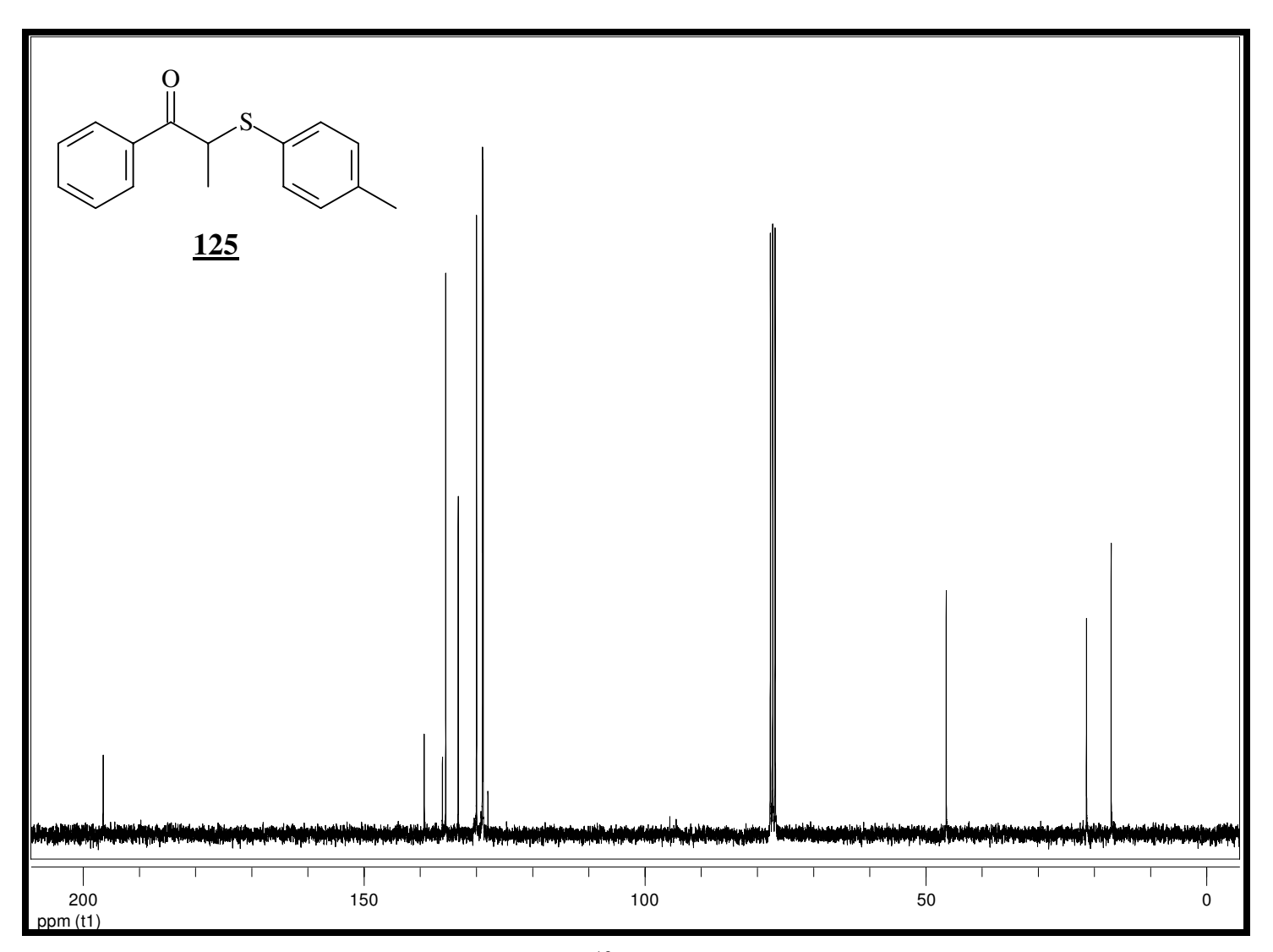
Espectro 60: Espectro de infravermelho do composto 124.



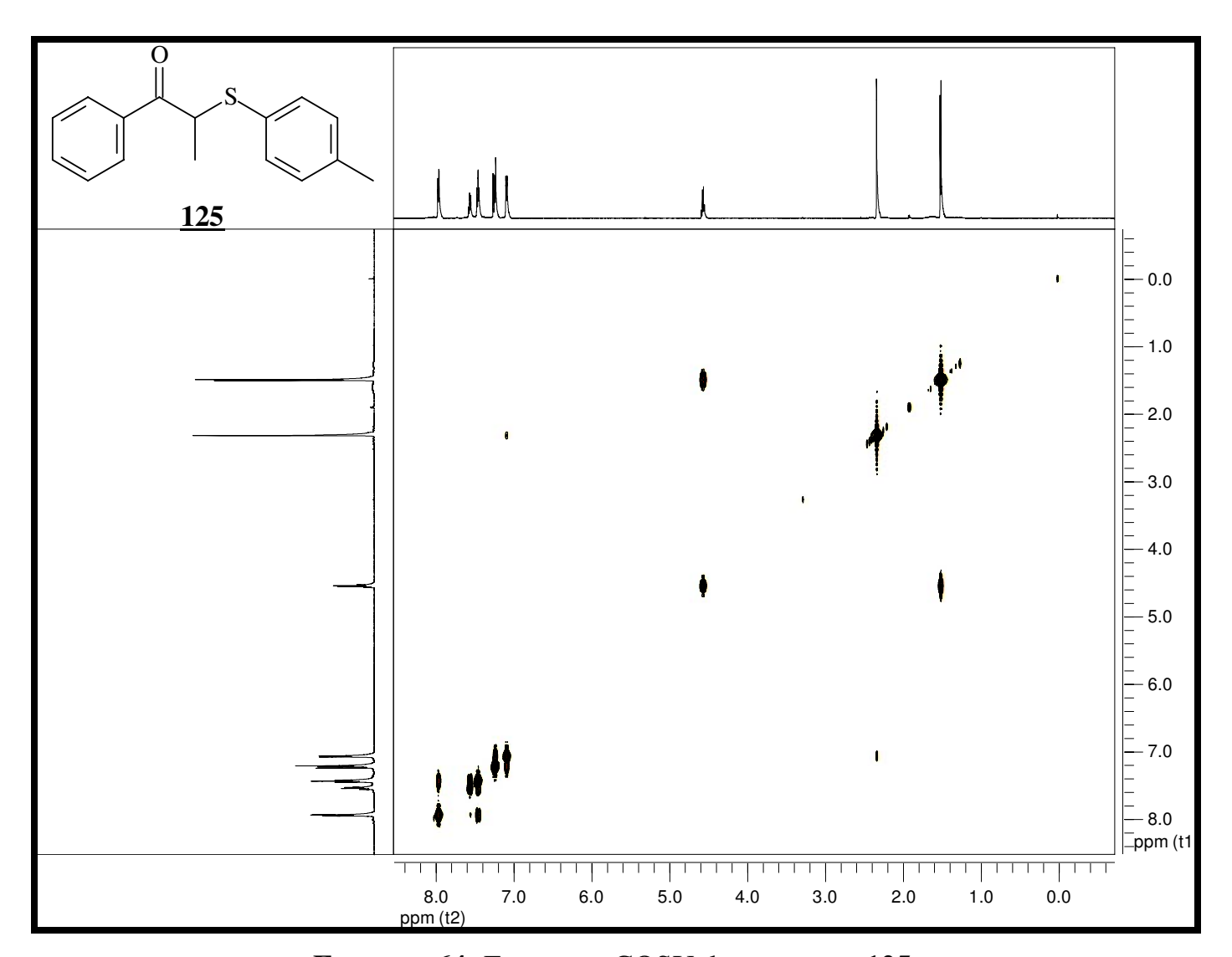
Espectro 61: Espectro de massas (EMAR) do composto <u>124</u>.



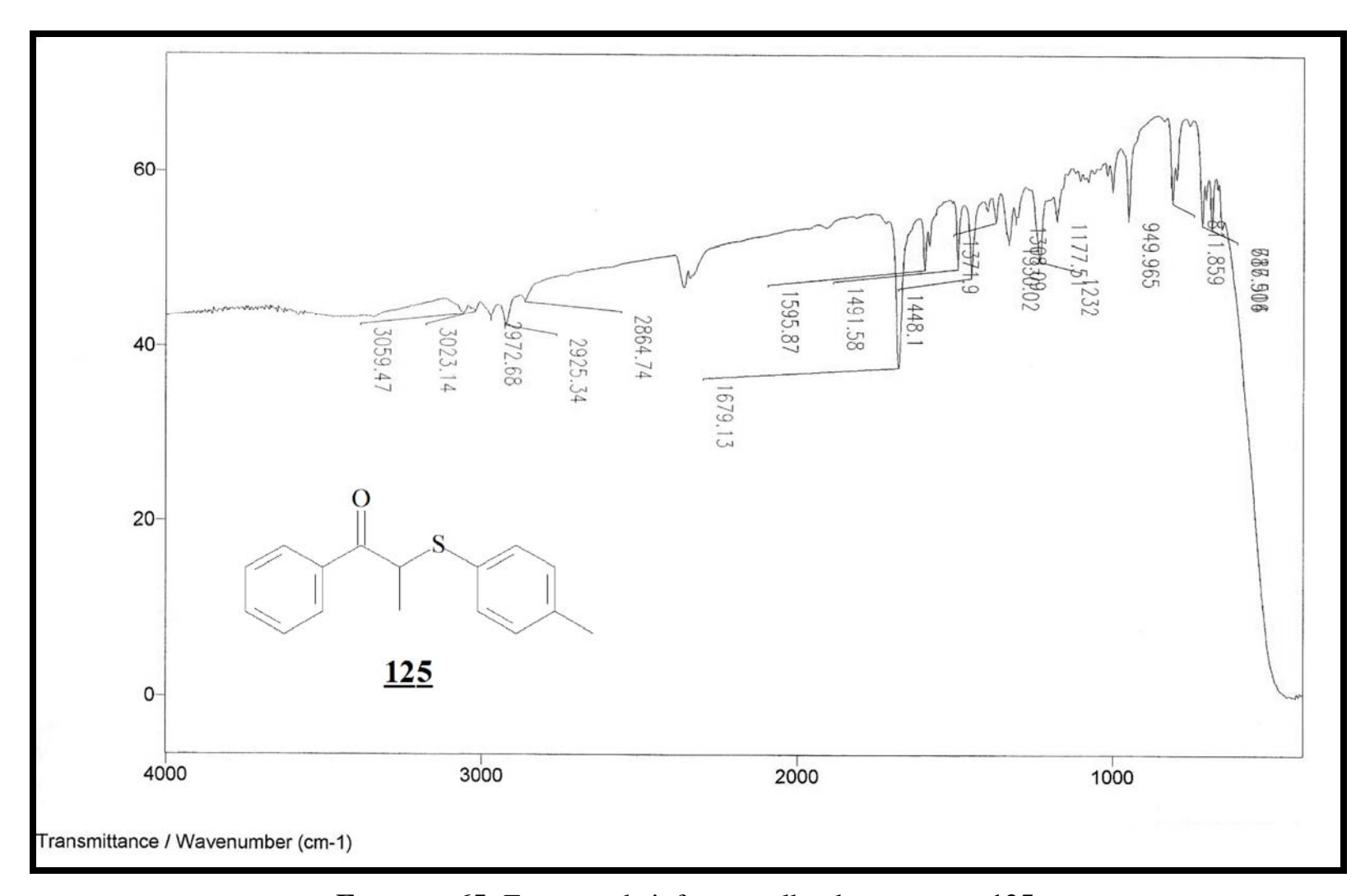
Espectro 62: Espectro de RMN de ¹H (300 Mz, CDCl₃, t.a.) do composto <u>125</u>.



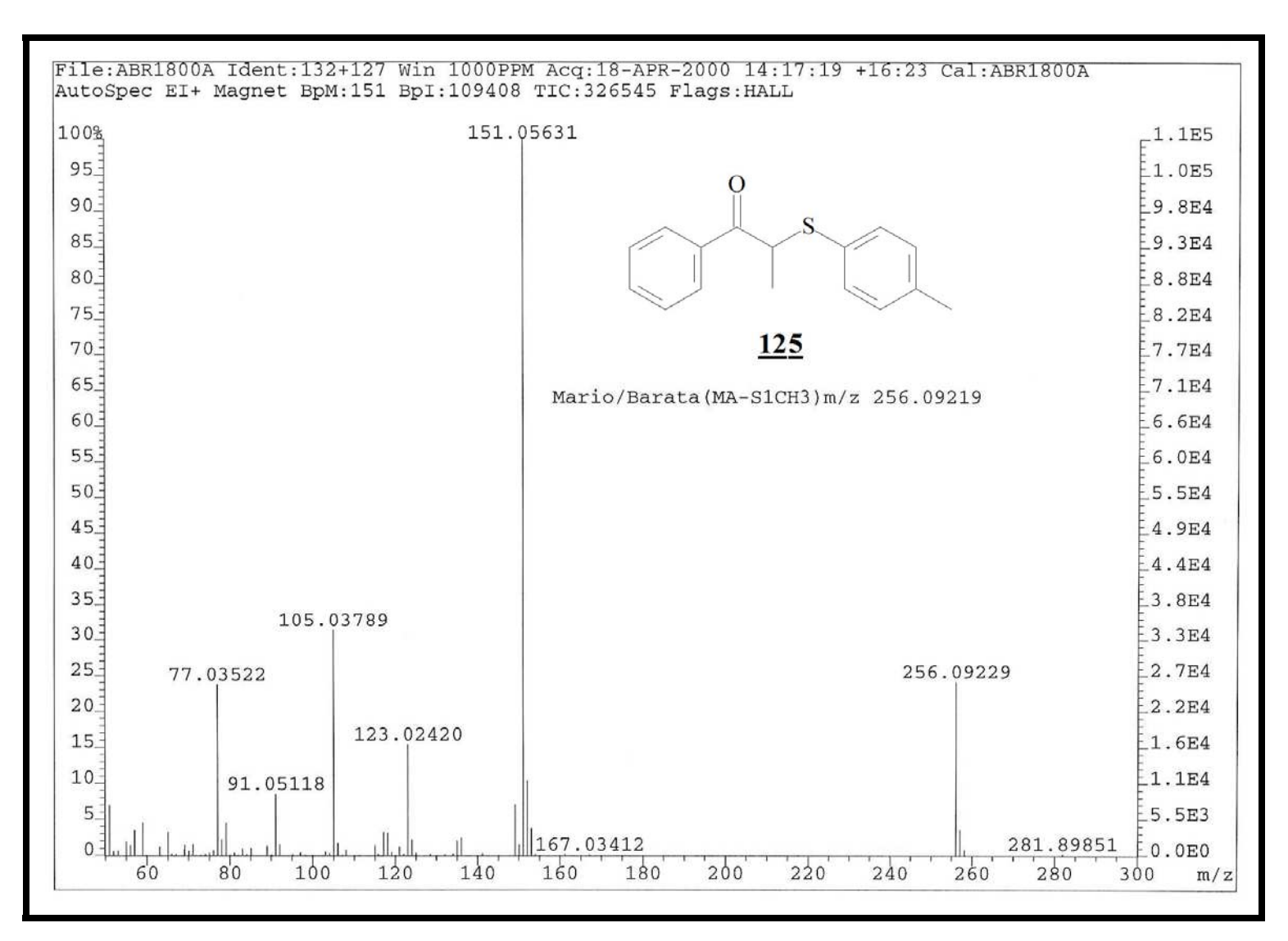
Espectro 63: Espectro de RMN de ¹³C (75 Mz, CDCl₃, t.a.) do composto <u>125</u>.



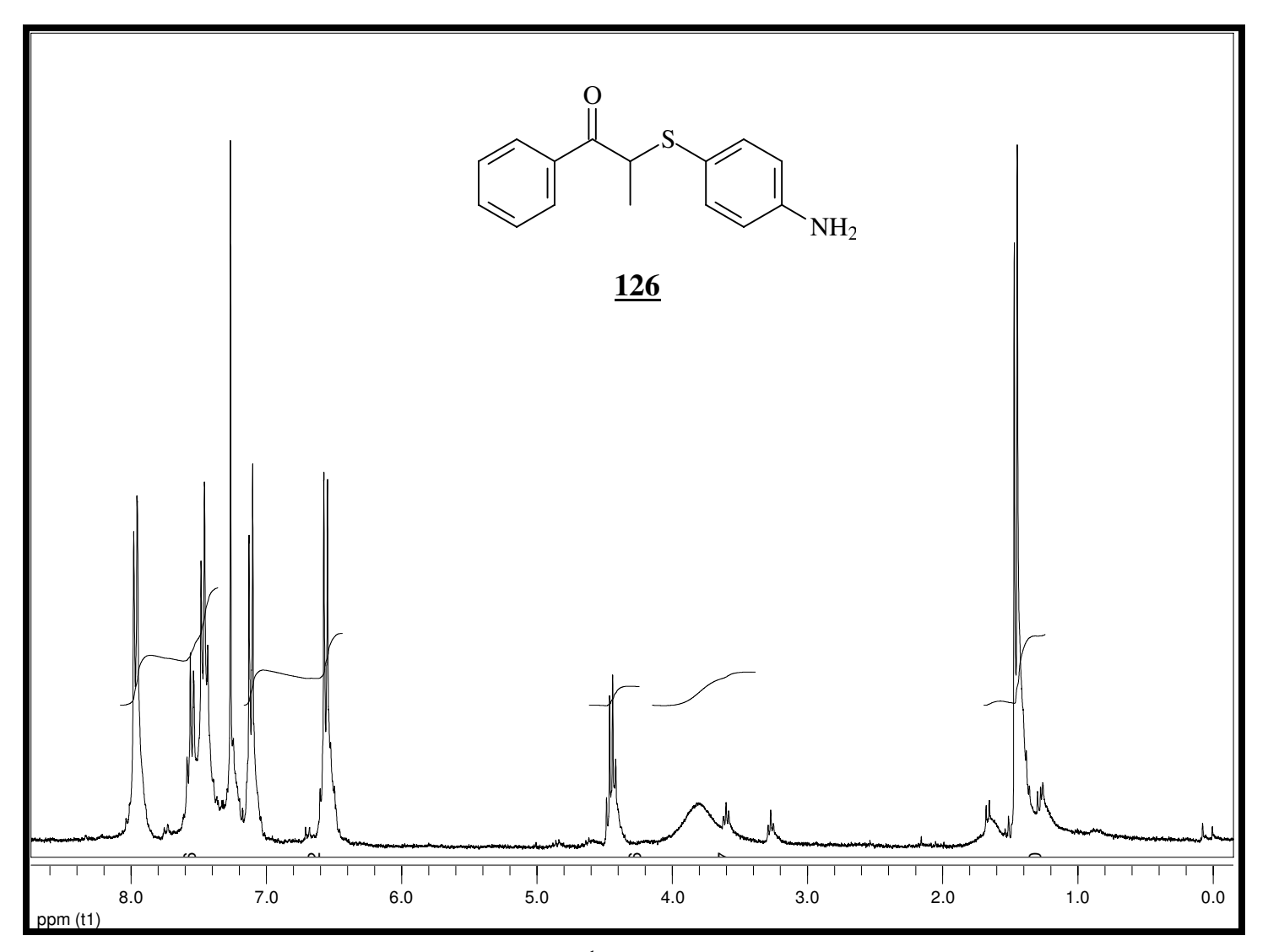
Espectro 64: Espectro gCOSY do composto <u>125</u>.



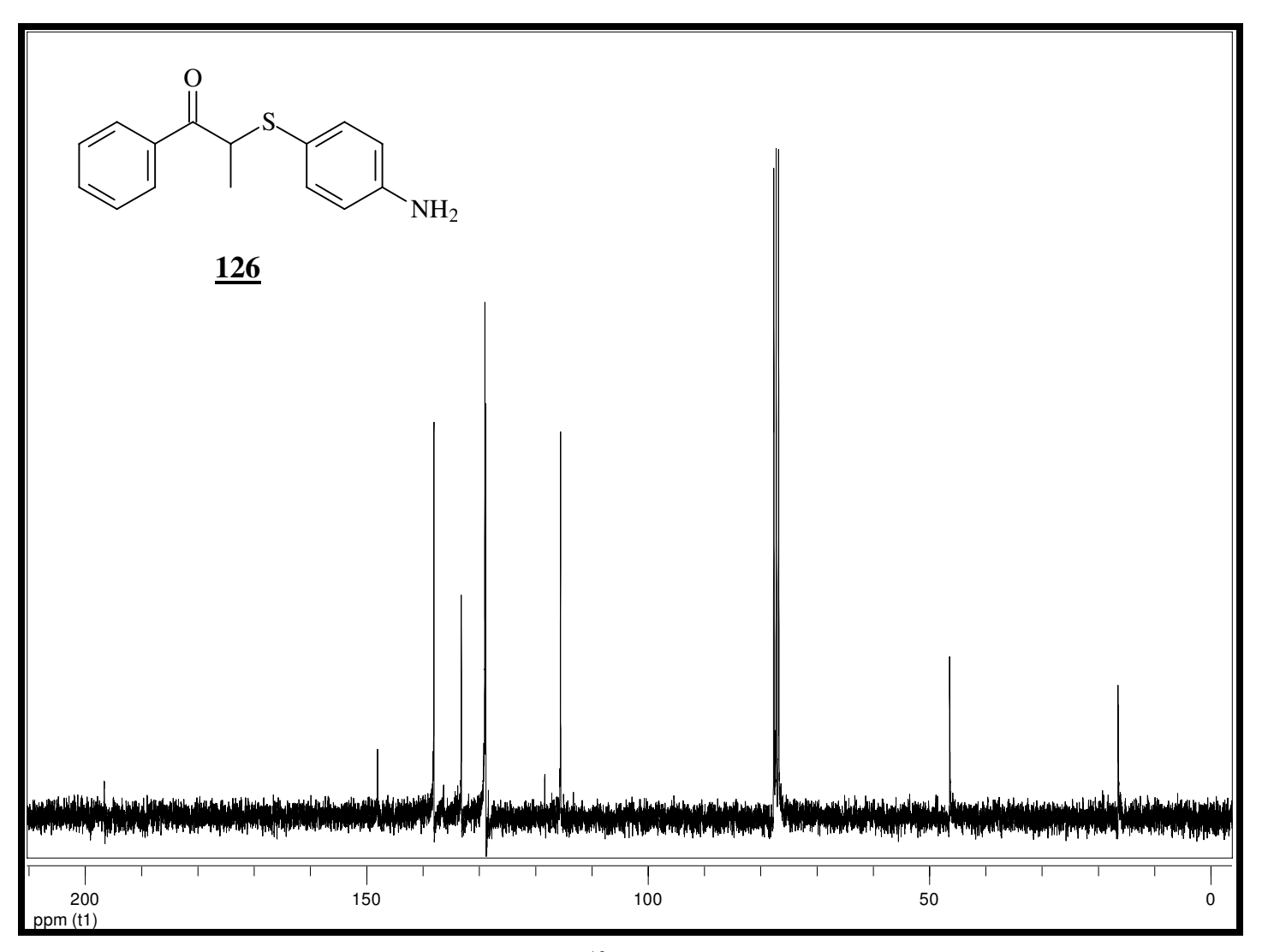
Espectro 65: Espectro de infravermelho do composto <u>125</u>.



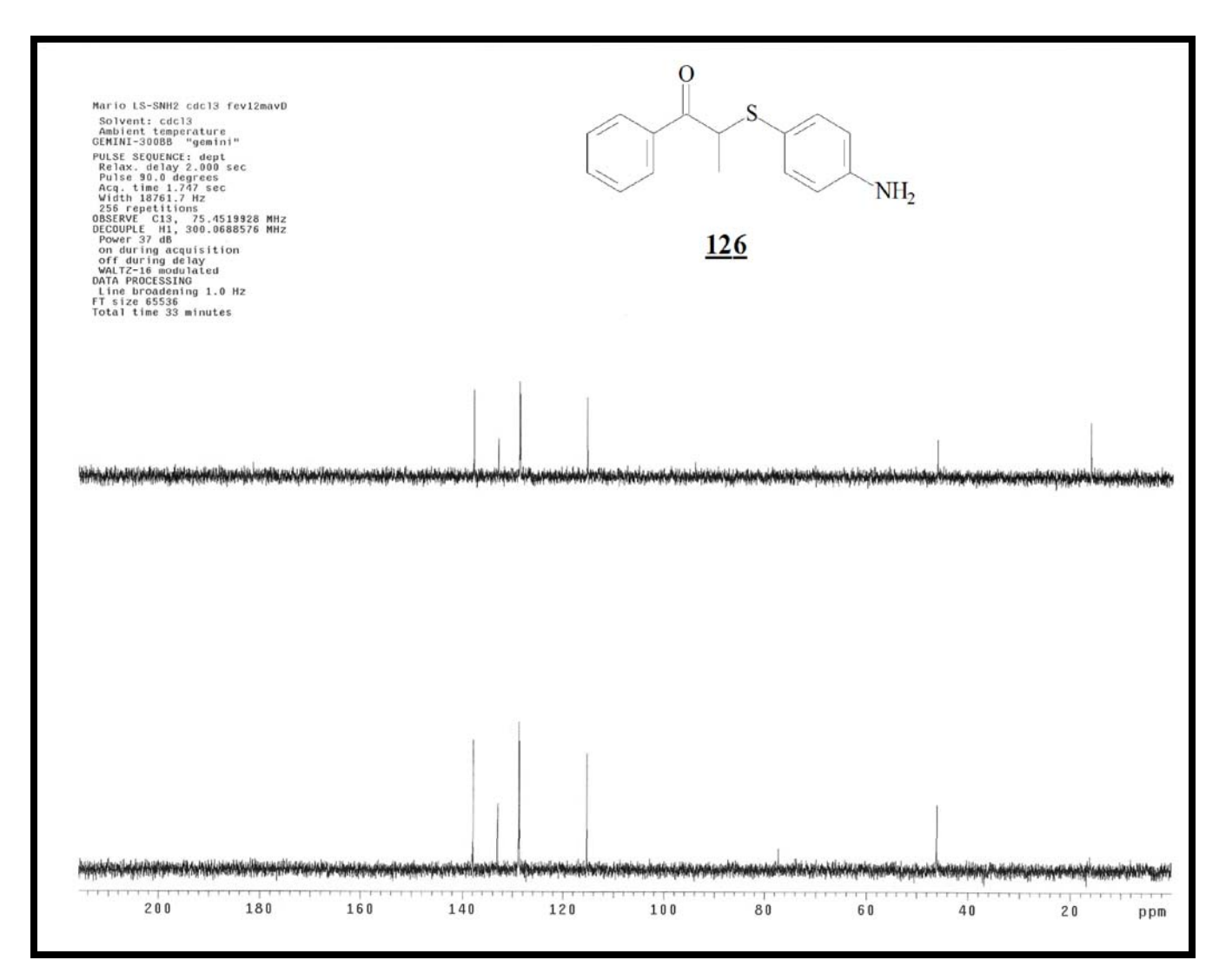
Espectro 66: Espectro de massas (EMAR) do composto 125.



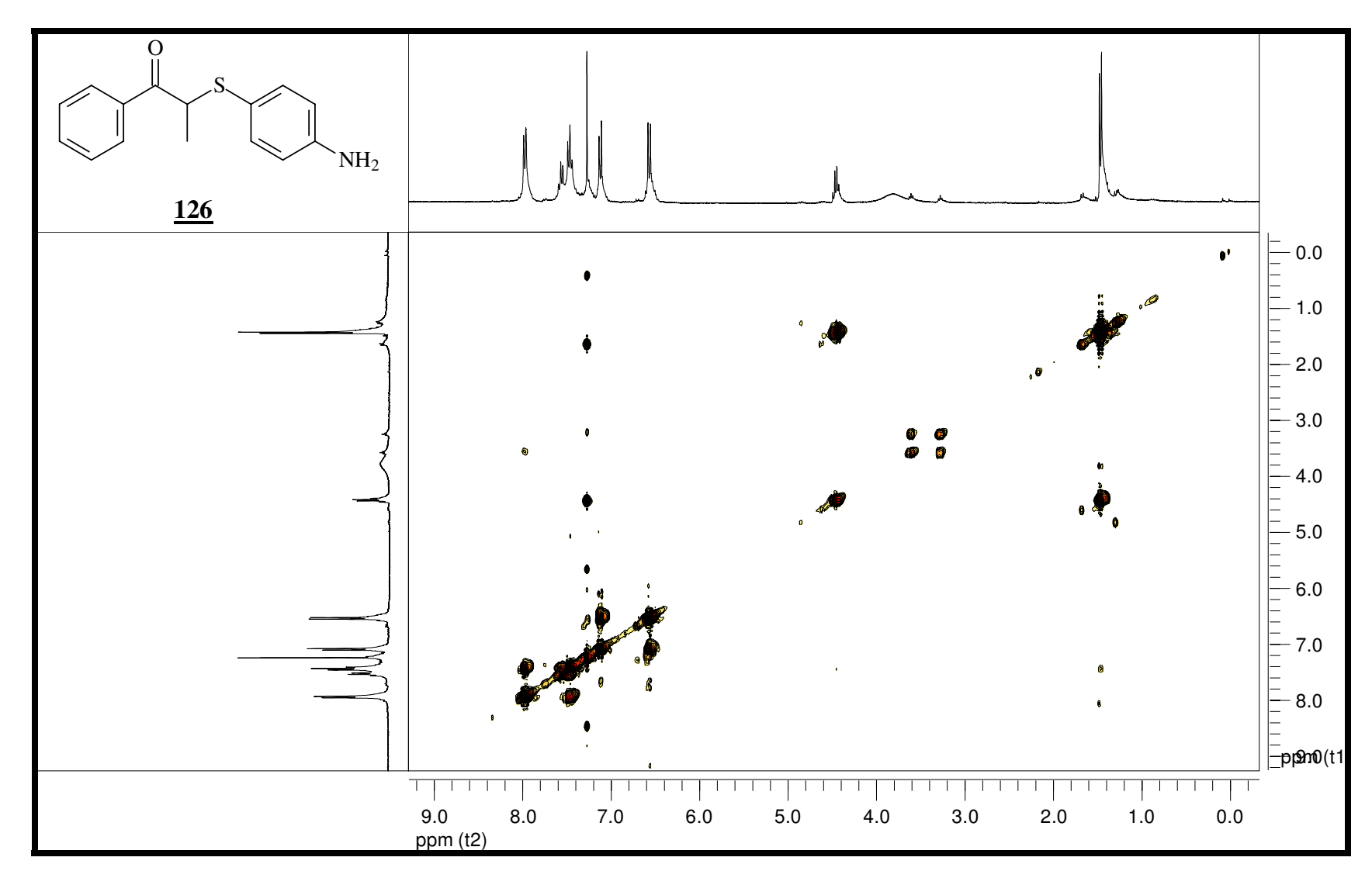
Espectro 67: Espectro de RMN de ¹H (300 Mz, CDCl₃, t.a.) do composto <u>126</u>.



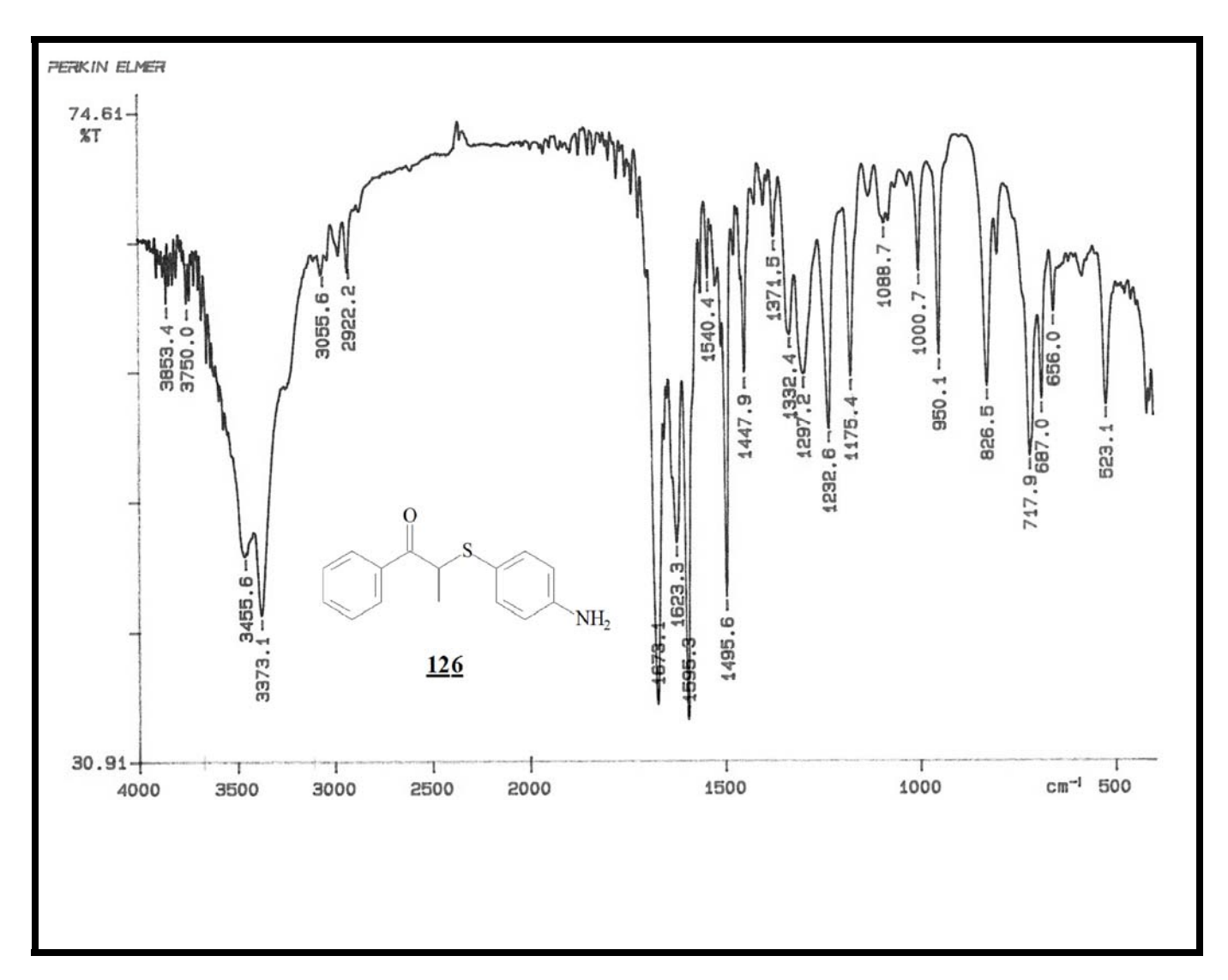
Espectro 68: Espectro de RMN de ¹³C (75 Mz, CDCl₃, t.a.) do composto <u>126</u>.



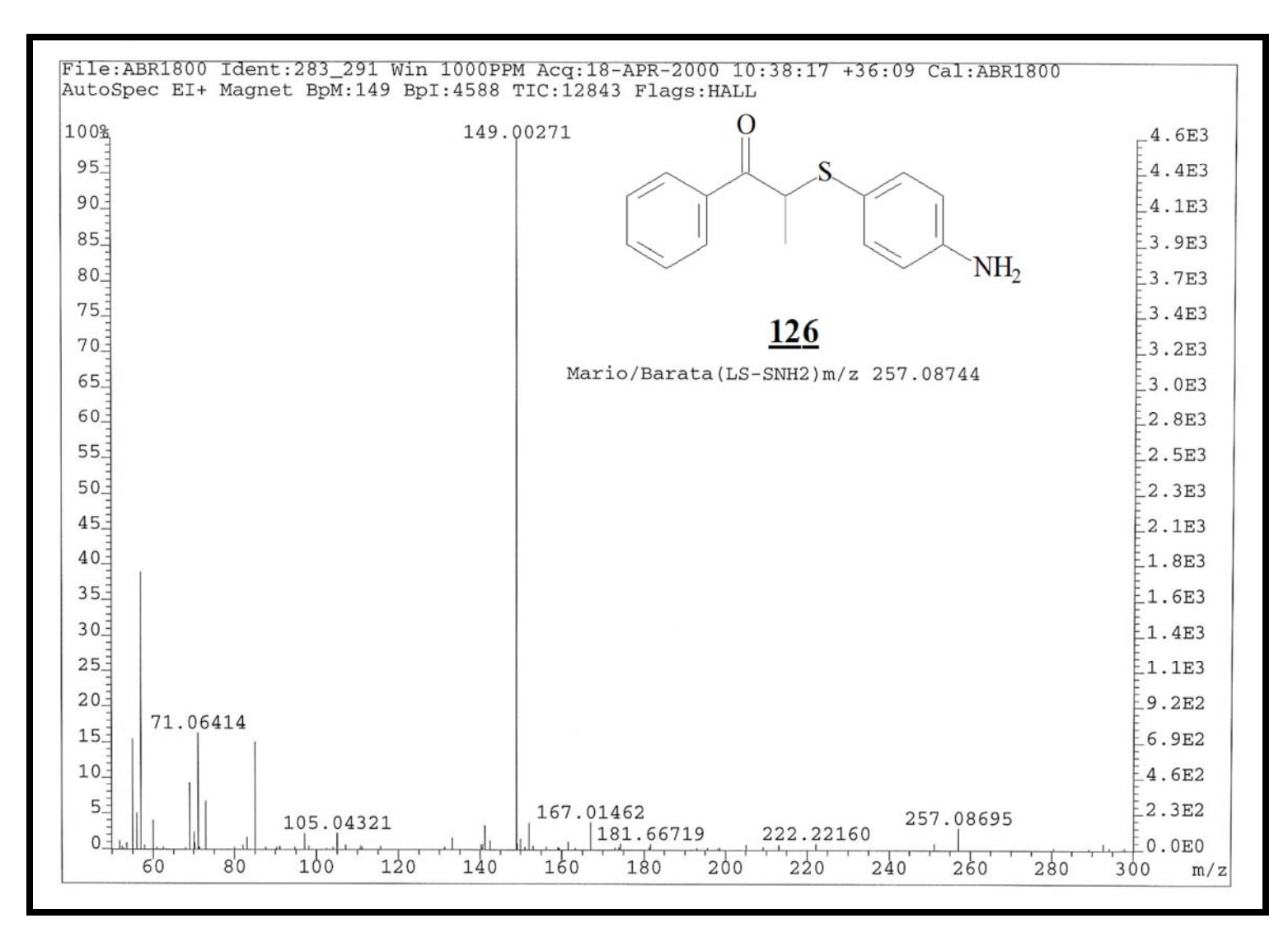
Espectro 69: Espectro DEPT do composto <u>126</u>.



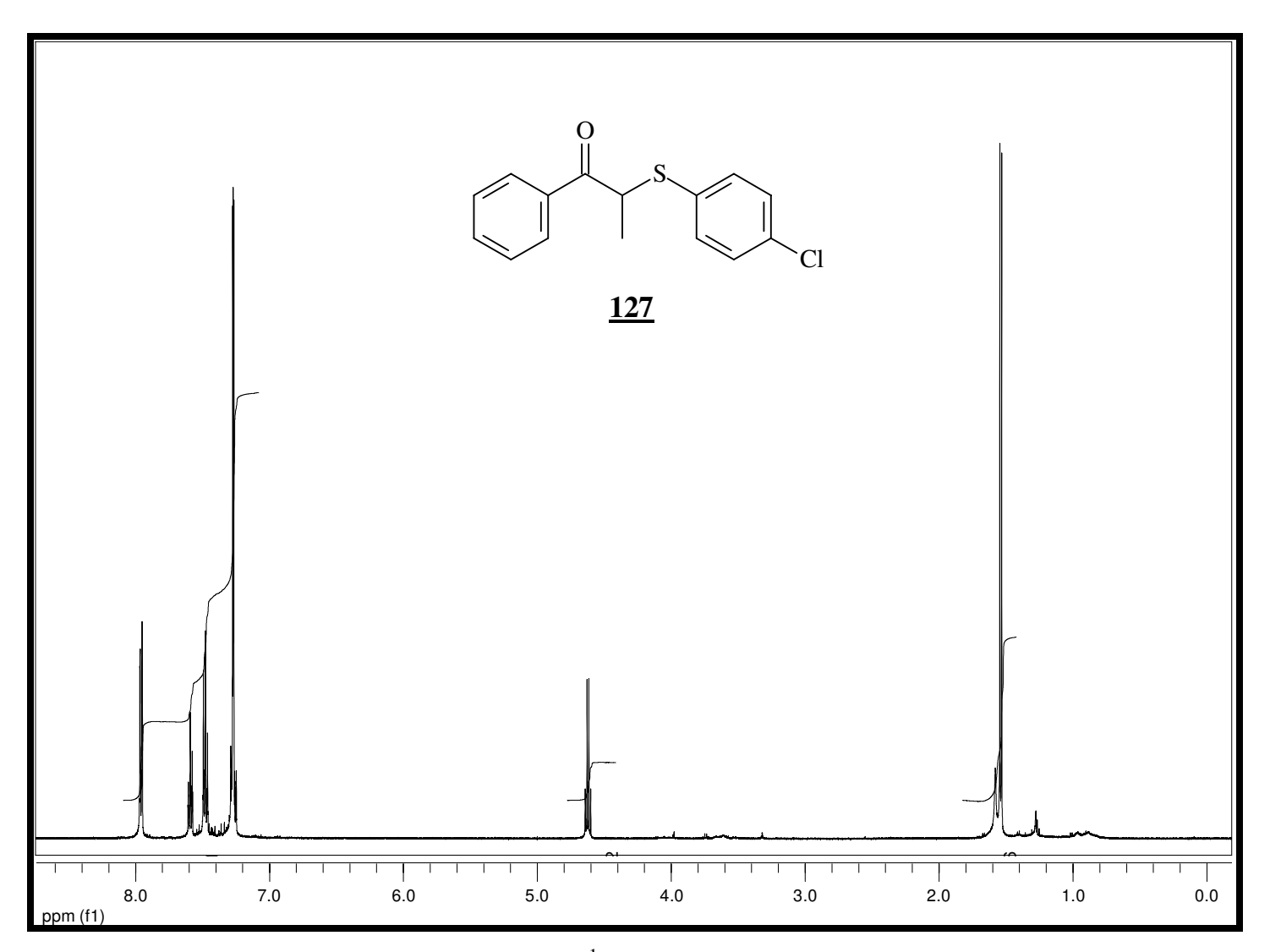
Espectro 70: Espectro gCOSY do composto <u>126</u>.



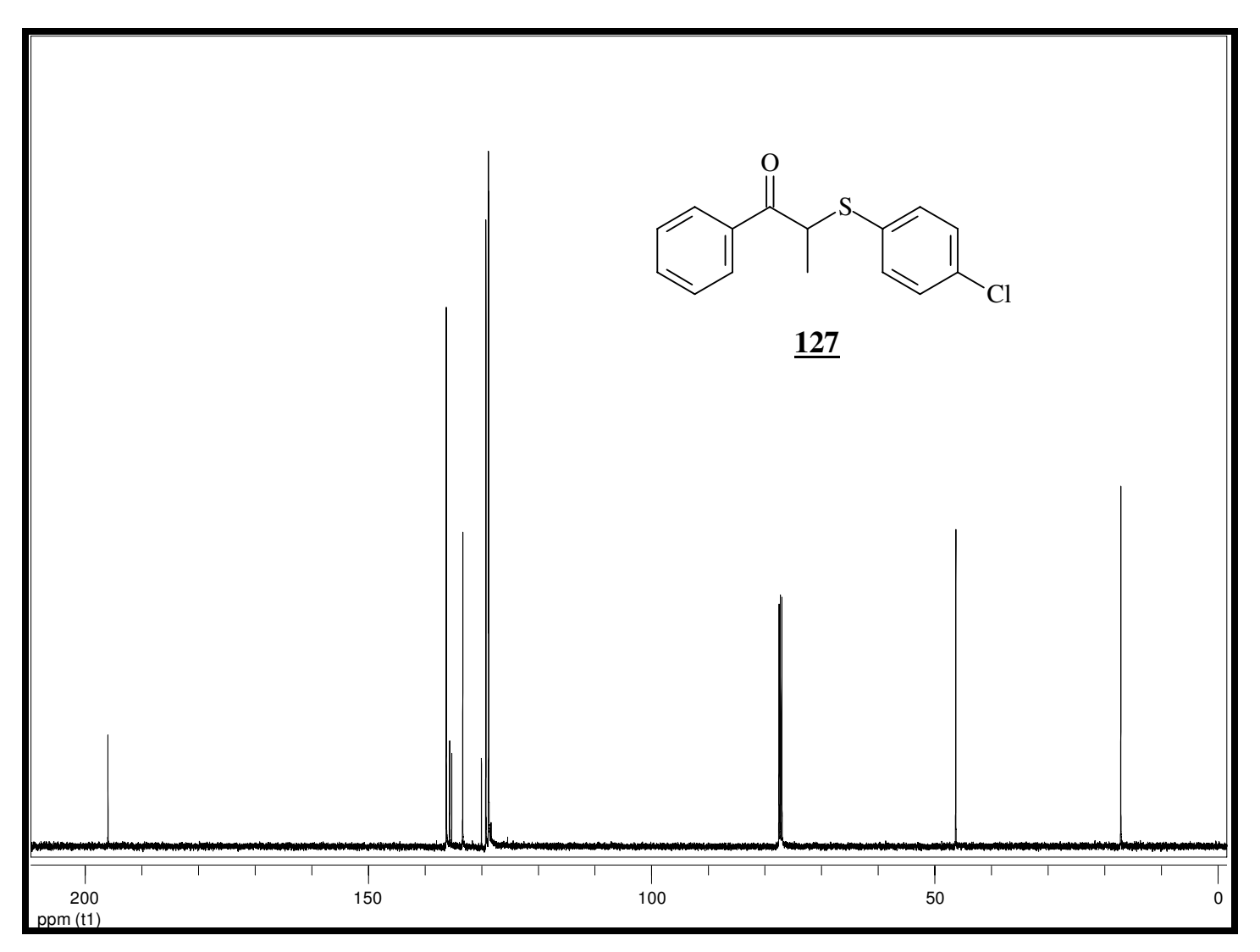
Espectro 71: Espectro de infravermelho do composto 126.



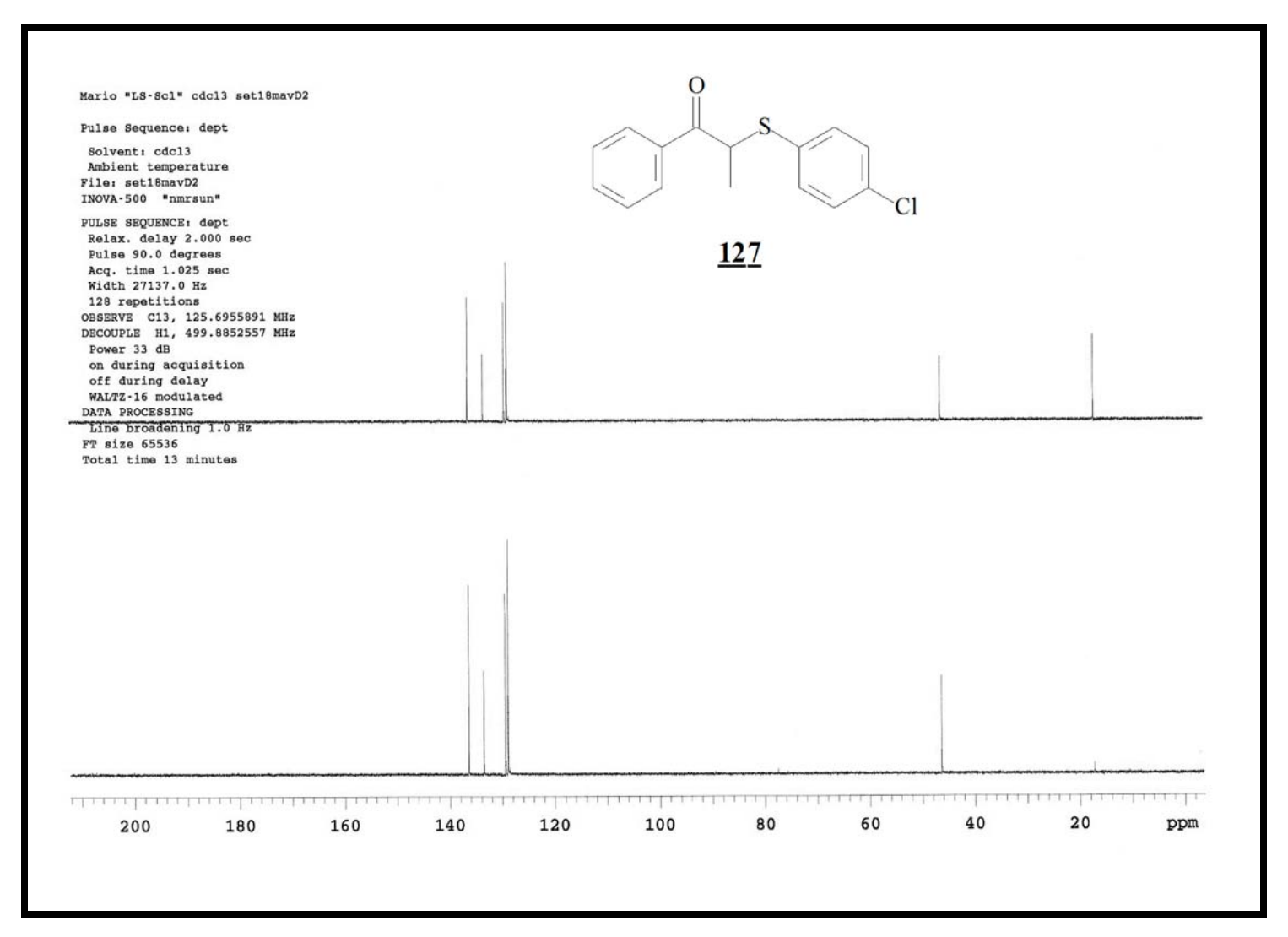
Espectro 72: Espectro de massas (EMAR) do composto 126.



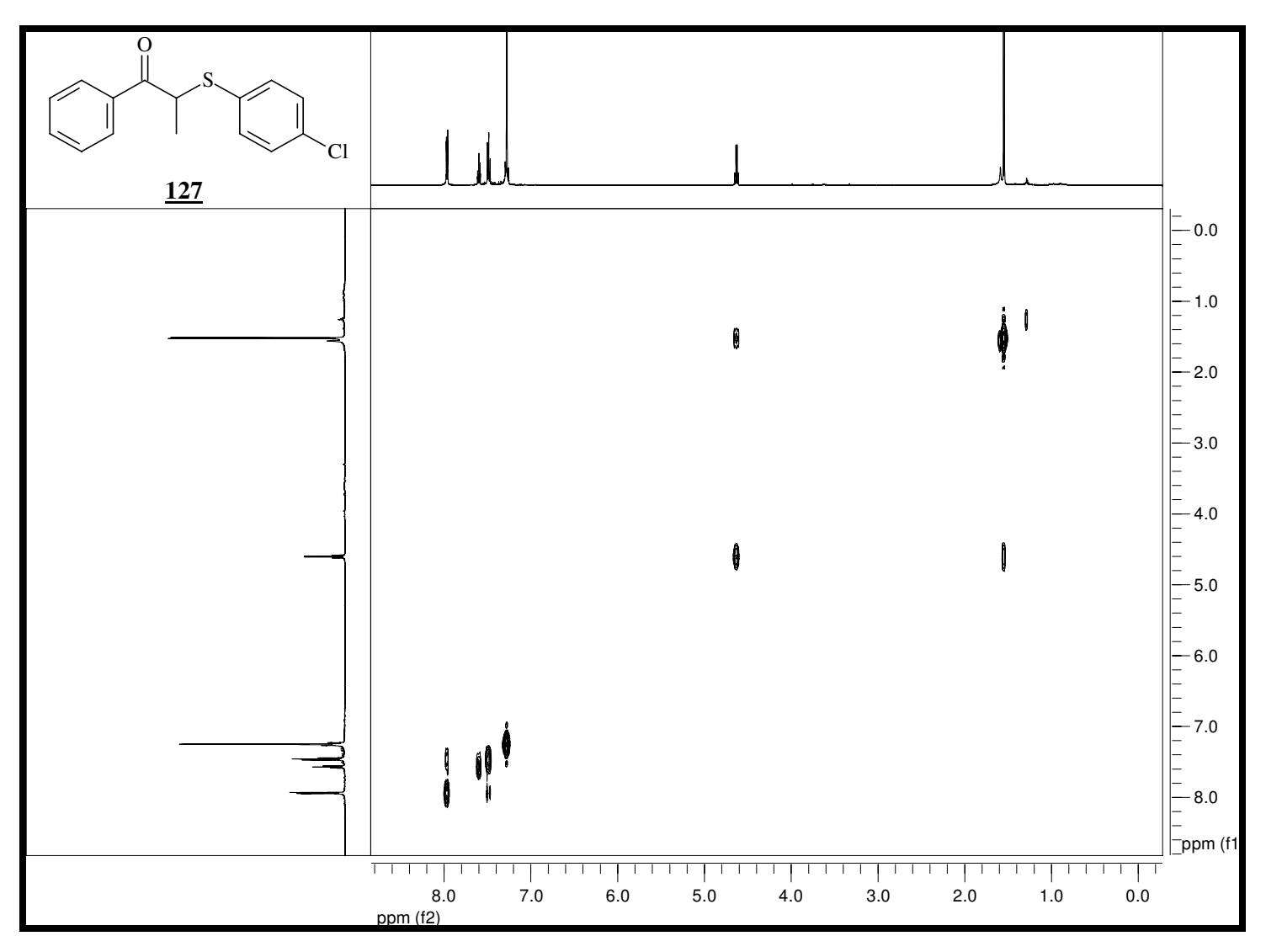
Espectro 73: Espectro de RMN de ¹H (500 Mz, CDCl₃, t.a.) do composto <u>127</u>.



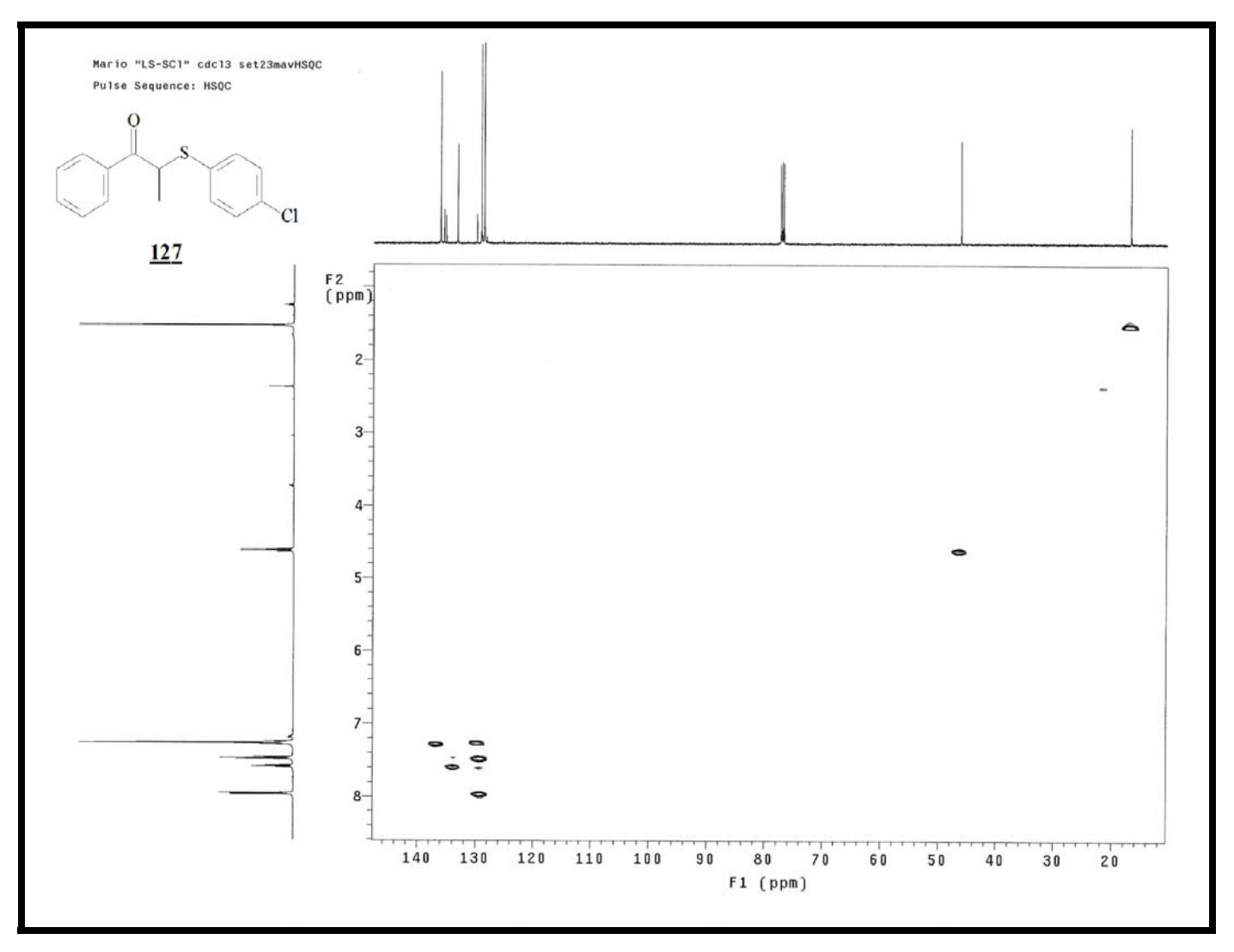
Espectro 74: Espectro de RMN de ¹³C (125 Mz, CDCl₃, t.a.) do composto <u>127</u>.



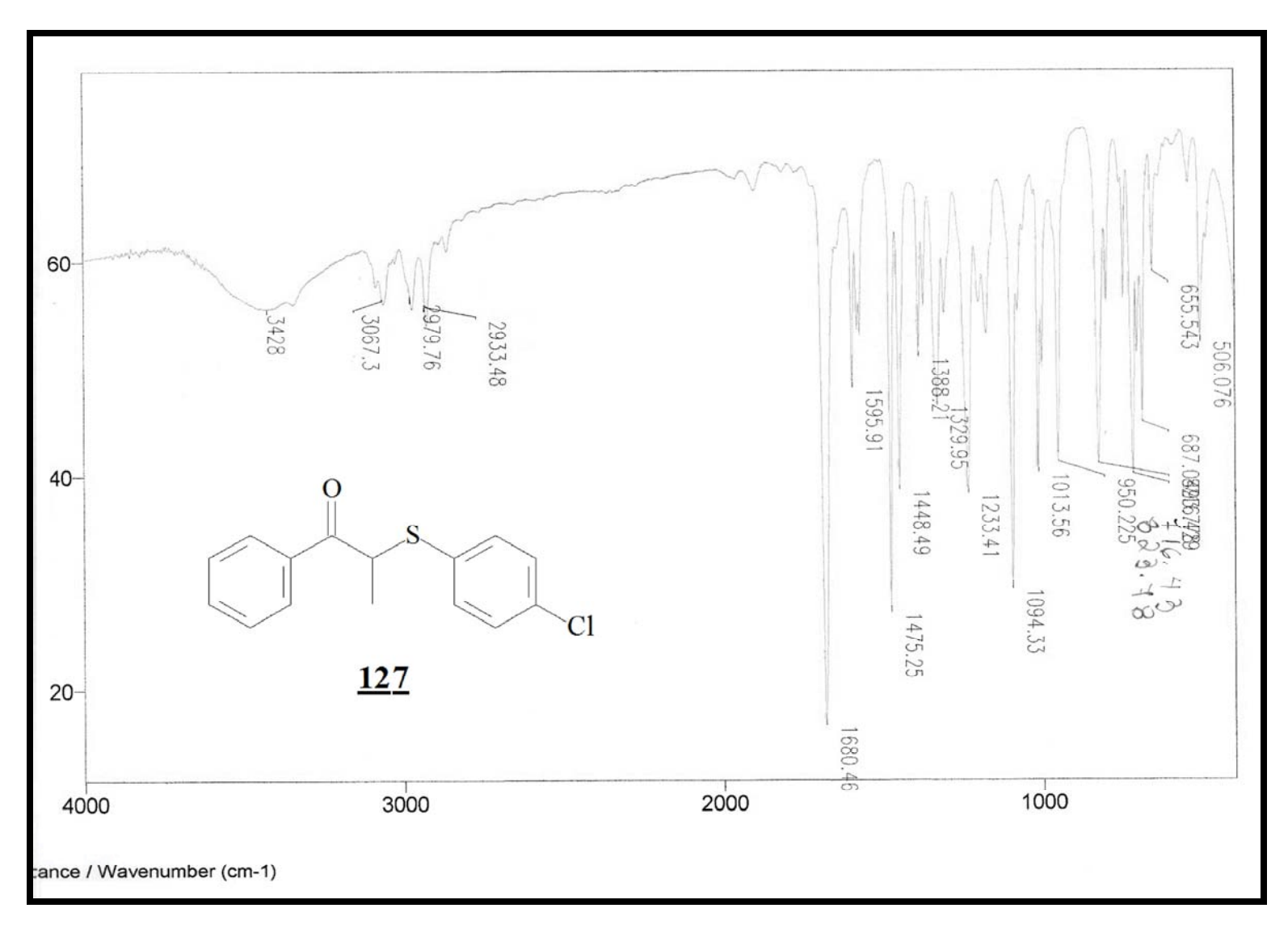
Espectro 75: Espectro DEPT do composto <u>127</u>.



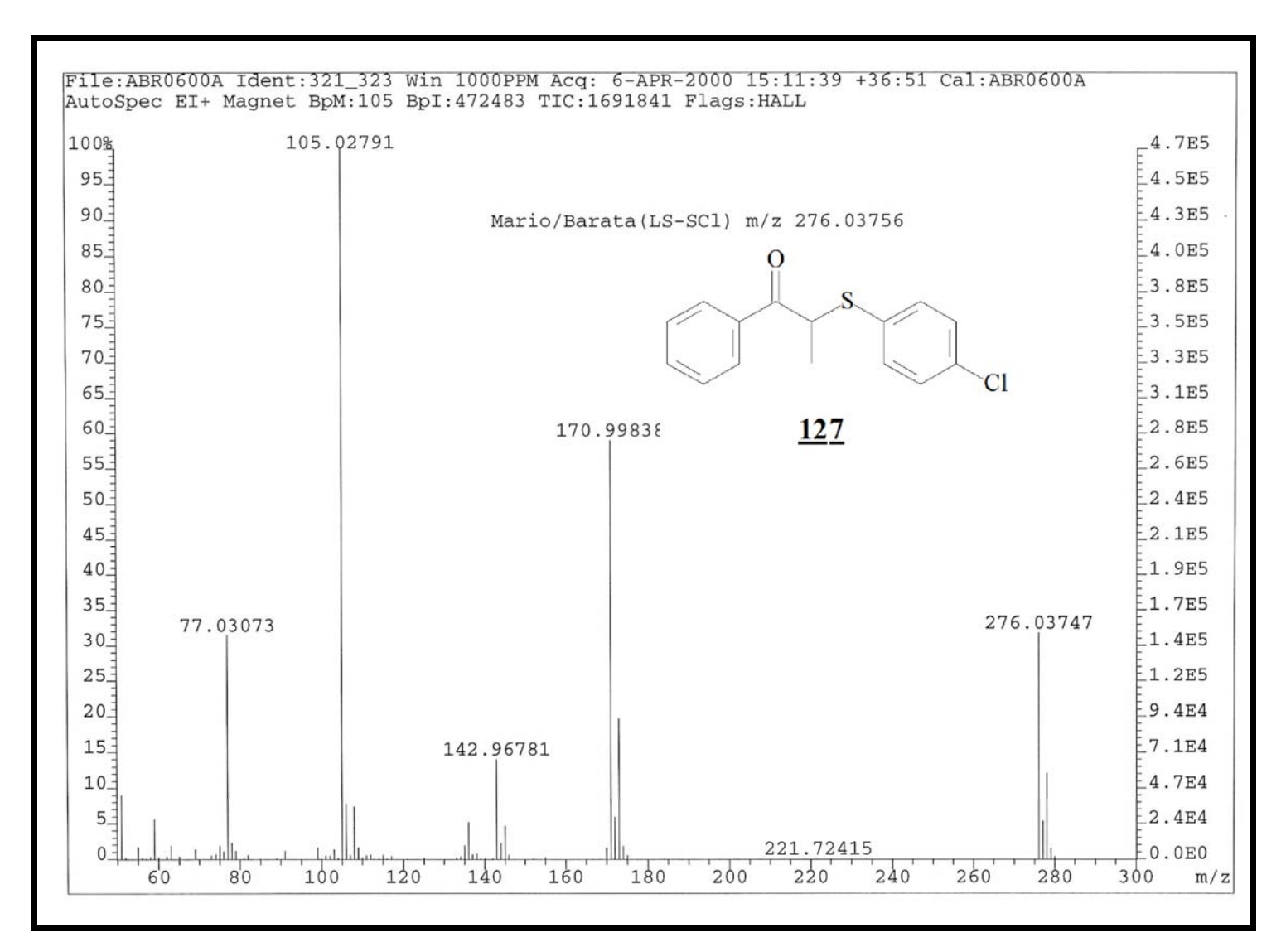
Espectro 76: Espectro gCOSY do composto 127.



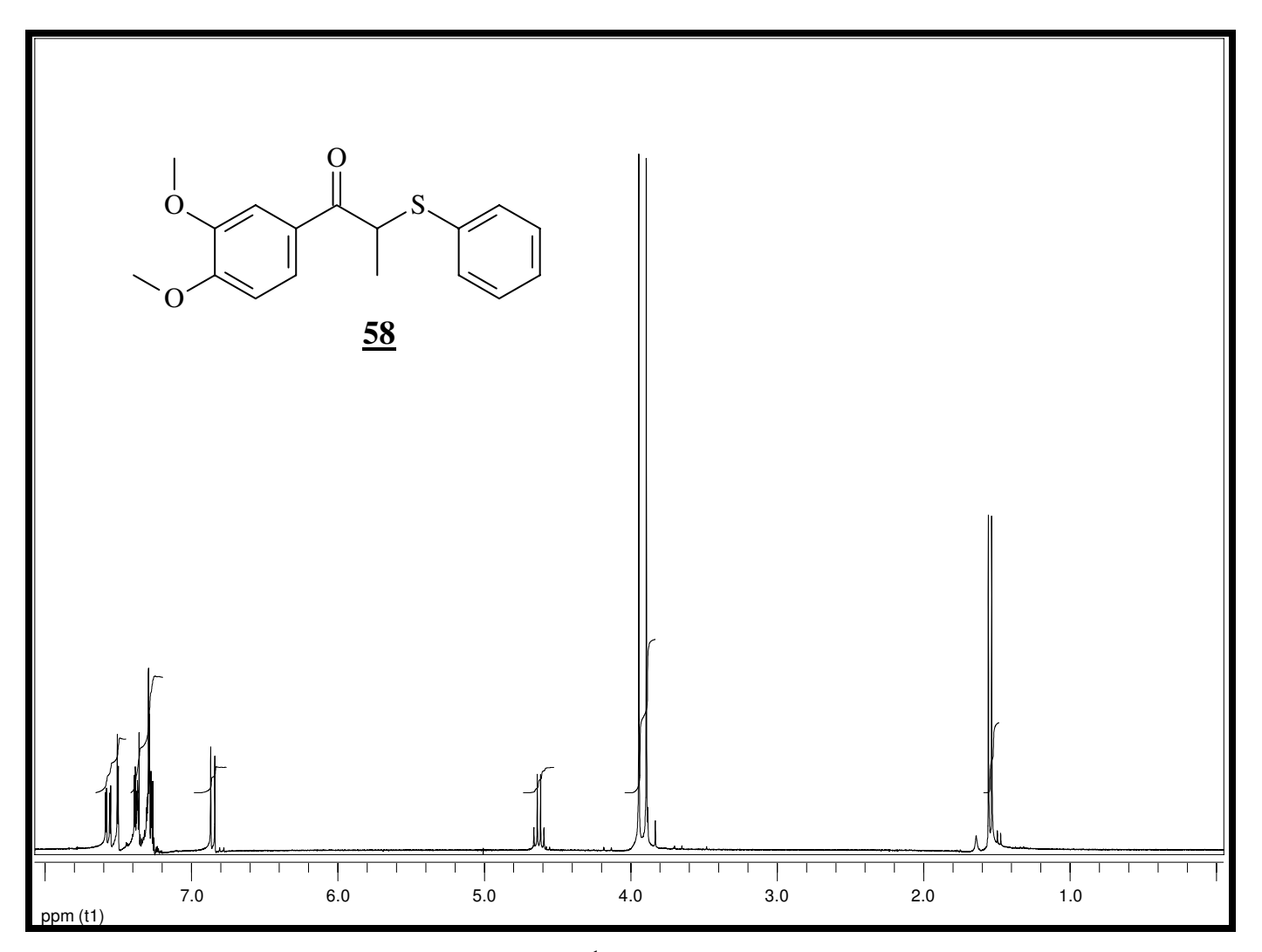
Espectro 77: Espectro HSQC do composto <u>127</u>.



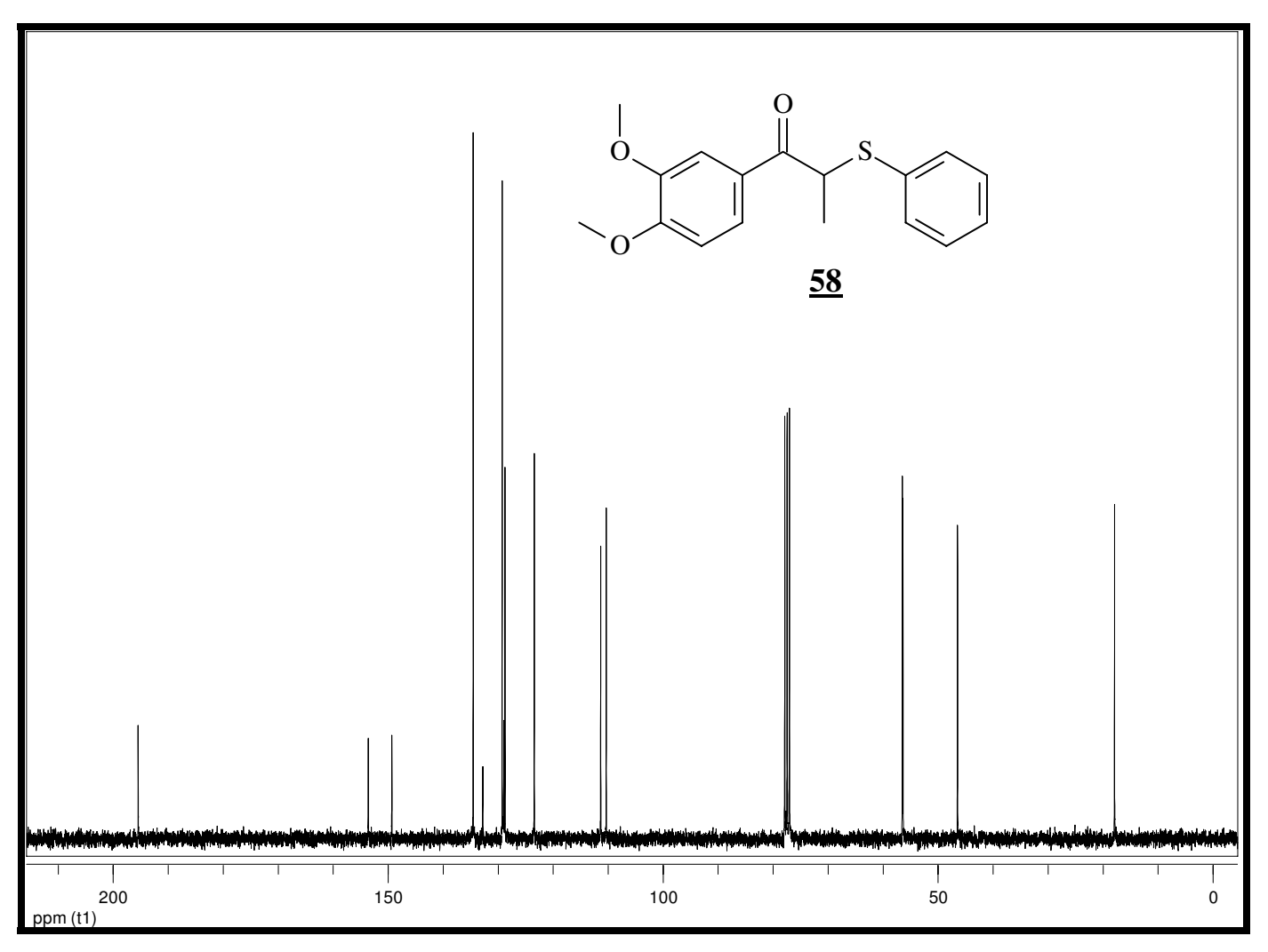
Espectro 78: Espectro de infravermelho do composto 127.



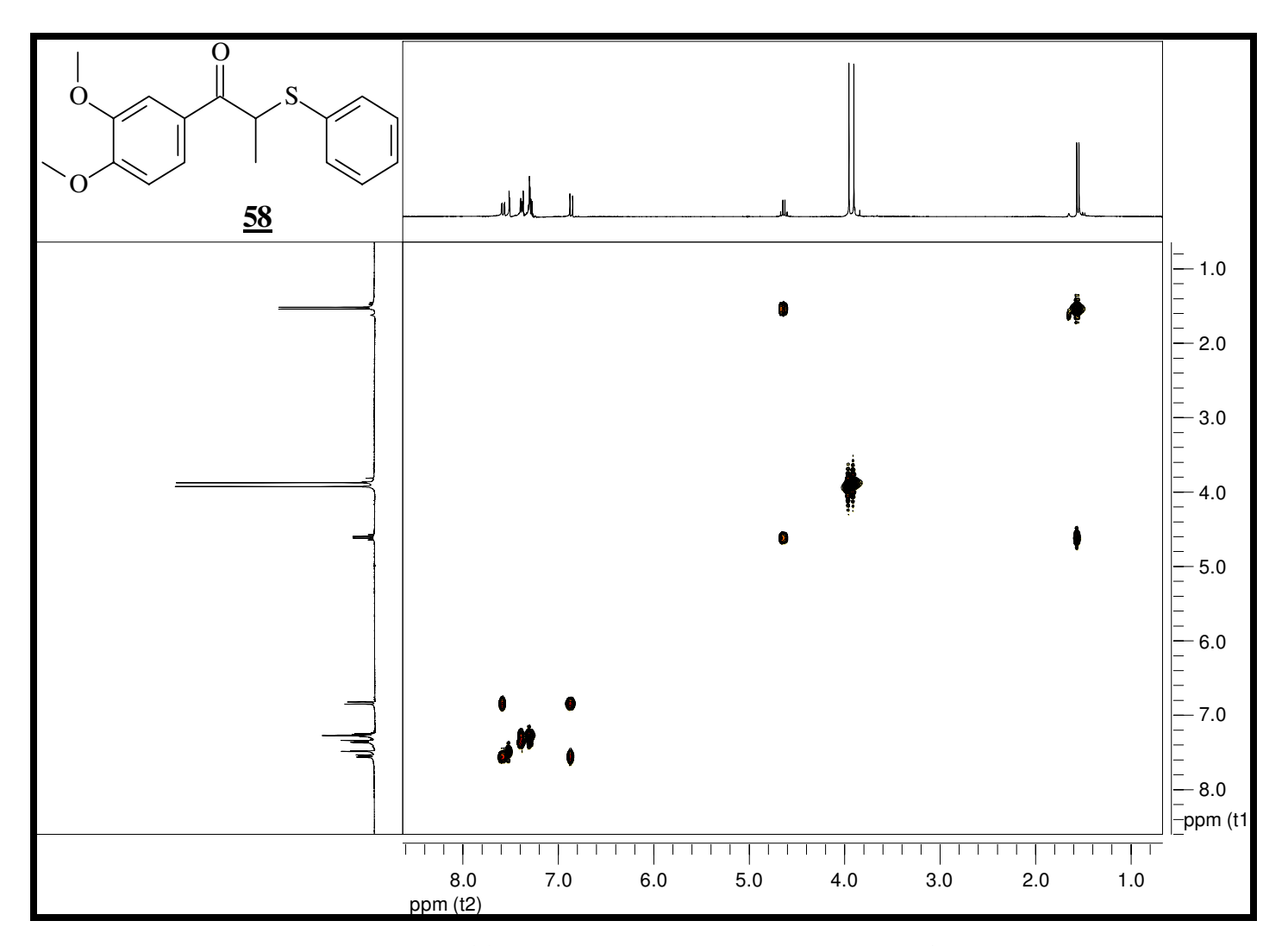
Espectro 79: Espectro de massas (EMAR) do composto <u>127</u>.



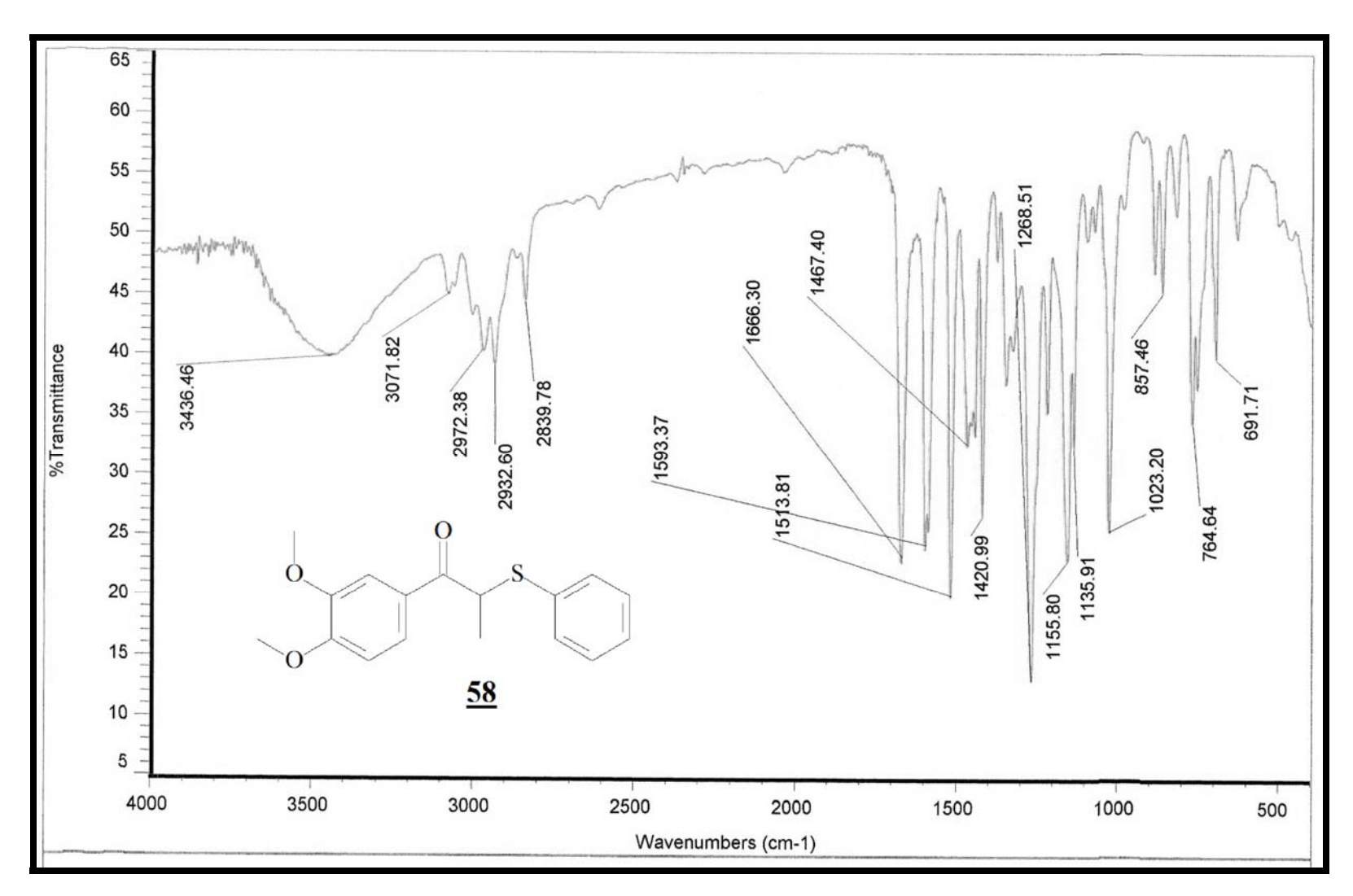
Espectro 80: Espectro de RMN de ¹H (500 Mz, CDCl₃, t.a.) do composto <u>58</u>.



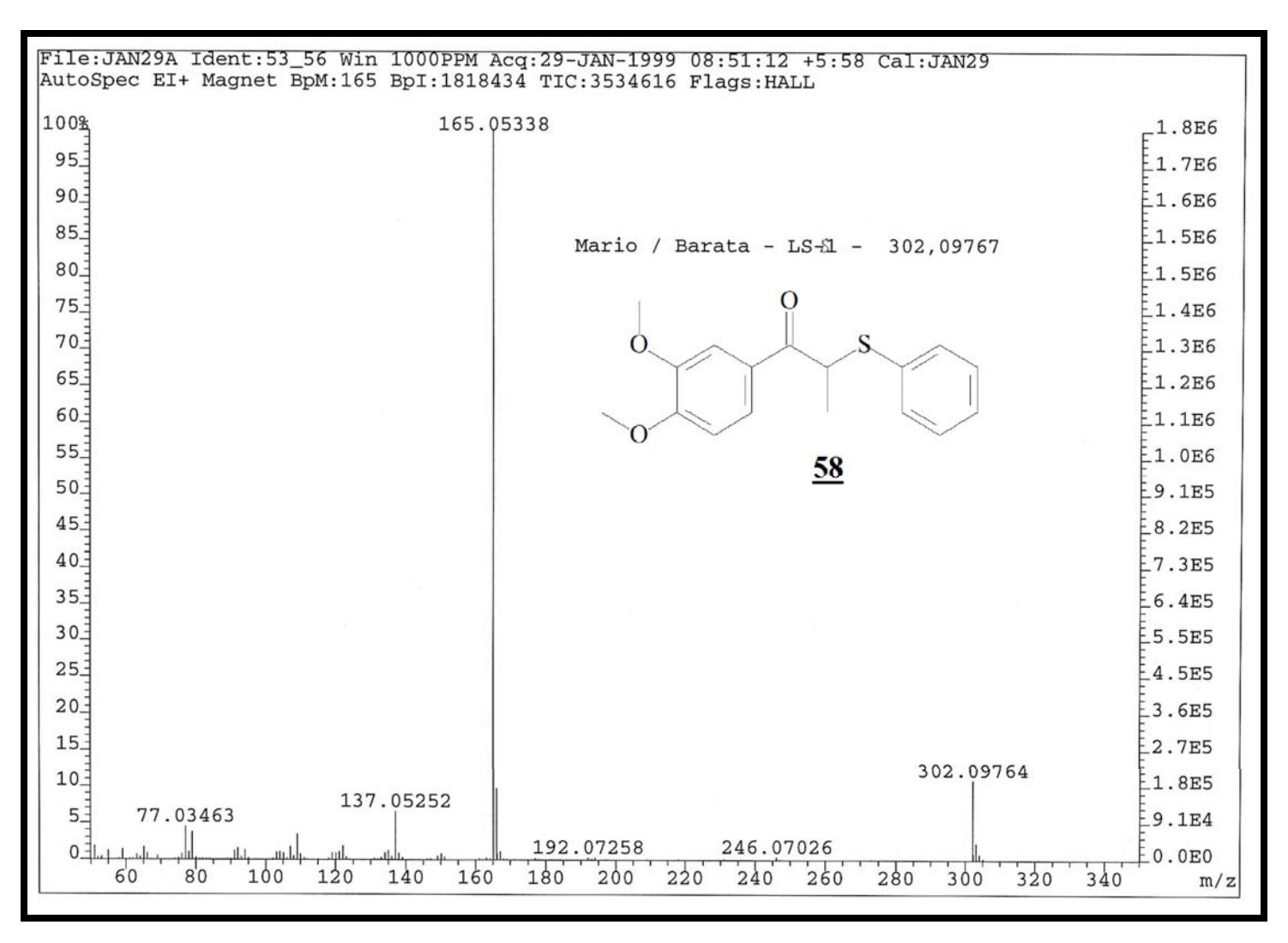
Espectro 81: Espectro de RMN de ¹³C (75 Mz, CDCl₃, t.a.) do composto <u>58</u>.



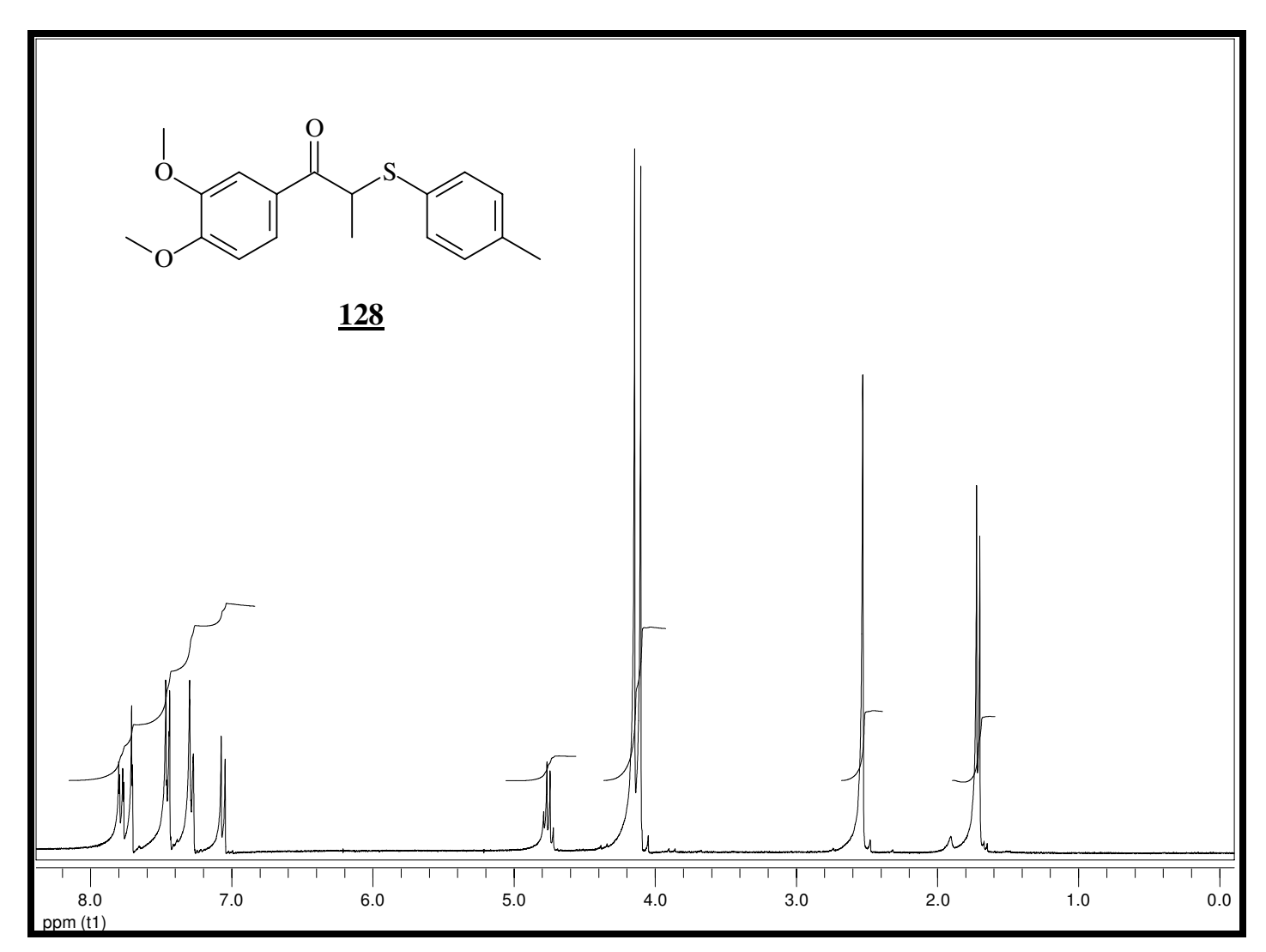
Espectro 82: Espectro gCOSY do composto <u>58</u>.



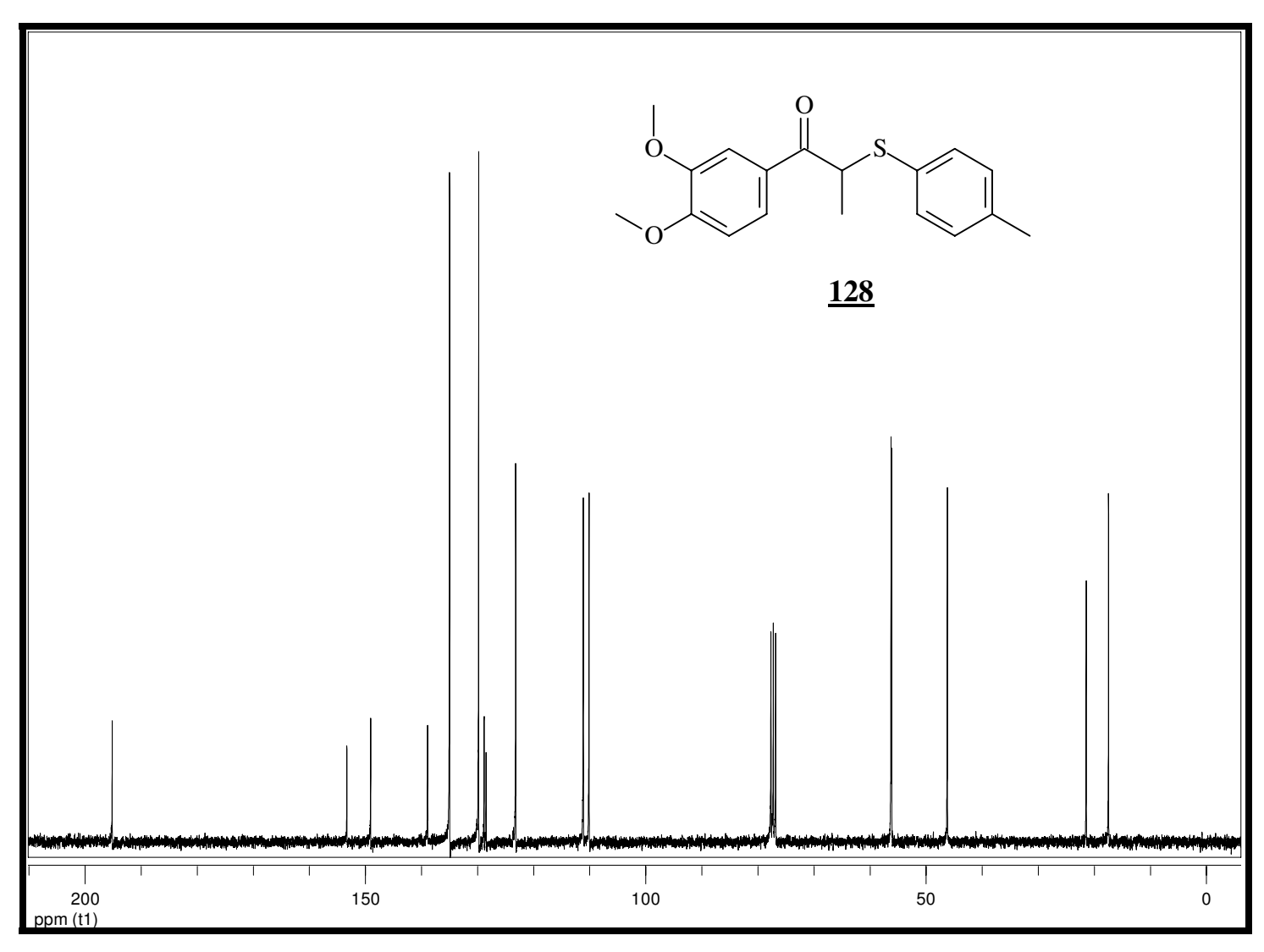
Espectro 83: Espectro de infravermelho do composto <u>58</u>.



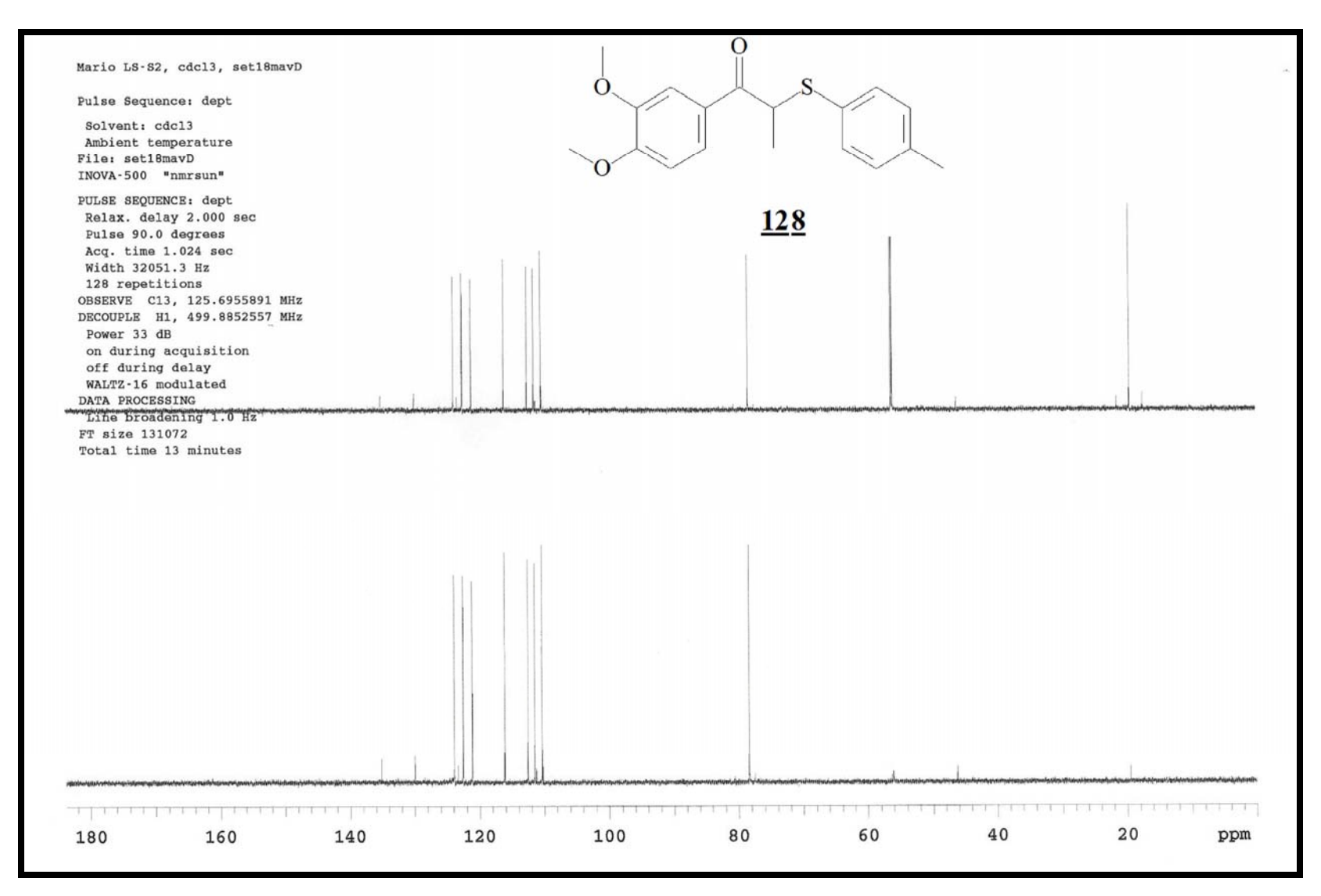
Espectro 84: Espectro de massas (EMAR) do composto 58



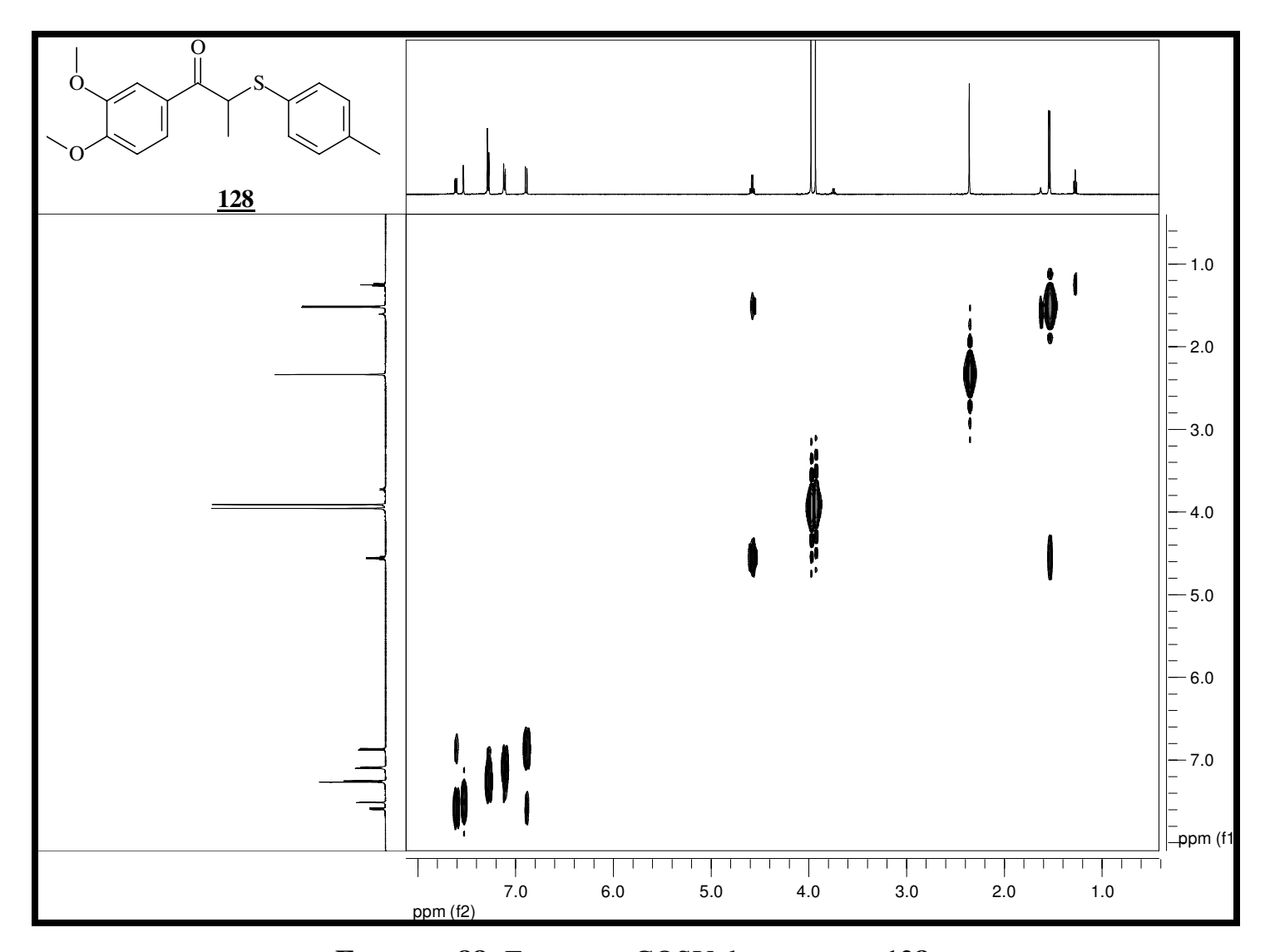
Espectro 85: Espectro de RMN de ¹H (500 Mz, CDCl₃, t.a.) do composto <u>128</u>.



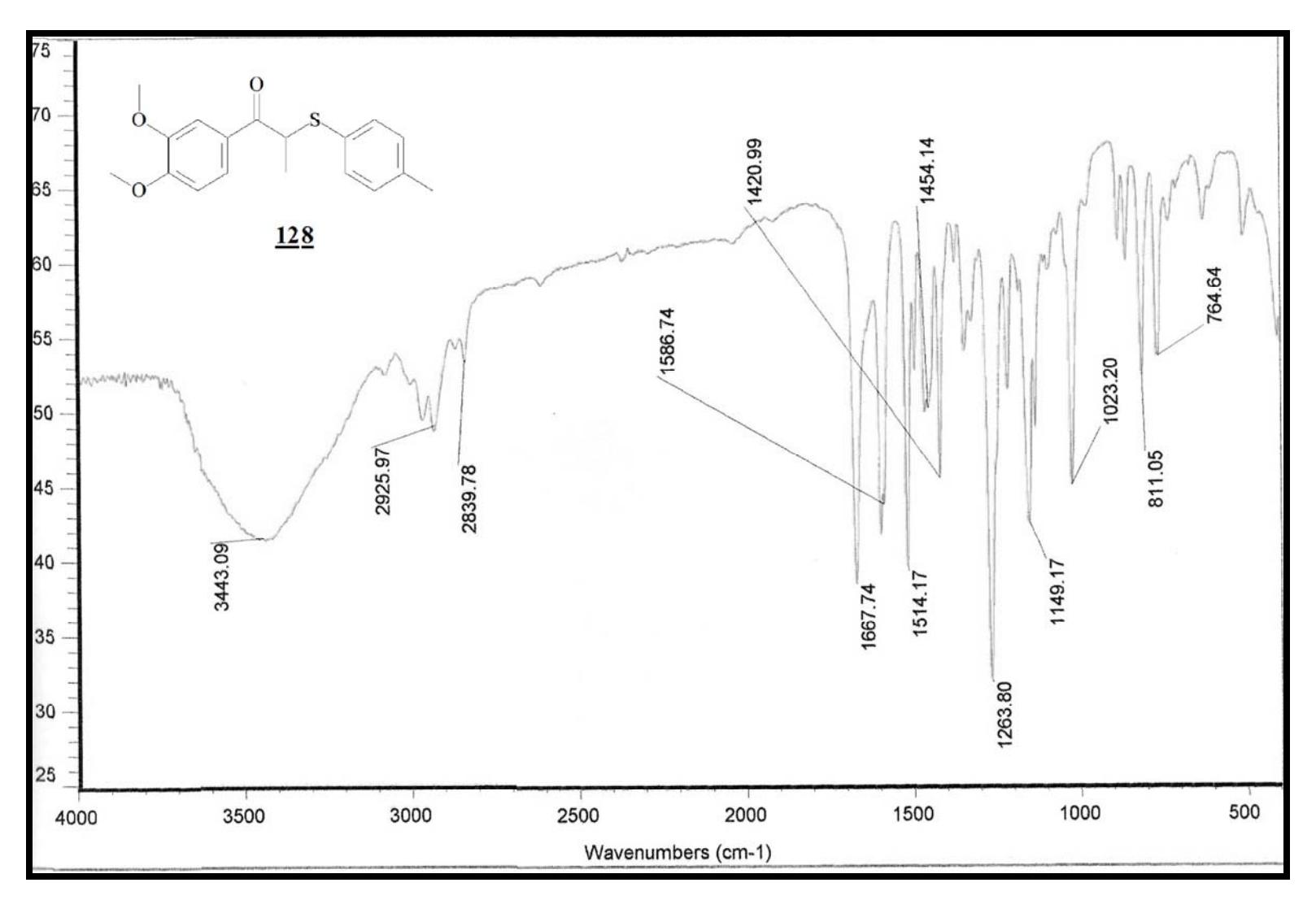
Espectro 86: Espectro de RMN de ¹³C (125 Mz, CDCl₃, t.a.) do composto <u>128</u>.



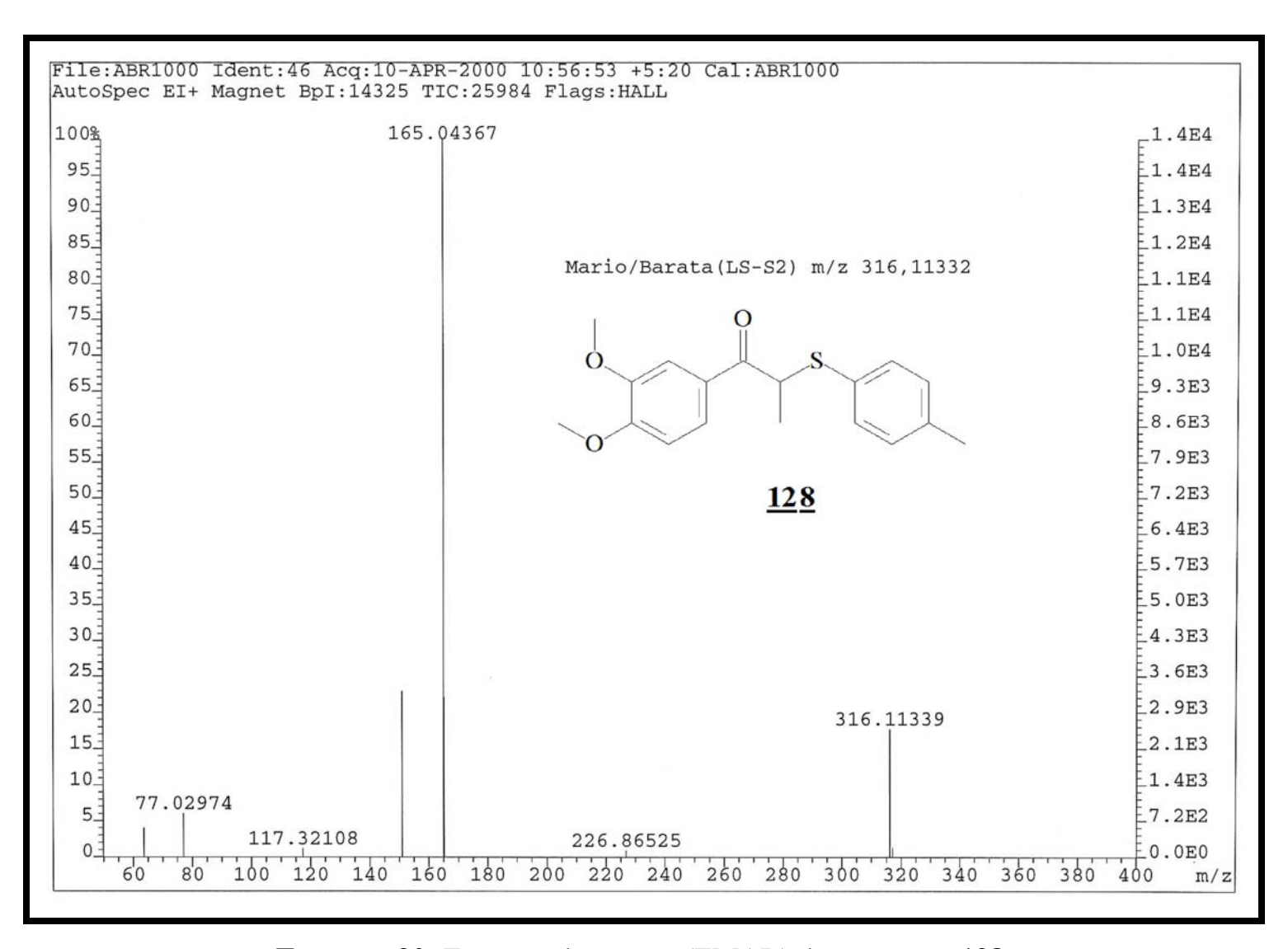
Espectro 87: Espectro DEPT do composto <u>128</u>.



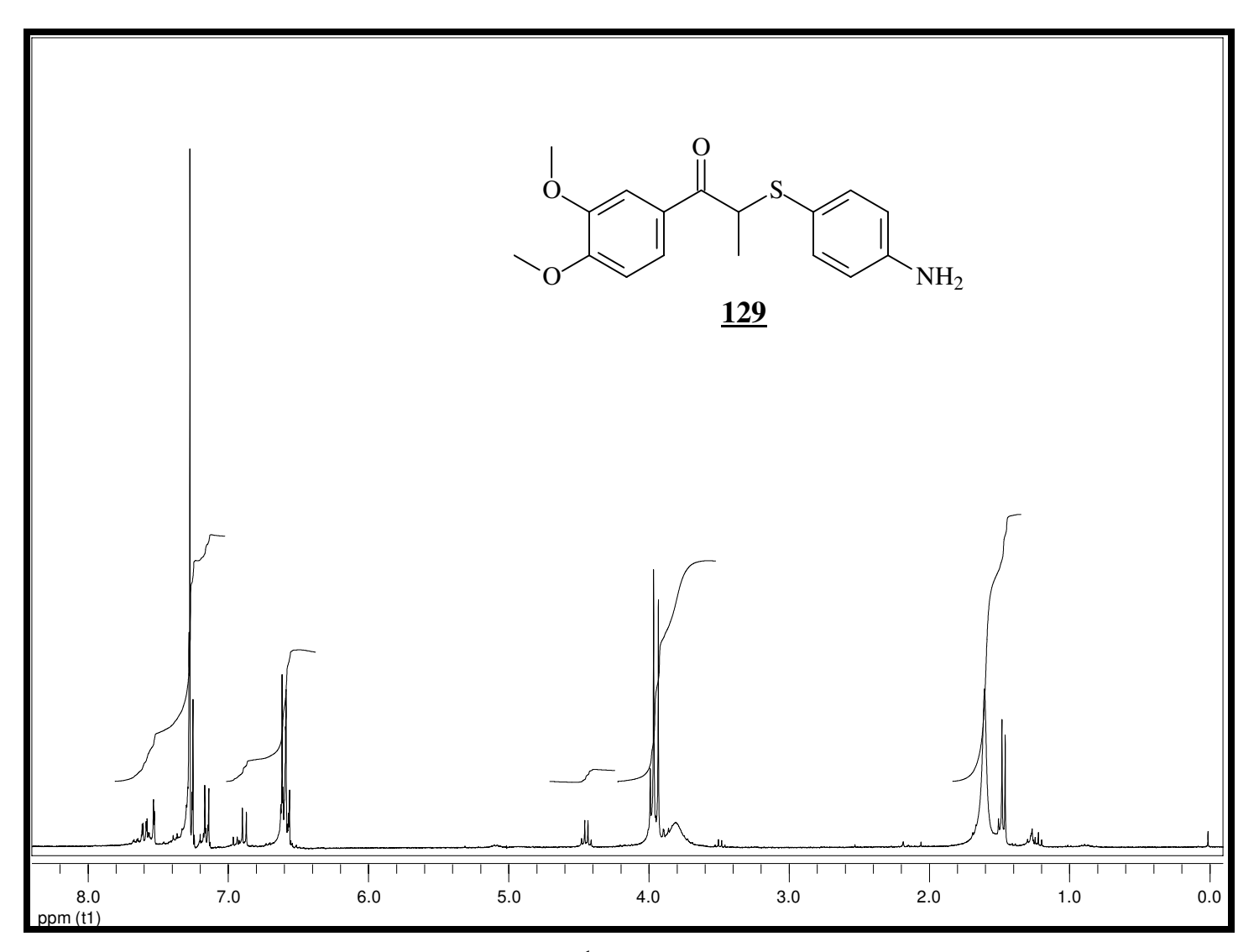
Espectro 88: Espectro gCOSY do composto 128.



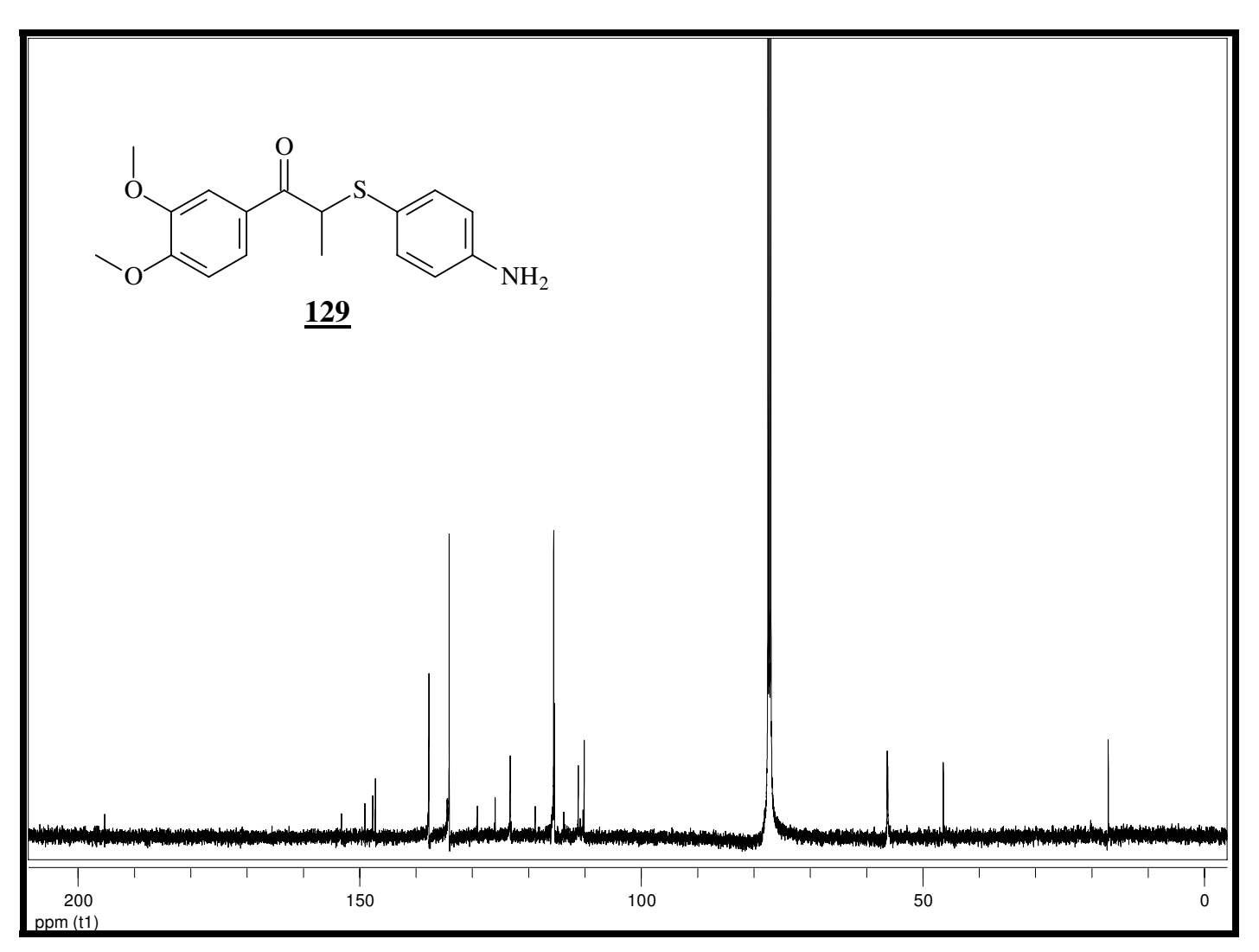
Espectro 89: Espectro infravermelho do composto 128.



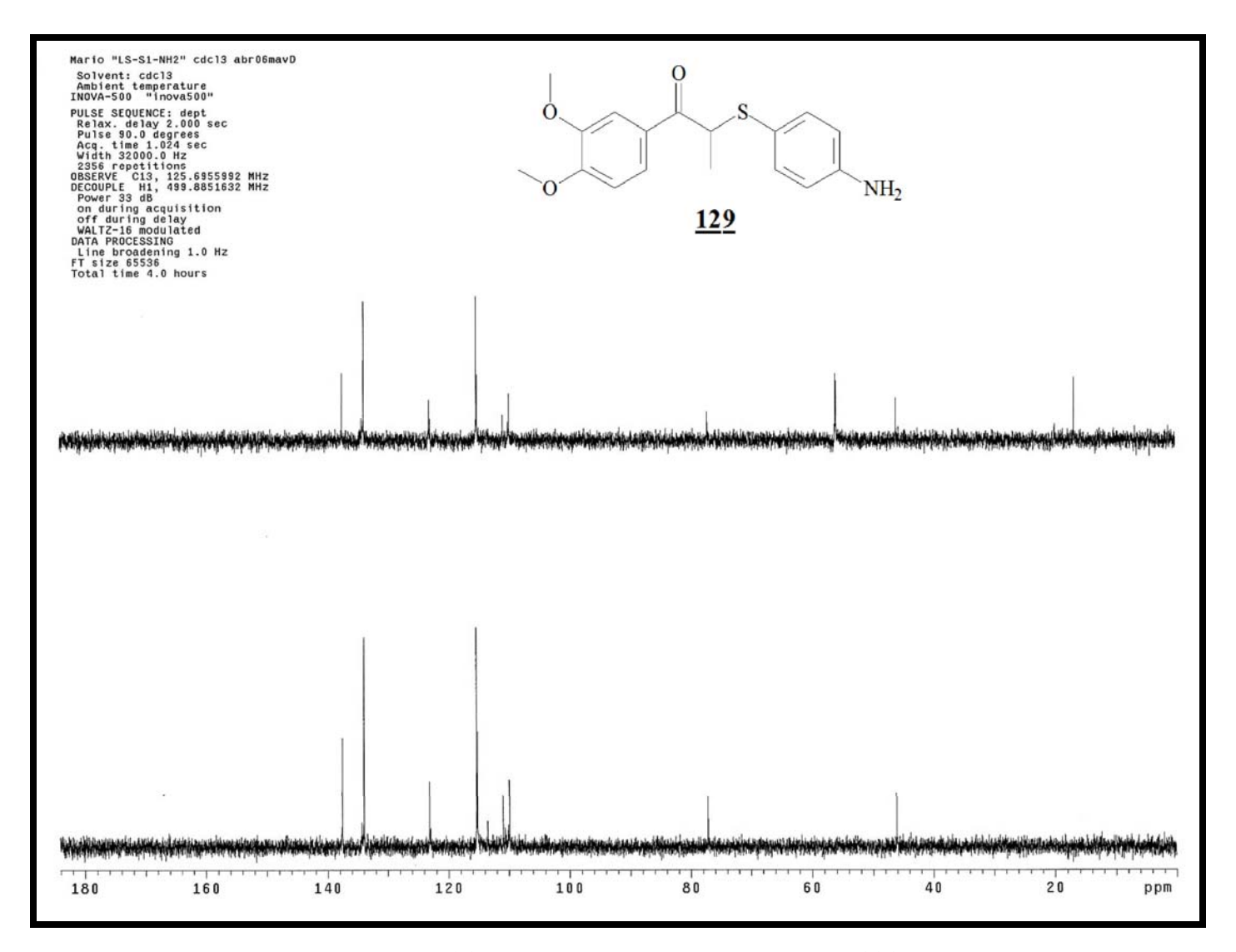
Espectro 90: Espectro de massas (EMAR) do composto 128.



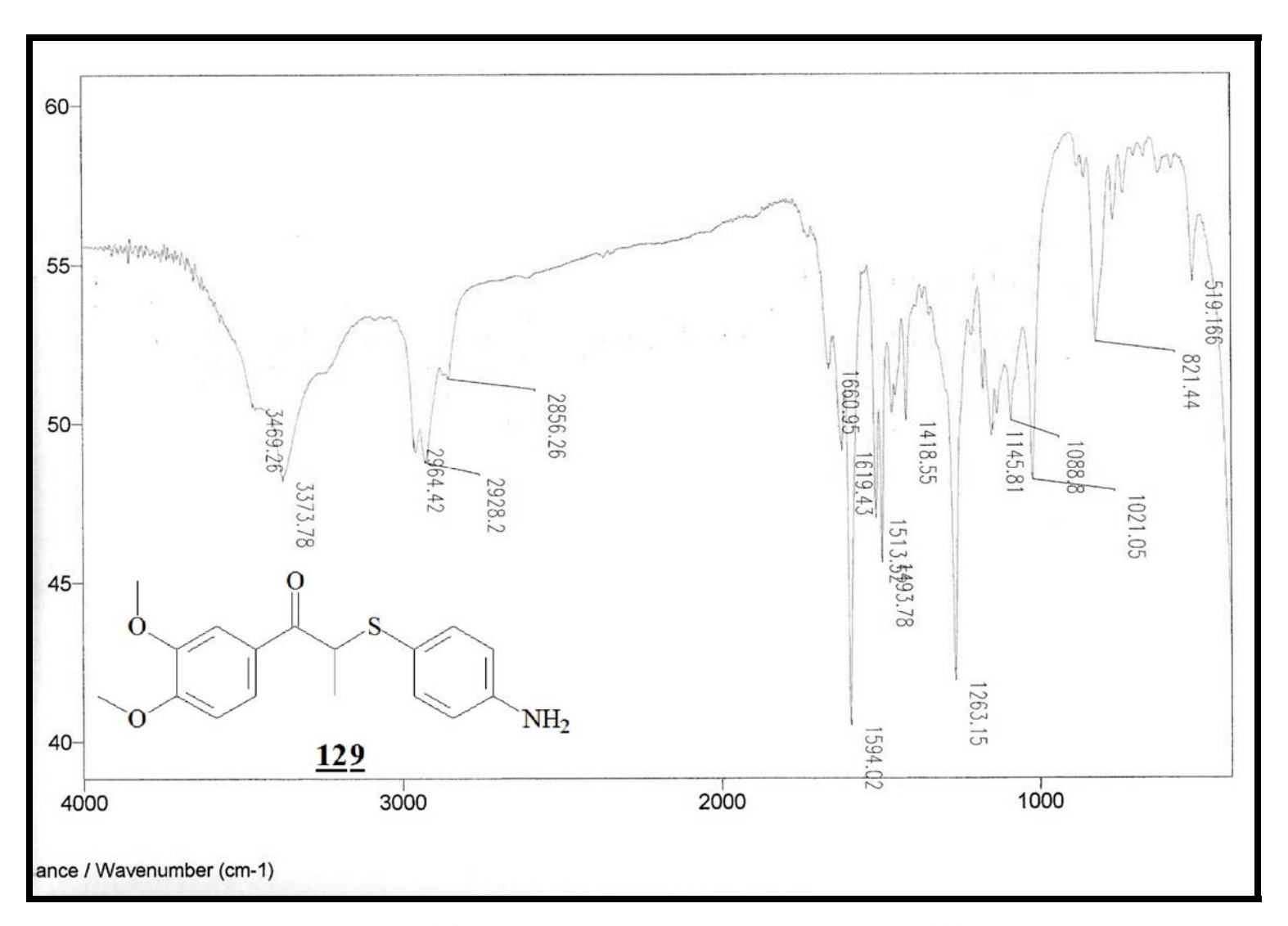
Espectro 91: Espectro de RMN de ¹H (300 Mz, CDCl₃, t.a.) do composto <u>129</u>.



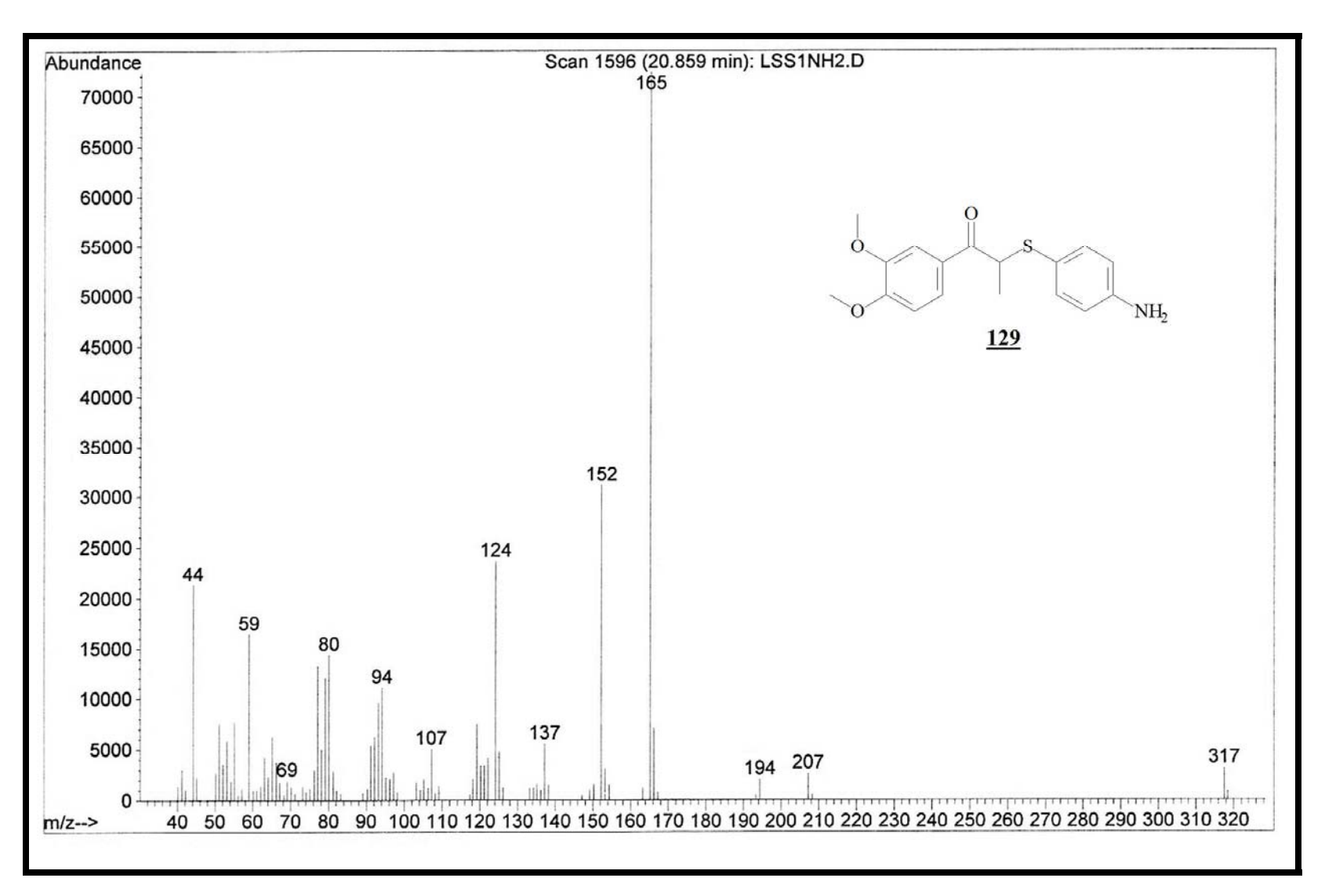
Espectro 92: Espectro de RMN de ¹³C (125 Mz, CDCl₃, t.a.) do composto <u>128</u>.



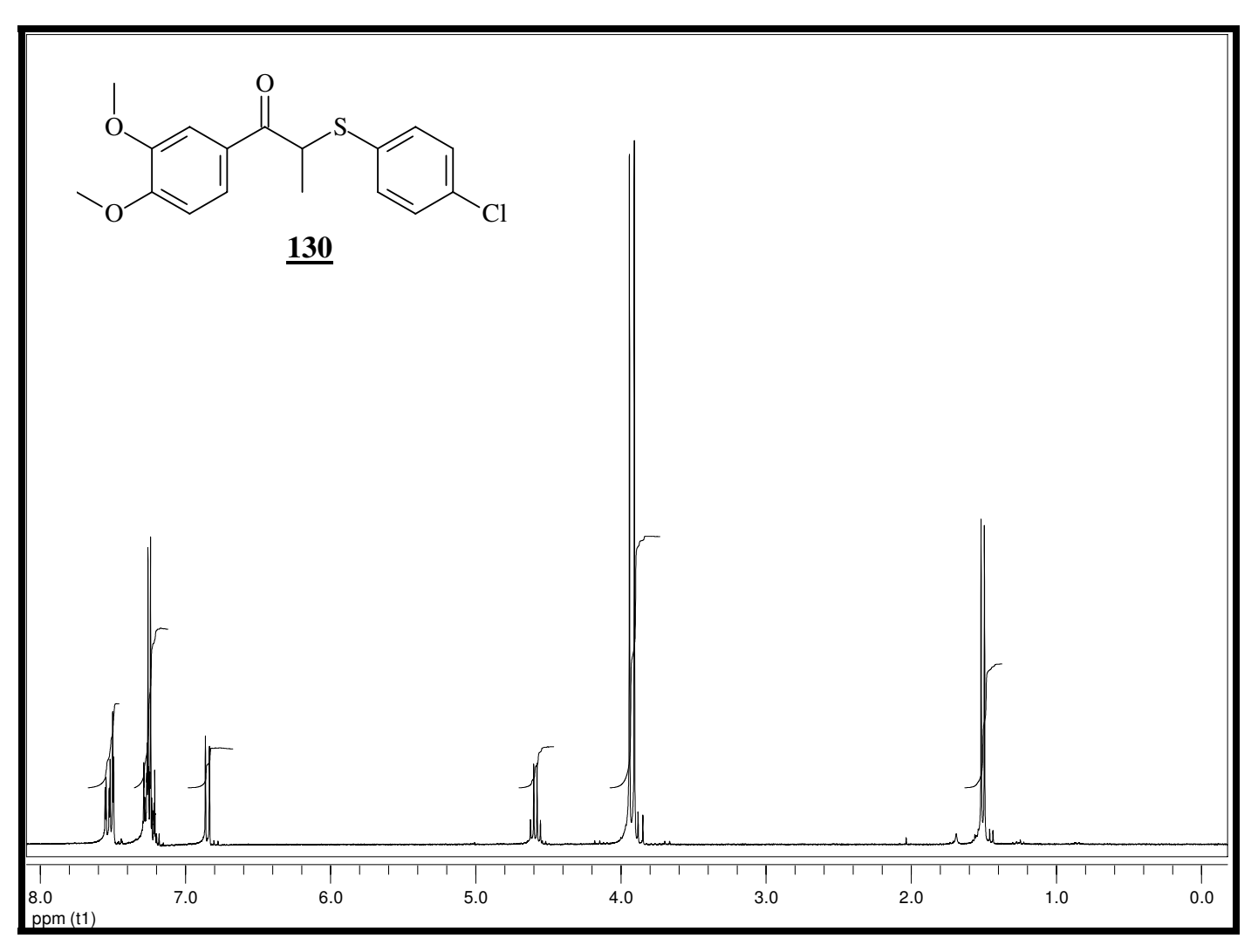
Espectro 93: Espectro DEPT do composto 129.



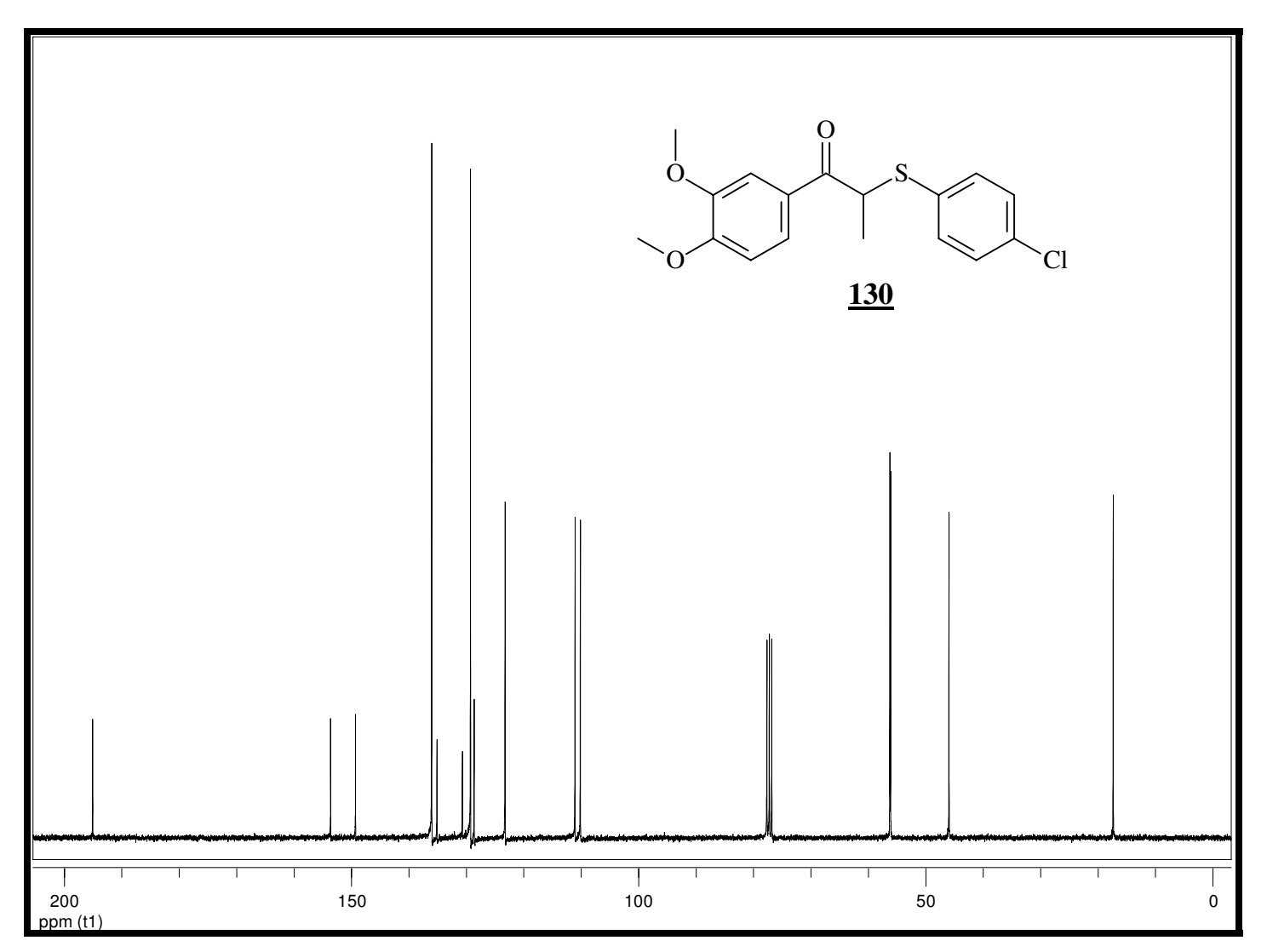
Espectro 94: Espectro infravermelho do composto 129.



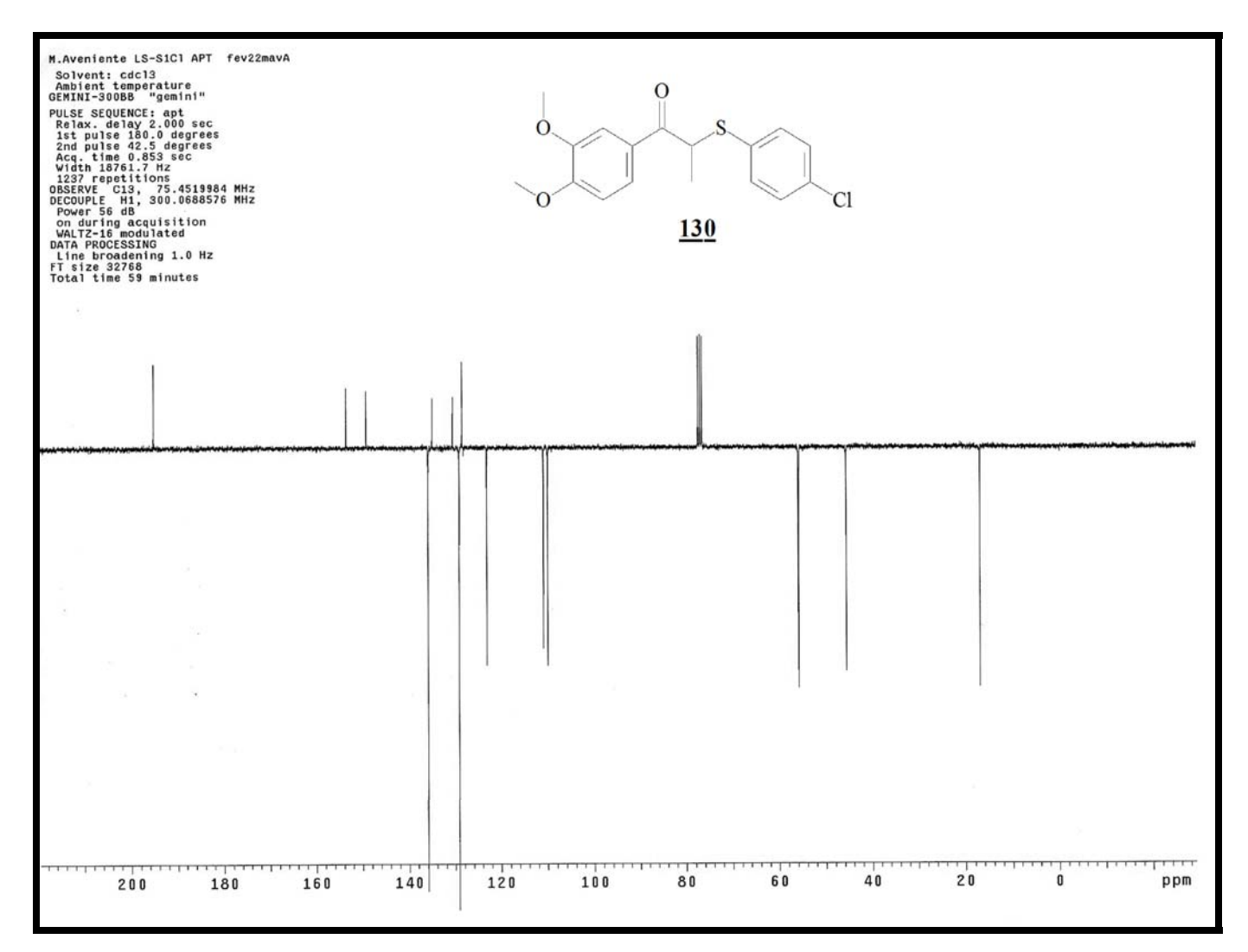
Espectro 95: Espectro de massas (EM) do composto 129.



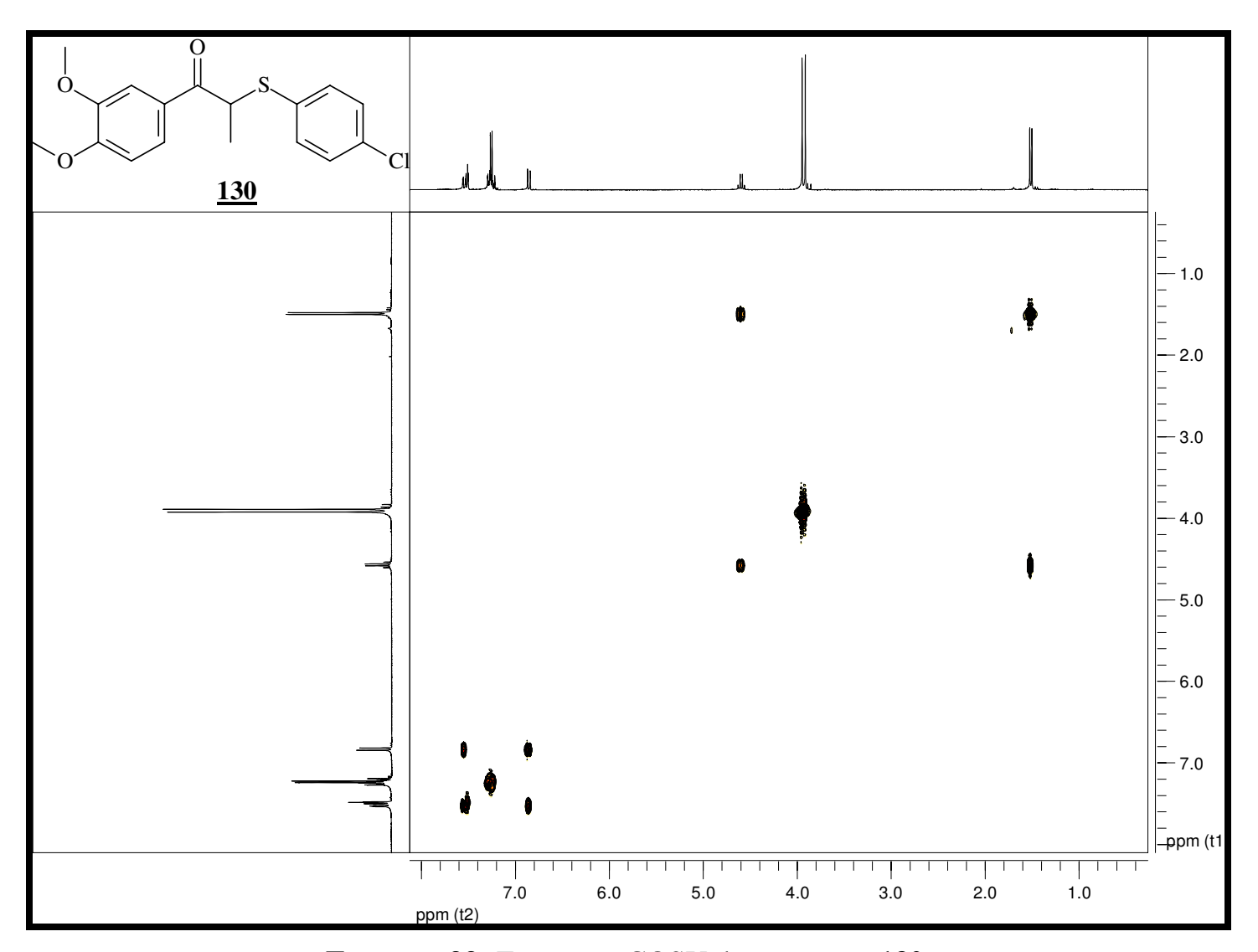
Espectro 96: Espectro de RMN de ¹H (300 Mz, CDCl₃, t.a.) do composto <u>130</u>.



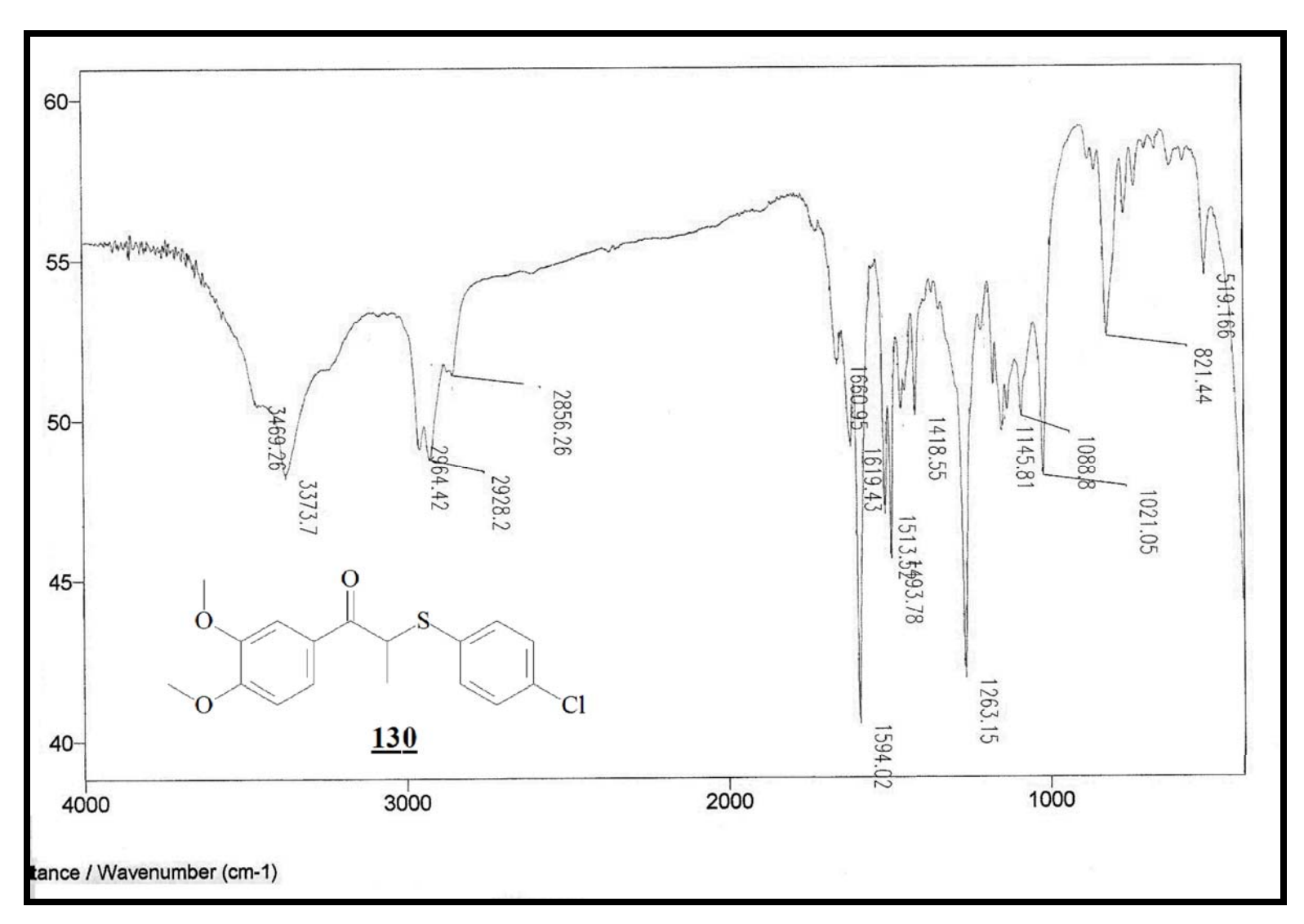
Espectro 97: Espectro de RMN de ¹³C (75 Mz, CDCl₃, t.a.) do composto <u>130</u>.



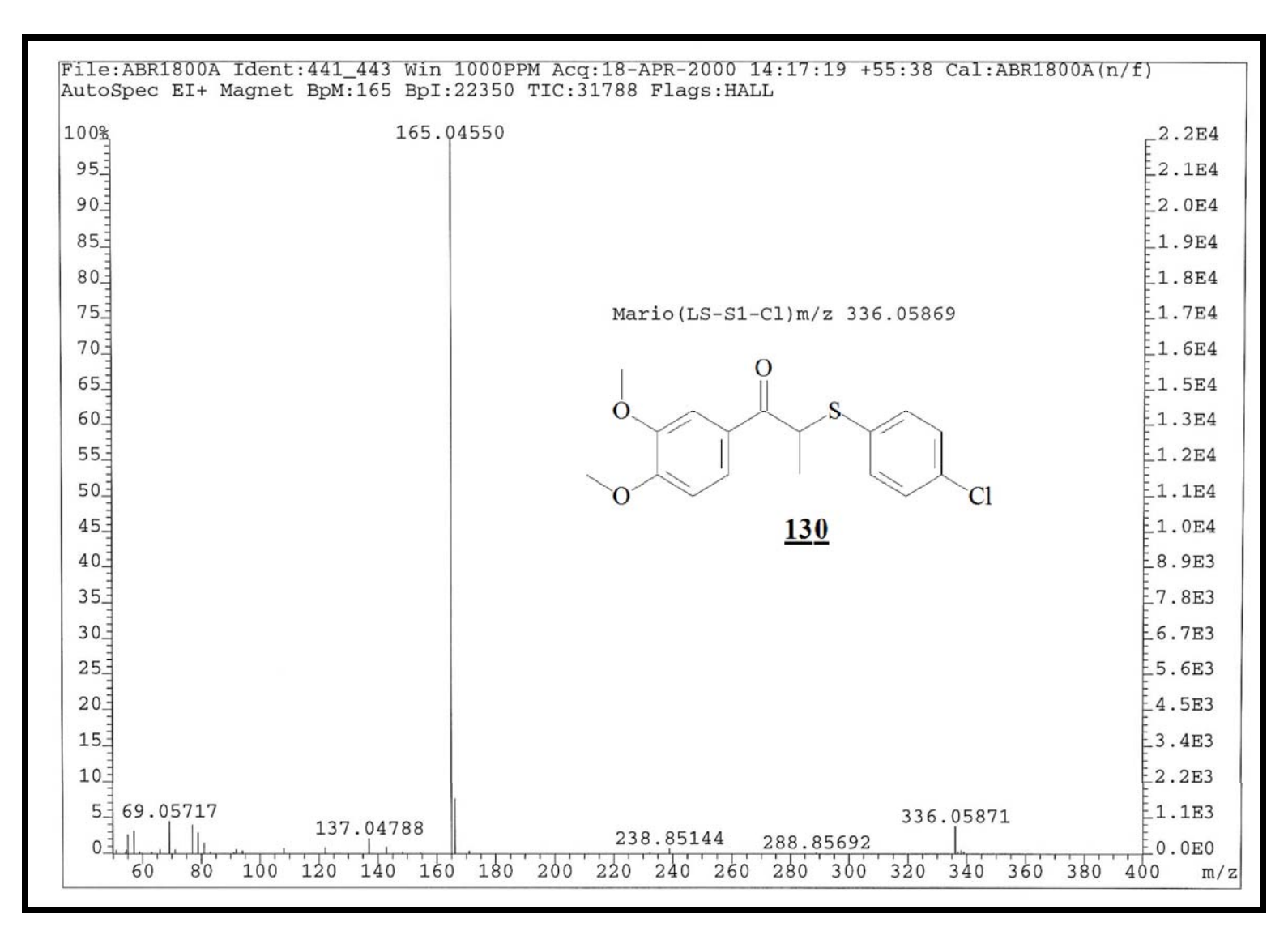
Espectro 98: Espectro APT do composto <u>130</u>.



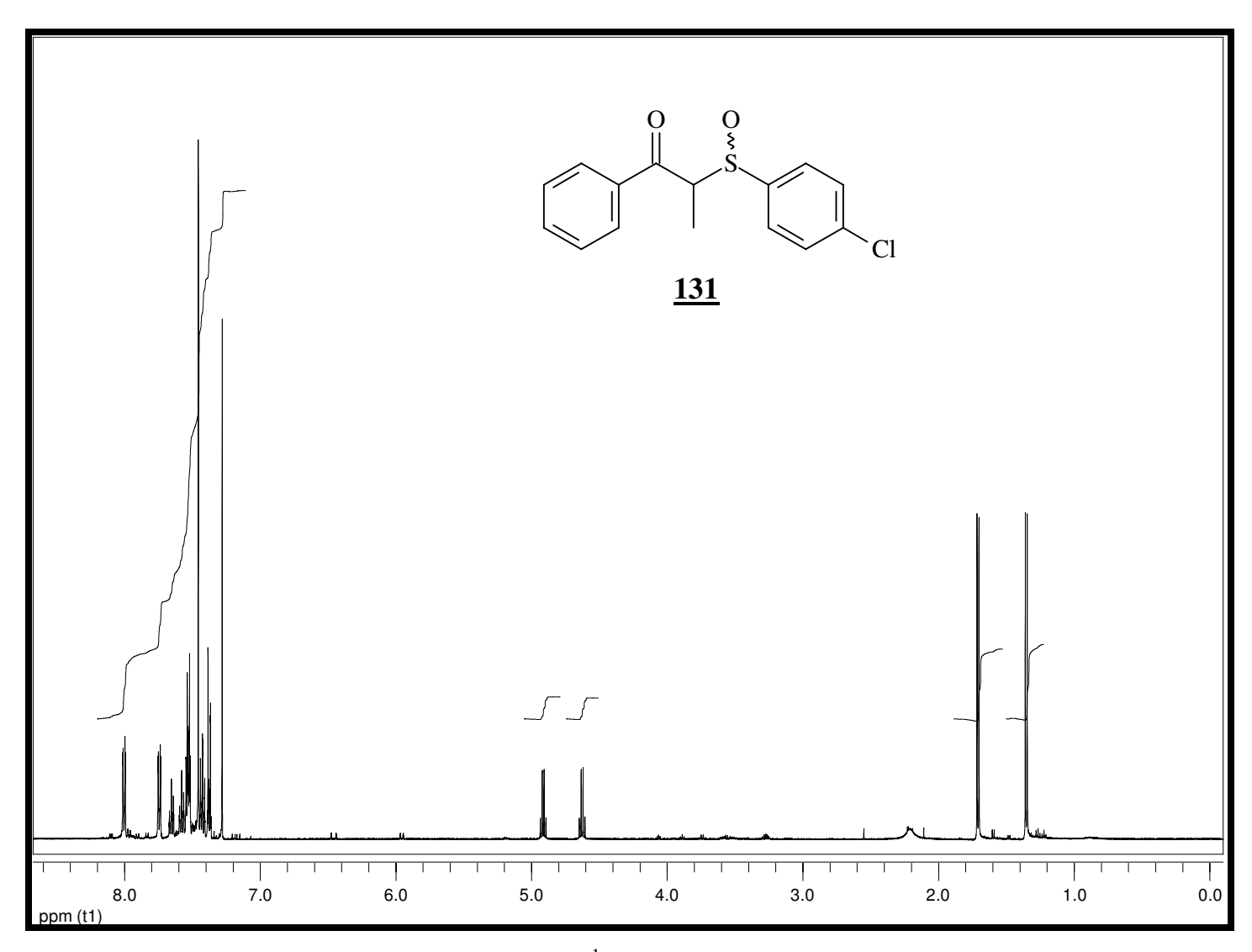
Espectro 99: Espectro gCOSY do composto 130.



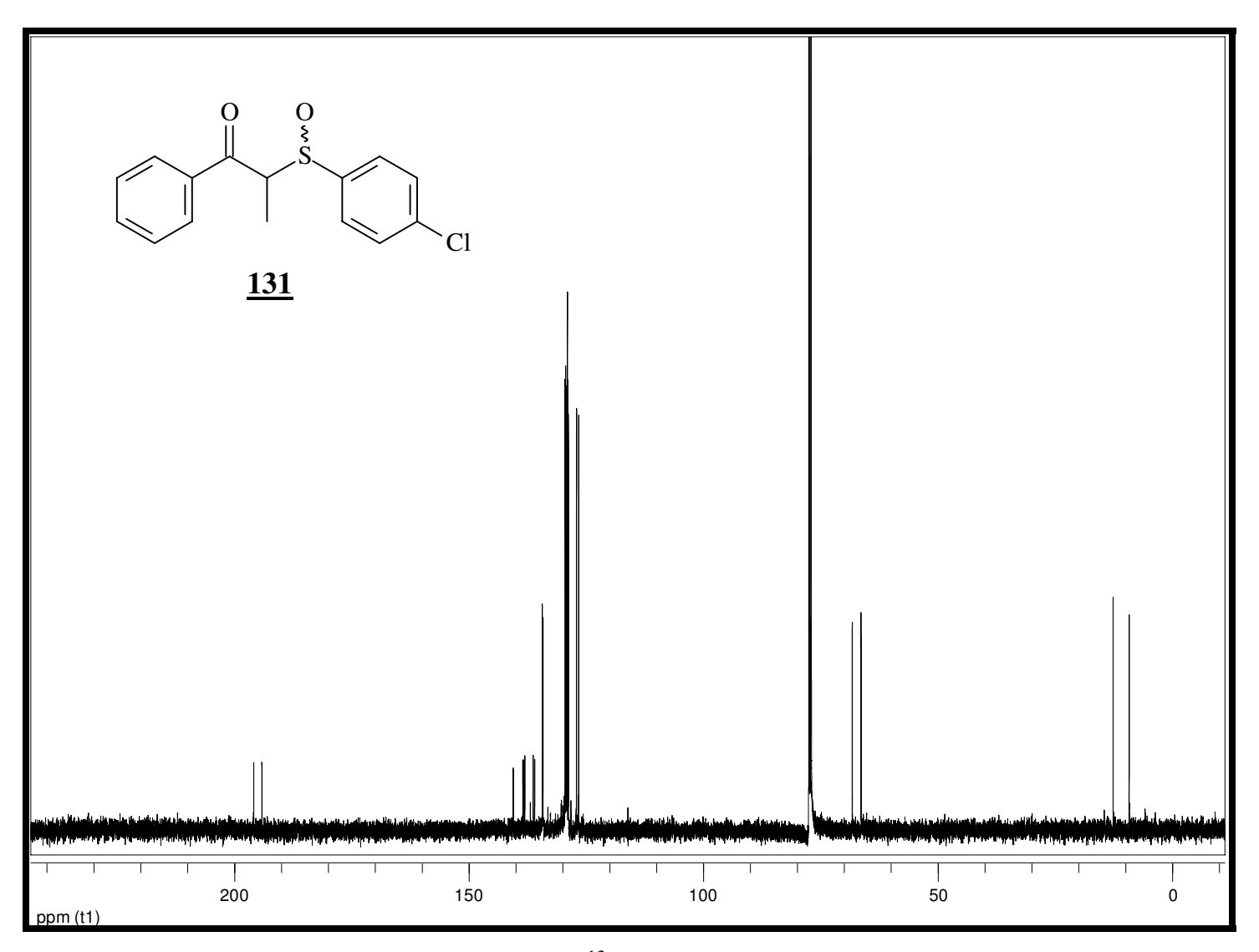
Espectro 100: Espectro infravermelho do composto 130.



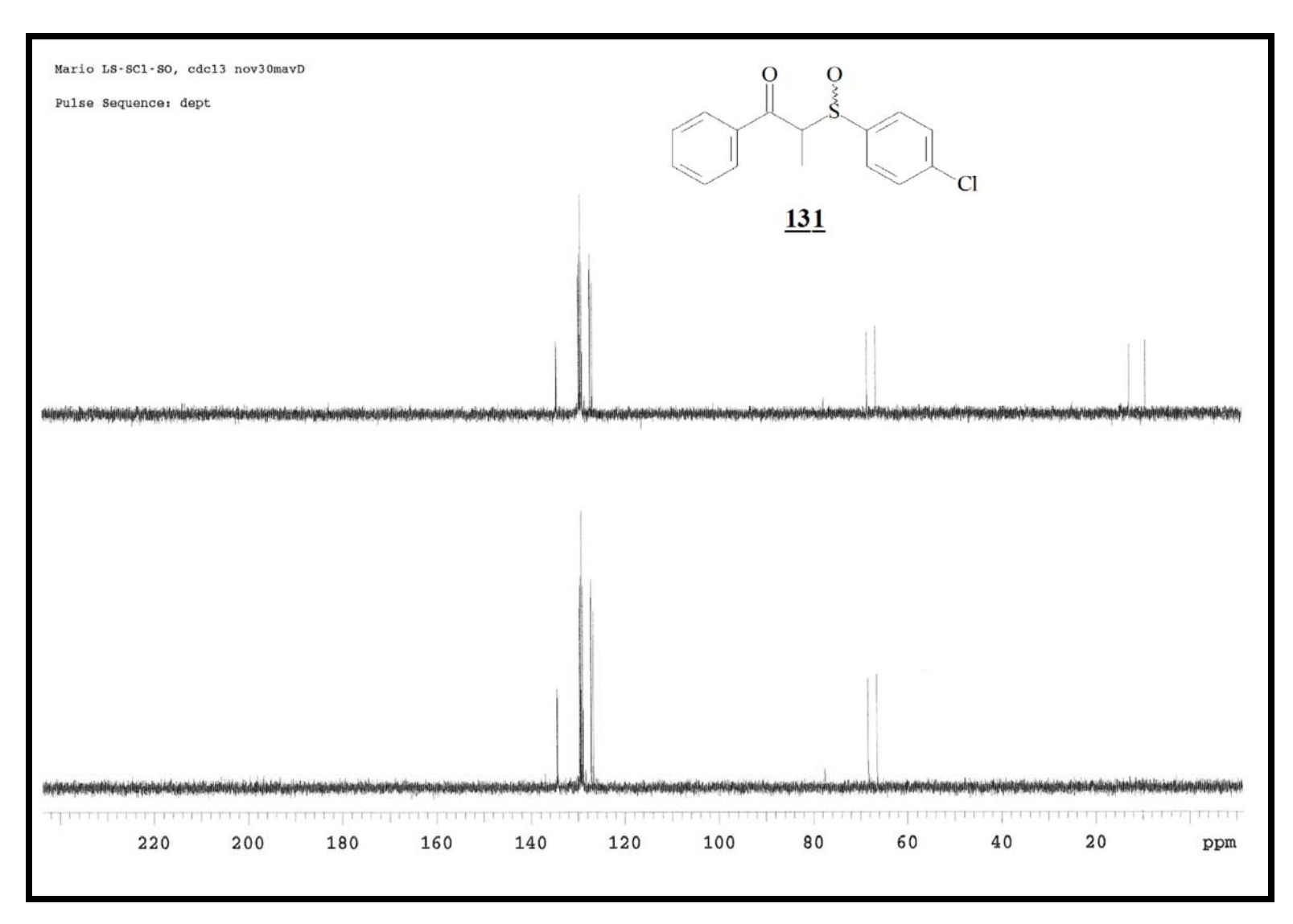
Espectro 101: Espectro de massas (EMAR) do composto <u>130</u>.



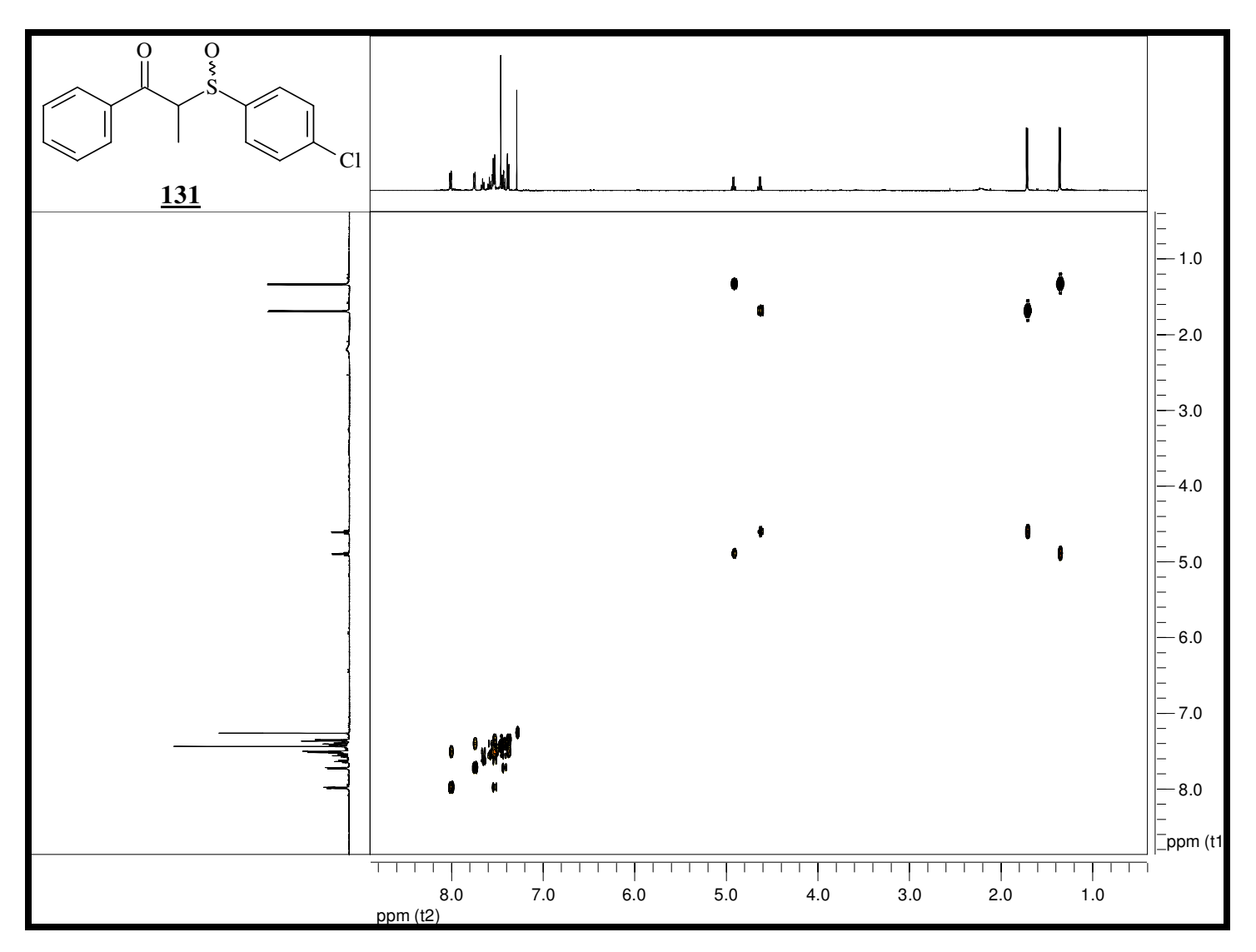
Espectro 102: Espectro de RMN de ¹H (500 Mz, CDCl₃, t.a.) do composto <u>131</u>.



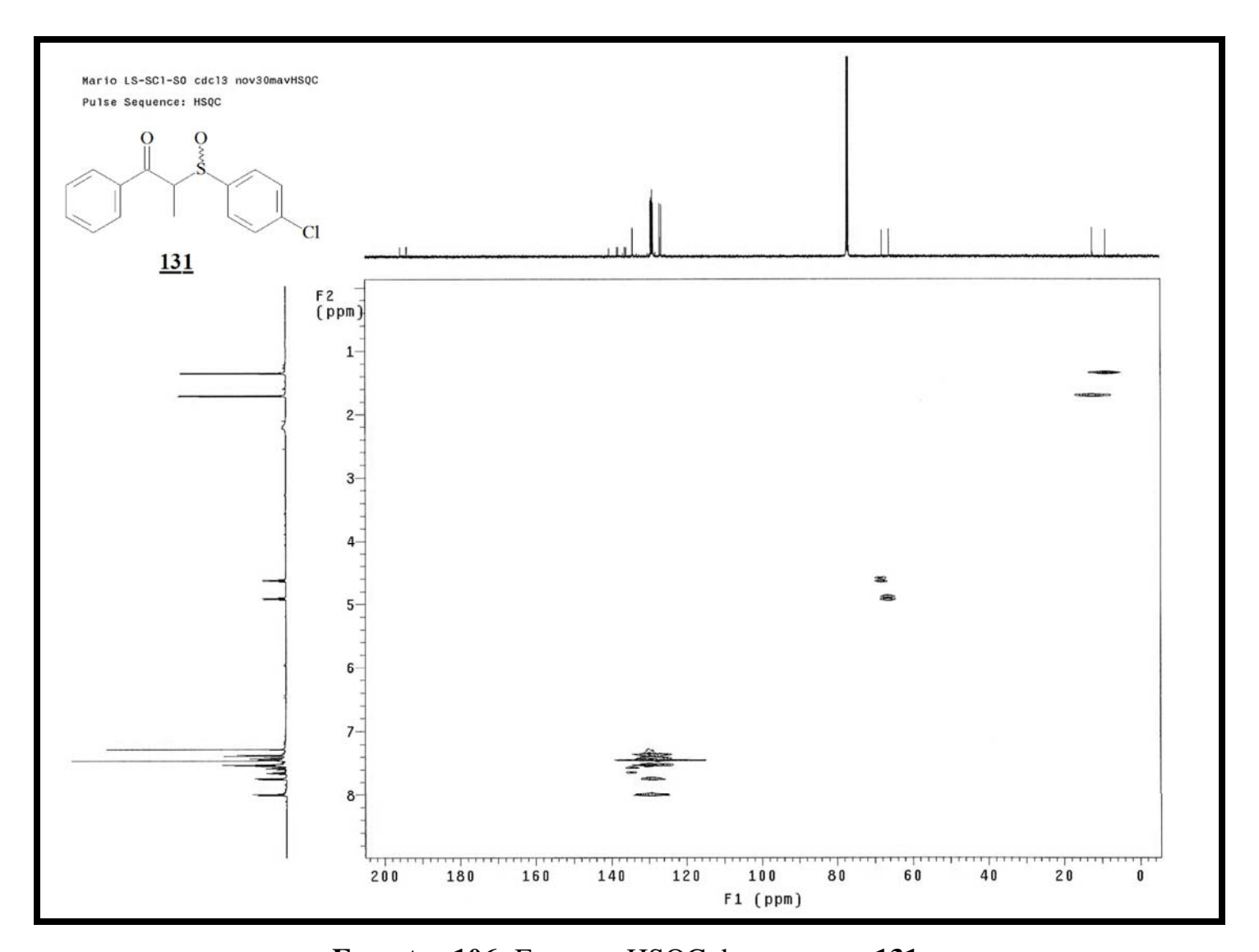
Espectro 103: Espectro de RMN de ¹³C (125 Mz, CDCl₃, t.a.) do composto <u>131</u>.



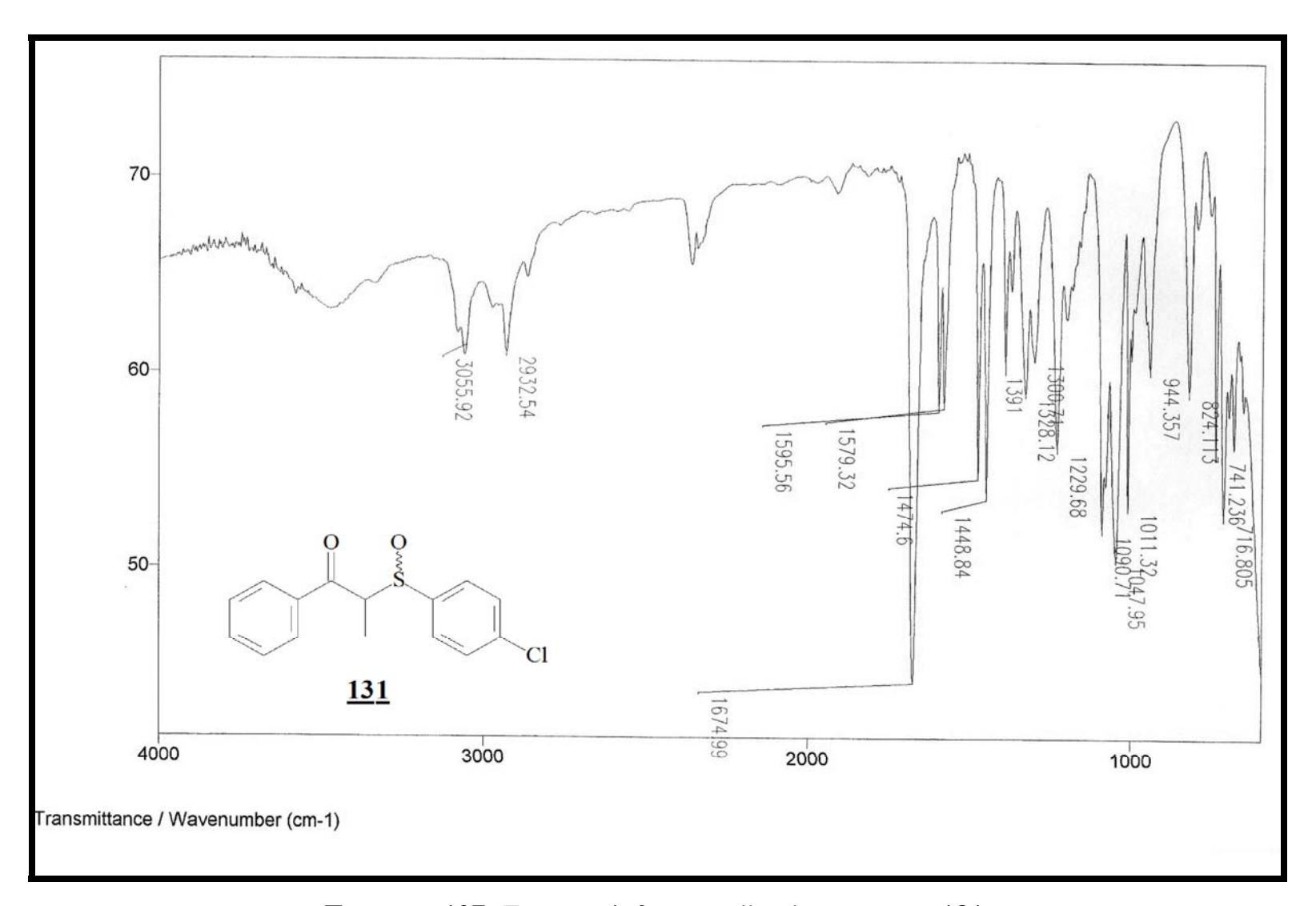
Espectro 104: Espectro DEPT do composto 131.



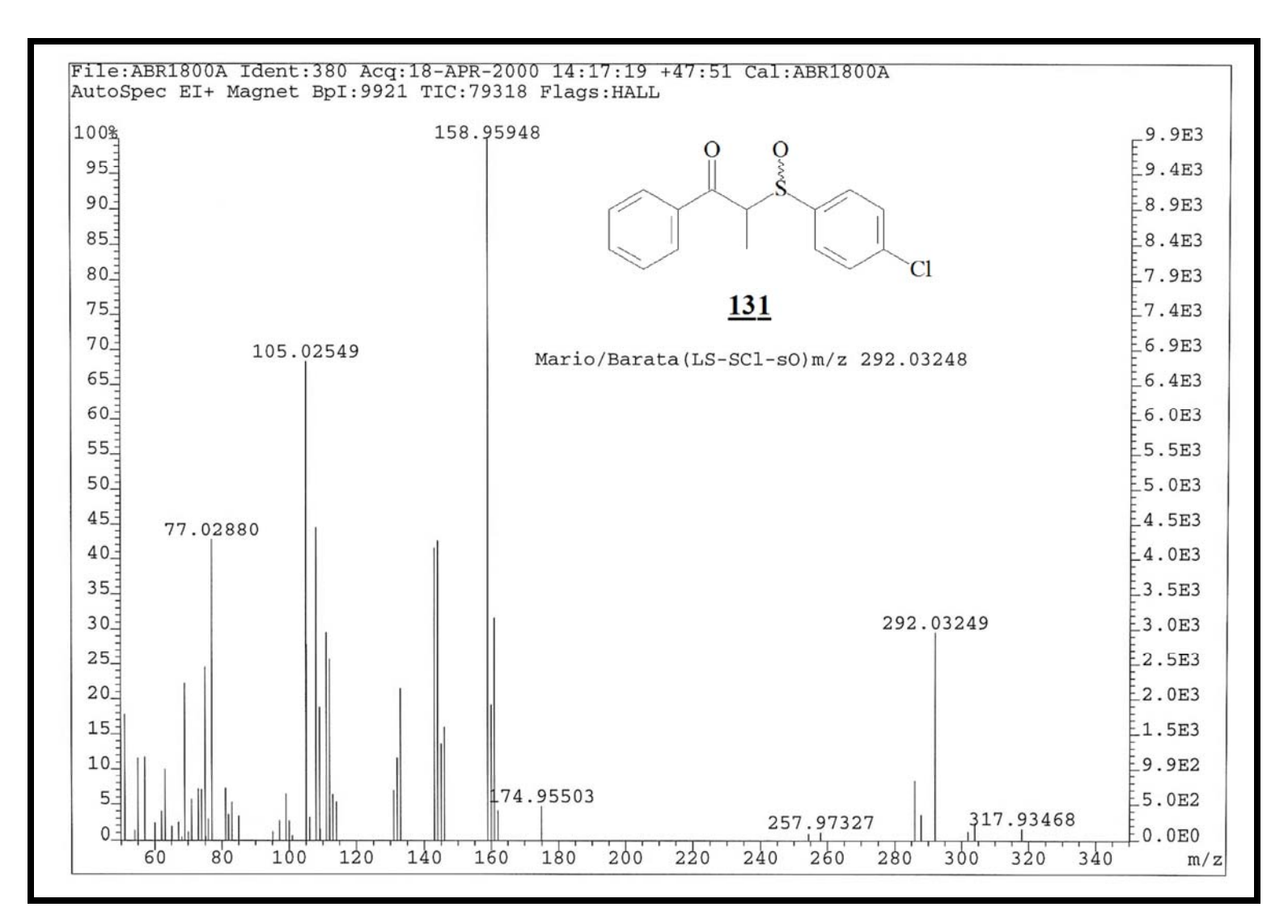
Espectro 105: Espectro gCOSY do composto 131.



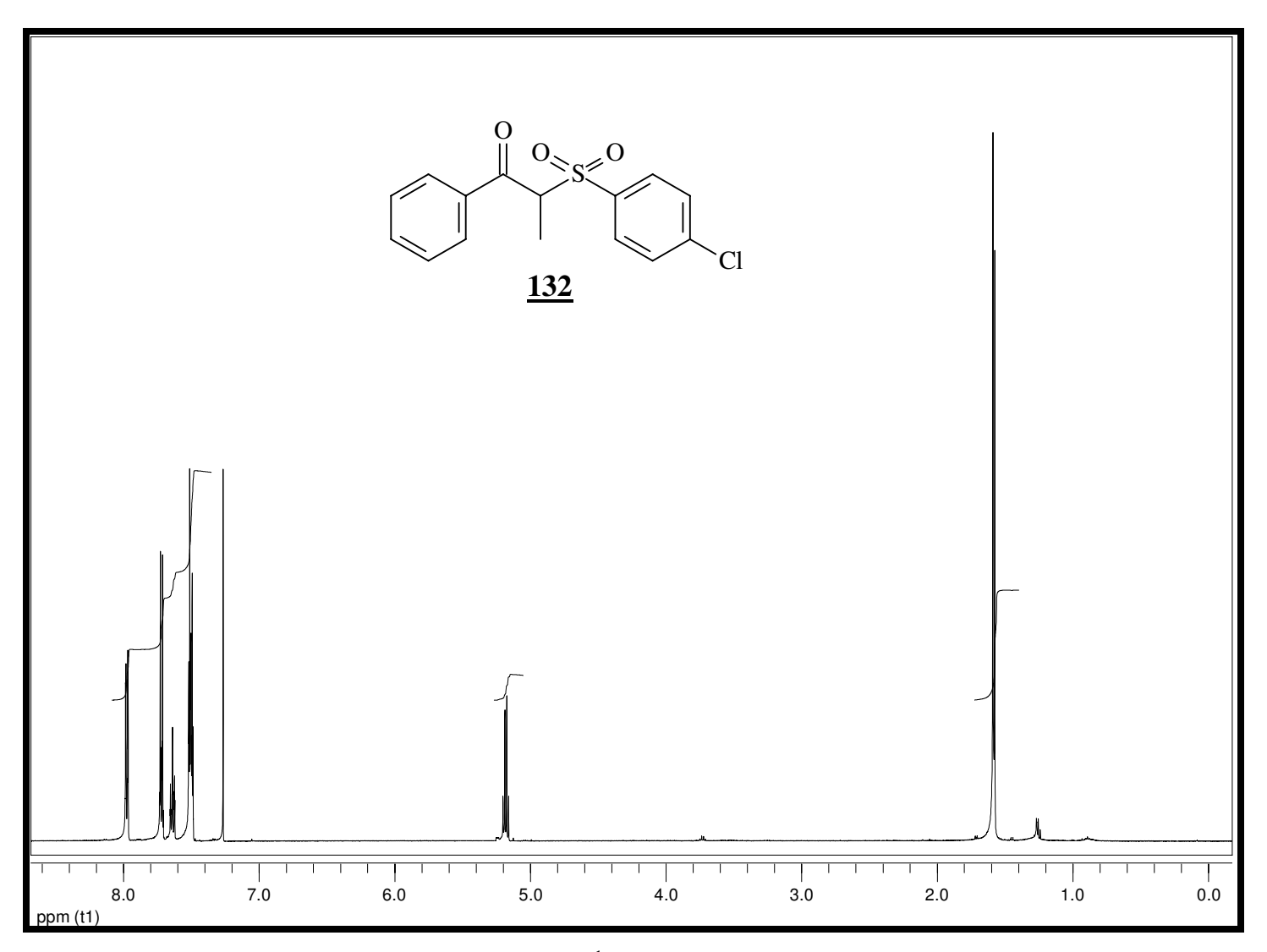
Espectro 106: Espectro HSQC do composto <u>131</u>.



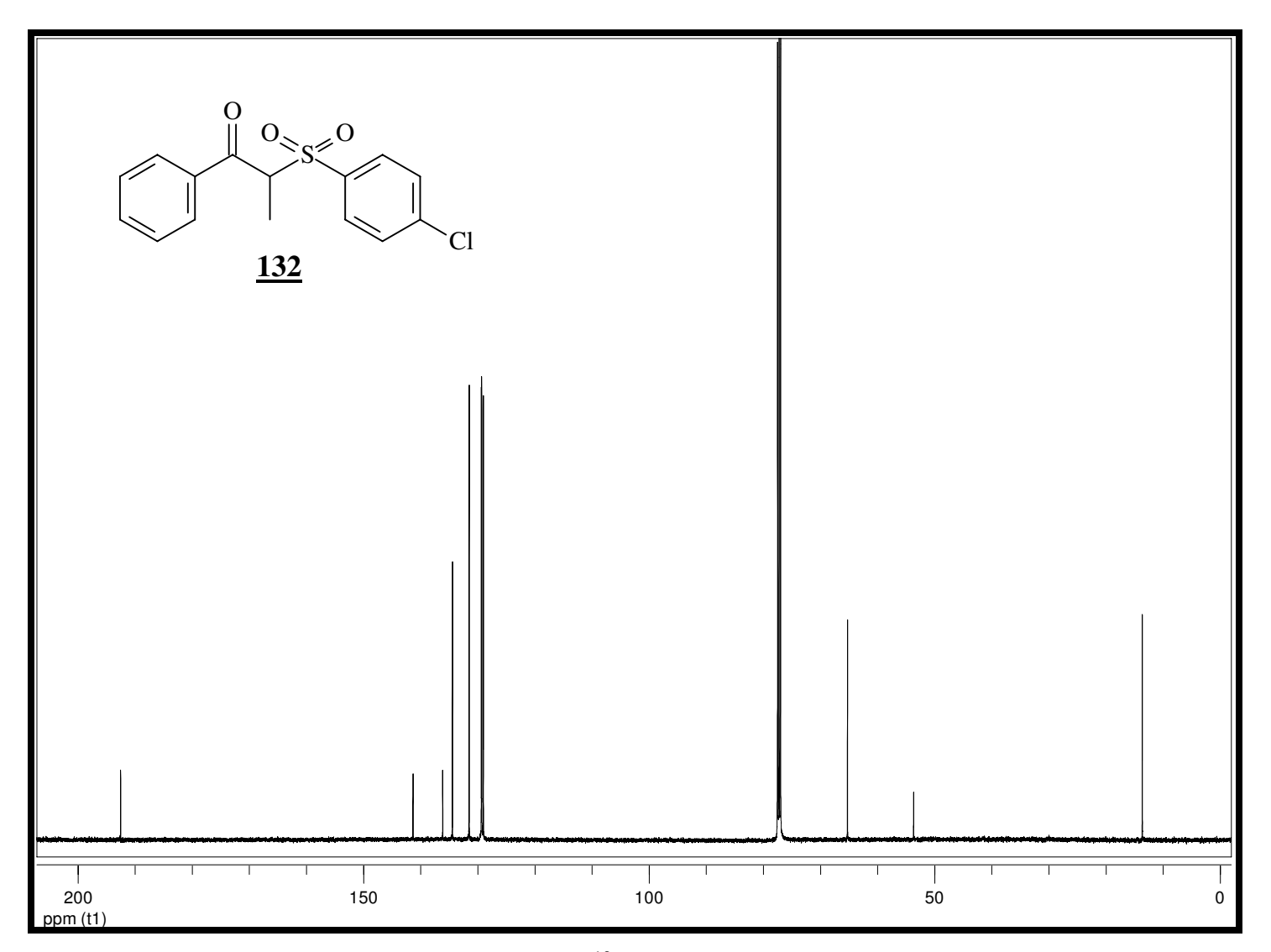
Espectro 107: Espectro infravermelho do composto 131.



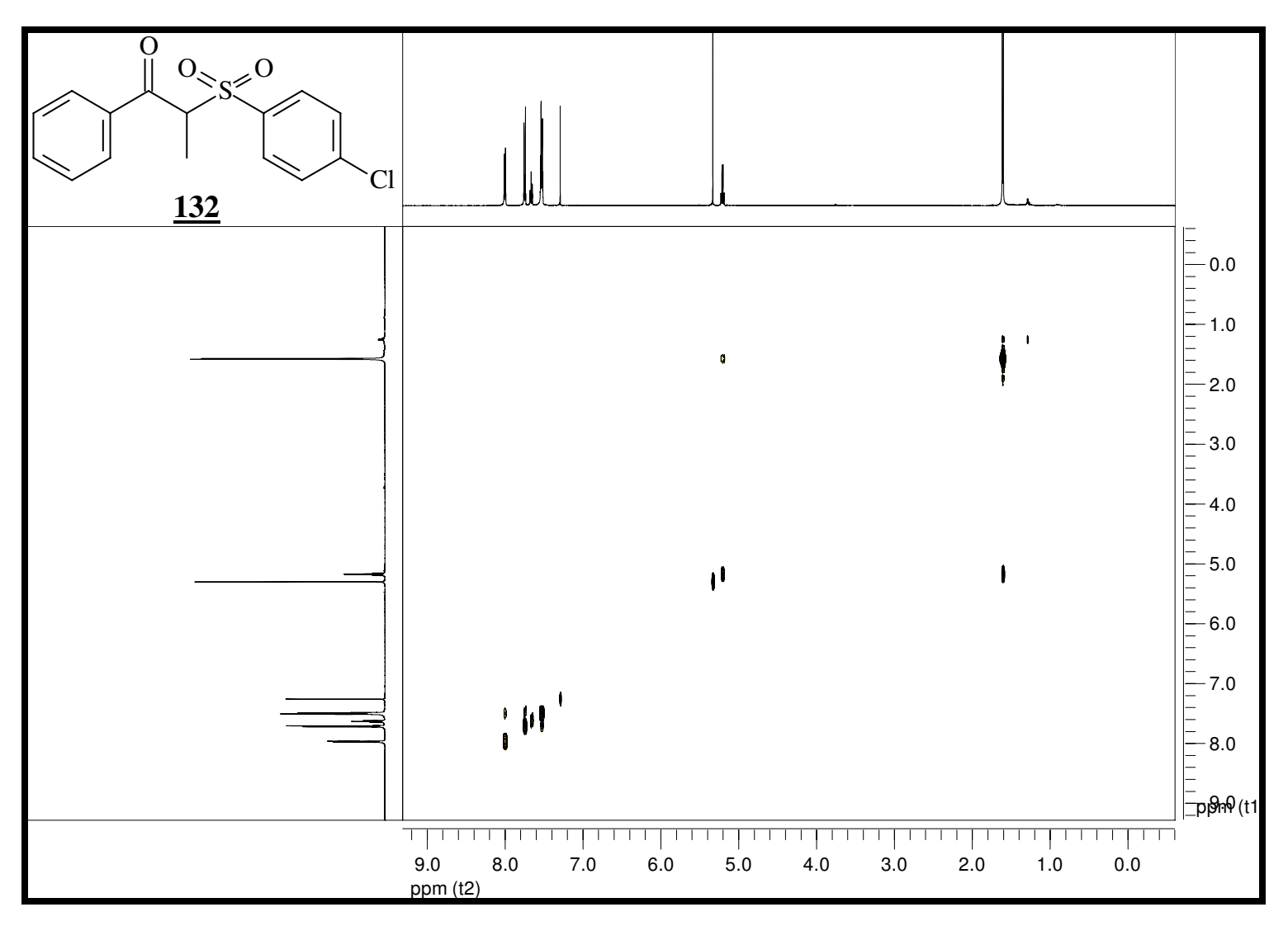
Espectro 108: Espectro de massas (EMAR) do composto 131.



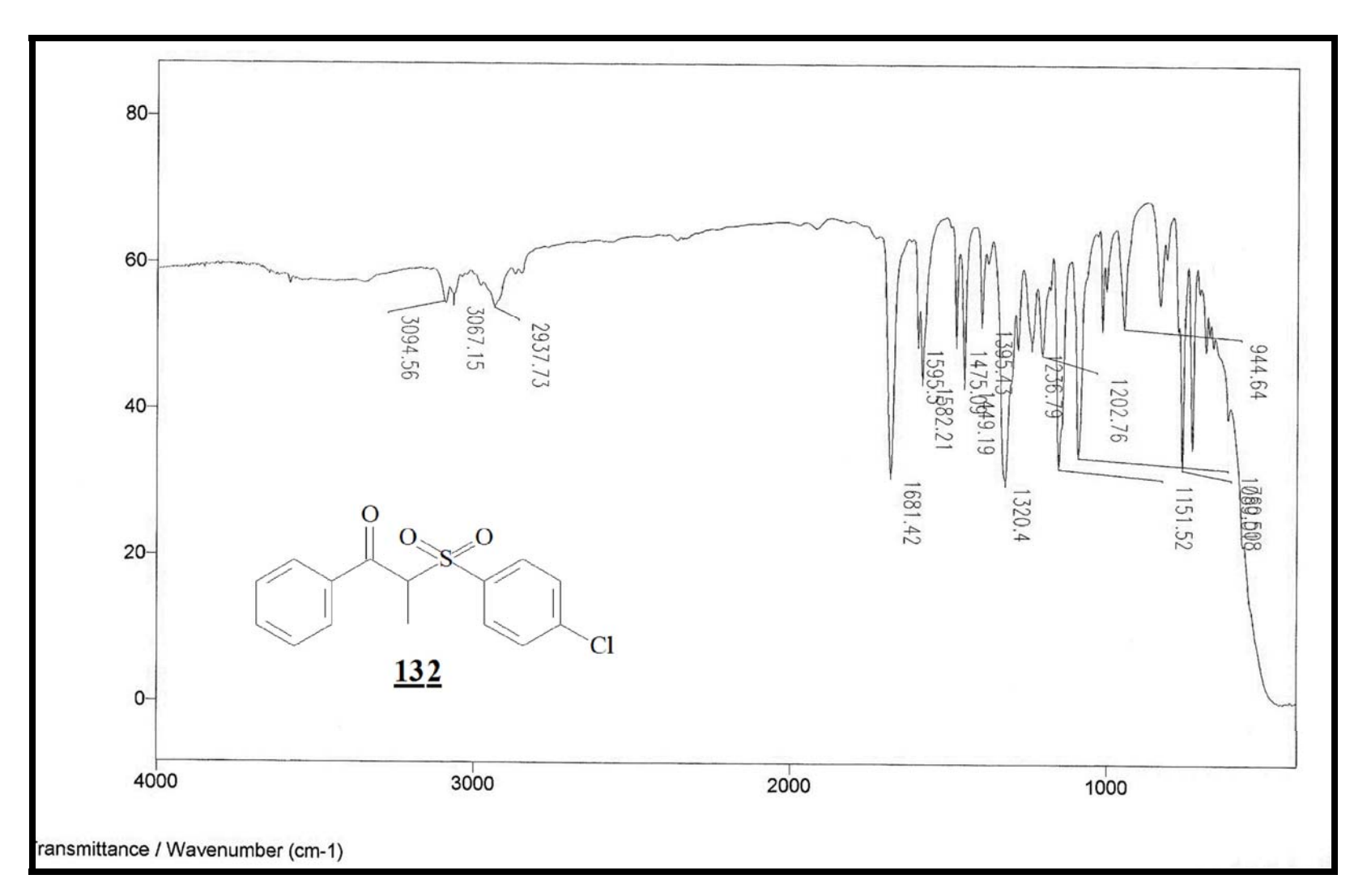
Espectro 109: Espectro de RMN de ¹H (300 Mz, CDCl₃, t.a.) do composto <u>132</u>.



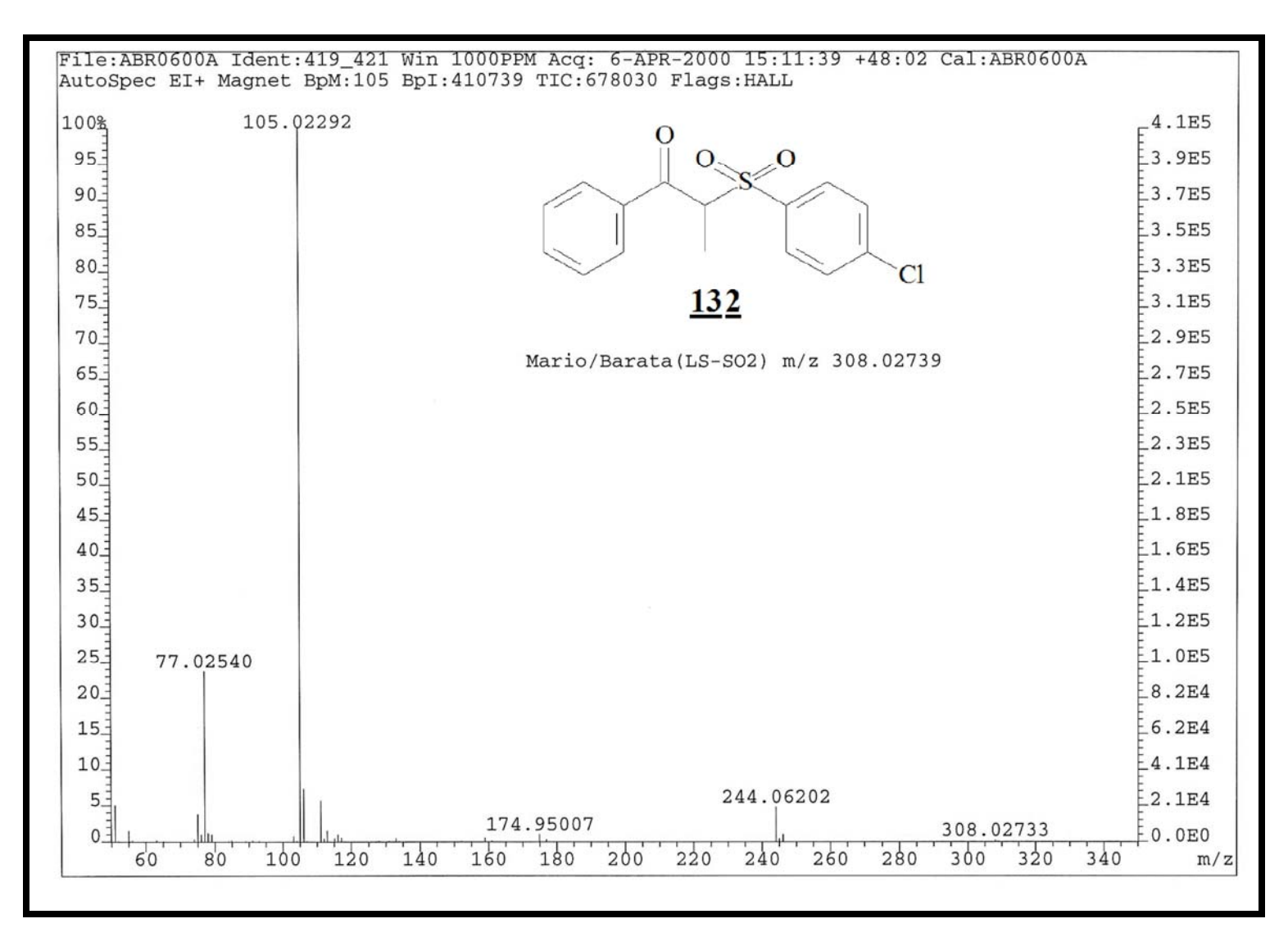
Espectro 110: Espectro de RMN de ¹³C (125 Mz, CDCl₃, t.a.) do composto <u>132</u>.



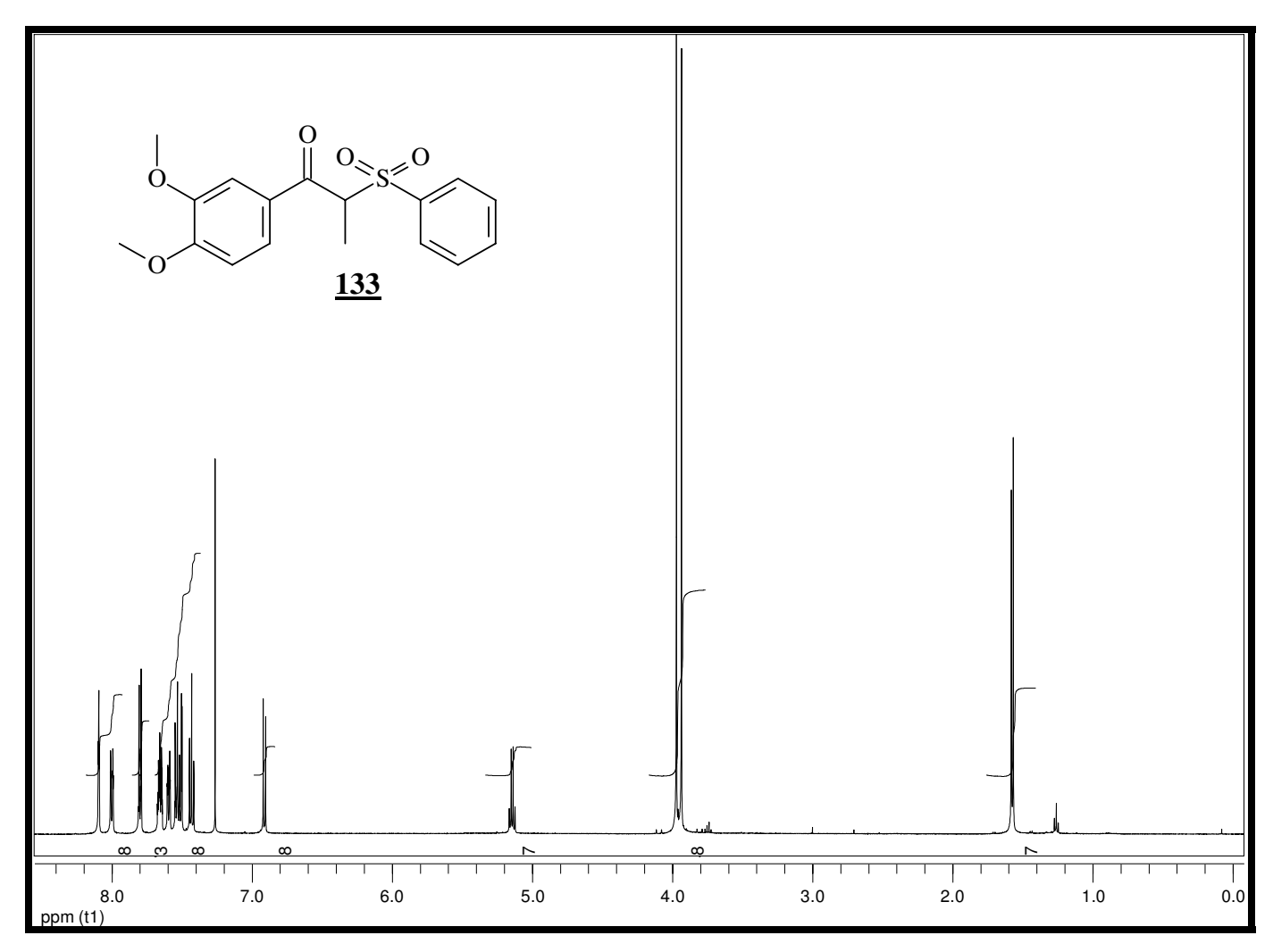
Espectro 111: Espectro gCOSY do composto <u>132</u>.



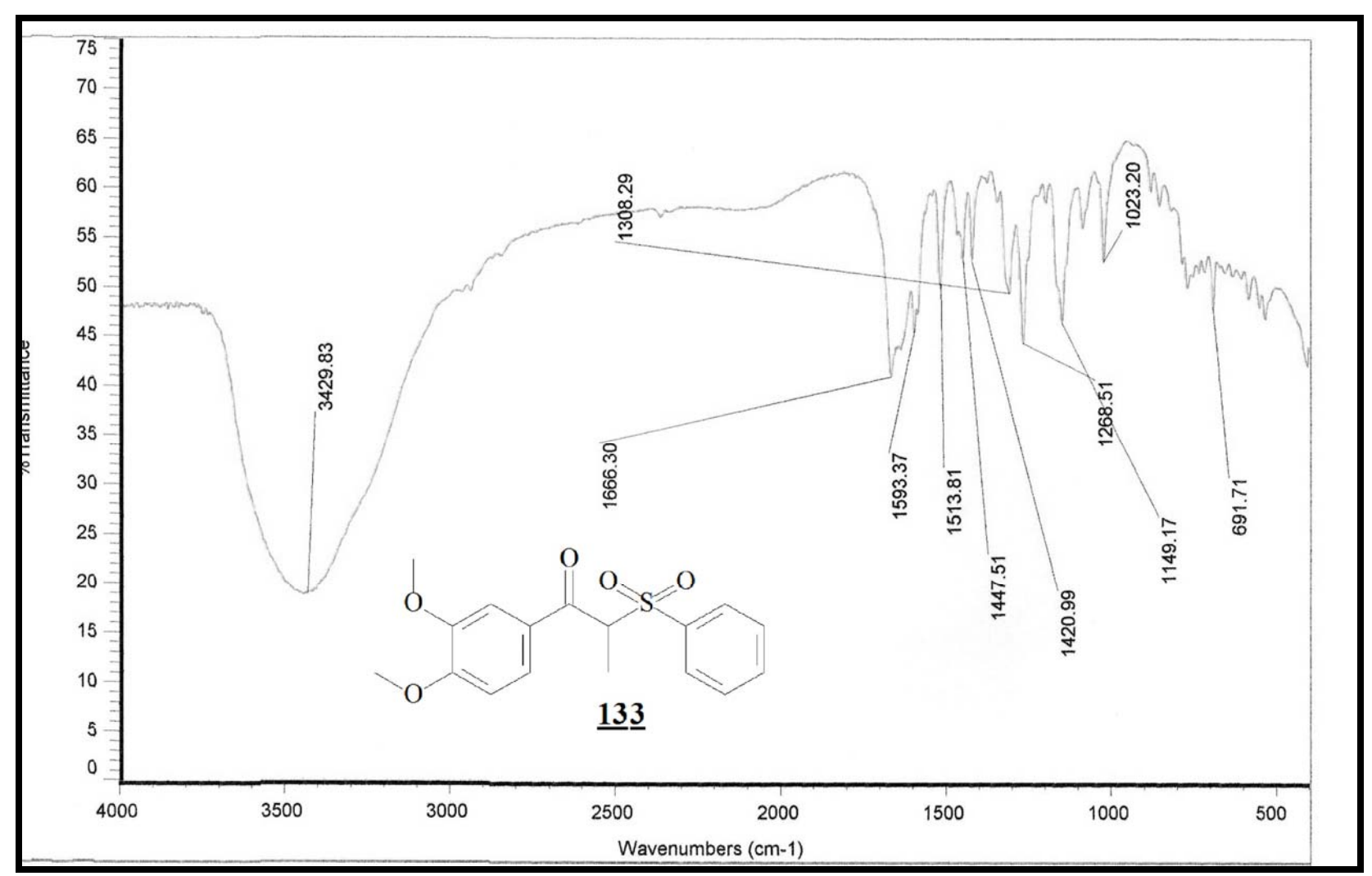
Espectro 112: Espectro infravermelho do composto 132.



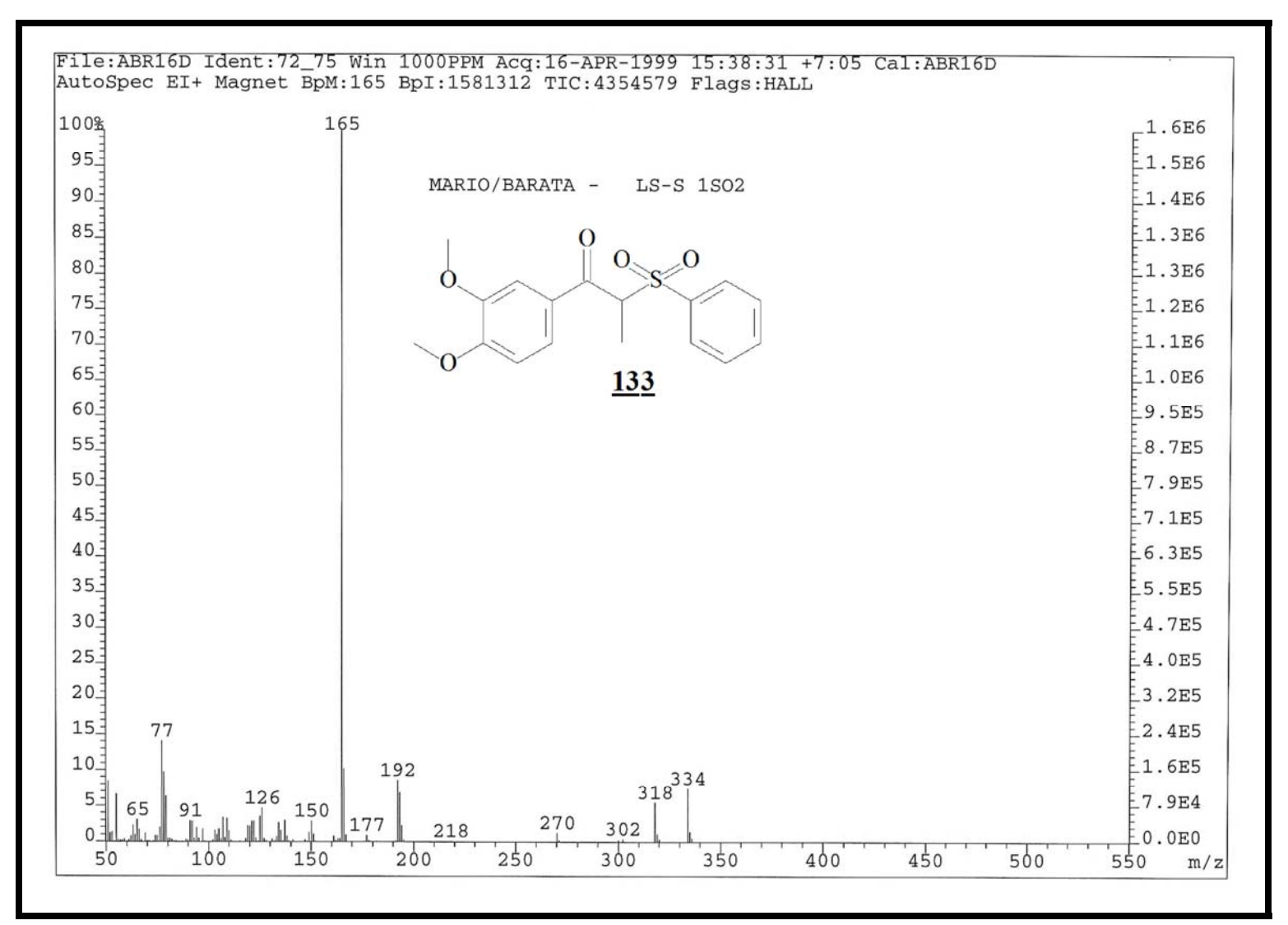
Espectro 113: Espectro de massas (EMAR) do composto 132.



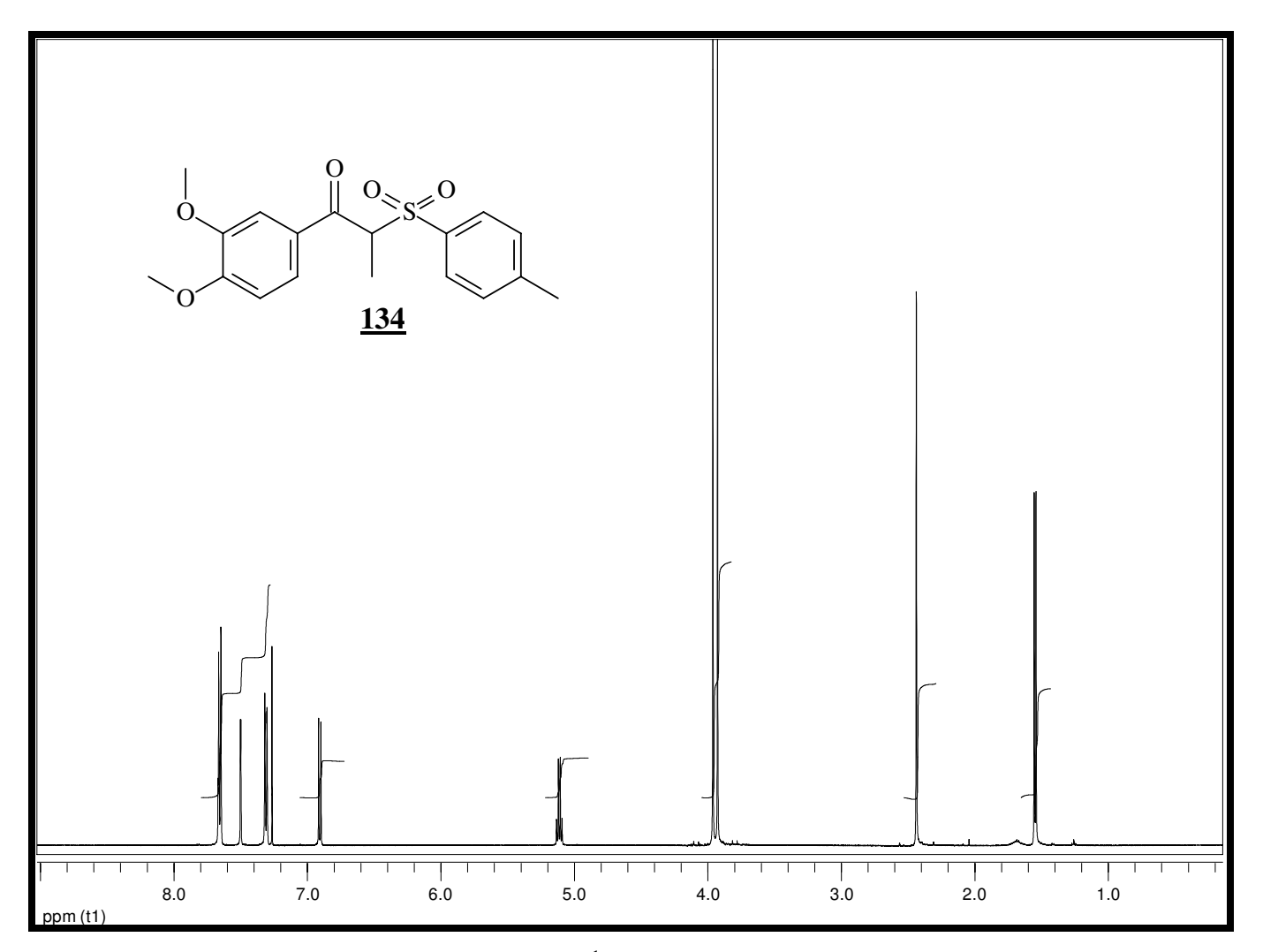
Espectro 114: Espectro de RMN de ¹H (300 Mz, CDCl₃, t.a.) do composto <u>133</u>.



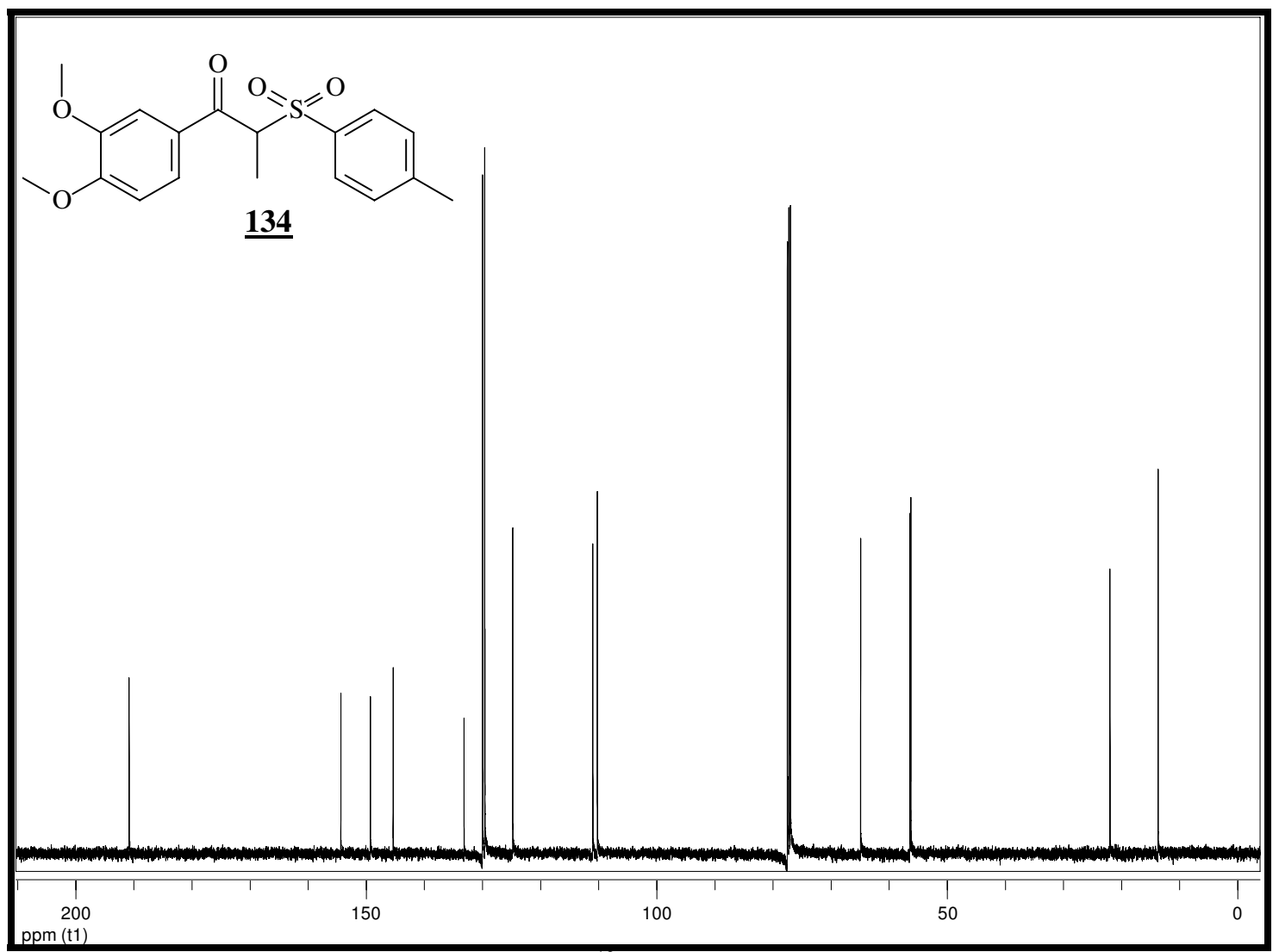
Espectro 115: Espectro infravermelho do composto 133.



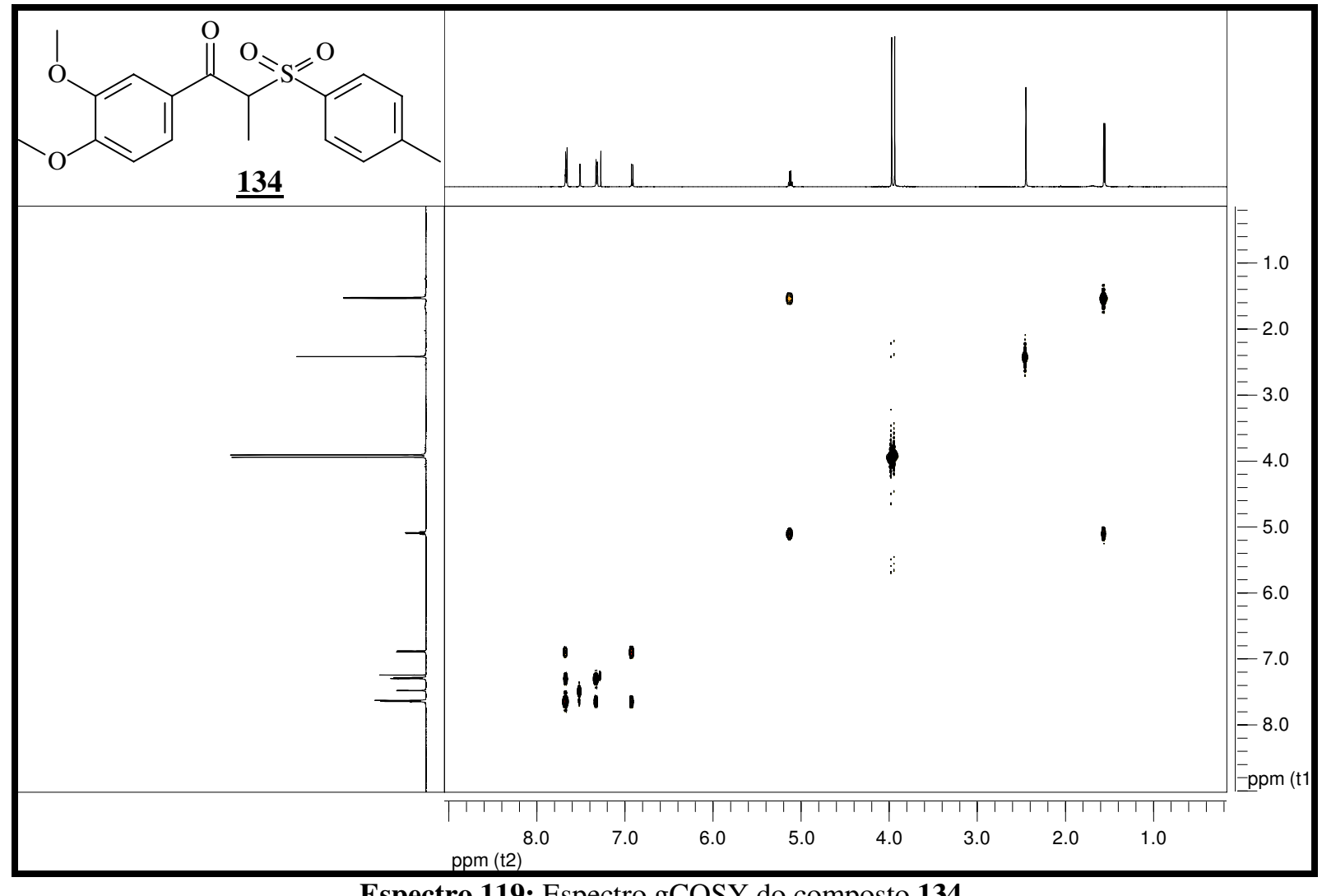
Espectro 116: Espectro de massas (EMAR) composto 133.



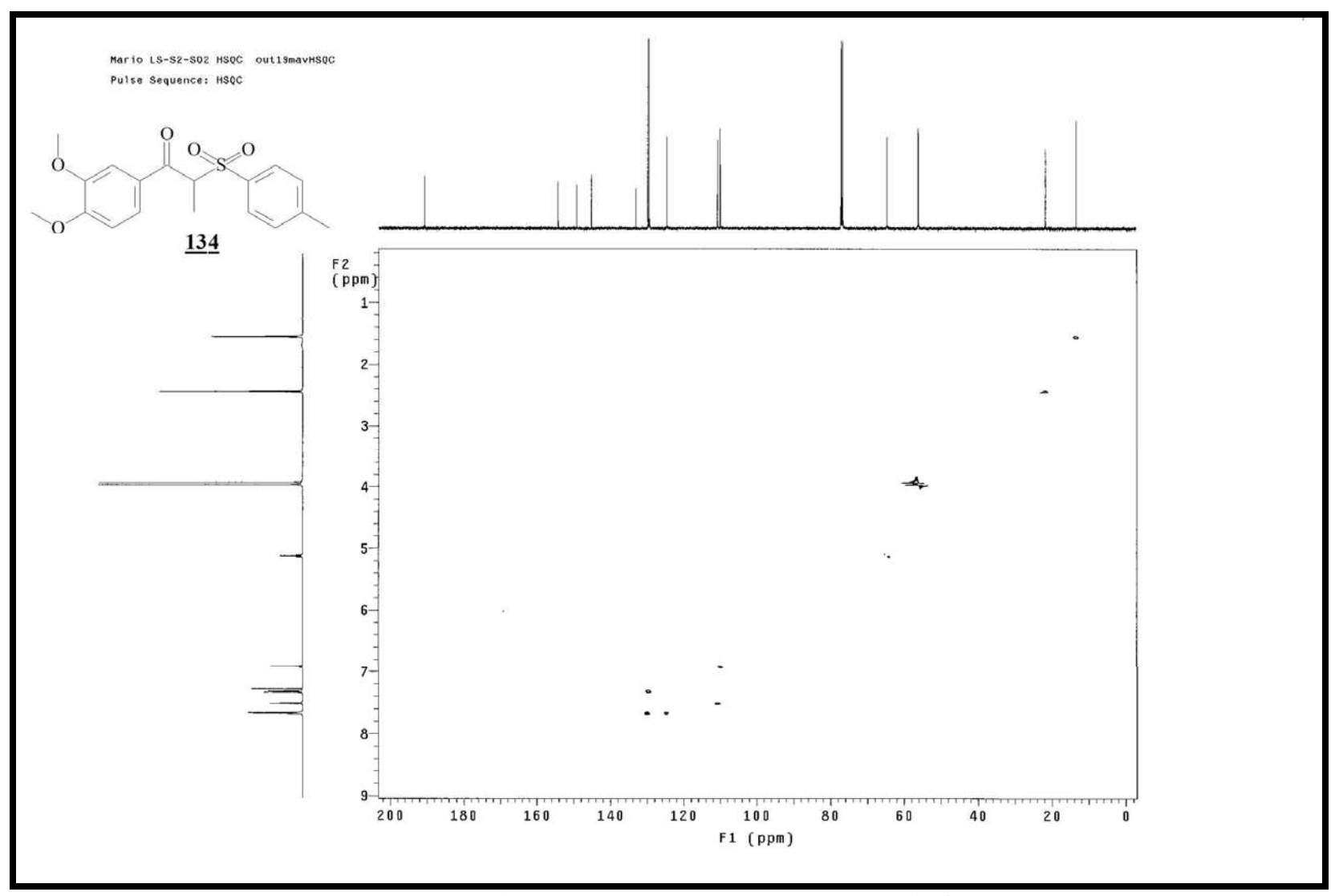
Espectro 117: Espectro de RMN de ¹H (300 Mz, CDCl₃, t.a.) do composto <u>134</u>.



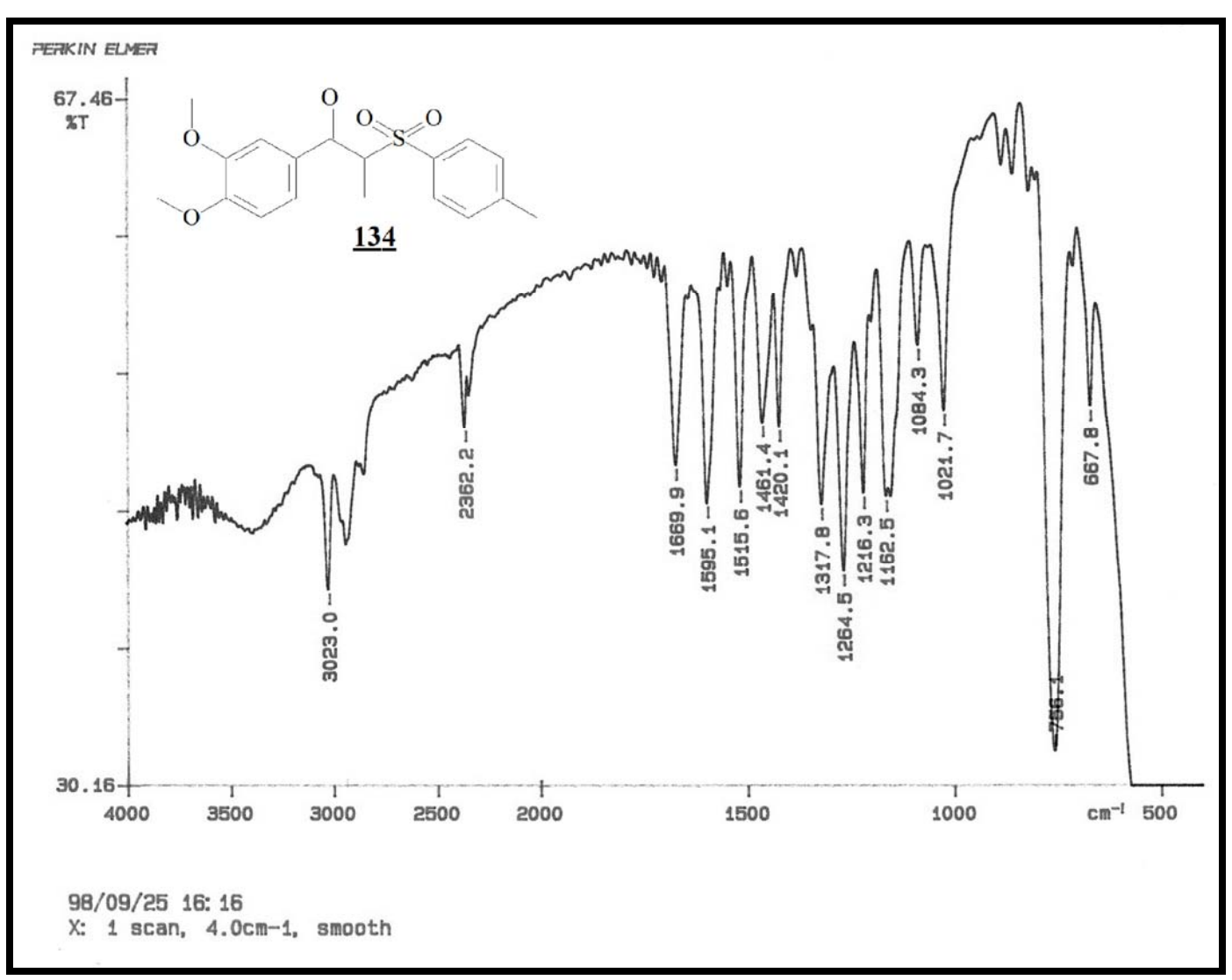
Espectro 118: Espectro de RMN de ¹³C (125 Mz, CDCl₃, t.a.) do composto <u>134</u>.



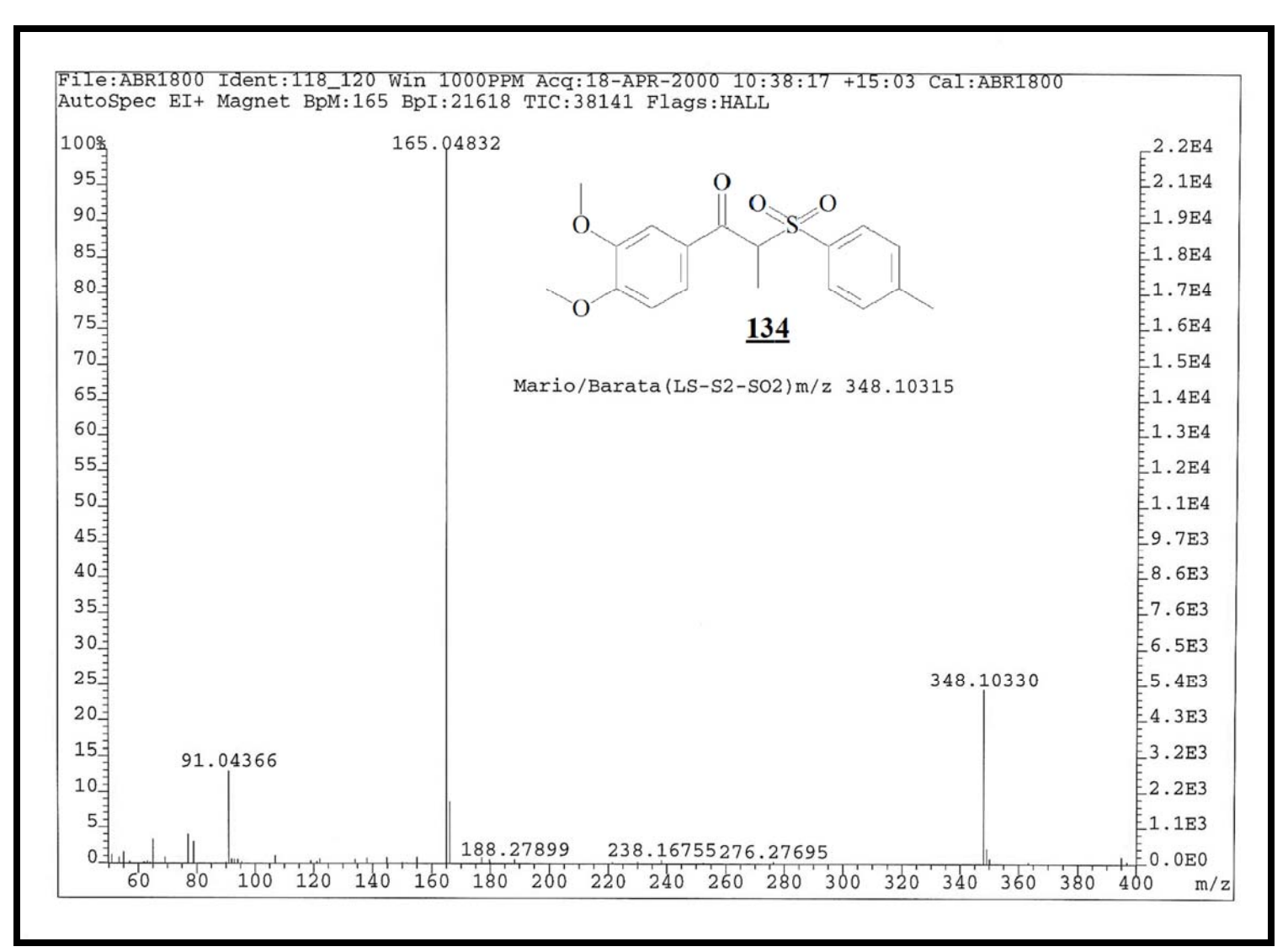
Espectro 119: Espectro gCOSY do composto <u>134</u>.



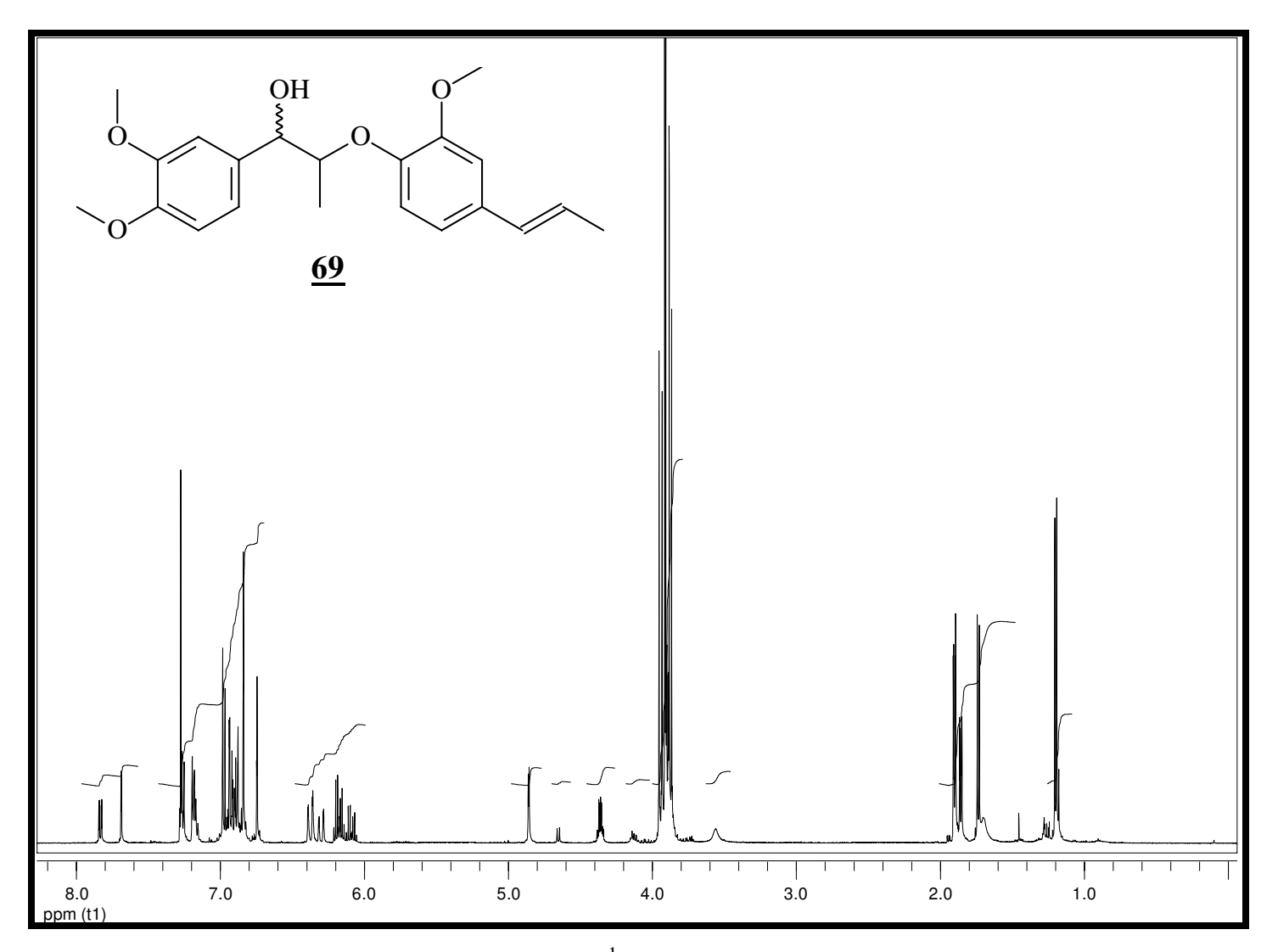
Espectro 120: Espectro HSQC do composto <u>134</u>.



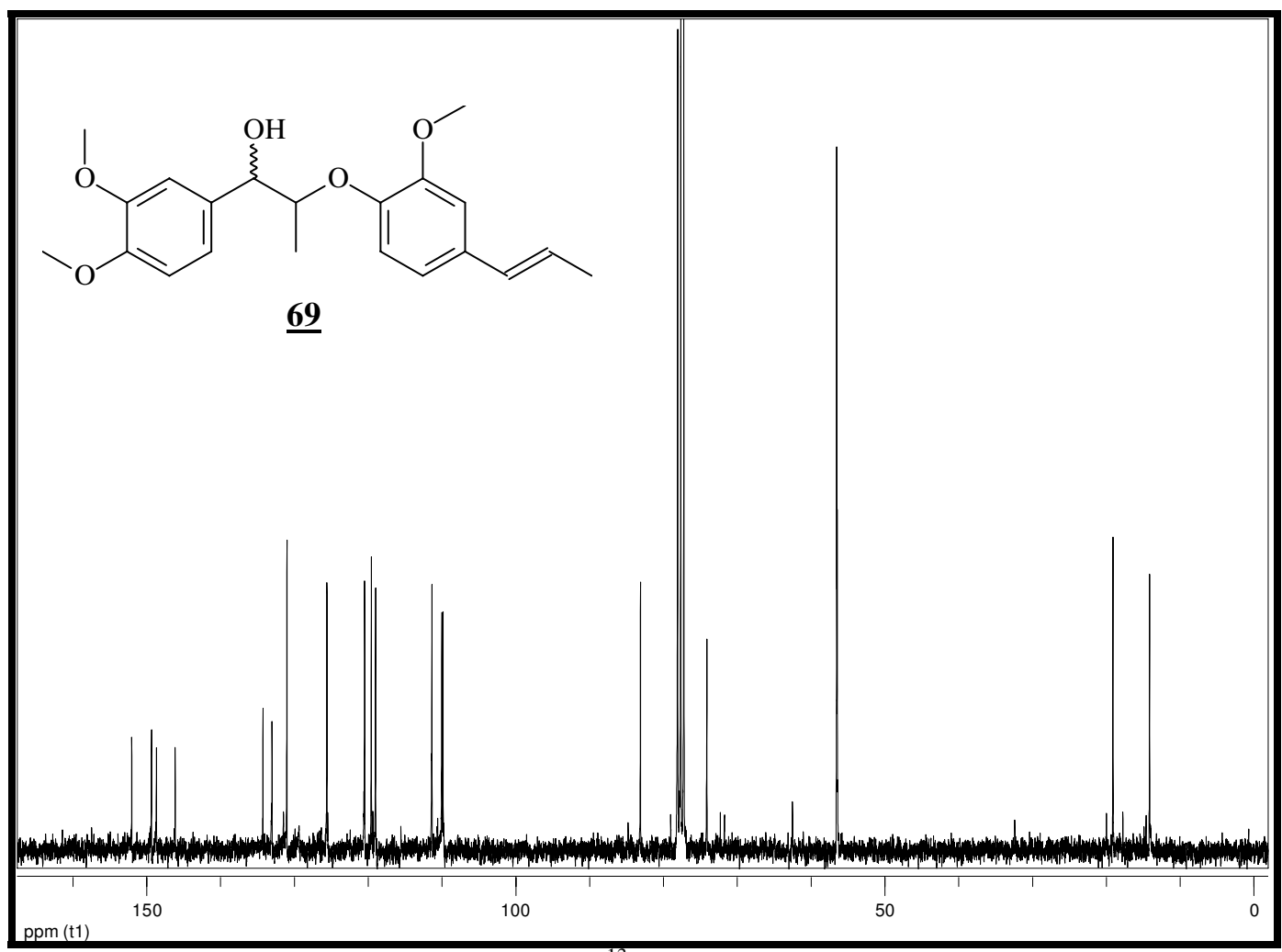
Espectro 121: Espectro infravermelho do composto <u>134</u>.



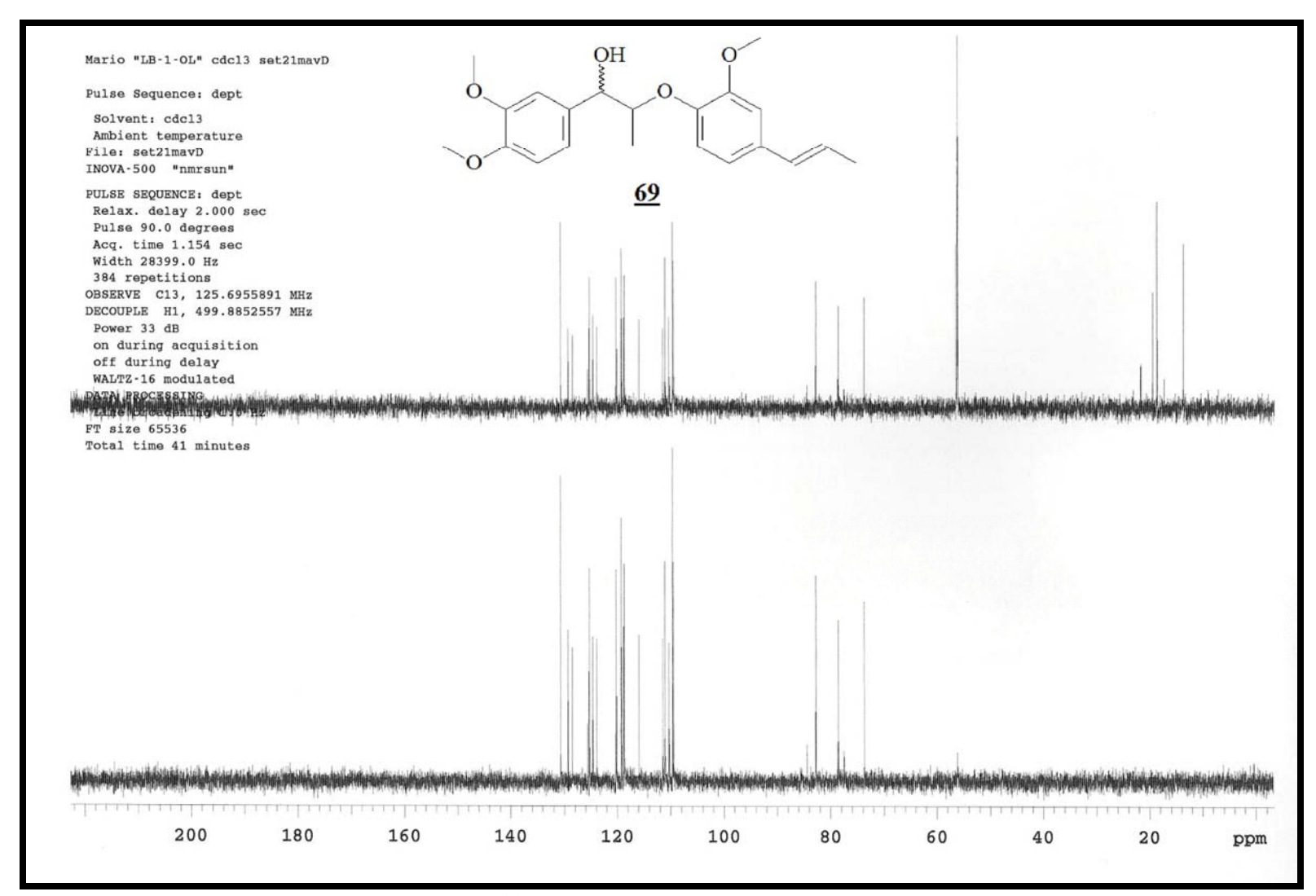
Espectro 122: Espectro de massas (EMAR) do composto 134.



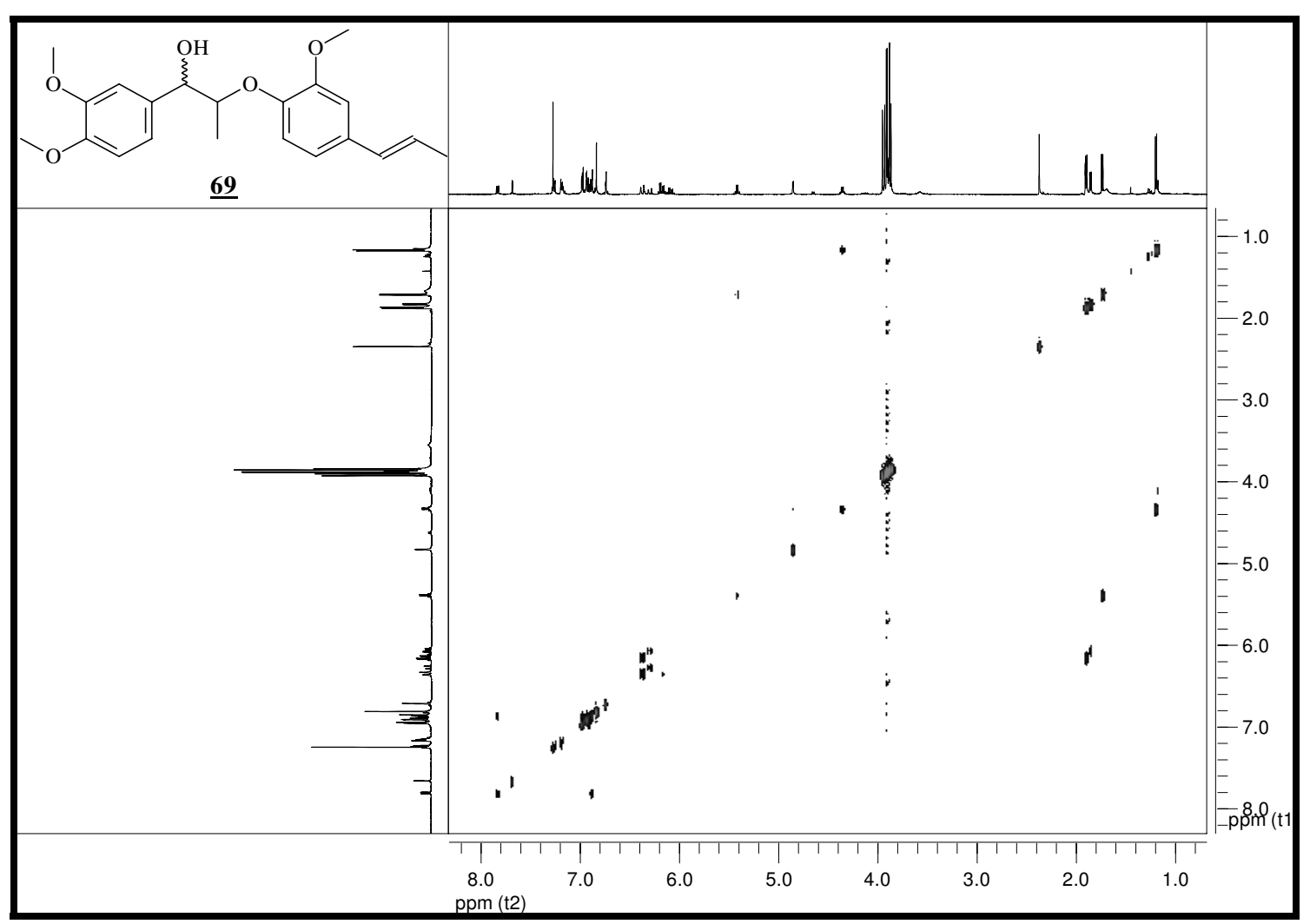
Espectro 123: Espectro de RMN de ¹H (500 Mz, CDCl₃, t.a.) do composto <u>69</u>.



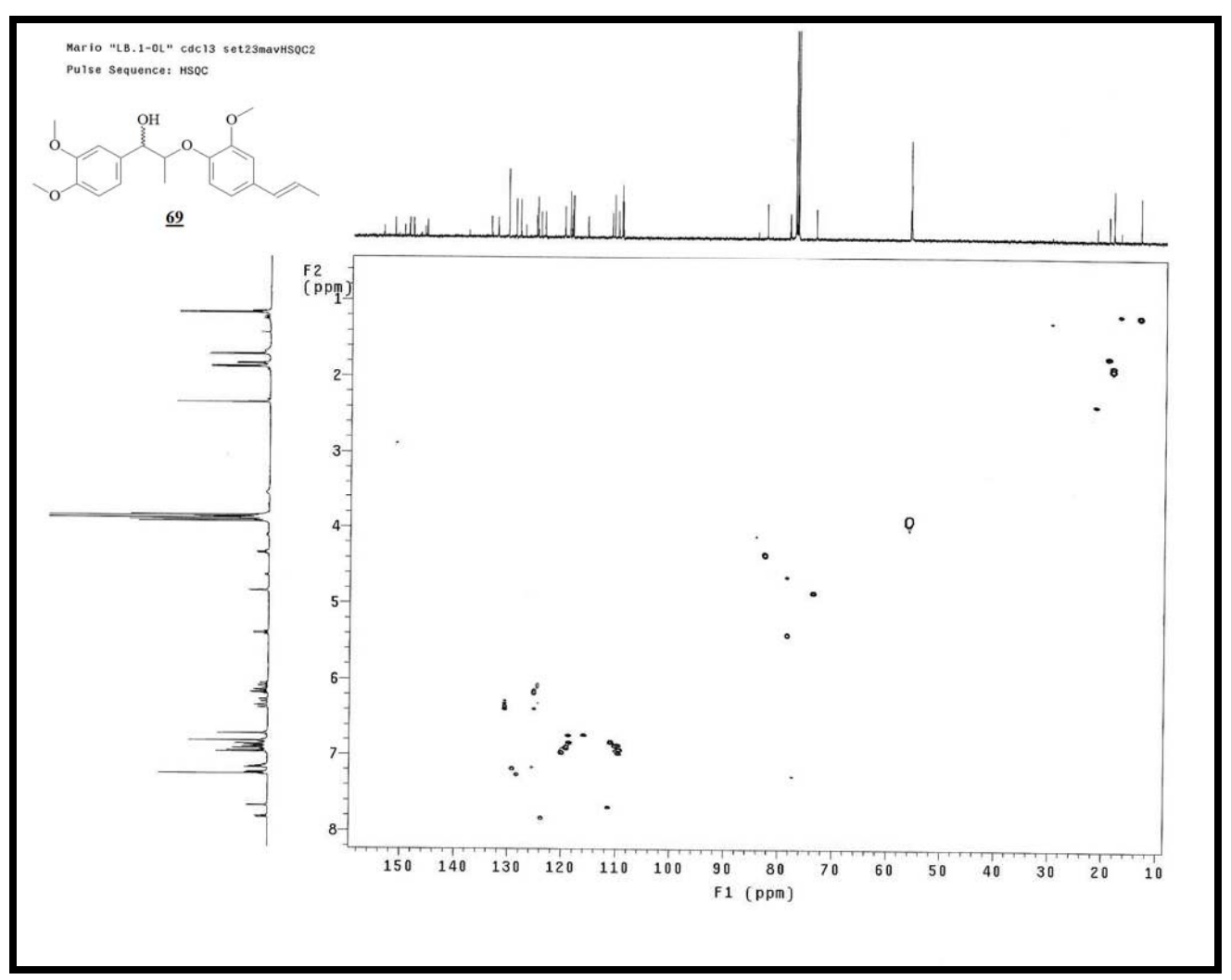
Espectro 124: Espectro de RMN de ¹³C (125 Mz, CDCl₃, t.a.) do composto <u>69</u>.



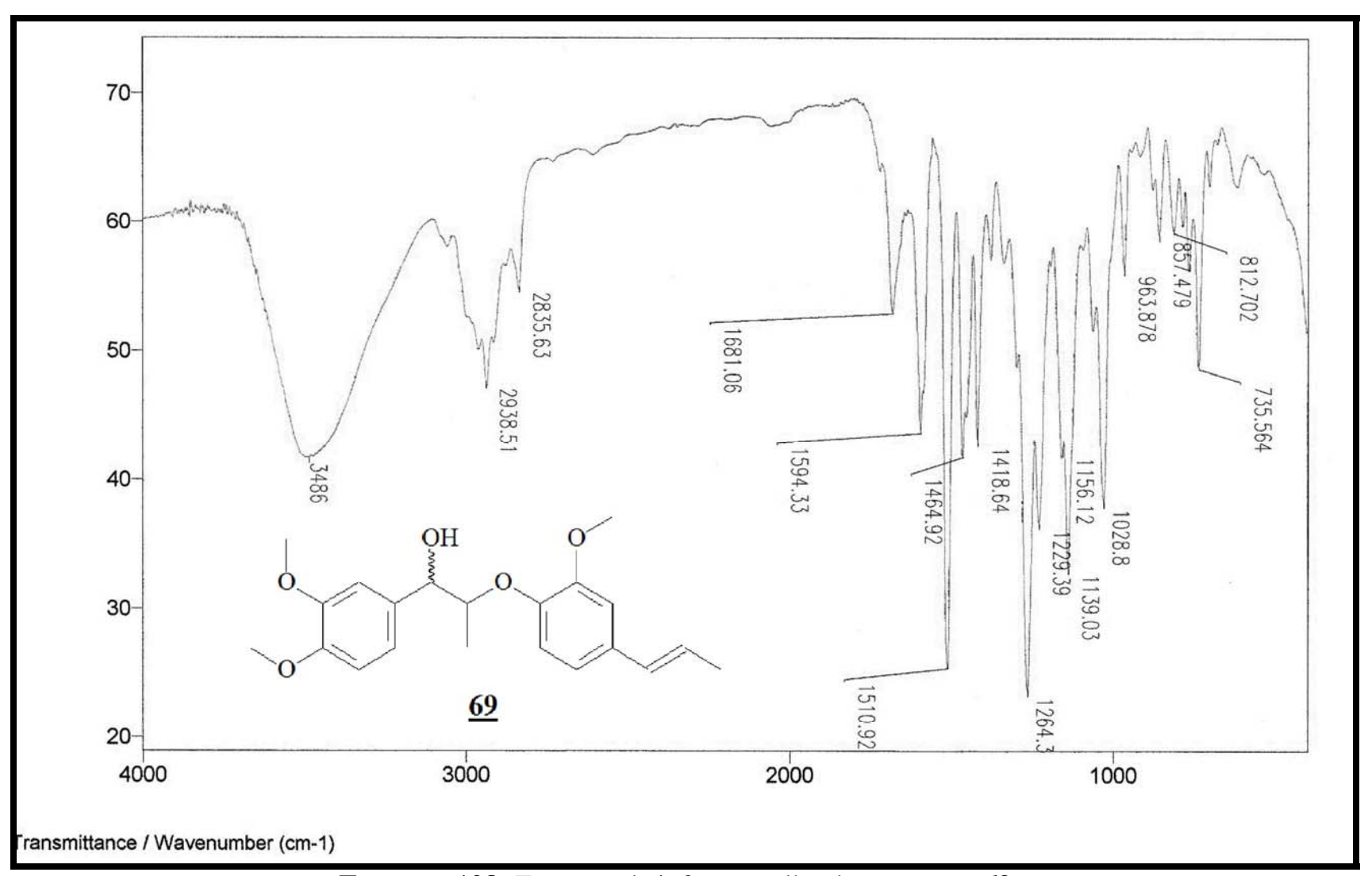
Espectro 125: Espectro DEPT do composto <u>69</u>.



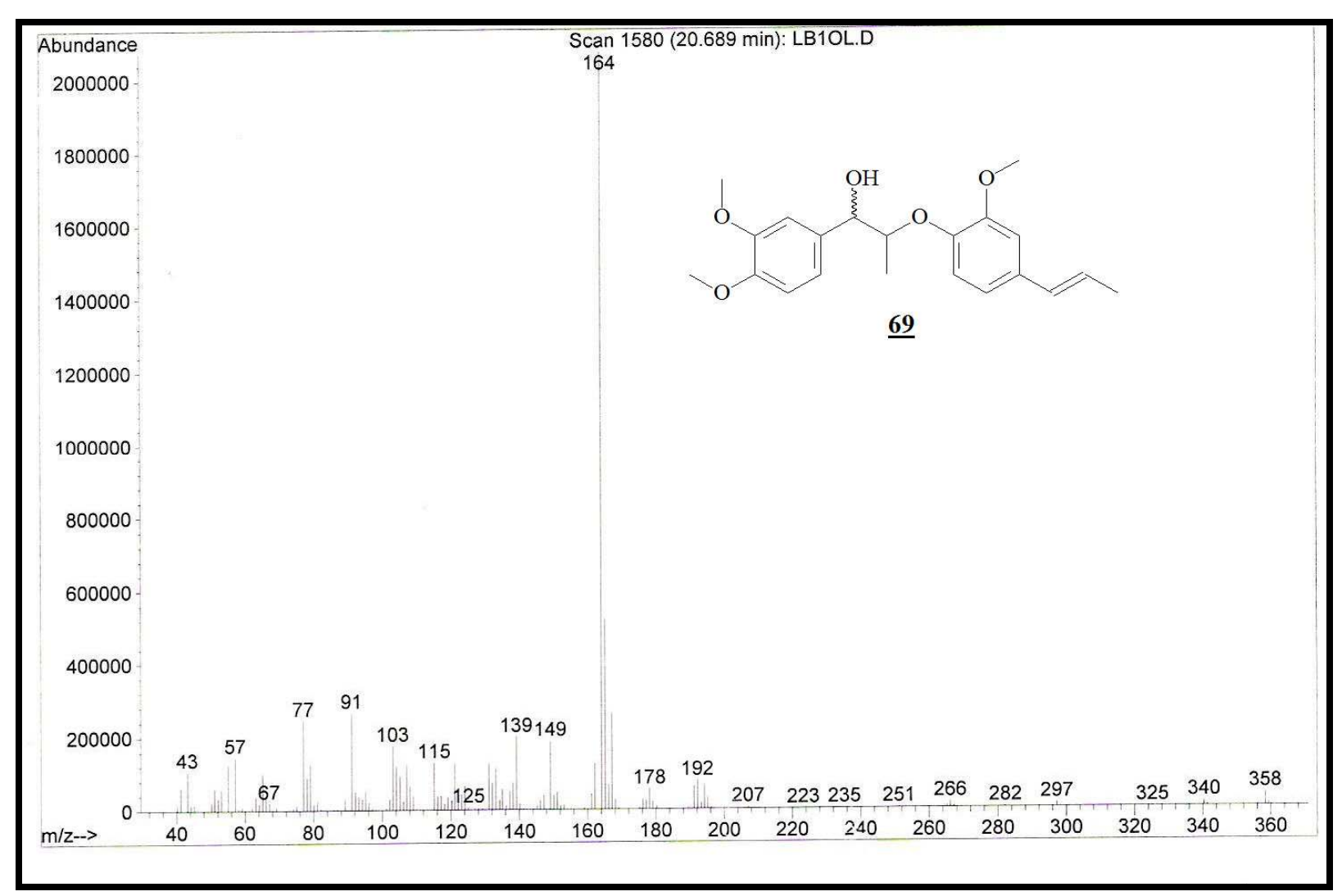
Espectro 126: Espectro gCOSY do composto 69.



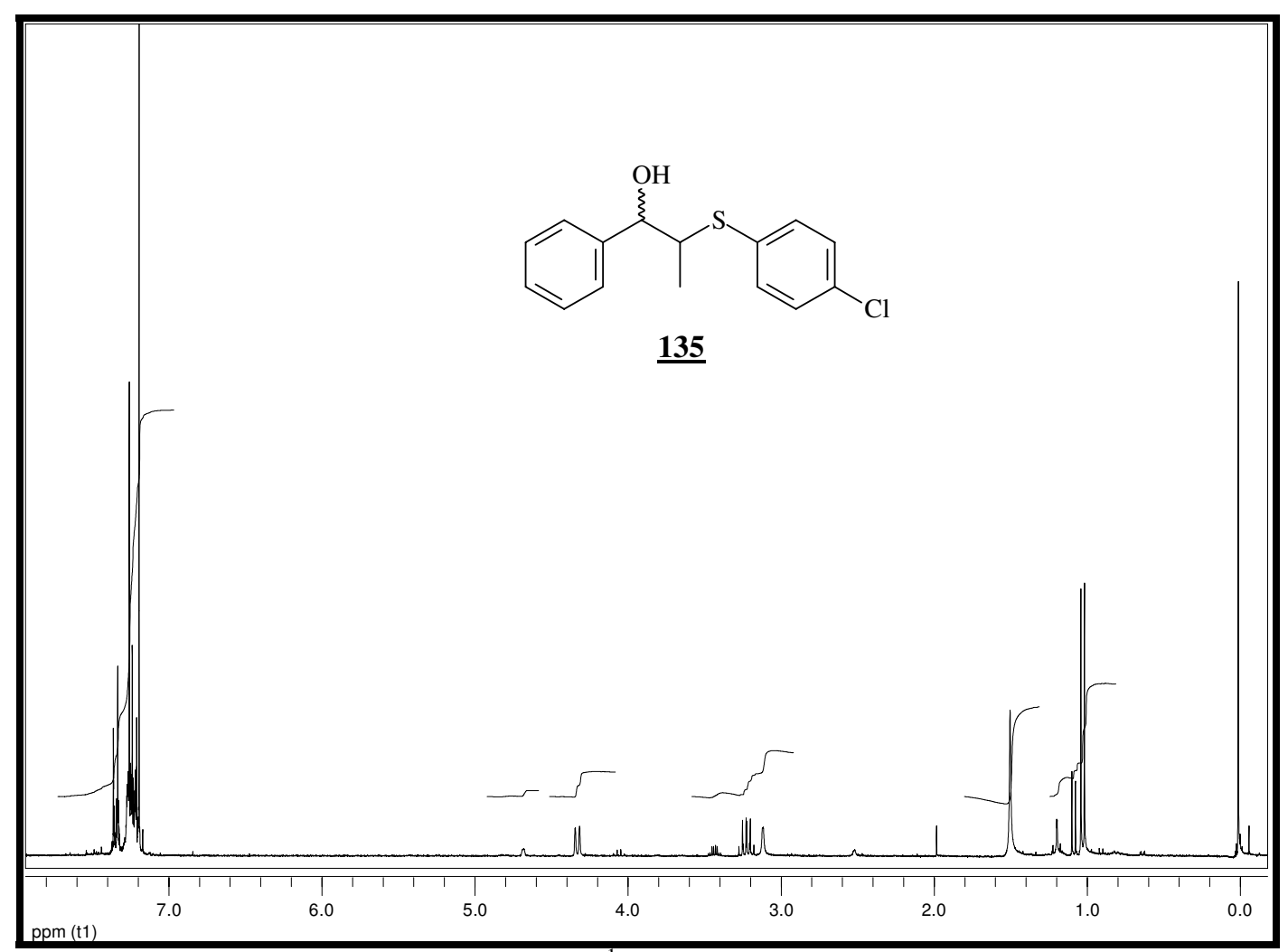
Espectro 127: Espectro HSQC do composto <u>69</u>.



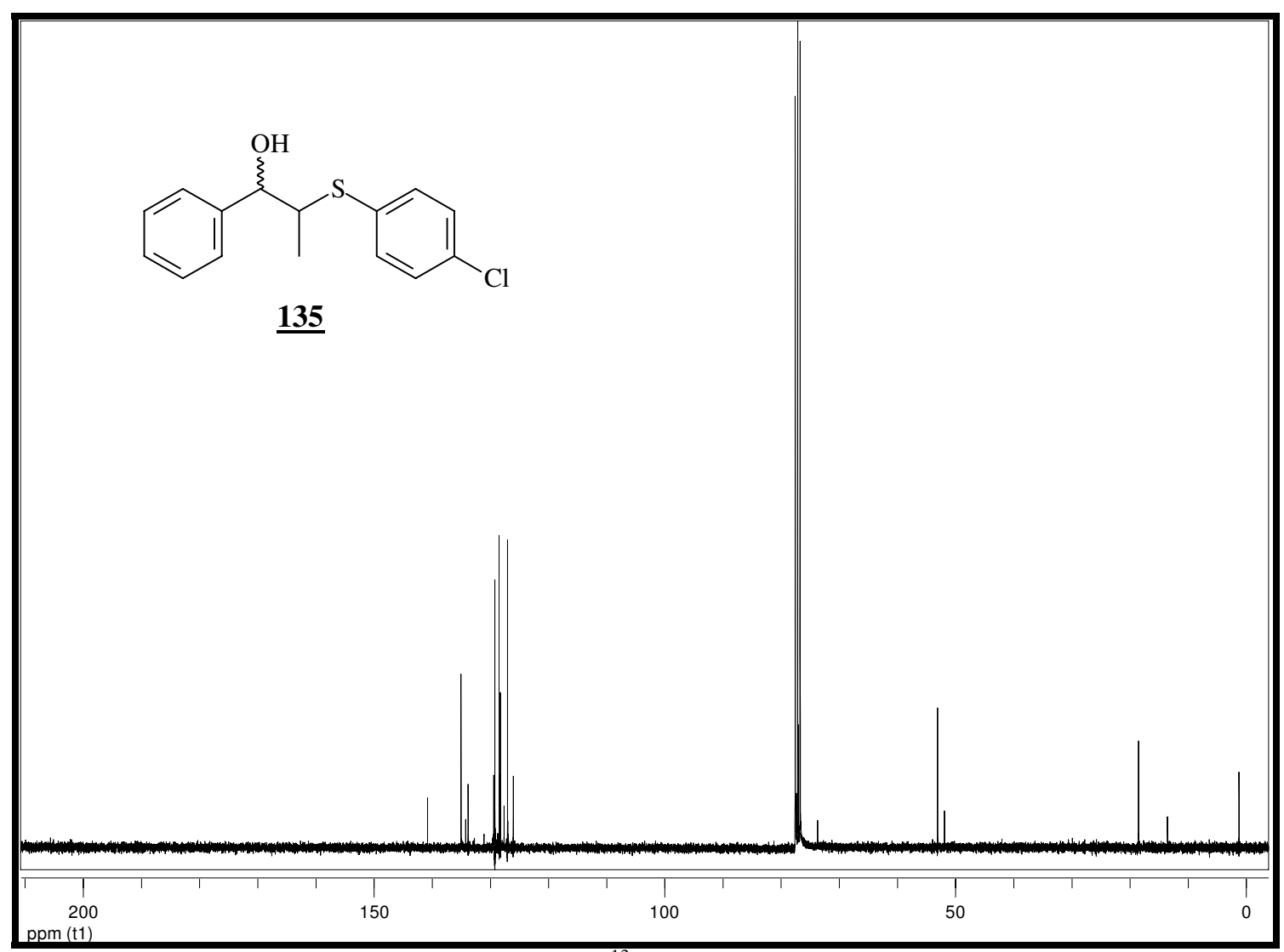
Espectro 128: Espectro de infravermelho do composto <u>69</u>.



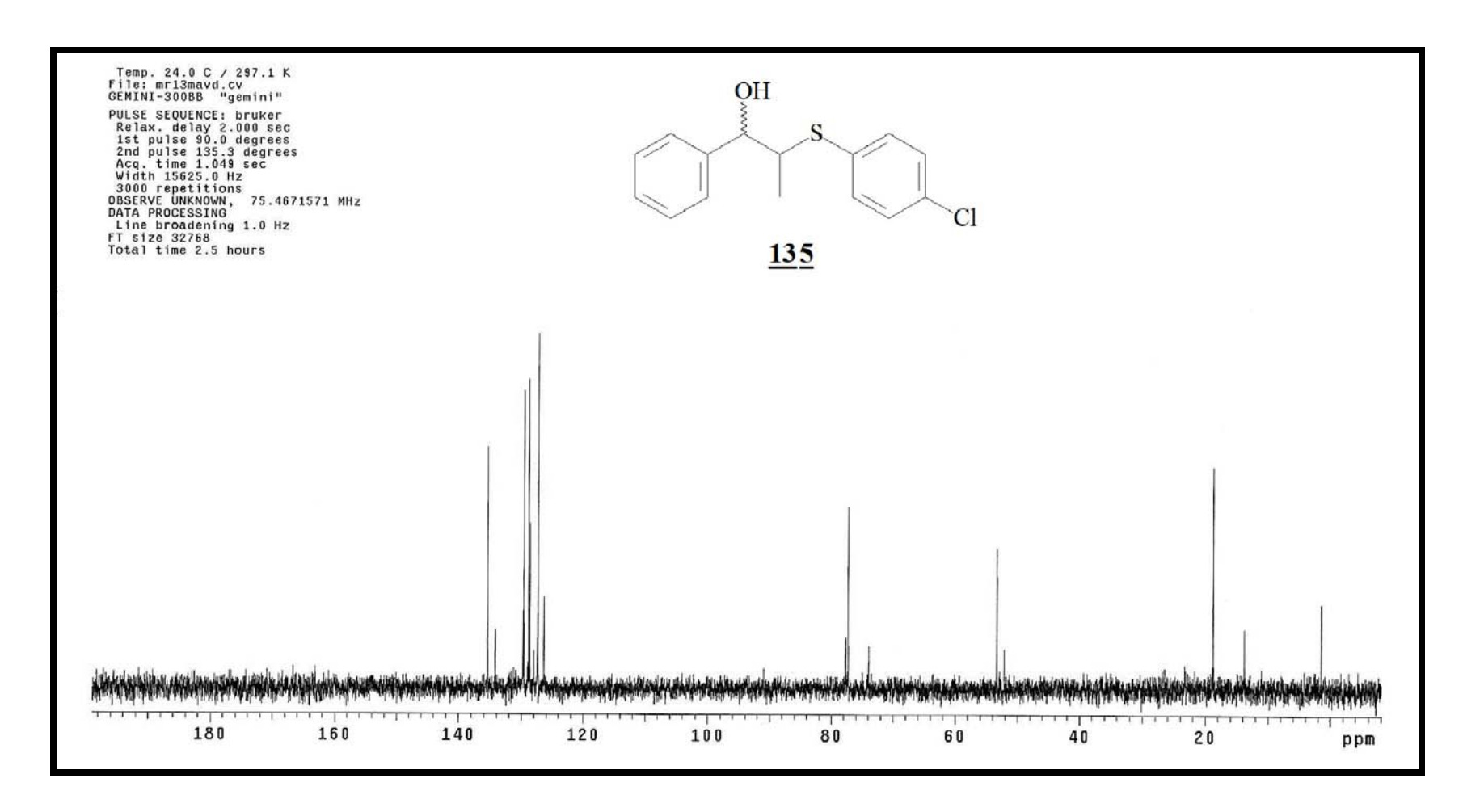
Espectro 129: Espectro de massas (EM) do composto <u>69</u>.



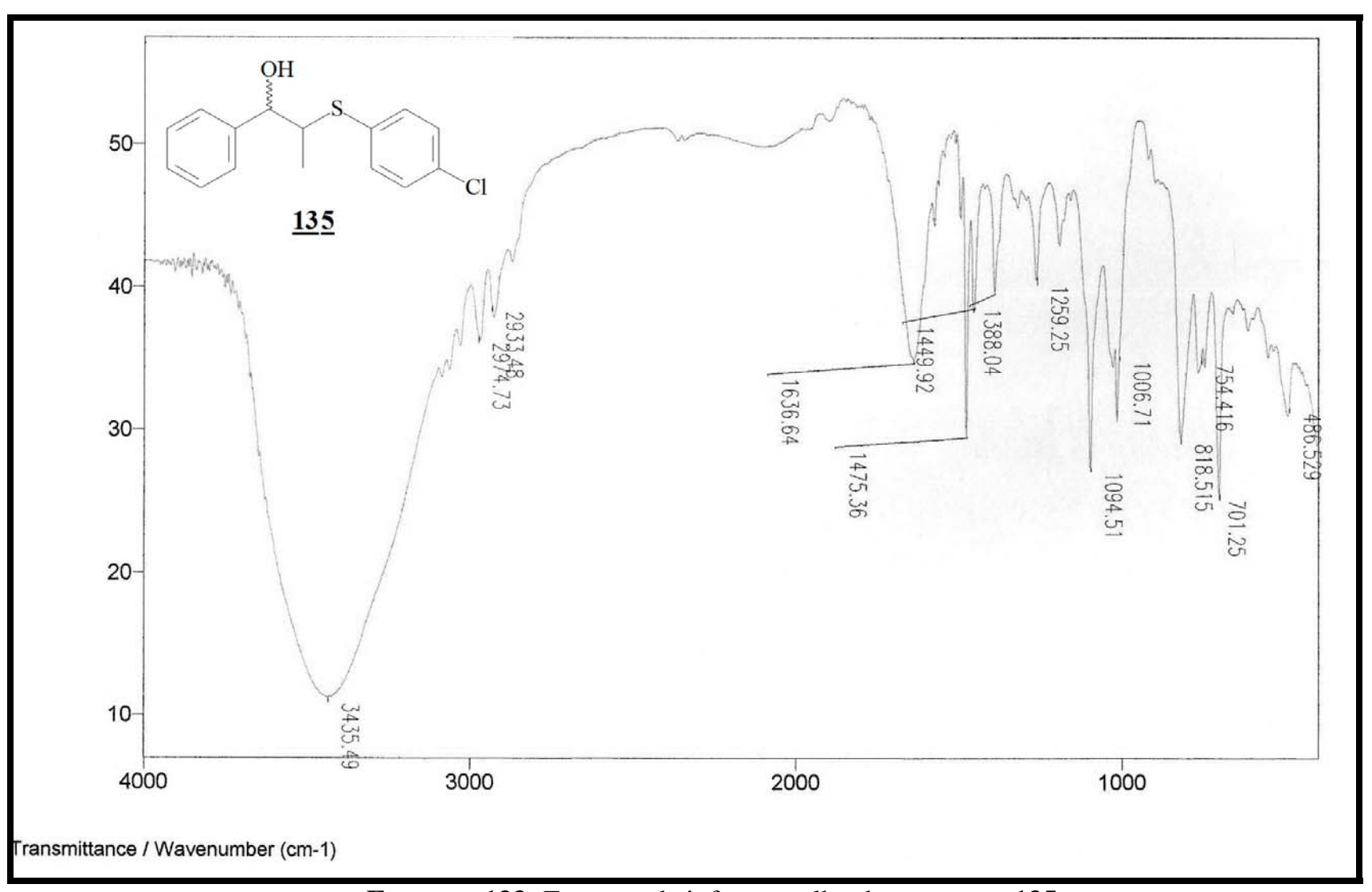
Espectro 130: Espectro de RMN de ¹H (300 Mz, CDCl₃, t.a.) do composto <u>135</u>.



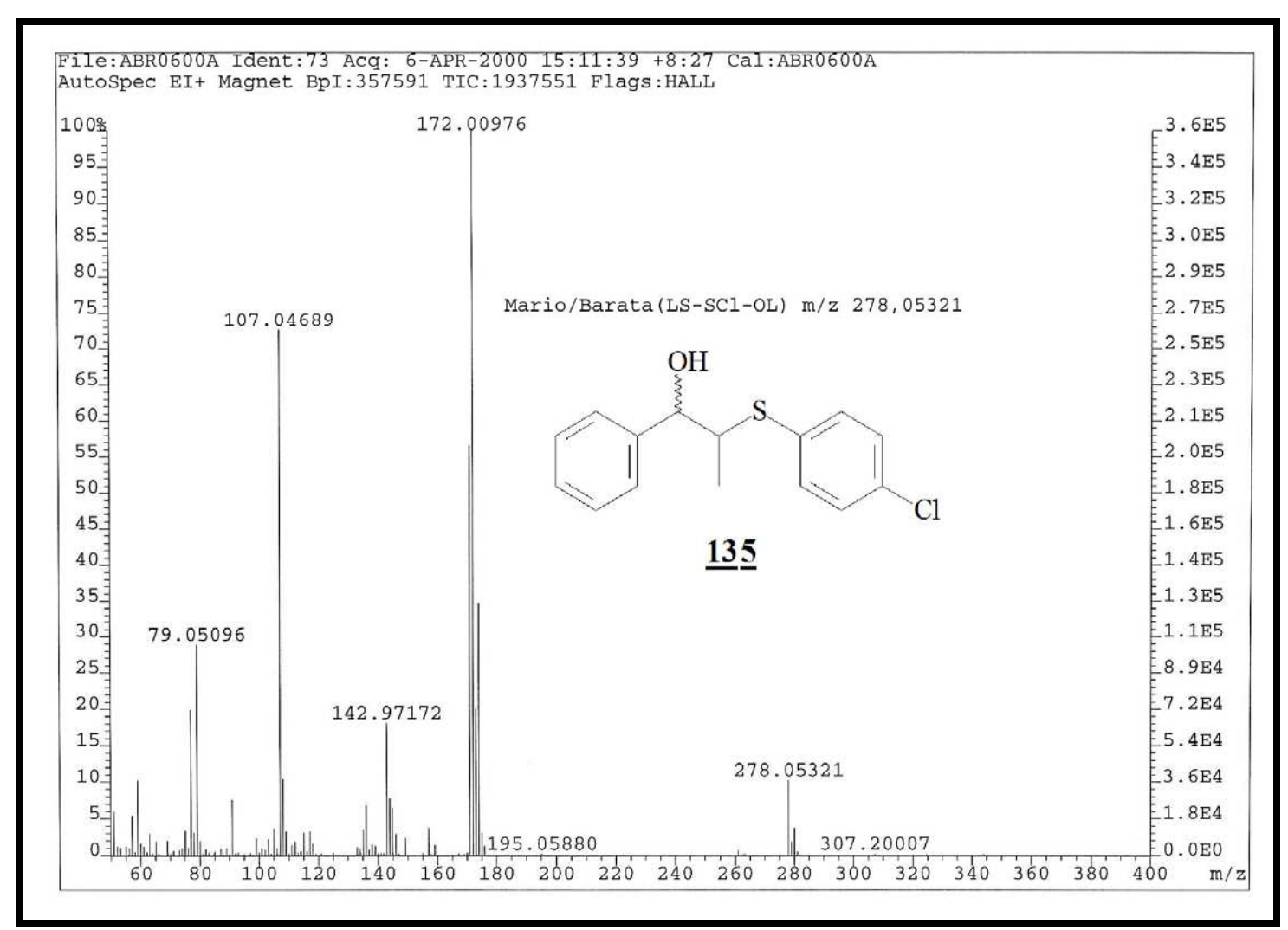
Espectro 131: Espectro de RMN de ¹³C (75 Mz, CDCl₃, t.a.) do composto <u>135</u>.



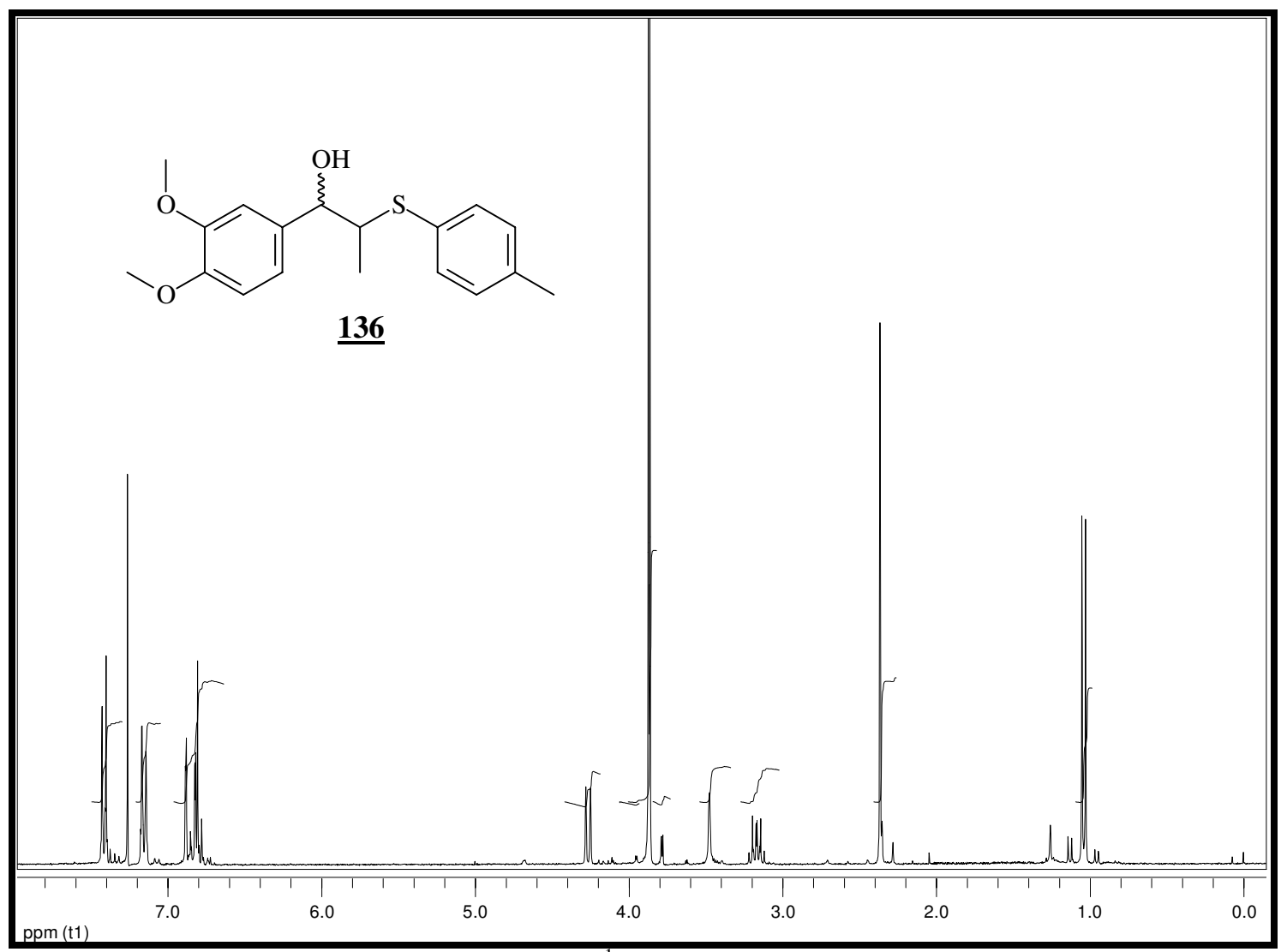
Espectro 132: Espectro DEPT do composto 135.



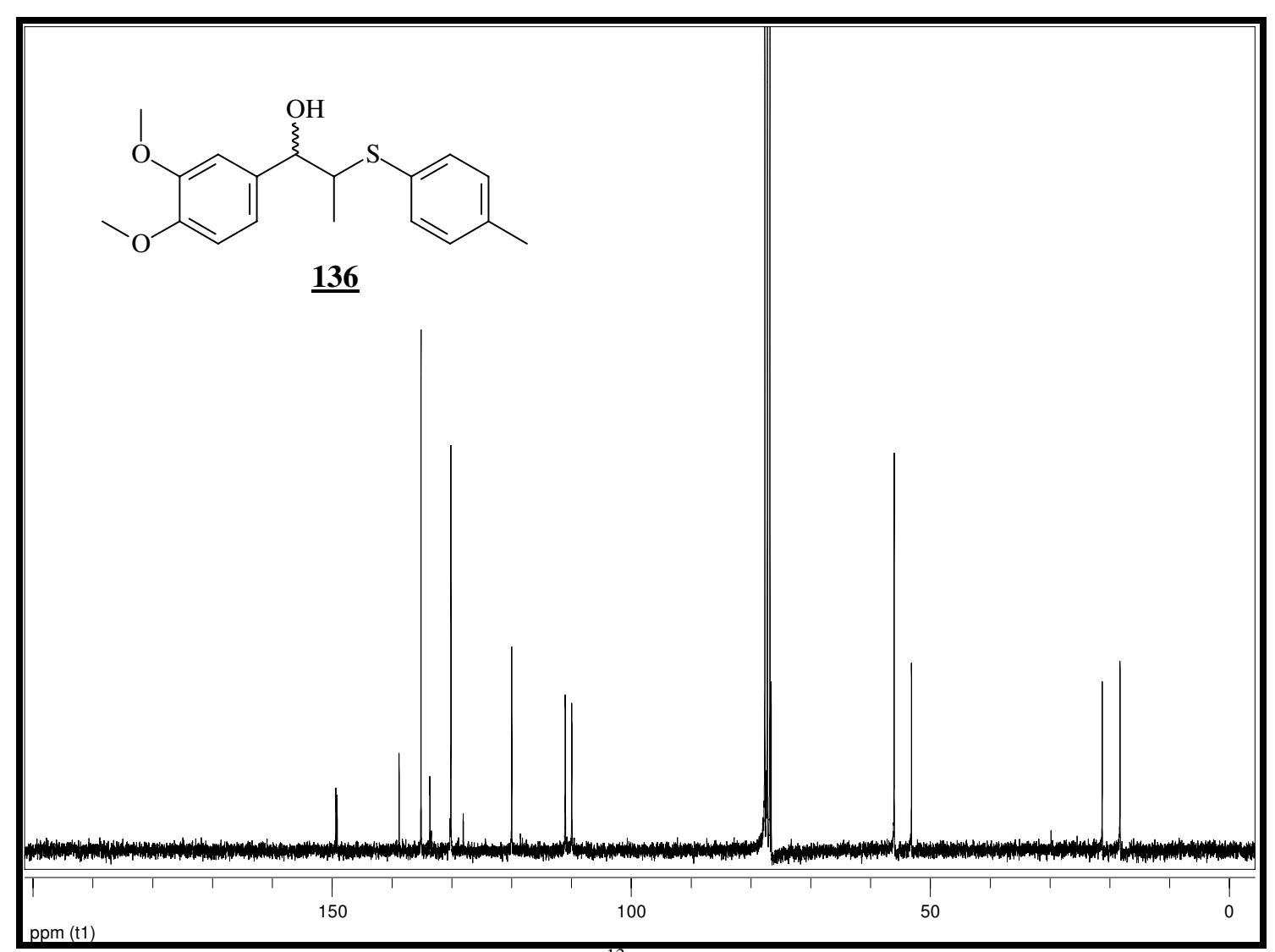
Espectro 133: Espectro de infravermelho do composto 135.



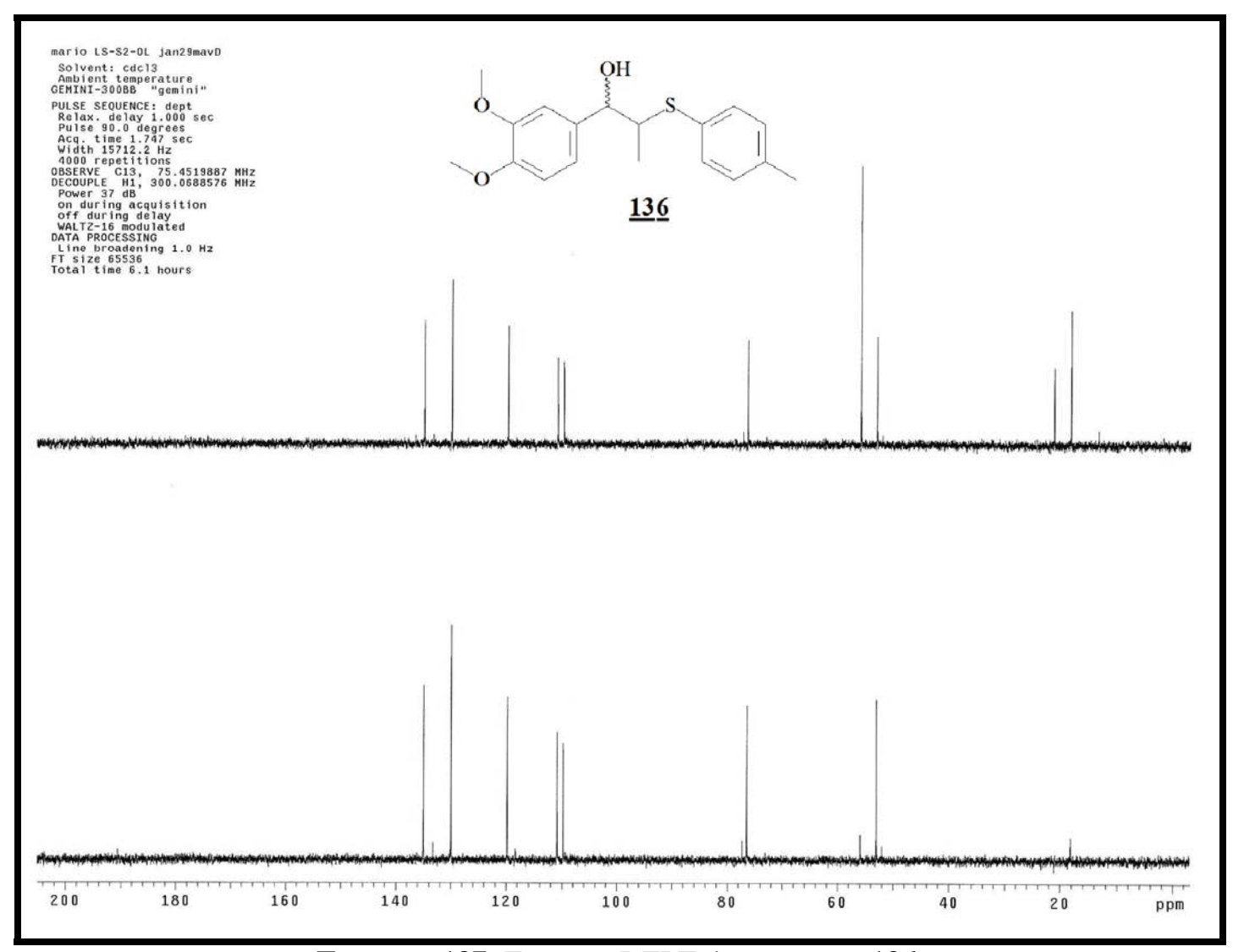
Espectro 134: Espectro de massas (EMAR) do composto 135.



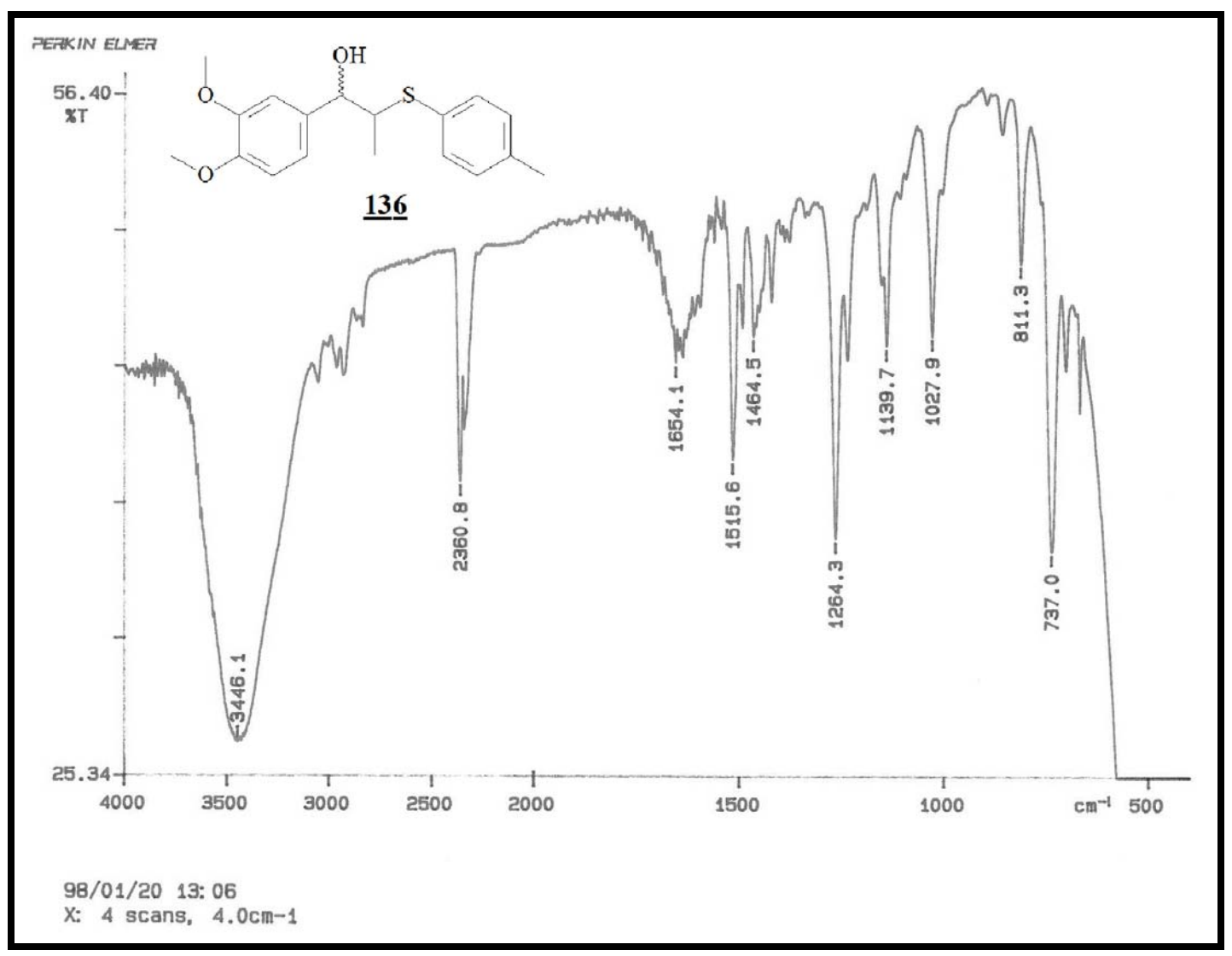
Espectro 135: Espectro de RMN de ¹H (300 Mz, CDCl₃, t.a.) do composto <u>136</u>.



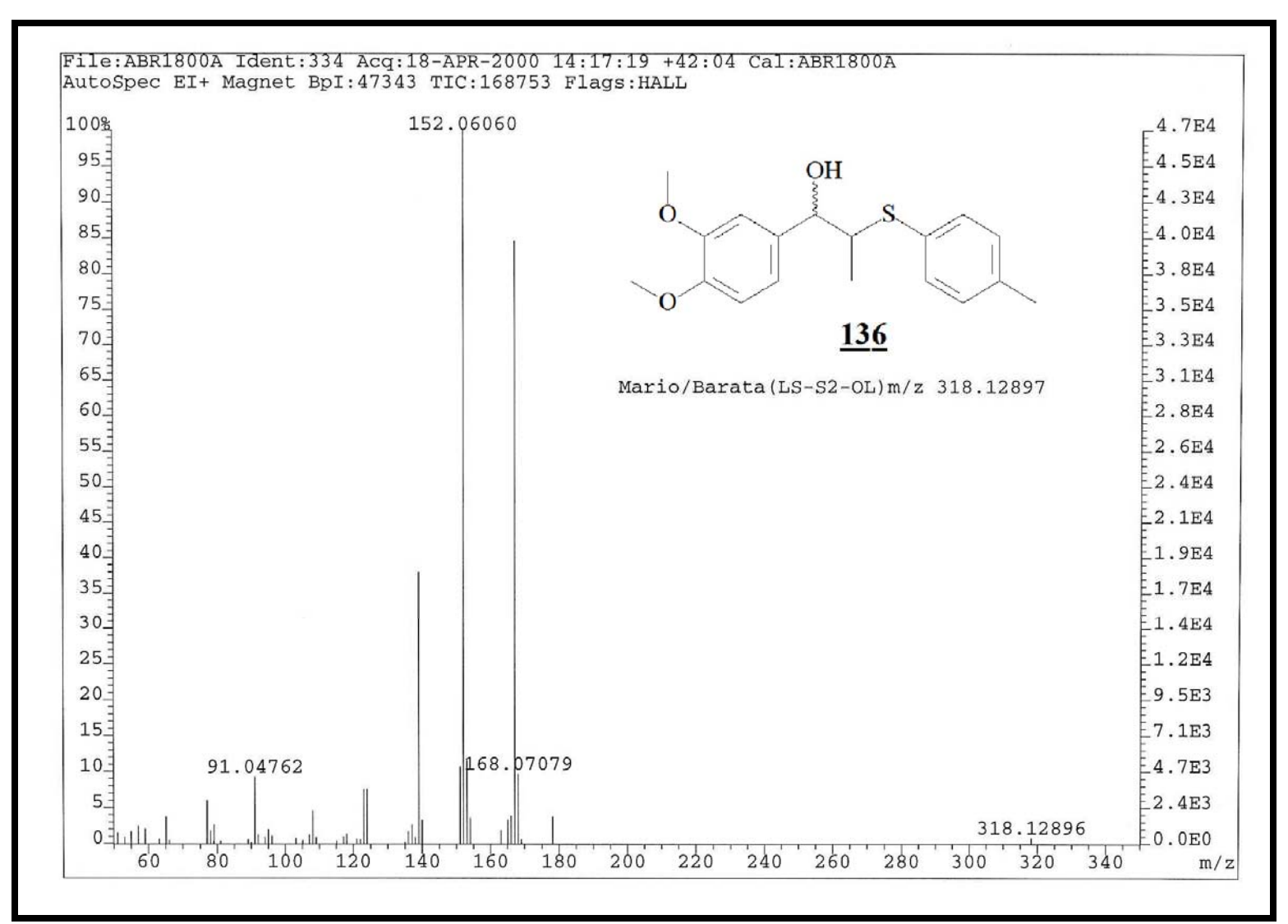
Espectro 136: Espectro de RMN de ¹³C (75 Mz, CDCl₃, t.a.) do composto <u>136</u>.



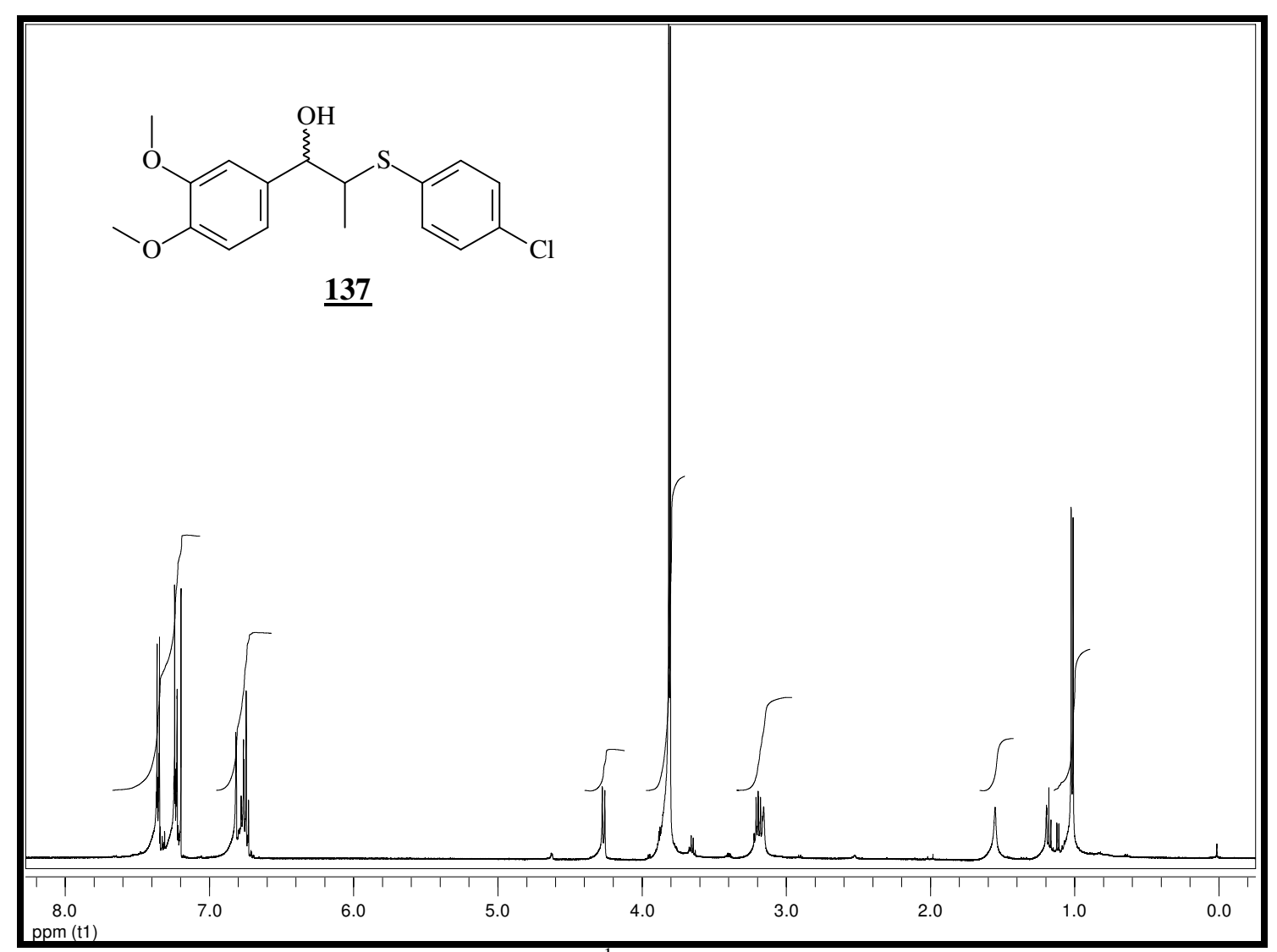
Espectro 137: Espectro DEPT do composto <u>136</u>.



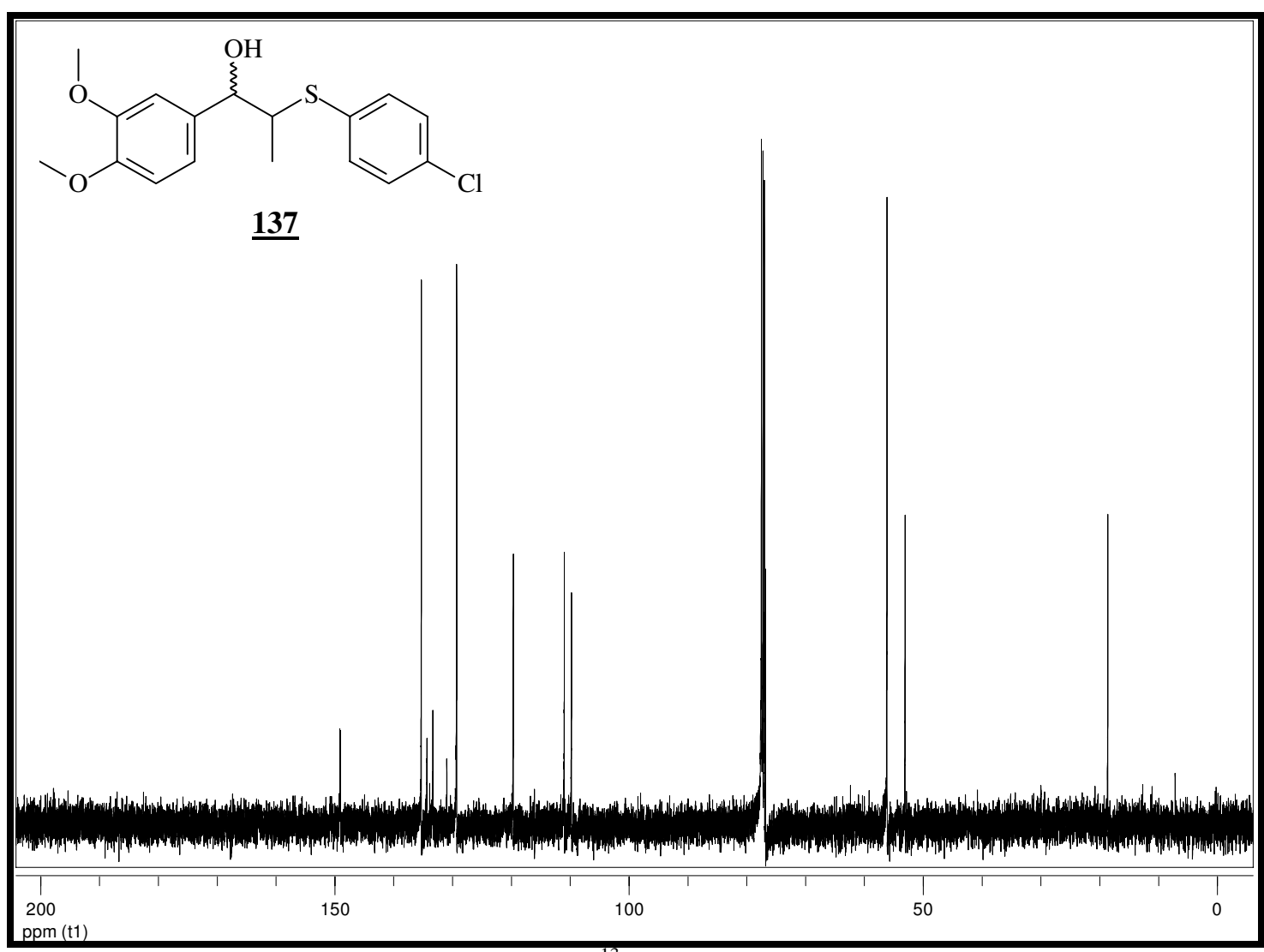
Espectro 138: Espectro de infravermelho do composto 136.



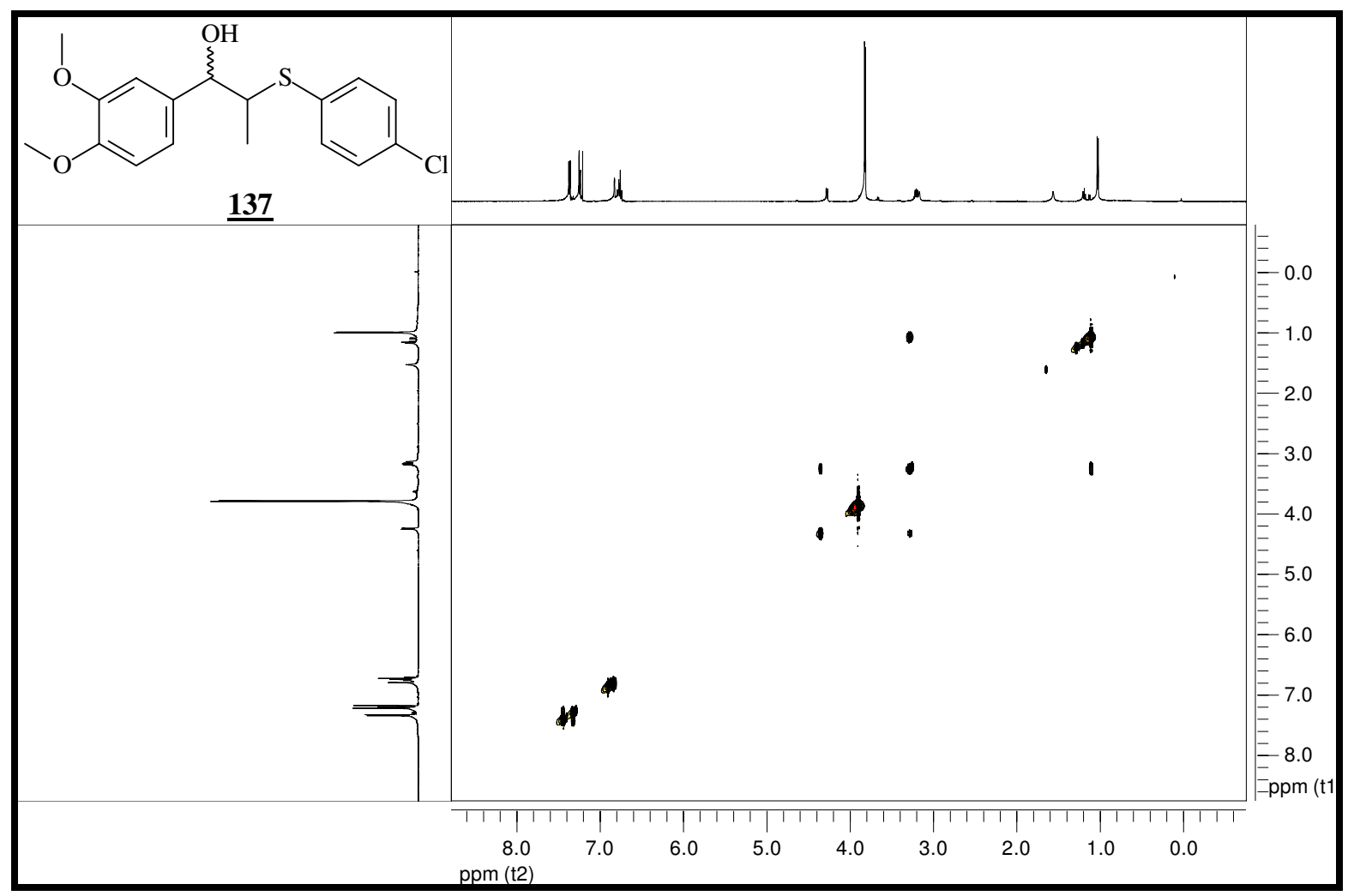
Espectro 139: Espectro de massas (EMAR) do composto 136.



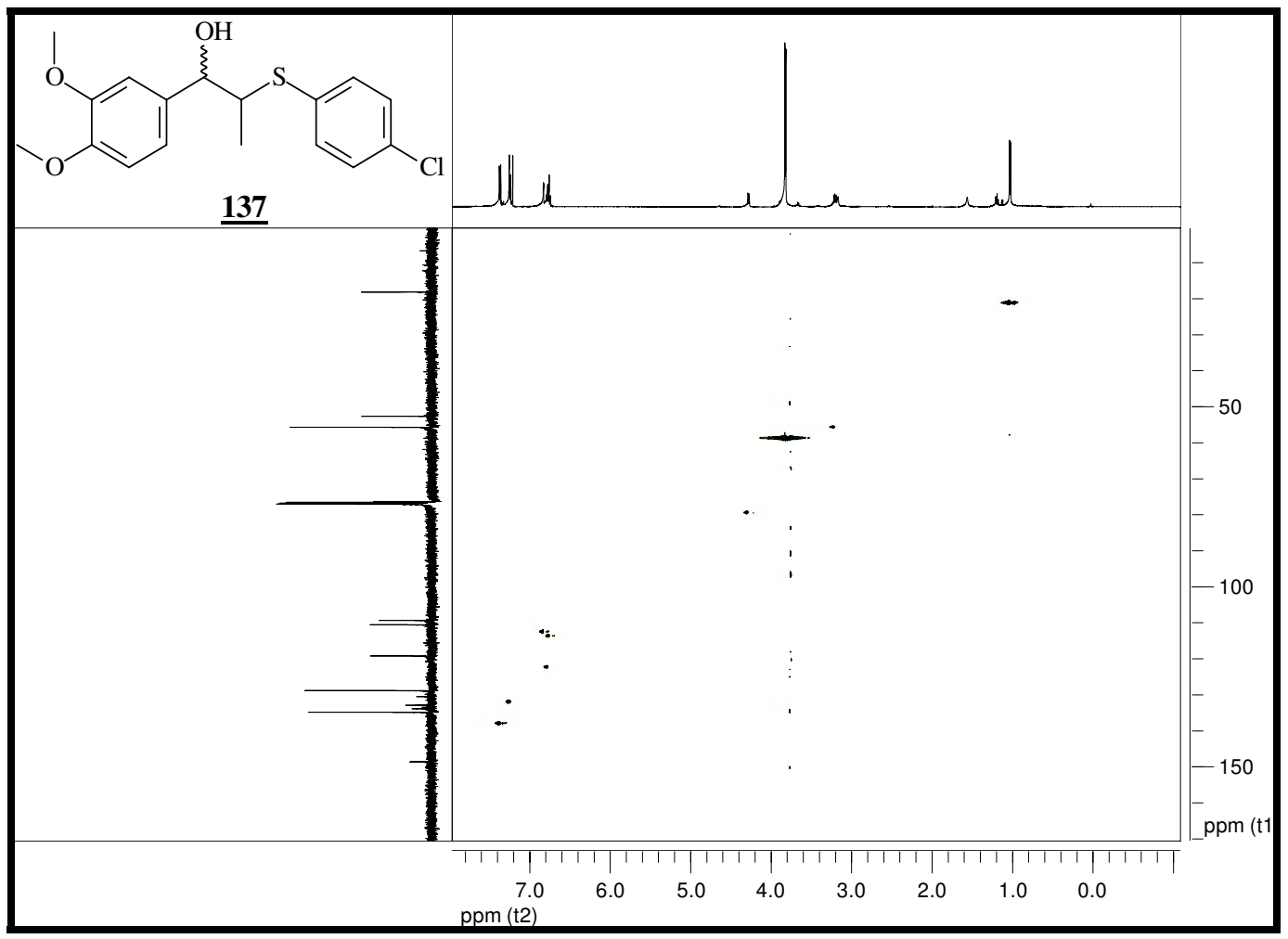
Espectro 140: Espectro de RMN de ¹H (300 Mz, CDCl₃, t.a.) do composto <u>137</u>.



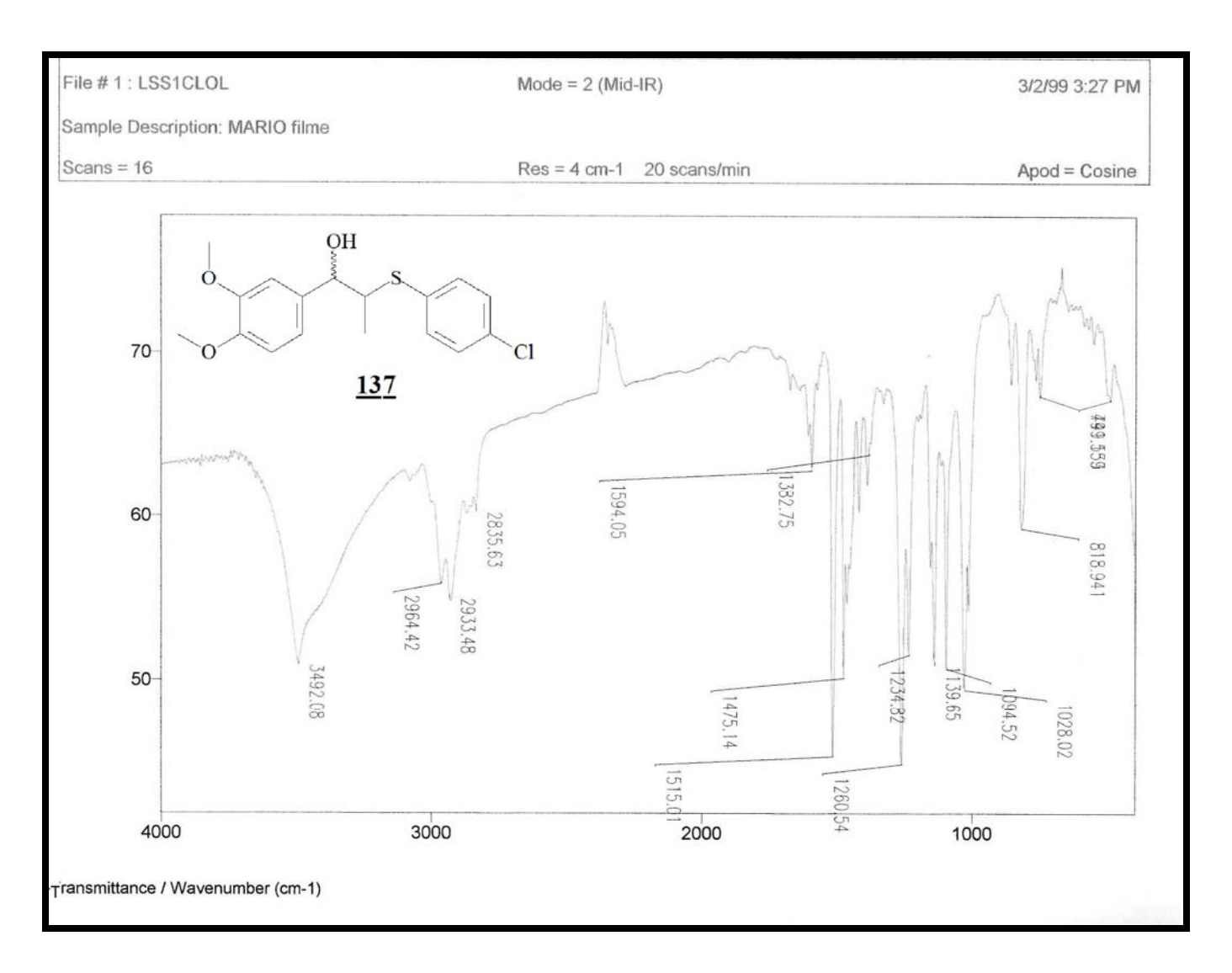
Espectro 141: Espectro de RMN de ¹³C (75 Mz, CDCl₃, t.a.) do composto <u>146</u>.



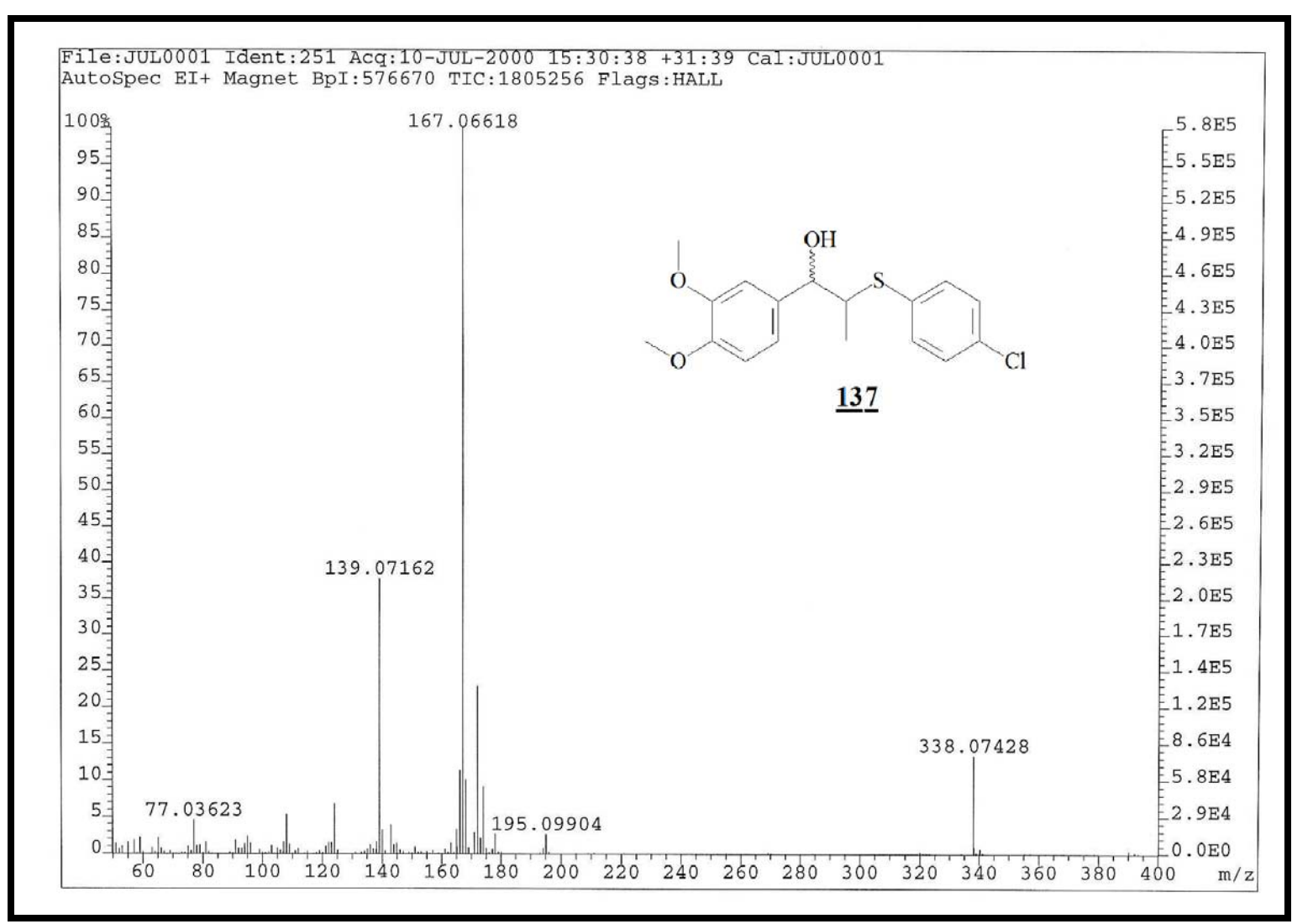
Espectro 142: Espectro gCOSY do composto 137.



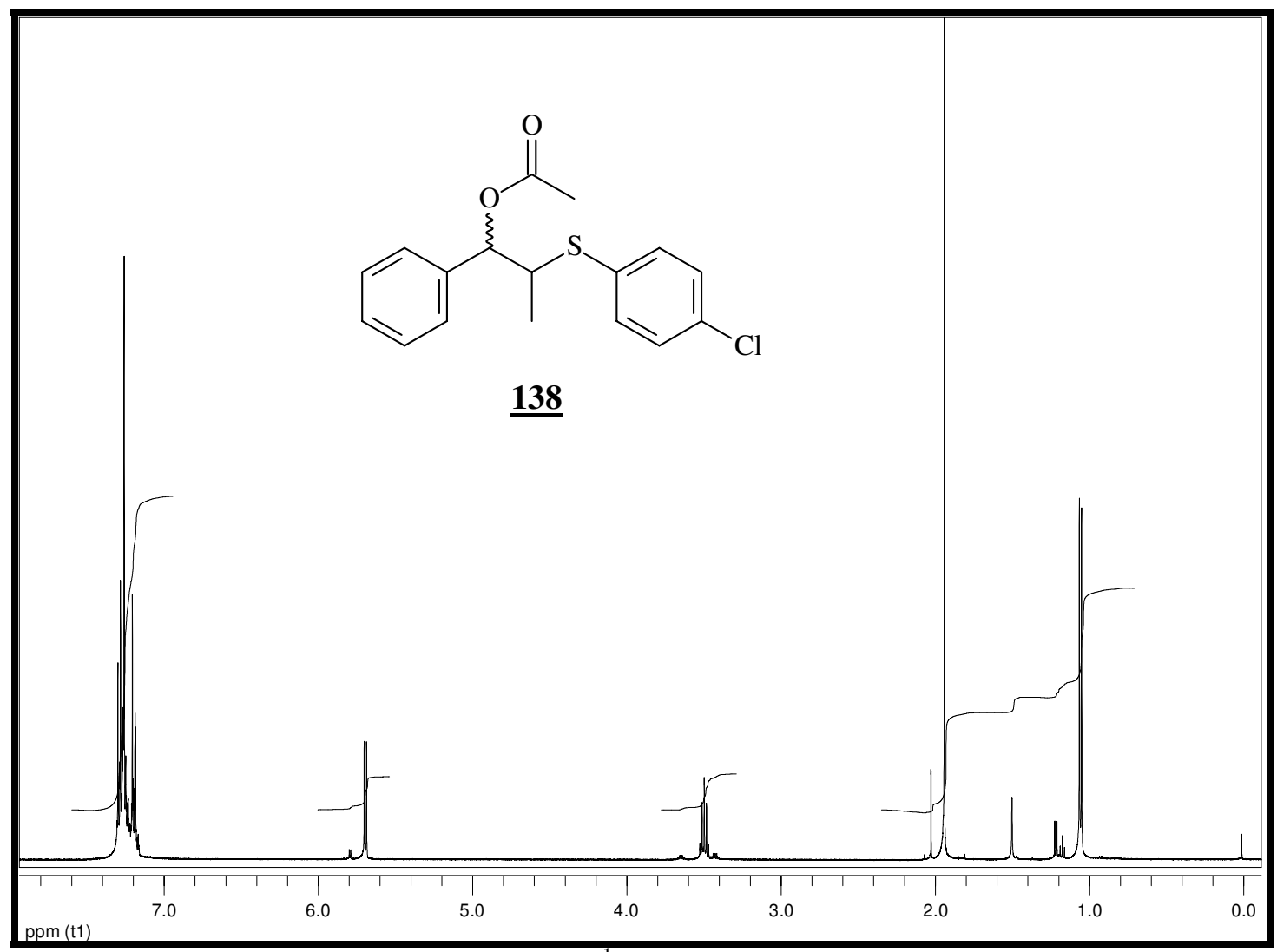
Espectro 143: Espectro HSQC do composto <u>137</u>.



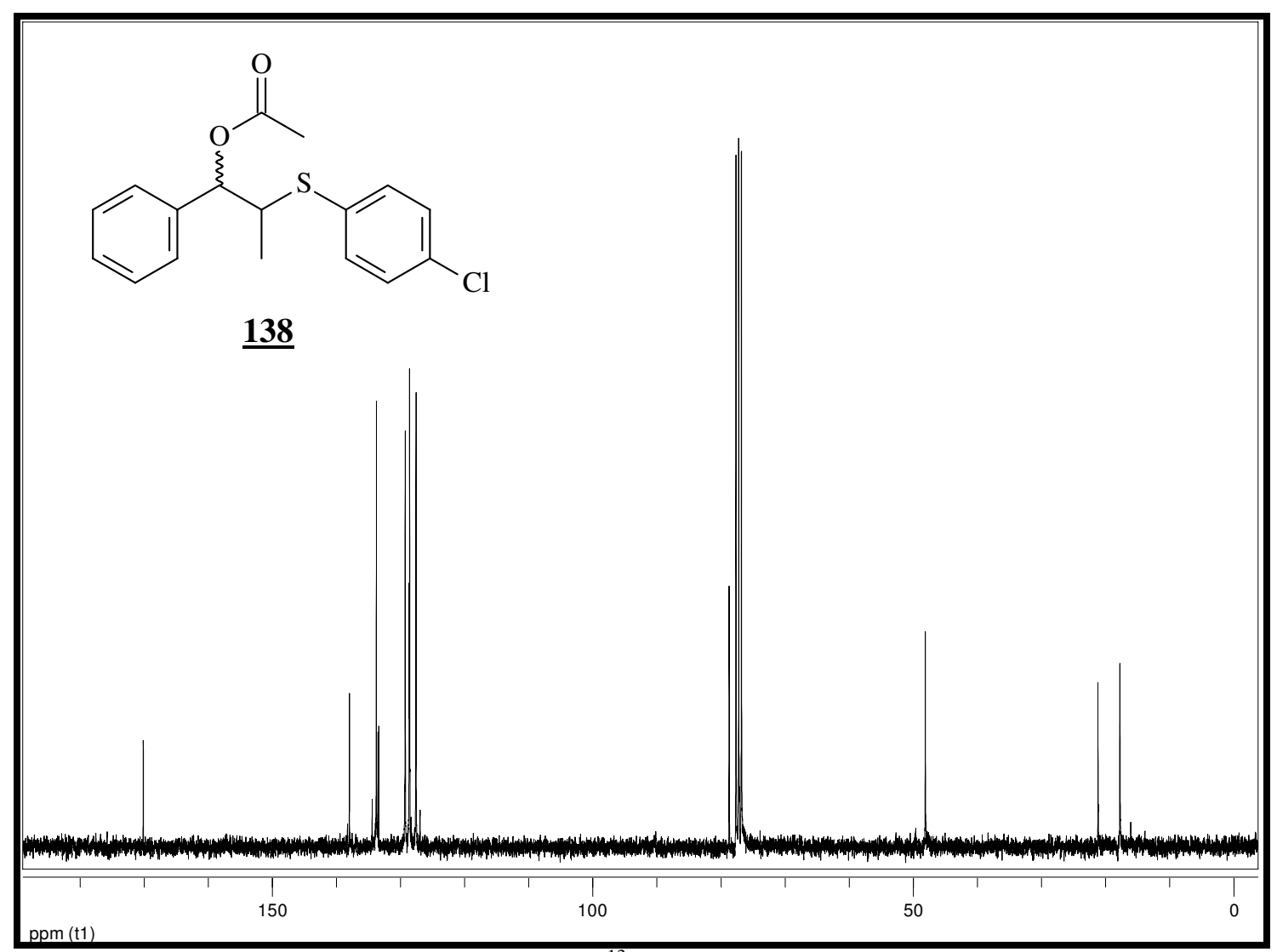
Espectro 144: Espectro de infravermelho do composto <u>137</u>.



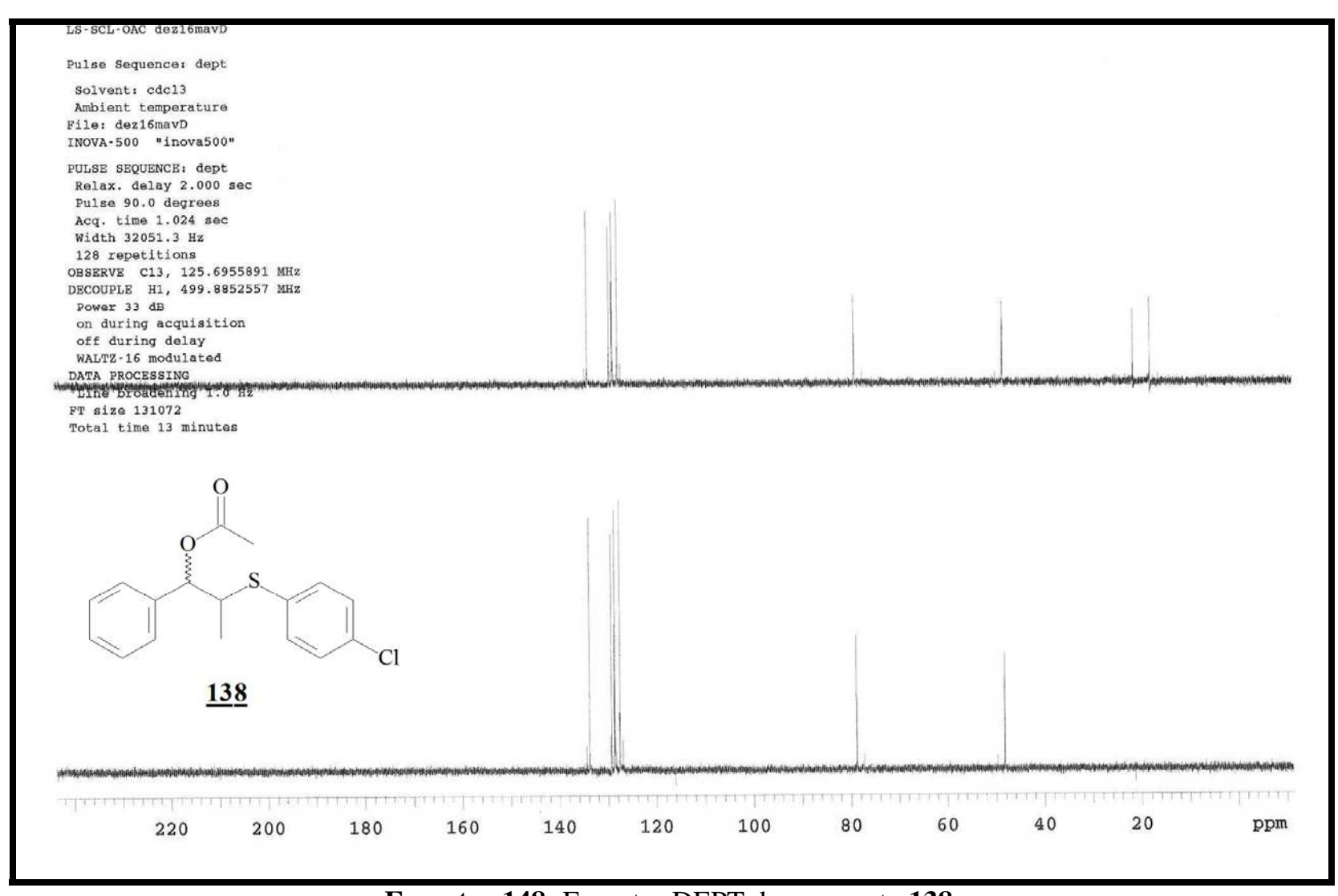
Espectro 145: Espectro de massas (EMAR) do composto 137.



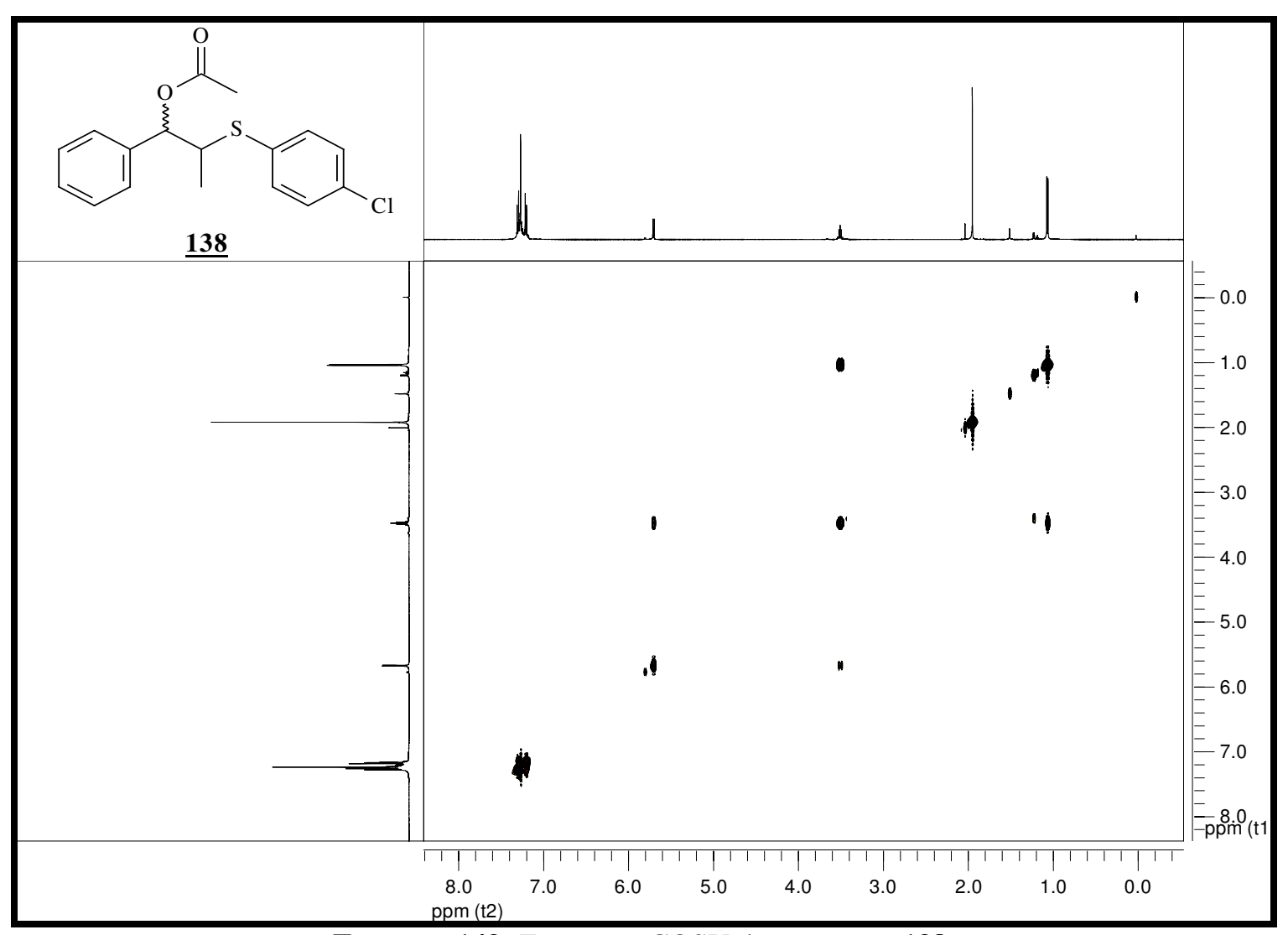
Espectro 146: Espectro de RMN de ¹H (300 Mz, CDCl₃, t.a.) do composto <u>138</u>.



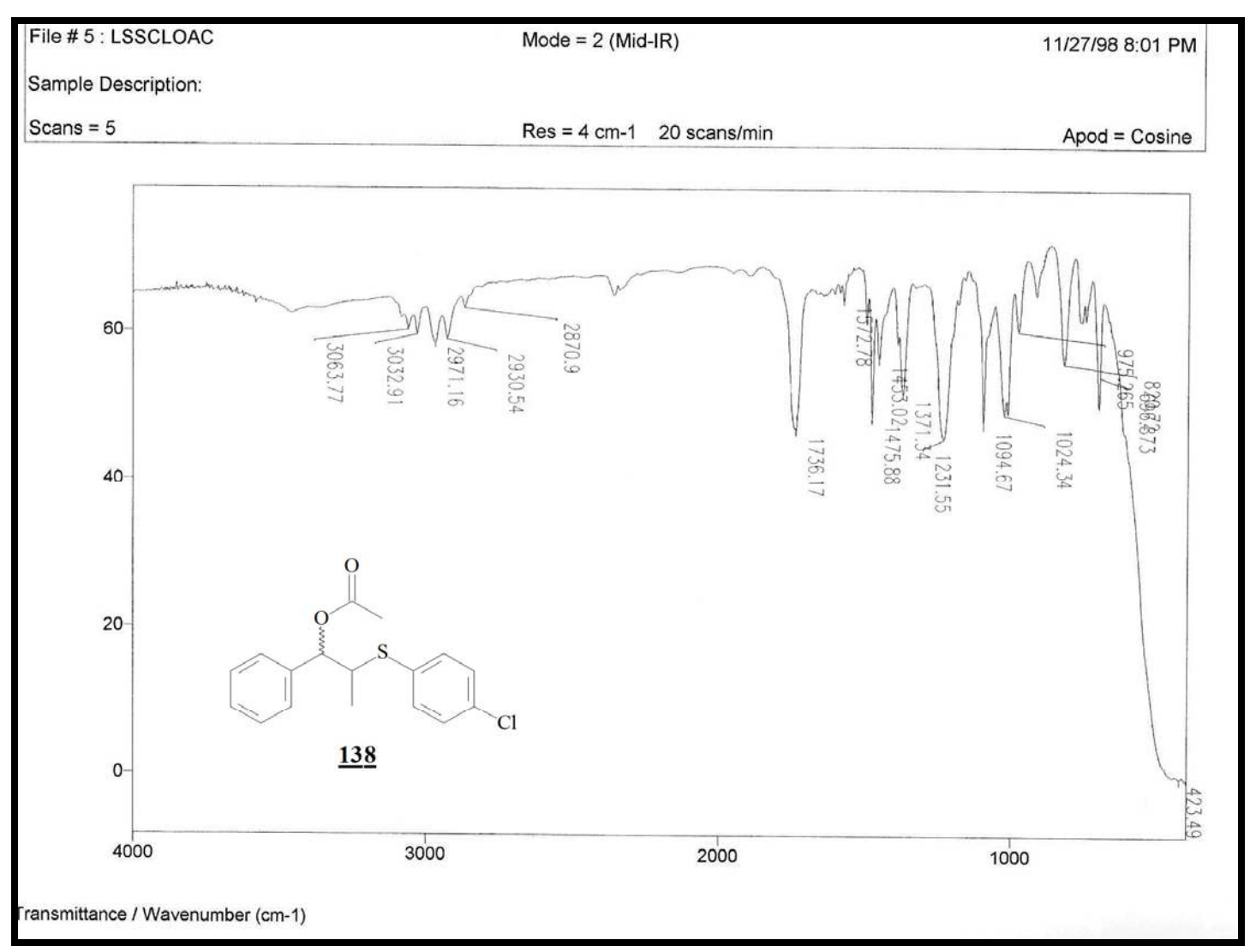
Espectro 147: Espectro de RMN de ¹³C (75 Mz, CDCl₃, t.a.) do composto <u>138</u>.



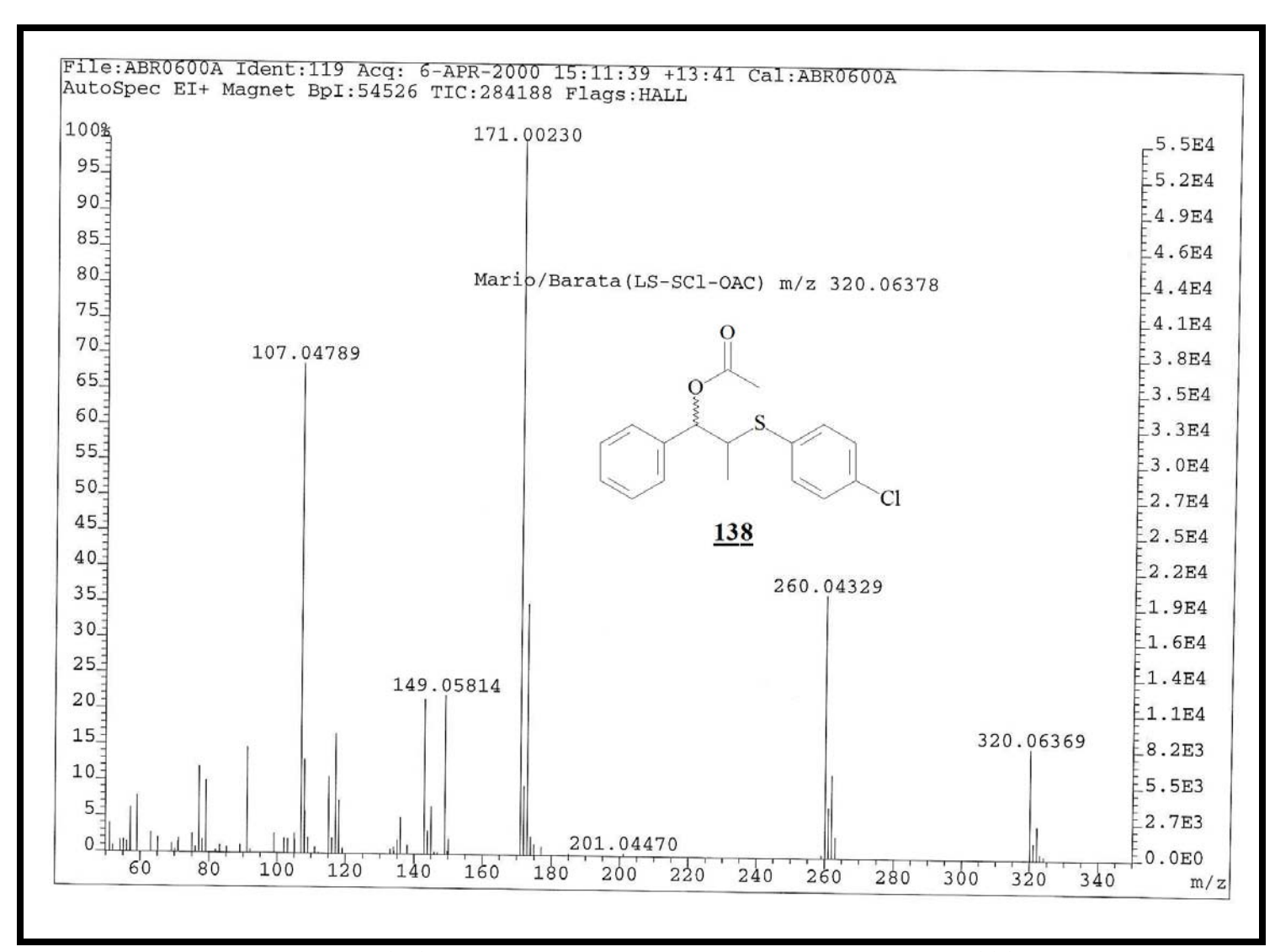
Espectro 148: Espectro DEPT do composto 138.



Espectro 149: Espectro gCOSY do composto <u>138</u>.



Espectro 150: Espectro de infravermelho do composto 138.



Espectro 151: Espectro de massas (EMAR) do composto 138.